

قسم الهندسة المدنية
شعبة الري والهيدروليكا



جامعة الأزهر
كلية الهندسة

تصميم منشآت الري

الجزء الأول

د. / أمير محمد مباشر

مدرس تصميم منشآت الري

كلية الهندسة – جامعة الأزهر

أ.د. / محمد أيمن السلاوى

أستاذ الري والهيدروليكا

كلية الهندسة – جامعة الأزهر





تصميم منشآت الري

مجموعة المحاضرات التي يتلقاها طلبة قسم الهندسة المدنية
كلية الهندسة – جامعة الأزهر

أعدها

أ.د/ محمد أيمن السلاوى

أستاذ الري والهيدروليكا

كلية الهندسة – جامعة الأزهر

د/ أمير محمد مباشر

مدرس تصميم منشآت الري

كلية الهندسة – جامعة الأزهر



المحتويات

1.....	الفصل الأول
1.....	التصميم الهيدروليكي لفرش منشآت التحكم
1.....	1-1 منشآت التحكم Control Structures
1.....	2-1 التأثير المتبادل بين منشأ التحكم والمجرى المائي
3.....	3-1 تصميم فرش منشآت التحكم Design of Apron
5.....	4-1 طول مسار التسرب بإستخدام "قانون دارسى"
7.....	5-1 نظرية بلاى Bligh المعروفة بنظرية "خط الزحف Creep length"
11.....	6-1 القواعد العامة لحساب الضغوط البيزومترية Piezometric heads وضغوط الرفع Uplift Pressures
13.....	7-1 شبكة السريان Flow Net
14.....	8-1 حساب سمك الفرش
15.....	9-1 ظاهرة الفوارات Piping
16.....	10-1 إستخدام المرشحات والبلوكات لتأكيد الأمان ضد الاستنزاف التحتى
17.....	11-1 طول الفرش اللازم لمقاومة الجرف الخلفى Downstream Scour
21.....	الفصل الثانى
21.....	السدود Dams
21.....	1-2 الغرض من إنشاء السدود
21.....	2-2 تصنيف السدود
21.....	3-2 السدود الثقالية Gravity Dams
32.....	4-2 السدود العقدية Arch Dams
38.....	5-2 السدود الدعائية Buttress Dams
44.....	6-2 السدود الترابية Earth Dams
56.....	7-2 السدود الركامية Rockfill Dams
63.....	8-2 مفيضات السدود Dams Spillways
67.....	الفصل الثالث
67.....	التدفق بين ركائز الكبارى
67.....	1-3 السمات العامة للتدفق بين الركائز General Features
68.....	2-3 حالات التدفق بين الركائز Flow Cases between Piers
80.....	الفصل الرابع
80.....	القناطر Regulators
80.....	1-4 القنطرة Regulators
90.....	2-4 أنواع القناطر Types of Regulators
91.....	3-4 تصميم القناطر Regulators Design

151.....	الفصل الخامس
151.....	الأهوسة الملاحية Navigation Locks
151.....	1-5 منشأ الهويس Lock
151.....	2-5 السمات العامة للهويس General Description of Lock
152.....	3-5 تشغيل الهويس Lockage
153.....	4-5 أنواع الأهوسة الملاحية Types of Navigation Locks
115.....	5-5 طرق ملء وتفريغ الهويس Filling and Emptying A lock
160.....	6-5 حساب الزمن اللازم للملء والتفريغ Computattion of The time of Filling or Emptying
165.....	7-5 الأهوسة ذات الرفع الكبير
168.....	8-5 تصميم الهويس Design of The lock
222.....	أمثلة محلولة

الفصل الأول

التصميم الهيدروليكي لفرش منشآت التحكم

Hydraulic Design for Apron of Control Structures

1-1 منشآت التحكم Control Structures

منشآت التحكم Control structures هي تلك المنشآت التي تقام على المجارى المائية Waterways بهدف التحكم فى مناسيب المياه والتصرفات المارة بهذه المجارى المائية. ومن أمثلة هذا النوع من المنشآت القناطر والهدارات والسدود. ويؤدى وجود هذه المنشآت إلى وجود بعض التأثيرات المتبادلة بينها وبين المجرى المائى المقامة عليه.

2-1 التأثير المتبادل بين منشأ التحكم والمجرى المائى

1-2-1 تأثير منشآت التحكم على المجرى المائية

1-1-2-1 التأثير على عمق ومناسيب المياه وسرعة التيار

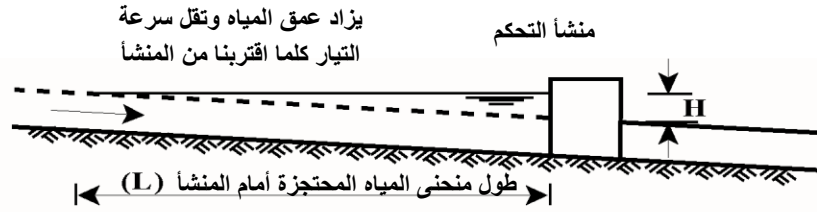
يؤدى إنشاء منشآت التحكم بالمجرى المائية إلى وجود فرق بين منسوبى الماء المحتجز والماء الجارى الأسمى عند موقع المنشأ وعلى امتداد مسافة الماء المحتجز من جهة الأمام Back water curve length حيث يتغير عمق المياه وسرعة التيار كما تتغير المقاطع العرضية للمجرى المائى حيث تقل سرعة السريان كلما اقتربنا من المنشأ نتيجة لإرتفاع مناسيب المياه عن وضعها الأسمى قبل الإنشاء. ويوضح الشكل (1-1) أ ، ب ، ج هذه التأثيرات المختلفة.

2-1-2-1 التأثير على مناسيب المياه الجوفية

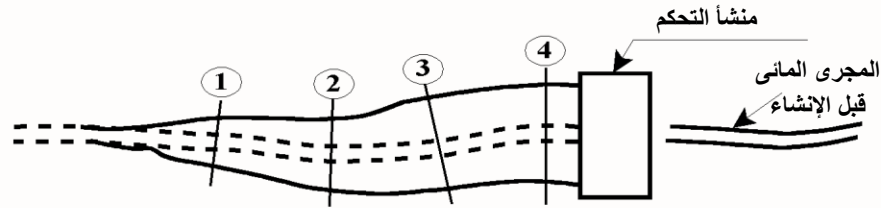
يوضح الشكل (1-1) د المقطع العرضى للمجرى المائى وجانبيه فعند المستوى (I) للمياه قبل الإنشاء كان مستوى المياه الجوفية ممثلاً بالمنحنى a c أما بعد احتجاز المياه أمام المنشأ وإرتفاع منسوب المياه بالمجرى المائى إلى المستوى (II) فإن مستوى المياه الجوفية يرتفع ويصبح ممثلاً بالمنحنى a c / وقد يقترب الماء الجوفى بعد الإنشاء من سطح الأرض وتصبح التربة مشبعة بالمياه بدرجة تعوق العمليات الزراعية بالكامل. ويسبب إرتفاع مناسيب المياه أمام المنشأ عنها خلفه إلى حدوث ظاهرة رشح المياه تحت أساس المنشأ شكل (1-1) هـ مما يتسبب فى فقدان جزء من المياه المحبوزة. كذلك تنشأ حركة للمياه الجوفية على امتداد ضفاف المجرى المائى بالالتفاف حول المنشأ شكل (1-1) و.

3-1-2-1 التأثير على قابلية حمل المواد الرسوبية

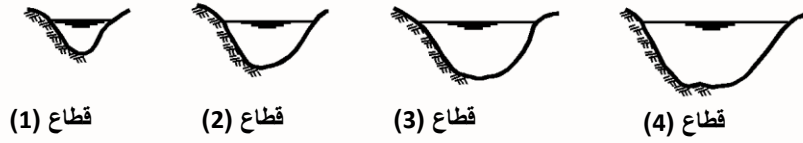
نظراً للتغير التدريجى فى سرعة تيار المياه أمام المنشأ تتغير قابلية المياه لحمل المواد الرسوبية المسماة بالحمل العالق Suspended Load والرواسب المنقولة المتراكمة على قاع المجرى المائى المسماة بالحمل القاعى Bed Load فكلما قلت سرعة المياه ترسبت الحبيبات الكبيرة فى البداية ثم تلتها الحبيبات الأقل حجماً حيث تترسب بمحاذاة المنشأ أصغر الحبيبات لأن سرعة التيار تكون ضئيلة ويصبح الماء فى ذلك الموقع خالياً من الرواسب بدرجة كبيرة ومع مرور المياه الخالية من الرواسب من الأمام إلى خلف المنشأ فإن قدرتها على حمل الرواسب تؤدى إلى تجريف (نحر) التربة وتسبب انخفاضاً عاماً فى منسوب القاع خلف المنشأ.



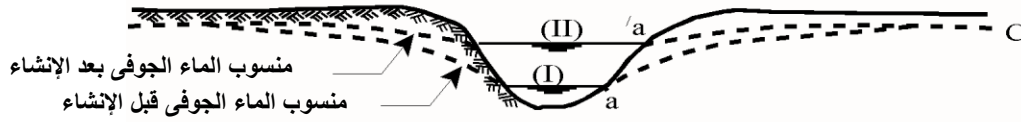
أ- قطاع طولی



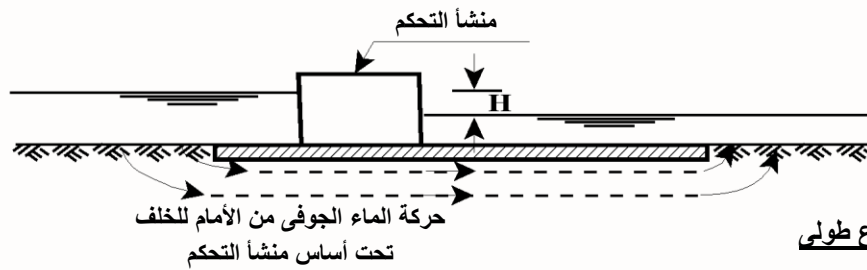
ب- مسقط أفقی



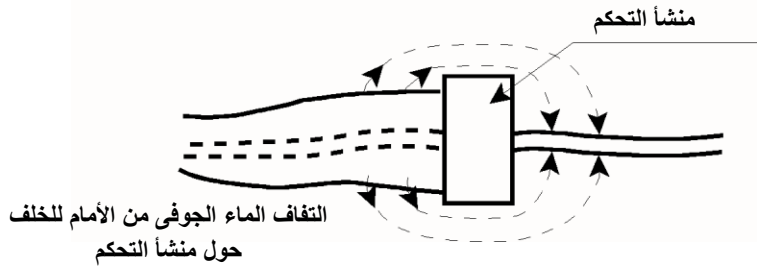
ج- مقاطعات عرضية



د- قطاع عرضي



هـ- قطاع طولی



و- مسقط أفقی

شكل (1-1): تأثير منشآت التحكم الحاجزة للمياه على المجارى المائية

1-2-2-1 تأثير التيار المائي على منشآت التحكم**1-2-2-1 التأثيرات الميكانيكية**

تتمثل هذه التأثيرات في خلق ضغط أستانتيكي وضغط ديناميكي على سطح المنشأ وهناك أهمية كبيرة لقيمة المركبة الأفقية للضغط الأستانتيكي تعمل على زحزحة المنشأ أو إنقلابه أما الضغط الديناميكي فهو يتناسب مع سرعة التيار عادة ويظهر عند حدوث موجات ناشئة عن الرياح الشديدة على سطح الماء جهة الأمام وعند حدوث الزلازل والهزات الأرضية.

1-2-2-2 تأثير تسرب المياه تحت المنشأ

نفاذ المياه تحت أساس المنشأ يؤدي إلى حدوث الظواهر التالية :

- أ- تسرب أو ضياع المياه من خزان الماء الأمامي.
- ب- ضغط الماء المتسرب على قاعدة المنشأ من أسفل إلى أعلى مما يعمل على تخفيف وزن المنشأ.
- ت- يجرف الماء المتسرب حبيبات التربة الناعمة خلف المنشأ مما يؤدي إلى أضعاف قاعدة المنشأ وقد ينتهي الأمر بانهييار المنشأ.

1-2-2-3 التأثيرات الكيميائية والفيزيائية

تتعرض هذه التأثيرات على مواد بناء المنشأ حيث يعمل الماء الجارى بسرعات كبيرة والمحمل بالمواد الرسوبية على تآكل الأسطح الحجرية والخرسانية للمنشآت كما تتعرض الأجزاء المعدنية للتآكل مما يجعل سمكها الفعال فى تناقص تدريجى مستمر.

3-1 تصميم فرش منشآت التحكم Design of Apron

يعتبر تسرب المياه تحت فرش منشآت التحكم وما يتبعه من تأثيرات من أهم العوامل التى يجب أن تؤخذ فى الاعتبار عند تصميم تلك المنشآت. ويجب أن يراعى فى تصميم فرش منشآت التحكم أن يكون ذا طول وسمك كافيين على النحو التالى:

أولاً: إن طول الفرش يكون مناسباً إذا تحقق به هدفان أساسيان:

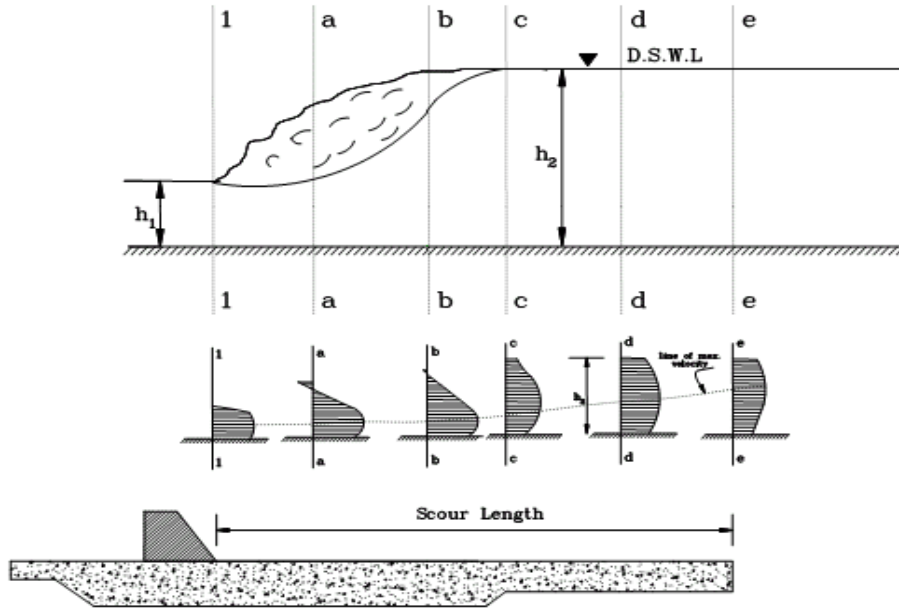
- 1- توفير الحماية الخلفية لقاع القناة الخلفية ضد جرف التربة Downstream scour نتيجة للسرعات الكاسحة التى ينبعث بها التدفق عبر منشأ التحكم (شكل 1-2)، وبديهي أنه كلما طال الفرش كلما أتيحت الفرصة لتبديد جزء كبير من طاقة الحركة، وبالتالي تخفيض سرعة التدفق مع تعديل هيئة توزيعها وذلك قبل وصول التدفق إلى بداية القاع الرخو بالقناة الخلفية (شكل 1-3). ولتأثير الأمر يقتصر على القاع الترابي للقناة فقط، بل إن سلامة المنشأ نفسه قد تتهدد نتيجة أن جرف التربة يترك حفراً يتزايد حجمها مع الوقت متقدمة نحو تربة الأساس التى يتركز عليها الفرش نفسه.
- 2- تتعرض منشآت التحكم المؤسسة على تربة مسامية لرشح وتسرب المياه Percolation تحت فروشات هذه المنشآت نتيجة لوجود إختلاف بين أعماق المياه فى الأمام والخلف (إتجاه التسرب تحت فرش المنشأ من الأمام إلى الخلف)، لذا فلا بد أن يوفر طول الفرش إنحداراً هيدروليكياً مناسباً للمياه المتسربة تحت الفرش، وهو الانحدار الذى لا يكون شديداً بدرجة تكون معها سرعة الرشح كبيرة بدرجة يتسبب عنها "استنزاف تحتى Undermining" وهو المصطلح الذى يعنى حدوث تكهفات فى تربة الأساس نتيجة اكتساح المياه

المتسربة لبعض ذرات التربة تاركة فراغات تحت الفرش تشكل مع تكرارها خطورة جسيمة على المنشأ (شكل 1-4). كما قد يسبب زيادة الانحدار الهيدروليكي عند نهاية الفرش إلى زيادة سرعة خروج الماء في هذه المنطقة وحدوث ظاهرة الفوارات Piping .

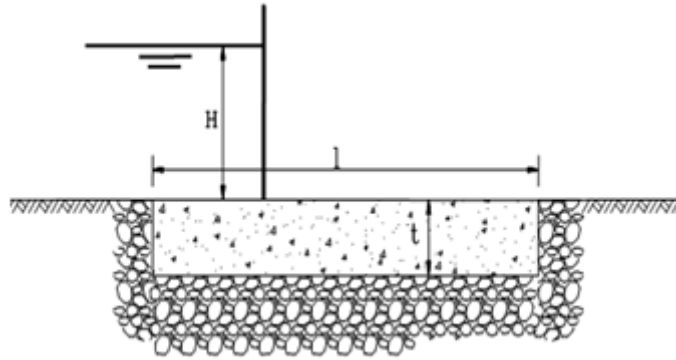
ثانياً: إن سمك الفرش يكون مناسباً إذا كان كافياً لمجابهة ضغوط الرفع Uplift pressures الناتجة عن التسرب بالإضافة إلى الإجهادات التي تؤثر بها الأحمال الأخرى مثل الوزن الذاتي للمنشأ المختلفة كذا الأحمال الحية التي قد تضاف في مختلف الظروف.



شكل (1-2): السرعات الكاسحة للتدفق خلف إحدى منشآت التحكم (قناطر أسيوط)



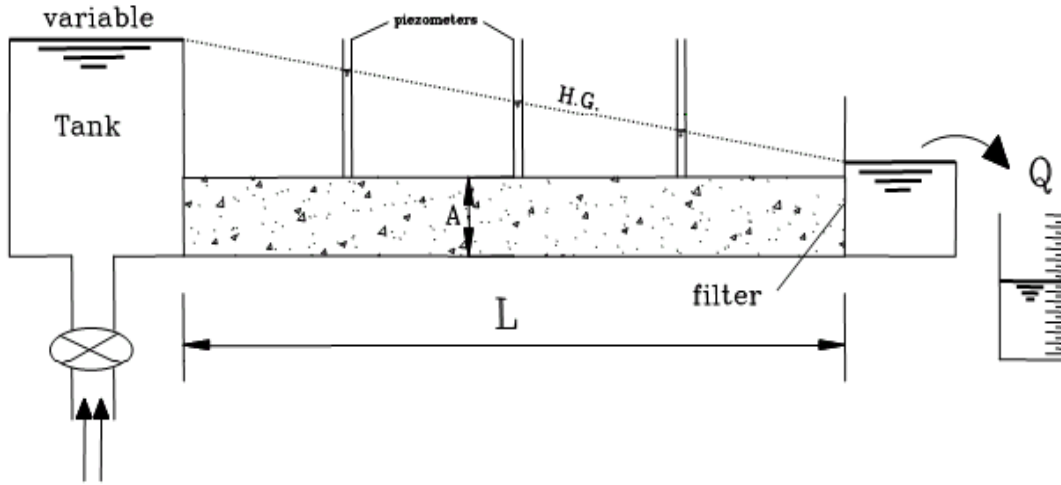
شكل (3-1): توزيع سرعات التدفق على امتداد الفرش



شكل (4-1): الاستنزاف التحتي للتربة أسفل فرش منشأ التحكم

4-1 طول مسار التسرب باستخدام "قانون دارسي"

يطبق قانون دارسي Darcy law لسريان المياه في الأنابيب على سريان المياه خلال فراغات التربة تحت تأثير فرق ضغط هيدروليكي لوجودها على مستويات رأسية مختلفة مما يسبب انحداراً هيدروليكياً بين أي نقطتين على خط السريان ويفترض قانون دارسي أن السريان مستمر وخطي وهما ينطبق غالبا على سريان المياه في الرمل الناعم والطين ولكن لا ينطبق في الغالب على الرمل الخشن والزلط. كذلك فإن القانون يفترض أن سريان المياه في خط مستقيم وأن معدل فقد الطاقة ثابت على طول الخط.



شكل (5-1): تحديد طول التسرب باستخدام قانون دارسي

ينص القانون:

أن سرعة سريان المياه تتناسب مع الانحدار الهيدروليكي: $V=Ki$, $V \propto i$

حيث:

 V = سرعة التصريف K = ثابت يسمى معامل النفاذية. i = الميل الهيدروليكي (h/L) . H = قيمة الضاغط البيزومتري. L = طول مسار التسرب (شكل 5-1).

$$V_{\max} = (H_{\max}/L) * K$$

$$L = (K/ V_{\max}) * H_{\max}$$

$$L = c h$$

(1-1)

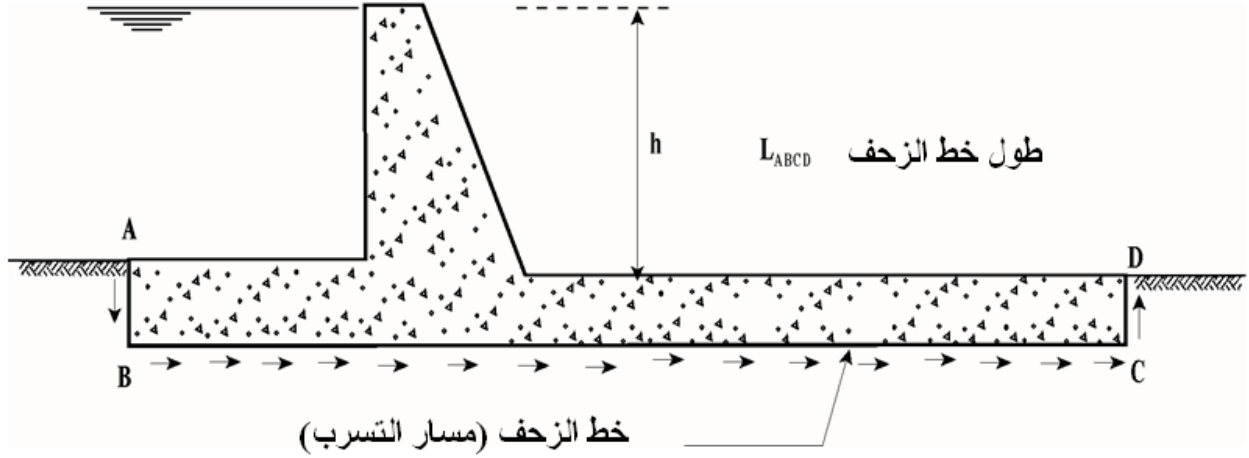
حيث:

 h = قيمة الضاغط البيزومتري الأقصى. c = معامل يعتمد على نوع التربة أسفل الفرش.

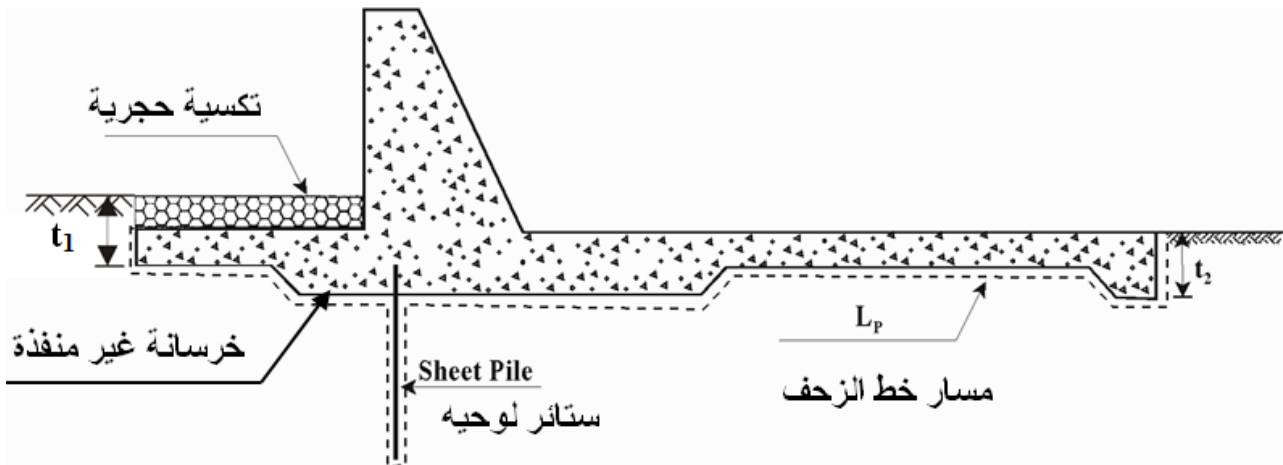
5-1 نظرية بلاي Bligh المعروفة بنظرية "خط الزحف" Creep length

يتضمن فرض بلاي أن الانحدار الهيدروليكي ثابت على مدى طول الخط ABCD من الفرش (شكل 6-1)، وأطلق بلاي على هذا الخط اصطلاح "خط الزحف"، وهو يعبر عن مسار جزئى من مياه التسرب ملاصقاً للخط الفاصل بين الفرش والترتبة. وقد اعتبر بلاي أن طول خط الزحف يساوى الطول الأفقى للفرش المصمت أسفل المنشأ (L_h) مضافاً إليه ضعف سمك الفرش و ضعف طول الستائر المعدنية (L_v) (شكل 7-1)، وبالتالى فإن :

$$L_B = C_B h \quad (1-2)$$



شكل (6-1): طول خط الزحف تحت فرش منشأ التحكم



شكل (7-1): طول خط الزحف فى حالة إضافة ستائر لوحية رأسية تحت فرش المنشأ

حيث:

$$L_B = \text{طول مسار التسرب حسب مبدأ بلاي } (L_H + L_V)$$

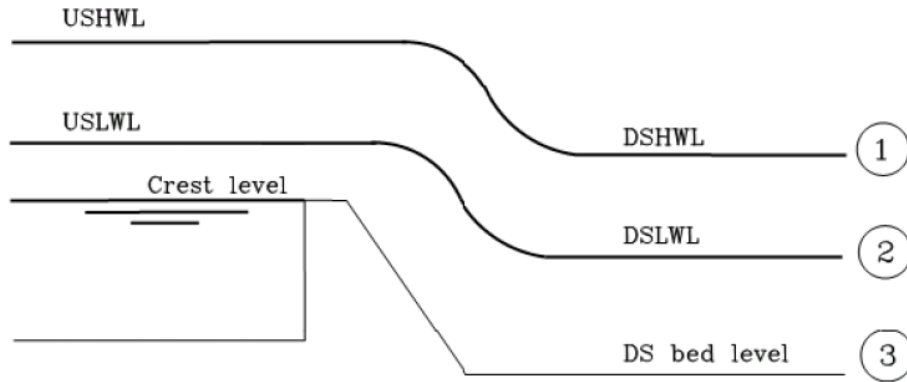
$$C_B = \text{معامل بلاي كما هو موضح بالجدول رقم (1-1)}$$

h = قيمة الضاغط البيزومتري الأقصى = الفرق الأقصى بين منسوبي الماء بالأمام والخلف (شكل 8-1)، ويتم حسابه كالتالي، على أن تؤخذ القيمة الأكبر:

$$h = USHWL - DSHWL \quad (1)$$

$$h = USLWL - DSLWL \quad (2)$$

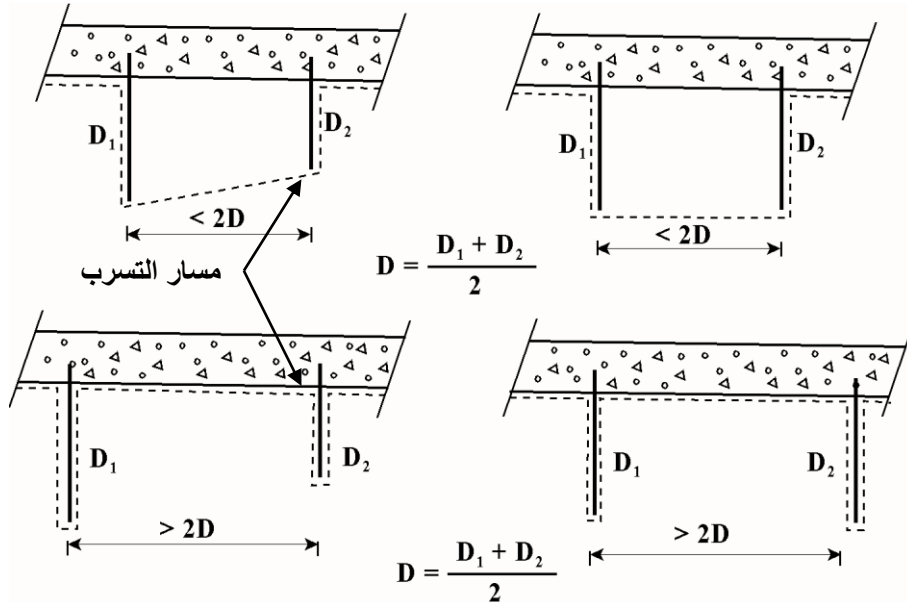
$$h = \text{Crest level} - DSBL \quad (3)$$



شكل (8-1): طريقة حساب الضاغط البيزومتري الأقصى

1-5-1 الزحف على القواطع الرأسية Creep along Cutoffs

لتقليل طول الفرش يمكن إستخدام الحوائط الرأسية القاطعة التي تعمل من الستائر اللوحية المعدنية أو الخرسانية أو تعمل من خنادق رأسية مملوءة بترربة مدموكة قليلة النفاذية. ويمكن عمل صفين أو أكثر من الستائر اللوحية مع مراعاة إختيار مسافة بينية مناسبة بين صفوف الستائر اللوحية كما هو مبين بالشكل (9-1).



شكل (9-1): تأثير التباعد بين صفوف الستائر اللوحية على طول مسار التسرب تحت الفرش

2-5-1 نظرية لين Lane "الطول الفعال للزحف" Weighted creep length

قام لين باشتقاق مفهوم جديد من فرض بلاى لحساب طول خط الزحف، أطلق عليه " نظرية الطول الفعال للزحف". ويتلخص هذا المفهوم فى إعطاء وزن أكبر للزحف على الأسطح الرأسية أو التى تنحدر انحداراً شديداً منه للزحف على الأسطح الأفقية أو التى تنحدر انحداراً خفيفاً. وقد علل ذلك بأنه ليس من الممكن دائماً ضمان تلاصق تام بين الأجزاء المنبسطة من الفرش والتربة المفككة أو الرخوة نسبياً، وطبقاً لمبدأ "المسار الأقل مقاومة"، فإنه غالباً ما يحدث تجمع أو تراحم لخطوط التدفق على امتداد مسار الزحف فى المواضع المنبسطة من سطح الفرش الملاصق للتربة، وبالتالي تكون تلك المواضع متميزة بسرعات عالية للتسرب، وذلك بطبيعة الحال قد يؤدى إلى استنزاف تحتى Undermining بتربة التأسيس.

ويحسب طول مسار التسرب حسب معادلة لين على أنه مجموع ثلث الأطوال الأفقية مضافاً إليه مجموع الأطوال الرأسية

$$L_L = C_L h \quad (1-3)$$

حيث:

L_L = طول مسار التسرب حسب مبدأ لين $(1/3 L_H + L_V)$ ويعتبر المسار رأسياً إذا زاد ميله عن 45° مع الأفقى

C_L = معامل لين كما هو موضح بالجدول رقم (1-1)

3-5-1 كفاءة استخدام القواطع الرأسية أسفل فروشات منشآت الري Efficiency of Cutoffs under Aprons of Irrigation Structures

طبقاً للدراسات المعملية ، والتى أجريت بقسم الهندسة المدنية - كلية الهندسة - جامعة الأزهر ، والتى تمت بهدف دراسة كفاءة أوجه القواطع الرأسية المختلفة The efficiencies of both faces فى الأماكن الحرجة المختلفة Critical sections فى تبديد طاقة خط الزحف أسفل فروشات منشآت الري، وذلك بغرض التحقق مما إذا كانت هذه الكفاءة متساوية لكل من وجهى نفس القاطع من عدمه. ولقد أظهرت النتائج إلى أن أوجه هذه القواطع لا تعمل بنفس الكفاءة فى تبديد طاقة خط الزحف سواءً لنفس القاطع أو عند استخدامه فى أماكن مختلفة أسفل نفس الفرش، حيث ينبغى أخذ ذلك فى الاعتبار عند تصميم فروشات منشآت الري. كما قدمت هذه الدراسات بعض المنحنيات التصميمية التى يمكن استخدامها عند تصميم هذه الفروشات.

جدول (1-1): قيم المعاملات C_L & C_B المستخدمة في معادلات بلاي ولين لحساب طول مسار التسرب

C_L	C_B	نوع التربة
8.5	18	رمل ناعم جدا أو سلت
7	15	رمل ناعم
6	-	رمل متوسط
5	12	رمل خشن
4	-	زلط ناعم
3.5	-	زلط متوسط
-	9	زلط ورمل
3	-	زلط خشن مع ركام
2.5	-	رجام مع ركام وزلط
-	6 - 4	رجام وزلط ورمل
3	-	طين ناعم
1.8	-	طين متوسط
1.8	-	طين صلب
1.6	-	طين شديد الصلابة

6-1 القواعد العامة لحساب الضغوط البيزومترية Piezometric heads وضغوط الرفع Uplift Pressures

أولاً: الضاغط البيزومتري Piezometric head:

$$h_n = p/\gamma + z - L_n (1/c) \quad (1-4)$$

حيث:

h_n = الضاغط البيزومتري عند نقطة "n".

p/γ = سمت الضغط Pressure head عند النقطة "n" منسوباً إلى سطح المياه بالأمام .

z = بعد النقطة "n" عن مستوى المقارنة مع مراعاة الإشارة.

L_n = طول مسار التسرب حتى النقطة "n".

$1/c$ = الانحدار الهيدروليكي للمياه المتسربة أسفل الفرش.

"مؤشر صافي فرق الضغوط البيزومترية Net piezometric heads difference" هو مؤشر الضواغط البيزومترية المحسوب على أساس مستوى المقارنة منطبق مع منسوب المياه بالخلف. وقيم هذا المؤشر هي فقط التي تتخذ أساساً لحساب سمك الفرش عند نقاط الزحف المتتالية.

ثانياً: ضاغط الرفع Uplift pressure:

$$U_n = p/\gamma - L_n (1/c) \quad (1-5)$$

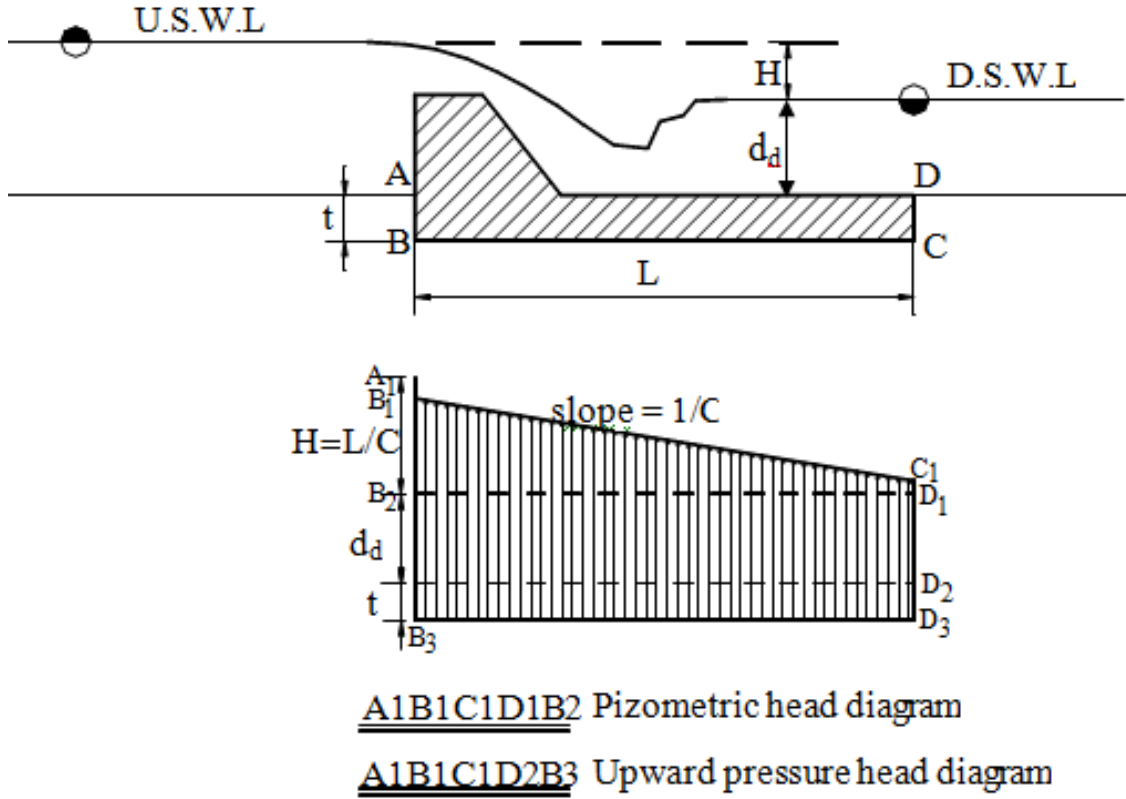
حيث:

U_n = ضاغط الرفع عند نقطة "n".

ويمكن حسابه أيضاً من الصيغة التالية:

$$U_n = h_n - z \quad (1-6)$$

والشكل (10-1) يبين مؤشراً لكل من ضغوط الرفع والضغوط البيزومترية أسفل أحد فروشات الري



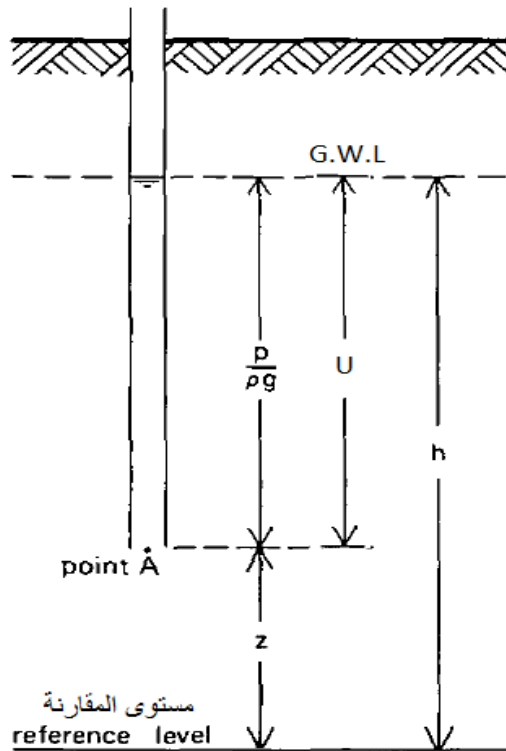
شكل (10-1): مؤشر الضغوط البيزومترية وضغوط الرفع

ثالثاً: تحديد منسوب الماء الأرضي Groundwater level

من الشكل (11-1) يتبين أن:

منسوب الماء الأرضي (G.W.L) = الضاغط البيزومتري (h) + منسوب مستوى المقارنة

= ضاغط الرفع (U) + منسوب النقطة (A)



شكل (11-1): العلاقة بين منسوب الماء الأرضي والضاغط البيزومتري

7-1 شبكة السريان Flow Net

يوضح الشكل (12-1) شبكة السريان تحت فرش أحد منشآت التحكم وهي تتكون من مجموعتين من المنحنيات الأولى تبين اتجاه السريان وتسمى بخطوط التدفق Stream Lines والثانية تعطي التدرج في الضاغط البيزومتري من القيمة القصوى أمام المنشأ إلى القيمة الصغرى خلف المنشأ.

وترسم شبكة السريان بحيث تتعامد خطوط التدفق مع خطوط تدرج الضاغط البيزومتري Equipotential Lines لتكون مربعات منتظمة بقدر الإمكان. ويمكن تحديد قيمة الإنحدار الهيدروليكي عند أي نقطة في الوسط المسامي تحت فرش منشأ التحكم وذلك بقسمة التغير في الضاغط البيزومتري عند المربع المناظر لهذه النقطة (Δh) على طول خط السريان لهذا المربع (ΔL) ولما كان التدرج في الضاغط البيزومتري (Δh) ثابت لكل الشبكة فإنه كلما قلت أبعاد المربع في شبكة السريان كلما زادت قيمة الإنحدار الهيدروليكي.

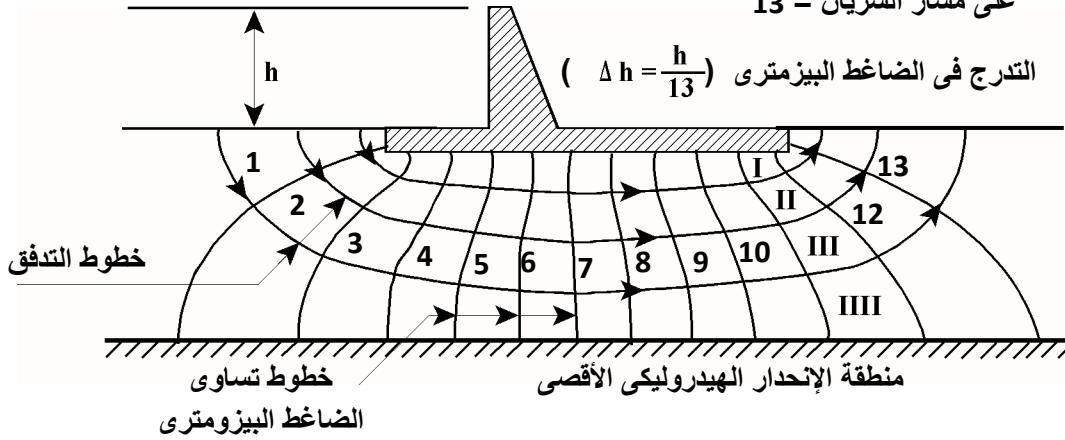
ويمكن تحديد سرعة السريان عند أيه نقطة في الوسط المسامي من تطبيق معادلة دارسي التي تعطي سرعة السريان (V) كحاصل ضرب معامل نفاذية التربة (K) والإنحدار الهيدروليكي لهذه النقطة (i).

ويتضح أيضا من الشكل (12-1) أن أقصى سرعة لخروج المياه رأسيا لأعلى تكون عند نهاية الفرش من جهة الخلف. ويتضح أيضا أن الإنحدار الهيدروليكي ليس ثابتا على خط الزحف Creep Line (خط التلامس بين فرش المنشأ والتربة الملاصقة له) كما هو الحال في معادلة بلاي التي تفترض ثبات سرعة السريان وكذلك ثبات الإنحدار الهيدروليكي على خط الزحف والذي تعطى قيمته بالنسبة (h / L_B) .

عدد أنابيب التدفق = 4

عدد مرات الهبوط في الضاغط البيزومتري

على مسار السريان = 13



شكل (12-1): شبكة السريان تحت فرش المنشأ

8-1 حساب سمك الفرش Thickness of Apron

يتعرض السطح السفلي لفرش منشآت التحكم لضغط من أسفل إلى أعلى نتيجة لتسرب المياه تحت الفرش ويقاوم هذا الضغط بتأثير وزن عمود الماء فوقه (إن وجد) وكذلك وزن الفرش الخرساني نفسه. ويمكن بدراسة الإيزان الرأسى لوحدة المساحات من فرش المنشأ حساب قيمة سمك الخرسانة العادية المطلوب لمقاومة قوى الدفع لأعلى وذلك من المعادلة (1-7).

$$T = (1.3 h) / (\gamma_f - 1)$$

(1-7)

حيث:

T = سمك الخرسانة العادية اللازمة لفرش المنشأ عند القطاع الحرج

γ_f = الوزن النوعي للخرسانة العادية المستخدمة

h = الضاغط البيزومتري بالمتر

9-1 ظاهرة الفوارات Piping

إن المياه المتسربة تحت الفرش حينما تقترب من نهايته وتصل إلى الحرف الخلف للفرش فإن الانحدار الهيدروليكي للتسرب خلال التربة في تلك المنطقة قد يكون كبيراً بدرجة تكفي لتحريك التربة إلى أعلا محدثاً بذلك ما يعرف بظاهرة الفوارات Piping، وخطورة تلك الظاهرة أنها تتزايد مع الوقت على شكل جرف للتربة يتقدم أسفل الفرش (في عكس اتجاه التسرب) وقد تتزايد شدة هذا الجرف إذا كان الفرش قد نشأت تحته ظاهرة الاستنزاف التحتي Undermining، فإذا ما اتحد التأثيران معا تكون الخطورة جسيمة على المنشأ كله.

والشكل (13-1) يبين نقطة (e) واقعة على المستوى الرأسى المار بحرف الفرش.

الضغط لأعلى Upward pressure عند النقطة (e):

$$\text{Upward pressure} = (h_e + d_d + d_e) \gamma_w \quad (1-8)$$

الضغط لأسفل Downward pressure عند النقطة (e):

$$\text{Downward pressure} = (d_d + d_e) \gamma_w + d_e * \gamma_s \quad (1-9)$$

حيث:

$$h_e = \text{الضاغط البيزومتري عند النقطة (e).}$$

$$\gamma_s = \text{الوزن النوعى للتربة المغمورة.}$$

وبتساوى المعادلتين في حالة الاتزان نجد أن:

$$h_e * \gamma_w = d_e * \gamma_s \quad (1-10)$$

ونظراً لأن الوزن النوعى للماء $(\gamma_w) = 1 \text{ طن/م}^3$ ، والوزن النوعى للتربة الجافة في الحالة المتوسطة

$(\gamma_d) = 1.60 \text{ طن/م}^3$ ونسبة الفراغات بالتربة 40 % ، يكون الوزن النوعى للتربة المغمورة $(\gamma_s) = 1 \text{ طن/م}^3$. ومن ثم تؤول المعادلة 1-10 إلى الصورة:

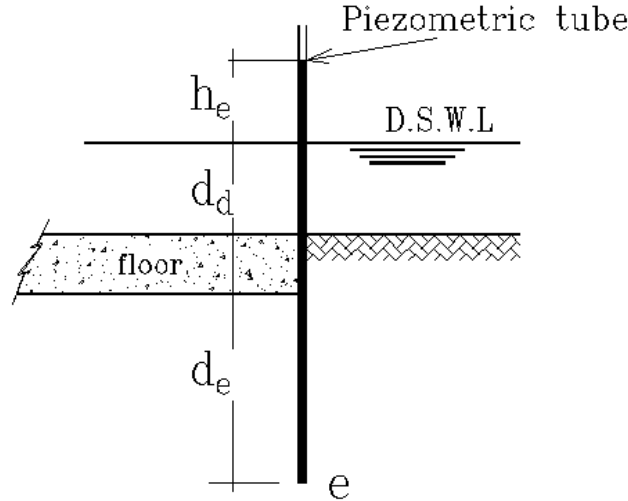
$$h_e = d_e \quad (1-11)$$

وللأمان من ظاهرة الفوارات:

$$P = d_e / h_e \quad (1-12)$$

حيث:

P = معامل الأمان من الفوارات ويكون في حدود من 4 إلى 10



شكل (13-1): اصطلاحى للضاغط البيزومتري عند نقطة فى المستوى الرأسى الذى يمر بالحرف الخلفى لفرش منشأ التحكم

10-1 استخدام المرشحات والبلوكات لتأكيد الأمان ضد الاستنزاف التحتى

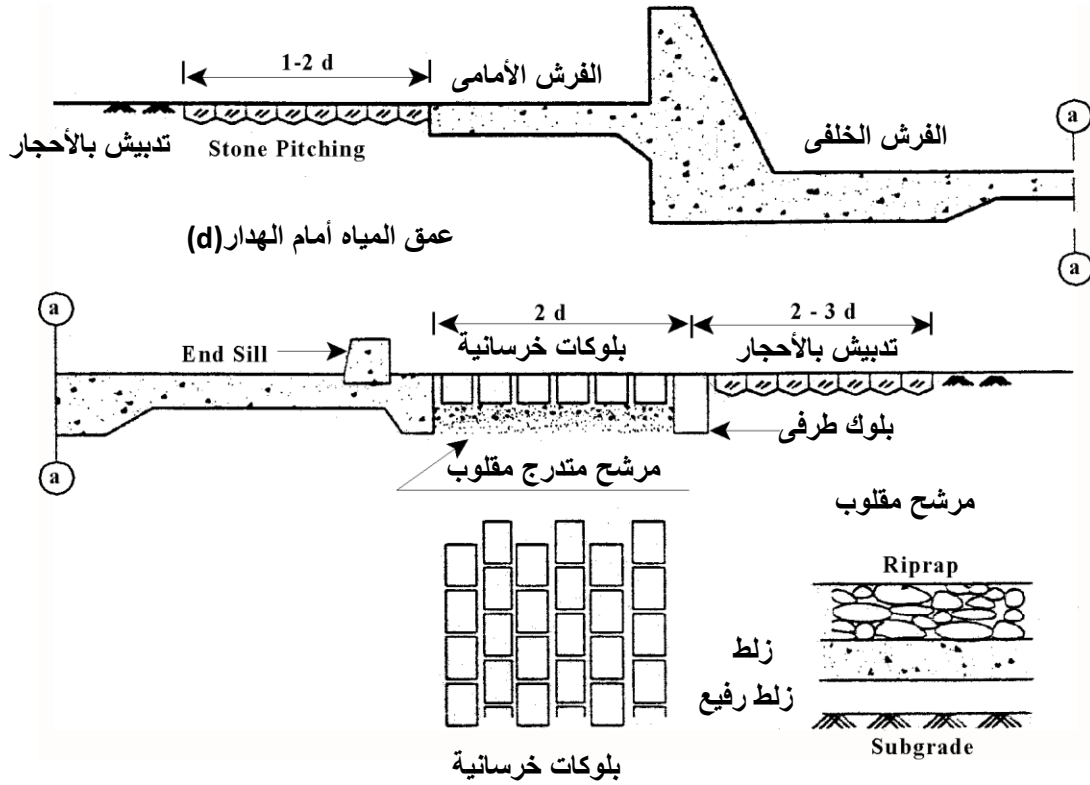
يجب تأكيد الأمان ضد الاستنزاف التحتى للتربة Undermining وذلك بعمل الجزء الخلفى بعد الفرش من مواد متدرجة غير متماسكة تعمل على خروج مياه الرشح دون تحريك حبيبات القاع ويمكن الاختيار بين عدة بدائل كما هو موضح بالشكل (14-1).

* مرشحات مقلوبة Reversed Filters تتكون من طبقات يزيد معامل نفاذيتها من أسفل إلى أعلى ويمكن الإسترشاد بأسماء الطبقات المختلفة التالية فى حالة الإنشاء فى ظروف الجفاف :

- طبقة رمل وزلط صغير بسمك لا يقل عن 0.5 - 0.10 متر .
- طبقة زلط بسمك لا يقل عن 0.10 - 0.20 متر .
- أحجار بسمك لا يقل عن 1.5 إلى 2.0 قطر أكبر الأحجار المستخدمة.
- * تكسيات حجرية على الناشف أو أحجار ملقاة Riprap .

* بلوكات خرسانية أسفلها فلتر وتستخدم فى المنشآت الكبيرة وتكون البلوكات سابقة الصب بأبعاد (1.00 x 0.75 x 0.50) متر أو (0.75 x 0.75 x 0.50) متر. وتوضع البلوكات فى صفوف خلافية (Staggered) مع ترك مسافات بينية تتراوح ما بين (1 - 3) سم .

* طبقة من الخرسانة العادية بسمك 0.50 متر مزودة بأنايب رأسية بدلا من البلوكات وتعمل فوق طبقة من الزلط المتدرج.



شكل (14-1): ترتيب الجزء الخلفي بعد فرش المنشأ من مواد غير متماسكة

11-1 طول الفرش اللازم لمقاومة الجرف الخلفي Downstream Scour

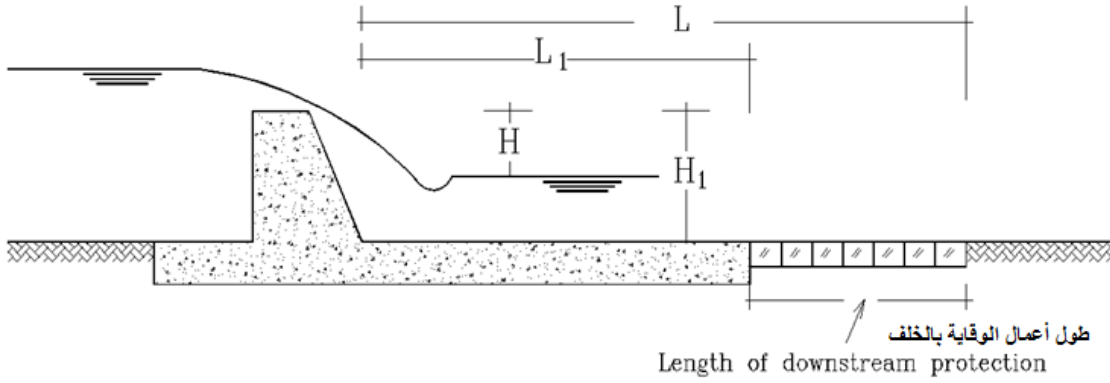
نتيجة لسقوط المياه عبر منشأ التحكم تتزايد السرعات خلف المنشأ وعلى إمتداد طول معين يعرف بمسافة النحر أو مسافة الجرف الخلفي التي يعود بعدها توزيع السرعات إلى وضعه الطبيعي. ويتم حساب طول الفرش اللازم لمقاومة الجرف الخلفي (المسافة من نهاية المنشأ وحتى نهاية الفرش بالخلف) باستخدام صيغ بلاي لتصميم أبعاد الفرش على أساس الأمان من الجرف الخلفي على النحو التالي:

أولاً: للهدارات:

كما هو مبين بالشكل (15-1) باستخدام المعادلتين التاليتين:

$$L = 3 C_B \sqrt{H/3} \sqrt{q/7} \quad (1-13)$$

$$L_1 = 1.20 C_B \sqrt{H_1/3.90} \quad (1-14)$$



شكل (15-1): طول الفرش اللازم لمقاومة النحر في حالة الهدارات

حيث:

L = الطول الكلى للفرش مضافاً إليه طول أعمال الوقاية الخلفية كالكتل الخرسانية والتكسيات

L_1 = طول الفرش

C_B = معامل بلاى للتسرب والمعطى في الجدول (1-4)

H = السقوط بين قمة الهدار ومنسوب المياه بالخلف

H_1 = المسافة بين قمة الهدار و سطح الفرش العلوى في حالة الفروشات الأفقية

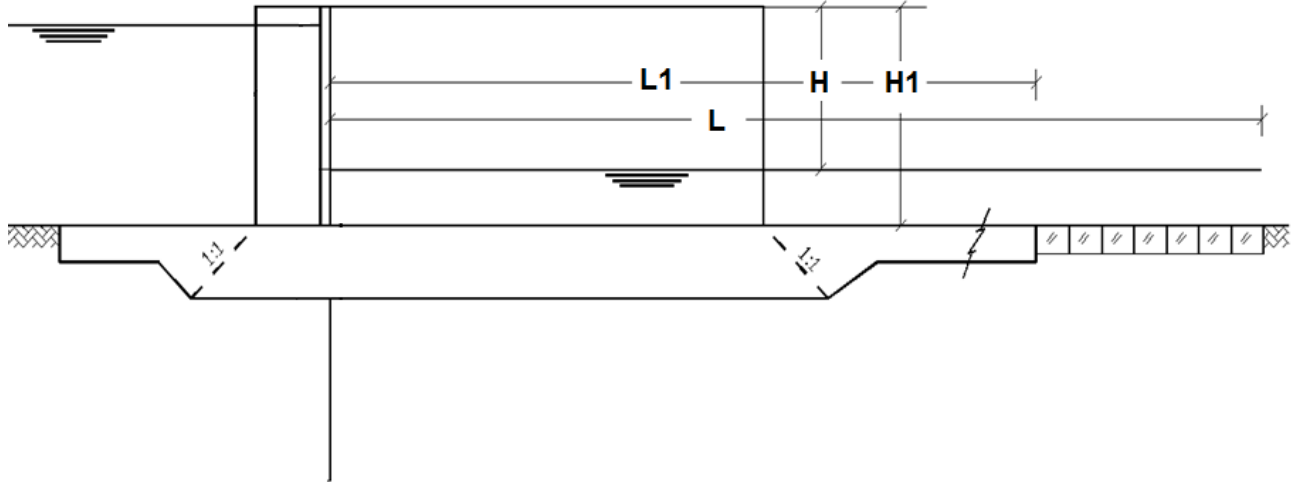
q = معدل التدفق على وحدة الطول من القمة

ثانياً: للقناطر:

كما هو مبين بالشكل (16-1) بإستخدام المعادلتين التاليتين:

$$L = 4.50 C_B \sqrt{H/4.50} \sqrt{q/7} \quad (1-15)$$

$$L_1 = 2.10 C_B \sqrt{H_1/3.90} \quad (1-16)$$



شكل (16-1): طول الفرش اللازم لمقاومة النحر في حالة القناطر

حيث:

L = الطول الكلي للفرش مضافاً إليه طول أعمال الوقاية الخلفية كالكتل الخرسانية والتكسيات

L_1 = طول الفرش

C_B = معامل بلاى للتسرب والمعطى فى الجدول (1-4)

H = السقوط بين قمة البوابة ومنسوب المياه بالخلف

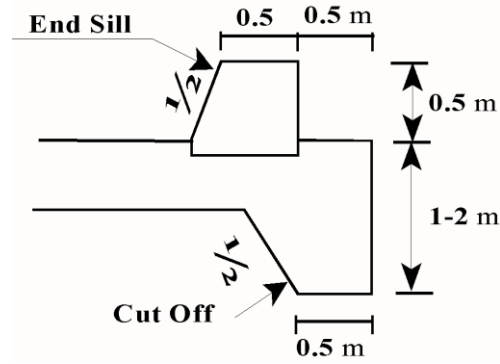
H_1 = المسافة بين قمة البوابة وسطح الفرش العلوى فى حالة الفروشات الأفقية

q = معدل التدفق على وحدة الطول من القمة

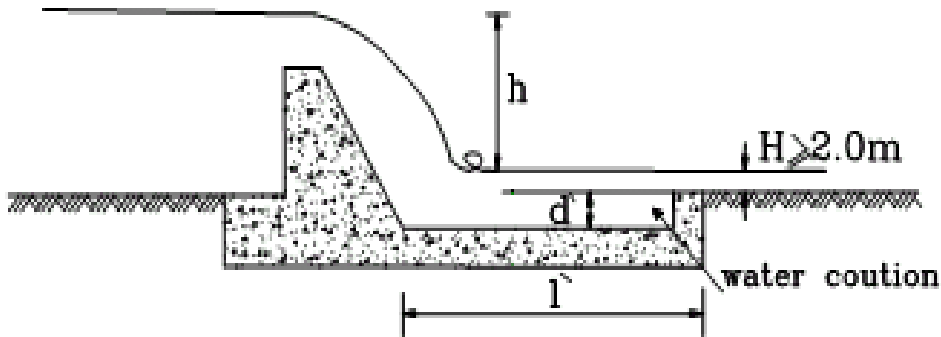
1-11-1 الوسائل المستخدمة للحماية من آثار الجرف الخلفى

يمكن لحماية القاع من آثار الجرف الخلفى إتباع أحد الوسائل الآتية :

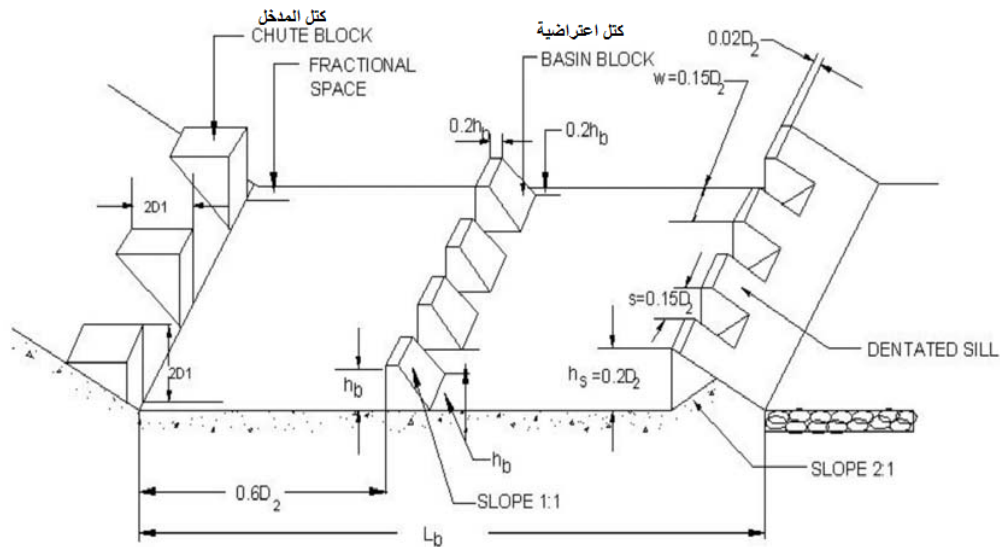
- إنشاء ضفيرة صغيرة End Sill بطرف فرش المنشأ من الخلف كما هو موضح بالشكل (17-1).
- خفض منسوب فرش المنشأ تحت منسوب القاع للمساعدة فى تكوين القفزة الهيدروليكية بالقرب من مقدمة المنشأ كما هو موضح بالشكل (18-1).
- إنشاء كتل إعتراضية وكتل المدخل والتي توضع عادة عند مدخل حوض التهدة، و تعمل على امتصاص أكبر قدر ممكن من طاقة الحركة للتيار الكاسح، كما أنها تعمل على رفع القذيفة إلى أعلا عند مرور معدلات التدفق الكبيرة وذلك من شأنه أن يساعد على اتخاذ طول اقتصادى للفرش كما هو موضح بالشكل (19-1).



شكل (17-1): الضفرة الخلفية بطرف فرش الهدار



شكل (18-1): خفض منسوب الفرش تحت منسوب القاع



شكل (19-1): منظور تخطيطي يبين شكل كتل المدخل والكتل الاعتراضية على الفرش

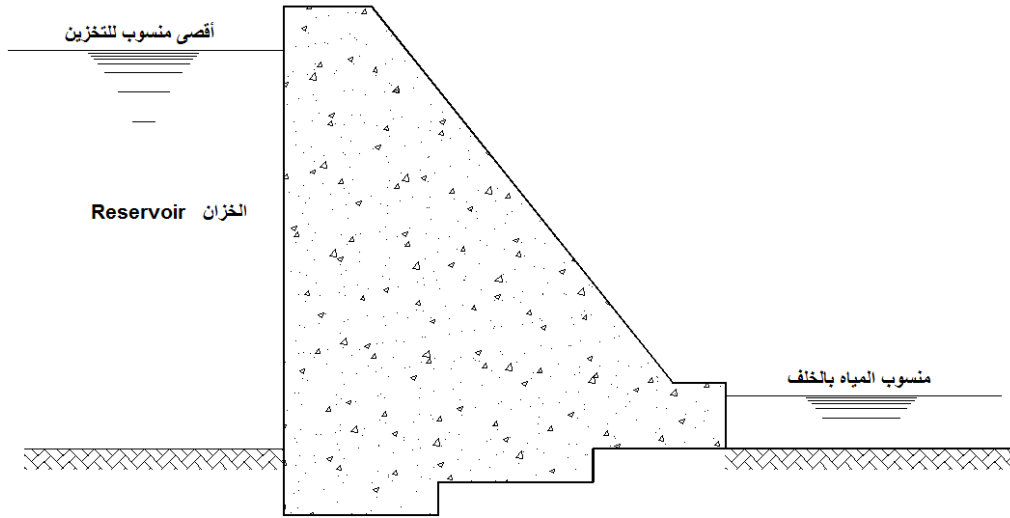
الفصل الثاني

السدود Dams

1-2 الغرض من إنشاء السدود

ترفع السدود منسوب المياه أمامها (شكل 1-2) بغرض :

التخزين لأغراض الري – الوقاية من أخطار الفيضانات – توليد الطاقة الكهربائية – تنظيم الملاحة الخ.



شكل (1-2): توضيح يبين التخزين أمام السد

2-2 تصنيف السدود

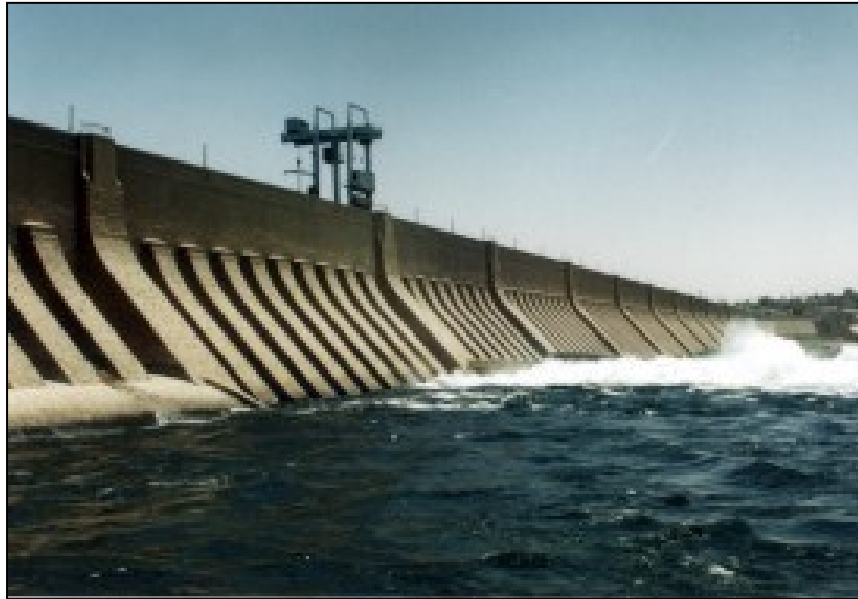
يمكن بصفة عامة تقسيم السدود الى خمسة أنماط :

ثقلية – عقدية – دعائمية – ترابية – ركامية.

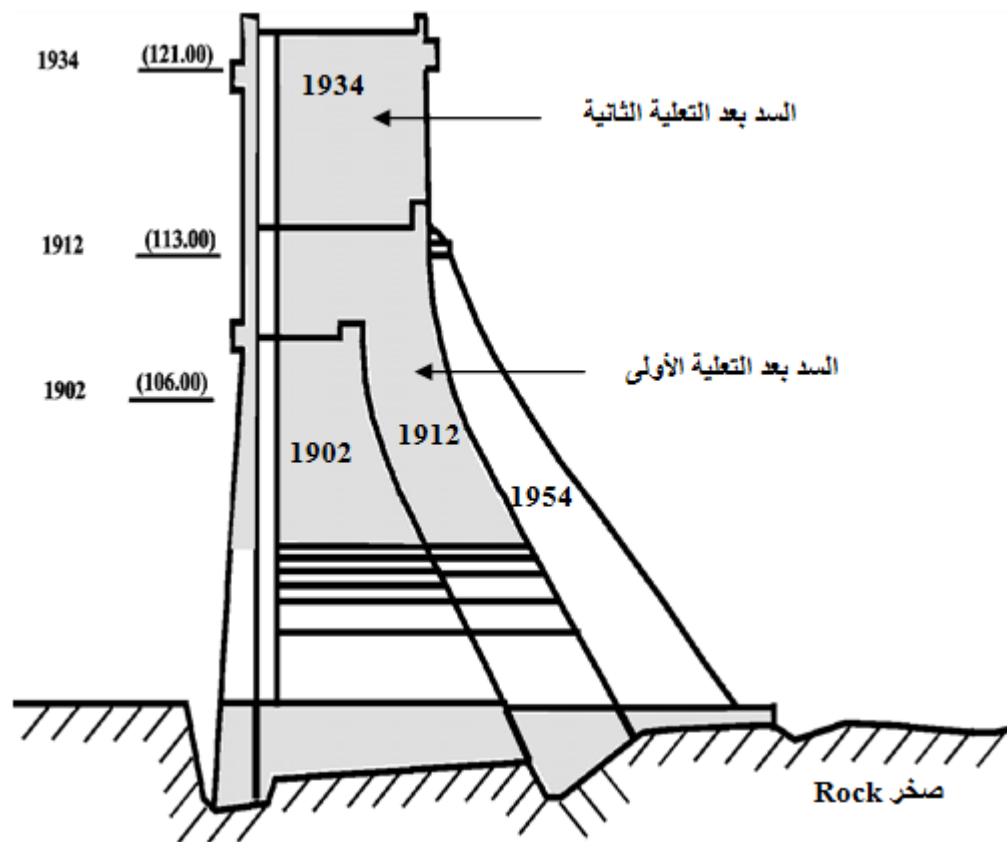
3-2 السدود الثقالية Gravity Dams

السد الثقالي Gravity dam هو سد مصمت من الخرسانة العادية أو المبانى مشكل بحيث يتكفل وزنه بضمان إتزانه ضد تأثير كل القوى المؤثرة عليه. وبالتالي فكلما زادت كثافة مادة بنائها كلما كان ذلك أدعى إلى استقرارها (أمكن فى بعض المشروعات الوصول بكثافة الخرسانة العادية المستعملة حوالى 2,50 طن / م³)، بشرط ألا يتعارض ذلك مع قدرة تربة الأساس على تحمل الأجهادات.

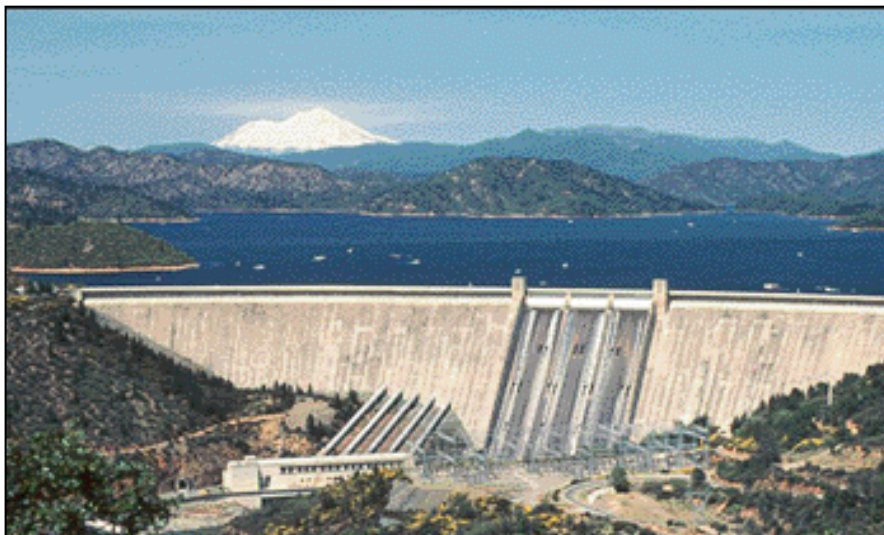
والأشكال من 2-2 إلى 5-2 تبين أمثلة مختلفة للسدود الثقالية فى أماكن متفرقة من العالم .



شكل (2-2) : سد أسوان (مصر)، ثقالي



شكل (3-2) : تطورات سعة سد أسوان وتعلياته المختلفة



شكل (4-2): سد شاستا، سد ثقالي بالولايات المتحدة الأمريكية



شكل (5-2): سد نوريس، سد ثقالي بالولايات المتحدة الأمريكية (1936)

1-3-2 القوى المؤثرة على السد Forces Acting On The dam

الشكل 6-2 يلخص أهم القوى التي من الممكن أن تؤثر على السد التثاقلي. وتشمل القوى الرئيسية المؤثرة على السدود التثاقلية:

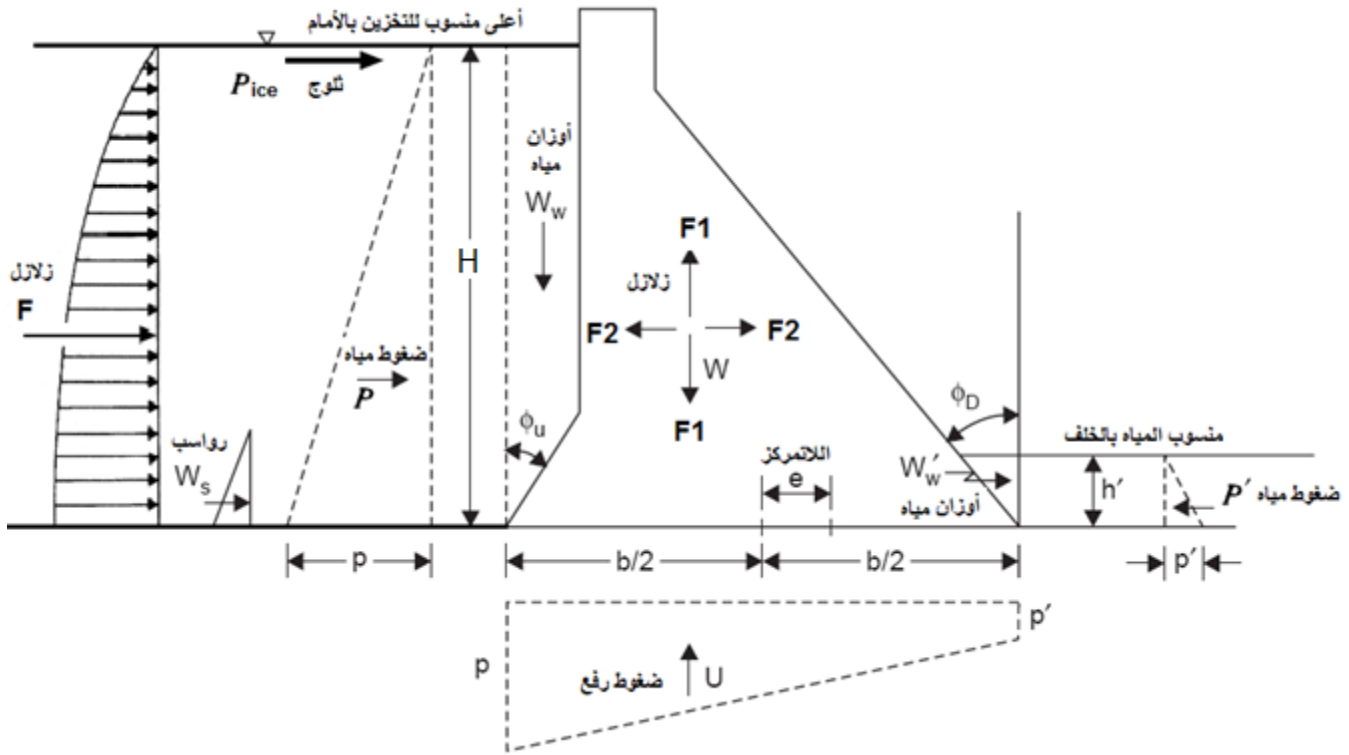
1- الضغوط الجانبية للمياه Water Pressures

2- ضغوط الرفع Uplift Pressures

3- قوى الزلازل Earthquake Forces

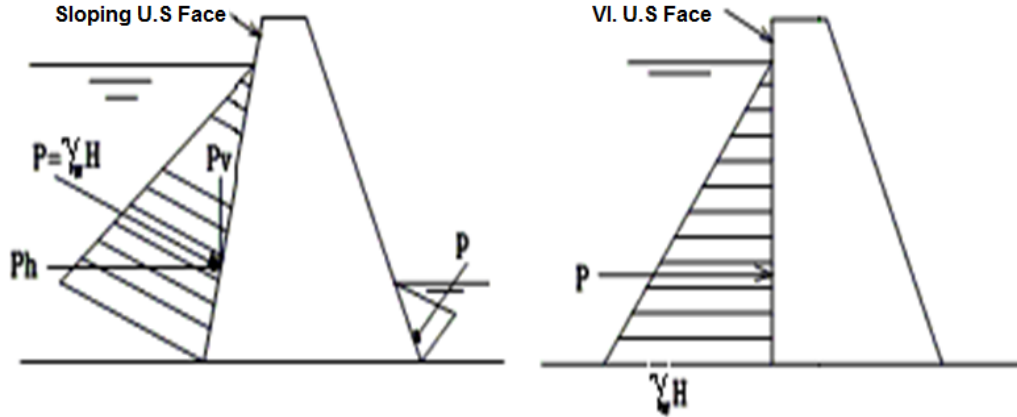
4- ضغط المواد المترسبة Silt Pressure

5- ضغط الثلوج Ice Pressure



شكل (6-2): اصطلاحى يبين أهم القوى التي تؤثر على السد التثاقلي

1-1-3-2 Water Pressures الضغوط الجانبية للمياه



شكل (7-2) : تأثير الضغوط الجانبية للمياه على استقرار جسم السد التثاقلي

إن شدة ضغط المياه (P) يمكن كتابتها على النحو التالي :

$$P = \frac{\gamma_w \cdot H^2}{2} \quad (2-1)$$

حيث :

γ_w = الوزن النوعي للمياه.

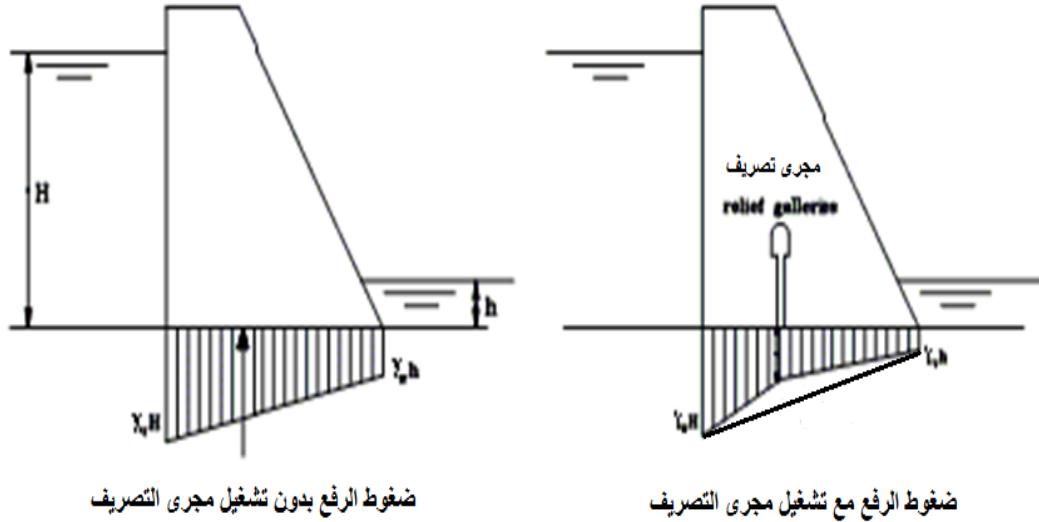
H = عمق المياه من السطح حتى قاعدة السد.

وتؤثر القوة P على ارتفاع $H/3$ فوق منسوب القاعدة (شكل 7-2).

2-1-3-2 Uplift Pressures الضغوط الرافعة

وتحدث تلك الضغوط بسبب التسرب عند فواصل الإنشاء أو عند اتصال القاعدة بترية التأسيس، وتميل الضغوط الرافعة إلى التقليل من درجة استقرار الأجزاء من جسم السد التي تعلو المستويات الحادثة عندها تلك الضغوط (شكل 2-8).

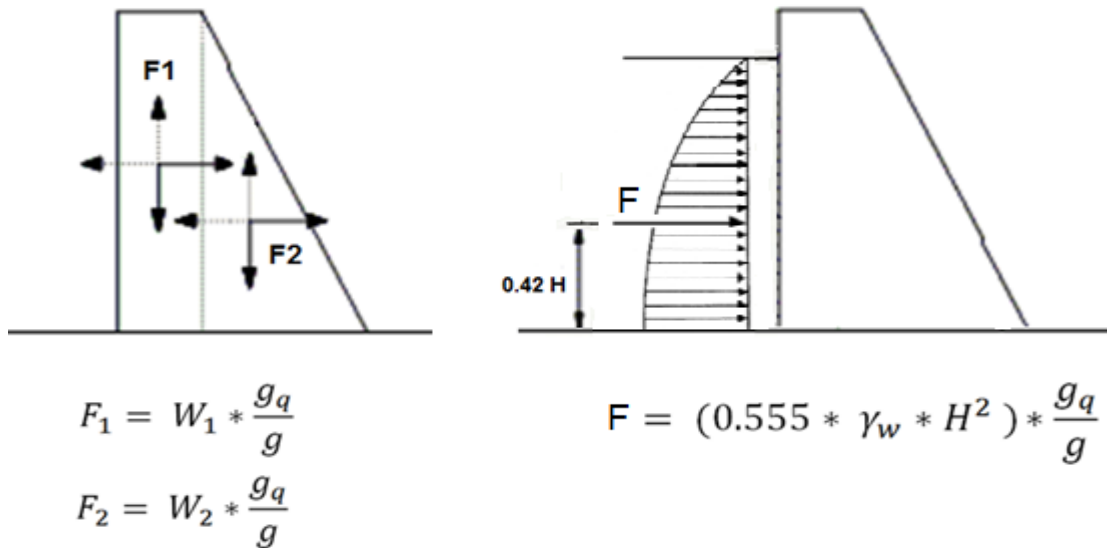
ويتأثر شكل توزيع الضغوط بطريقة الإنشاء وطريقة صرف مياه الرش، وكذلك مدى التلاحم بين جسم السد عند مستوى القاعدة وبين طبقة التأسيس، بحيث يمكن القول بأن توزيع الضغوط الرافعة قد لا يكون بالضرورة توزيعاً خطياً. وعلى قدر تفاوت تلك العوامل من موقع لآخر تتفاوت نسبة المساحة التي يفترض أن الضغوط الرافعة تؤثر عليها، وفي كثير من المشروعات تم افتراض تأثير الضغوط الرافعة على ثلثي المساحة الفعلية. ويبين الشكل 2-8 مثلاً مبسطاً لما يمكن أن يكون عليه توزيع الضغوط الرافعة نتيجة لتواجد نظام للصرف بجسم السد.



شكل (8-2): تأثير نظام الصرف بجسم السد على توزيع الضغوط الرافعة

3-1-3-2 قوى الزلازل Earthquake Forces:

الزلازل تحرك جسم السد بعجلة ما بين متر إلى مترين في الثانية المربعة في المعتاد، وحينما تكون الحركة إلى أعلا فإن معنى ذلك أن يقل وزن السد لحظياً أى أن درجة استقراره تقل، أما الحركة الأفقية حينما تكون في الاتجاه من أمام السد إلى خلفه فإنها تميل إلى جعل جسم السد ينقلب بالدوران حول المقدمة، فضلاً عن أنها تولد زيادة لحظية في الضغط الجانبي للمياه على الوجه الأمامي بما يؤدي إلى تقليل الاستقرار أيضاً (شكل 9-2).



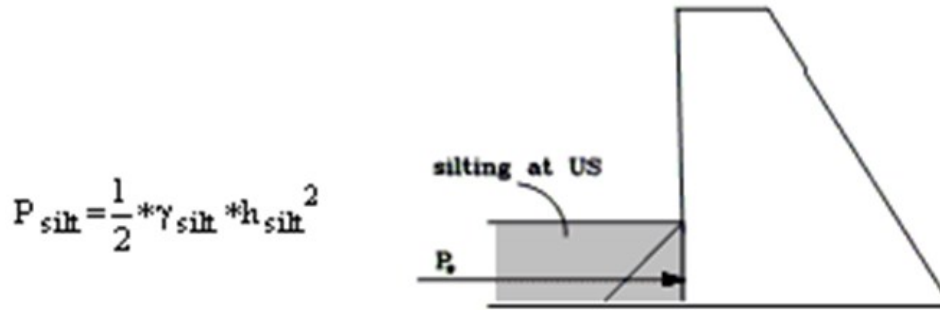
شكل (9-2): تأثير قوى الزلازل على استقرار جسم السد التثاقلي

حيث :

 F = القوة المعبرة عن الزيادة اللحظية في ضغط المياه. g_q = العجلة الأفقية للزلازل Earthquake acceleration. g = عجلة الجاذبية الأرضي Gravitational acceleration. γ_w = الوزن النوعي للمياه. H = عمق المياه من السطح إلى القاعدة.وتؤثر القوة F على ارتفاع $0.42 H$ فوق القاعدة.

4-1-3-2 ضغط المواد المترسبة Silt Pressure

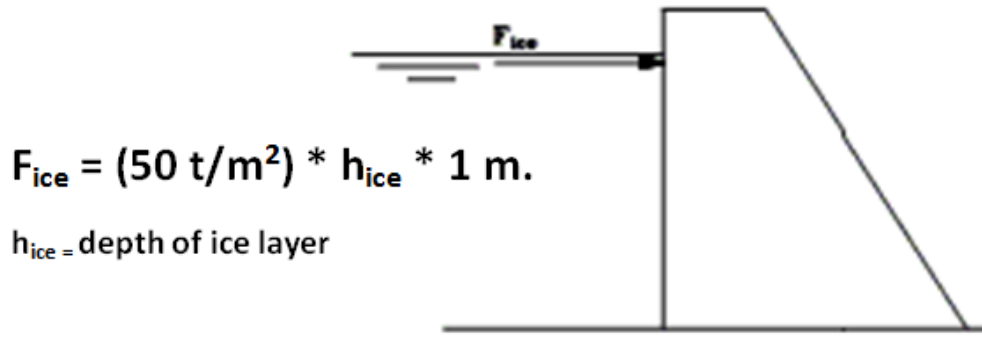
يمكن اعتبار المواد المترسبة امام السد كسائل كثيف يصل وزنه أحياناً γ_{silt} إلى أكثر من 1,50 طن للمتر المكعب (شكل 10-2)، ولا توجد حتى الآن طريقة قاطعة لتحديد مقدار أو خط تأثير تلك القوة ، الا أنه من المعتقد أن تأثيرها على استقرار السد يكون ضعيفاً طالما روعى في تصميمه معاملات الأمان الكافية.



شكل (10-2): تأثير ضغوط المواد المترسبة على استقرار جسم السد التناقلي

5-1-3-2 ضغط الثلوج Ice Pressure

ويراعى اعتباره في التصميم في المناطق الباردة ، ويؤخذ عادة حوالى 50 طن على المتر المسطح من مساحة التماس بين طبقة الجليد وجسم السد (شكل 11-2).



شكل (11-2): تأثير ضغوط الثلج على استقرار جسم السد الثقلي

2-3-2 الاستقرار وتحليل الاجهادات للسدود الثقالية

1-2-3-2 معامل الأمان من الانقلاب Overturning

معامل الأمان من الانقلاب (حول المقدمة) = العزوم المقاومة للانقلاب / العزوم المشجعة للانقلاب = 2 إلى 3

$$F.S.O. = \frac{\sum M_R}{\sum M_O} \quad (2-2)$$

حيث :

F.S.O. = معامل الأمان من الانقلاب Factor of Safety against Overturning. ويكون من 2-3

$\sum M_R$ = العزوم المقاومة للانقلاب حول المقدمة.

$\sum M_O$ = العزوم المشجعة على انقلاب حول المقدمة.

2-2-3-2 معامل الأمان من الانزلاق Sliding

$$F.S.S. = \frac{(\sum W - U) \cdot \mu + B \cdot q}{\sum H} \quad (2-3)$$

حيث :

F.S.S. = معامل الأمان من الانقلاب Factor of Safety against Sliding ويكون أكبر من 1.50

ΣW = محصلة القوى الرأسية عند المستوى موضع الدراسة.

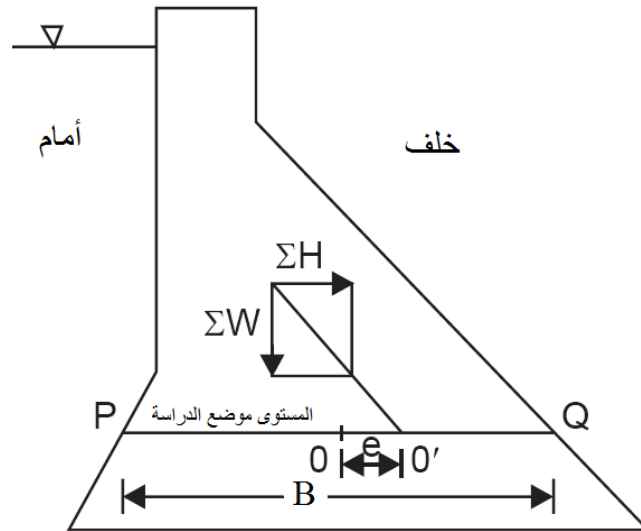
U = القوة الرافعة الكلية عند ذلك المستوى.

μ = معامل الاحتكاك الأستاتيكي .

B = اتساع جسم السد عند المستوى موضع الدراسة (شكل 2-12).

q = أقصى إجهاد قص يمكن ان تقاومة مادة جسم السد عند المستوى موضع الدراسة .

ΣH = محصلة القوى الأفقية عند ذلك المستوى .

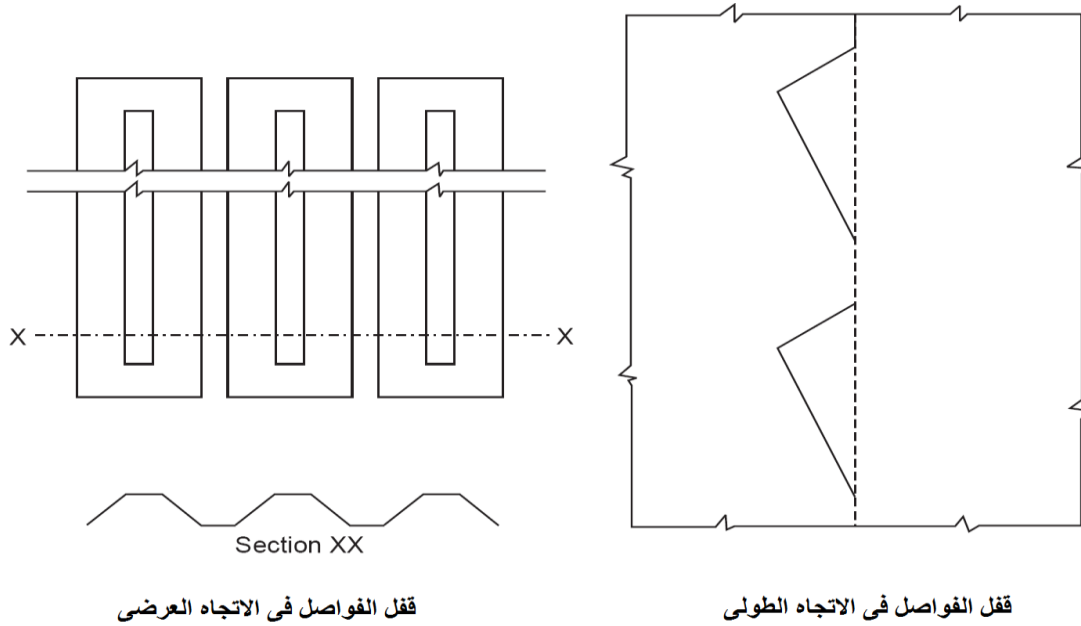


شكل (2-12): يبين مكونات المعادلة (2-3) لمعامل الأمان من الإنزلاق

ملاحظات:

- 1- الترابط الجيد بين جسم السد وصخور التأسيس وكذلك بين طبقات الخرسانة عند فواصل الإنشاء يزيد من معامل الأمان من الإنزلاق بدرجة ملموسة.
- 2- يلجأ أحياناً لزيادة معامل الأمان من الإنزلاق عند قاعدة السد إلى تشكيل صخور الأساس على شكل درجات تسهم في مقاومة الانزلاق (شكل 2-1) .
- 3- عموماً ينصح بعدم الاعتماد إلى درجة كبيرة بالقوة المقاومة للقص ($B.q$) التي تظهر بالمعادلة (2-3) إلا في حالة التأكد التام من توافر الظروف للترابط الجيد في أماكن فواصل الإنشاء ومن المعلوم أن مجرد صب الخرسانة فوق أسطح لم يراع تنظيفها جيداً يجعل ترابط الخرسانة مع تلك الأسطح ضعيفاً ، ولذا فمن المؤلف

تشكيل الخرسانة عند فاصل الإنشاء على شكل اللسان والمجرى، ويسمى ذلك " قفل الفواصل " لزيادة الأمان من الإنزلاق (شكل 2-13).



شكل (2-13): قفل الفواصل بطريقة اللسان والمجرى

3-2-3-2 التأكد من أن الإجهادات Stresses في الحدود المسموح بها :

الأرقام التالية خاصة بالسدود التناقلية المبنية بالخرسانة العادية:

$$f = \frac{\sum W}{B} \left(1 \pm \frac{6e}{B} \right) \quad (2-4)$$

حيث :

f = قيمة الإجهاد Stress عند المستوى موضع الدراسة.

$\sum W$ = محصلة القوى الرأسية عند المستوى موضع الدراسة.

B = اتساع جسم السد عند المستوى موضع الدراسة.

e = اللاتركز = مجموع العزوم / مجموع الوزان الرأسية.

- أقصى إجهاد مسموح به للضغط 40 كجم / سم²، ولايسمح بإجهادات الشد.

- أقصى إجهاد للقص من 7 إلى 14 كجم / سم².

الإجهادات الرئيسية وإجهادات القص على الأوجه المائلة :

من الشكل 14-2 :

بتحليل القوى رأسياً :

$$\sigma \cos \theta \cdot L \cos \theta = f \cdot L \quad (2-5)$$

$$\ast \sigma = f / \cos^2 \theta \quad (2-6)$$

وبالتحليل أفقياً :

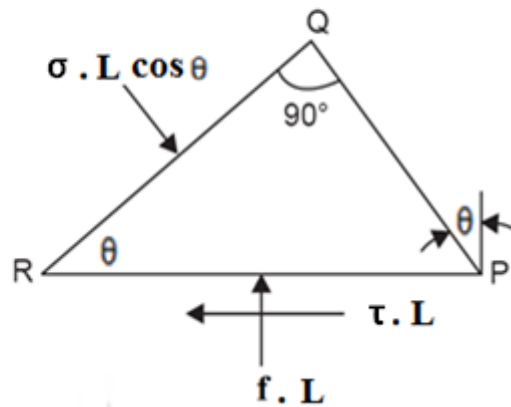
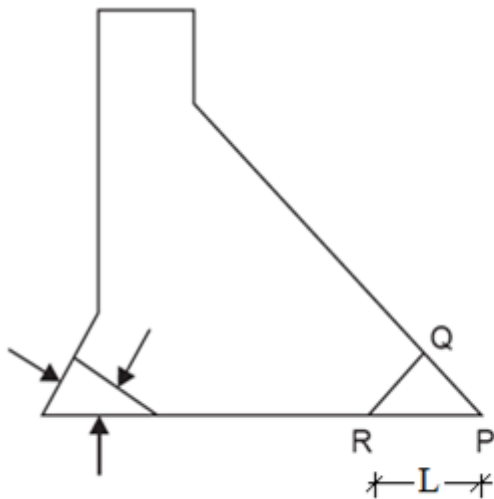
$$\sigma \sin \theta \cdot L \cos \theta = \tau \cdot L \quad (2-7)$$

$$\ast (f / \cos^2 \theta) \sin \theta \cdot L \cos \theta = \tau \cdot L \quad (2-8)$$

ومنها :

$$\ast \tau = f \tan \theta \quad (2-9)$$

وتعريف الرموز كما يلي :

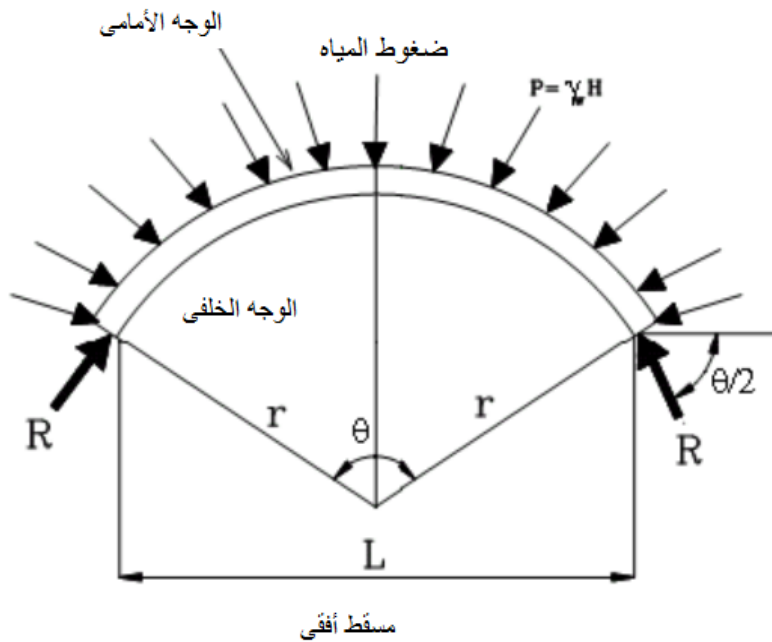
 σ = الإجهاد الرئيسي Principle stress. f = الإجهاد العمودي Normal stress. τ = إجهاد القص Shear stress.

شكل (14-2): الإجهادات الرئيسية وإجهادات القص عند نقطة على الوجه المائل

4-2 السدود العقدية Arch Dams

يكون السد العقدى Arch dam منحنى فى المسقط الأفقى وينقل معظم أحمال المياه أفقيا إلى الأكتاف Abutments عن طريق التأثير العقدى Arch action (شكل 15-2). ولمواجهة قوة الدفع المتولدة من ضغط المياه فإنه يجب أن تكون الحوائط الجانبية للوادي أو الأخدود قوية وقادرة على مقاومة قوى الدفع. ومعظم السدود العقدية التى تم إنشائها فى القرن الأخير كانت من الخرسانة ويعطى الجدول (1-2) أبعاد لبعض السدود العقدية فى دول مختلفة. ويكون قطاع الوادي مناسباً لإقامة سد عقدى إذا كانت نسبة طول السد عند القمة إلى أقصى إرتفاع للسد لا تزيد عن 5.

كما أن الأشكال من 16-2 إلى 19-2 تعطى بعض الأمثلة للسدود العقدية الموجودة فى دول مختلفة.



$$P = \gamma_w \cdot H(L)$$

$$L = 2r \cdot \sin \theta/2$$

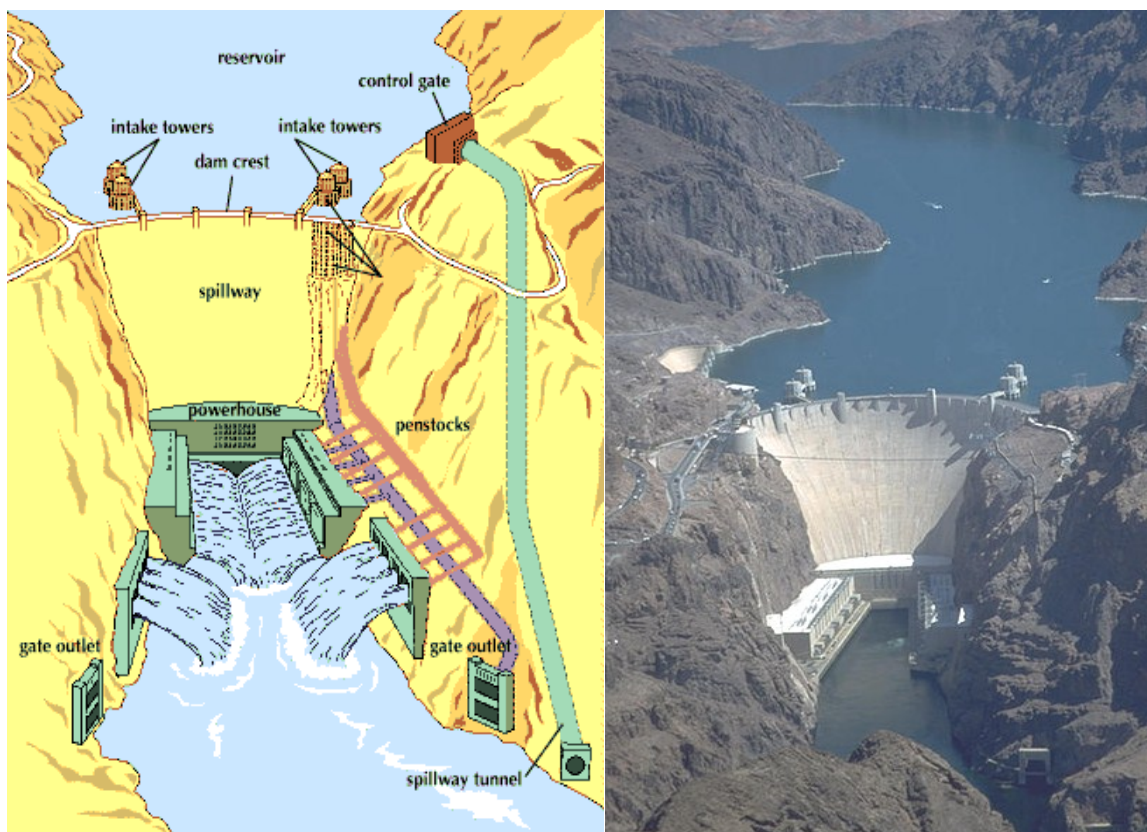
$$2 \cdot R \cdot \sin \theta/2 = 2 \cdot \gamma_w \cdot H \cdot r \cdot \sin \theta/2$$

$$R = \gamma_w \cdot H \cdot r$$

شكل (15-2): طريقة نقل الأحمال إلى الأكتاف فى السدود العقدية

جدول (1-2): أبعاد بعض السدود العنقودية

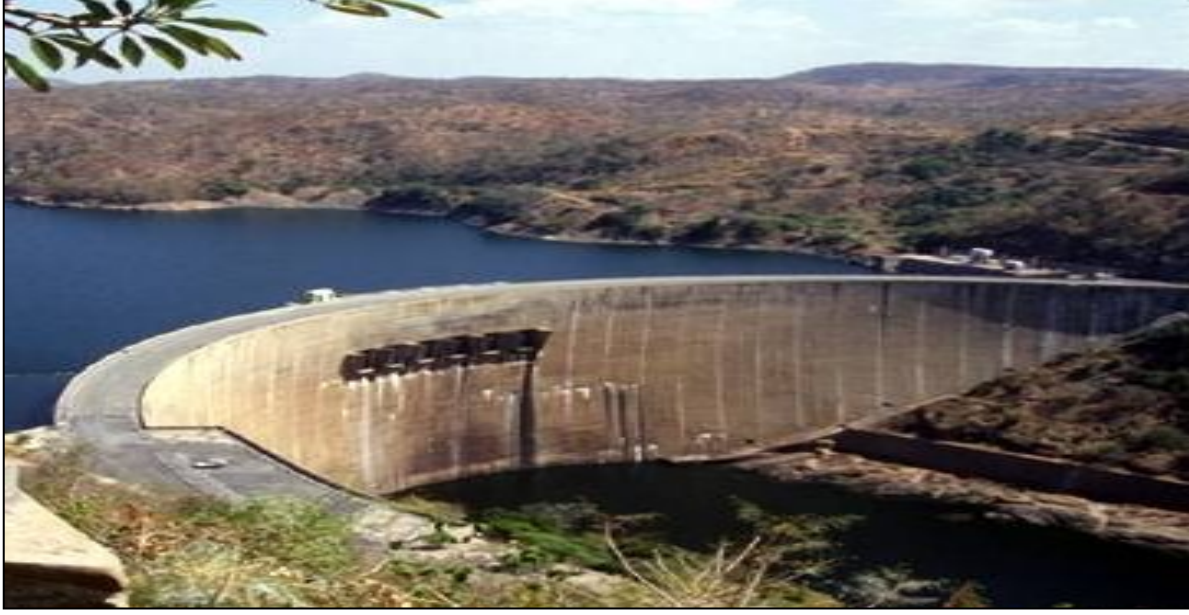
إسم السد	البلد أو الولاية	الإرتفاع (متر)	الطول (متر)	عرض السد عند القمة (متر)	عرض السد عند القاعدة (متر)	حجم السد (مكعب ١٠٠٠ متر)	نصف قطر العقد	سعة التخزين	سنة إتمام السد
Contra	Switzerland	230	380	660	8.65×10^7	1965
Hoover	(Ariz.-Nev.)	222	380	13.7	202	2485	Constant	3.84×10^{10}	1936
Glen Canyon	(Ariz.)	214	473	7.6	104	3700	Constant	3.46×10^{10}	1962
Kurobegawa No. 4	Japan	186	490	1365	2.00×10^8	1964
Tignes	France	181	376	635	Constant	2.30×10^8	1952
Vidraru	Romania	166	305	500	Constant	4.52×10^8	1965
Hungry Horse	(Mont.)	159	645	11.9	101	2220	Variable	4.32×10^9	1952
Bhumiphol	Thailand	154	486	1000	1.22×10^9	1964
Morrow Point	(Colo.)	143	230	3.7	16	275	Variable	1.44×10^8	1968
Owyhee	(Oreg.)	127	254	9.2	81	373	Constant	1.38×10^9	1932
Pacoima	(Calif.)	114	195	3.1	30	172	Variable	7.40×10^6	1928
Arrowrock	(Idaho)	107	350	4.9	68	442	Constant	3.52×10^8	1915
Morse Mesa	(Ariz.)	93	239	2.4	13	112	Variable	3.02×10^8	1927
Seminole	(Wyo.)	90	162	5.2	27	132	Constant	1.27×10^9	1939
Cachi	Costa Rica	87	70	25	5.30×10^7	1966
Shannon	(Wash.)	80	151	6.1	41	101	Constant	1.63×10^8	1926
Calderwood	(Tenn.)	70	248	7.6	15	305	Variable	4.20×10^7	1930



شكل (2-16): صورة ومخطط لسد هوفر بالولايات المتحدة الأمريكية



شكل (2-17): سد كاستيلو دي بود على نهر زيزير بالبرتغال



شكل (2-18): سد كاريبا، سد عقدي بزامبيا



شكل (2-19): سد مونتسيللو، سد عقدي بالولايات المتحدة الأمريكية

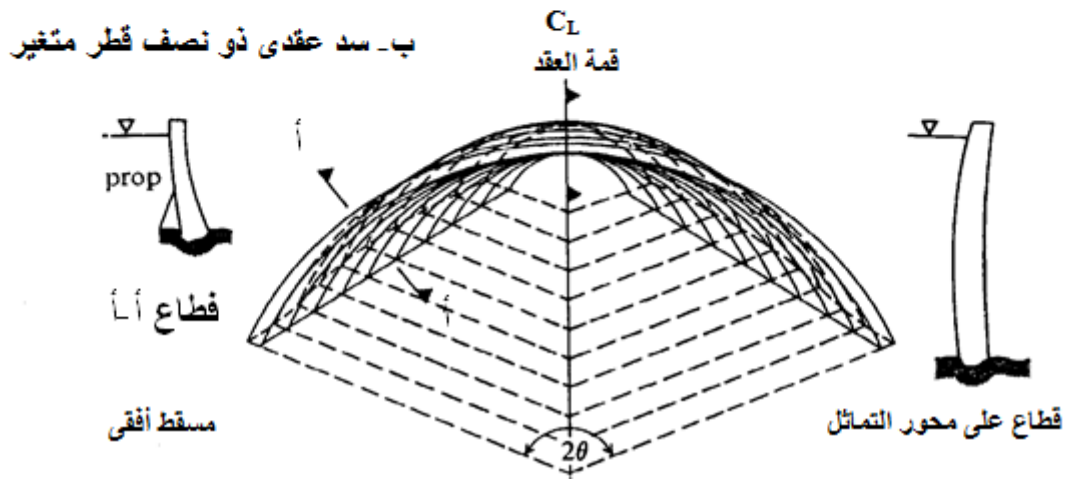
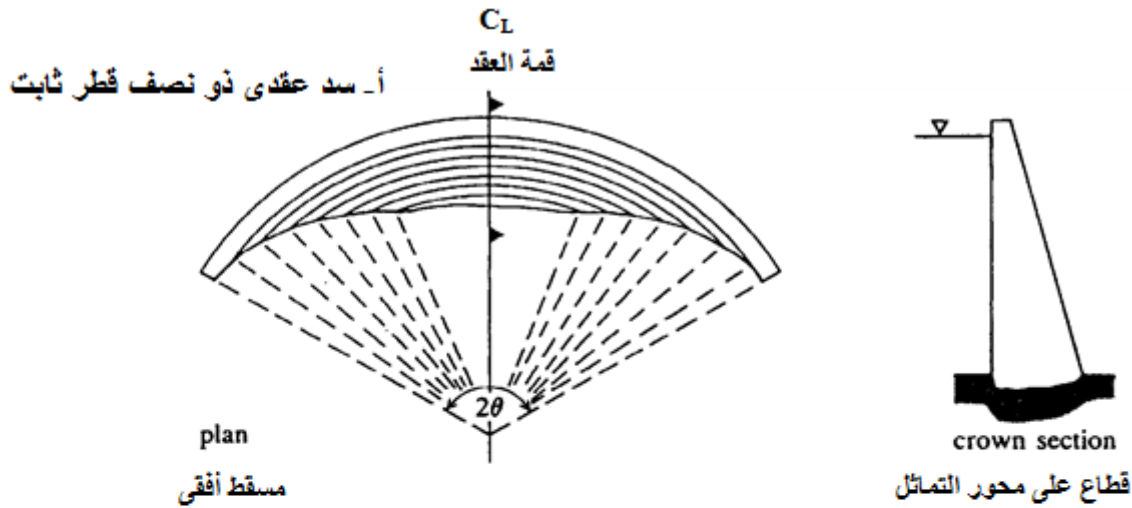
1-4-2 تصنيف السدود العقدية

أ – السدود ذات نصف القطر الثابت Constant radius dams

في هذا النوع يكون الوجه الأمامي رأسياً (شكل 20-2) وهو يصلح أساساً عندما يكون قطاع الأخدود ذا قطاع عريض نسبياً مثل حالة الأودية على شكل (U)، إذ يمكن الاحتفاظ في هذه الحالة بقيم متقاربة للزاوية المركزية عند كل مستويات السد.

ب – السدود ذات نصف القطر المتغير Variable radius dams

في هذا النمط يتناقص نصف القطر لكل من الوجه الأمامي والوجه الخلفي كلما اتجهنا نحو القاعدة، وبذلك تظل قيم الزاوية المركزية ثابتة بكامل ارتفاع السد بالرغم من تناقص طول وتر القوس الدائري بمعدل سريع في المسافة الرأسية بين القمة والقاعدة. ومن الواضح أن هذا النمط يتناسب تماماً مع الحالة التي يقترب فيها الأخدود من شكل (V)، وفي المسقط الأفقي تقع مراكز الأقواس على خط التماثل المار بالتاج كما هو مبين.

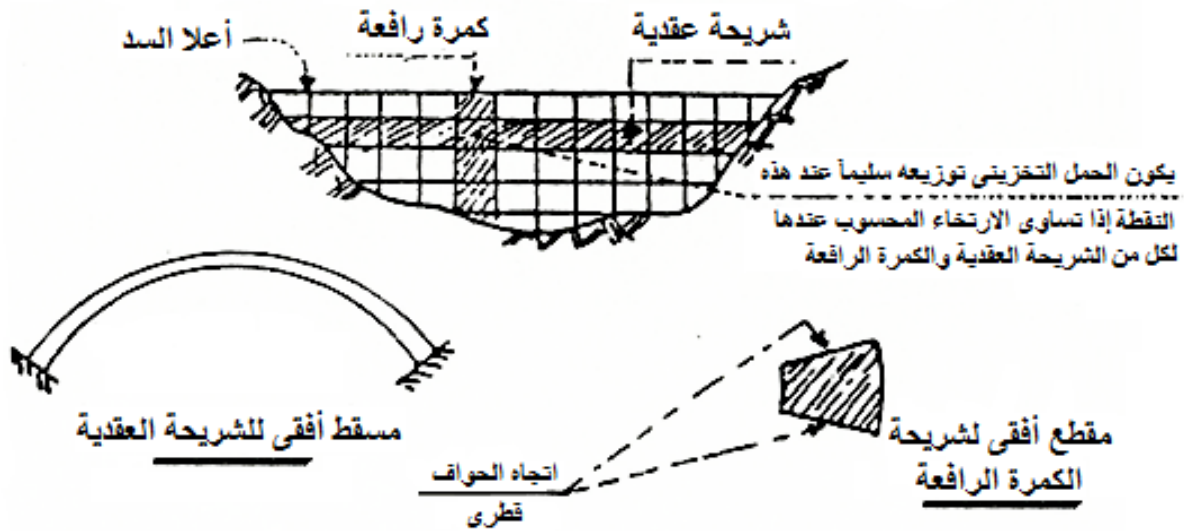


شكل (20-2): التشكيل الهندسي لسدود عقدية ذات خواص منحنيات مختلفة

2-4-2 الخطوط العامة للتصميم الإنشائي Structural Design

يقسم جسم السد إلى مجموعة من الشرائح العقدية تتقاطع معها مجموعة من الشرائح الرأسية كلا منها وكأنه كمر مرفرفة مثبتة بالقاعدة وطرفها الحر هو قمة السد وذلك على النحو المبين بالشكل 21-2.

عند كل خلية من خلايا الشبكة الناتجة عن التقسيم المذكور، يوزع حمل المياه بين الشريحة العقدية والكمرة المرفرفة بطريقة المحاولات المتتالية (تسمى هنا بطريقة الحمل التجريبي). ويكون توزيع الحمل صحيحاً حينما يكون الارتخاء المحسوب للشريحة العقدية مساوٍ للارتخاء المحسوب بالكمرة المرفرفة.



شكل (21-2) : الفكرة العامة لتصميم السد العنقدي

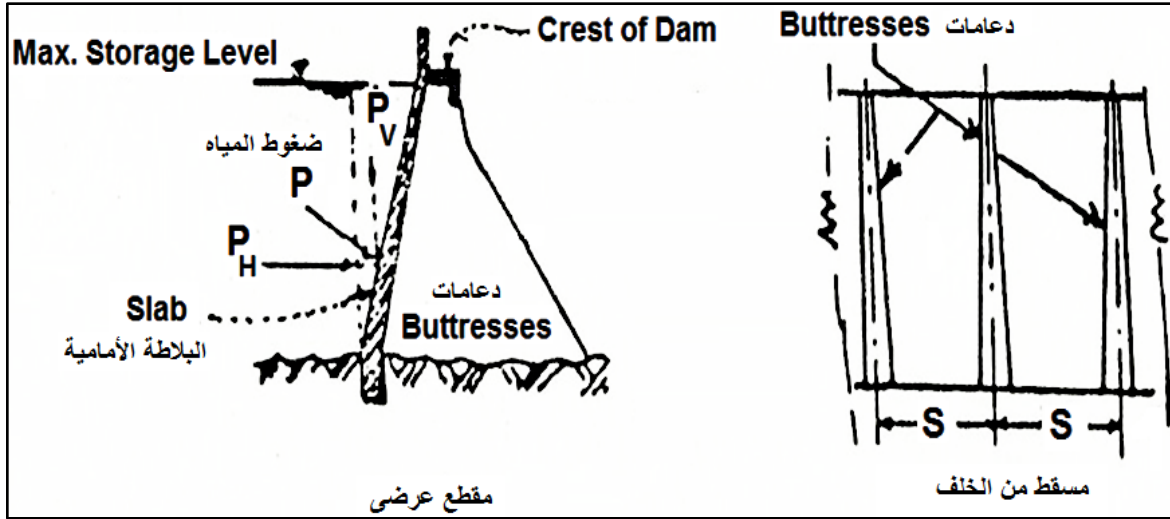
2-4-3 القوى المؤثرة على السد العنقدي

يضاف إلى ما سبق ذكره بالنسبة للسدود الثقالية Gravity dams الإجهادات التي تحدث بسبب التغير في درجات الحرارة، فبالنسبة لهذا النوع من السدود تعمل الزيادة في درجة الحرارة صيفاً على تحريك السد في اتجاه الأمام (ناحية الخزان) بينما شتاءً يعمل انخفاض درجات الحرارة على تحريكه ناحية الخلف، وبطبيعة الحال تكون الإجهادات الشتوية هي الأخطر من ناحية أنها تعمل على التقليل من استقرار جسم السد، لذا فإنه من المتبع في بناء السدود العقدية ألا يتم قفل العقد (أي استكمال جسم السد عند موقع تاج العقد) إلا وقت أقل معدل لدرجات الحرارة في فصل الشتاء وبعد التأكد من تمام تبديد الحرارة المنطلقة من الخرسانة نتيجة شك الأسمنت.

وبالنسبة للضغوط الرافعة Uplift pressures فغالباً ما تهمل لضأتها، أما ضغط الثلوج Ice presser فيمكن نقله إلى الأكتاف عن طريق التسليح الرأسى بالوجه الأمامى للسد.

5-2 السدود الدعائمية Buttress Dams

يتكون هذا النوع أساساً من بلاطة أمامية Slab ترتكز على دعائم خلفية Buttresses تكون عادة على مسافات متساوية، (شكل 2-22).



شكل (2-22) : شكل تخطيطي للسد الدعائمي

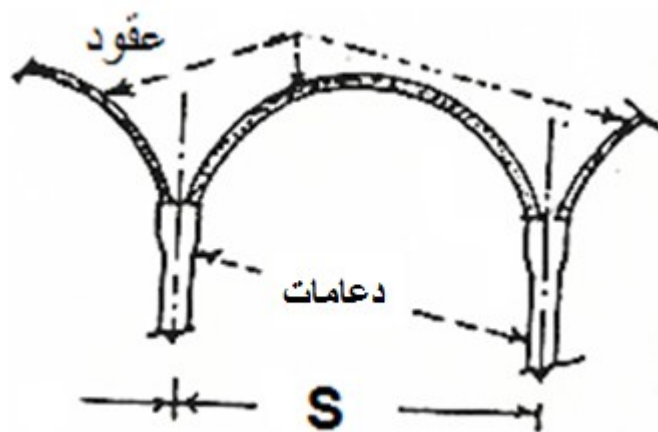
وأهم ما يتميز به السد الدعائمي هو الوفر الهائل في كميات الخرسانة المستعملة في بنائه وذلك إذا ما قورن بنظيرة التثاقلي، وذلك لأن حمل المياه على البلاطة الأمامية يوفر معامل أمان كبيرين من الانقلاب والإنزلاق.

1-5-2 أنماط السد الدعائمي

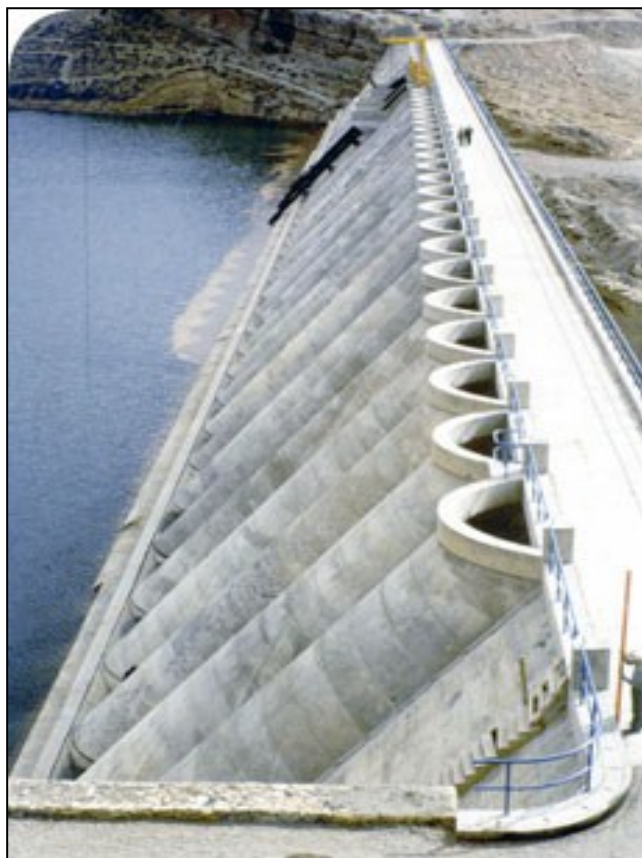
1-1-5-2 السد الدعائمي متعدد العقود Multiple-arch Buttress Dam

في هذا النمط يكون اتصال العقد بالدعامة اتصالاً صلباً يخلو من أي فواصل تمدد، لذلك يكون السبيل الوحيد لانتقال أحمال المياه إلى الأساسات هو عن طريق الدعائم فقط (شكل 2-23).

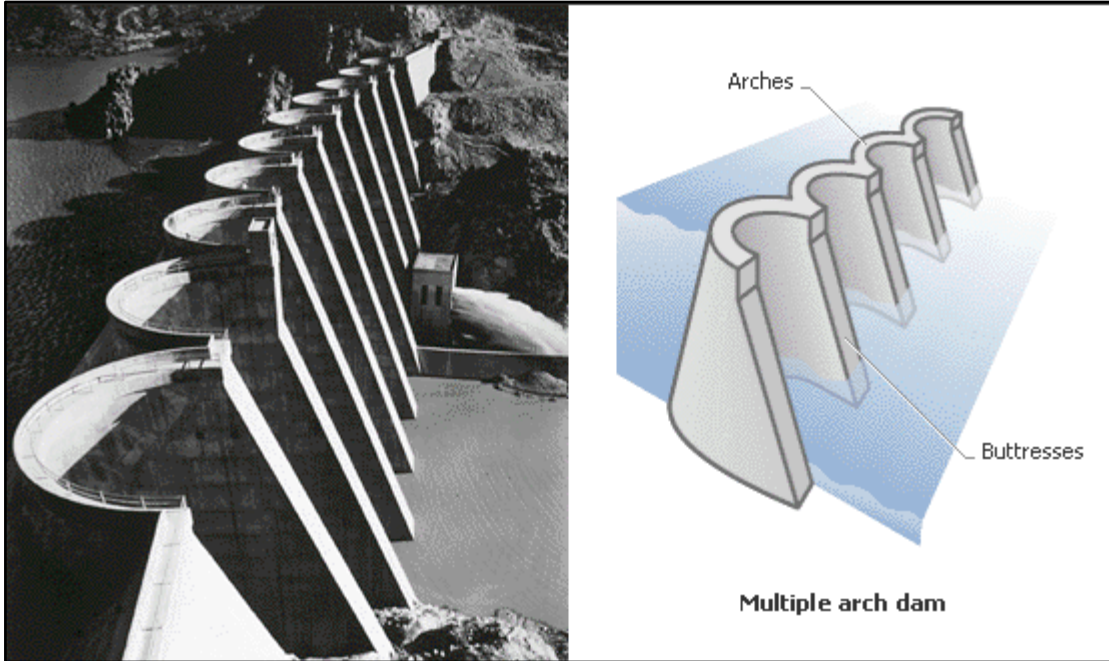
وتختلف ارتفاعات السدود المنفذة من هذا النوع ما بين 20 إلى 260 متراً ويبين الشكل 2-24 صورة لسد بني باهدل بالجزائر (أنشئ عام 1934). بينما يبين الشكل 2-25 صورة لأحد السدود الدعائمية متعددة العقود والمقام بالولايات المتحدة الأمريكية.



شكل (23-2) : مسقط افقى تخطيطى لسد دعامى متعدد العقود



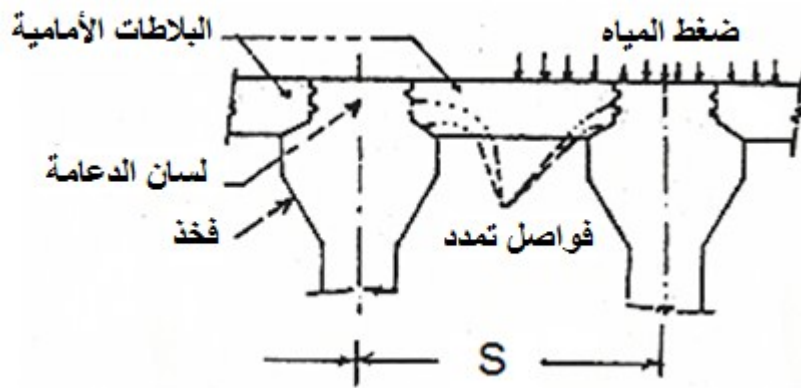
شكل (24-2) : سد بني باهدل بالجزائر، أنشئ عام 1934



شكل (25-2) : سد بارتليت، سد متعدد العقود بالولايات المتحدة الأمريكية

2-1-5-2 السد الدعائمي المرن Flexible Buttress Dam

وهو كما يبين الشكل 26-2 يتكون أساسا من بلاطات مسطحة تركز على الدعائم مع وجود فواصل تمدد. والأشكال 27-2 و 28-2 تبين بعض الأمثلة لهذه النوعية من السدود.



شكل (26-2) : فكرة السد الدعائمي المرن



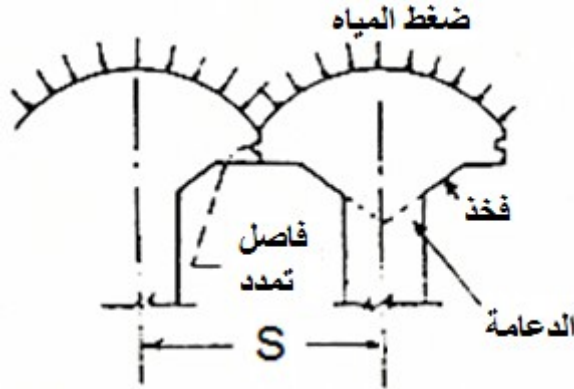
شكل (2-27): سد بني مطير (تونس)، سد دعائمي



شكل (2-28): سد تاهوي، سد دعائمي بالولايات المتحدة الأمريكية

3-1-5-2 السد الدعائى مستدير الرأس Rounded-head Buttress Dam

هذا النمط وسط بين الصلابة التامة التى يعطيها النوع متعدد العقود وبين المرونة التى يوفرها النمط المرن ببلاطاته المسطحة وفواصله (شكل 2-29)، وكما نلاحظ من الشكل يتمتع هذا الصنف بميزة أن حائطه الأمامى لا يتعرض لأى عزوم انحناء أو أى شد قطرى، ولكنه يتعرض لإجهادات ضغط بسيطة ليس إلا.



شكل (2-29): السد ذو الدعائم مستديرة الرأس

2-5-2 القوى المؤثرة على السد الدعائى

بالأشارة للشكل 2-30 يمكن استعراض القوى المؤثرة على السد الدعائى على النحو التالى:

1-2-5-2 ضغوط المياه Water Pressures

$$P_V \times L1 = \text{العزم المقاوم للانقلاب}$$

$$P_H \times L5 = \text{العزم المشجع للانقلاب}$$

2-2-5-2 الضغوط الرافعة Uplift Pressures

فى الأحوال العادية التى تكون فيها الدعائم ذات أساسات منفصلة تكون تلك القوى غالباً ضئيلة ويمكن إهمالها.

3-2-5-2 وزن السد

أ - وزن الدعامة (Wb) :

وينتقل للأساسات بالطريقة المعتادة .

ب - وزن البلاطة الأمامية (W_s)

توجد حالتان لنقل وزن البلاطة الأمامية للأساسات

أولاً: حالة الاتصال الصلب بين البلاطة والدعائم Rigid Connection

في هذه الحالة ينتقل وزن البلاطة إلى الأساسات من خلال الدعائم فقط :

$$W_b \times L_2 = \text{عزم الدعامة المقاوم للانقلاب}$$

$$W_s \times L_3 = \text{عزم البلاطة المقاوم للانقلاب}$$

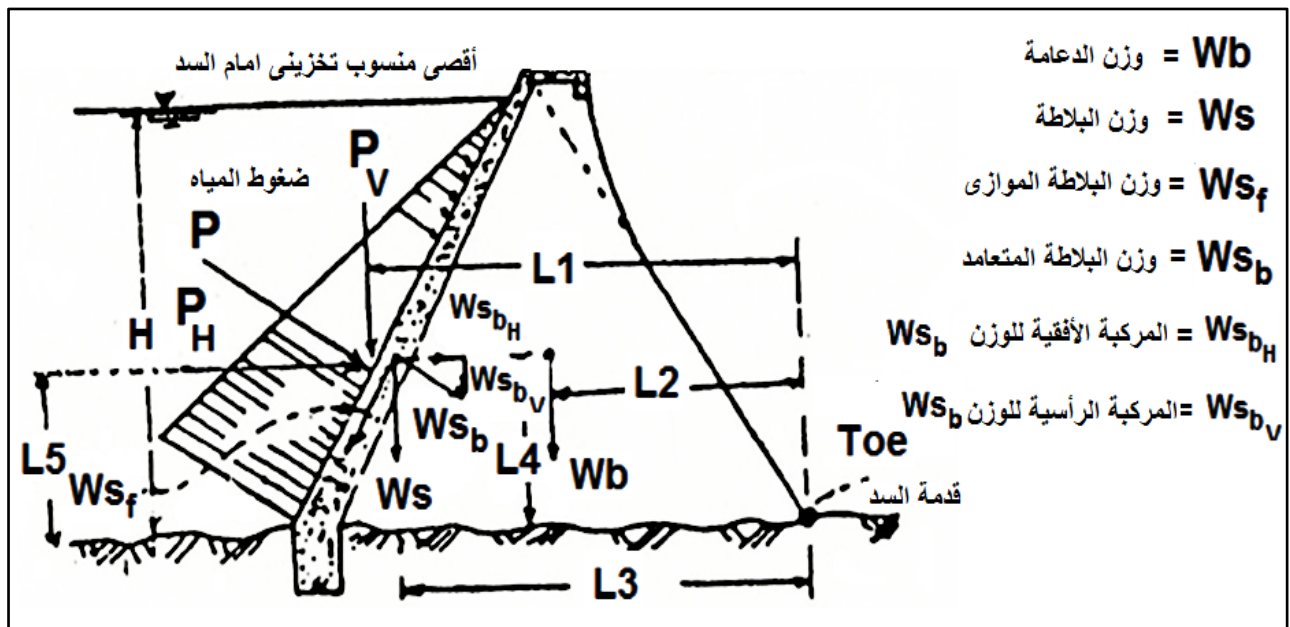
ثانياً: حالة الاتصال المرن بين البلاطة والدعائم Flexible connection

في هذه الحالة تكون مركبة W_s في اتجاه مواز للبلاطة وهي W_{sf} هي التي تنتقل مباشرة إلى الأساسات، أما المركبة العمودية W_{sb} فتنتقل عن طريق الدعامة ، وعلى ذلك :

$$W_b \times L_2 = \text{عزم الدعامة المقاوم للانقلاب}$$

$$W_{sbv} \times L_3 = \text{عزم البلاطة المقاوم للانقلاب}$$

$$W_{sbH} \times L_4 = \text{عزم البلاطة المشجع للانقلاب}$$



شكل (2-30): القوى المؤثرة على السد الدعائمي

4-2-5-2 ضغط المواد المترسبة Silt Pressure

يرجع إلى ما ذكر عند دراسة السدود التثاقلية.

5-2-5-2 ضغط الثلوج Ice Pressure

إذا كان ميل الوجه الأمامى للسد خفيفاً – وذلك هو الأعم – فإن مركبة قوة ضغط الجليد فى الاتجاه الموازى للبلاطة ومتجهة إلى اعلا سرعان ما تقوم بكسر طبقة الجليد نظراً لصالءة معامل الاحتكاك بين الثلج وجسم السد، وعلى ذلك تهمل قوة ضغط الثلج فى هذه الحالة.

6-2-5-2 قوى الزلازل Erthqueq Forces

من المعتاد زيادة حديد التسليح فى الدعامات لمجابهة الإجهادات الناجمة عن زلزال حوالى عشر عجلة الجاذبية الأرضية (أى حوالى 1 م/ث²).

6-2 السدود الترابية Earth Dams

تتكون السدود الترابية Earth Dams من تربة مناسبة تؤخذ من متارب محلية أو من ناتج حفر مناطق أخرى يتم نقلها ودمكها على طبقات بوسائل ميكانيكية فبعد تجهيز الأساس تنقل الأتربة المختارة وتنتشر على طبقات بسمك مناسب ويتم دمكها بهراسات من نوع أرجل الغنم أو بهراسات ثقيلة ذات عجلات مطاطية أو بزحافات إهتزازية أو بمعدات ضاغطة ولعل إحدى مميزات السدود الترابية إمكان إستخدامها فى الأساسات الرخوة ويوضح الشكل (2-31) بعض القطاعات للسدود الترابية يظهر بها المناطق المختلفة للردم وطرق التحكم فى الرشح. والأشكال 2-32 و 2-33 تبين بعض الأمثلة لهذه النوعية من السدود.

1-6-2 عوامل إختيار السدود الترابية والركامية

إن طبيعة الموقع هى التى تؤدى إلى إختيار سد ترابى أو سد ركامى من بين الأنواع المختلفة للسدود وتعتبر الظواهر التالية محفزة لإختيار السدود الردمية :

- 1- إتساع وادى المجرى.
- 2- عدم وجود أكتاف صخرية صلبة.
- 3- وجود أعماق كبيرة من التربة تغطى صخور القاع.
- 4- وجود نوعية ضعيفة من صخور القاع لا تلائم أحمال السدود الثقالية.
- 5- وجود وفرة من الطمى المناسب أو ركام الصخر.
- 6- وجود موقع جيد لمفيض بسعة كافية.

2-6-2 اعتبارات عامة

- 1- غير مسموح بفيضان المياه عبر أعلا السد الترابي، لذا يجب تصميم المفيض بسعة كافية لتفادى ذلك.
- 2- يراعى أن لا يقل عرض قمة السد عن 10 متر وبحيث يكون مناسباً لحركة المرور فوقه.
- 3- إبعاد مخارج المياه بعيداً بقدر الإمكان عن جسم السد.
- 4- إبعاد سطح المياه الراشحة خلال السد (خط الرش) للحيلولة بينه وبين أن يتقاطع مع الميل الخلفى للسد، وذلك بطرق فنية سيتم التعرض لها بإيجاز فيما يلى من فقرات.
- 5- تهدة المياه المنبعثة من المخارج إلى القناة الخلفية للحماية من الجرف الخلفى وذلك بإستعمال وسائل فنية مثل أحواض التهدة.

2-6-3 أسباب إنهيار السدود الترابية والركامية

تشير الإحصاءات المرتبطة بإنهيار السدود الترابية والركامية إلى أن ظاهرة الإنسكاب Over topping تمثل السبب الأعم لإنهيار السدود الردمية إذ تمثل 35 % تقريباً من مجمل الإنهيارات تليها الإنهيارات بسبب نخربة التربة Piping إذ تمثل 30 % من مجمل الإنهيارات وقد يرتبط ذلك بوجود مناطق سيئة الإنشاء كمناطق التلامس بين الردم والأكتاف أو بسبب تشققات ناشئة من إجهادات الشد التى فرضتها أعمال الردم أثناء العمل. وتشير الإحصاءات أيضاً إلى أن إنهيار السدود الردمية قد يحدث نتيجة التسرب أثناء أو عقب الإنشاء أو نتيجة لسحب المياه السريع من الخزان أو أثناء ملء الخزان عند بدء التشغيل.

2-6-4 الدراسات المطلوبة

- دراسة كمية التسرب خلال السد .
- دراسة استقرار السد كمنشأ .
- دراسة حماية الميول .



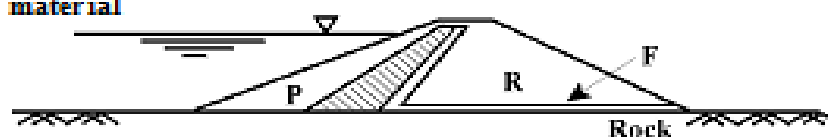
a. Homogeneous dam with internal drainage on impervious foundation

أ- سد متجانس مع طبقة صرف داخلي فوق أساسات منفذة



b. Central core dam on impervious foundation

ب- سد ذو نواة مركزية فوق أساسات غير منفذة



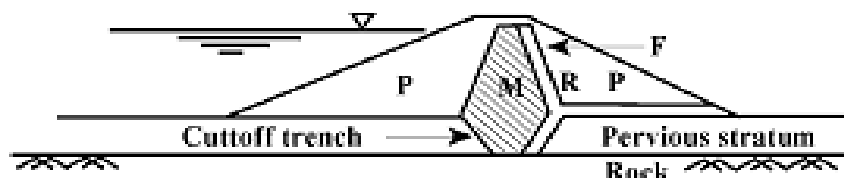
c. Inclined core dam on impervious foundation

ج- سد ذو نواة مائلة فوق أساسات غير منفذة



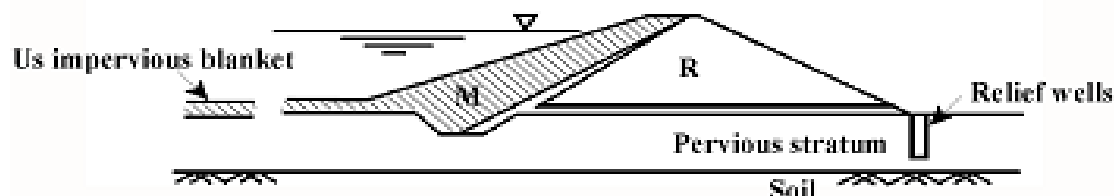
d. Homogeneous dam with internal drainage on pervious foundation

د- سد متجانس مع طبقة صرف داخلي فوق أساسات منفذة



e. Central core dam on pervious foundation

هـ- سد ذو نواة مركزية فوق أساسات منفذة



f. Dam with upstream impervious zone on pervious foundation

و- سد ذو منطقة أمامية غير منفذة فوق أساسات منفذة

شكل (2-31): أنواع مختلفة من السدود الترابية



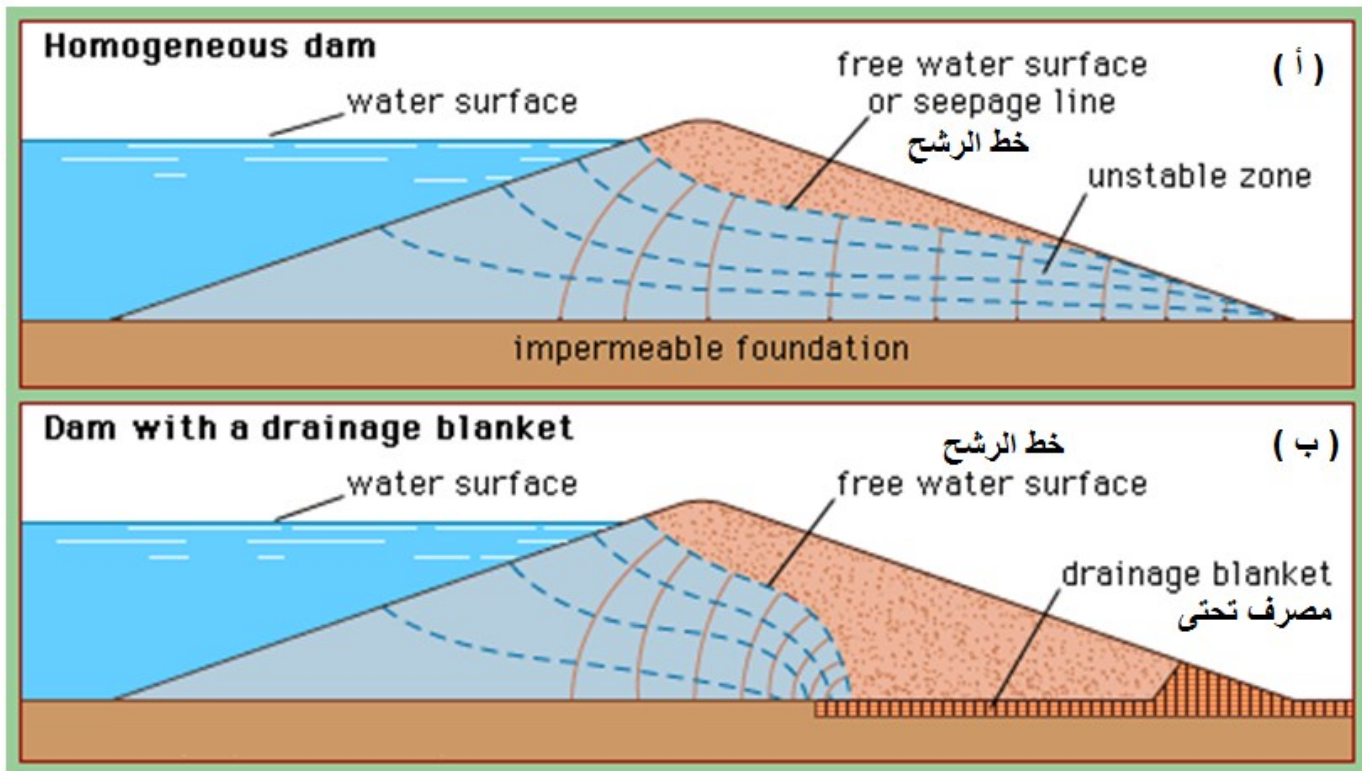
شكل (2-32): سد جاثرايت، سد ترابي بالولايات المتحدة الأمريكية



شكل (2-33): سد نيو واديل، سد ترابي

5-6-2 خط الرشح Seepage Line

خط الرشح Seepage line هو خط التدفق العلوى للمياه المتسربة خلال السد الترابى ، ويمكن تحديده مبدئياً عن طريق التحليل الهيدروليكي (انظر بعده) ، ويجب إبعاد هذا الخط عن الميل الخلفى للسد مع إعداد وسائل مناسبة للصرف حتى لا تتعرض مقدمة السد للانهييار معرضة بذلك استقرار السد كله للخطر. والشكل 2-34 يبين خط الرشح فى حالة عدم استخدام وسيلة مناسبة للصرف وحالة استخدام وسيلة للصرف أسفل السد.



شكل (2-34): (أ) خط الرشح فى حالة عدم استخدام وسيلة للصرف،

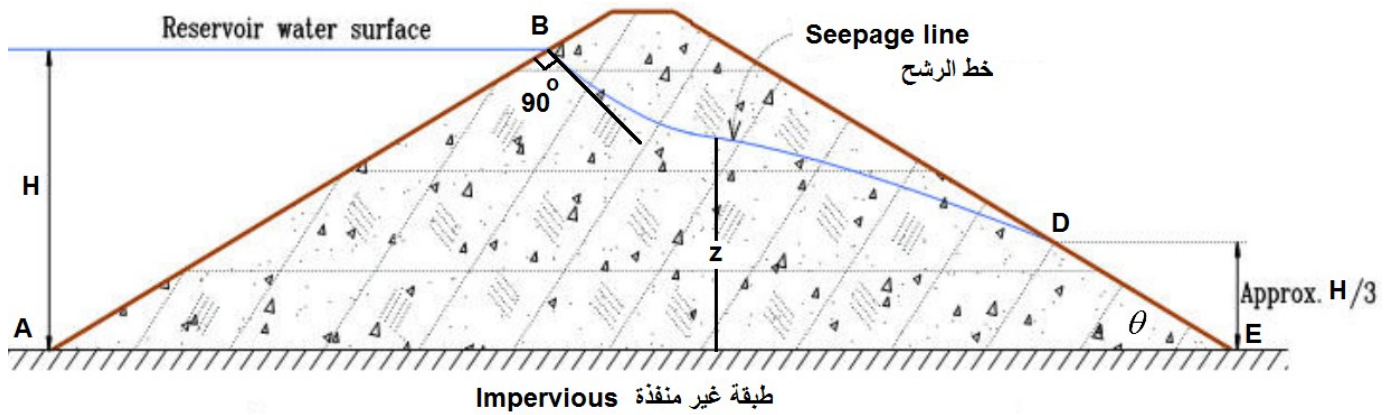
(ب) خط الرشح فى حالة استخدام وسيلة للصرف أسفل السد.

6-6-2 التصميم الهيدروليكي للسد الترابى Hydraulic Design

من الشكل (2-35) AE عبارة عن خط تدفق Stream line بينما AB خط جهد متساو Equipotential line ، أما BD فهو خط تدفق مطلوب تحديد مساره، غير أننا نعلم أن الضغط الواقع على السطح الحر للرشح (وهو السطح الذى يعطينا خط الرشح Seepage line مسقطه الرأسى) هو الضغط الجوى (الصفر المقياسى للضغط). وذلك يعنى ان الضغوط البيزومترى ϕ على امتداد خط الرشح BD قيمته دائماً مساوية لضغوط الوضع (z)، وعلى ذلك فإنه على امتداد خط الرشح تكون :

$$\phi = z$$

(2-10)



شكل (2-35): تخطيطي يبين خط الرش خلال سد ترابي متجانس

وعلى قاعدة صماء وبدون إعداد أى وسائل صرف

ومن أساسيات التدفق الجهدى ثنائى الأبعاد نعلم أن دالة الجهد لمجال جوفى هي $(\psi = K.\phi)$ ، حيث K هي معامل النفاذية ، وعلى ذلك :

عند النقطة B :

$$\psi = K.\phi \quad (2-11)$$

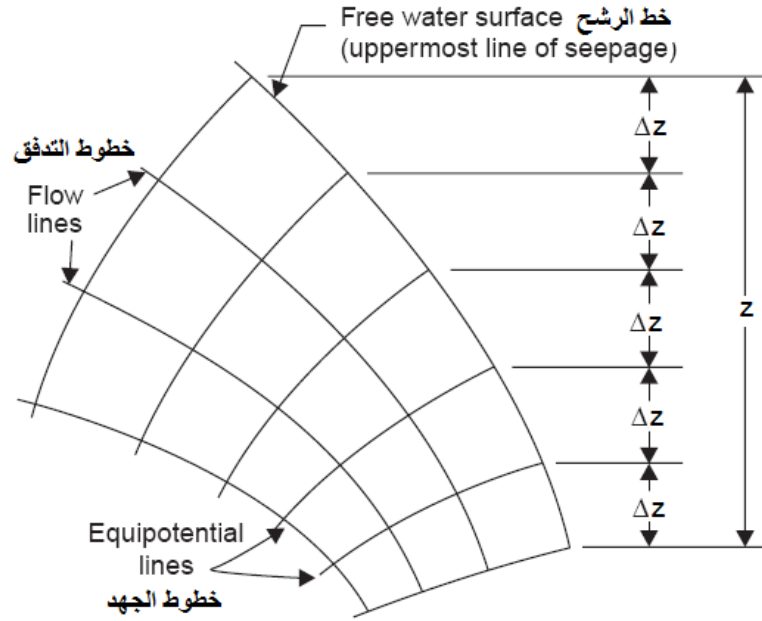
وعند أى نقطة على امتداد BD :

$$\psi = K.z \quad (2-12)$$

وعلى ذلك فمن (2-11) و (2-12) :

$$\Delta H = \Delta\psi/K = \Delta z \quad (2-13)$$

وحيث أن فروق الجهد على امتداد شبكة التدفق Flow net فى اتجاه التدفق تكون ثابتة، لذا فإن المعادلة (2-12) تعنى أن Δz تكون ثابتة أيضاً، وذلك يعنى بالتالى أن خط الرش يتقاطع مع خطوط الجهد المتساوى المتتالية عند أقسام رأسية متساوية Δz كما هو مبين بالشكل 2-36، وفى الحقيقة فإن تلك تعتبر سمة أساسية من سمات خط الرش تساعد كثيراً فى تحديد مساره.



شكل (36-2) : خط الرشح يقطع خطوط الجهد المتساوي على مسافات رأسية متساوية

7-6-2 بداية خط الرشح Upstream end of the seepage line

لما كان AB يمثل خط جهد متساو (شكل 35-2) فإن خط الرشح يكون عمودياً على AB عند B، ويستثنى من ذلك الحالة المبينة بالشكل 37-2 حيث يبدأ خط الترشح أفقياً عند B.



شكل (37-2): بداية خط الرشح في حالة عدم وجود قطاع من المواد الخشنة

8-6-2 نهاية خط الرش Downstream end of the seepage line

فى حالة السد الترابى المرتكز على طبقة صماء دون إعداد صرف تحتى وهى الحالة التى يمثلها الشكل 2-35، ينتهى خط الرش مماساً للميل الخلفى للسد (وهى الحالة التى تمثل من الناحية العملية مسار خط الرش خلال نواة السد إذ أنه يستحيل ترك خط الرش ليتقاطع مع الميل الخلفى كما سبق أن ذكرنا).

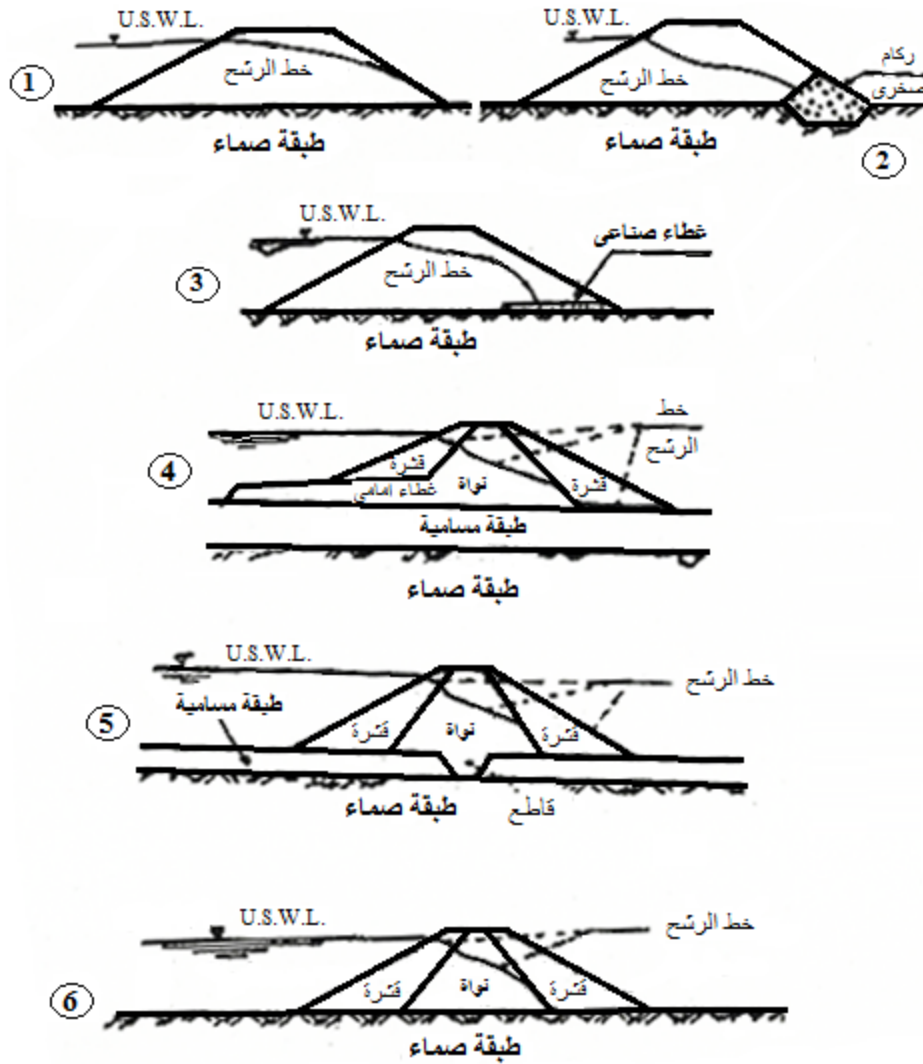
وفى حالة وجود قدمة من الركام الصخرى عند قدمة السد كما هو مبين بالشكل 2-38، فإن خط الرش يميل إلى الانتهاء عمودياً كما هو مبين.



شكل (2-38): انتهاء خط الرش عند قدمة من الركام الصخرى

9-6-2 أمثلة لأشكال خطوط الرش خلال السدود الترابية

يبين الشكل 2-39 أمثلة متنوعة للرشح خلال سدود ترابية تختلف تصميماتها والثلاثة الأخيرة منها مزودة بنواة صماء، وقد اصطلح على ألا تزيد النفاذية خلال النواة عن 0.10 من النفاذية خلال القشرة. وفى حالة بعد الطبقات الصماء عن قاعدة السد الترابى فغالباً ما يلجأ لتصميم القواطع (الستائر الرأسية) أو الأغشية الصماء (الستائر الأفقية) كما فى السدين 4 و 5 بالشكل.



(2-39): أمثلة مختلفة للرشح خلال السدود الترابية

10-6-2 تحديد خط الرشح Determination of The seepage Line

تناول بعض الباحثين طرقاً مختلفة تساعد في التحديد المبدئي لخط الرشح في حالات مبسطة للسد الترابي التي وإن كانت غالباً ما تبعد أحياناً عن الحالات الواقعية، إلا أنها تعتبر ذات قيمة بالنسبة للتصميم المبدئي، وسنستعرض فيما يلي حالتين من تلك الحالات :

أولاً: في حالة وجود صرف تحتى أفقى Horizontal Underdrainage Embankment

تتلخص طريقة كازاجراند Casagrand لهذه الحالة في:

- 1- يفترض في هذه الطريقة إمكان تقريب خط الرشح إلى قطع مكافئ تربيعي Square parabola بؤرته النقطة R (شكل 2-40) عدا جزء صغير يلي نقطة البداية B .
- 2- حدد النقطة P وتسمى نقطة البداية المعدلة، كما في الشكل، وهي نقطة على القطع المكافئ.

ثانياً : تحديد خط الرش خلال نواة السد الترابي (شكل 2-41)

فى هذه الحالة تتخذ قدمة النواة وهى النقطة E على الشكل البؤرة للقطع المكافئ ، وقد أعطى كازاجراند النقطة الحقيقية D التى يتقاطع فيها خط الرش مع الميل الخلفى للنواة عن طريق إيجاد المسافة $L = DE$ كما يلى:

$$L = \sqrt{X^2 + H^2} - \sqrt{X^2 - H^2 \cot^2 \theta} \quad (2-15)$$

وذلك لقيم $\theta = 90^\circ$ أو أقل .

حيث :

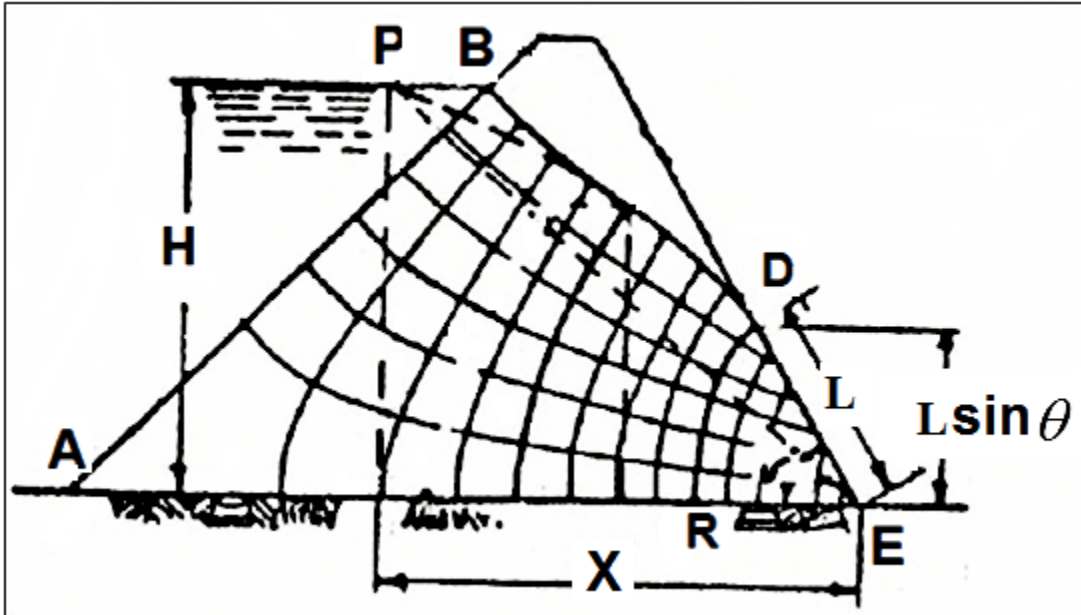
X = مسقط المسافة PE على القاعدة.

θ = زاوية قدمة النواة.

كذلك أعطى معدل التدفق على وحدة العرض q كما يلى :

$$q = K.L.\sin\theta \quad (2-16)$$

وذلك لقيم $\theta = 90^\circ$ أو أقل .



شكل (2-41): حالة انتهاء خط الرش على الميل الخلفى للنواة

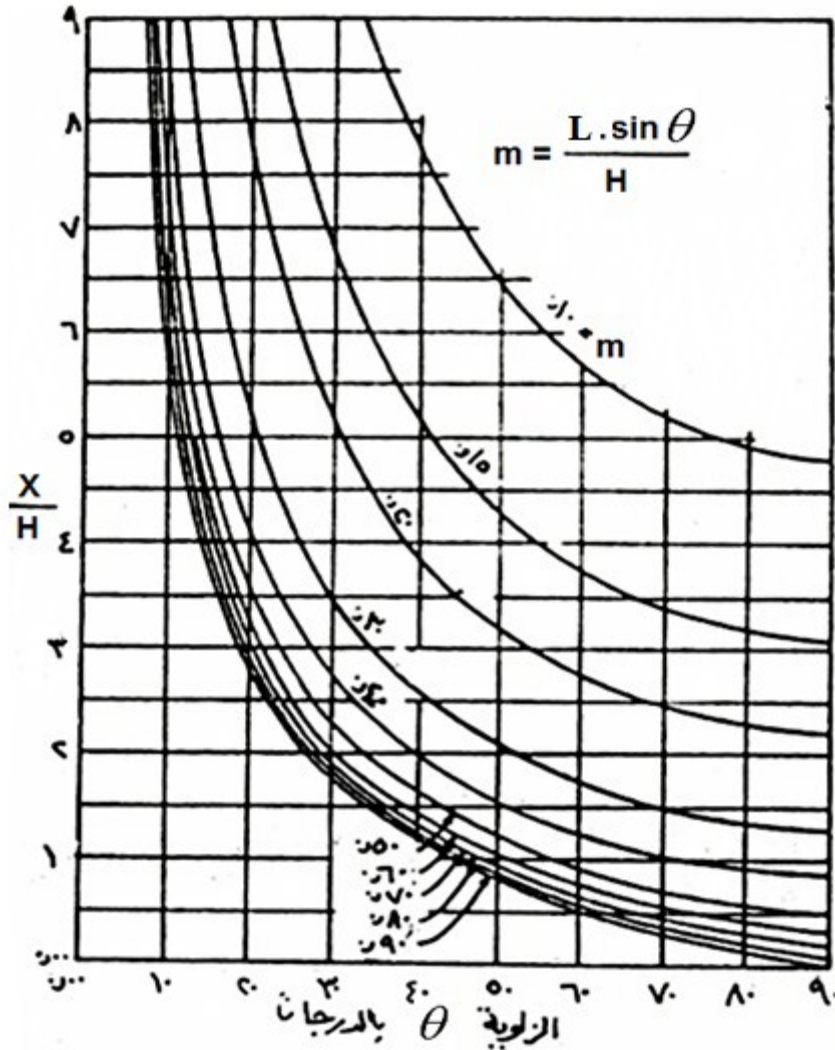
ولحساب q من شبكة التدفق لابد وأن نلاحظ أن شبكة التدفق الحقيقية تنتهي عند خط الجهد المتساوي DR (شكل 41-2) وأن الضاغط على هذا الجزء من الشبكة هو $(H - L \sin \theta)$ ، بحيث يكون :

$$q = K.(H - L \sin \theta).(N_f / N_d) \quad (2-17)$$

حيث :

N_f = عدد قنوات التدفق .

N_d = مرات سقوط الجهد بين AP, DR وقد أعطى جيلبوي Gilboy مجموعة المنحنيات بالشكل 42-2 لتسهيل حساب المسافة L على الميل الخلفي للنواة بدلالة النسبة (X/H) وزاوية القدمة θ للنواة.

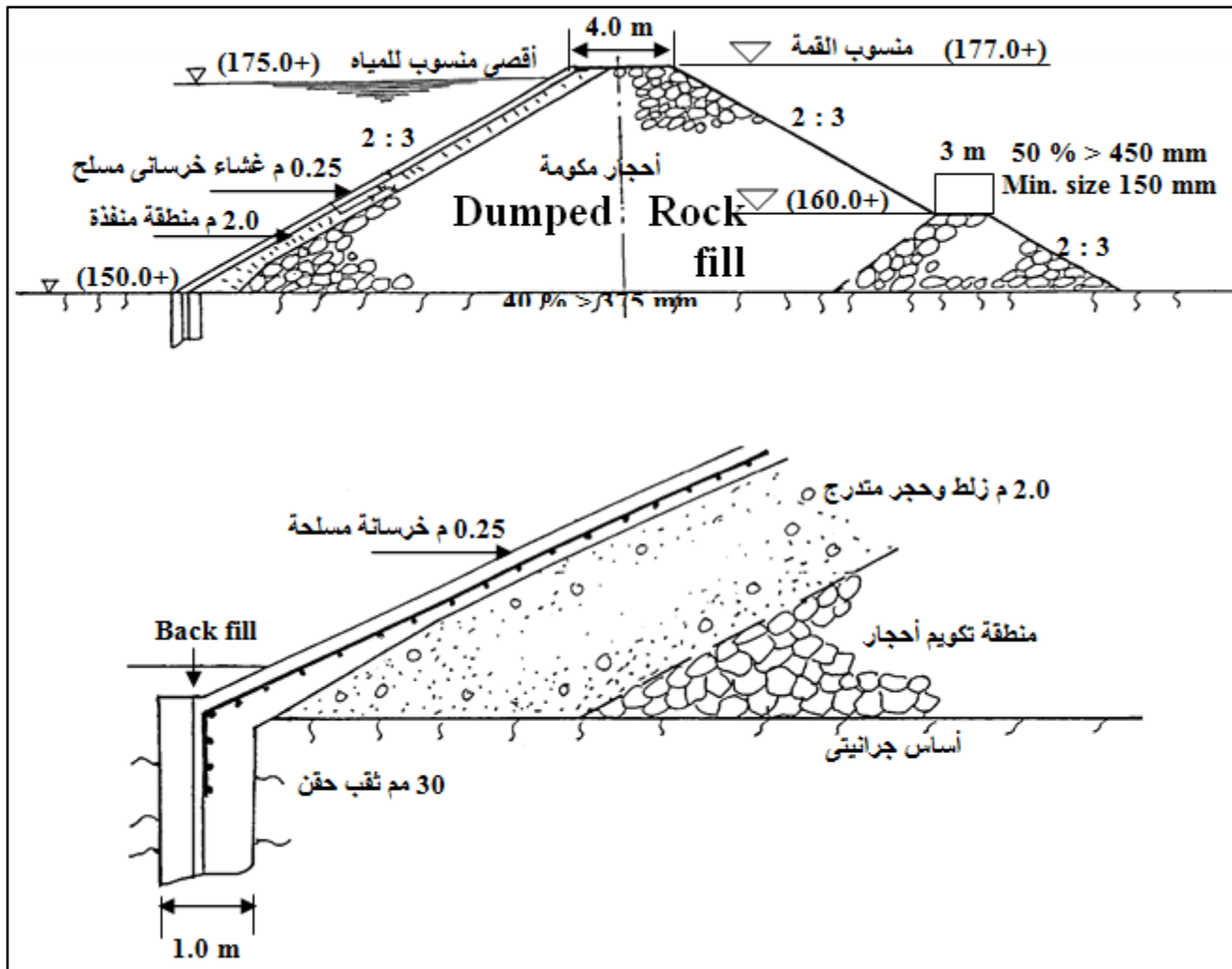


شكل (42-2) : حساب المسافة L على الميل الخلفي للنواة

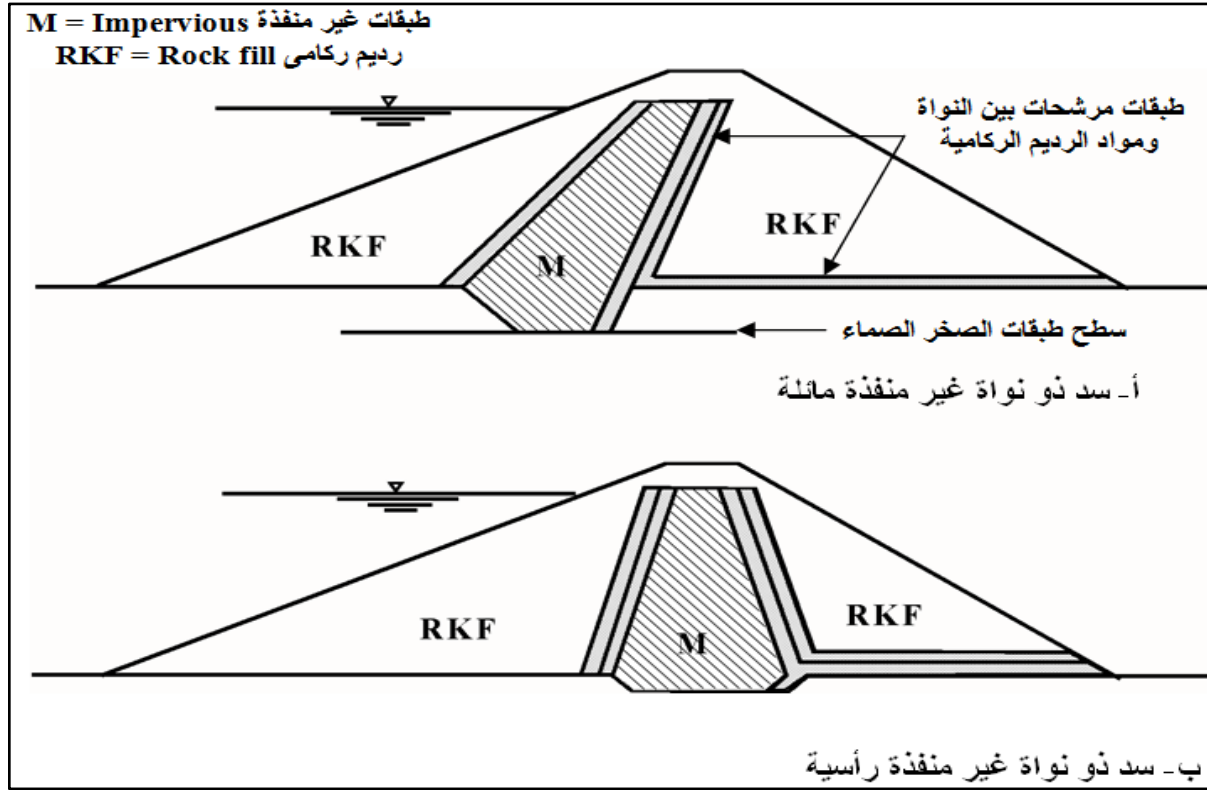
7-2 السدود الركامية Rockfill Dams

يتكون السد الركامي بصفة عامة من ركام الصخور سواء كانت منقولة عشوائيا أو مصفوفة على طبقات مع تزويد السد بغشاء أو طبقة غير منفذة للمياه تنشأ عادة إما على الميول الأمامية لسطح السد (شكل 2-43). أو داخل جسم السد على طول المحور (شكل 2-44) وتتكون مواد هذا الغشاء من أى من المواد الآتية :

- 1- السدود الركامية هي تلك السدود التي تعتمد على الأحجار الأتربة المضغوطة وغير المنفذة للمياه.
- 2- الخرسانة العادية أو الخرسانة المسلحة.
- 3- الخرسانة البيتومينية المكونة من خليط الرمل والبيتومين.
- 4- الستائر المعدنية.



شكل (2-43) : قطاع نموذجي لسد ركامي ذا غشاء خرساني في الأمام



شكل (2-44) : أمثلة لسدود ركامية ذات نواة غير منفذة

1-7-2 مميزات السدود الركامية

يعتبر إنشاء السدود الركامية إقتصاديا مقارنة بالأنواع الأخرى للسدود للأسباب وفي الحالات الآتية :

- 1- تعتبر السدود الخرسانية عالية التكاليف لإرتفاع تكاليف مكوناتها.
- 2- صعوبة توافر الأتربة المناسبة لإنشاء السدود الترابية.
- 3- تربة التأسيس للسدود الركامية عادة لا تصلح للسدود الثقيلة.
- 4- توافر الأحجار الجيدة المناسبة لإنشاء جسم السد وتوافرها بكميات كبيرة بالموقع.
- 5- لا تتأثر كثيرا بالقوى التي تنتج من الزلازل كما يحدث في حالة السدود التثاقلية.

2-7-2 متطلبات أساسية بالنسبة لإنشاء السدود الركامية

- 1- أن تكون الصخور عالية الصلابة وغير قابلة للتحلل في الماء .
- 2- يفصل المفيض بعيداً عن الركام .
- 3- أن تكون طبقة التأسيس عالية التحمل بالنسبة للإجهادات المتوقعة .
- 4- نختار الميول الأمامية والخلفية بكثير من التحفظ لتوفير مقاومة كافية في مجابهة الزلازل .
- 5- التأكد من الكثافة الكافية للركام الصخري وتلاصق الصخور مع بعضها بدرجة كافية، لذلك فإنه تضخ أنواع الرمال والزلط أو الطين خلال الركام وتسمى تلك العملية " تلبيس الصخور " .

والشكل 45-2 يبين مثال لأحد أكبر السدود الركامية وهو سد موهالى Mohale Dam والمقام على نهر سينكونيان Senqunyane river بمملكة ليسوتو (هي مملكة في داخل اتحاد جنوب أفريقيا).



شكل (45-2): سد موهالى Mohale Dam والمقام على نهر سينكونيان Senqunyane river

3-7-2 - السد العالي بأسوان ، (مصر) شكل (2-46)

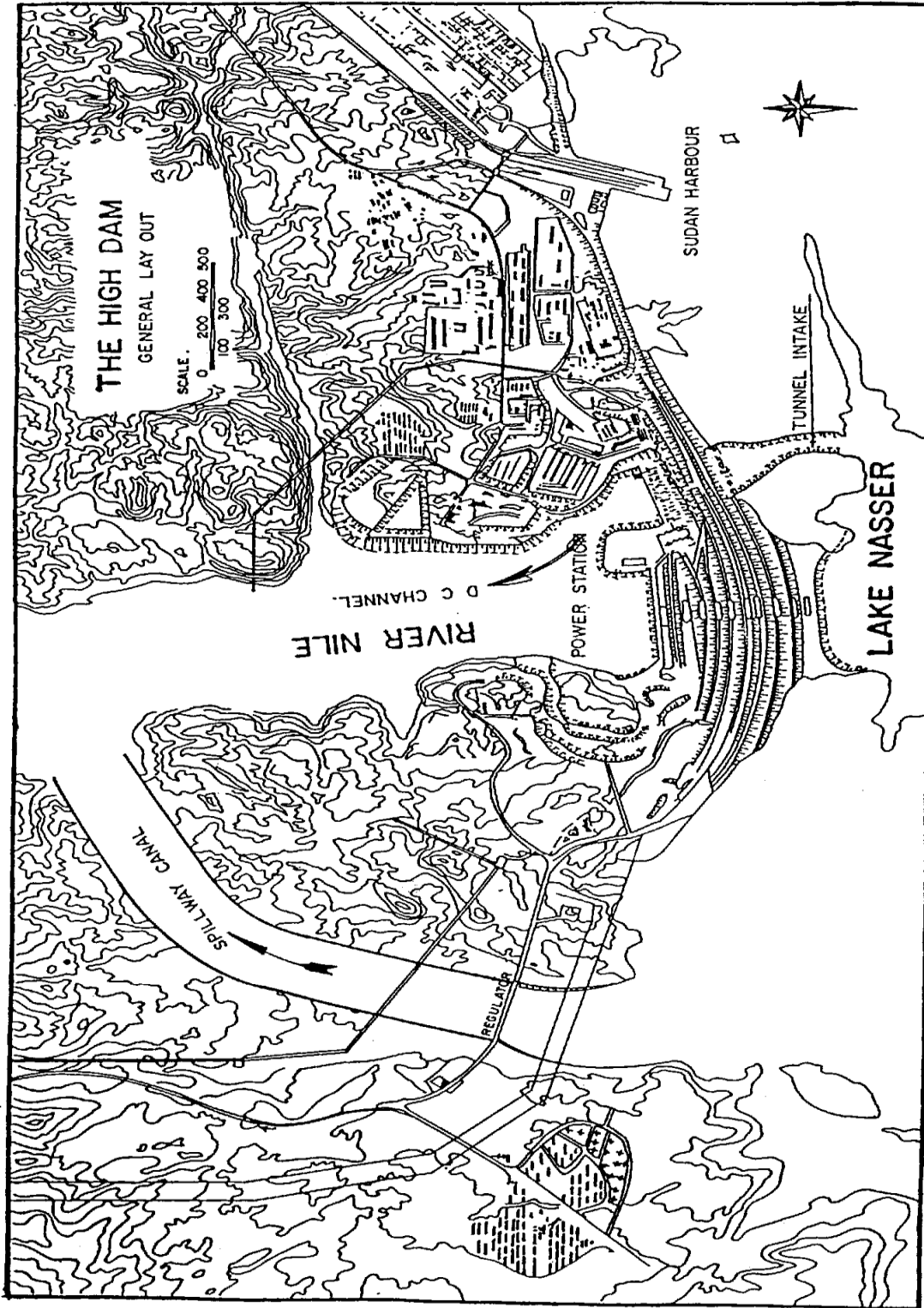
- السد العالي بأسوان من أحدث أمثلة السدود الركامية فى العالم وهو أولها من ناحية الحجم (سعة 130 مليار م³ عند منسوب 182). ويمكن تلخيص السمات العامة للسد والبحيرة المتكونة أمامه فيما يلى :
- الطاقة الكهربائية من السد العالي 10 مليار كيلوات ساعة سنوياً (شكل 2-47، 2-48).
 - الطول الكلى للسد 3600 مترا منها 250 مترا بين ضفتى النيل.
 - الارتفاع فوق القاع 111 مترا ، والعرض عند القاع 980 مترا ، وعرض القمة 40 مترا.
 - الركام الصخرى من الجرانيت والرمال.
 - النواة الصماء من الطين الأسوانى المانع لتسرب المياه.
 - تتصل النواة بستارة أفقية أمامية مانعة للمياه.
 - ستارة الحقن تمتد أسفل النواه حتى الطبقة الصماء (وهى عبارة عن المهد الصخرى الجرانيتى على عمق 180 مترا تحت قاعدة السد).
 - الممرات الخرسانية الثلاث المبينة بالشكل استخدمت فى اتمام الستارة الرأسية .
 - أعد صفان من آبار الصرف بالخلف لصرف ما قد يتسرب من المياه تحت السد .

قناة التحويل

- طول قناة التحويل الكلى 1950 مترا بالأمام ، 485 مترا بالخلف ، 315 مترا للأنفاق والمحطة (عدد الأنفاق ستة) (شكل 2-49) .
- منسوب القناه بالخلف يبدأ عند (85,50) مترا ، وتمرر 11000 م³/ث (مليار م³ / يوم).
- الأنفاق بقطر 15 مترا لكل منها ومبطنة بخرسانة مسلحة سمكها 1,00 مترا على الأقل .

بحيرة السد (بحيرة ناصر)

- طول البحيرة 500 كم ومتوسط عرضها 12 كم ومسطحها 6500 كم² .
- سعة حوض التخزين أمام السد 162 مليار م³ تفصيلها كمايلى :
- 90 مليار سعة حية بين منسوبى (147) ، (175) مترا.
- 41 مليار بين منسوبى (175) ، (182) مترا ، احتياطى للوقاية من الفيضات العالية .
- 31 مليار بين منسوبى (85) ، (182) مترا يفترض أن تمتلئ بالطمى على مدى خمسمائة عام.



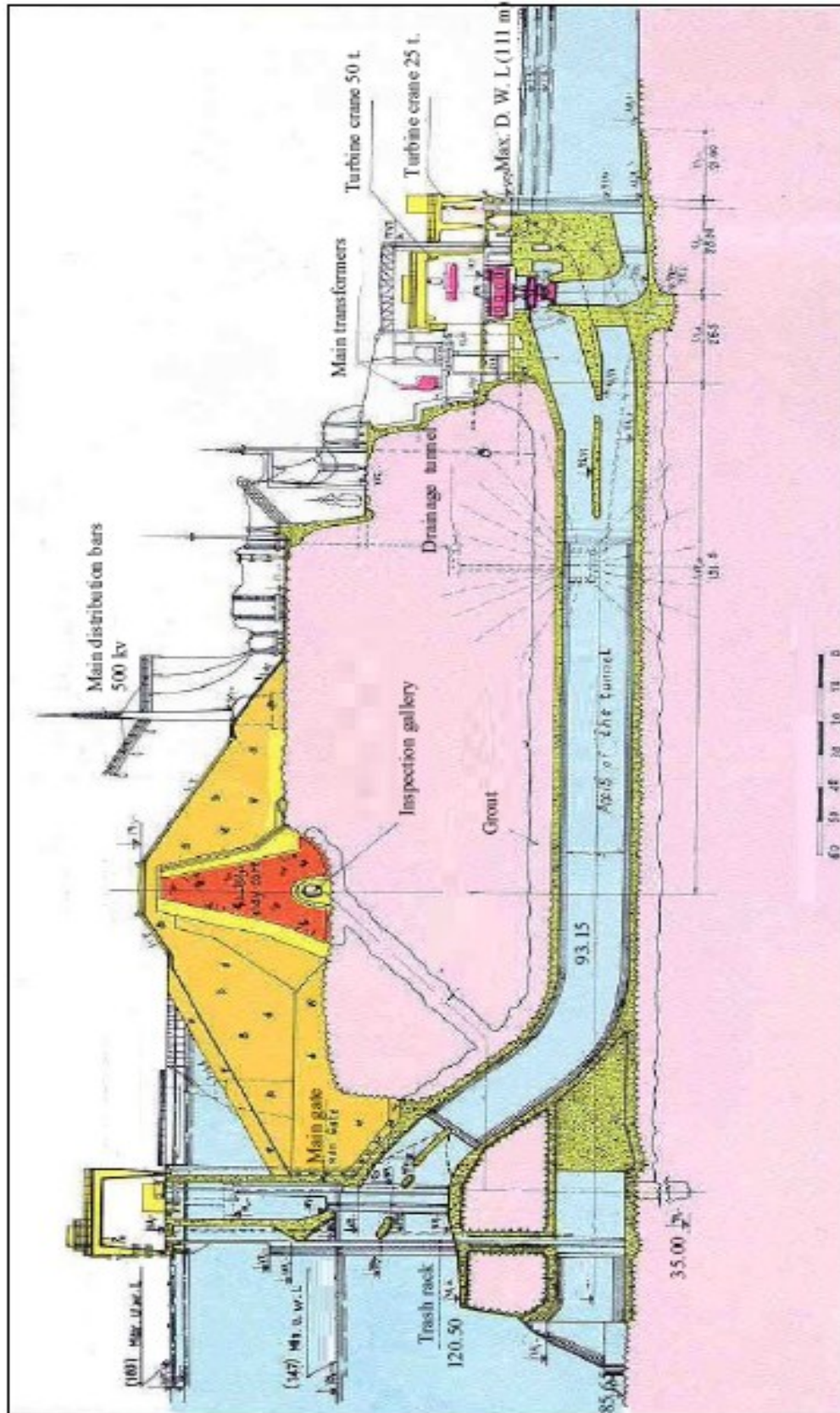
شكل (46-2) : مسقط أفقى للسد العالي



شكل (2-47): السد العالي بأسوان والميول الأمامية – محطة الكهرباء في يسار الصورة



شكل (2-48): محطة كهرباء السد العالي



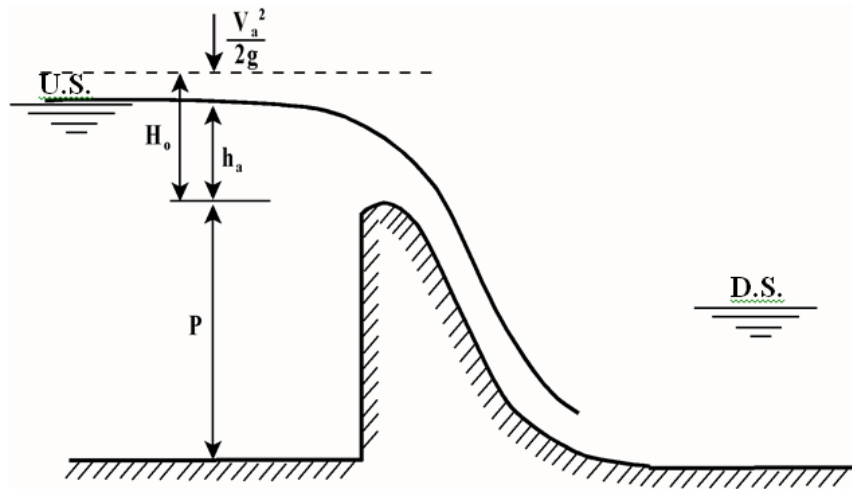
شكل (49-2) : قطاع عرضي في السد العالي

8-2 مفيضات السدود Dams Spillways

عندما يواجه السد تصرفات أكبر من التصرفات التصميمية التى أنشئ من أجلها فإن المياه الزائدة تمر من خلال المفيض إلى مجرى النهر خلف السد أو تهدر إلى منطقة قريبة حماية للسد. ومن الشائع إستخدام نوعين من المفيضات فى آن واحد أحدهما مع جسم السد نفسه والآخر فى منطقة الأكتاف كذلك يمكن تزويد المفيض ببوابات تحكم فى التصريف أو يترك حراً. وتتعدد أنواع مفيضات السدود وخصائصها الهيدروليكية وفيما يلي عرضاً لأهم انواع المفيضات المستخدمة.

1-8-2 المفيض الحر Overfall Spillway

يعتبر المفيض الحر من أكثر أنواع المفيضات شيوعاً وهو يناسب السدود التثاقلية الخرسانية والحجرية التى تتميز بطول مناسب لقمة السد وتكون قمة المفيض غالباً منحنية وتشكل لتلائم الحافة السفلى لمقذوف المياه فوق هدار حاد عند أقصى تصرف تصميمى وبذلك لا يتعرض سطح المفيض لأية ضغوط إضافية. وإذا قل التصريف المار عن التصريف التصميمى تعرض سطح المفيض لضغط موجب (أكبر من الضغط الجوى) أما إذا زاد التصريف المار عن التصريف التصميمى فإن سطح المفيض يتعرض لضغط سالب (أقل من الضغط الجوى) ويعرف هذا السطح المنحنى بسطح أوجى (Ogee) كما هو موضح بالشكل (50-2).

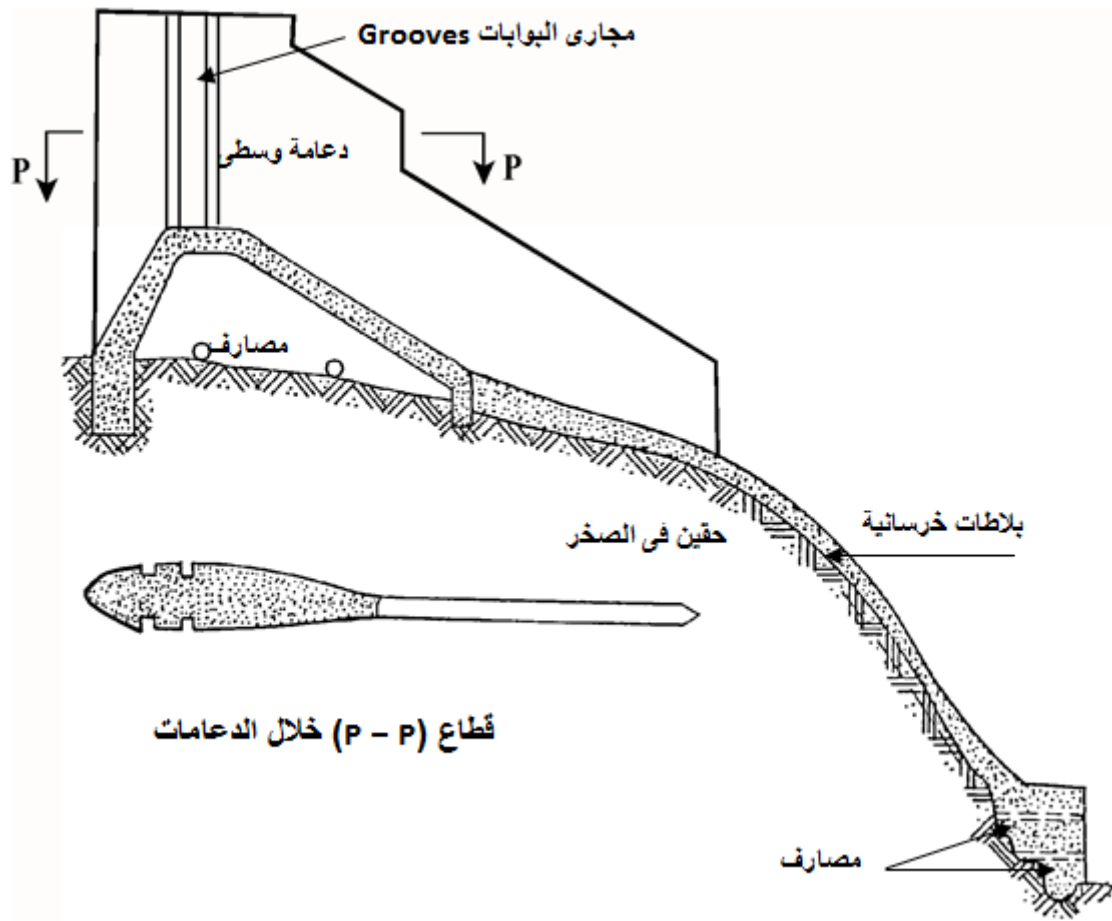


شكل (50-2): سطح أوجى (Ogee)

2-8-2 المفيض المنحدر Chute Spillway

المفيض المنحدر عبارة عن قناة مفتوحة (شديدة الميل) لتوصيل المياه من بحيرة التخزين أمام السد إلى مخرج المياه خلف السد وهو شائع الإستعمال فى حالة السدود الركامية والترايبية ويعتبر أبسط الأشكال لهذه المفيضات المنشأ المستقيم ذو العرض الثابت نظراً لأن تغير العرض أو الاضطراب لعمل الإنحناءات فى القناة قد يؤدي إلى صعوبات فى التصميم للتغلب على مشاكل تكوين الموجات الإنتقالية والموجات المتداخلة وعمليات التهوية فى حالة السريان فوق

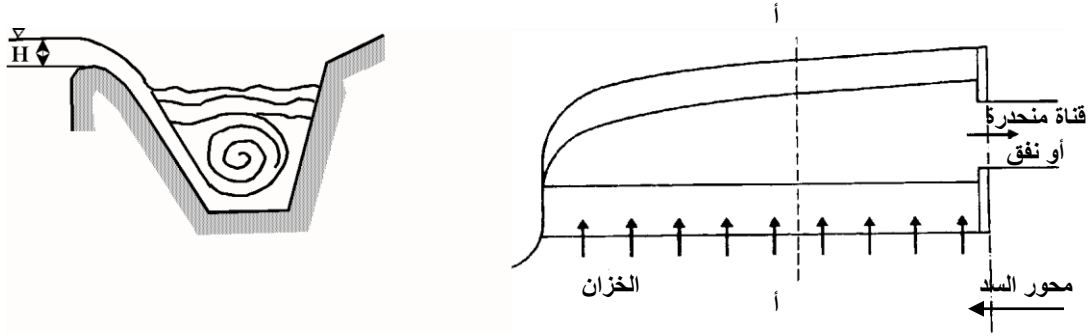
الخرج وما يتبعها من دفع وغمر الحوائط الجانبية وإنسكاب المياه فوقها خاصة في المفيضات ذات القطاعات الصغيرة وغالبا ما يتم وضع بوابات على مدخل القناة للتحكم في التصريفات المارة كما هو موضح بالشكل (51-2).



شكل (51-2): مفيض منحدر مزود ببوابات

3-8-2 مفيض القناة الجانبية Side-Channel Spillway

يستخدم المفيض الجانبي في الحالات التي يصعب فيها استخدام المفيض الحر وفي الحالات التي يكون فيها موقع السد محصورا بين جوانب عالية ذات ميل حاد. في هذه الحالة تنحدر المياه فوق حافة الهدار إلى القناة ويكون اتجاه السريان في هذه الحالة موازيا لحافة المفيض (عموديا على جسم السد) وغالبا ما يزداد عرض القناة في اتجاه السريان كما هو موضح بالشكل (52-2).



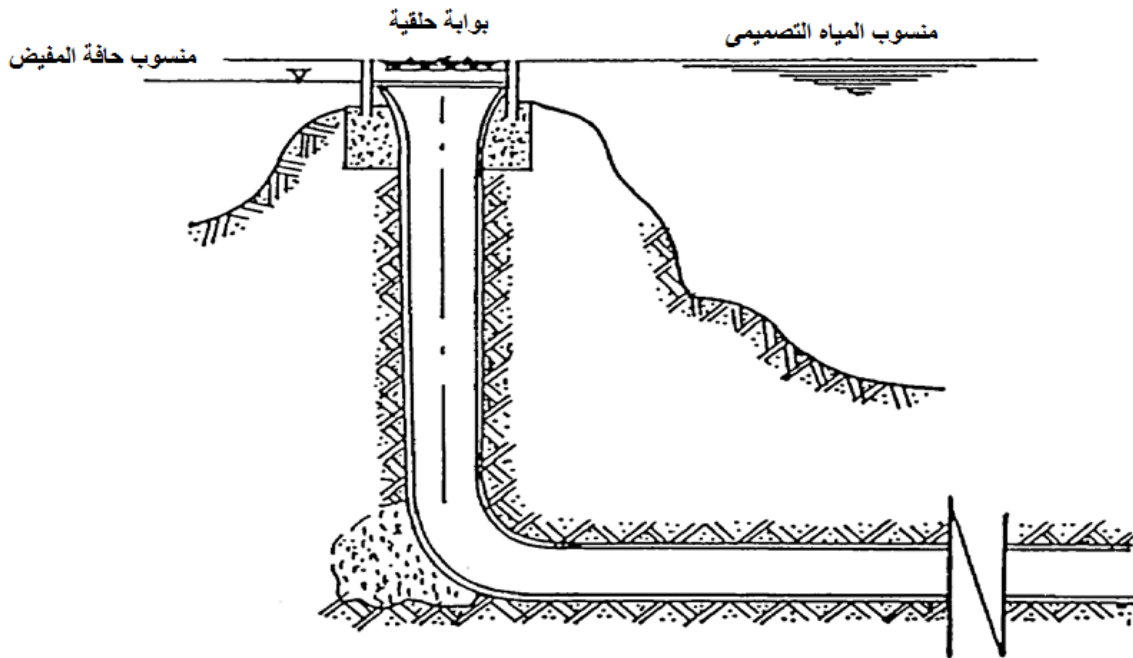
ب- قطاع بالقناة المنحدرة

أ- مسقط أفقى

شكل (52-2): مفيض القناة الجانبية

4-8-2 المفيض البنى Shaft Spillway

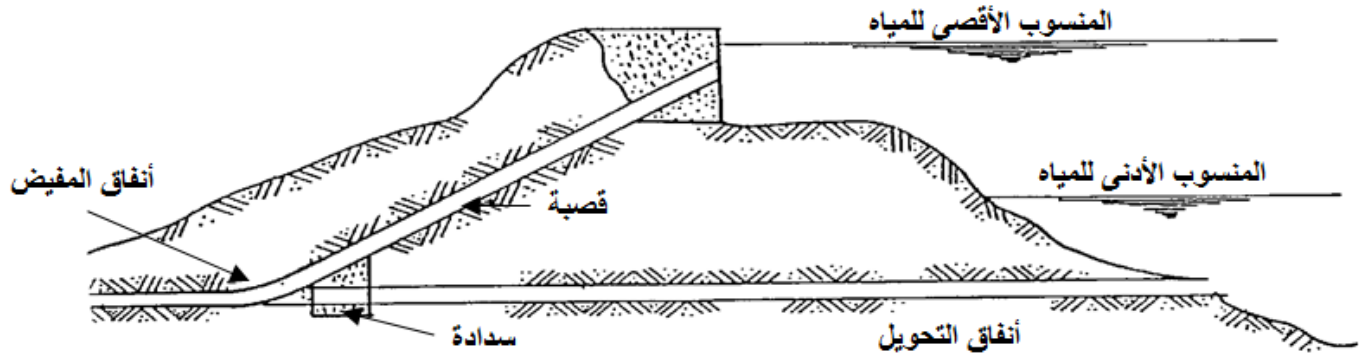
تمر المياه الزائدة عن التخزين في هذا النوع من المفيضات فوق حافة مفيض قمعى الشكل حيث تتحرك رأسياً لأسفل كما هو مبين في الشكل (53-2) ويستخدم هذا النوع من المفيضات في الأودية الضيقة العميقة التي لا يكفي فيها العرض لإنشاء المفيض فوق السد وأيضاً في حالة التصريفات الصغيرة. ومن عيوب هذا النوع من المفيضات أن التصريفات المارة من خلال المفيض تزداد تدريجياً مع زيادة ارتفاع المياه فوق حافة الهدار حتى تصل إلى حد معين يتم بعده غمر الهدار وتكون الزيادة في التصريفات بعد ذلك بطيئة ولا تتناسب مع عمق المياه فوق الهدار وبذلك تقل عوامل الأمان عند مرور الفيضانات الكبيرة غير المتوقعة.



شكل (53-2): مفيض بنى

5-8-2 أنفاق المفيضات

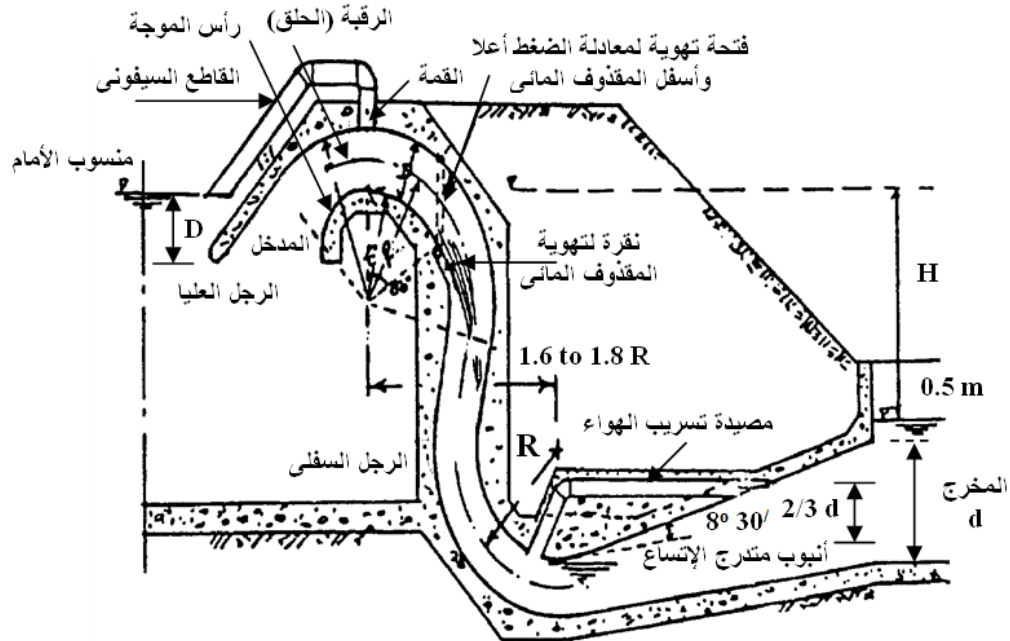
تستخدم الأنفاق عادة كمجاري لنقل المياه بالمفيضات المختلفة كما هو مبين بالشكل (54-2) وتكون قطاعاتها عادة دائرية أو على شكل حدوة الفرس وتبطن بالخرسانة بإعتبار أن الخرسانة من المواد عالية المقاومة للسرعات العالية خاصة إذا كانت الخرسانة ناعمة وتيار المياه مواز للحوائط وخال من المواد العالقة. وفي حالة مرور المواد الأكثر خشونة مع المياه المندفعة بالنفق ومع وجود حوائط ليست ناعمة فإن النحر المتوقع قد يصل إلى حد الخطورة وعادة ما تحدث هذه الحالة عند إمتلاء بحيرة التخزين بالرسوبيات وإقتراب هذه المواد من فتحة المفيض.



شكل (54-2): مفيض أنفاق

6-8-2 المفيض السيفونى Syphon Spillway

ينشأ المفيض السيفونى عندما يكون التدفق المراد تهريبه كبيرا ومطلوب سرعة تصريفه مع المحافظة على ثبات المنسوب الأقصى للمياه بالترعة أو أمام السدود (شكل 55-2).



شكل (55-2): مفيض سيفونى

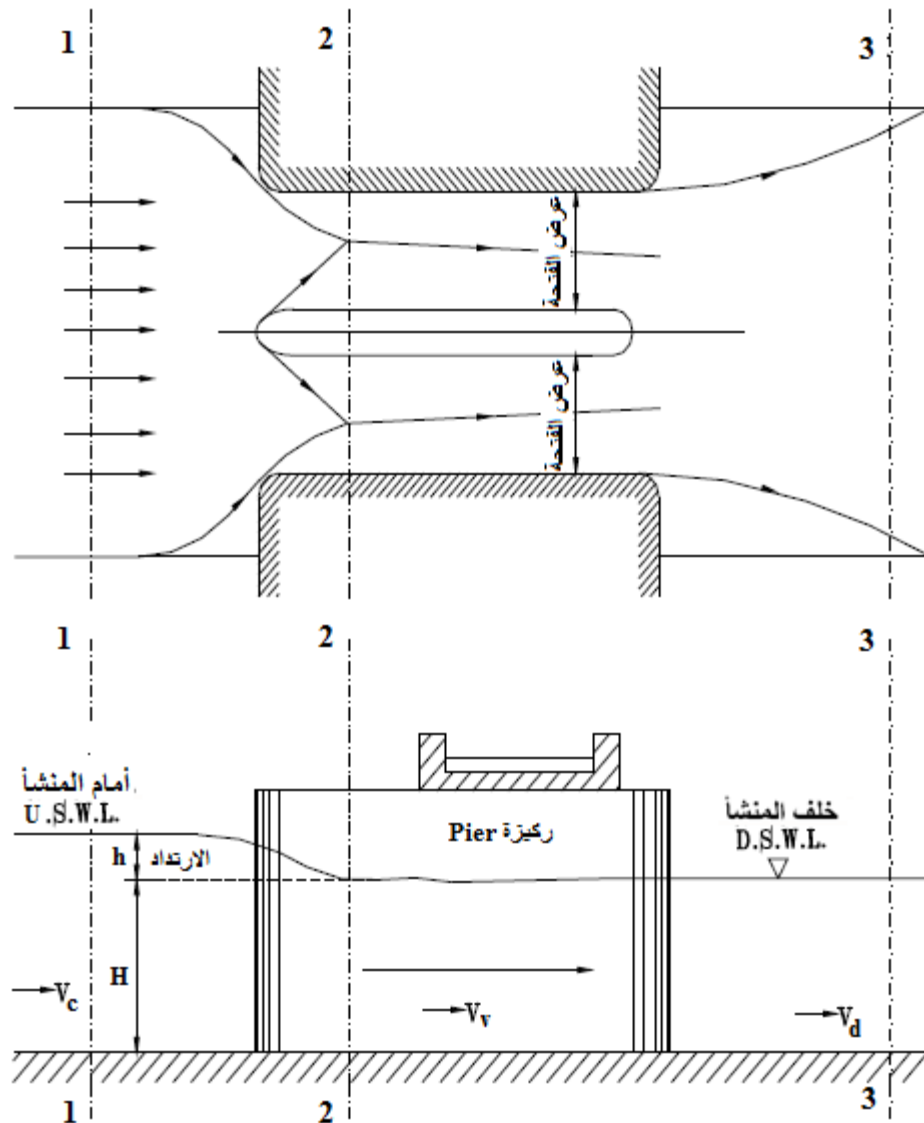
الفصل الثالث

التدفق بين ركائز الكبارى

Flow between Bridges Piers

1-3 السمات العامة للتدفق بين الركائز General Features

نتيجة لاعتراض ركائز المنشأ للسريان وضيق مساحة القطاع المائى خلاله عن القطاع الطبيعى للمجرى المائى (شكل 1-3) فإنه ينشأ فارق بين منسوبى المياه أمام وخلف المنشأ الهيدرولىكى ، ويعرف هذا الفارق بالارتداد Heading up. وتهدف الفقرات القادمة إلى دراسة كيفية حساب قيمة الارتداد فى حالات التدفق المختلفة بين الركائز.

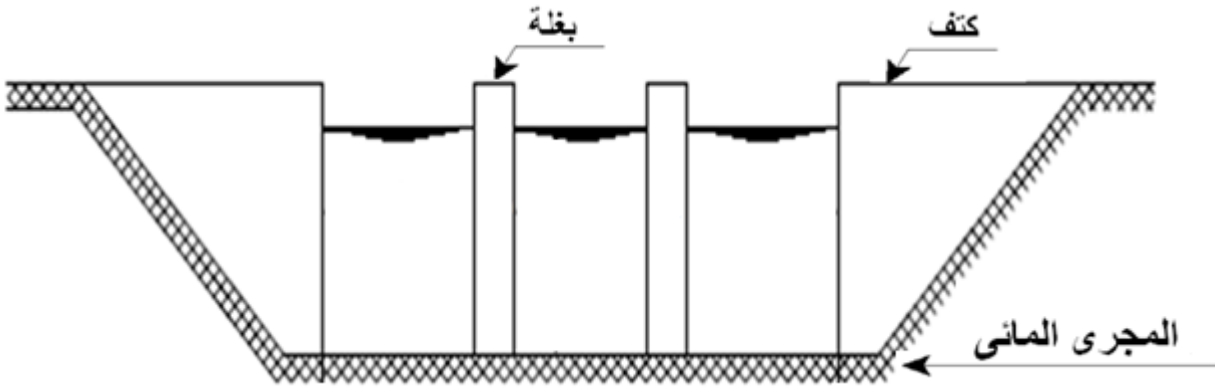


شكل (1-3) : كيفية حدوث الارتداد أمام ركائز الكبارى

2-3 حالات التدفق بين الركائز Flow Cases between Piers

سنتناول بالدراسة الحالتين التاليتين:

- 1- المجرى تعترضه الركائز الوسطى فقط، ويسمى المجرى فى هذه الحالة مجرى مُعْتَرَض Obstructed.
- 2- المجرى تعترضه الركائز الوسطى، وهو أيضاً مُخْتَنِق بالركيزتين الجانبيتين (الكتفين)، وبإختصار تسمى هذه الحالة بحالة المجرى المُعْتَرَض المُخْتَنِق Obstructed and Constricted (شكل 2-3)



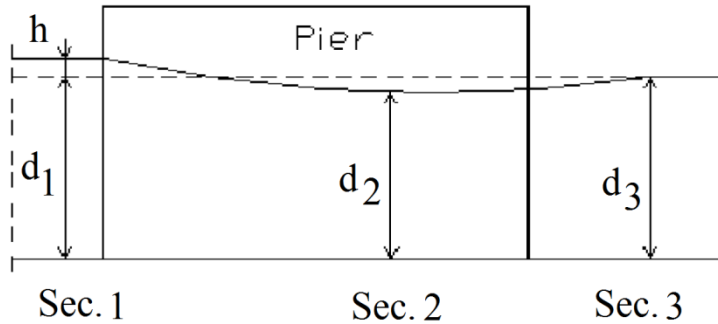
شكل (2-3): مجرى مُعْتَرَض مُخْتَنِق بالركائز الوسطى والجانبية معاً

1-2-3 أولاً : حالة المجرى المُعْتَرَض The stream is Only Obstructed by Piers

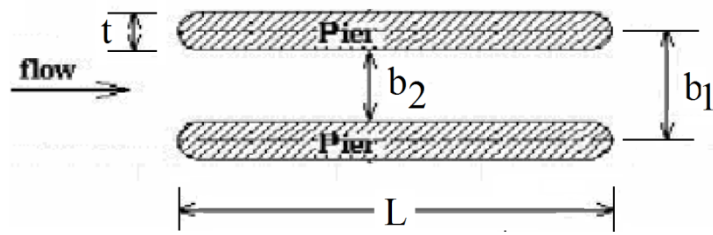
التدفق بين الركائز يمكن اعتباره ثنائى الأبعاد 2-dimensional، وقد يكون هذا التدفق تحت الحرج Subcritical (رقم فراود Fr أقل من الوحدة)، وقد يكون تدفقاً فوق الحرج Supercritical (رقم فراود Fr أكبر من الوحدة)، لذا فإنه يلزم تحديد حالة التدفق بين الركائز قبل البدء فى حساب قيمة الارتداد h .

1-1-2-3 كيفية تحديد حالة التدفق بين الركائز Distinguish between Sub-or-Supercritical states

h = قيمة الانتداد
 t = سمك الركيزة
 L = طول الركيزة
 b_1 = تباعد محور الركائز



Elevation



Plan

شكل (3-3) : التدفق فيما بين الركائز

فيما بين القطاعين (2) ، (3) ، (شكل 3-3) يمكن كتابة معادلة الطاقة على النحو التالي :

$$\varepsilon \left[d_2 + \frac{V_2^2}{2g} \right] = \left[d_3 + \frac{V_3^2}{2g} \right] \quad (3-1)$$

حيث :

ε = نسبة ما تبقى من الطاقة عند القطاع (3) ، فمثلاً إذا كان فاقد الطاقة بين القطاعين (2) ، (3) 10% تكون قيمة "ε" تكون 0.90 ، وهكذا .

d_2, d_3 : عمق التدفق عند القطاعين (2) ، (3) على التوالي .

V_2, V_3 : السرعة المتوسطة عند القطاعين (2) ، (3) على التوالي .

g : عجلة الجاذبية الأرضية.

والآن ، نلاحظ أنه يمكن كتابة المعادلة (3-1) على الصورة التالية :

$$\varepsilon \left[d_2 + \frac{V_2^2 \cdot d_2}{2(\sqrt{gd_2})^2} \right] = \left[d_3 + \frac{V_3^2 \cdot d_3}{2(\sqrt{gd_3})^2} \right]$$

$$\varepsilon \left[d_2 + \frac{d_2}{2} \cdot F_{r2}^2 \right] = \left[d_3 + \frac{d_3}{2} \cdot F_{r3}^2 \right]$$

$$\varepsilon \cdot \frac{d_2}{2} [2 + F_{r2}^2] = \frac{d_3}{2} [2 + F_{r3}^2]$$

ومنها نجد أن :

$$\varepsilon \cdot d_2 [2 + F_{r2}^2] = d_3 [2 + F_{r3}^2] \quad (3-2)$$

حيث :

F_{r2} ، F_{r3} هما قيمتا رقم فراود Froud number عند القطاعين (2) ، (3) على التوالي .

ومن مبدأ استمرارية التدفق :

$$V_2 \cdot b_2 \cdot d_2 = V_3 \cdot b_3 \cdot d_3 \quad (3-3)$$

وأيضاً :

$$\sigma = \text{نسبة انضغاط التدفق} = b_2 / b_1$$

وبوضع ($b_2 = \sigma b_1$) في (3-3) وأخذ $b_3 = b_1$

$$V_2 \cdot \sigma b_1 \cdot d_2 = V_3 \cdot b_1 \cdot d_3$$

ومنها نجد أن :

$$\sigma \cdot V_2 \cdot d_2 = V_3 \cdot d_3$$

وبتربيع الطرفين :

$$\sigma^2 \cdot V_2^2 \cdot d_2^2 = V_3^2 \cdot d_3^2$$

وبضرب الطرف الأيمن في $(g.d_2/g.d_2)$ ، والطرف الأيسر في $(g.d_3/g.d_3)$ ، نحصل على :

$$\sigma^2.F_{r2}^2.d_2^3 = F_{r3}^2.d_3^3 \quad (3-4)$$

ولنعد الآن إلى (3-2) ونقوم بتكعيب طرفيها :

نجد أن :

$$\varepsilon^3.d_2^3[2 + F_{r2}^2]^3 = d_3^3[2 + F_{r3}^2]^3 \quad (3-5)$$

وبقسمة (3-4) على (3-5)، وإعادة ترتيب الناتج لفصل σ عن الطرف الأيمن وحدها:

$$\sigma^2 = \frac{\varepsilon^3.F_{r3}^2[2 + F_{r2}^2]^3}{F_{r2}^2[2 + F_{r3}^2]^3} \quad (3-6)$$

2-1-2-3 تعريف القيمة الحدية لرقم فراود بالخلف $(Fr_3)_L$ (أى عند القطاع 3) The limiting Value of Froud Number at Section 3

إذا كان التدفق عند القطاع (2) تدفقا حرجا ، فإن قيمة F_{r2} تكون مساوية للوحدة ، وتسمى قيمة رقم فراود بالخلف المناظرة لتلك الحالة "القيمة الحدية لرقم فراود بالخلف" ، ويرمز لها بالرمز $(Fr_3)_L$.

وقيمة $(Fr_3)_L$ تحدد لنا حالة التدفق بين الركائز عند قيمة محددة لنسبة الانضغاط σ ، وذلك على النحو التالي:

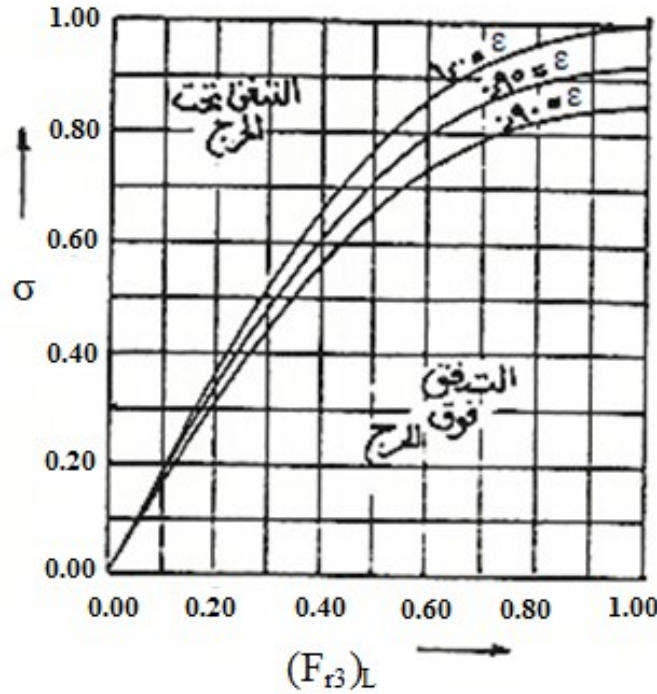
- إذا كانت $F_{r3} < (Fr_3)_L$ يكون التدفق بين الركائز تحت الجرح .

- إذا كانت $F_{r3} > (Fr_3)_L$ يكون التدفق بين الركائز فوق الحرج.

والآن بوضع $F_{r2} = 1$ في المعادلة (3-6) نحصل على العلاقة بين نسبة الانضغاط σ ومعامل الطاقة المتبقية ε ، والقيمة الحدية لرقم فراود بالخلف $(Fr_3)_L$ على الصورة التالية :

$$\sigma^2 = \frac{27.\varepsilon^3.[(Fr_3)_L]^2}{[2 + (Fr_3)_L^2]^3} \quad (3-7)$$

والشكل 3-3 هو رسم للمعادلة (3-7) لتسهيل الحصول على قيم $(F_{r3})_L$ بدلالة نسبة الطاقة المتبقية ε ونسبة انضغاط التدفق σ .



شكل (3-4): القيمة الحديد لرقم فراود بالخلف

ولتحديد حالة التدفق المار بين الركائز تتبع الخطوات التالية :

- 1- إحسب نسبة الانضغاط $(\sigma = b_2 / b_1)$.
- 2- إحسب $(F_{r3} = V_3 / (g \cdot d_3)^{0.50})$.
- 3- إفتراض قيمة مناسبة لنسبة الطاقة المتبقية " ε " .
- 4- إستنتج قيمة $(F_{r3})_L$ من الشكل 3-4.
- 5- يكون التدفق بين الركائز تحت الحرج إذا كانت " $F_{r3} < (F_{r3})_L$ " .
- 6- ويكون التدفق بين الركائز فوق الحرج إذا كانت " $F_{r3} > (F_{r3})_L$ " .

3-1-2-3 معادلة يارنل لحساب الارتداد فى حالة التدفق تحت الحرج Subcritical Flow between Piers

استنبط يارنل Yarnell المعادلة التجريبية التالية لحساب الارتداد أمام الكبارى فى حالة التدفق تحت الحرج بين الركائز:

$$\frac{h}{d_3} = K.F_{r_3}^2 (K + 5F_{r_3}^2 - 0.60)(\alpha + 15\alpha^4) \quad (3-8)$$

$$\alpha = 1 - \sigma = 1 - (b_2/b_1) = (b_1 - b_2/b_1) = t/b_1$$

حيث :

h = قيمة الارتداد heading up،

t = سمك الركيزة،

b₁ = تباعد محور الركيزة،

K = معامل تتوقف قيمته على الشكل الهندسى لمقدمة ومؤخرة الركيزة.

ملحوظة :

تغطى المعادلة (3-8) بصفة عامة أرقاماً للارتداد أكبر إلى حد ما من الواقع ، فقد استنتجت المعادلة بالمعمل لركائز سمكها (t) كبير بالنسبة لطولها "L" وبالنسبة أيضاً لتباعد محاور الركائز "b₁" وذلك بدرجة تفوق كثيراً النسب الواقعية بالطبيعة، لذا فإنه فى الأحوال العادية يمكن استخدام المعادلة (3-8) باطمئنان.

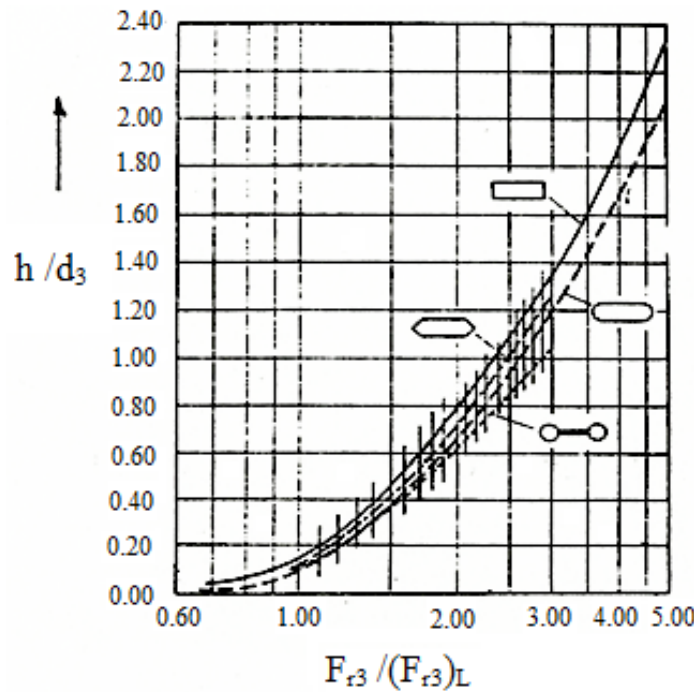
جدول (1-3): المعامل K للتدفق تحت الحرج بين الركائز

المعامل K	شكل مقدمة ومؤخرة الركيزة:
0.9	نصف دائرة
0.9	شكل العدسة
0.95	اسطوانتان بينهما حاجز
1.05	اسطوانتان منفصلتان
1.05	الشكل المثلثى على زاوية ٩٠°
1.25	الشكل المربع

4-1-2-3 حساب الارتداد فى حالة التدفق فوق الحرج بين الركائز Supercritical Flow between Piers

الشكل 4-2، (16)، يعطى حلاً لقيمة الارتداد فى حالة التدفق فوق الحرج بين الركائز، وذلك بإتباع الخطوات التالية :

- 1- إحسب $(F_{r3})_L$ من المعادلة 3-7 أو من الشكل 3-3.
- 2- إحسب النسبة " $F_{r3} / (F_{r3})_L$ "، وادخلها على الشكل 5-3.
- 3- إستنتج النسبة " h / d_3 " والمناظرة لشكل الركيزة المعطاة بالمسألة .
- 4- بضرب النسبة المستنتجة بالخطوة السابقة فى d_3 نحصل على الارتداد " h " المطلوب .



شكل (5-3): منحنيات الارتداد للتدفق فوق الحرج ، (عن يارنل)

ملحوظة :

استنتج الشكل 5-3 على أساس نماذج بنسبة " $L/t = 4$ " وقد ذكر تشاو Chow أن قيمة الارتداد تختلف عن ذلك بالزيادة أو بالنقصان تبعاً لشكل الركيزة المستخدمة ، وذلك إذا ما زادت النسبة " L/t " عن 4 ، وعلى أى حال من الأحوال فإننا نرى أنه يمكن استخدام الشكل 5-3 للتصميم بصفة عامة فى الأحوال العادية.

5-1-2-3 استخدام منحنيات يارنل (شكل 3-5) فى حساب معدل التدفق فوق الحرج

يمكن استخدام منحنيات يارنل (شكل 3-5) فى حساب معدل التدفق المار بين الركائز فى الحالة فوق الحرجة بإتباع الخطوات التالية ، وذلك بمعلومية d_1 ، d_3 ، b_1 ، b_2 ، h (انظر الشكل 3-3) :

1- إحسب " h/d_3 ".

2- وبالتالي استنتج قيمة " $F_{r3}/(F_{r3})_L$ " من الشكل 3-5 .

3- بإستخدام $(\sigma = b_2 / b_1)$ ، نحصل على قيمة $(F_{r3})_L$ من الشكل 3-4.

4- بضرب $(F_{r3})_L$ التى حصلنا عليها فى الخطوة السابقة فى النسبة المستنتجة بالخطوة رقم 2 ، نحصل على قيمة F_{r3} .

5- من قيمة F_{r3} نحسب V_3 أى السرعة المتوسطة للتدفق بالخلف ، وبالتالي يمكن حساب معدل التدفق بمعلومية مساحة القطاع المائى.

2-2-3 ثانياً: حالة المجرى المعترض المختنق Piers are situated within a constriction**1-2-2-3 طريقة الصيغ التقليدية Classical Formulae**

فى هذه الطريقة يمكن حساب قيمة الارتداد heading up بإحدى الصيغ التالية :

1- صيغة Du Buat and De Lagrene

$$h = \frac{V_c^2}{2gC^2} \left[\left(\frac{A_c}{A_v} \right)^2 - 1 \right] \quad (3-9)$$

حيث

h = الارتداد

V_c = السرعة المتوسطة بقناة الاقتراب متر / ث

A_c = مساحة القطاع المائى لقناة الاقتراب متر²

A_v = مساحة القطاع المائى بعد اختناقه (مساحة فتحات المنشأ المقام) متر²

C = معامل يتوقف على بحر الفتحة وتؤخذ قيمته على النحو التالى :

0.72 فتحة بعرض أقل من 2.00 متر

0.82 فتحة بعرض يتراوح ما بين 2.00 - 4.00 متر

0.92 فتحة بعرض يزيد عن 4.00 متر

$g =$ عجلة الجاذبية الأرضية 9.81 متر / ث²

2- صيغة Gauthey

$$h = \frac{V_c^2}{2g} \left[\left(\frac{Ac}{\mu \cdot Av} \right)^2 - 1 \right] \quad (3-10)$$

حيث

$h =$ الارتداد

$\mu =$ معامل يتوقف على شكل الركيزة على النحو التالى:

$\mu = 0.95$ للركيزة المدببة (شكل العدسة) Sharp pointed piers

$\mu = 0.90$ للركيزة ذات المقدمة المربعة Square edge piers

كما أنه يمكن استخدام معاملات Bazin والذي ربط بين المعامل μ وعرض الفتحة S (حيث قيمة S بالمتر) على النحو التالى :

$$\mu = 0.85 + 0.014\sqrt{S} \quad (\text{للركائز المدببة})$$

$$\mu = 0.78 + 0.021\sqrt{S} \quad (\text{للركائز نصف الدائرية})$$

$$\mu = 0.70 + 0.029\sqrt{S} \quad (\text{للمقدمة المربعة})$$

3- صيغة Flamant

$$h = \frac{\alpha \cdot V_c^2}{2g} \left[\left(\frac{Ac}{\mu \cdot Av} \right)^2 - 1 \right] \quad (3-11)$$

حيث

$h =$ الارتداد

$\alpha = 1.11$

μ = معامل يتوقف على شكل الركيزة على النحو التالى:

$0.954 = \mu$ للركيزة المدببة (شكل العدسة) Sharp pointed piers

$0.855 = \mu$ للركيزة ذات المقدمة المربعة Square edge piers

4- صيغة Rehbock

$$h = \alpha \beta \frac{V_c^2}{2g}$$

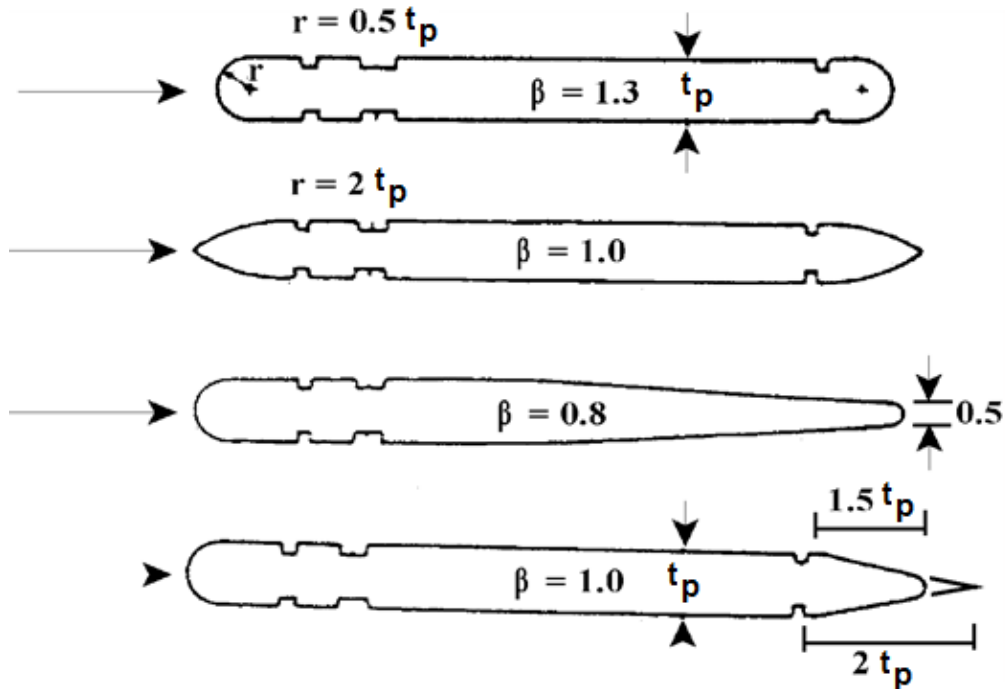
(3-12)

حيث

α = معامل تتوقف قيمته على قدر تقلص مساحة القطاع المائى عند المنشأ المقام وتحسب قيمته من النسبة

$$(A_c - A_v) / A_c$$

β = معامل تتوقف قيمته على شكل الركائز "البغال" المستخدمة Piers شكل (3-6)



شكل (3-6): قيم المعامل β فى المعادلة (3-12) لأشكال مختلفة من البغال

5- صيغة Butcher

وتعتبر هذه الصيغة من الصيغ العامة التى يمكن استخدامها لحساب الارتداد Heading up فى حالة القناطر المفردة أو مجموعة القناطر Group of Regulators شكل (7-3).

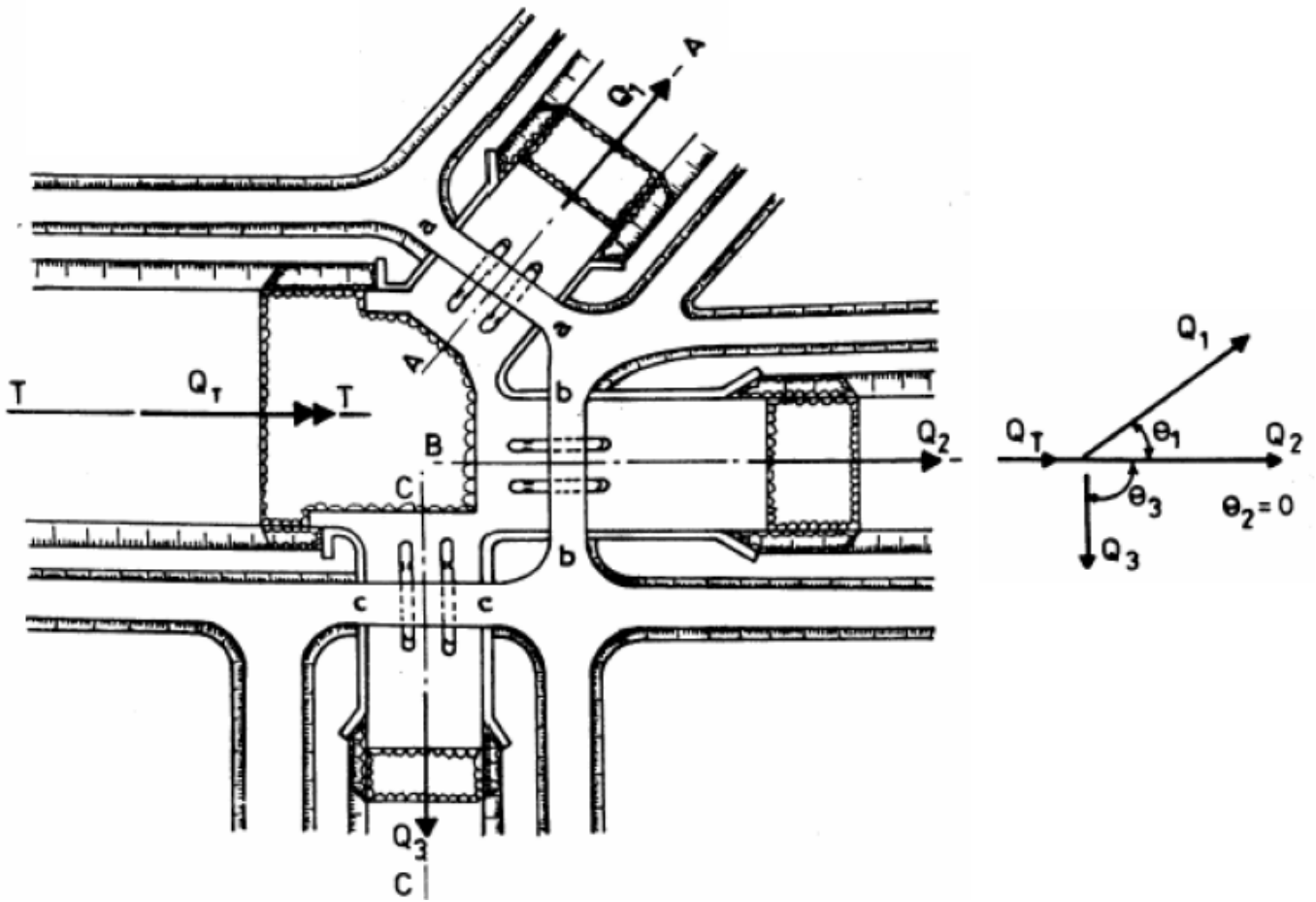
$$h_i = \frac{V_c^2}{2gC^2} \left[\left(\frac{\eta_i \cdot Ac}{Av_i} \right)^2 - \cos^2 \theta_i \right] \quad (3-13)$$

$$\eta_i = \frac{Q_i}{Q_T}$$

وفى حالة استخدام المعادلة (3-11) لحساب الارتداد فى حالة القناطر المفردة Single Regulators تكون:

$$\eta = 1$$

$$\theta = 0$$



شكل (7-3): حساب الارتداد فى حالة مجموعة من القناطر

2-2-2-3 طريقة "El gohary-Soliman" والمعروفة بطريقة "نسبة الارتداد" Backwater Ratio

يمكن فى هذه الطريقة اتباع الآتى:

- 1- إحسب قيمة الارتداد التقليدية ولتكن "H" بواسطة أى من الصيغ التقليدية السابقة فى الفقرة 1-2-2-3.
- 2- إحسب "النسبة المئوية للاختناق" σ_1 على النحو التالى:

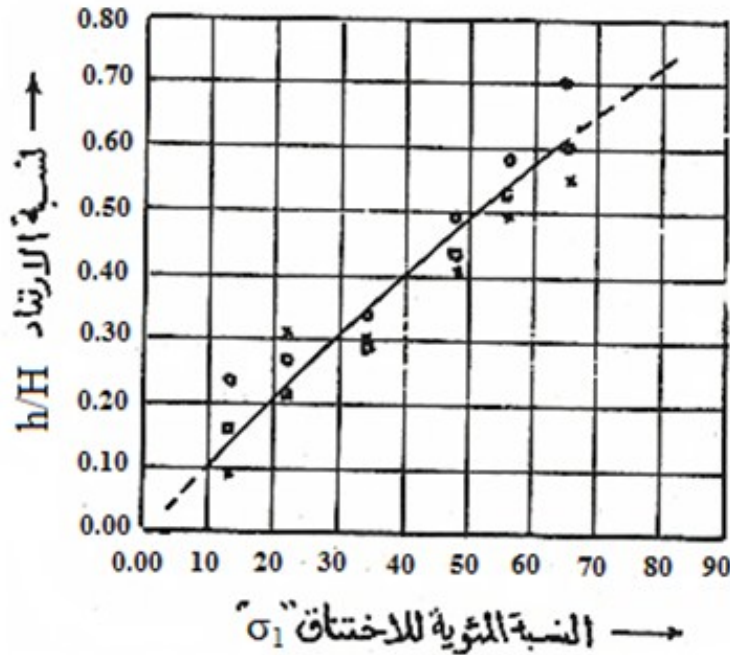
$$\sigma_1 = \left[1 - \frac{\sum S}{W} \right] \times 100 \quad (3-14)$$

حيث

$\sum S$ = إجمالى عرض الفتحات.

W = العرض المتوسط للقطاع المائى بقناة الاقتراب.

- 3- إستخدم منحنى "نسبة الارتداد" (شكل 8-3) ، لإيجاد النسبة "h/H".
- 4- بضرب النسبة "h/H" فى قيمة الارتداد التقليدية H المستنتجة بالخطوة رقم 1 نحصل على قيمة الارتداد الحقيقية h.



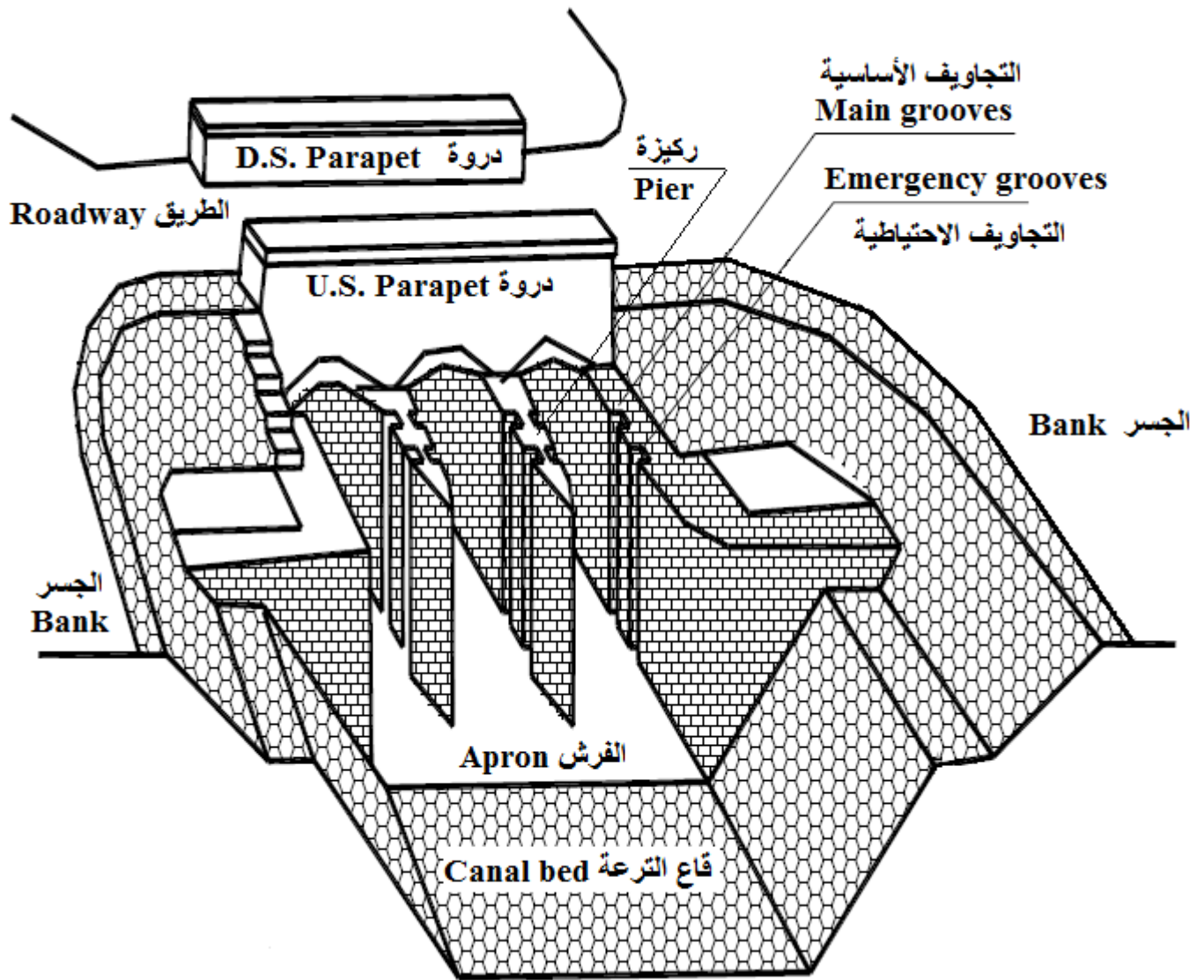
شكل (8-3): نسبة الارتداد أمام الكبارى

الفصل الرابع

القناطر Regulators

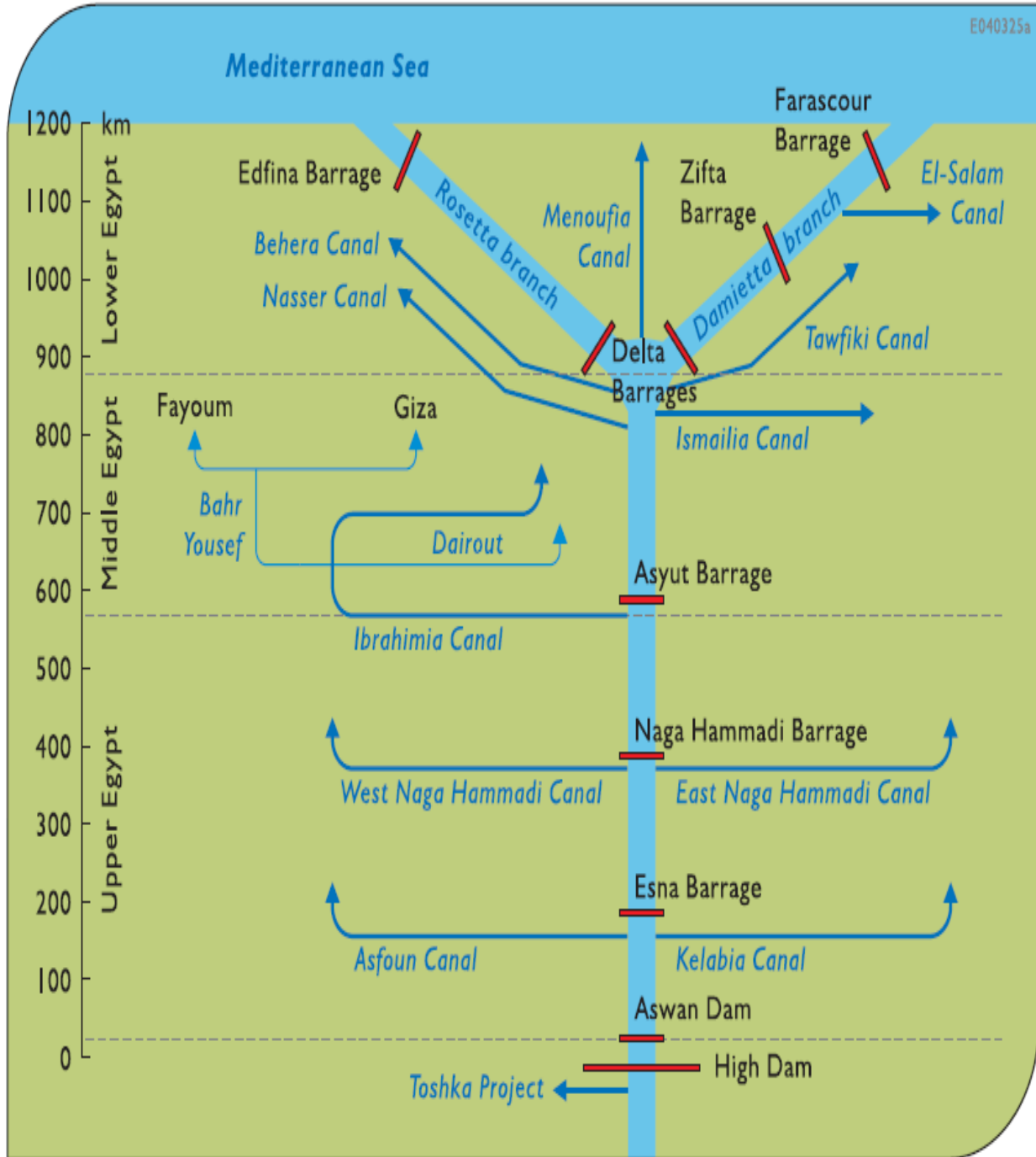
1-4 القنطرة Regulators

القنطرة Regulator هي إحدى منشآت التحكم التي بواسطتها يمكن تنظيم مناسيب ومعدلات تدفق المياه بقنوات الري، وتستخدم عادة في الأراضي ذات الانحدار الخفيف ويوضح الشكل (1-4) منظورا لقنطرة صغيرة على مجرى مائى.



شكل (1-4): نموذج لقنطرة صغيرة على مجرى مائي

وتنشأ القناطر على نهر النيل والرياحات والترع الرئيسية والفرعية لتسهيل تغذية المجارى المائية وتوصيل مياه الري إلى الأراضي الزراعية ولأغراض أخرى مثل توصيل مياه الشرب والصناعة أو لأغراض الملاحة، والأشكال من 2-4 إلى 19-4 تبين صوراً وقطاعات عامة لبعض القناطر المصرية.



شكل (2-4): أماكن القناطر المقامة على نهر النيل في مصر



شكل (3-4): قناطر الدلتا القديمة (القناطر الخيرية 1845)



شكل (4-4): قناطر الدلتا الجديدة (قنطرة فرع رشيد)



شكل (4-5): قناطر ادفينا (على فرع رشيد)



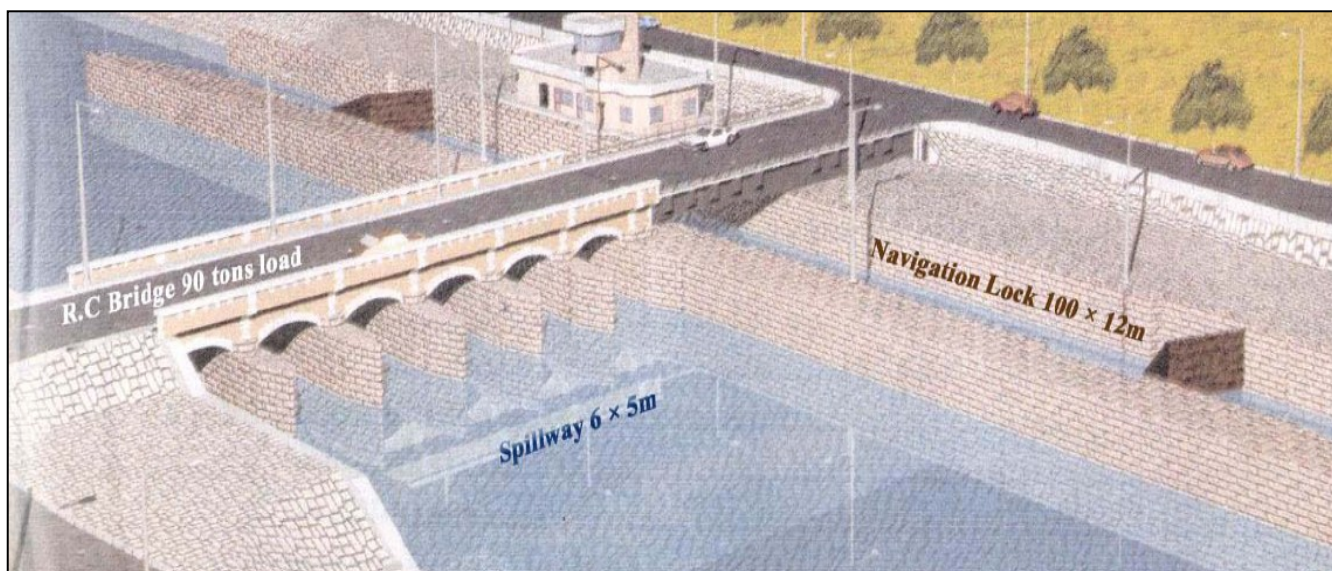
شكل (4-6): قناطر الدلتا الجديدة (قنطرة فرع دمياط)



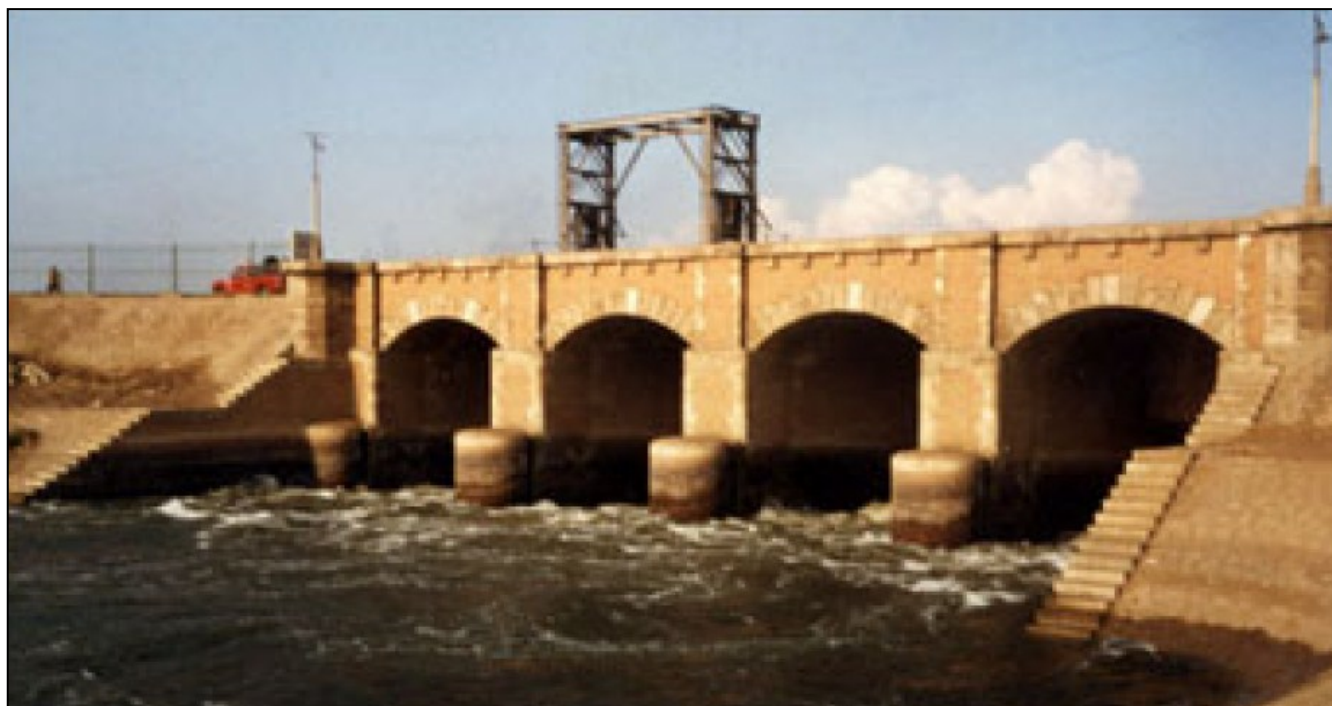
شكل (4-7): قنطرة ترعة الإسماعيلية



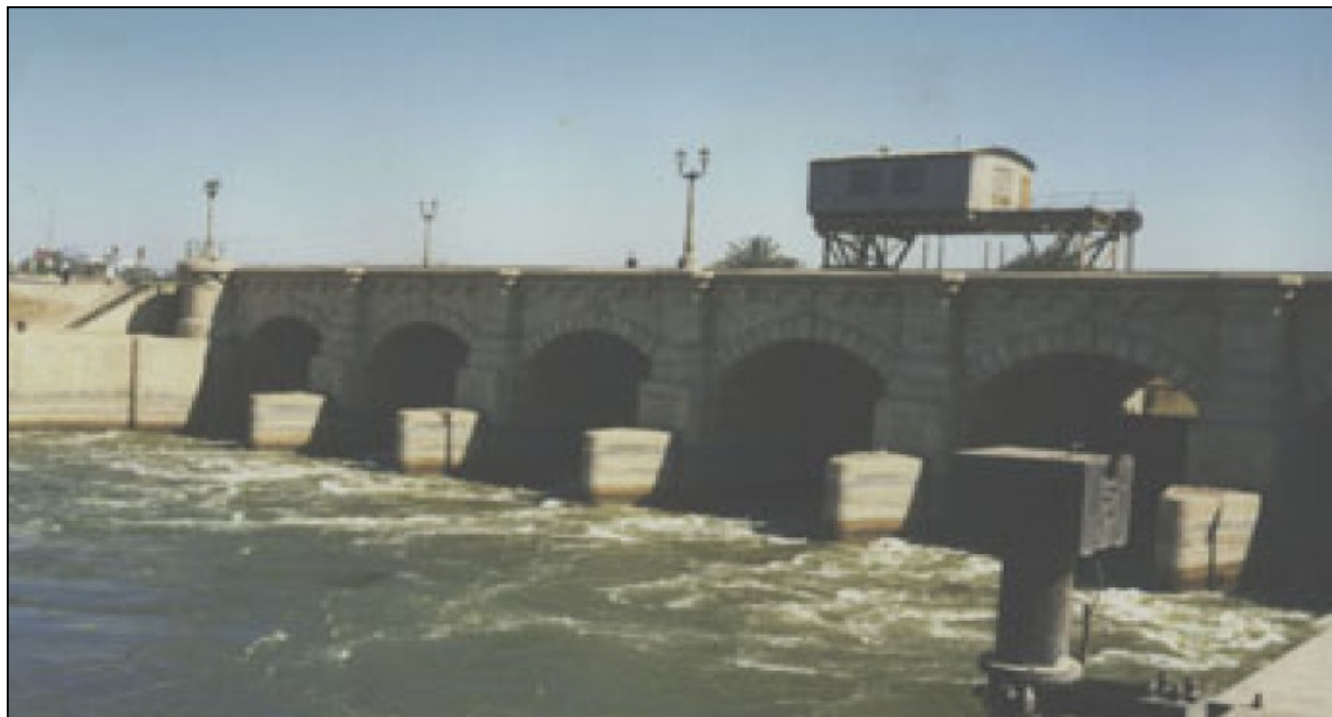
شكل (4-8): قنطرة ترعة الإبراهيمية



شكل (9-4): قنطرة الرياح التوفيقي



شكل (10-4): قنطرة الرياح المنوفي



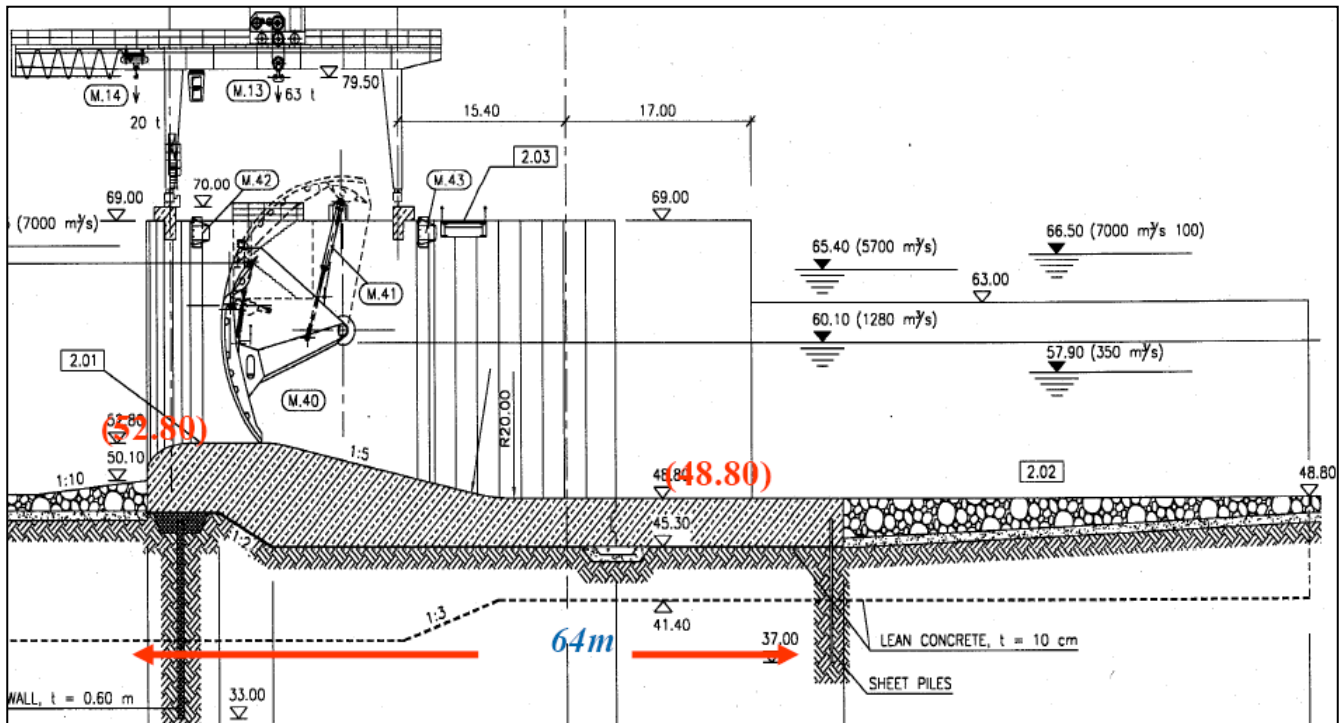
شكل (4-11): قنطرة الرياح البحيري



شكل (4-12): قناطر نجع حمادى القديمة (الوجه القبلي)



شكل (4-13): قناطر نجع حمادى الجديدة (الوجه القبلي)



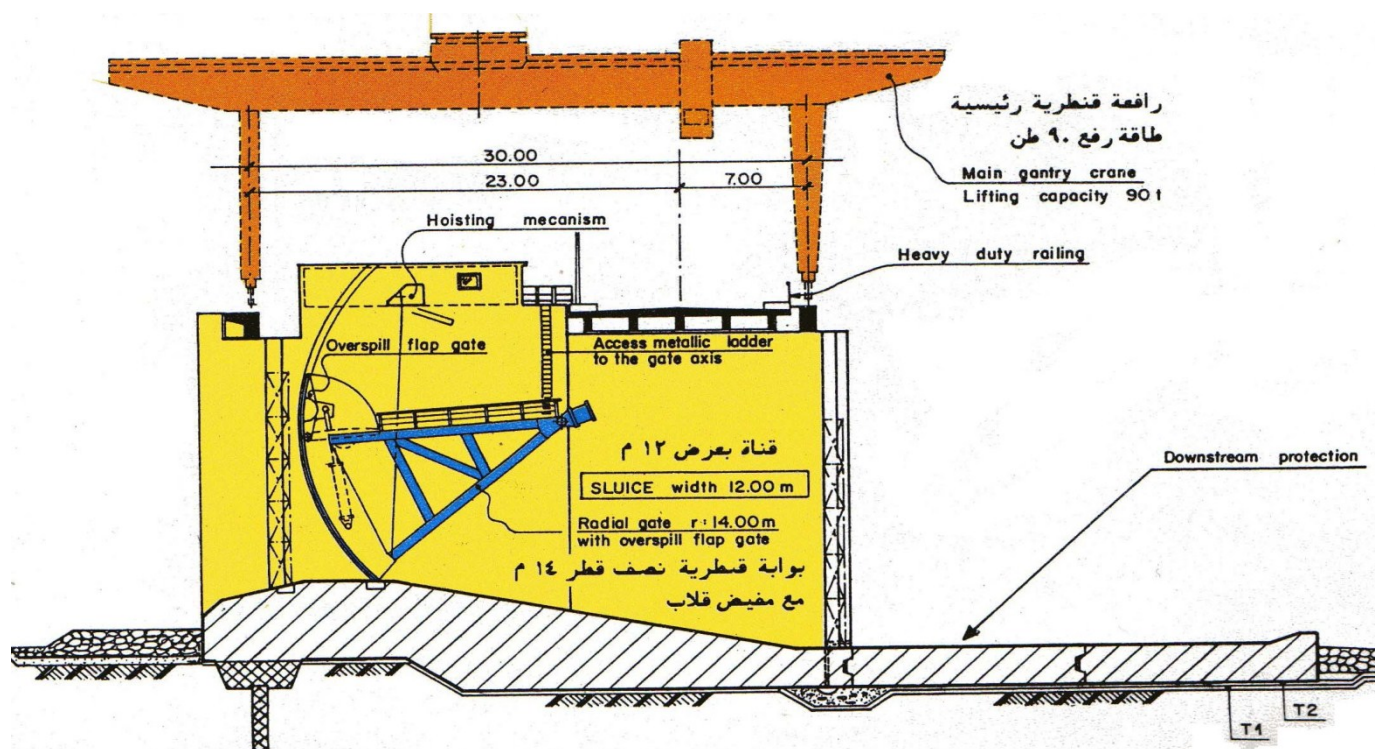
شكل (4-14): قطاع طولي فى قناطر نجع حمادى الجديدة



شكل (4-15): قناطر إسنا القديمة (الوجه القبلي)



شكل (4-16): قناطر إسنا الجديدة (الوجه القبلي)



شكل (4-17): قطاع طولي في قناطر إسنا الجديدة



شكل (4-18): قناطر أسيوط (الوجه القبلي)



شكل (4-19): قنطرة فم على ترعة الشيخ زايد بمشروع تنمية جنوب الوادي

2-4 أنواع القناطر Types of Regulators

يمكن تقسيم القناطر إلى الأنواع التالية تبعاً لموقعها في شبكة الري، ويوضح الشكل (4-20) المواقع المختلفة لكل من أنواع هذه القناطر.

1-2-4 قناطر كبرى على الأنهار Barrages

تنشأ هذه القناطر على الأنهار مثل نهر النيل بغرض التحكم في التصريفات المارة من خلال فتحاتها ولرفع مناسيب المياه أمامها بالدرجة المناسبة لتغذية الرياحات والترع الكبرى المستخدمة أساساً لري الأراضي الزراعية على أن تنفذ هذه الموازنات في حدود فرق التوازن المسموح به في تصميم هذه القناطر.

2-2-4 قناطر الأفمام Head Regulators

تنشأ هذه القناطر عند مأخذ الترعة أو الرياحات الأخذة من أمام القناطر الكبرى وذلك للتحكم في مناسيب وتصريفات الخلف حسب الملخص المائي التصميمي لهذه الترعة Synoptic diagram .

3-2-4 قناطر الموازنة / قناطر الحجز Intermediate Regulators

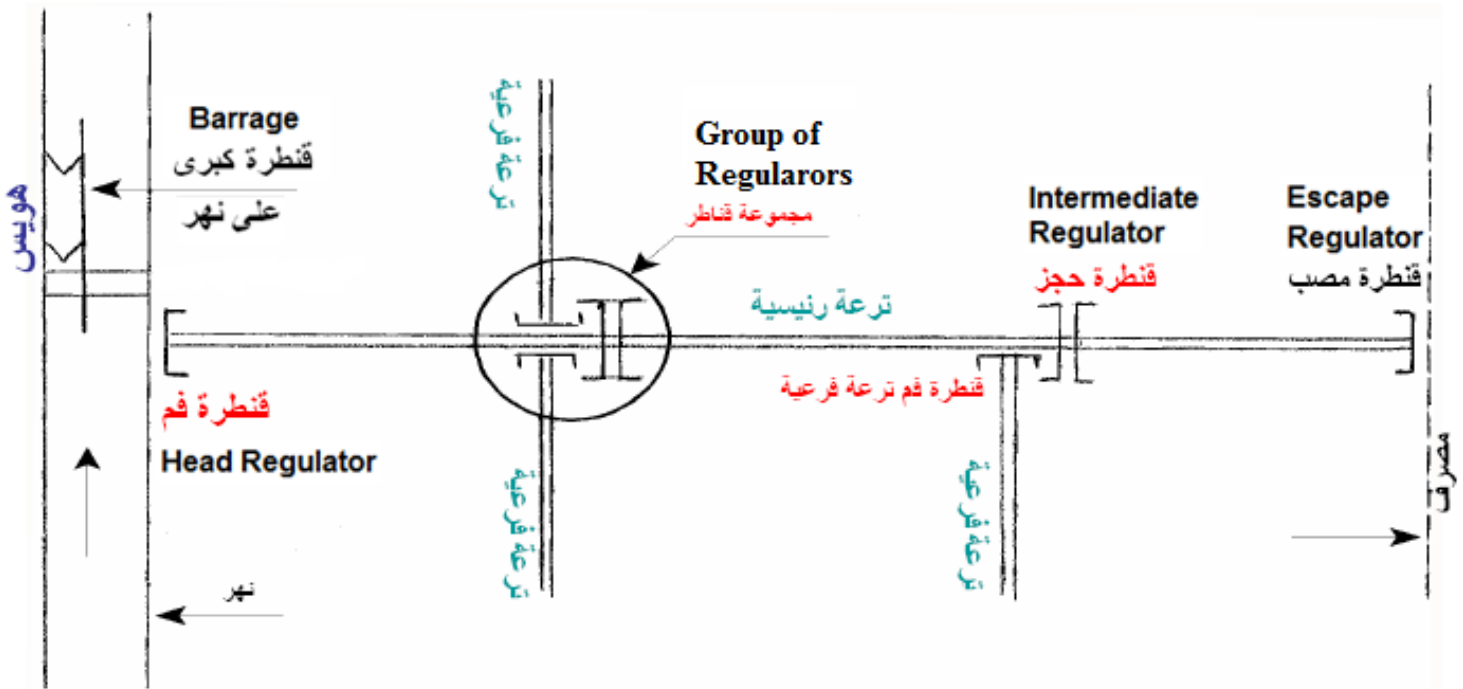
يتم إنشاء هذا النوع من القناطر على أحباس مختلفة على طول الترعة خاصة عند حدوث تغيير في التصريفات أو اختلاف القطاع المائي للترعة وذلك للتحكم في مناسيب المياه وتنظيم السريان لتسهيل تغذية الترعة الفرعية والجنايبات التي تأخذ مياهها من أمام هذه القناطر.

4-2-4 قناطر المصب Escape Regulators

تقام هذه القناطر عند نهايات الرياحات والترع الكبيرة للتحكم وتنظيم صرف المياه الزائدة عن احتياجات الري إلى المصارف وكذلك المحافظة على منسوب المياه التصميمي والضروري أمامها لضمان تواجد المياه بالحبس الأخير من الترعة على المناسيب اللازمة لري الأراضي الزراعية المترتبة على هذا الحبس.

5-2-4 مجموعة قناطر Group of Regulators

تنشأ مجموعة من القناطر متعددة الأغراض في موقع واحد إحداها أساسية كقناطر حجز والأخرى قناطر فرعية للتوزيع.



شكل (4-20): رسم تخطيطي يوضح مواقع الأنواع المختلفة للقناطر

3-4 تصميم القناطر Regulators Design

ينقسم تصميم القناطر عادة إلى التصميم الهيدروليكي Hydraulic design والتصميم الإنشائي Structural design حيث يختص التصميم الهيدروليكي بتحديد تصرفات المجرى المائي والسرعات المسموح بها في أجزائه المختلفة ومن ثم تحديد الأبعاد الرئيسية للمنشأ أما التصميم الإنشائي فيتعرض لسلامة مكونات المنشأ تحت الأحمال والقوى الناشئة في ظروف التشغيل المحتملة. ويشمل التصميم الإنشائي للقناطر تصميم الأجزاء الرئيسية التالية :

- 1- أجزاء علوية Super-Structures وتشمل الدعامات الوسطية (البغال) Piers ، الدعامات الطرفية (الأكتاف) Abutments، حوائط الأجنحة الأمامية والخلفية Wing walls، العناصر الإنشائية الحاملة للطريق فوق القناطر (عقود أو بلاطات خرسانية مسلحة وكمرات)، بوابات حديدية Gates تنزلق رأسياً

داخل مجارى خاصة (درونات) Grooves ويعمل عادة خط ثان من الدرونات للاستخدام فى حالات الطوارئ والترميمات.

2- أجزاء تحتية Sub-Structures وتشمل الأساسات (الفرش والذى غالبا ما يزود بستائر حديدية أو حوائط قاطعة). ويجدر بالذكر أن تصميم فرش القنطرة تحكمه النواحي الفنية التى ذكرت تفصيلاً بالفصل الأول، أما ما يتعلق بباقي العناصر الإنشائية للقناطر ، فذلك ما سنتناوله فى فقرات قادمة بإذن الله تعالى.

1-3-4 التصميم الهيدروليكي Hydraulic Design

أولاً : الحالة التى تكون فيها البوابات مفتوحة تماماً Fully Open Regulator

ويراعى فى هذه الحالة ثلاثة اعتبارات :

1- السرعات القصوى المسموح بها فى الفتحات Max. Allowable Velocity

يجب ألا تزيد السرعة القصوى للمياه خلال فتحات القناطر V_v عن (ضعف إلى ثلاثة أضعاف) سرعة المياه فى المجرى المائى الذى تنشأ فيه القنطرة V_c . وتتراوح قيم السرعات القصوى المسموح بها فى فتحات القناطر حسب أهمية القنطرة ما بين (1 - 3.5 متر / ث)

القناطر الصغيرة (عرض الفتحات 1 - 3 متر) 1.00 - 1.50 متر / ث

القناطر الكبيرة (عرض الفتحات 3 - 5 متر) 1.50 - 2.00 متر / ث

القناطر على الأنهار (عرض الفتحات أكبر من 5 متر) 2.50 - 3.50 متر / ث

2- الطول الكلى لفتحات القنطرة

يحدد الطول الكلى لفتحات القنطرة L بأنه حاصل ضرب عدد الفتحات n وطول الفتحة الواحدة (البحر الخالص) S على النحو التالى :

$$L = n \cdot S \quad (4-1)$$

ويمكن أيضا حساب الطول الكلى للفتحات من المعادلة (4-2) :

$$L = Q / (V_v \cdot d) \quad (4-2)$$

حيث

$$Q = \text{التصرف الأقصى المار بالمجرى المائى متر}^3 / \text{ث}$$

V_v = السرعة المسموح بها خلال الفتحات متر / ث

d = عمق المياه خلف القنطرة متر

3- عدد الفتحات والطول الكلى للقناطر بين الأكتاف

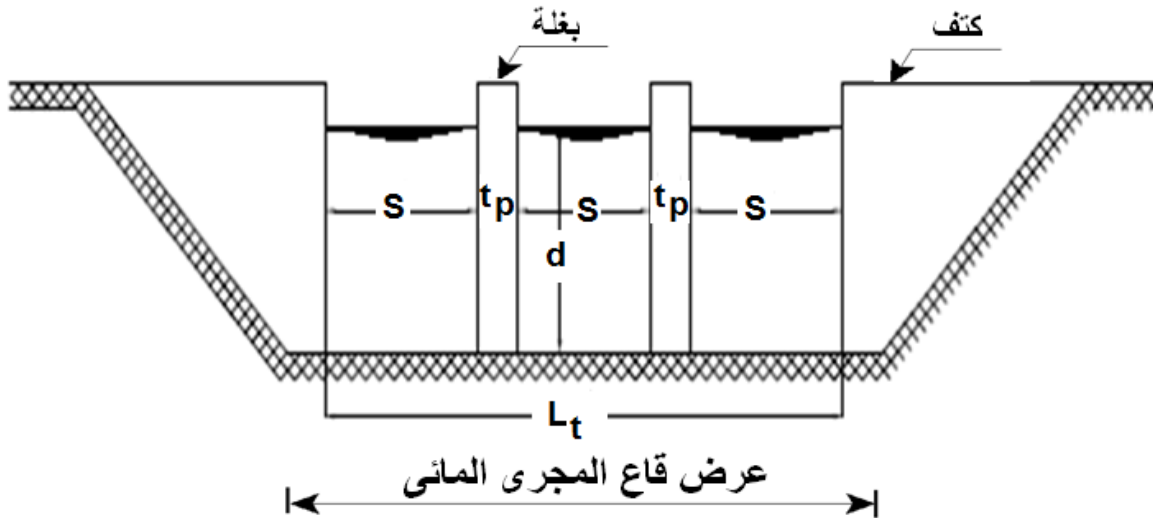
يتم اختيار طول الفتحة الاقتصادية (S) (علما بأنه كلما زاد طول الفتحة زادت تكاليف إنشائها) وبمعرفة الطول الكلى للفتحات L يمكن حساب عدد الفتحات المطلوبة n من المعادلة (4-1) مع مراعاة تصحيح النتيجة المحسوبة ليكون عدد الفتحات رقما صحيحا ويجب مراجعة قيمة سرعة السريان في الفتحات للتأكد أنها في الحدود الآمنة بعد تصحيح عدد الفتحات. وبالرجوع إلى الشكل (4-21) فإنه يمكن حساب الطول الكلى للقناطر بين الكتفين L_t من المعادلة التالية :

$$L_t = n S + (n - 1) t_p \quad (4-3)$$

حيث

t_p = عرض الدعامة الوسطى (البغلة) Pier

وفي الأحوال العادية تتراوح النسبة بين الطول الكلى للقناطر بين الأكتاف وعرض قاع المجرى المائي ما بين 0.60 إلى 1.00 وذلك لتحقيق ترابط عام مناسب بين المنشأ والأعمال الترابية المحيطة به.

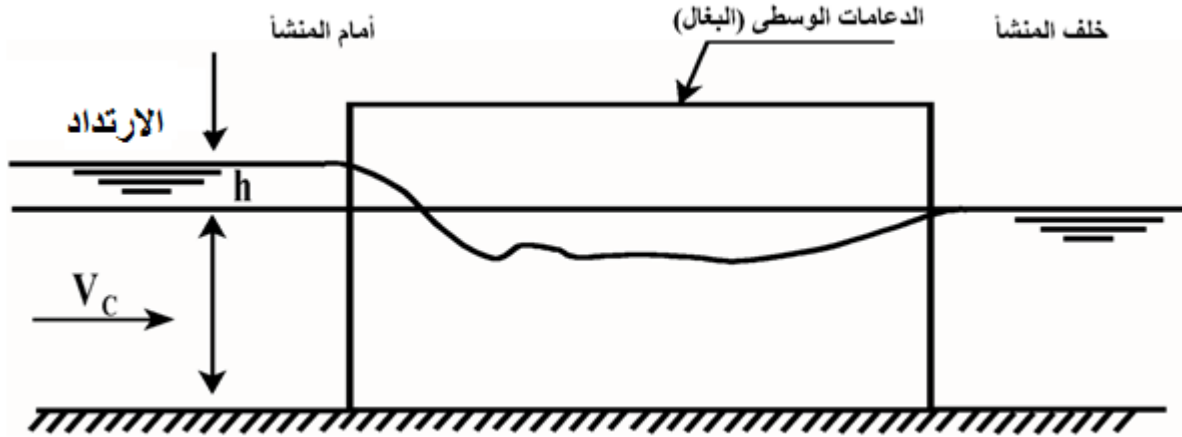


شكل (4-21): الطول الكلى للقناطر بين الكتفين

4-1-3-1 الارتداد Heading up

يعرف الارتداد Heading up بأنه الفارق بين منسوبي المياه أمام وخلف المنشأ الهيدروليكي والذي ينشأ نتيجة لاعتراض المنشأ للسريان وضيق مساحة القطاع المائي خلاله عن القطاع الطبيعي للمجرى المائي (شكل 4-22). ويتم

حساب الارتداد للقناطر وهى مفتوحة فتحة كاملاً لإمرار أقصى تصرف من خلالها مع مراعاة ألا يزيد هذا الارتداد عن 10 سم . ويمكن حساب الارتداد أمام القناطر باستخدام إحدى الطرق المذكورة تفصيلاً فى الباب الثالث (فقرة 2-2-3).



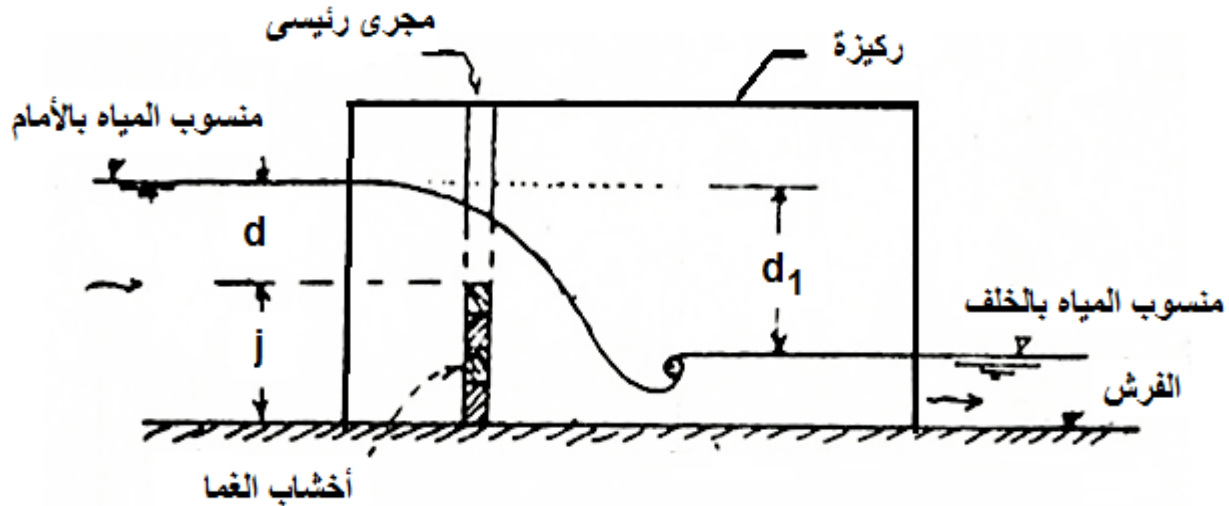
شكل (22-4): إرتفاع المياه أمام المنشأ (الارتداد)

ثانياً : الحالة التى تكون فيها القنطرة مفتوحة جزئياً Partially Open Regulator

فى هذه الحالة تكون الموازنة على القنطرة بإحدى طريقتين :

1- الموازنة باستخدام أخشاب الغما Regulation with Flush boards

فى هذه الحالة (شكل 23-4) يمكن حساب معدل التدفق كمايلى:



شكل (23-4) : الموازنة باستخدام أخشاب الغما

$$Q = L.q = L.C_d.\sqrt{2g}.d^{3/2} \quad (4-4)$$

حيث

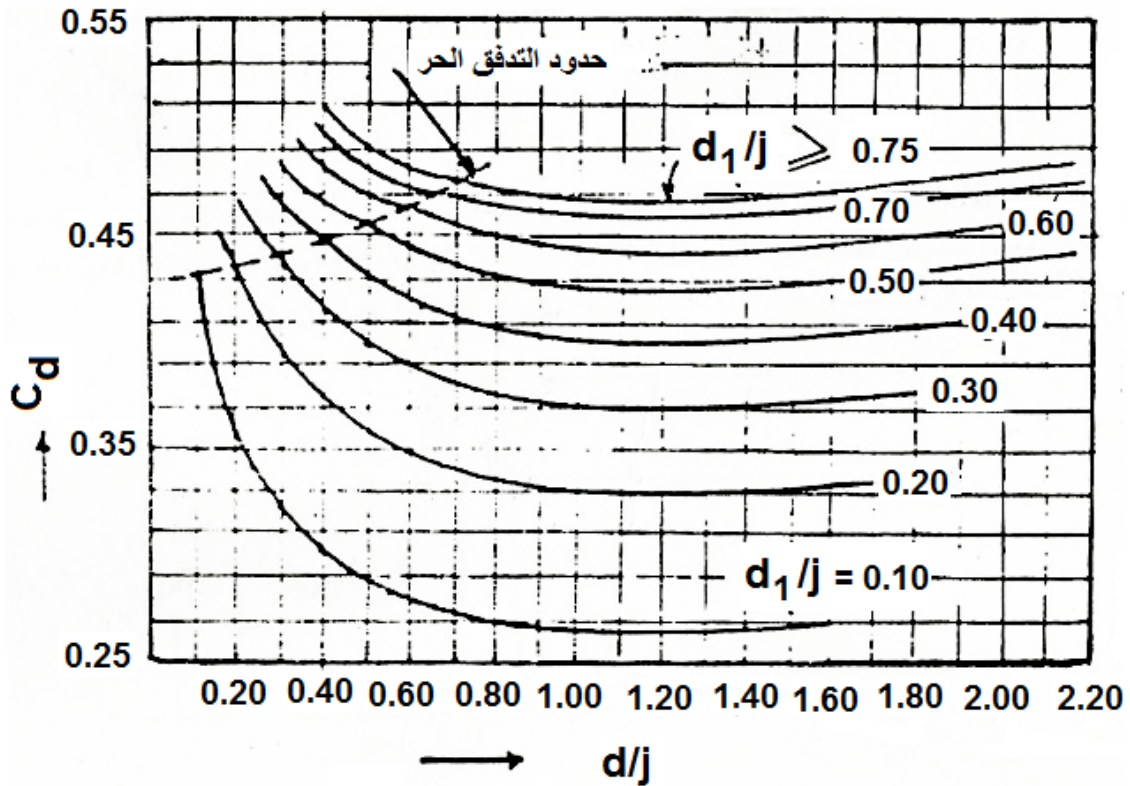
Q = المعدل الكلي للتدفق.

L = العرض الفعال للقنطرة ($L = n.S$)

q = معدل التدفق لوحدة العرض.

d = ارتفاع المياه بالأمام فوق أخشاب الغما.

C_d = معامل تدفق يستنتج من الشكل 24-4.



شكل (24-4) : معامل التدفق C_d بالمعادلة (4-4)

2- الموازنة باستخدام البوابات Regulation with Sluice gates

يكون التدفق المندفع من فتحة البوابة الرأسية "تدفقاً حراً" Free flow أو "تدفقاً مغموراً" Submerged flow تبعاً لظروف القناة الخلفية التي تندفع إليها المياه عبر البوابة ويمكن بيان ذلك فيما يلي:

- حالة التدفق الحر Free Flow

تتحقق هذه الحالة والتي يمثلها الشكل 4-25 إذا ما كانت القفزة الهيدروليكية Hydraulic jump قفزة مستقرة أو مطرودة (أي أنها تتحرك في اتجاه الخلف)، ويتوقف التدفق عبر البوابات في هذه الحالة على النسبة بين فتحة البوابة W وعمق التدفق بالأمام d_1 بقناة الاقتراب، ويمكن حساب ذلك من المعادلة التالية:

$$Q = L.q = L.C_d.W.\sqrt{2gd_1} \quad (4-5)$$

حيث

Q = المعدل الكلي للتدفق.

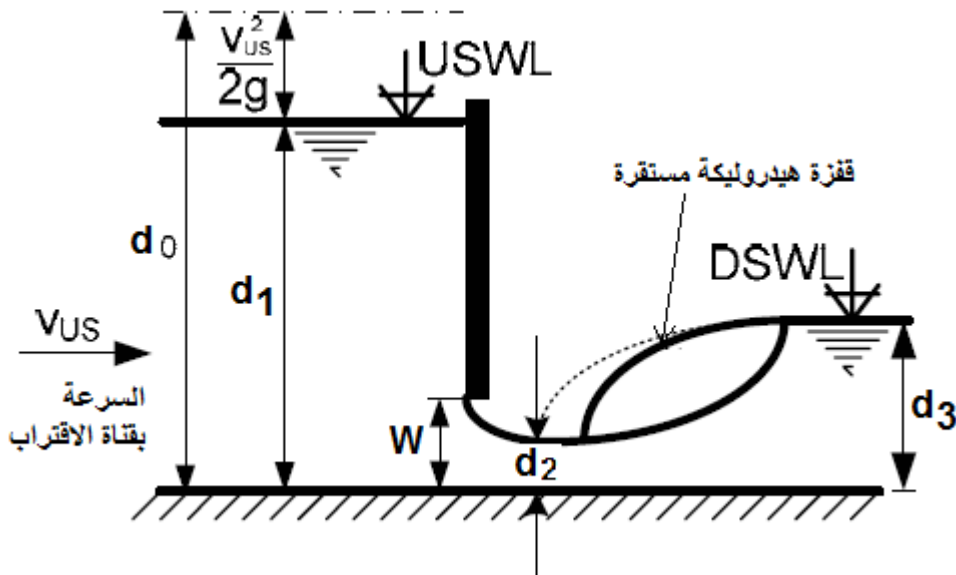
L = العرض الفعال للقنطرة ($L = n.S$)

q = معدل التدفق لوحدة العرض.

W = فتحة البوابة.

d_1 = عمق التدفق بقناة الاقتراب.

C_d = معامل تدفق يستنتج من الشكل 4-24 (منحنيات التدفق الحر)



شكل (4-25) : حالة التدفق الحر Free Flow

- حالة التدفق المغمور Submerged Flow

فى هذه الحالة التى يمثلها الشكل 4-26 يكون عمق التدفق بالقناة الخلفية d_3 أكبر من العمق الملازم d_4 للعمق d_2 ، وهذا يعنى ان عمق المياه بالخلف d_3 أكبر مما يلزم لتكوين قفزة هيدروليكية مستقرة خلف البوابة، ونتيجة لذلك تنغمر قذيفة المياه المندفعة من فتحة البوابة بكتلة دوارة من المياه ليس لها محصلة حركة نهائية فى اى اتجاه، ولهذا يمكن اعتبارها كتلة مياه ساكنة، ويمكن حساب العمق الملازم d_4 من العلاقة التالية:

$$d_4 = \sqrt{\frac{2q^2}{g d_2} + \frac{d_2^2}{4}} - \frac{d_2}{2} \quad (4-6)$$

حيث

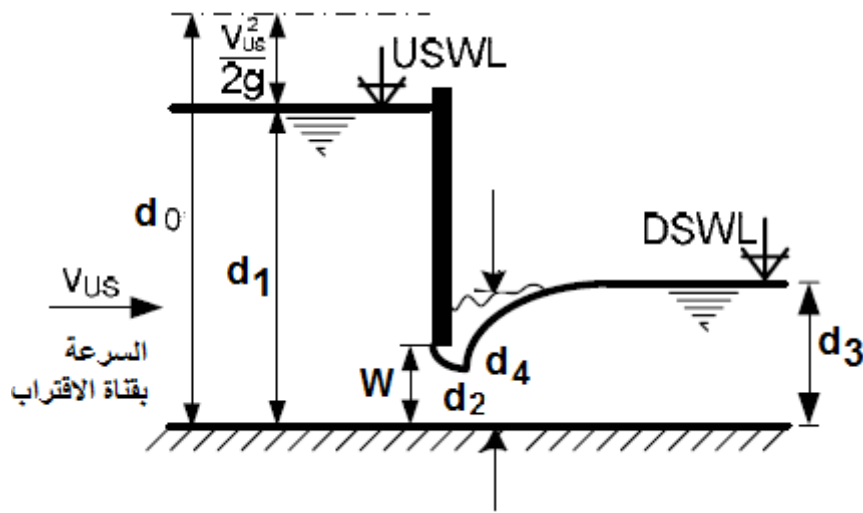
d_4 = العمق الملازم conjugate depth.

q = معدل التدفق لوحدة العرض فى حالة التدفق الحر.

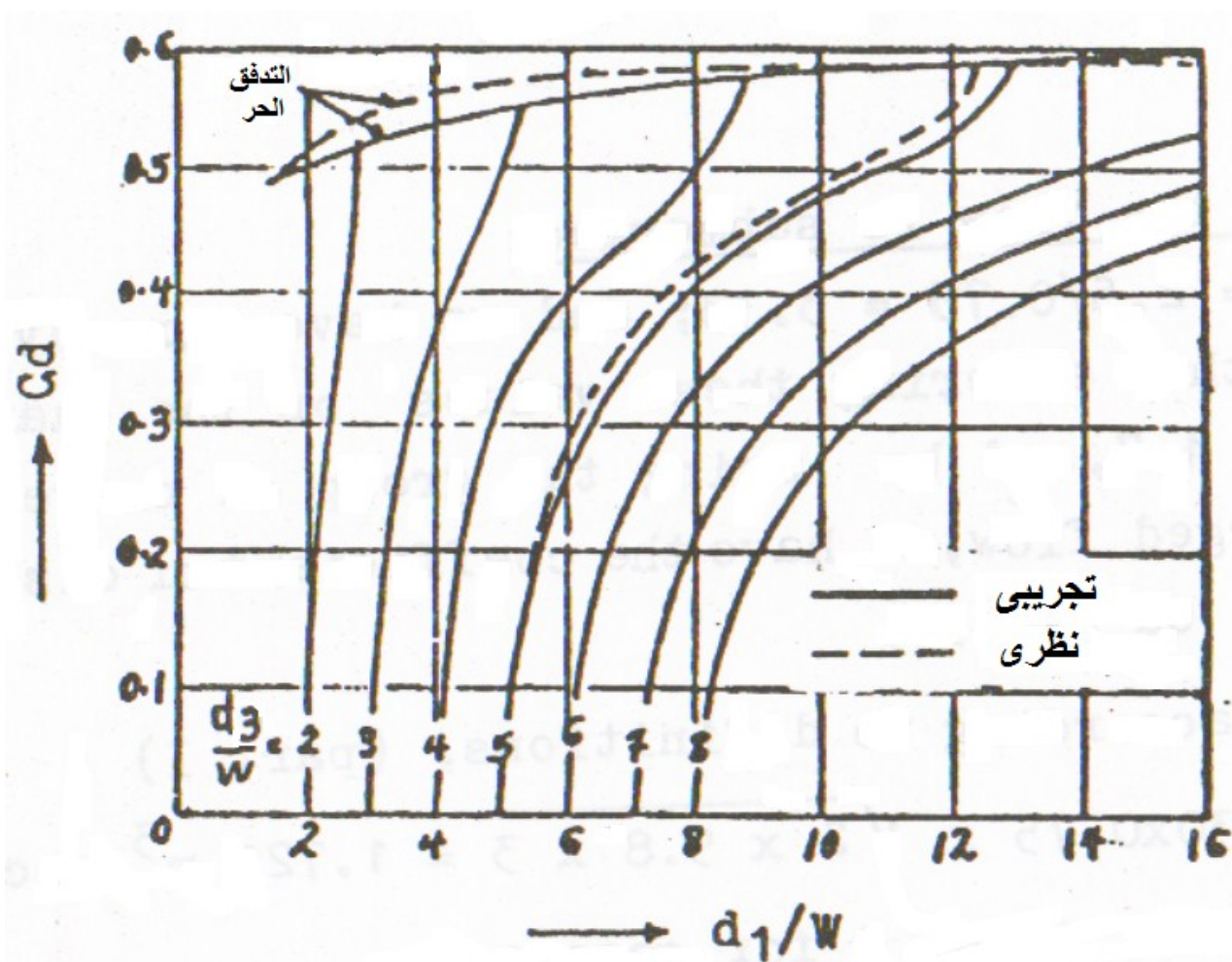
d_2 = عمق التدفق خلف البوابة مباشرة (أنظر الشكل 4-27) حيث $(d_2 = 0.61 W)$.

g = عجلة الجاذبية الأرضية.

ويمكن حساب التدفق باستخدام نفس المعادلة (4-5) وذلك باستنتاج معامل التصرف C_d من منحنيات التدفق المغمور بالشكل 4-27



شكل (4-26) : حالة التدفق المغمور Submerged Flow



شكل (4-27) : قيم معامل التدفق C_d في حالة التدفق الحر والتدفق المغمور

2-3-4 التصميم الإنشائي Structural Design

1-2-3-4 إيجاد أبعاد الركائز "البغال" Piers

إن عرض الركيزة " t_p " يخضع لإعتبارات عملية بالإضافة إلى ضمان استقرار الركيزة إنشائياً، وعلى سبيل المثال يجب أن يراعى إمكان إعداد مجرى للبوابة groove دون إضعاف عزم الركيزة في الاتجاه العرضي (المتعامد مع محورها الطولي)، ويمكن تحديد عرض الركائز تجريبياً بما يساوى $4/1$ إلى $3/1$ عرض الفتحة "S" في حالة البناء بالأحجار أو الخرسانة العادية. وفي حالة استخدام الخرسانة المسلحة يكون عرض البغال مساوياً $10/1$ إلى $8/1$ عرض الفتحة "S".

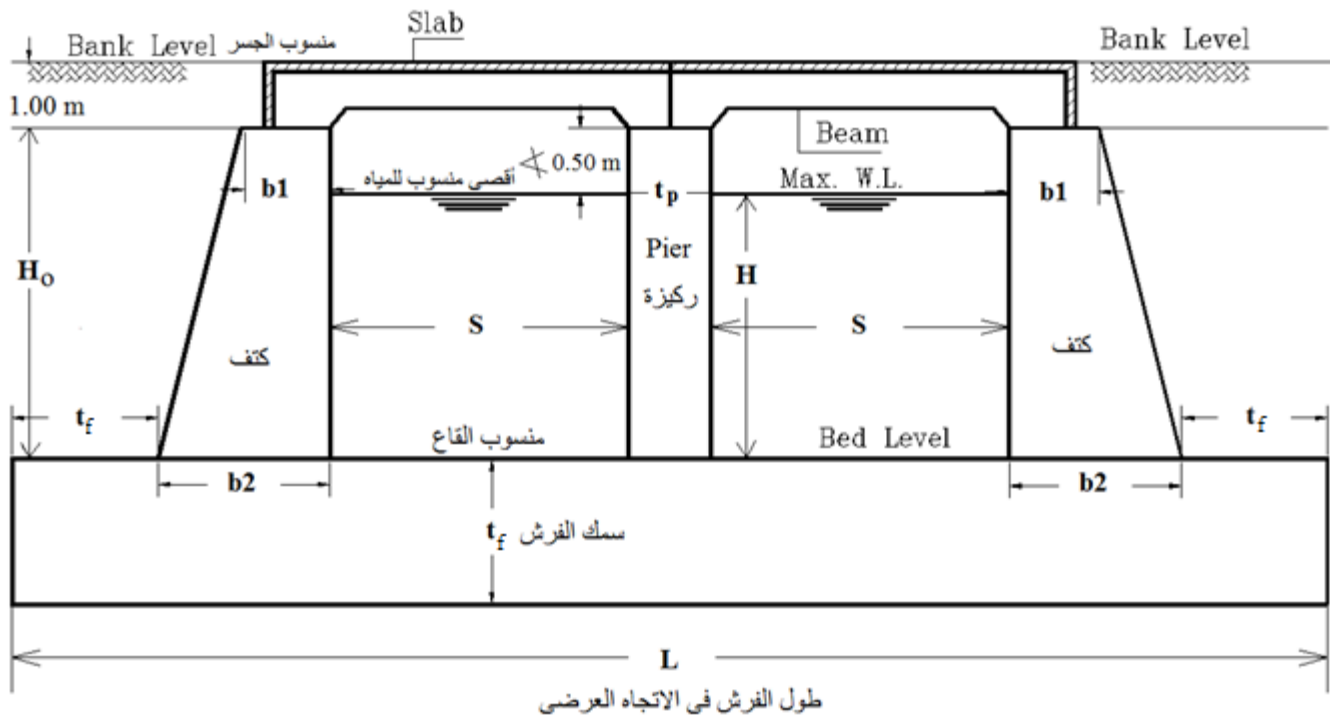
ويحدد ارتفاع الركيزة بحيث يكون منسوب سطحها العلوى مع منسوب حائطى الجناحين بالأمام أعلى من أقصى منسوب للمياه فى الأمام بما لا يقل عن 50 سم (شكل 4-28).

ويحدد طول الركيزة بحيث يغطى عرض الطريق فوق القناطر شاملاً رصيفى المشاة على الجانبين وعرض الدراوى بالإضافة إلى مسافة كافية لتشغيل أجهزة رفع وإنزال البوابات بالإضافة إلى التجاويف الرئيسية والاحتياطية للبوابات Main and emergency grooves. وتستخدم التجاويف الأساسية لتنزلق بها بوابات التحكم فى التصرف المائى ويوضح الجدول 1-4 أبعاد هذه التجاويف.

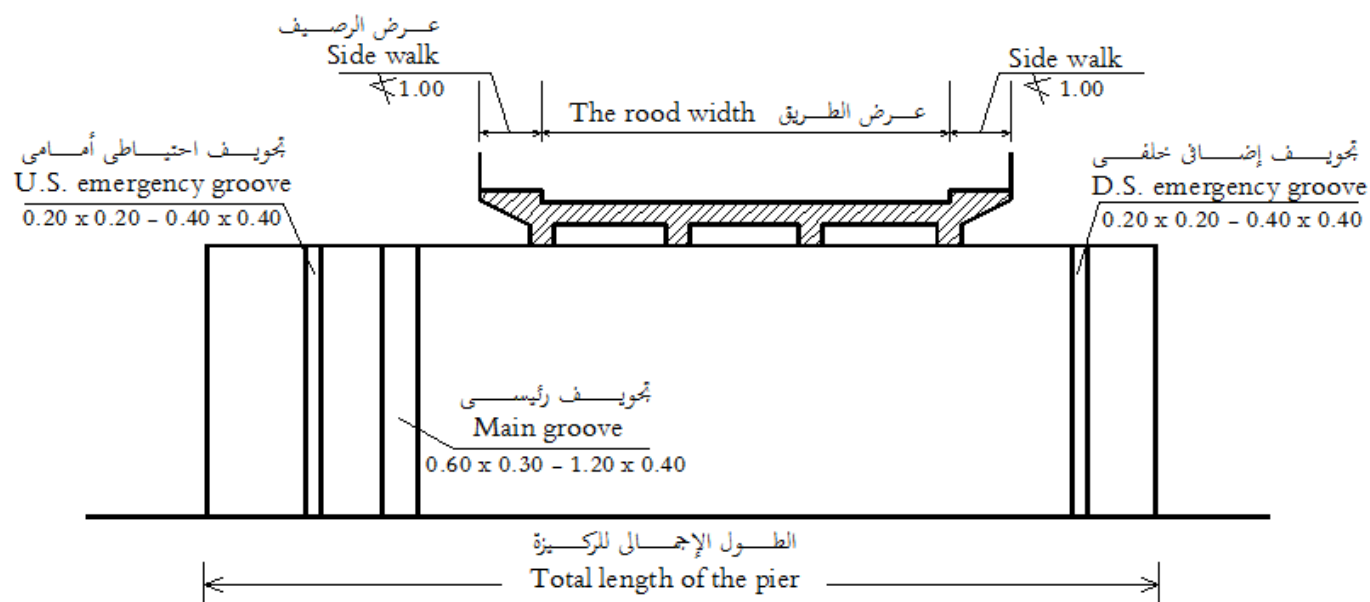
جدول (1-4) : أبعاد التجاويف الأساسية

عرض فتحة القنطرة (متر)	4.00-3.00	5.00-4.00	6.00-5.00	8.00-6.00	10.00-8.00
عرض التجويف (متر)	0.60	0.75	0.90	1.00	1.20
عمق التجويف (متر)	= عرض التجويف / 3				

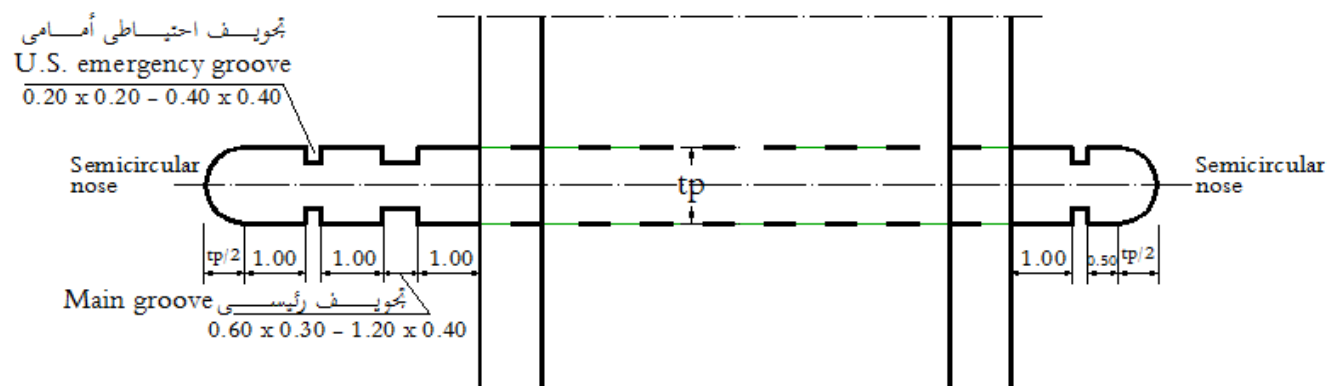
أما التجاويف الاحتياطية فتعمل أمام وخلف التجاويف الأساسية والغرض منها الاستعمال في حالة تجفيف الفتحات بغرض الصيانة أو الترميم والإصلاح ومقاسات التجاويف تؤخذ عادة 0.20×0.20 م أو 0.40×0.40 م وتبطن التجاويف الرئيسية بحديد الزهر Cast iron أما التجاويف الاحتياطية فلا يشترط تبطينها. ويوضح الشكل 29-4 كيفية حساب طول الركيزة.



شكل (28-4) : قطاع عرضي في قنطرة من فتحتين



Elevation

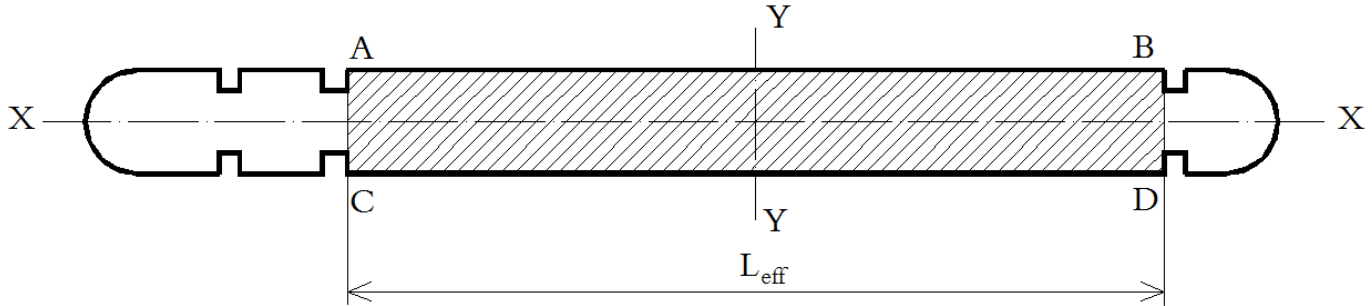


Plan

شكل (4-29) : كيفية تحديد طول الركيزة

1-1-2-3-4 استقرار الركائز Stability of Piers

طبقاً للخبرة المصرية في حسابات استقرار ركائز القناطر فإنه يفترض أن الجزء من جسم الركيزة الذى تنتقل اليه فعلا الإجهادات الناتجة عن الأوزان الرأسية والضغوط الأفقية للمياه، هو ذلك الجزء الذى يلي مباشرة المجرى الرئيسى للبوابات فى اتجاه الخلف (الجزء A B C D شكل 30-4) ، وبعبارة أخرى فإن شرخاً متوقع الحدوث عند موقع المجرى الرئيسى كأحد نقاط الضعف بجسم الركيزة قد أوجب الاعتبار أن الطول المؤثر " L_{eff} Effective length " من الطول الإجمالى للركيزة هو المعول علياً فقط فى مقاومة الاجهادات.



شكل (30-4) : الطول المؤثر من الركيزة

وبطبيعة الحال تكون عزوم ضغوط المياه وكذلك عزوم الأوزان الرأسية هى التى ينتج عنها الإجهادات العمودية على قاعدة الركيزة. ولدراسة اتزان الركيزة فإنه توجد أربعة حالات لتحميل الركيزة نستعرضها فى الفقرات التالية.

1-1-1-2-3-4 حالة أقصى إجهادات رأسية Maximum Vertical Stresses

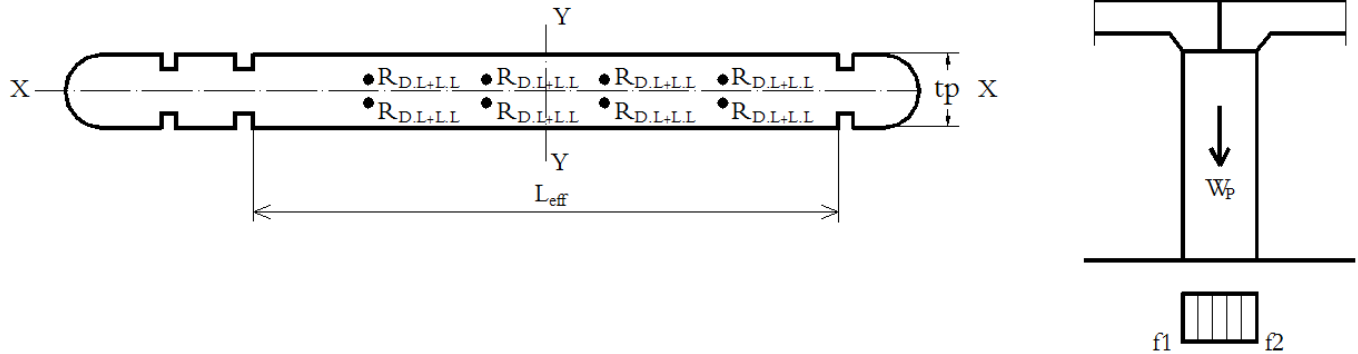
وفى هذه الحالة يتم تحميل كل من فتحتى الكوبرى بالأحمال الحية Live load والميتة Dead load (شكل 4-

(31)

$$N = \Sigma R_{D.L+L.L} + W_p$$

$$A = L_{eff} \times t_p$$

$$f_1 = f_2 = -N/A$$



شكل (31-4) : حالة أقصى إجهادات رأسية

2-1-1-2-3-4 حالة أقصى عزوم في الاتجاه الطولي للركيزة “My” Max. Moment in Longitudinal Direction

وفي هذه الحالة تكون فتحات القنطرة مغلقة والخلف جاف، وترتيب الأحمال من كمرات الكوبرى كما هو موضح بالشكل 32-4

$$N = \Sigma R_{D.L} + \Sigma R_{D.L+L.L} + W_p$$

$$A = L_{eff} \times tp$$

$$P1 = 0.50 \gamma_w \times h_{U.S}^2 \times (S+tp)$$

$$I_y = \frac{tp \times L_{eff}^3}{12}$$

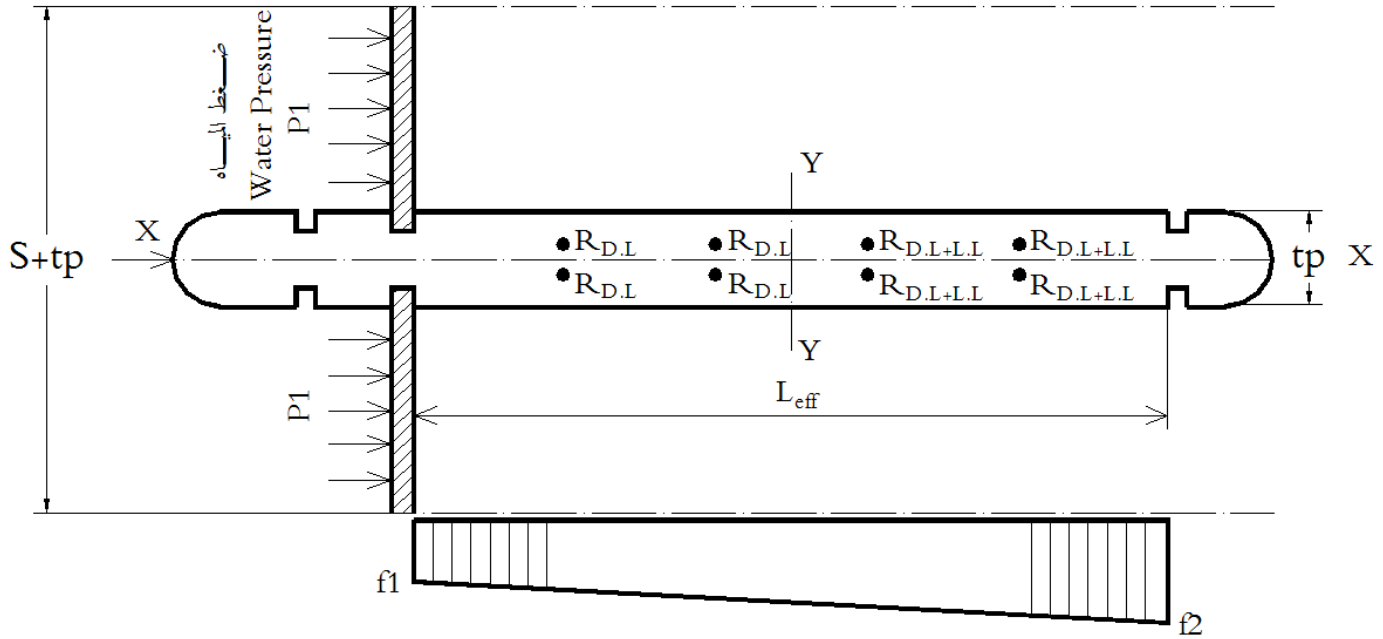
$$M_x = 0$$

$$M_y = P1 \times (h_{U.S}/3) + \Sigma R_{D.L+L.L} \times X_R - \Sigma R_{D.L} \times X_L$$

$$X = \frac{L_{eff}}{2}$$

$$f_1 = -\frac{N}{A} + \frac{M_y \cdot X}{I_y}$$

$$f_2 = -\frac{N}{A} - \frac{M_y \cdot X}{I_y}$$



شكل (32-4) : حالة أقصى عزوم في الاتجاه الطولي للركيزة

3-1-1-2-3-4 حالة أقصى عزوم في الاتجاه المتعامد على المحور الطولي للركيزة Transverse Direction "Mx"

وفي هذه الحالة تكون إحدى الفتحات مفرغة من المياه وبلاطة الكوبرى فوقها محملة بالأحمال الحية، بينما الفتحة المجاورة تملؤها المياه بالمنسوب الأقصى، وبلاطة الكوبرى فوقها لا تتعرض للأحمال الحية (شكل 33-4)

$$N = \Sigma R_{D.L} + \Sigma R_{D.L+L.L} + W_p$$

$$A = L_{eff} \times tp$$

$$P_3 = 0.50 \gamma_w \times h_{U.S}^2 \times L_{eff}$$

$$I_x = \frac{L_{eff} \times tp^3}{12}$$

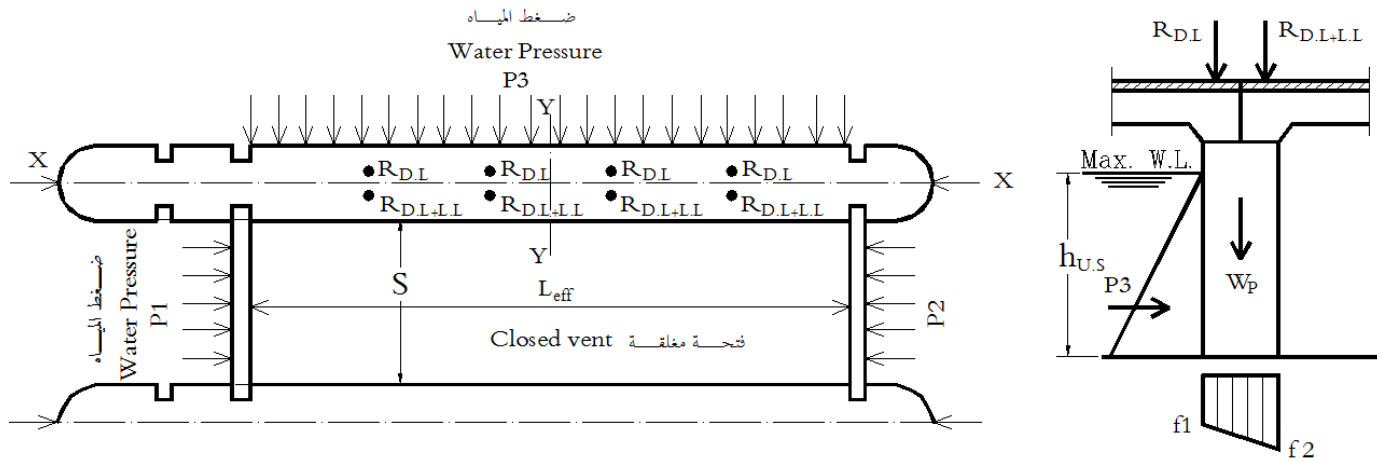
$$M_y = 0$$

$$M_x = P_3 \times (h_{U.S}/3) + \Sigma R_{D.L+L.L} \times Y_R - \Sigma R_{D.L} \times Y_L$$

$$Y = \frac{tp}{2}$$

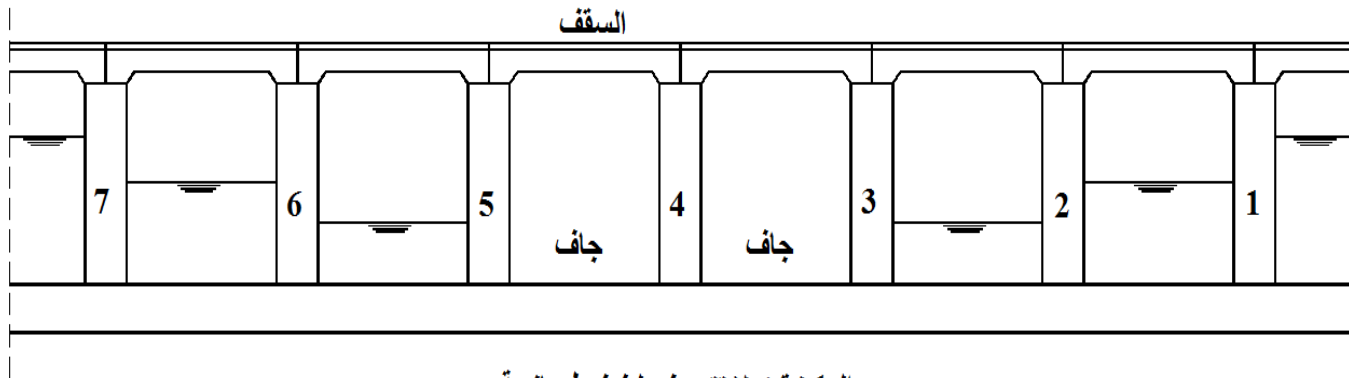
$$f_1 = -\frac{N}{A} + \frac{M_x \cdot Y}{I_x}$$

$$f_2 = -\frac{N}{A} - \frac{M_x \cdot Y}{I_x}$$



شكل (4-33) : حالة أقصى عزوم في الاتجاه المتعامد على المحور الطولي للركيزة

وجدير بالذكر أن حالة التحميل هذه تعطى عادة عرضاً معقولاً للركيزة في القناطر الصغيرة والمتوسطة، وبالنسبة للقناطر ذات الفتحات والضواغط الكبيرة، فإن عرض الركيزة الذي تتطلبه حالة التحميل المشار إليها قد يكون عرضاً كبيراً نسبياً، ولذلك فإنه بالنسبة للقناطر الكبيرة والتي لا يمكن منع المياه خلفها كلية أثناء فترات الصيانة، تتخذ إجراءات على النحو المبين بالشكل التخطيطي 4-34 بحيث يصبح الضغط الرافع على الركائز المحيطة بالفتحات المفرغة من المياه ضغطاً نسبياً.



الركيزة 4 لا تتعرض لضغوط جانبية
الركيزتان 5, 3 تتعرضان لضغط جانبي نسبي
صافي الضغط الجانبي على باقى الركائز فى حدود مقبولة

شكل (4-34): التحكم فى مناسيب المياه خلال الفتحات

4-1-1-2-3-4 حالة العزوم المركبة "Max. Mx, My" Compound Moment

وفى هذه الحالة تكون الفتحات مغلقة والخلف جاف، بينما تتوزع الأحمال من الكوبرى من بلاطة عليها أحمال حية من ناحية والأخرى تتلقى احمالها الثابتة فقط (شكل 4-35).

$$N = \Sigma R_{D.L} + \Sigma R_{D.L+L.L} + W_p$$

$$A = L_{eff} \times tp$$

$$P1 = 0.50 \gamma_w \times h_{U.S}^2 \times (S+tp)$$

$$X = \frac{L_{eff}}{2}$$

$$Y = \frac{tp}{2}$$

$$I_x = \frac{L_{eff} \times tp^3}{12}$$

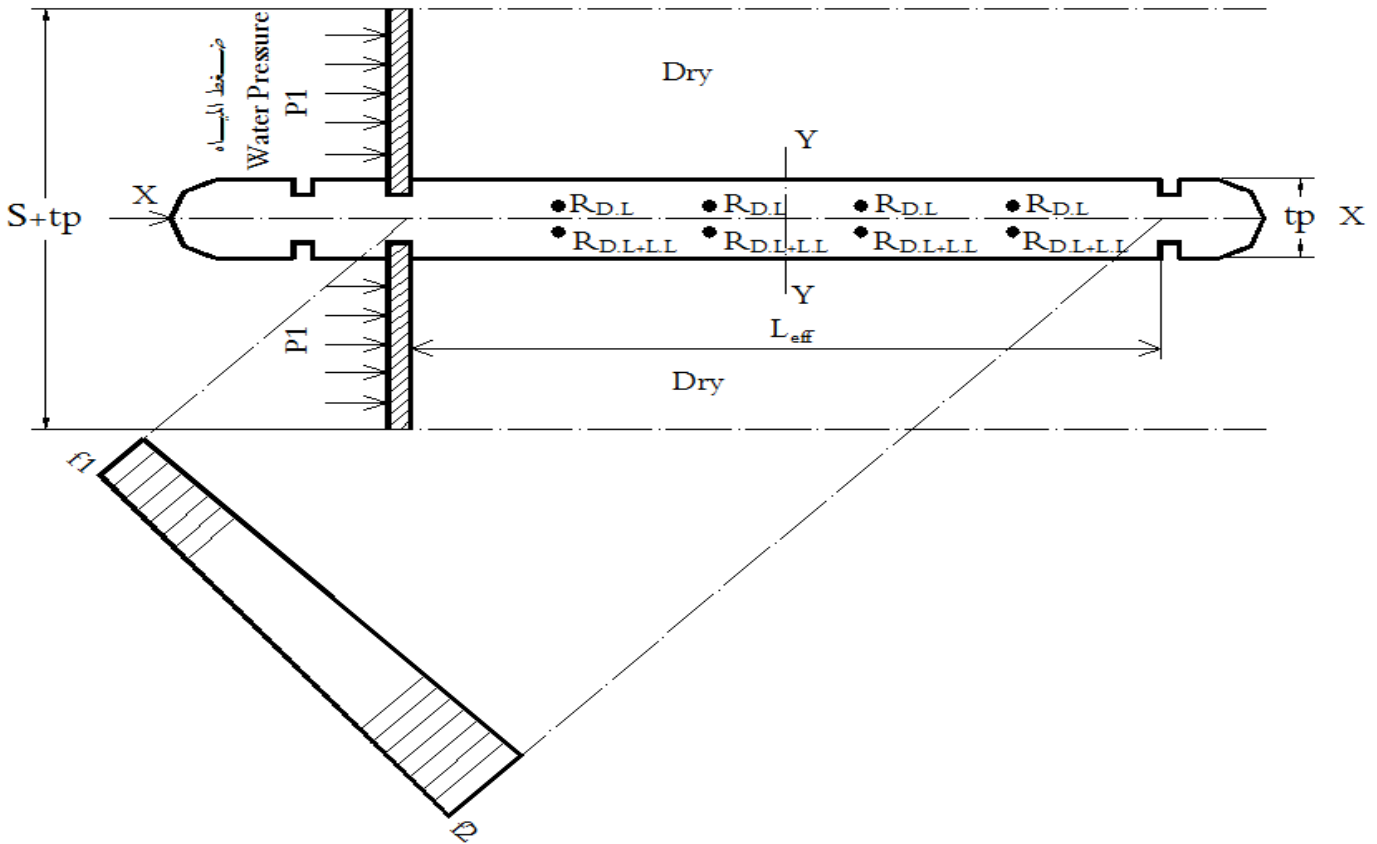
$$I_y = \frac{tp \times L_{eff}^3}{12}$$

$$M_x = \Sigma R_{D.L+L.L} \times Y_R - \Sigma R_{D.L} \times Y_L$$

$$M_y = P_1 \times (h_{U.S}/3)$$

$$f_1 = -\frac{N}{A} + \frac{M_x \cdot Y}{I_x} + \frac{M_y \cdot X}{I_y}$$

$$f_2 = -\frac{N}{A} - \frac{M_x \cdot Y}{I_x} - \frac{M_y \cdot X}{I_y}$$



شكل (4-35) : حالة العزوم المركبة

5-1-1-2-3-4 حالة حدوث ضغوط رفع أسفل الركيزة نتيجة وجود شرخ شعري

هناك حالة أخرى قد يتطلب الأمر التحقق منها، وهي حالة التحميل التي تعطى أقصى لا تتركز "e" على القاعدة، والتي قد ينتج عنها إجهادات شدة، تلك هي حالة حدوث ضغوط رافعة Uplift pressures على قاعدة الركيزة نتيجة شرخ شعري افتراضى يسمح بالتسرب (شكل 4-36)، وغنى عن البيان أنه يمكن افتراض نفس الحالة عند مستويات

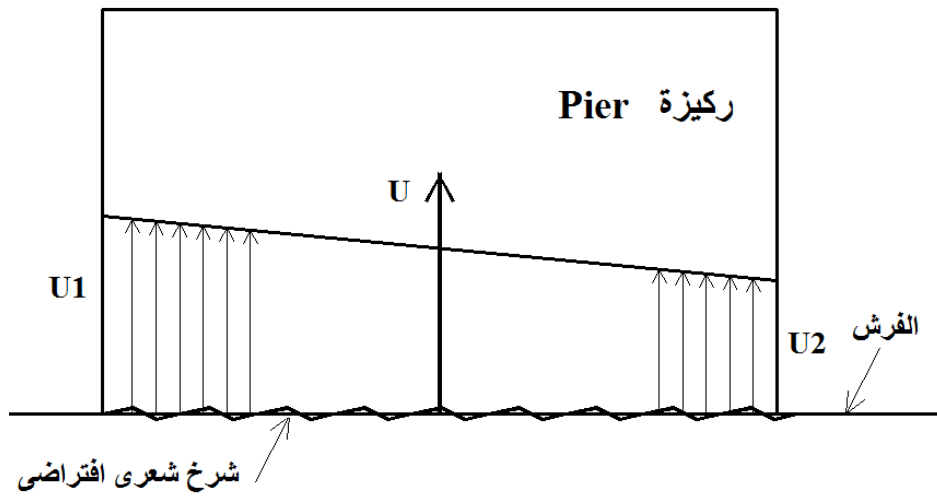
أخرى غير مستوى القاعدة وذلك تبعاً للظروف الواقعية المحيطة بتنفيذ المشروع. وقد سبق مناقشة ذلك عند دراسة السدود التثاقلية بالفصل الثانى. ولاستنتاج قيمة اللاتمرکز "e" :

لنفرض أن صافى مجموع العزوم حول Y هو M_y وأن مجموع الأحمال الرأسية هو " ΣW ", وعلى ذلك فإن المسافة L_1 بالشكل 37-4 تكون :

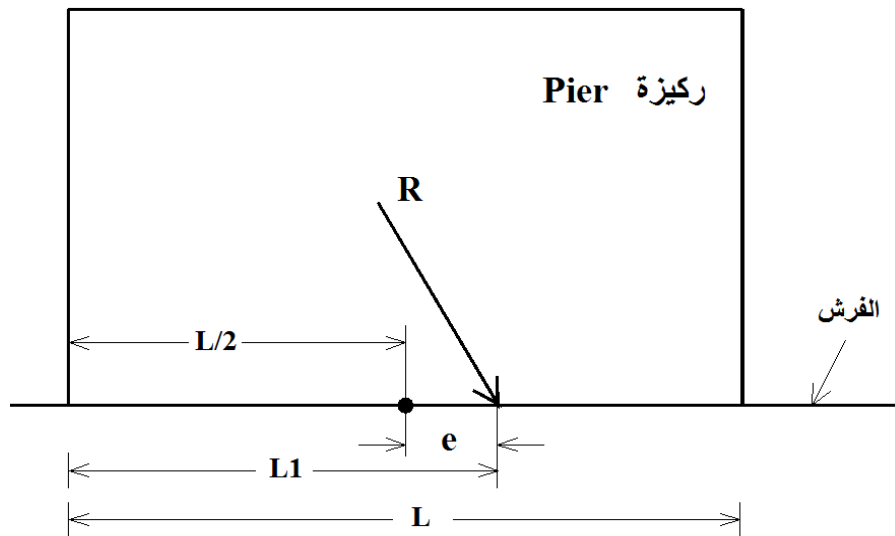
$$L_1 = M_y / \Sigma W$$

ويكون اللاتمرکز "e" هو :

$$e = L_1 - (L/2)$$



شكل (36-4): حالة أقصى لاتمرکز عند مستوى القاعدة نتيجة ضغوط الرفع "U"



شكل (37-4) : محصلة القوى "R" ومسافة اللاتمرکز "e" عند قاعدة الركيزة

2-2-3-4 الأكتاف (الركائز الجانبية) Abutments

يمكن حساب أبعاد الأكتاف المنشأة من الخرسانة العادية – بالقناطر الصغيرة والمتوسطة – شكل (4-38) من المعادلتين العمليتين التاليتين :

$$b1 = 0.18 S + 0.50 \quad (4-7)$$

$$b2 = b1 + 0.25 H_0 \quad (4-8)$$

حيث

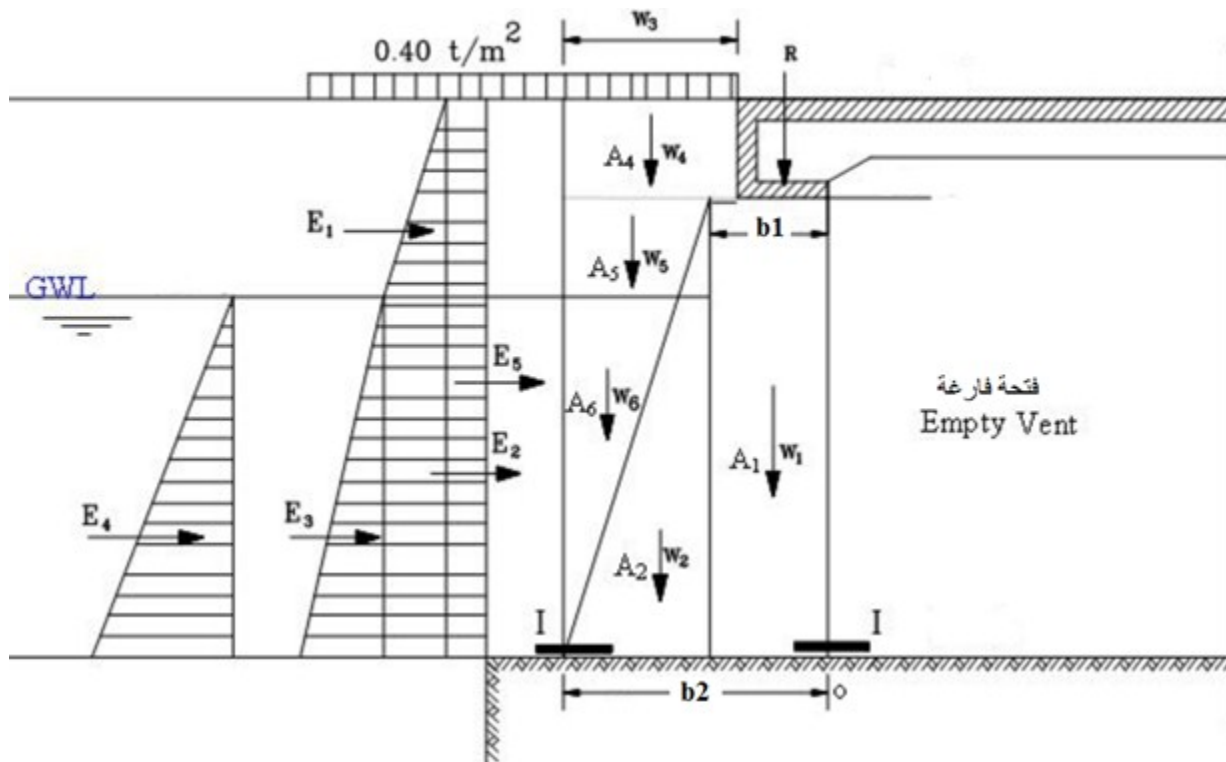
$b1$ = العرض العلوى للأكتاف (متر).

$b2$ = العرض السفلى للأكتاف (متر).

S = عرض الفتحة (متر).

H_0 = إرتفاع الأكتاف (متر).

أما بالنسبة للقناطر الكبيرة فإن تلك المعادلات العملية تستخدم بطبيعة الحال فقط بغرض التقدير المبدئى، أما الأبعاد النهائية فهي ما ينتج عن التصميم على أساس فكرة الحوائط الساندة تحت شروط محددة من التحميل كما هو موضح بالشكل 38-4 . حيث يتم التأكد من أن محصلة القوى التى تؤثر على قاعدة الكتف عند المستوى $I - I$ تقع فى نطاق الثلث الأوسط من المستوى، كما ينبغى التحقق من أن الإجهادات الحادثة على مساحة المستوى (أى العرض $I - I \times 1$ متر) لا تتجاوز الحدود المسموح بها (لحساب الإجهادات وقيمة اللاتمرکز تستخدم نفس المعادلات المستخدمة عند دراسة استقرار الركائز Piers). ولتحقيق ذلك فإنه تؤخذ الحالة الحرجة للتحميل وهى التى تكون أثناء إجراء صيانة للقنطرة . During repair .



$$\begin{aligned}
 W_1 &= \gamma_{pLc} \times A_1 & \text{t/m} \\
 W_2 &= \gamma_{pLc} \times A_2 & \text{t/m} \\
 W_3 &= \text{weight of live load} & \text{t/m} \\
 W_4 &= \gamma_{soil} \times A_4 & \text{t/m} \\
 W_5 &= \gamma_{soil} \times A_5 & \text{t/m} \\
 W_6 &= \gamma_{\text{saturated soil}} \times A_6 & \text{t/m} \\
 E_{1,2,3} &= \text{earth pressure} \\
 E_4 &= \text{water pressure} \\
 E_5 &= \text{surcharge due to LL} \\
 R &= \text{Reaction force from bridge}
 \end{aligned}$$

شكل (4-38): التحقق من استقرار أكتاف القنطرة

3-2-3-4 كبرى الطرق Road Bridges

1-3-2-3-4 البلاطات المسلحة البسيطة Simple Reinforced Slab

تستخدم البلاطات المسلحة البسيطة Simple Reinforced Slab بالنسبة للقناطر التي لا تتجاوز فتحاتها عن 3 متر. ويتكون السقف في هذه الحالة من بلاطة واحدة أو عدة بلاطات ترتكز ارتكازاً بسيطاً فوق الركائز والأكتاف (شكل 4-39)، و يمكن حساب سمك البلاطة ومساحة حديد التسليح بمقتضى المعادلات العملية التالية:

$$t_s = 14 + 4 S$$

(4-9)

حيث

t_s = سمك البلاطة ، سم ، S = عرض فتحة القنطرة بالأمتار.

كذلك :

$$A_s = 8 + 2 S$$

(4-10)

حيث :

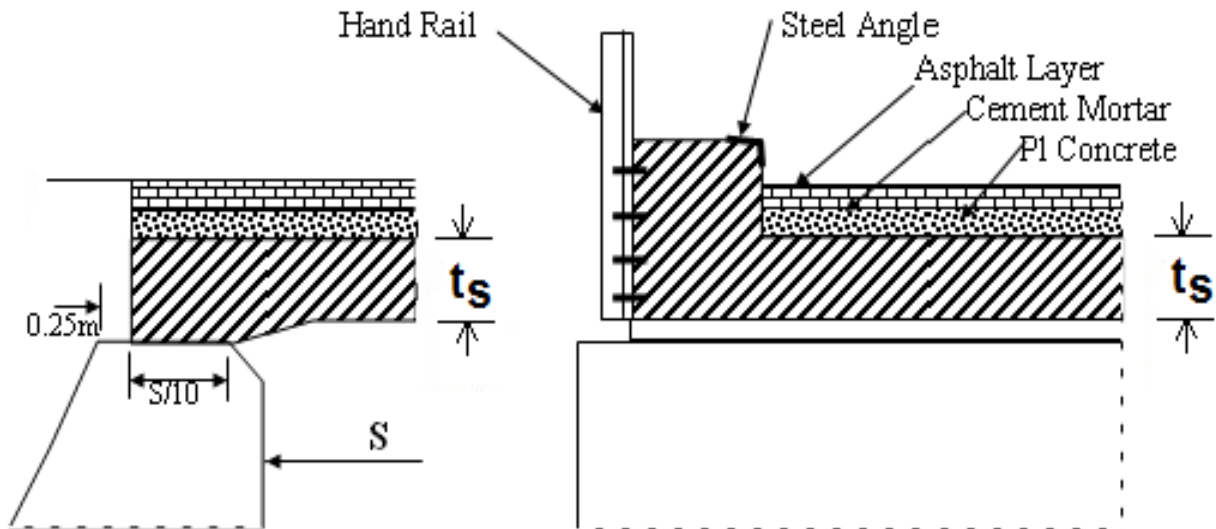
A_s = مساحة حديد التسليح الرئيسى ، سم² ، S = فتحة القنطرة بالأمتار.

كذلك :

$$A_{s1} = 0.50 A_s$$

(4-11)

حيث : A_{s1} = مساحة الحديد الثانوى ، سم² ، A_s كما سبق فى (4-10).



شكل (4-39): الأبعاد العملية لبلاطة مسلحة بسيطة

4-3-2-3-2 الكبارى ذات الكمرات على شكل حرف T

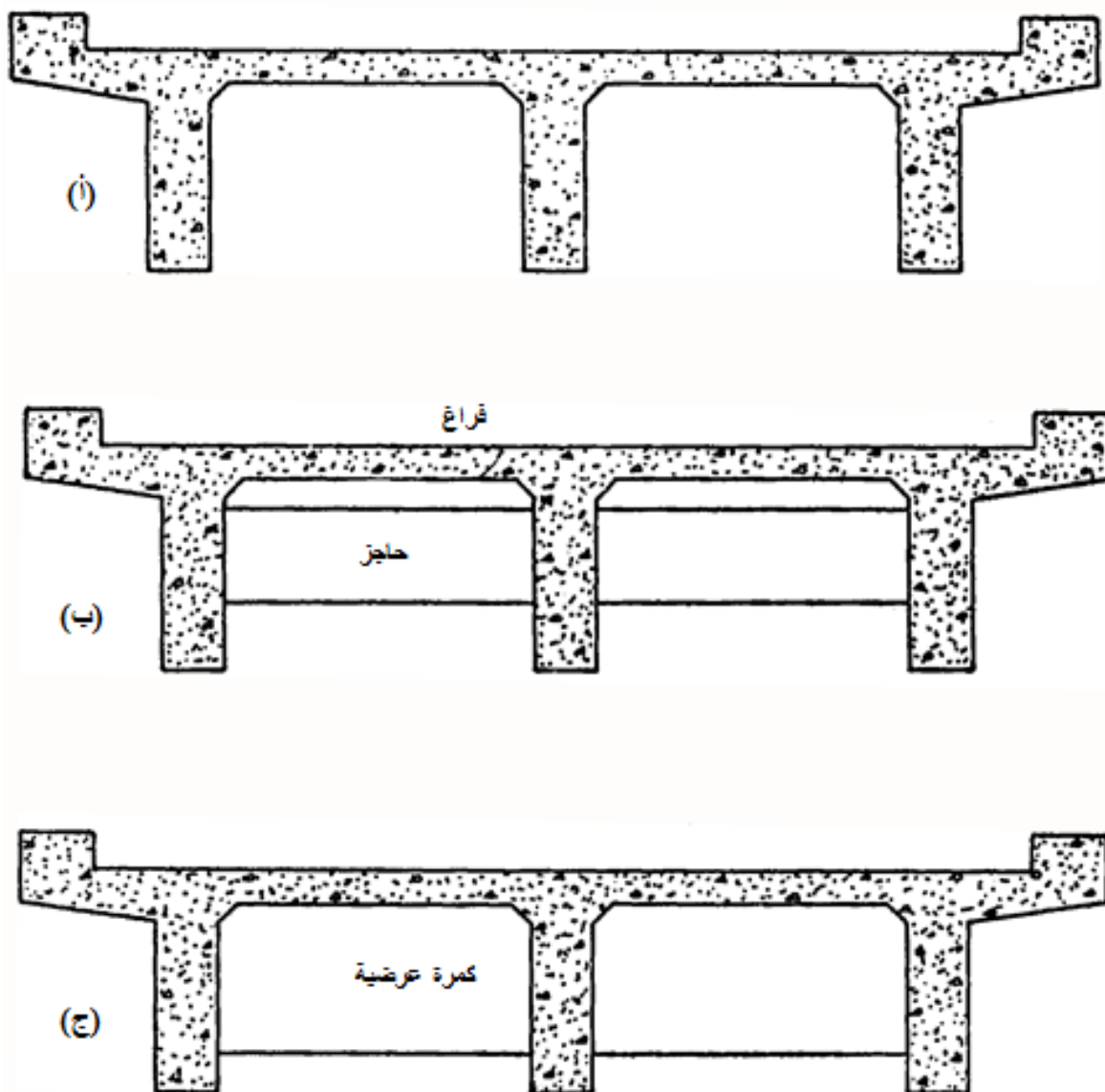
الكبارى ذات الكمرات على شكل حرف T تمثل النمط السائد للكبارى الخرسانية المسلحة ذات البحور التى تتراوح بين 3- 15 متر. وتسمى بهذا الاسم نظرا لأن الكمرات الرئيسية الطولية لهذا النوع من الكبارى تصمم بالاشتراك مع جزء من البلاطة الخرسانية للكوبرى والتى تصب كجزء واحد مع الكمرات. وتصنف الكبارى ذات الكمرات على شكل حرف T إلى ثلاثة نماذج كما هو موضح بالشكل (4-40):

أ- نموذج البلاطة والكمر Slab and girder type وفيه ترتكز بلاطة الكوبرى وتصب كجزء واحد على الكمرات الرئيسية الطولية Main girders ولا يوجد بهذا النموذج كمرات عرضية Cross girders . وفى هذا النموذج تصمم بلاطة الكوبرى كبلاطة ذات إتجاه واحد بين الكمرات الطولية one way slab. والنظام الإنشائى لهذا النموذج ذو جساءة التواء ضعيفة مما قد يعرض قاع الكمرات الطولية لإزاحات عرضية. والشكل (4-41) يبين مساقط نمطية لقنطرة من فتحتين استخدمت فيها هذه النوع من الكبارى.

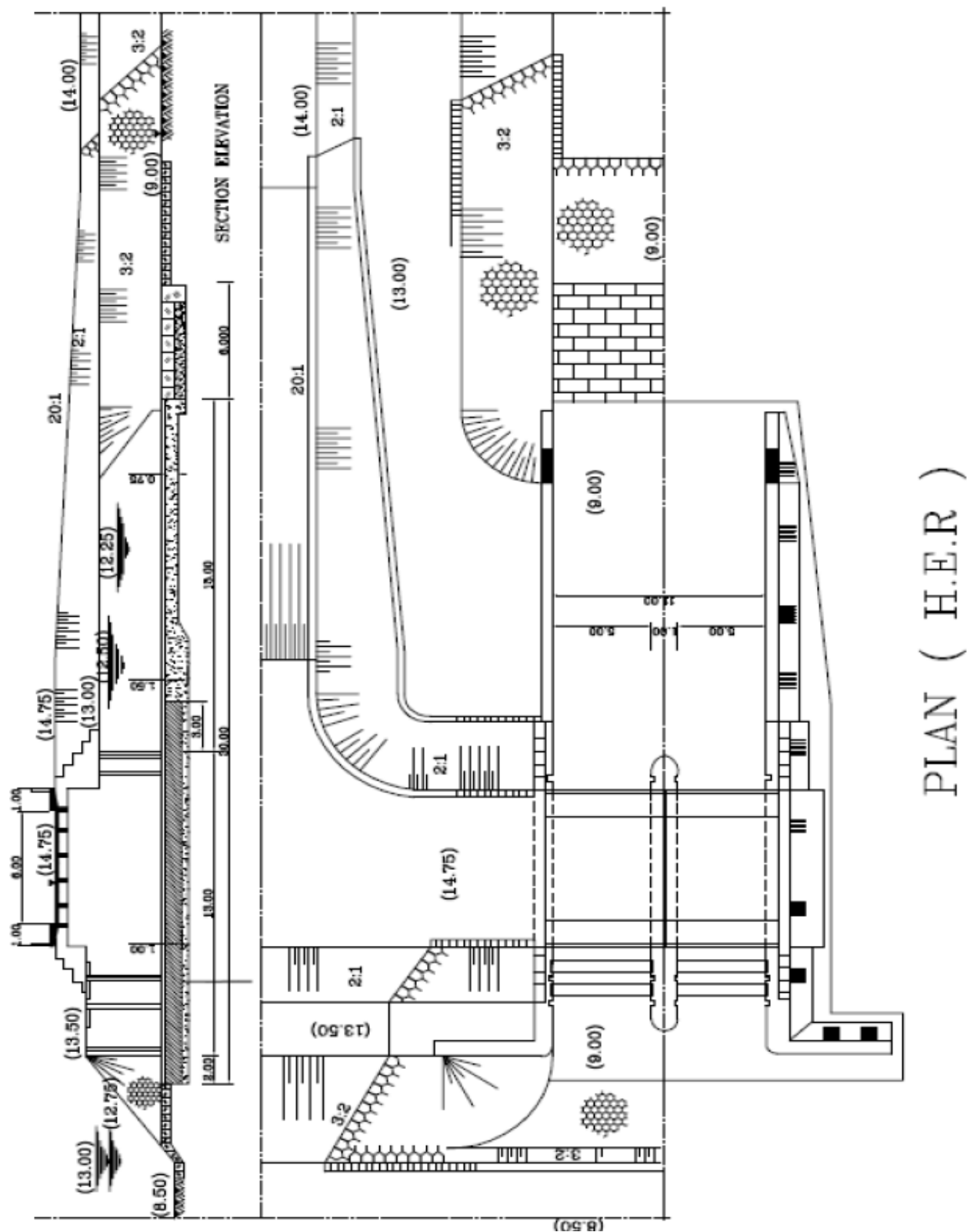
ب- نموذج البلاطة والكمرة والحاجز (Diaphragm) وفيه أيضا ترتكز بلاطة الكوبرى وتصب كجزء واحد على الكمرات الرئيسية الطولية Main girders. وتضاف الحواجز التى تربط بين الكمرات الطولية عند أماكن ارتكاز هذه الكمرات عند موضع أو أكثر من بحر هذه الكمرات. ولكن لا تمتد هذه الحواجز من أعلى حتى بلاطة الكوبرى وبذلك تتصرف هذه البلاطة إنشائيا كبلاطة ذات إتجاه واحد مرتكزة على الكمرات الطولية. ويتميز النظام الإنشائى لهذا النموذج بجساءة التواء عالية مقارنة بالنموذج السابق.

ج- نموذج الكمرة والبلاطة والكمرة العرضية Slab on Main and Cross girders type والذى يشتمل على ثلاثة كمرات عرضية على الأقل تمتد من أعلى حتى بلاطة الكوبرى وتصب فيها كجزء واحد. وفى هذا النموذج فإن بلاطة الكوبرى ترتكز من جوانبها الأربعة على الكمرات الطولية والكمرات العرضية وبذلك فإن هذه البلاطة تصمم كبلاطة ذات إتجاهين Two way slab مما يؤدى إلى الاستغلال الأمثل لصلب التسليح وإلى سمك أقل للبلاطة وبالتالي إلى تخفيض الأحمال الميتة على الكمرات الطولية الرئيسية. ويؤدى وجود الكمرات العرضية إلى زيادة جساءة الكوبرى مما ينعكس على حسن توزيع الأحمال المركزة على الكمرات الطولية كما يؤدى - مع اعتبار بلاطة الكوبرى بلاطة ذات إتجاهين - إلى زيادة المسافة بين الكمرات الطولية وبالتالي تقليل عددها وينعكس ذلك على تقليل نفقات إنشاء الكوبرى.

وطبقاً للكوند المصرى للموارد المائية وأعمال الري فإن نموذج "ج" ذا الكمرة والبلاطة والكمرة العرضية يعطى أقل ترخيم وأفضل توزيع للأحمال المركزة وأعلى حمل أقصى فإنه يوصى باستخدام هذا النموذج حيثما كان هذا ممكناً.



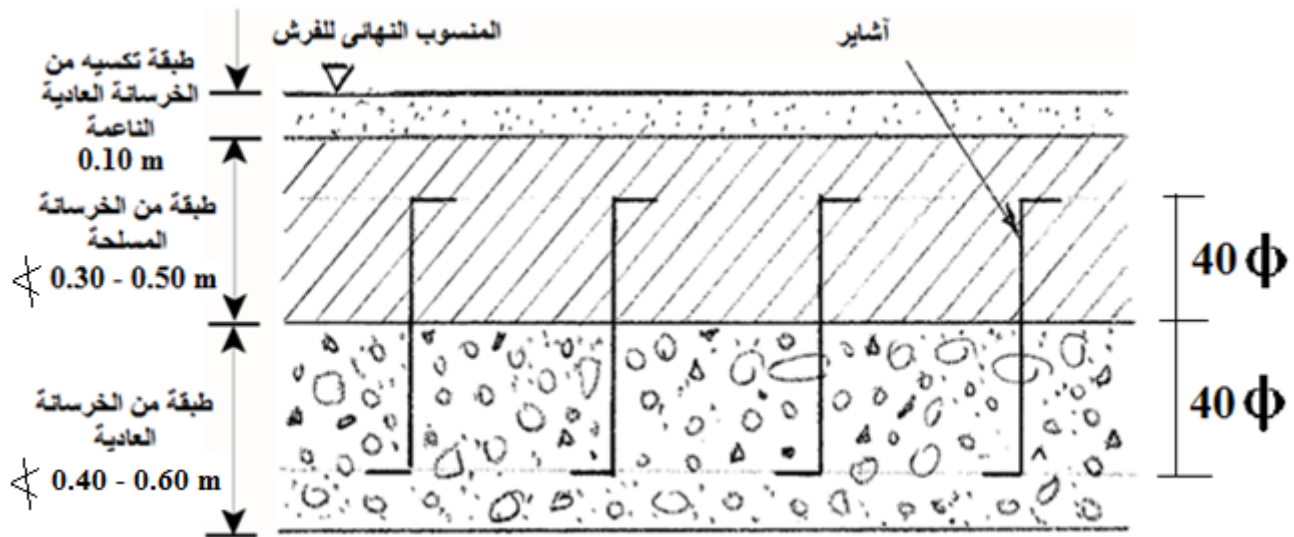
شكل (4-40): مقاطع نمطية لكبارى ذات كمرات على شكل حرف T



شكل (4-41) : مساقط نمطية لقنطرة استخدمت فيها بلاطة من الخرسانة المسلحة مرتكزة على كميرات طولية

4-2-3-4 Aprons of Regulators فروشات القناطر

تتكون الفروشات أسفل القناطر إما من الخرسانة العادية أو من طبقة من الخرسانة العادية تعلوها طبقة أخرى من الخرسانة المسلحة وذلك في حالة وجود إجهادات شد بالفروشات تزيد عن 12 - 14 كجم/سم². وتقتضى الخبرات المعمول بها حالياً ألا يقل سمك طبقة الخرسانة المسلحة عن 30-50 سم. ويتم الربط بين طبقة الخرسانة العادية وطبقة الخرسانة المسلحة باستخدام أشاير (dowels) بحيث توضع إشارة لكل مساحة مربعة لا تزيد عن 40 x 40 سم عبارة عن سيخ بطول 80 ϕ حيث ϕ قطر السيخ والذي يبلغ عادة 13 مم في القناطر الصغيرة والمتوسطة و 16 مم في القناطر الكبيرة. والغرض من وجود هذه الأشاير ضمان عمل كل من الطبقتين مع بعضهما في مقاومة الأحمال والضغوط المعرضة لها الفروشات وعزوم الإنحناء وقوى القص تقاوم عادة طبقة الخرسانة المسلحة فقط. كما يتم وضع طبقة من الخرسانة الناعمة أعلى سطح طبقة الخرسانة المسلحة بسمك 10 سم وذلك لمقاومة التآكل نتيجة لسريان المياه فوق الفرش. ويوضح الشكل (42-4) الطبقات المكونة لفرش القناطر.



شكل (42-4) : الطبقات المكونة لفرش القناطر

1-4-2-3-4 التصميم في الاتجاه العرضي لأجزاء الفرش المحصورة بين الركائز Apron between Piers

يجب أن يوفر تصميم الفرش في الاتجاه العرضي Transversal direction توزيعاً للأحمال والأوزان الخاصة بالدعامات الوسطى (البغال) والدعامات الطرفية (الأكتاف) ونقلها إلى التربة تحت فرش القنطرة بما لا يتعدى الحدود الآمنة لاحتمال التربة Bearing capacity.

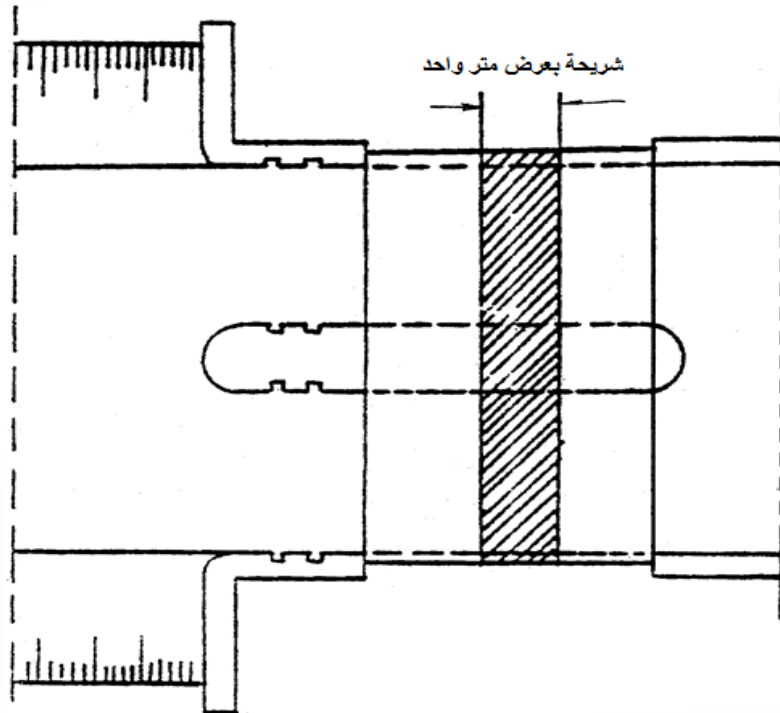
وبالنسبة للقناطر المتوسطة فإنه يتم فرض قيمة (t_f) بالمتر من المعادلتين التاليتين أيهما أكبر إذا ما كان الفرش يتكون من الخرسانة العادية :

$$t_f = (0.80 \text{ to } 1.00) \sqrt{H} \quad (4-12)$$

$$t_f = S/4 + 0.5 \sqrt{H} \quad (4-13)$$

حيث (H) هو أكبر ضاغط مائي تتعرض له القنطرة ، (S) هو العرض الحر للفتحة. ويشمل سمك الفرش لهذا الجزء (t_f) كلا من طبقتي الخرسانة العادية أو العادية المسلحة. ويتم التأكد من صلاحية قيمة السمك (t_f) لمقاومة الاجهادات الناتجة عن عزوم الانحناء وقوى القص، ولتحقيق ذلك فإنه تؤخذ الحالة الحرجة للتحميل وهي التي تلي مرحلة الإنشاء مباشرة وقبل مرور الماء بالقنطرة. وبالتالي فإنه لا يوجد ضغط هيدروستاتيكي على أكتاف القنطرة نظرا لعدم وجود ماء وكذا لا توجد ضغوط تعويم لنفس السبب أيضا. وبالتالي فإن خطوات التصميم لفرش القنطرة المتماثلة تكون كما يلي (حالة ما إذا كان عرض الفتحة الحر (S) أقل من 10 متر).

1- يمكن اعتبار شريحة الفرش تحت كوبرى القنطرة بعرض 1 متر كما هو مبين بالشكل (43-4) ثم رسم قطاع القنطرة عند هذه الشريحة كما هو موضح بالشكل (44-4).



شكل (43-4) : إجراء حسابات سمك الفرش تحت كوبرى القنطرة لشريحة عرضها متر واحد

- 2- يتم أخذ حمل حى موزع بانتظام على سطح الكوبرى 2.5 طن / متر مربع والذى يتضمن معامل الاصطدام . Impact Coefficient
- 3- يمكن فرض أبعاد الكوبرى ثم تحسب قيمة ردود الفعل عند نقط الارتكاز R_b والناجمة عن إضافة الحمل الحى مع الحمل الميت.
- 4- باعتبار أن الفرش والذى يبلغ طوله (L) كتلة صلبة وأنه سيعمل ككمرة مقلوبة مستمرة فإن رد الفعل للتربة سيكون منتظما ومساويا القيمة (δ) التى يمكن حسابها كالتالى:

أ- حالة القناطر المتماثلة Symmetrical loaded regulators :

$$\delta = [(2w_1 + 2w_2 + \dots + 2w_8) + 4R_b + W_p + W_f] / (L \times 1)$$

حيث

W_p = وزن الدعامة الوسطى ، W_f وزن الفرش وذلك للمتر الطولى

ب- حالة القناطر الغير متماثلة Unsymmetrical loaded regulators :

$$\delta_{12} = \frac{\sum W}{L \times 1.0} \left(1 \pm \frac{6e}{L} \right)$$

وفى كلا الحالتين يجب ألا يتعدى الضغط على التربة الإجهاد الآمن لها ويمكن الاسترشاد بالقيم الآتية لجهد التحميل الآمن للتربة من واقع تصنيفها.

Medium stiff Clay	0.70 Kg/cm ²
Agriculture Soil	1.00 Kg/cm ²
Silty Clays	1.25 Kg/cm ²
Clayey Silts	1.50 Kg/cm ²
Silt and Fine Sands	2.00 Kg/cm ²
Nile Soils	2.25 Kg/cm ²

5- يتم رسم وحساب توزيع الأحمال Load diagram (P) طن / متر مربع على المستوى السفلى للفرش M-M كما هو مبين بالشكل (44-4) ب.

أ- لحساب توزيع الأحمال عند الحافة الخارجية للفرش Outer edge B-C

$$f_B = f_C = \frac{W_7 + W_8}{L_{BC}}$$

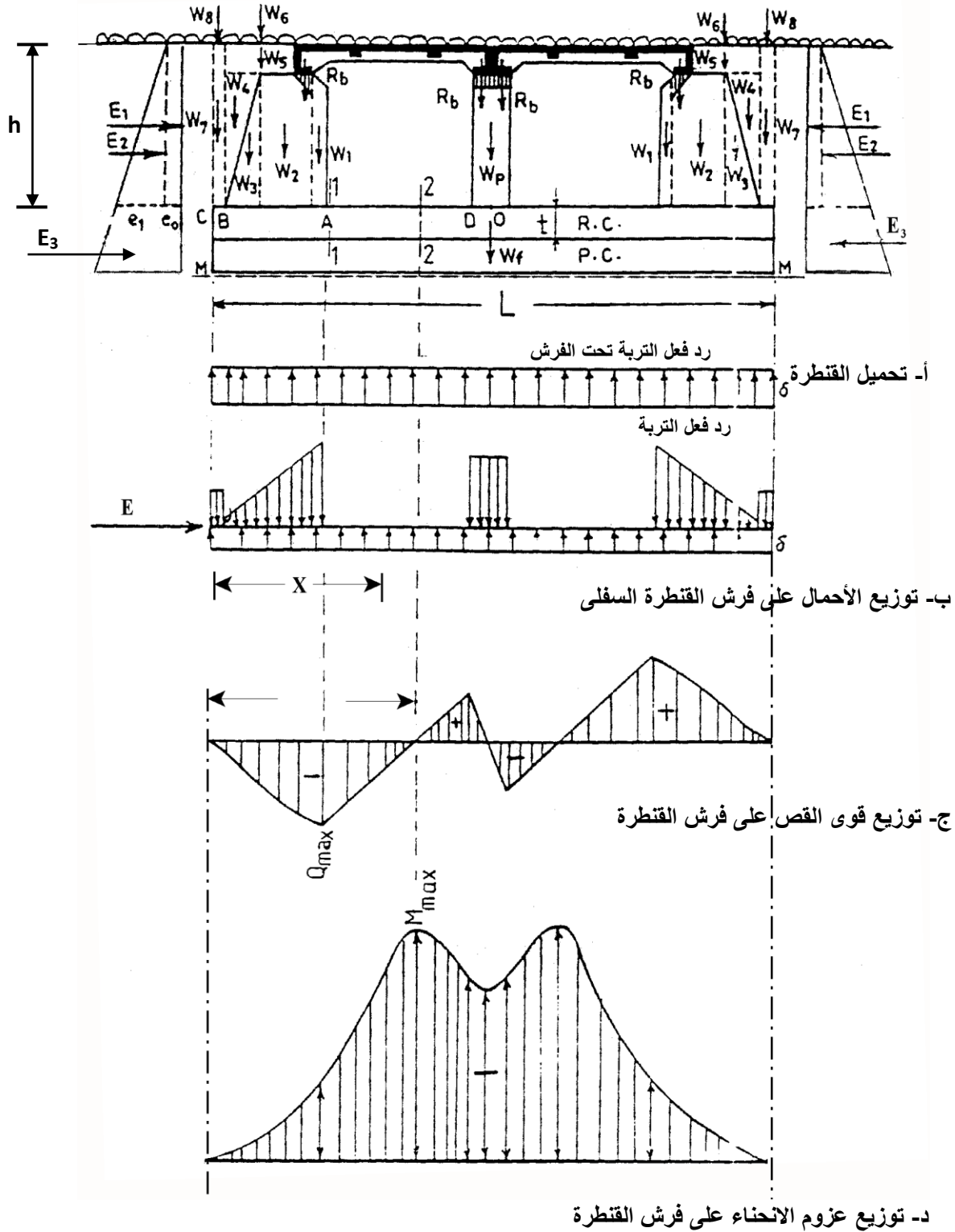
ب- لحساب توزيع الأحمال عند قاعدة كتف القنطرة The abutment base

$$f_{AB} = -\frac{R_b + \sum_1^6 W}{L_{AB}} \left(1 \pm \frac{6e}{L_{AB}} \right)$$

ت- لحساب توزيع الأحمال عند قاعدة ركيزة القنطرة The pier base

$$f_D = f_O = \frac{2R_b + W_p}{L_{DO}}$$

6- يتم حساب قوى القص S.F.D وكذا عزوم الانحناء B.M.D وذلك على اعتبار أن قطاع الفرش ذو جساءة عالية، وتكون أقصى قوى قص عند القطاع (1-1) عند حافة كتف القنطرة وعند القطاع (2-2) تنعدم قوى القص The point of zero shear ويبلغ عزم الانحناء قيمته القصوى.



شكل (4-44) : طريقة حساب سمك الفرش في الاتجاه العرضي

أولاً : فرش القنطرة من الخرسانة العادية Plain Concrete Apron

إذا كان فرش القنطرة من الخرسانة العادية يكون إجهاد القص الأقصى q_{max} عند القطاع 1-1 ويعطى بالمعادلة :

$$q_{max} = \frac{3}{2} \frac{Q_{max}}{100 t_f} \leq 5.0 \text{ Kg/cm}^2 \quad (4-14)$$

حيث (t_f) سمك الفرشة الخرسانية بالسنتيمتر.

وتكون أقصى إجهادات ناتجة عن عزم الانحناء عند القطاع 2-2 وتعطى بالمعادلة :

$$f_t = \frac{-E}{100 t_f} \pm \frac{6 M}{100 t_f^2} \leq f_{allowable} \quad (4-15)$$

وبصفة عامة فإنه يوجد شد في الشرائح العليا من الفرش والذي يجب ألا تزيد إجهادات الشد عنده عن 12 كجم / سم² ويوجد ضغط في الشرائح السفلى من الفرش والذي يجب ألا تزيد قيمته عن 45 كجم / سم².

وبوجه عام يفضل ألا تستخدم الخرسانة العادية فقط في إنشاء الفرش حتى ولو كانت تتحمل الإجهادات الناتجة وذلك لتفادي حدوث شروخ بها نتيجة الانكماش وبالتالي يفضل أن يكون الفرش من الخرسانة المسلحة.

ثانياً: فرش القنطرة من الخرسانة المسلحة Reinforced Concrete Apron

يمكن تعيين أقصى عزم انحناء (M) عند القطاع 2-2 بالشكل (4-4) بالكيلوجرام سنتيمتر وكذلك قوة الضغط (N) المصاحبة بالكيلوجرام ويتم حساب سمك الفرش الفعال (d) بالسنتيمتر ومساحة حديد التسليح (As) بالسنتيمتر المربع من المعادلات التالية :

$$d = K_1 \sqrt{M/100} \quad (4-16)$$

$$As = (M / K_2 d) - (N / 1000) \quad (4-17)$$

مع مراعاة نسبة حديد تسليح ثانوى لا تقل عن 25% ، ويتم اختيار كل من المعاملين K_1 , K_2 على أساس:

$$(f_c = 45 \text{ Kg/cm}^2, f_s = 1000 \text{ Kg/cm}^2 \text{ and } n = 10)$$

حيث

 $f_c =$ إجهاد الضغط المسموح به فى الخرسانة $f_s =$ إجهاد الشد المسموح به فى حديد التسليح $n =$ نسبة معامل مرونة الحديد إلى معامل مرونة الخرسانة

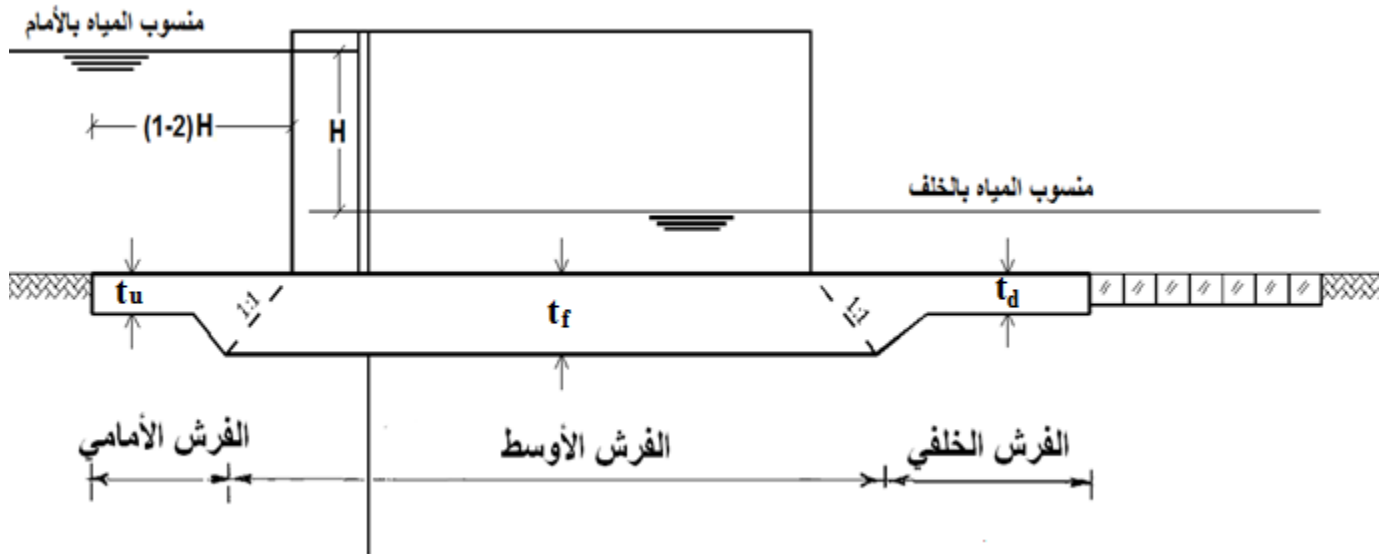
وتكون أقصى إجهادات قص عند القطاع 1-1

$$q_{\max} = Q_{\max} / 100 d \nless 5 \text{ Kg/cm}^2 \quad (4-18)$$

2-4-2-3-4 تصميم الفرش فى الاتجاه الطولى Longitudinal Direction

يجب أن يوفر تصميم الفرش فى الاتجاه الطولى حماية للقنطرة من ظاهرة نخرية التربة Undermining أسفلها نتيجة لسريان المياه وذلك بتوفير الطول اللازم الذى يضمن عدم حدوث هذه الظاهرة. كما يوفر الأمان من عدم حدوث ظاهرة النحر المحلى بقاع المجارى المائية خلف القنطرة Downstream scour. وذلك عن طريق توفير طول الفرش اللازم لتحديث فوقه القفزة الهيدروليكية Hydraulic jump للتخلص من السرعات الزائدة والاضطرابات المصاحبة لخروج المياه من الفتحات (لمزيد من التفاصيل يُرجع للفصل الأول).

وبصفة عامة فإنه يمكن تقسيم الفرش فى الاتجاه الطولى إلى ثلاثة أجزاء رئيسية هى: الجزء الأمامى والأوسط والخلفى (شكل 4-45).



شكل (4-45) : قطاع طولى يمر بإحدى فتحات القنطرة

أ- الجزء الأمامى من الفرش Upstream Apron

وهذا الجزء من الفرش هو الجزء الواقع من بداية الفرش وحتى مقدمة دعامات القنطرة (شكل 4-45). وفى هذا الجزء من الفرش يوجد عمق مائى كبير فى الأمام ويكون محصلة وزنه بالإضافة إلى وزن الفرش إلى أسفل أكثر من قوة الدفع الرأسى من أسفل إلى أعلى والمتولدة من الماء المتسرب (Uplift) وبذلك فإن محصلة هذه القوى الرأسية جميعها تكون من أعلى إلى أسفل. وبالتالي فإنه يمكن فرض سمك هذا الجزء من الفرش (t_u) مساوياً تقريباً لنصف سمك الفرش فى الجزء الأوسط (t_f) ، بحيث لا يقل السمك فى هذا الجزء عن 1.00 م وهى القيمة الدنيا لسمك فرش القنطرة. ويكون طول الفرش أمام مقدمة الركيزة فى حدود (1 to 2 H) ، حيث (H) هو أكبر ضاغط مائى تتعرض له القنطرة. وإذا كان طول هذا الجزء الأمامى أقل من 2 متر فإنه يجب أن يكون سمكه مساوياً لسمك الجزء التالى له والواقع تحت دعامات القنطرة وذلك حتى يمكن تفادى حدوث أى شروخ بين هذا الجزء والجزء الذى يليه مما يقلل طول خط الرشح الأمر الذى يؤثر على سلامة القنطرة.

ب- الجزء الأوسط من الفرش Middle Apron

سمك الفرش فى هذا الجزء (t_f) يكون هو نفس سمك الفرش المستنتج من تصميم الفرش فى الاتجاه العرضى (أنظر الفقرة المتعلقة بتصميم الفرش فى الاتجاه العرضى). وبالنسبة للتأكد من صلاحية سمك الفرش فى مقاومة الضغوط البيزومترية تستخدم المعادلة التالية:

$$t_f = (1.3 h_f) / (\gamma_f - 1) \quad (4-19)$$

حيث

h_f = قيمة ضاغط التعويم بالمتر ويتم حسابها برسم منحنى الضغوط البيزومترية Piezometric head diagram

γ_f = التثاقل النوعى (النسبة بين وزن وحدة الحجوم لخرسانة الفرش والوزن النوعى للماء)

وبصفة عامة إذا ما كان عرض الفتحة يساوى أو أقل من 10 متر ($S \leq 10 \text{ m}$) فإنه يهمل التأكد من قيمة صلاحية قيمة (t_f) المفروضة. أما إذا كانت قيمة عرض الفتحة أكبر من 10 متر ($S > 10 \text{ m}$) فإنه يتم التأكد من صلاحية سمك هذا الجزء لمقاومة ضغط ماء الرشح وكذلك الاجهادات الناتجة عن عزوم الانحناء وقوى القص.

ج- الجزء الخلفى من الفرش Downstream Apron

وهو الجزء من الفرش الذى يبدأ من خلف نهايات دعامات القنطرة وحتى نهاية الفرش (شكل 4-45). ويمكن حساب سمك هذا الجزء من الفرش من المعادلة الآتية فى حالة استخدام خرسانة عادية :

$$t_d = (1.3 h_d) / (\gamma_f - 1) \quad (4-20)$$

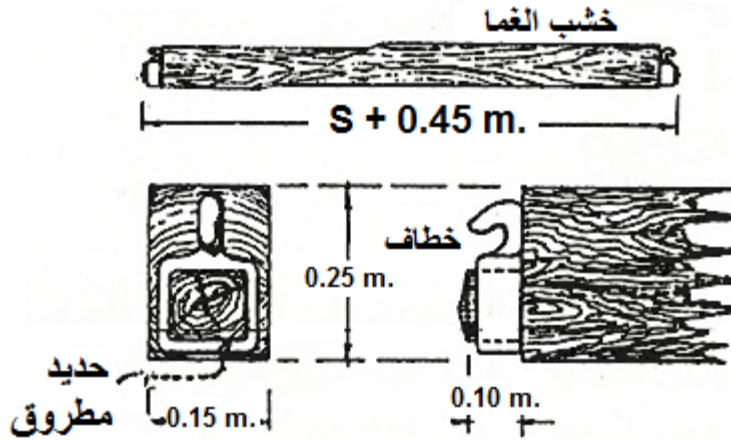
حيث (γ_f) تساوى النثاقل النوعى Specific Gravity لخرسانة الفرش و (h_d) بالمتري ، (t_d) بالمتري وأقل قيمة لسمك هذا الجزء هو 1.00 م. وفي حالة ما إذا كان هذا الجزء طويلا جدا فإنه من المستحسن أن يتم تغيير سمكه تدريجيا حسب قيمة الضاغط البيزومتري والتي تقل في اتجاه الخلف.

وطول هذا الجزء يجب أن يكون كافيا لمنع حدوث نحر محلي بقاع المجرى خلف القناطر. ويعين سمك هذا الجزء من الفرش لمقاومة قوى التعويم في الأساس (لمزيد من التفاصيل ، يُرجع للفصل الأول).

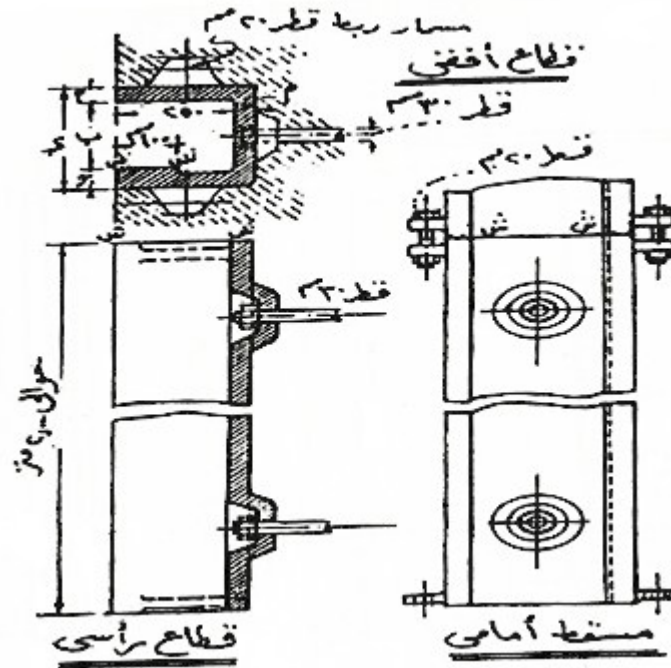
5-2-3-4 الأدوات المستخدمة في الموازنة على القناطر Devices Used for Regulation

1-5-2-3-4 أخشاب الغما الأفقية Horizontal Timber Logs

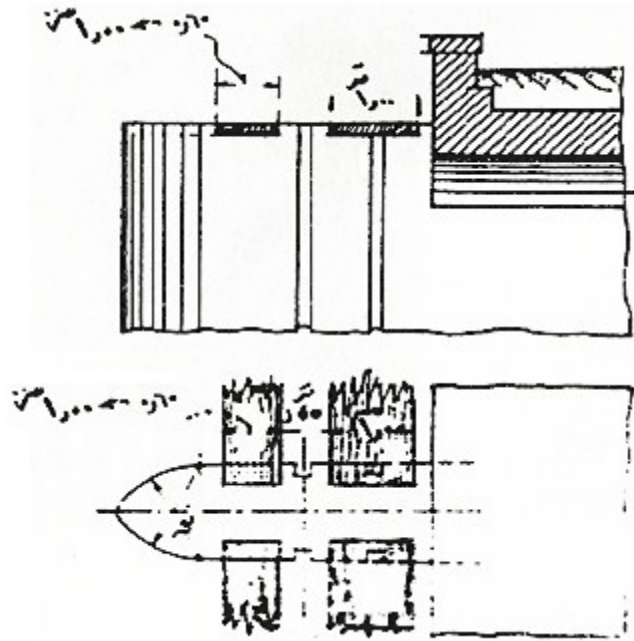
تستخدم أخشاب الغما الأفقية بأبعاد كما هو مبين بالشكل 4-46 في إغلاق فتحات القناطر ذات العروض التي لا تتعدى 3 متر، وذلك غالباً في الأعمال المؤقتة. وتنزل هذه الكمرات داخل مجارى رأسية (دروندات) موجودة في دعامات القنطرة ، ويبين الشكل 4-47 قطاعات الحديد الزهر التي تثبت بالركائز لتعمل كمجرى لأخشاب الغما، ومن المألوف ان تعد مشايات من الخشب والخرسانة المسلحة ، (شكل 4-48)، لتسهيل التشغيل .



شكل (4-46): أخشاب الغما الأفقية



- قطاع المجرى من الحديد الزهر بأطوال حوالى مترين.
 - الأسطح المشار إليها ش-ش تسوى تماما (تشطب جيداً) قبل التثبيت.
 - مسامير الربط (قطر 30 مم) تصل من وجه الركيزة إلى الوجه الآخر، أى يكون أحد طرفيها مربوط فى مجرى والطرف الآخر مربوط فى المجرى المقابل.
 - بالنسبة للمجرى المثبت بالكتف، فإن مسمار الربط يصل حتى سطح حائط الكتف الملاصق للأتربة حيث يتم ربطه فى لوح من الصلب ملتصق بالمبنى.
- شكل (47-4): القطاعات التى تثبت بالركائز لتعمل كمجرى لأخشاب الغما



ملحوظة :

عادة تستخدم هياكل خشبية أو معدنية صغيرة تتحرك على أربع عجلات ومزودة بروافع بسيطة لرفع وإنزال أخشاب الغما.

شكل (48-4) المشاببات لتسهيل التشغيل أثناء عمل الموازنة

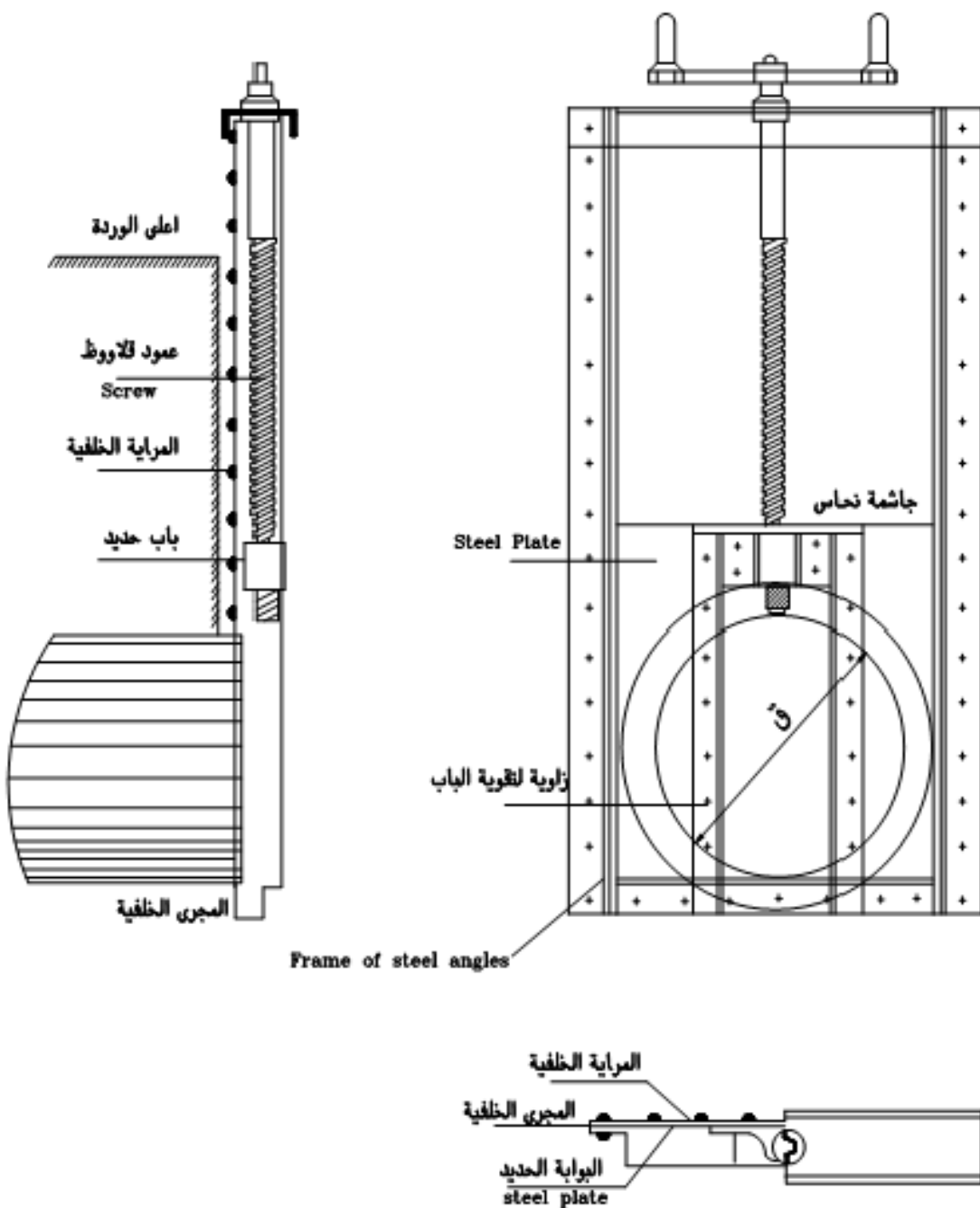
2-5-2-3-4 البوابات الصلب الرأسية الصغيرة Small Steel Gates

يبين الشكل 49-4 نوعاً من البوابات الرأسية الصغيرة يستخدم عادة للموازنة على المنشآت المقامة على قنوات التوزيع الصغيرة والقنوات الحقلية، مثل موزعات الري والموزعات ذات السقوط ومنشآت السقوط وأعمال الحجز أو لإغلاق خطوط الأنابيب الحاملة للتصرفات المائية وما إلى ذلك.

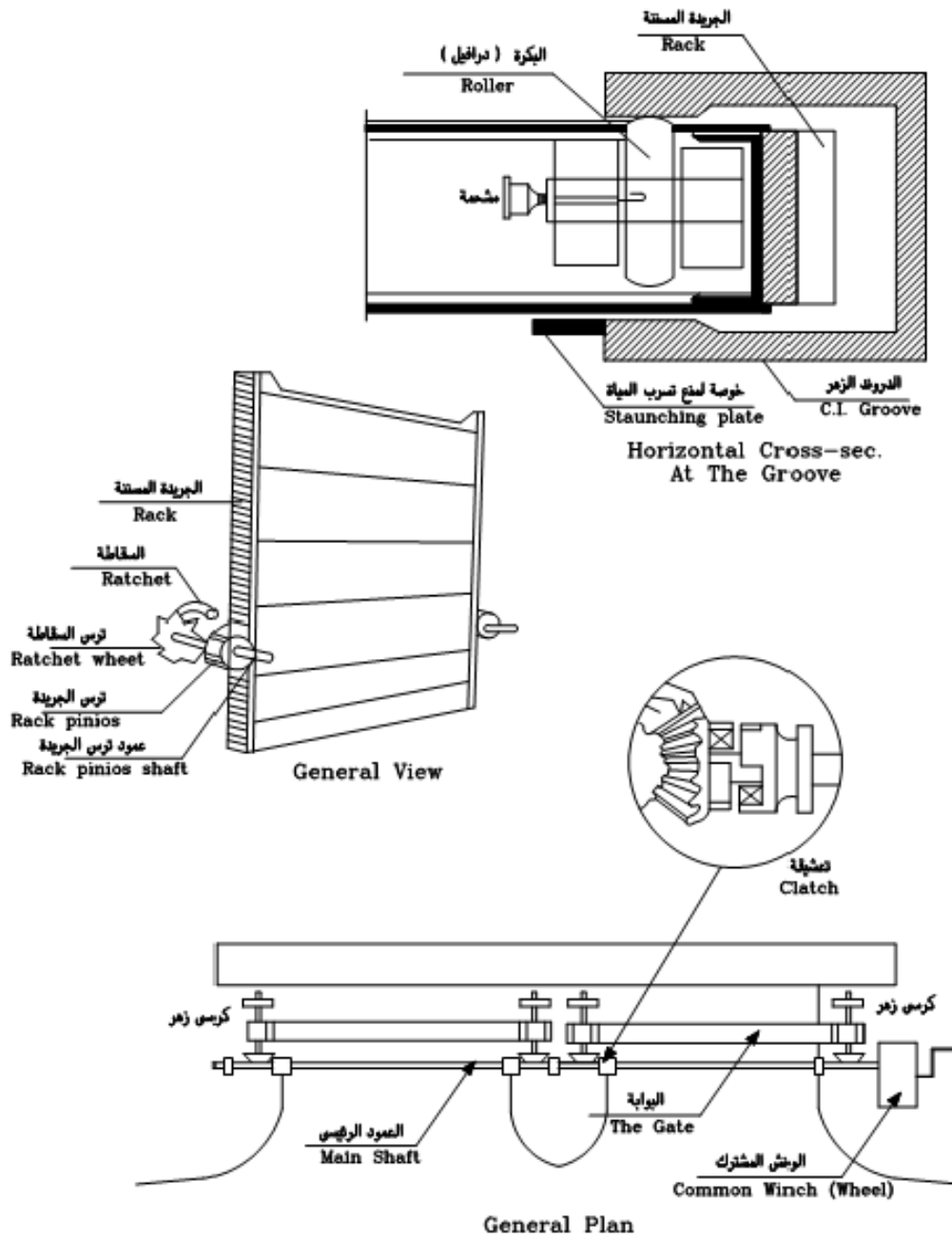
3-5-2-3-4 البوابات الرأسية طراز فهمى حنين Fahmy Hanein Type Gate

تستخدم عادة البوابات الرأسية طراز فهمى حنين بالنسبة للأعمال المتوسطة مثل القناطر التى لا تتجاوز فتحاتها 3.50 متر عرض، وتتحرك البوابة طراز فهمى حنين بواسطة لوح مسنن (يسمى الجريدة) Rack على كل من جانبيها تنتقل اليه الحركة على طريق تروس متصل بالونش .

والشكل 50-4 يبين منظورا مبسطا للبوابة ومسقطا افقيا عاما، وكذلك الشكل العام لمجرى البوابة وبكرات الانزلاق.



شكل (4-49): بوابة رأسية للموازنة على المنشآت الصغيرة



شكل (4-50): مساقط تخطيطية توضح التصميم العام لبوابة حنين

4-5-2-3-4 البوابات ذات الألواح والمدعمة بكمرات حديدية Ribbed Steel Gates

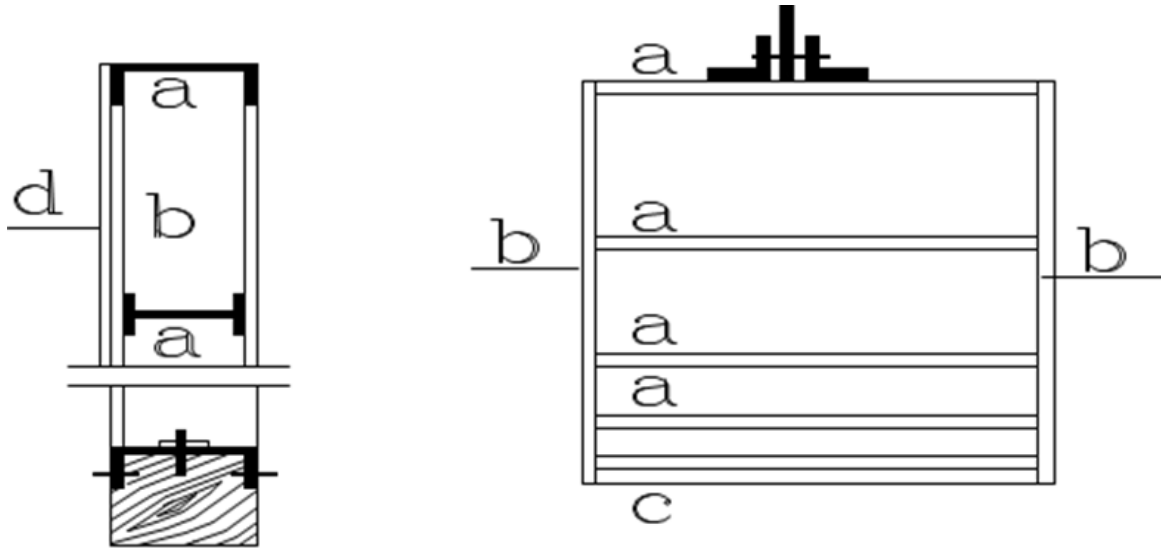
فى هذا النوع من البوابات يتم تثبيت الألواح الحديدية Skin plates على كمرات ذات مقطع على شكل (I) أو على شكل مجرى Channel . وهناك نوعان من البوابات الرأسية :

1- بوابات مدعمة أفقياً Horizontally Ribbed Gates.

2- بوابات مدعمة أفقياً ورأسياً Horizontally and Vertically Ribbed Gates .

أولاً: البوابات مدعمة أفقياً Horizontally Ribbed Gates

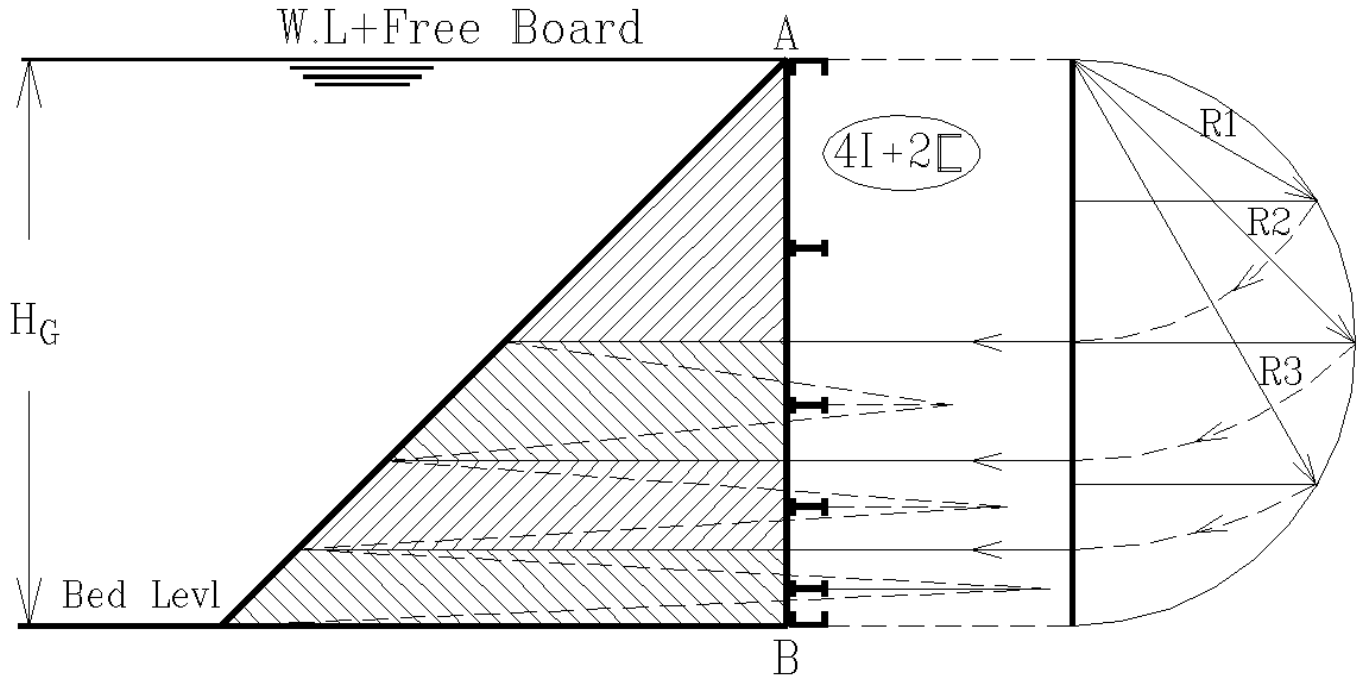
فى هذا النوع من البوابات تنتقل ضغوط المياه من اللوح الخارجى للبوابة إلى كمرات أفقية ومنها إلى العمودين الرأسيين "b" (شكل 4-51). وتوضع الكمرات الحديدية على مسافات يتم تحديدها بعد بيان شكل توزيع الضغط الأستاتيكي للماء حيث يتم تقسيمه إلى مساحات متساوية ويتم وضع الكمرات الحديدية عند مراكز ثقل Center of Gravity هذه المساحات، مع الأخذ فى الاعتبار أنه يجب ألا تزيد المسافة بين الكمرات العليا والنقطة A عن $(0.40 H_G)$ وألا تقل المسافة بين الكمرات السفلى والنقطة B عن $(0.12 \text{ to } 0.18 H_G)$ وذلك كما هو مبين فى الشكل (4-52).



a = Horizontal beams
b = End vertical posts
c = Hard wood
d = Skin plate

كمرات أفقية
عمود رأسى
خشب مانع للتسرب
اللوح الخارجى

شكل (4-51): البوابات المدعمة أفقياً – شكل تخطيطى



شكل (52-4) : تحديد أماكن الكمرات الأفقية

وإذا كانت الأعماق المائية بالأمام تزيد عن 4 متر وإذا ما كانت المساحة السطحية للبوابة الواحدة (A_G) أكبر من 15 متراً مربعاً ولتقليل قوى الرفع المطلوبة لرفع البوابة، ففي هذه الحالة يتم استخدام البوابات المزدوجة Double gates ، ويراعى أن يكون هناك تداخل بين كل من البوابتين العليا والسفلى مقداره 0.20 متر وتكون البوابة العليا أعلى من أقصى منسوب بالأمام بمقدار 0.25 متر كما هو موضح بالشكل (53-4) .

وبالتالى فإنه يمكن تعيين إرتفاع كل بوابة منهما بالمتر من المعادلة الآتية :

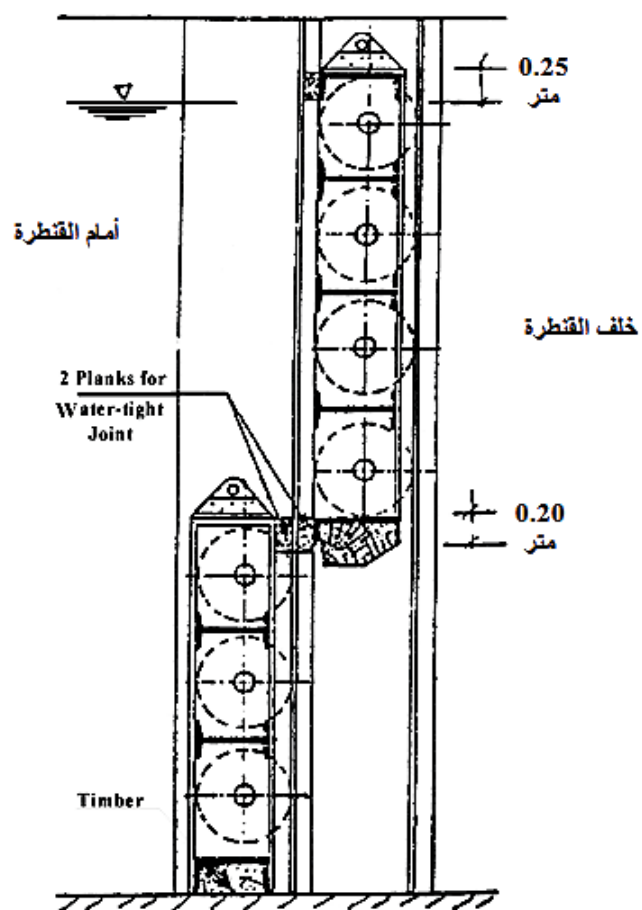
إرتفاع البوابة (H_G) = العمق المائى الأقصى بالأمام + 0.25 (حالة استخدام بوابة مفردة)

إرتفاع البوابة (H_G) = (العمق المائى الأقصى بالأمام + 0.25 + 0.20) / 2 (حالة استخدام بوابة مزدوجة)

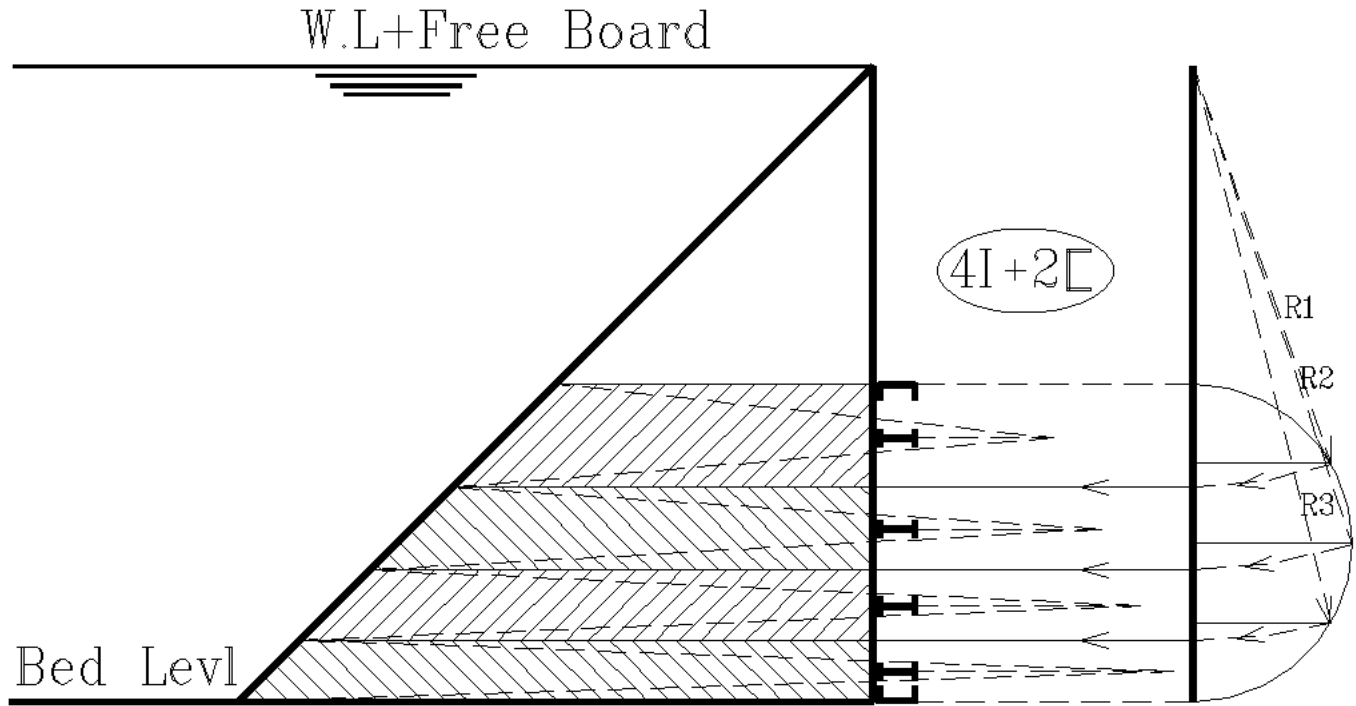
عرض البوابة (B_G) = عرض الفتحة + 0.40

المساحة السطحية للبوابة (A_G) = $H_G \times B_G$

ويكون مؤشر ضغوط المياه على البوابة السفلى فى حالة استخدام البوابات المزدوجة على الشكل شبه المنحرف بدلاً من المثلث، وفى هذه الحالة تتبع الطريقة المبينة بالشكل 54-4 لتحديد أماكن الكمرات الأفقية للبوابات السفلى.



شكل (4-53) : البوابات المزدوجة Double gates



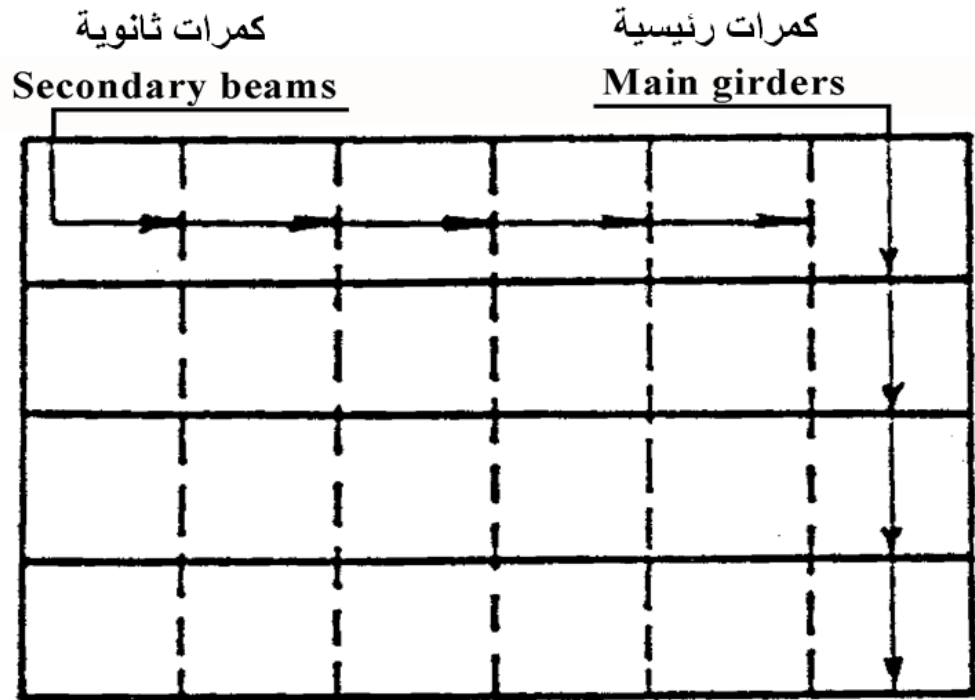
شكل (4-54) : تحديد أماكن الكمرات الأفقية في حالة البوابات المزدوجة

ثانياً: البوابات مدعمة أفقياً ورأسياً Horizontally and Vertically Ribbed Gates

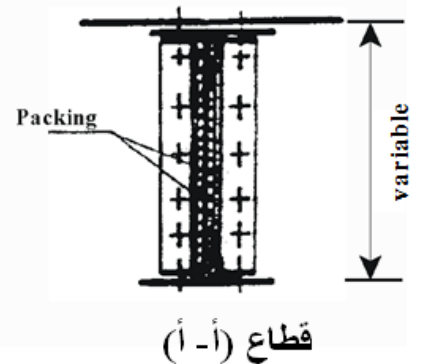
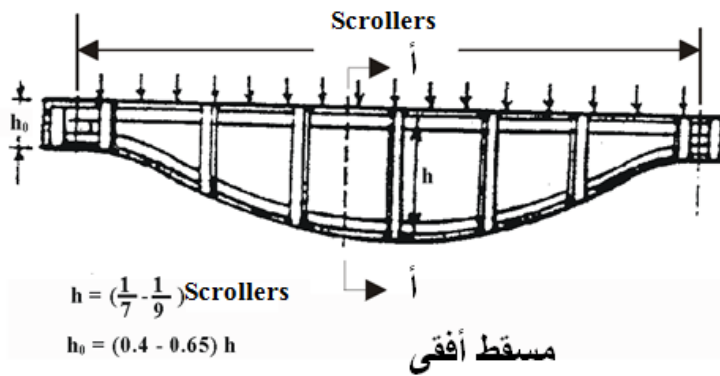
إن الأمر قد يحتاج إلى دعم البوابة في الاتجاهين الرأسى والأفقى معاً لزيادة درجة تحمل البوابة للضغط، وللتمكن أيضاً من استخدام سمك اقتصادى للوح الخارجى (شكل 4-55). وعادة تتباعد الكمرات الرئيسية فى هذه الحالة بما قد يتراوح بين 50 الى 120 سم، وذلك للفتحات المتوسطة. ويكون مقطع الكمرات الرئيسية على شكل (I) أو بشكل مجرى Channel بينما يكون مقطع الكمرات الثانوية بهيئة زوايا (L)

ومن المعتاد أيضاً أن تكون الكمرات الرئيسية لوحية للفتحات ما بين 8 إلى 15 متراً، بينما تستعمل الكمرات الهيكلية "الجمالون" للفتحات من 12 إلى 20 متراً.

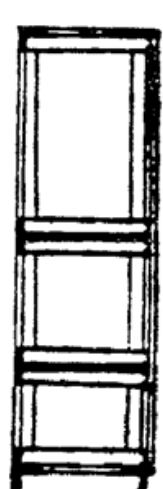
وتوضح الأشكال (4-56) ، (4-57) ، (4-58) نماذج لبوابات حديدية مستوية. ويلاحظ القارئ أن المسافات بين الكمرات الأفقية بهذه الأشكال تتماشى مع ماجاء بالشكلين 4-52 ، 4-54 حيث يضيق التباعد بين تلك الكمرات من أعلا إلى أسفل.



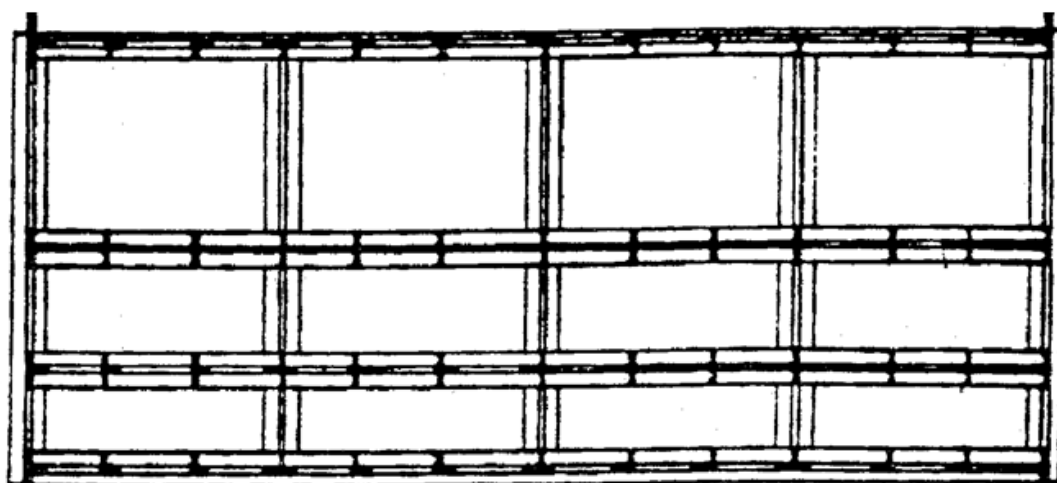
شكل (4-55): تدعيم البوابات المستوية بكرات أفقية رئيسية وكمرات رأسية ثانوية



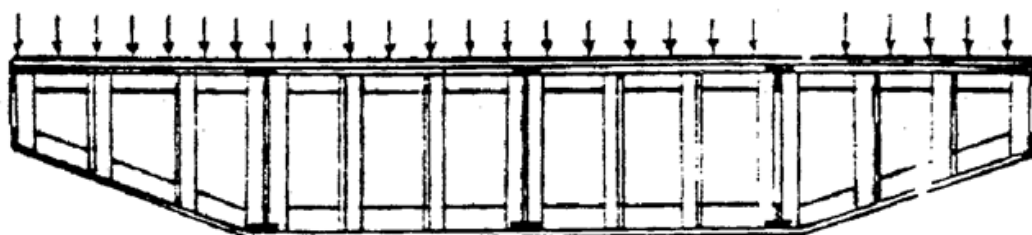
شكل (4-56): تدعيم البوابات المستوية بكرات أفقية لوحية ذات عزم قصور ذاتي متغير



قطاع جانبي

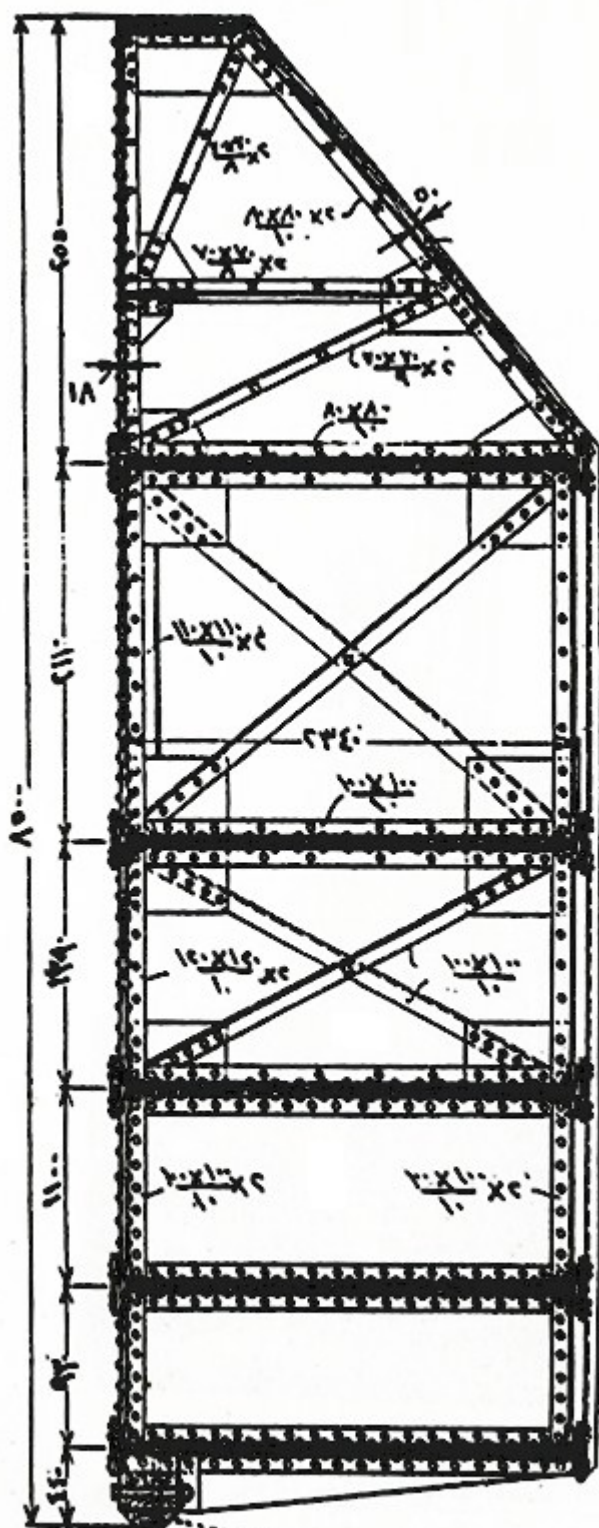


قطاع رأسي



مسقط أفقي

شكل (4-57): تدعيم البوابات المستوية بكرات أفقية رئيسية ورأسية ثانوية



شكل (4-58):

بوابة مدعمة أفقياً بكرات لوحية

Thicknes of Skin Plate سمك اللوح الخارجى 1-4-5-2-3-4

يمكن القول بصفة عامة أن سمك اللوح الخارجى Skin plate واللازم لتحمل إجهادات الانحناء، يتوقف على المسافات بين دعائم البوابات من كمرات وخلافه وكذلك على قيمة الضغط الهيدروستاتيكي الواقع على البوابة. وتوجد صيغ وطرق ليست قليلة لحساب السمك "t" للوح الخارجى ، ومنها الطريقة المبينة فيما يلى:

نفرض لوحاً مركّزاً على ركائز بأضلاعه الأربعة، وأن أبعاده a x b كما فى الشكل 4-59

وبالتالى يكون الحمل على المتر الطولى من القطر (w/m⁻):

$$w/m^- = \frac{P \cdot a \cdot b}{\sqrt{a^2 + b^2}}$$

حيث

P = الحمل من ضغط المياه بعد تحويله إلى حمل منتظم

a, b = هما ضلعا اللوح الخارجى كما سبق

ويكون العزم الأقصى للانحناء M هو :

$$M = \frac{P \cdot a \cdot b \cdot \sqrt{a^2 + b^2}}{12} = Z \cdot f \quad (4-21)$$

حيث

f = إجهاد الانحناء المسموح به للحديد الصلب Allowable working stress

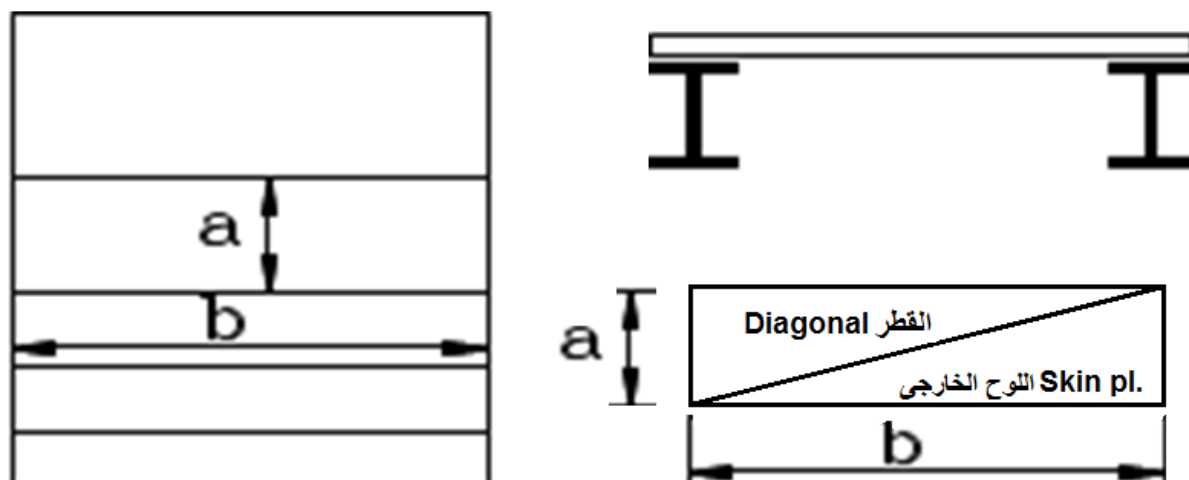
Z = معامل القطاع Section modulus

$$Z = \sqrt{a^2 + b^2} \cdot \frac{t^2}{6}$$

وبالتالى يكون سمك اللوح الخارجى "t" :

$$t = \sqrt{\frac{P \cdot a \cdot b}{2f}} \quad (4-22)$$

وكمعامل أمان ضد الصدأ ينبغى ألا يقل سمك اللوح الحديدى Skin plate عن 1 سم.



شكل (4-59): اللوح الخارجى كبلاطة مرتكزة فى اتجاه الأضلاع الأربعة

والجدول 2-4 يبين سمك اللوح الخارجى للبوابات ببعض القناطر المصرية.

جدول (4-2): سمك اللوح الخارجى ببوابات بعض القناطر المصرية

المنشأ	فتحة القنطرة، م	السمك، مم
القناطر العادية على قنوات الري:		
البوابة العليا	3	5
البوابة السفلى	3	7
قناطر أسبوط :		
البوابات القديمة	5	10 ، 8
البوابات الجديدة	5	13
قناطر نجع حماد	6	16
قناطر الدلتا الجديدة (محمد على)	8	16

2-4-5-2-3-4 تصميم الكمرات الأفقية الرئيسية Design of Main Girders

ولتصميم الكمرات الأفقية يتم تقسيم الضغط الهيدروستاتيكي الكلي بالتساوي على الكمرات الأفقية فإذا كان (n) عدد الكمرات الأفقية و (P) مقدار الضغط الهيدروستاتيكي الكلي فإن الحمل لكل متر طول من الكمرة (W) يساوي (P/n.b) حيث (b) عرض البوابة (عرض البوابة = عرض فتحة القنطرة مضافاً إليه 0.40 متر) ، ويكون عزم الانحناء الأقصى للكمرة في منتصفها مساوياً :

$$M = (W \cdot b^2 / 8) = \frac{P}{n \cdot b} \frac{b^2}{8} = P b / 8 n \quad (4-23)$$

ويحسب معامل المقطع Section modulus للكمرات المطلوبة (Z) من المعادلة

$$Z = M / f \quad (4-24)$$

حيث f الإجهاد المسموح به للحديد المستخدم في صنع الكمرات ويعطى إجهاد القص q_{max} بالمعادلة :

$$q_{max} = \frac{Q}{A_{web}} < 0.70 f \quad (4-25)$$

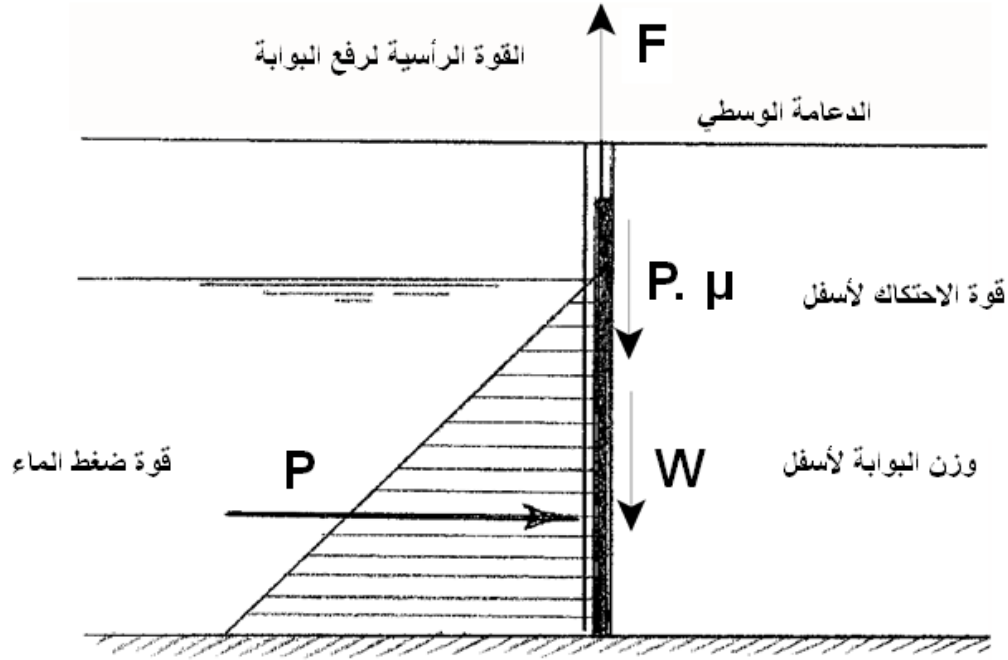
حيث (A_{web}) مساحة عصب الكمرة Web Area

$$Q = (W \cdot b / 2) = \frac{P}{n \cdot b} \frac{b}{2} = P / 2 n \quad (4-26)$$

3-4-5-2-3-4 القوة اللازمة لرفع البوابة The required Force to Lift The gate

يمكن حساب القوة "F" اللازمة لرفع البوابة كما يلي :

$$F = (P.\mu + W) . C \quad (4-27)$$



شكل (4-60): توزيع القوى الأفقية والرأسية على البوابات الرأسية

حيث

P = قوة الضغط الكلية Total pressure force على البوابة ($P = \gamma_w.H^2.S/2$)، حيث S فتحة القنطرة ،
 H ، ارتفاع المياه بالأمام ، γ_w الوزن النوعي للمياه (أنظر شكل 4-60)

C = معامل تشغيل Operation factor 1.10 الى 1.40

μ = معامل الاحتكاك Friction coefficient بين الصلب والحديد الزهر = 0.40 الى 0.50 وذلك في حالة البوابات التي تنزلق مباشرة داخل المجرى (حالة الفتحات الصغيرة، ثلاثة أمتار أو أقل) ويمكن تقليل قيمة القوة المطلوبة لرفع البوابة (F) خاصة في الأحوال التي تكون فيها الفتحات متسعة نسبياً والضغوط على البوابة كبيراً وذلك بتزويد البوابة بعجل كما هو موضح بالشكل (4-53) ، وبالتالي يقل معامل الاحتكاك إلى ما بين (0.02 - 0.1).

W = وزن البوابة والذي يمكن تقديره من المعادلة العملية التالية:

$$W = (0.06 \rightarrow 0.08) S \cdot A_G \quad (4-28)$$

حيث

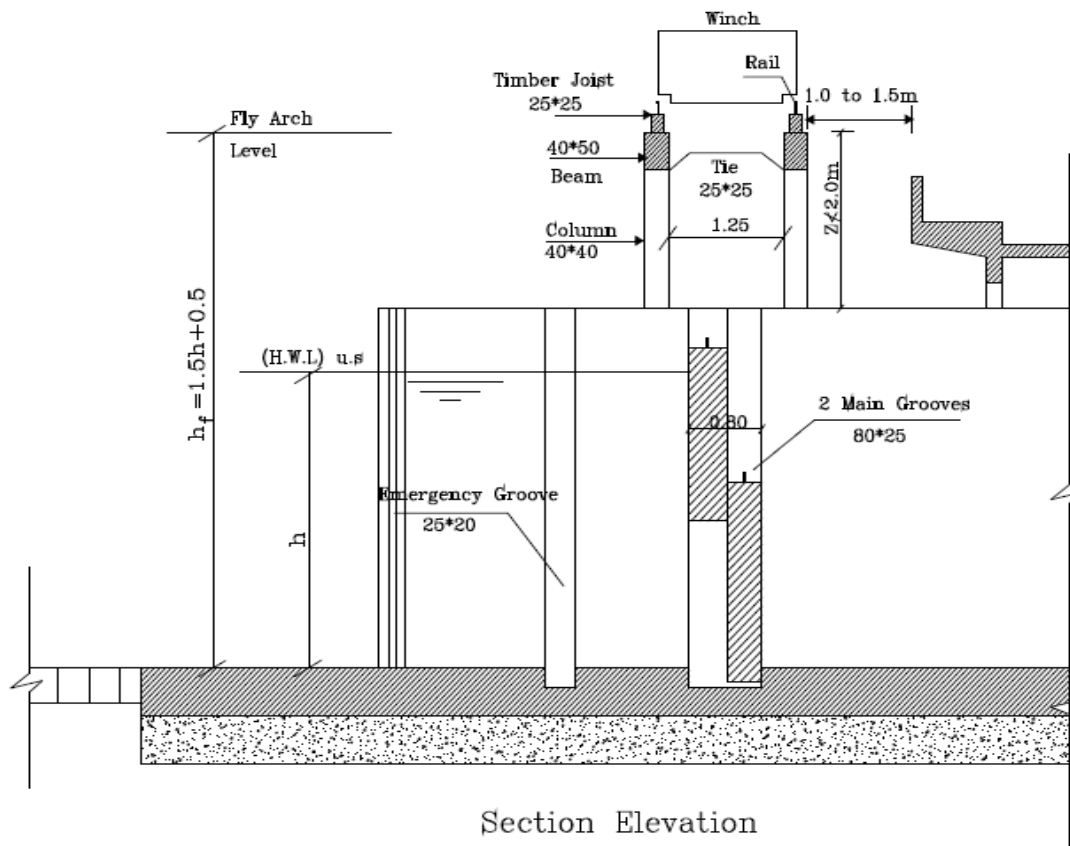
W = وزن البوابة بالطن.

S = عرض فتحة القنطرة بالمتر

A_G = مساحة البوابة بالمتر².

4-4-5-2-3-4 منشأ رفع البوابات Gate lifting structure

تستخدم الأوناش المتحركة فى رفع البوابات التى تستخدم فى إجراء الموازونات على القناطر المزودة ببوابتين لكل فتحة من فتحاتها وتوضع هذه الأوناش على الجانب الأمامى للقنطرة وتتحرك على قضبان مثل قضبان السكك الحديدية مثبتة على كامل عرض القنطرة ويسمى المنشأ الذى يحمل القضبان والونش المتحرك منشأ رفع البوابات Gate lifting structure (شكل 4-61).



شكل (4-61): نموذج لمنشأ رفع البوابات من الخرسانة المسلحة

وفى هذا النوع يتم تثبيت القضبان على كمرات خرسانية تمتد بعرض الفتحات وتحمل هذه الكمرات على أعمدة منشأة على دعائم القنطرة حيث يتم إنشاء عمودين على كل دعامة كما هو موضح بالشكلين (4-61، 4-62). ويجب ربط الكمرات مع بعضها عند النهايات حيث أنها مثبتة على الأعمدة تثبيتاً حراً.

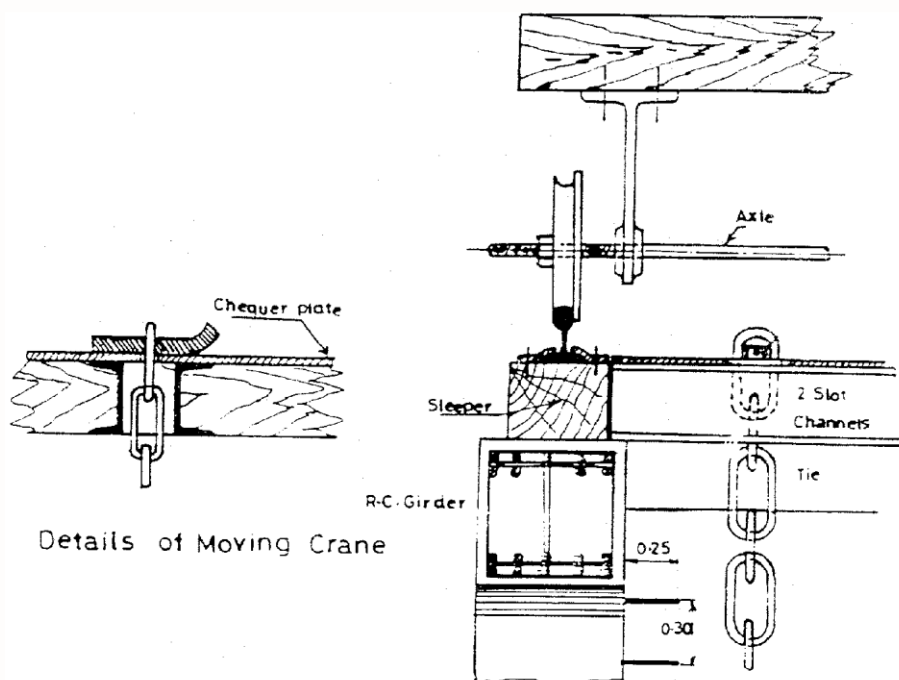
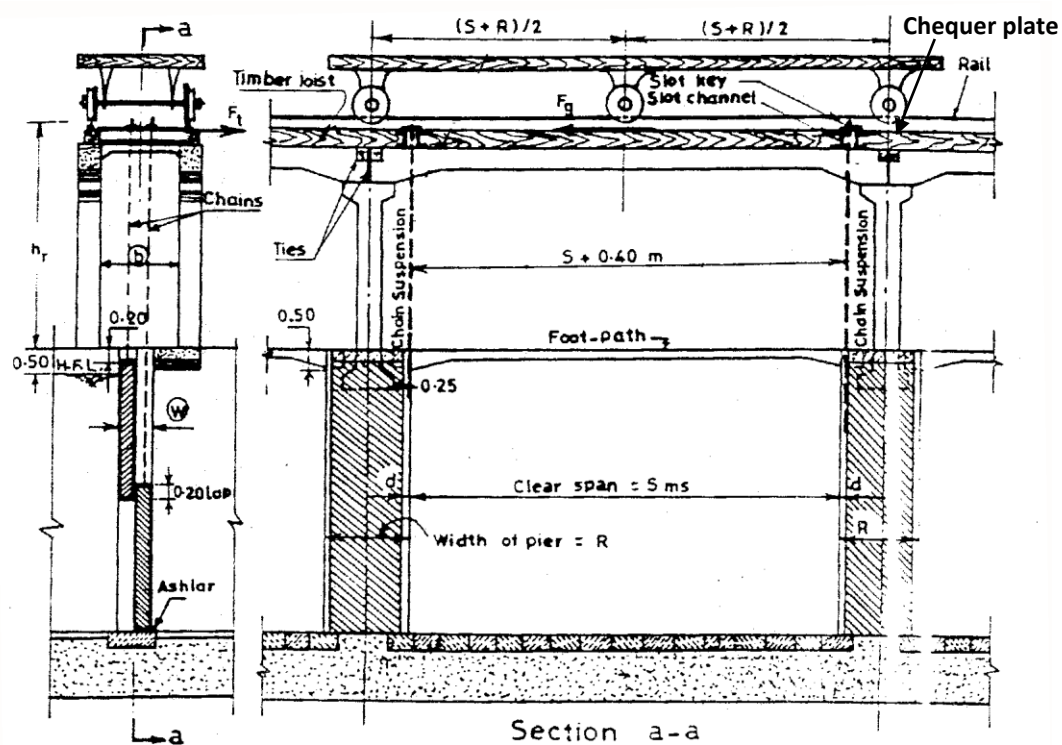
وتؤخذ المسافة العرضية بين العمودين المقامين على كل دعامة (δ) حسب الشكل (4-62) بالإستعانة بالجدول التالى :

عرض الفتحة (البحر) S بالمتر	المسافة (δ) بالمتر
3	1
4	1
5	1.25
6	1.50
8	1.80

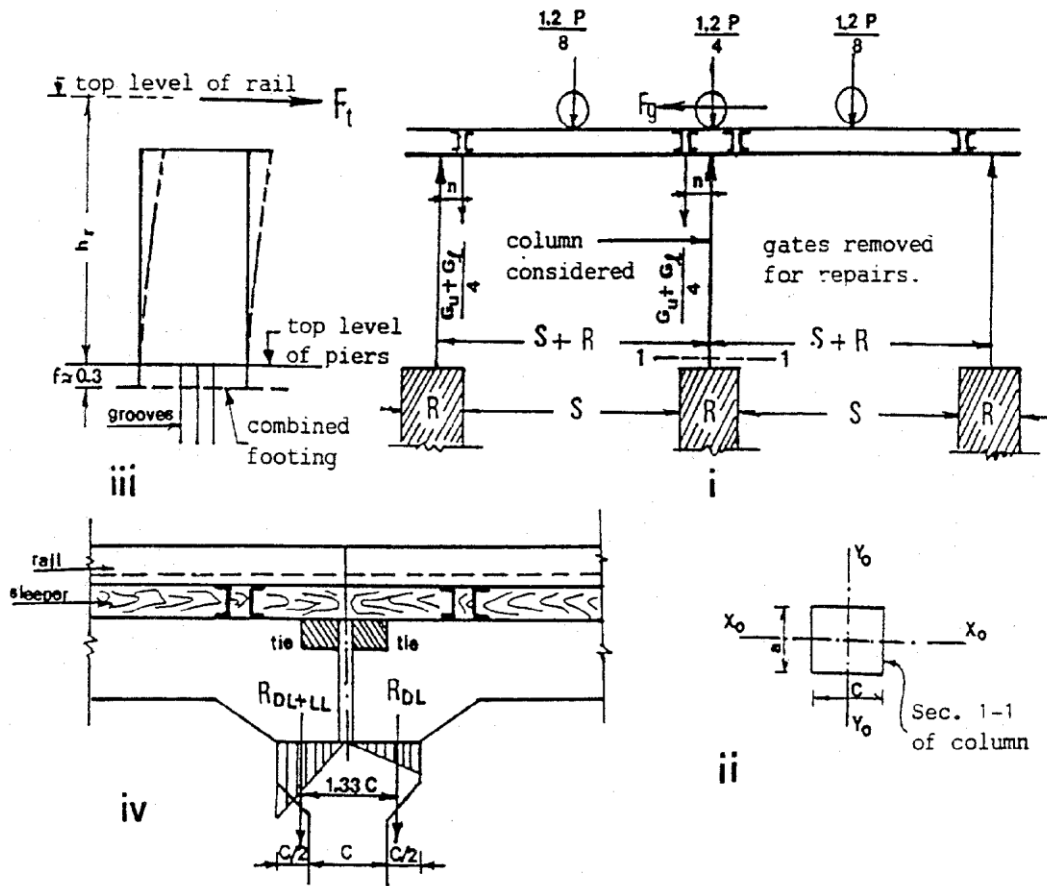
كما أن الفارق بين منسوب أعلى القضبان الحديدية ومنسوب أعلى الدعامة (h_r) (شكل 4-62) يجب أن يساوى إرتفاع البوابة مضافاً إليه 0.50 متر وذلك حتى يمكن السماح برفع إحدى البوابتين للإصلاح.

ويوضح الشكل 4-63 حالات التحميل المستخدمة فى تصميم أعمدة وكمرات منشأ رفع البوابات. ويوضح الجدول التالى قيمة الحمل الميت للونش المتحرك P بدلالة قيمة عرض الفتحة (S). وبصفة عامة فإن قيمة (P) يجب ألا تقل عن وزن أنقل بوابة تستخدم فى غلق فتحة القنطرة وفى حالة بدء حركة الونش فإن يجب إضافة 20 % من قيمة (P) كوزن زائد يعادل الصدمات.

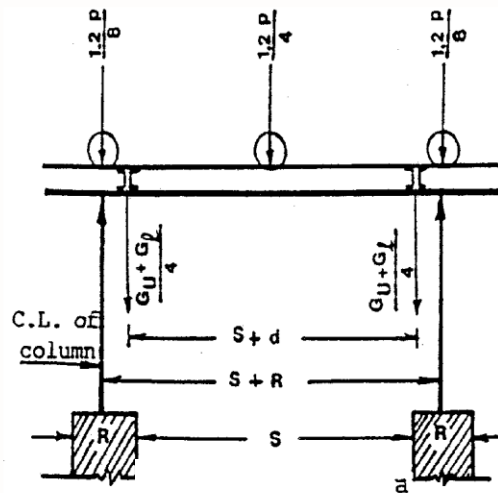
عرض الفتحة (البحر) S بالمتر	الحمل الميت للونش المتحرك P (طن)
3	3
4	4
5	5
6	6
8	8



شكل (4-62): تفصيلات منشأ رفع البوابات من الخرسانة المسلحة



أ- حالة التحميل لتصميم الأعمدة

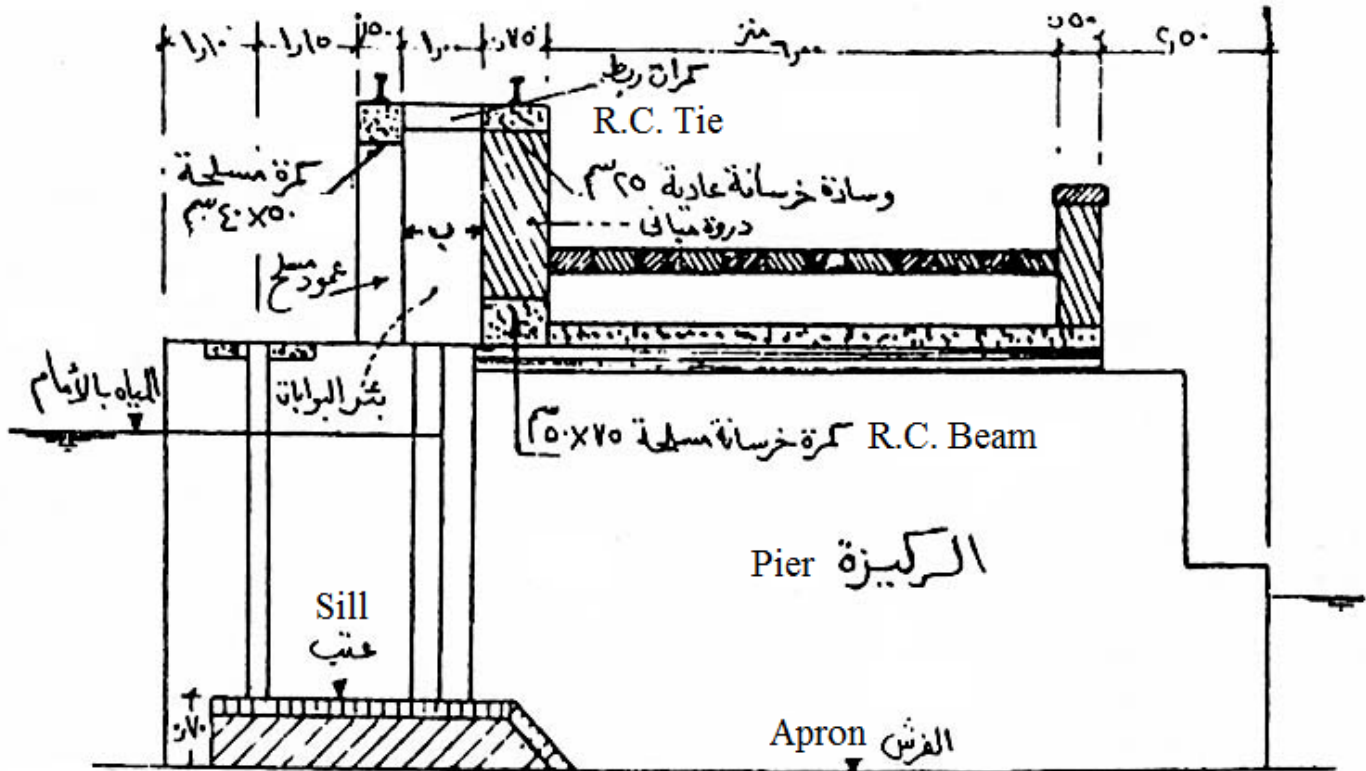


ب- حالة التحميل لتصميم الكمرات

شكل (4-63): حالات التحميل لتصميم أعمدة وكمرات منشأ رفع البوابات من الخرسانة المسلحة

5-4-5-2-3-4 Sill Arrangement below Gates القناطر ذات المداخل المزودة باعتاب

حينما يوجد فرق بين مستوى القاع أمام وخلف القنطرة فإن إنشاء عتب Sill بمدخل القنطرة كما هو مبين بالشكل 64-4 يجعل وزن البوابات المطلوبة أخف (بحيث لا يزيد ارتفاع هذا العتب عن 0.25 ارتفاع المياه بالأمام). كما أنه يوفر الفرصة لأي زيادة في عمق القناة وما يستتبعه بطبيعة الحال من الحاجة لزيادة سعة القنطرة فيكون من السهل حينئذ إزالة العتب لتحقيق هذا الغرض، ويصبح التعديل بالقنطرة بعد ذلك قاصراً على البوابات فقط .



شكل (64-4): قطاع نمطى فى قنطرة مصرية مزودة بعتب بالداخل

5-5-2-3-4 Radial Gates البوابات الدائرية

وتستعمل البوابة الدائرية كبوابة ضغط عالى و تتميز بعدم الحاجة إلى قوة كبيرة لتشغيلها لأن الضغوط تنتقل قطرياً نحو محور الدوران، (شكل 65-4). ويمكن تقدير وزن البوابة بصفة مبدئية من المعادلة :

$$W = 0.15 (P.S)^{0.70} \quad (4-29)$$

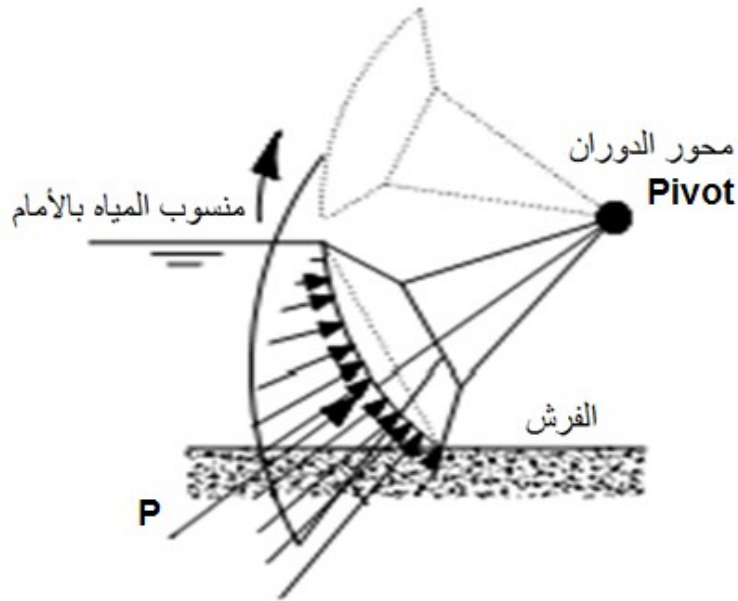
حيث

W = وزن البوابة بالطن

P = قوة ضغط الماء على البوابة بالطن

$S =$ عرض فتحة البوابة بالمتر

والشكل 66-4 تبين بوابة دائرية تم تنفيذها في قناطر نجع حمادى الجديدة.



شكل (65-4): ضغوط المياه على البوابة القطرية



شكل (66-4): البوابات الدائرية بقناطر نجع حمادى الجديدة

6-5-2-3-4 البوابات الأسطوانية Drum Gates

تتكون البوابة الأسطوانية بصفة عامة من اسطوانة من الصلب مقواة بهياكل حديدية وتتحرك على جرائد مسننة مائلة ومثبتة في مباني الركائز كما يبدو بالشكل 4-67. وتتميز البوابات الأسطوانية بما تتميز به البوابة القطرية من حيث أنها لا تحتاج إلى قوة كبيرة لرفعها. ويمكن حساب القوة "F" (شكل 4-68) اللازمة لرفع البوابة كما يلي :

$$F = W \cdot \sin\theta / 2 \quad (4-30)$$

حيث

θ = زاوية ميل الجريدة المسننة Rack على الأفقى.

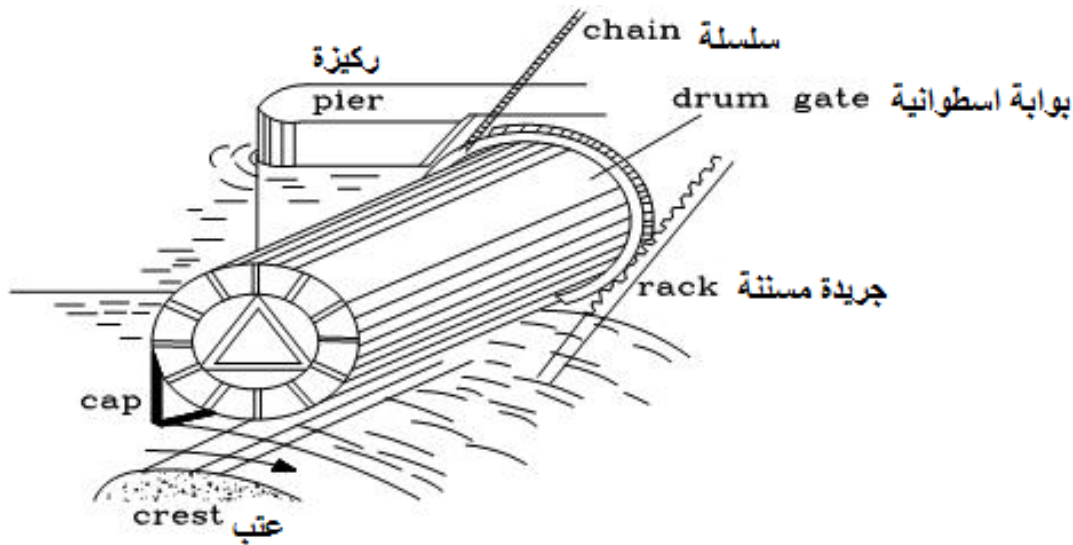
W = وزن البوابة والذي يمكن تقديره (بالطن) من المعادلة العملية التالية:

$$W = 0.50 A + 0.02 A^{1.50} \quad (4-31)$$

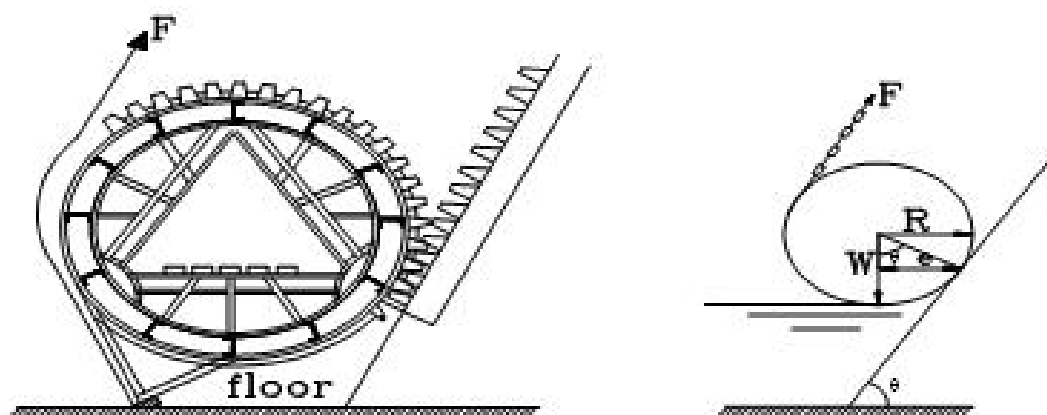
حيث

A = مساحة فتحة القنطرة المراد تغطيتها بالبوابة، متر².

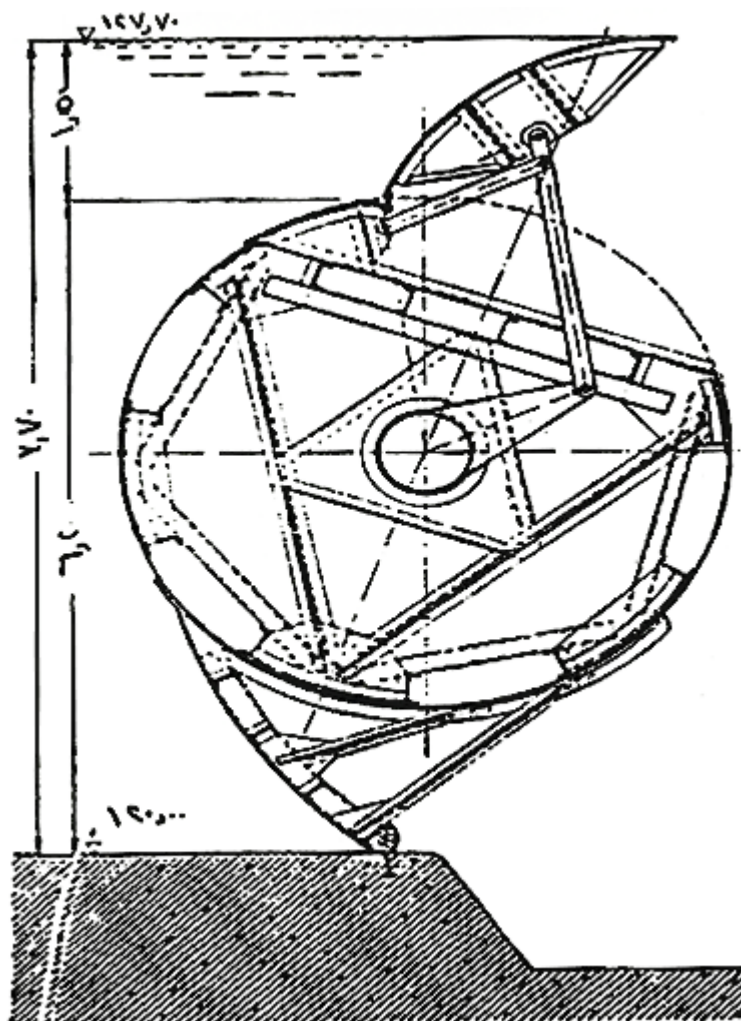
والشكل 4-69 يبين مسقطاً جانبياً لبوابة اسطوانية مزودة بقمة متأرجحة للتحكم في منسوب المياه بالأمام.



شكل (4-67): ضغوط المياه على البوابة القطرية



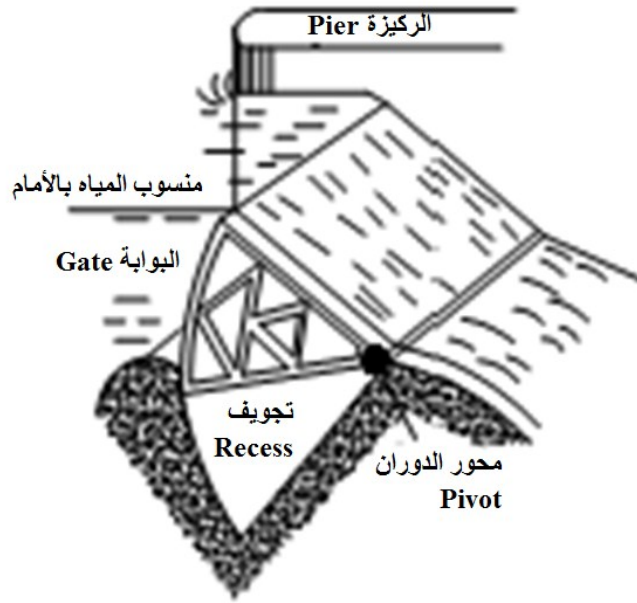
شكل (4-68): القوة اللازمة لرفع البوابة الاسطوانية



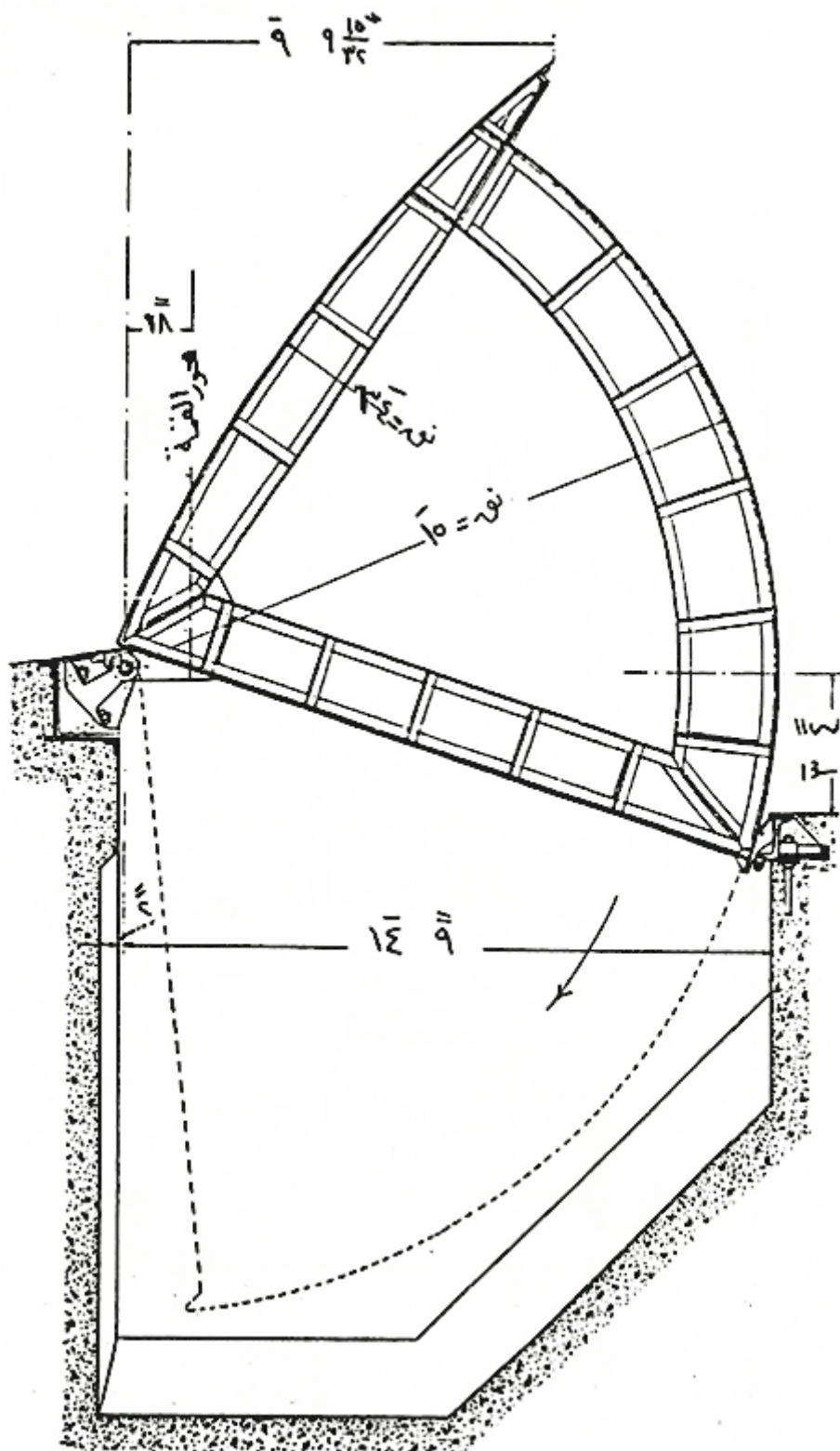
شكل (4-69): بوابة أسطوانية مزودة بقمة متارجحة

7-5-2-3-4 البوابة المتأرجحة (بوابة القطاع) Sector Gates

يتكون هذا النمط من البوابات من قطاع دائري حاد الزاوية يتضمن لوحاً خارجياً مقوى هيكلياً من الداخل. وتتحرك البوابة مفصلياً عند مركز التقوس بحيث يمكن أن ترتفع تماماً فوق المبنى أو أن تنخفض حتى يصبح أعلاها منطبقاً مع قصة المبنى (شكل 4-70) ويتم التحكم في جميع أوضاع البوابة هيدروليكيّاً وذلك بزيادة ضغوط المياه تحتها من خلال فتحات خاصة أو تصريف المياه من فتحات أخرى. ويبين الشكل (4-71) أحد تصميمات المكتب الأمريكي لاستصلاح الأراضي من البوابات المتأرجحة.



كل (4-70): الفكرة العامة للبوابة المتأرجحة

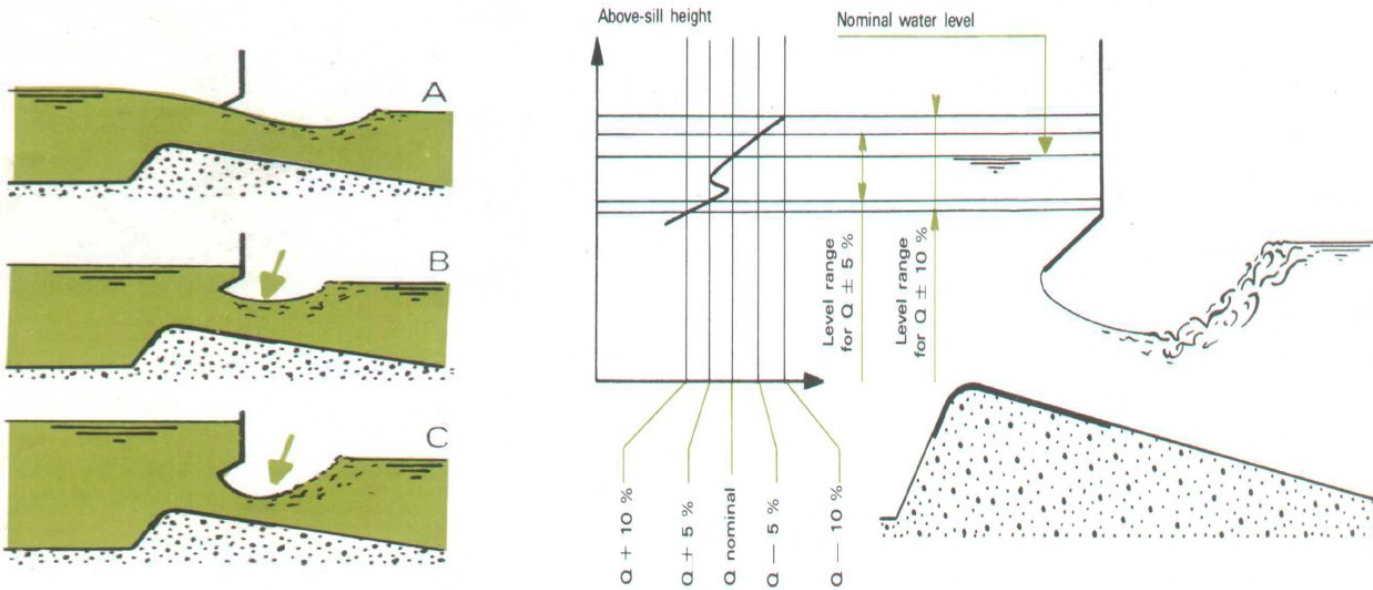


شكل (4-71): أحد تصميمات المكتب الأمريكي لاستصلاح الأراضي من البوابات المتأرجحة

8-5-2-3-4 بوابات التصريف الثابت Constant Discharge

فى هذا النوع من البوابات يتم إنشاء عتب ذى منسوب قمة ثابت أسفل البوابة التى تزود بلوح مائل Baffle plate كما هو موضح بالشكل (72-4).

وعند بدء التشغيل يكون منسوب الأمام منخفضا وبالتالي فإن التصريف الذى يمر من أعلى العتب يكون حرا فى هذه الحالة كما هو مبين فى الشكل (72-4) A. وعندما يبدأ منسوب الأمام فى الارتفاع حتى يصل إلى منسوب أو طى نقطة فى اللوح المائل للبوابة فحينئذ ستعمل البوابة والعتب على إمرار التصريف فى حالة تشابه التصريف المار من خلال فتحة ولكن فى هذا الوضع يكون معامل التصريف صغيرا وسيكون هناك أيضا تخفيض فى حجم مقذوف الماء المندفع من خلال البوابة والشكل (72-4) B يوضح هذه المرحلة. وسوف تزداد قيمة التخفيض فى حجم الماء المندفع من الخلف عندما يستمر منسوب الأمام فى الارتفاع مما يعمل على التحكم فى قيمة التصريف المار شكل (72-4) C.

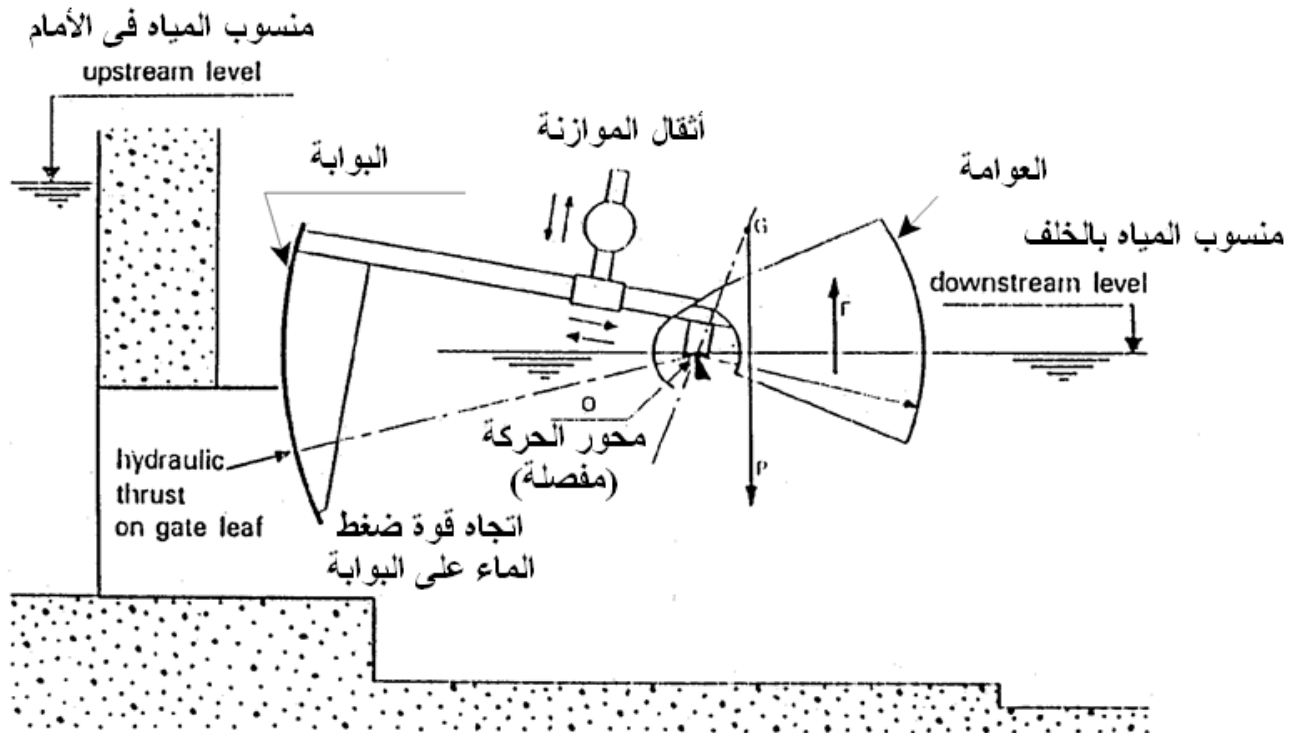


شكل (72-4): مبدأ تشغيل بوابات التصريف الثابت

9-5-2-3-4 بوابات المنسوب الثابت فى الخلف Constant downstream level

وهذا النوع من البوابات يعمل أوتوماتيكيا بحيث يظل منسوب الماء بالخلف فى القناة أو فى الحوض ثابتا طبقا لما هو مطلوب لإستيفاء أغراض الري وذلك فى ظل تذبذب مناسيب الأمام وبصرف النظر عن التصريف المار أسفل البوابة. وهذا التحكم الملحوظ فى منسوب الخلف يأتى عن طريق تحريك البوابة فى الاتجاه الرأسى (سواء إلى أعلى أو إلى أسفل) عن طريق الدوران على محور. والشكل (73-4) يوضح هذا النوع من البوابات والتى تتكون بصفة أساسية من بوابة وعوامة. البوابة من الطراز الورقى أسطوانية الشكل ولها هيكل معدنى وقاعدة تحميل والعوامة ذات مقطع أسطوانى وتشكل مع البوابة جسما واحدا جاسئا.

وتدور كل من البوابة والعوامة حول محور (مفصلة) تثبت على منسوب الخلف المطلوب وعند الضبط الابتدائي للبوابة يجب أن يقع مركز ثقل الجزء المتحرك منها في الجزء المطلوب وذلك عن طريق وزن متحرك Counter weight مثبت على الهيكل أو بواسطة ملء خزانين للمياه حسب الثقل المطلوب أحدهما يوضع على الهيكل والثاني على العوامة ولا يوجد تأثير لقوة الضغط الأستاتيكي للمياه على البوابة إذ أن هذه القوة تتجه مباشرة لمحور (مفصلة) البوابة وتكون العزوم الناتجة عن وزن البوابة وقوى الطفو هي التي تؤثر فقط على اتزان البوابة. فإذا ارتفع منسوب المياه بالخلف زادت قوى الطفو على العوامة مما يؤدي لحركتها لأعلى وبالتالي حركة البوابة لأسفل مما يقلل من التصرف الوارد من الأمام للخلف ليستعيد المنسوب الخلفي قيمته التصميمية المطلوبة.



شكل (4-73): مبدأ تشغيل بوابات المنسوب الثابت في الخلف

الفصل الخامس

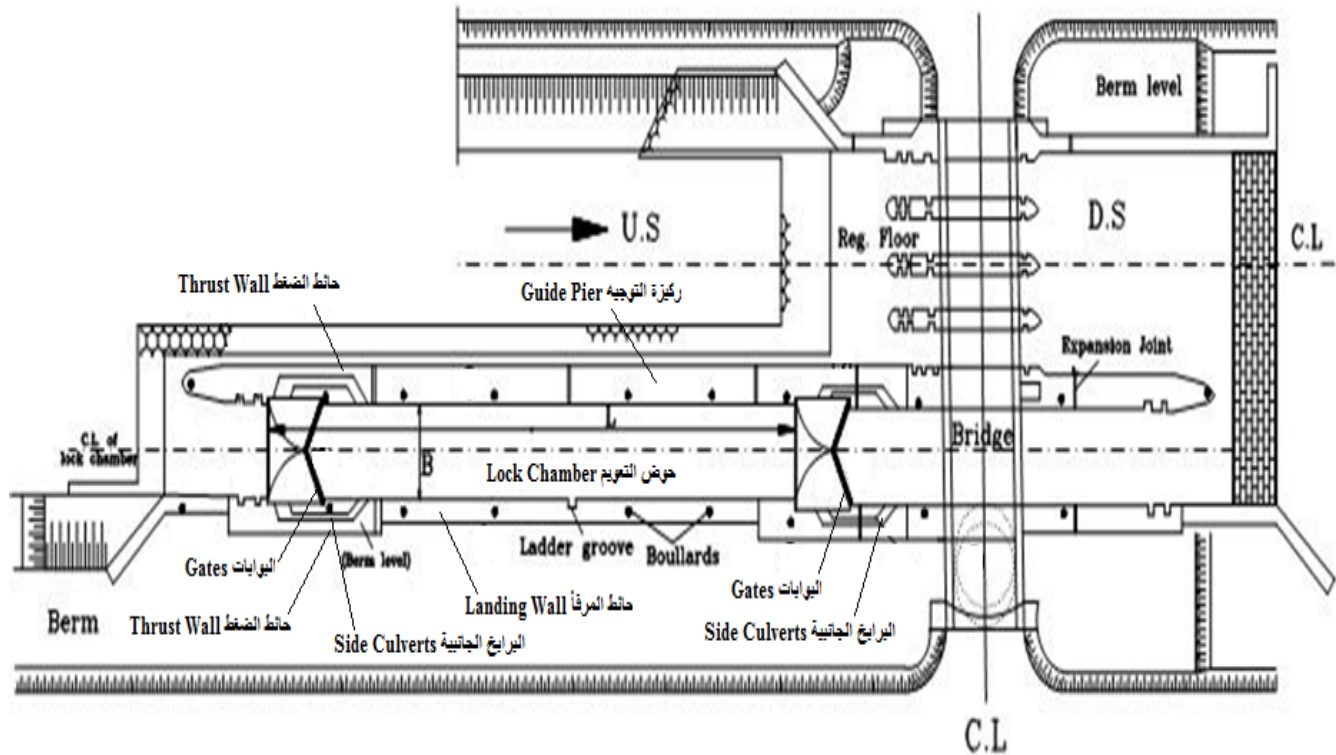
الأهوسة الملاحية Navigation Locks

1-5 منشأ الهويس Lock

الهويس منشأ يقام على القناة فى مواقع منشآت التحكم حتى يمكن أن تستمر الملاحة Navigation من أمام الى خلف المنشأ والعكس. وذلك عندما تعترض هذه المنشآت (كالسدود والقناطر و.....) القنوات مسببة إختلاف مناسب المياه أمام وخلف هذه المنشآت (الارتداد) Heading up. ومن الممكن أيضا استخدام الأهوسة فى ربط الملاحة بين مجريين يختلف منسوب المياه بأحدهما عن الآخر.

2-5 السمات العامة للهويس General Description of Lock

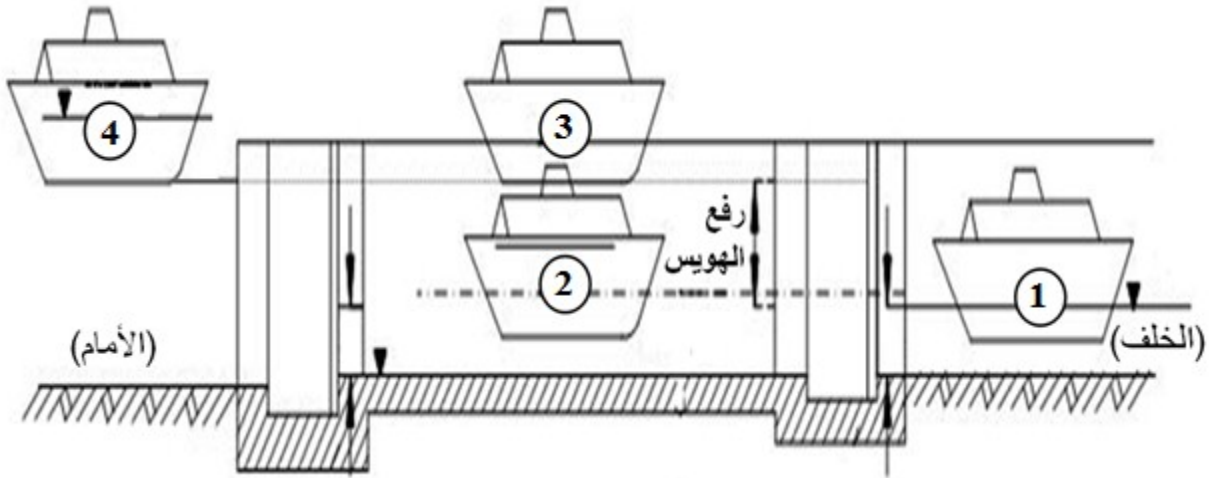
الهويس حيز مستطيل مزود ببوابات Gates أمامية وخلفية، ويمكن رفع منسوب المياه داخل ذلك الحيز (الذي يسمى عادة حوض التعويم Chamber) أو خفضه عن طريق فتحات خاصة يمكن غلقها أو فتحها حسب مقتضى الحال، وتسمى بوابخ الملىء والتفريغ Filling and Emptying Openings. ويبين الشكل 1-5 المكونات الرئيسية للهويس



شكل (1-5): شكل تخطيطي يبين السمات العامة للهويس فى المسقط الأفقى

3-5 تشغيل الهويس Lockage

لنفرض أن سفينة تبغى الانتقال من الخلف (الموقع 1) إلى الأمام (الموقع 4) كما هو مبين بالشكل 2-5، فإن تشغيل الهويس يتم على النحو التالي:



رفع الهويس = أقصى فرق بين منسوب المياه بالأمام والخلف.

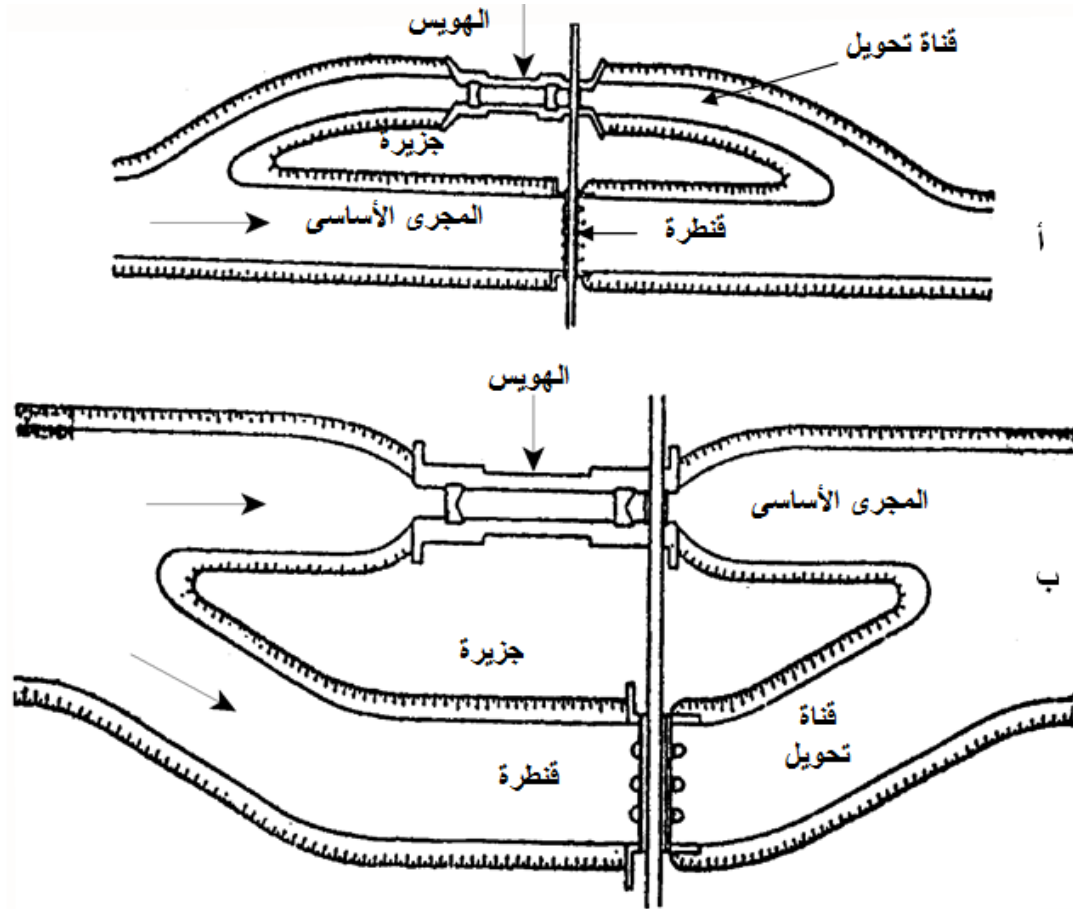
شكل (2-5): مراحل نقل سفينة من الخلف للأمام بواسطة الهويس

- 1- تفتح البرابخ الخلفية حتى يتساوى منسوب المياه بالخلف وداخل الهويس (الوضع 1).
- 2- تفتح بوابات الهويس الخلفية ويتم دخول السفينة إلى الهويس (الوضع 2).
- 3- تقفل البوابات الخلفية، وتفتح البرابخ الأمامية ليتساوى منسوب المياه داخل الهويس مع منسوب المياه بالأمام، فترتفع السفينة بالتالى للوضع 3.
- 4- تفتح البوابات الأمامية للهويس، ويسمح للسفينة بالخروج للوضع 4.

4-5 أنواع الأهوسة الملاحية Types of Navigation Locks

1-4-5 الأهوسة المتماثلة Symmetrical Locks

فى هذه الحالة يوضع الهويس بمجرى مائى مستقل (تحويله) عن المجرى الرئيسى للمنشأ الأساسى كما هو موضح بالشكل (3-5) أ ، ب.

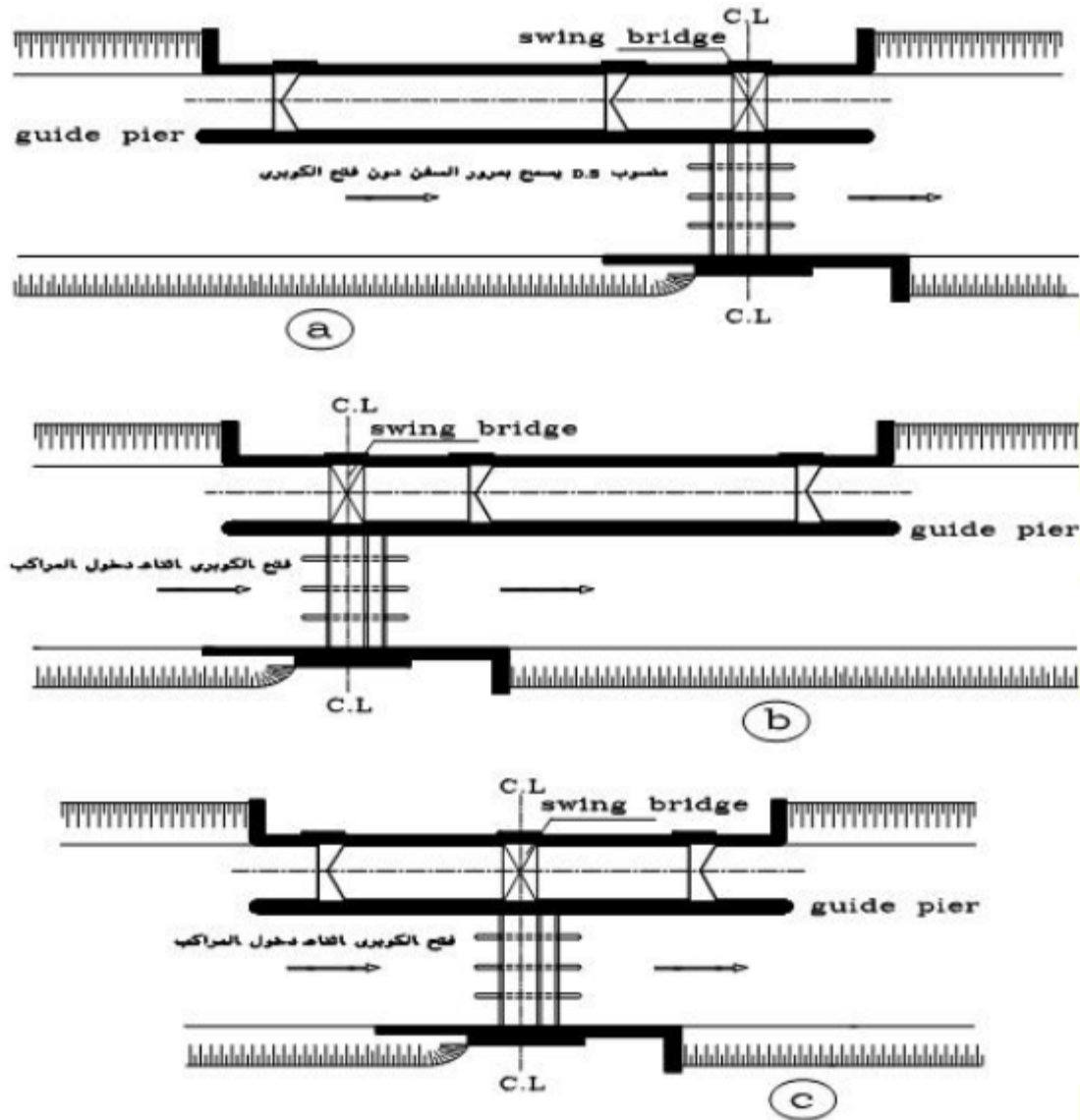


شكل (3-5): هويس متماثل على قناة تحويل

2-4-5 الأهوسة الغير متماثلة Unsymmetrical Locks

يوضع الهويس فى هذه الحالة ملاصقا للمنشأ الأساسى (قناطر ، سد ، هدار ،) فى نفس المجرى وبذلك يعتبر المنشأ الأساسى والهويس وحدة إنشائية واحدة كما هو موضح بالأشكال (4-5a, b, c). وتوضح هذه الأشكال الحالات المختلفة لوضع حوض التعويم Chamber بالنسبة للكوبرى المار فوق القناطر. ويتوقف اختيار أى من هذه الأوضاع على كثافة المرور البرى والنهرى وأيهما أهم.

وطبقاً للكوند المصرى للموارد المائية وأعمال الري، فإن الخبرة العملية الطويلة فى هذا المجال ترجح وضع محور الكوبرى فوق حوض الهويس عند الثلث الخلفى بحيث لا يضطر لفتح الكوبرى أثناء تشغيل الهويس إلا إذا كانت الوحدة الملاحية المارة طويلة جداً أو إذا تواجد العديد من الوحدات داخل حوض الهويس فى وقت واحد.



شكل (4-5): أنماط مختلفة للأهوسة الغير متماثلة

5-5 طرق ملء وتفريغ الهويس Filling and Emptying A lock

إن اختيار نظام الملء والتفريغ يجب أن يراعى فيه أمرين قد يكون كل منهما متعارضاً مع الآخر كما يلي :

- 1- ينبغي أن يكون الزمن اللازم لملء أو تفريغ الهويس قصيراً قدر الإمكان لتحسين كفاءة حركة الملاحة.
 - 2- ينبغي ألا تكون الحركة الاضطرابية للمياه المندفعة إلى الهويس من الشدة بحيث تؤدي إلى حدوث إجهادات عنيفة بحبال الربط للسفن قد تؤدي إلى انقطاعها وبالتالي ما قد يحدث من تلف للوحدات المستخدمة للهويس أو أى من أحد أجزاء المنشأ وعلى الأخص البوابات.
- ويمكن استخدام المعادلة العملية التالية والتي إستنتجها العالم الروسى B. D. Katchnovesky لتحديد قيمة القوى المؤثرة على الوحدات الملاحية:

$$S = \frac{1}{35} W^{3/5}$$

(5-1)

حيث

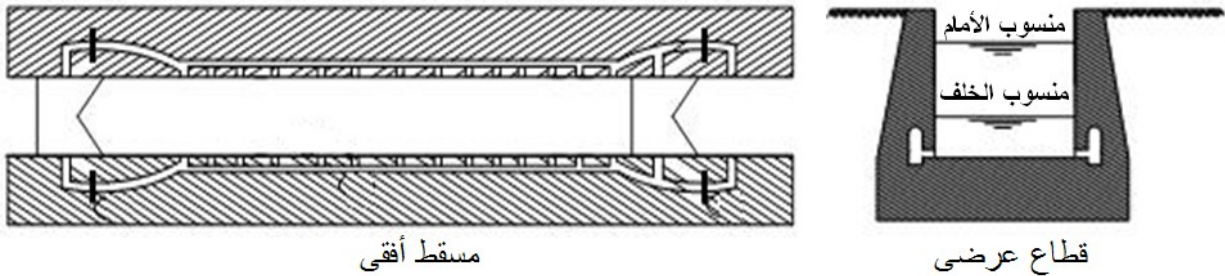
s = القوى المؤثرة على الوحدات بالطن (وبحيث لا تزيد عن 5 طن)

w = وزن الوحدة بالطن

وهكذا نرى أن التقليل من شدة اضطرابية المياه يتطلب البطء فى الملء والتفريغ ، وهو ما يتعارض مع المطلوب من قصر زمن الملء والتفريغ بغية عدم البطء فى حركة الملاحة، لذا فإن جانباً من خبرات تصميم الأهوسة قد تم توجيهه إلى محاولة الموازنة بين المطلبين المتعارضين بطرق فنية مختلفة، وفيما يلي تلخيصاً لأهم الحلول المتبعة.

1-5-5 الطريقة الأمريكية American Practice

وتتلخص فى إنشاء أبراخ طولية بالحوائط الجانبية تغذى مجموعة كبيرة من البرابخ القصيرة العرضية كما يبدو بالشكل التوضيحي 5-5، ولقد اتضح أخيراً أن إنشاء البرابخ القصيرة على مسافات غير متساوية يؤدي إلى تخفيض الحركة الاضطرابية للمياه أثناء الملء بدرجة كبيرة، وتناسب هذه الطريقة الأهوسة ذات الرفع الكبير (أكثر من 10 أمتار). ويوضح الشكل (5-6) صورة للبرابخ الطويلة المغذية لبرابخ عرضية بأحد الأهوسة.



شكل (5-5): الملء والتفريغ بالبرابخ الطويلة المغذية لبرابخ عرضية

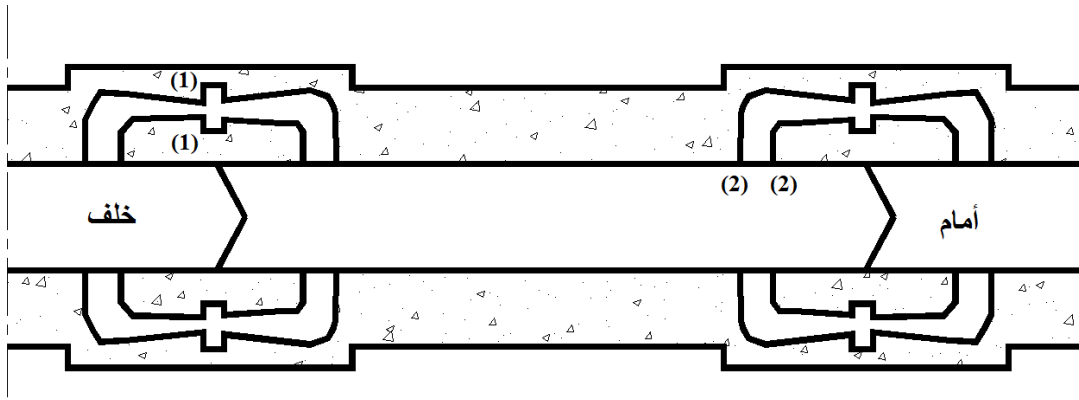


شكل (5-6): صورة للبرايخ الطويلة المغذية لبرايخ عرضية بأحد الأهوسة

2-5-5 تفريضة الفنشورى (الطريقة الأوروبية) (The venture Loop Conduits (Europen Practice)

وتناسب هذه الطريقة الرفوع المتوسطة (5 إلى 10 أمتار)، (شكل 5-7).

وقد أثبتت هذه الطريقة أنها جيدة من الناحية الهيدروليكية أى فيما يتعلق بتخفيض اضطرابية المياه المندفعة من وإلى الهويس فضلاً عن أنها تكون سبباً فى تخفيض تكلفة الحوائط الجانبية بنسبة لا بأس بها.



تفريفة فنشورية

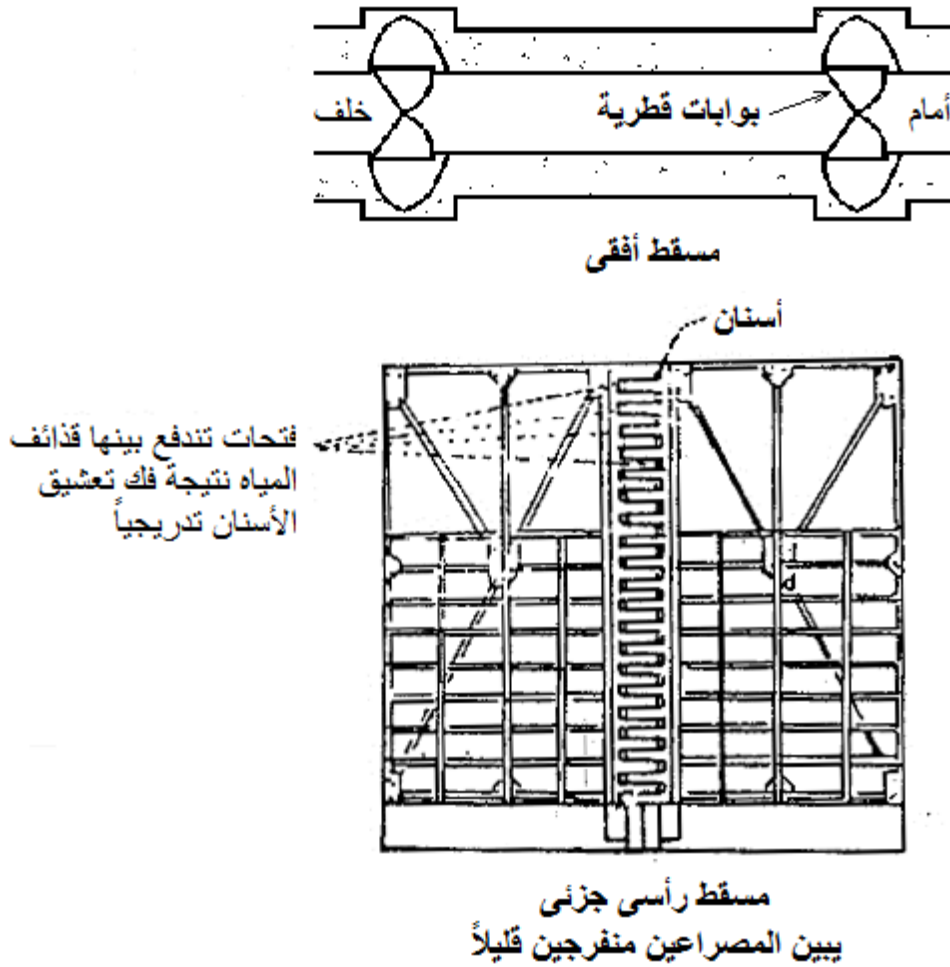
- قطاع التفريفة عند (1)-(1) يحسن أن يكون ضيقاً ومرتفعاً للتقليل من صدمة التدفق.

- قطاع (2)-(2) يكون مستطيلاً.

شكل (5-7): الملء والتفريغ عن طريق تفريفة فنشورية

3-5-5 استخدام البوابات القطرية ذات الحواف المسننة Radial Gates Opened by Cracking

وتناسب تلك الطريقة الرفوع الصغيرة (أقل من 5 أمتار) وفكرتها بصفة عامة (شكل 5-8) تتلخص فى استخدام بوابات قطرية يكون حرف كل من مصراعيها مسنناً بحيث تتعشق أسنان المصراعين مع بعضها عند تمام اغلاق البوابة، وعند الفتح يتم ذلك ببطء لتتفرج المسافات الناجمة عن ابتعاد الأسنان انفرجاً تدريجياً (بعض المراجع تسمى تلك الطريقة "طريقة الملء والتفريغ بتشريح البوابات"). ولكون سطح البوابة التى تندفع من خلاله قذائف المياه من الفتحات التى تتركها الأسنان أثناء ابتعادها عن بعضها، ولكون هذا السطح اسطوانى، فإن تلك القذائف تتقاطع مع بعضها داخل حوض التعويم مما يساعد على تخفيض الحركة الاضطرابية غير المرغوب فيها داخل الحوض.



شكل (5-8): البوابات القطرية المسننة

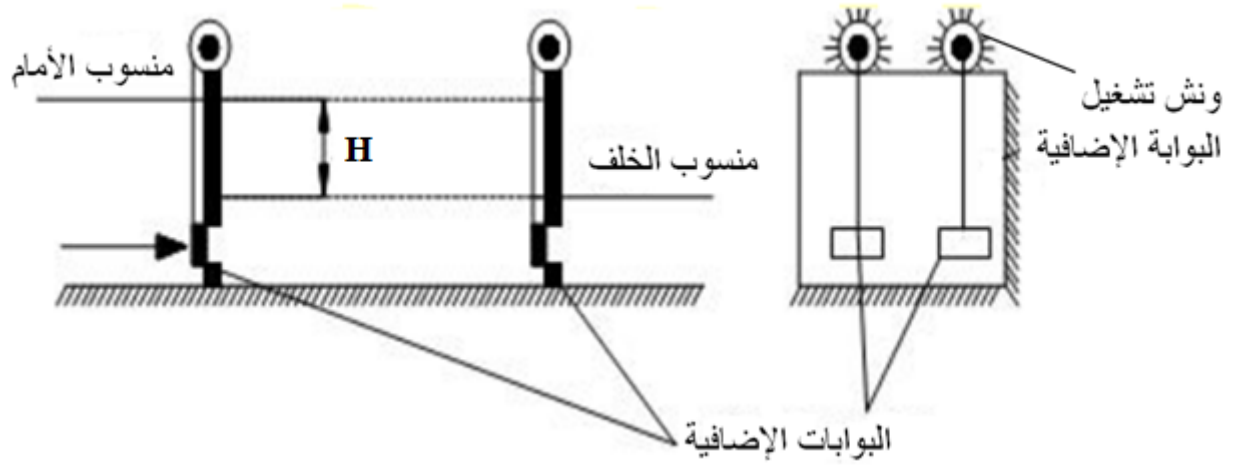
4-5-5 الملء والتفريغ عن طريق بوابات ثانوية تعمل بالإضافة للبرابخ الجانبية The gated Sluices

يتم إعداد بوابات إضافية ببوابات الهويس الرئيسية إلى جانب التفريعات البربخية الموجودة بالحوائط الجانبية كما هو الحال فى الأهوسة المصرية الحالية (الشكلان 5-9 و 5-10).

وتبعاً لحجم الهويس يتراوح عدد تلك البوابات الإضافية بالمصراع الواحد من بوابة واحدة الى ثلاثة، وكل بوابة تستعمل لخلق أو فتح فتحتين مستطيلتين أحدهما تعلو الأخرى على محور رأسي واحد، فإذا رمزنا لارتفاع الفتحة بالرمز "أ" وعرضها بالرمز "ب" فإن الأرقام المناظرة فى بعض الأهوسة المصرية (عرض 7 الى 12 متراً) تكون كما يلي :

"أ" حوالى 30 الى 38 سم.

"ب" حوالى 112 الى 117 سم.



شكل (9-5): شكل تخطيطي لتوضيح الفكرة العامة للبوابات الإضافية



شكل (10-5): صورة تبين البوابات الإضافية بإحدى بوابات الأهوسة

6-5 حساب الزمن اللازم للملء والتفريغ Computation of The time of Filling or Emptying**أولاً: حالة التفريعات البربخية ومعها البوابات الثانوية**

تقترب هذه الحالة كثيراً من مسألة التدفق خلال ثقب مغمور تحت ضاغط متغير (يرجع الى مؤلفات ميكانيكا الموائع)، ويمكن استعمال المعادلة التالية :

$$T = \frac{T_1}{2} + \frac{2 A \sqrt{H}}{\sqrt{2g} (C_{d1} a_1 + C_{d2} a_2)} \quad (5-2)$$

حيث :

T = الزمن الكلي للملء والتفريغ.

A = مساحة سطح المياه داخل حوض التعويم ($A = L.B$) (شكل 5 - 11)

L = طول حوض التعويم بالمتر

B = عرض حوض التعويم بالمتر

H = رفع الهويس = أقصى فرق بين منسوبي المياه بالامام والخلف.

g = عجلة الجاذبية الأرضية.

C_{d1} = معامل التدفق للبرابخ، ويؤخذ عادة 0.62.

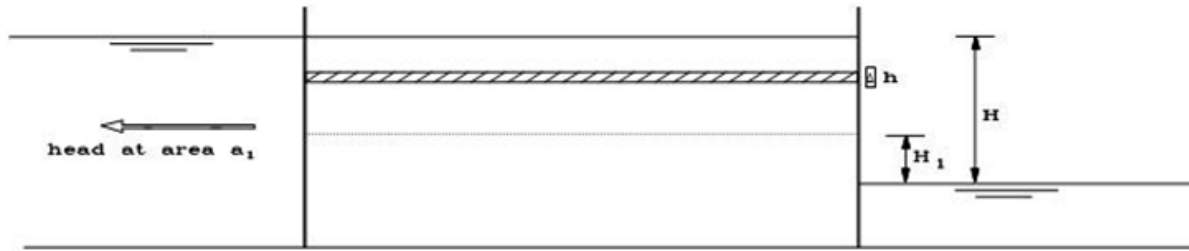
C_{d2} = معامل التدفق للبوابات الإضافية، ويؤخذ من 0.32 إلى 0.58 ويفضل استعمال القيمة الادنى للاحتياط.

a_1 = مساحة المقطع العرضي لبرابخ الملء والتفريغ.

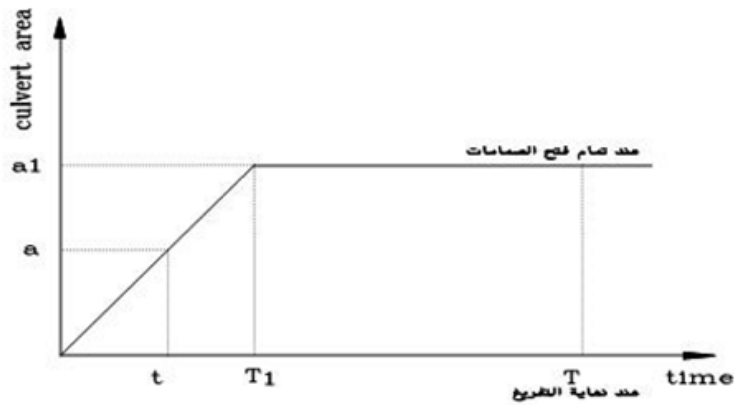
a_2 = مساحة فتحات الملء والتفريغ ببوابات الهويس، وعادة ما تكون فتحتين طول كل منهما 1.00 متر وعرضها 0.40 متر.

ويمثل مجموع المساحات للفتحات بالبوابات والبرابخ نسبة من مساحة سطح المياه داخل حوض التعويم ، وتتراوح هذه النسبة ما بين 1 : 200 إلى 1 : 250 .

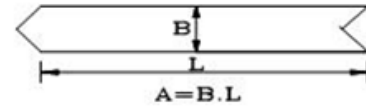
T_1 = الزمن اللازم لفتح محابس البرابخ وبوابات الفتحات الإضافية، وقد أخذ نصفه فقط بالمعادلة (5-2) على اعتبار أن مساحة تلك الفتحات تتزايد مع الفتح التدريجي حتى تصل إلى أقصاها فيما بين الزمن "صفر" والزمن " T_1 "، وبافتراض أن ذلك التزايد يكون خطياً (شكل 5 - 11).



قطاع طولى فى حوض التعويم



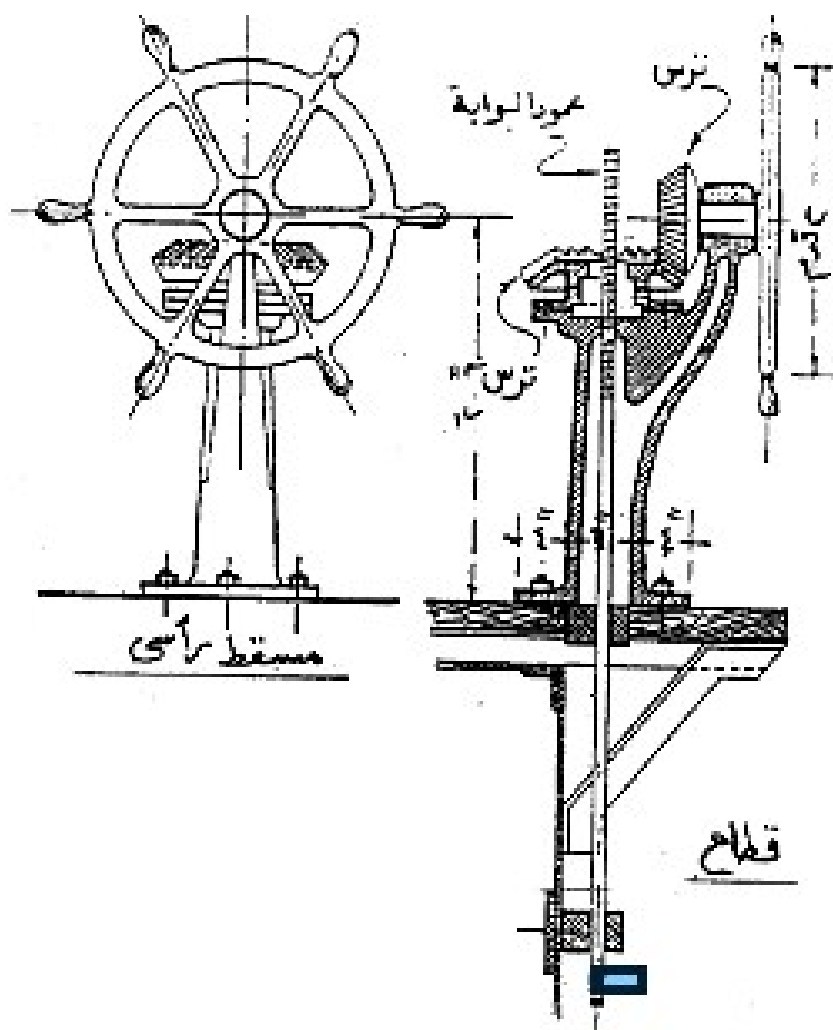
العلاقة الخطية لزمن فتح المحابس



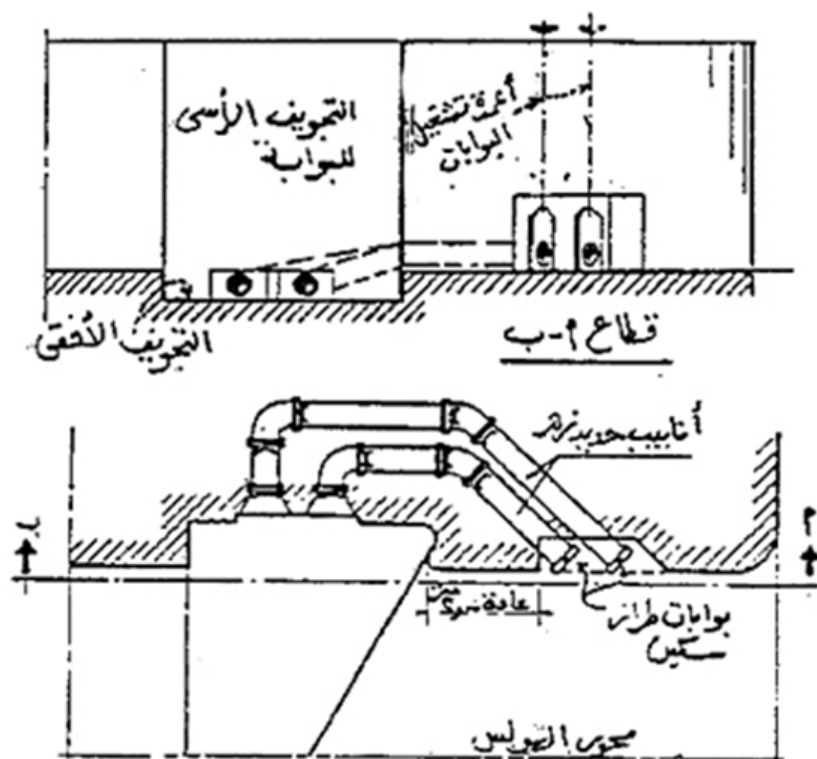
المساحة الأفقية لمقطع حوض التعويم

شكل (5-11): كيفية حساب زمن الملء أو التفريغ

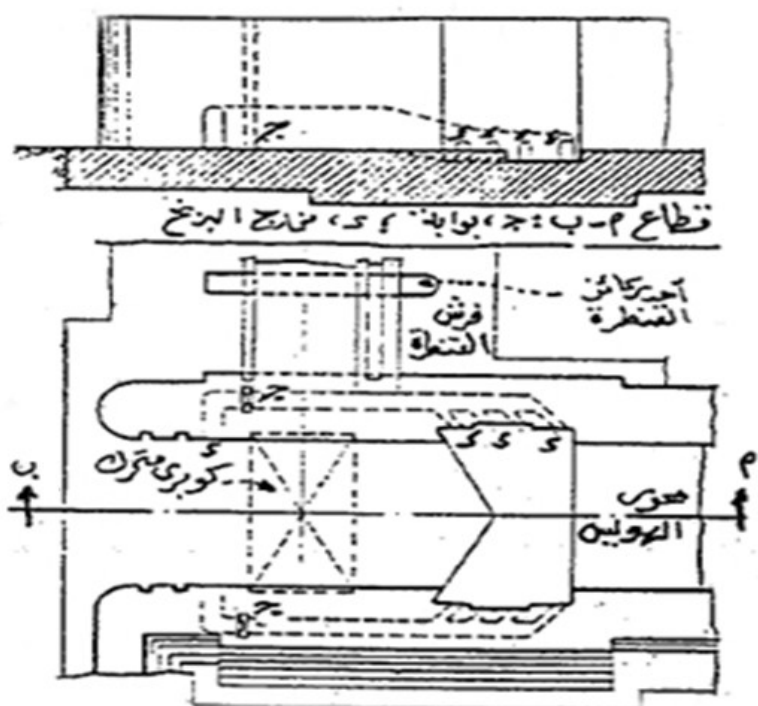
ويجد القارئ بالشكل 5 - 12 رسماً يبين ونش تشغيل البوابة الإضافية بينما يبين الشكل 5 - 13 نوعين من التفريعات فى منطقة التجويف الأفقى (الذى يتحرك بداخله الطرف السفلي لمصراعي البوابة ، أنظر فيما بعد) ولا يخفى ما فى ذلك من ميزة إعطاء الفرصة لتقليب الرواسب التى قد تتجمع فى ذلك التجويف وبالتالي سهولة اكتساحها مع حركة المياه .



شكل (5-12): ونش تشغيل البوابة الإضافية



تفريجة بربخية من
أنبوبتين من الحديد الزهر



تفريجة بربخية من
المباني ومتعددة المخارج

شكل (5-13): مساقط لبديلين من بدائل التفريجات البربخية

ثانياً: أنظمة الملء والتفريغ الأخرى

بالنسبة لنظم الملء والتفريغ الأخرى كالتفريغ الفنشورية أو البوابات القطرية المسننة وغيرها، فإن استعمال طريقة تحليلية مبسطة كما في الحالة السابقة لا يعطى نتيجة دقيقة. ويتطلب الأمر عادة حل معادلات تفاضلية عن طريق التكامل الحسابي نقطة نقطة ، وعلى أى حال فإنه إذا كان المطلوب هو مجرد المقارنة بين أنظمة مختلفة للملء والتفريغ، فإنه من الممكن استعمال المعادلة التالية مع وضع معامل التدفق المناسب طبقاً لما هو وارد بالجدول 1 - 4

$$T = \frac{T_1}{2} + \frac{2 A \sqrt{H}}{C_d \cdot a \sqrt{2g}} \quad (5-3)$$

حيث :

T = الزمن الكلي للملء والتفريغ.

 T_1 = الزمن اللازم لفتح أو غلق منافذ الملء أو التفريغ.A = مساحة سطح المياه داخل حوض التعويم ($A = L.B$).

H = رفع الهويس = أقصى فرق بين منسوبي المياه بالامام والخلف.

g = عجلة الجاذبية الأرضية.

 C_d = معامل تدفق، (جدول 5 - 1).

a = مساحة المقطع العرضي لمنفذ الملء أو التفريغ مأخوذة عند مواقع المحابس.

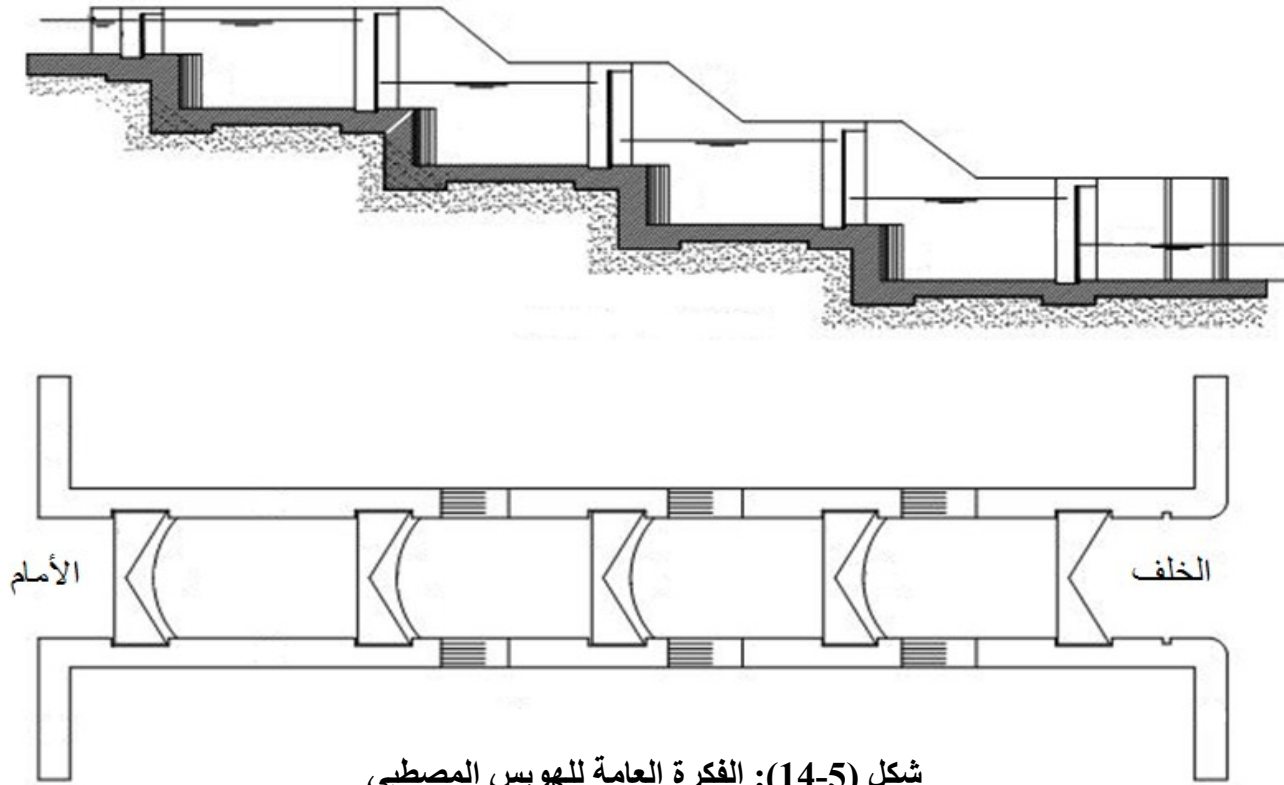
جدول (5 - 1): معاملات التدفق لبعض أنظمة الملء والتفريغ

النظام	C_d
البراخ الطويلة المغذية لبراخ قصيرة متعددة.	0.85 إلى 0.95
التفريغ الفنشورية.	0.75 إلى 0.85
البوابات القطرية المسننة.	0.80

7-5 الأهوسة ذات الرفع الكبير

فى الحالات التى يكون فيها رفع الهويس كبيراً قد تصل الارتفاعات المطلوبة للحوائط وأيضاً البوابات إلى قيم غير اقتصادية وأحياناً غير عملية خاصة فيما يتعلق بتشغيل البوابات، لذا يلجأ عادة فى مثل هذه الأحوال الى الهويس المصطبى Stepped Lock (ويطلق عليه فى بعض المراجع اسم الهويس السلمى) وبذلك ينقسم الرفع الواحد الكبير الى عدة رفوع متوسطة القيمة (شكل 5-14)، ومن أمثلة الأهوسة المصطبية هويس "قناة بنما" التى تصل المحيط الهادى بالمحيط الأطلسى (شكل 5-15).

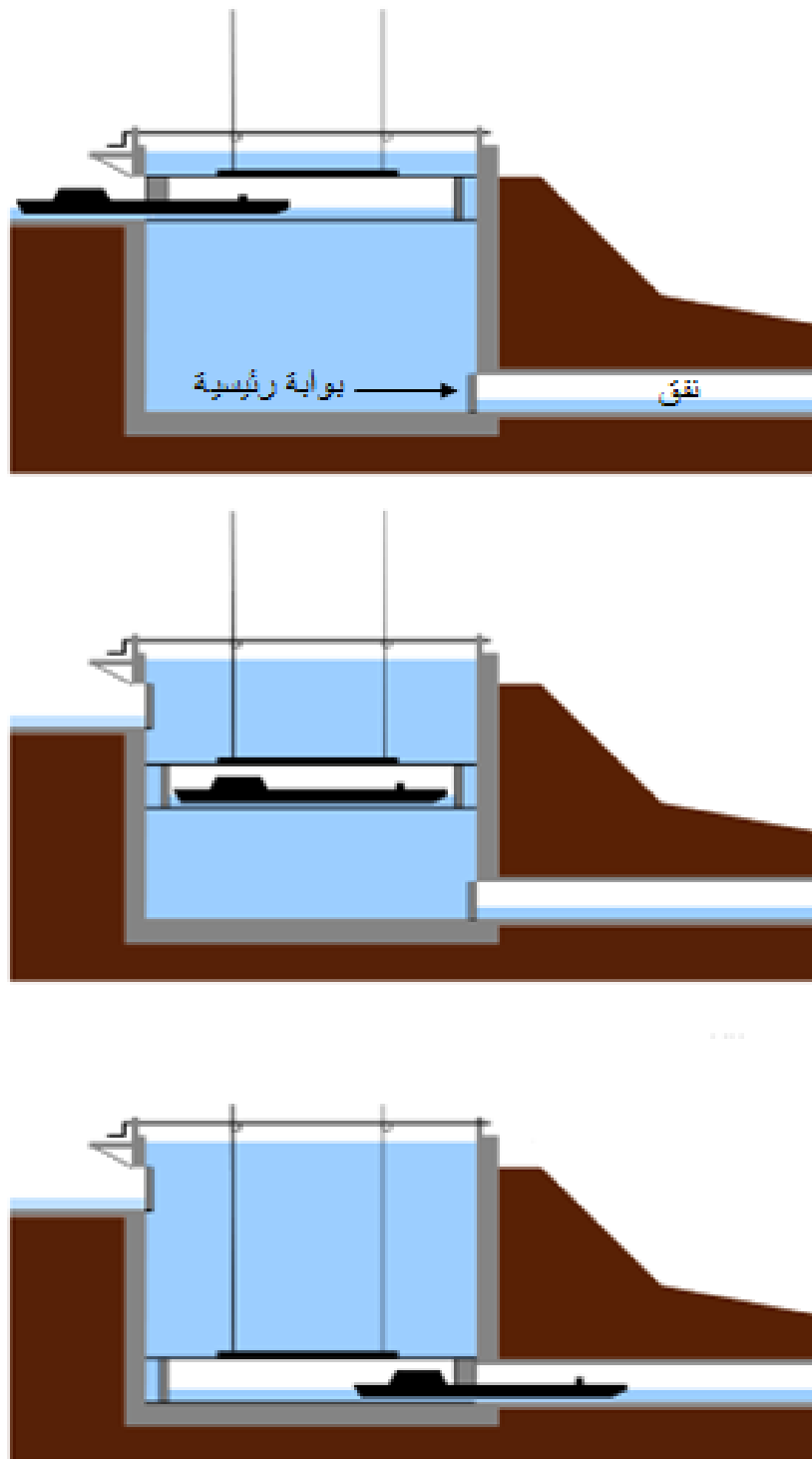
ومن الحلول الممكنة فى حالة الرفع الكبير ذلك الحل الذى توجد منه بعض الأمثلة فى أوروبا (شكل 5-16) ويطلق عليه أحياناً اسم "الهويس البئر" ويتلخص الحل فى عمل مصطبة واحدة مرتفعة وتكون البوابة الخلفية على شكل نفق يغلق ويفتح ببوابة رأسية لا يصلح هذا النمط إلا للوحدات البخارية لأن البوابة تصبح غير اقتصادية فى حالة السفن الشراعية.



شكل (5-14): الفكرة العامة للهويس المصطبى



شكل (5-15): هويس قناة بنما

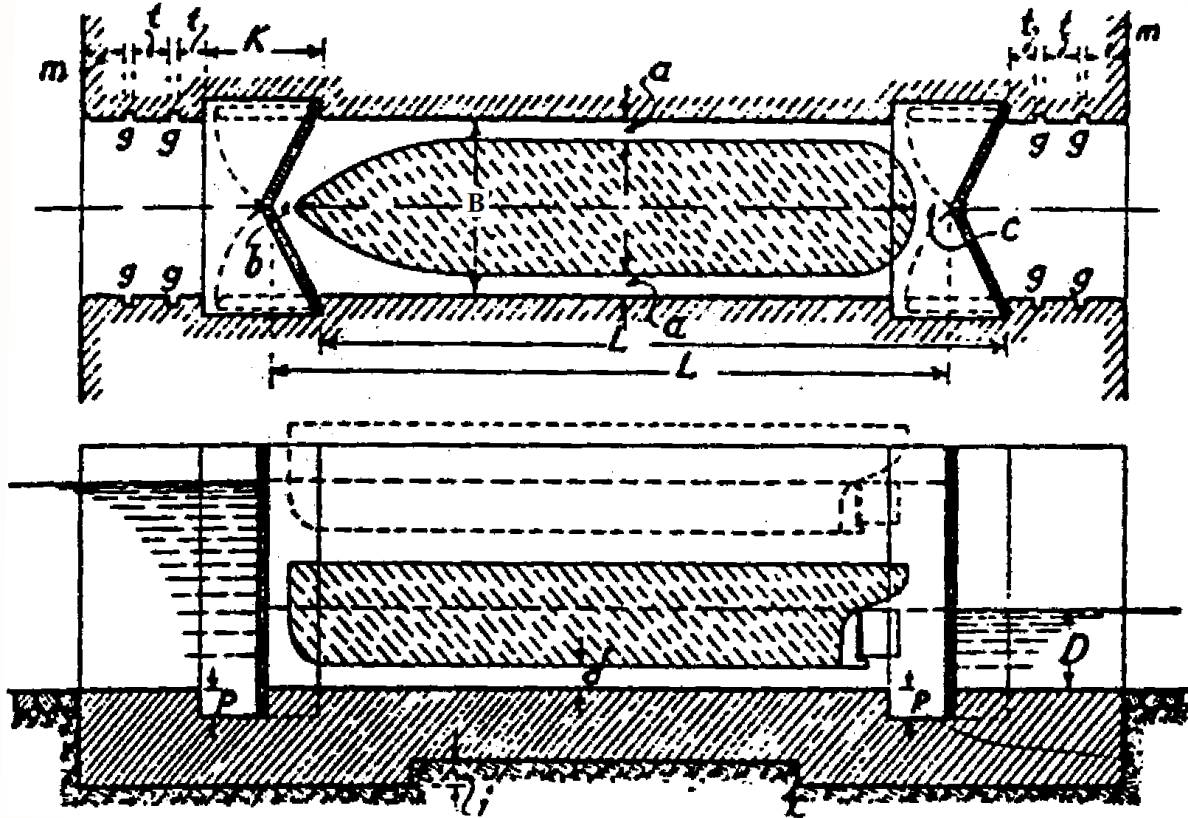


شكل (5-16): الفكرة العامة للهويس البئر

8-5 تصميم الهويس Design of The lock

1-8-5 بعض الأبعاد العملية بمنشأ الهويس Practical Dimensions of The lock Chamber

بالإشارة الى الشكل 17-5 ، سنعطى فيما يلى بعض الأرقام ذات الفائدة فى تحديد الأبعاد العامة التى تهتم مصمم منشأ الهويس.



شكل (17-5): أبعاد عامة بمنشأ " الهويس

" a " ، " b " ، " c " ، " d "

"a" هى أقل مسافة جانبية بين جسم السفينة وحائط الهويس تكفل سهولة الحركة والأمان، أما المسافتان "b"، "c" فمطلوبتان بين جسم السفينة والبوابات وذلك على امتداد المحور الطولى للهويس والمسافة "d" تعبر عن أقل مسافة رأسية بين قاع حوض التعويم وجسم السفينة وهى بكامل حمولتها.

وطبقا لما هو متبع عادة فى التصميمات، تسرى القواعد العامة التالية:

"a" للفتحات من 0.40 الى 0.90 مترا وللأنهار 0.70 الى 1.50 متراً.

(c + b) : يؤخذ مجموع البعدين b ، c ، من 1.00 الى 1.50 متراً للفتحات والأنهار على حد سواء.

"d" للفتحات من 0.50 إلى 1.00 متر ، وللأنهار من 0.50 الى 1.50 متراً.

الأبعاد " L " ، " B " ، " D "

" L " ، " B " هما طول وعرض حوض التعويم Chamber على التوالى ، بينما " D " هو أقل عمق للمياه داخل الهويس مقاسا من أقل منسوب للمياه بالخلف.

ويراعى عند إختيار طول الهويس أن يسمح هذا الطول بمرور أكبر الوحدات طولاً وكذلك الجرار الذى يستخدم فى سحب الوحدات (الصنادل). وفى المجارى المائية الكبيرة مثل نهر النيل يؤخذ الطول ليسمح بمرور وحدتين سياحيتين. وتستخدم المعادلة التالية فى تحديد طول الهويس :

$$L = [L_g + n.L_s + \Delta L(n+1)] \times 1.15 \quad (5-4)$$

حيث

L = الطول الكلى لحوض الهويس

L_g = طول الجرار

n = عدد الصنادل المسحوبة

L_s = طول الصندل

ΔL = المسافة بين الصنادل وبعضها وتؤخذ عادة 2 متر

ويمكن إستخدام المعادلة التالية لتحديد عرض الهويس

$$B = r.B_s + \Delta B.(r+1) \quad (5-5)$$

حيث

B = العرض الكلى للهويس

r = عدد الصفوف

$$B_s = \text{عرض الوحدة أو الصندوق}$$

$$\Delta B = \text{خلوص أمان بين حائطى الهويس والوحدات العابرة ويؤخذ عادة من 0.50 إلى 1.00 متر}$$

والجدول 5 - 2 يبين القيم المعتادة لهذه الأبعاد بالأهوسة المصرية حالياً. ويلزم للتصميم أيضاً معرفة غاطس السفن التى ينتظر أن تستخدم الهويس والجدول 5 - 3 يبين غاطس السفن والقوارب التى تبحر فوق مياة النيل.

جدول (5 - 2): طول وعرض الهويس وأقل عمق للمياه بداخله بالأهوسة المصرية بالمتري

درجة المجرى المائى	L	B	D
درجة أولى	125	16	3 الى 4
النيل الرئيسى	80	16	4.25
درجة ثانية (فروع النيل)	80 الى 65	12	3
درجة ثالثة (القنوات الرئيسية)	65 الى 55	10 الى 9	2 الى 1.75
قنوات فرعية	40 الى 25	8 الى 6	1.75 الى 1.50

جدول (5 - 3): أبعاد السفن والقوارب التى تستخدم النيل والقنوات الرئيسية

الطراز	الطول	أقصى عرض	الغطاس
	متر	متر	متر
بواخر	60 - 40	10 - 7	2,75 - 2
صنادل	40 - 30	8 - 6	2
قاطرات	25 - 20	4.50	1,75
مراكب شراعية	25 - 20	6	2

الأبعاد " g " ، " t " ، " m " ، " K " ، " P " :

المجرى " g " يؤخذ 0.40×0.40 للأهوسة بعرض 8 أمتار، ويؤخذ 0.30×0.30 للأهوسة بعرض 6 أمتار، هذه المجريات توضع بها أخشاب غما فى حالة الكشف على البوابات الرئيسية أو إصلاحها.

ويؤخذ البعد " t " حوالى 2 متر للأهوسة بعرض 8 أمتار وحوالى 1.50 متر للأهوسة بعرض 6 أمتار.

والبعد " m " لا يقل عن 2.50 متر بالأمام ، أما فى الخلف فيجب التحقق منه ضمن حسابات الحائط لمجابهة الاجهادات الناتجة عن الضغوط الواقعة على البوابة وهى مغلقة (أنظر فيما بعد طريقة التحقق من استقرار حوائط الضغط Thrust Walls) ويؤخذ البعد "K" وهو عرض التجويف الرأسي الخاص بالبوابة، ويؤخذ بما يتفق مع أبعاد البوابات المستخدمة. وتؤخذ المسافة " P " وهى المسافة بين منسوب قاع التجويف ومنسوب أرضية حوض التعويم بحيث لا تقل عن 0.50 متر.

2-8-5 بعض أنماط بوابات الأهوسة Types of Gates

1-2-8-5 البوابات المتساندة Double-Leaf Mitring Swing Gates

من الناحية الإنشائية تعمل هذه البوابات وهى مغلقة تحت ضغوط المياه وكأنها عقد ثلاثى المفاصل (شكل 5-18) (أنظر فيما بعد طريقة نقل ضغوط المياه فيما بين البوابة المتساندة وحائط الضغط)، وهذا النوع من أكثر بوابات الأهوسة شيوعاً.

ولسهولة تشغيل بوابة الهويس فإن الخلوص بين أجزاء البوابة الحديدية والمبانى بجوارها يكون حسب الشكل (5-19) حيث :

$$n = \text{لا تقل عن 25 سم}$$

$$m = \text{من 2 إلى 5 سم}$$

$$p = \text{من 12 إلى 20 سم}$$

$$s = \text{تؤخذ عادة 3 سم}$$

$$t = 12/1 \text{ عرض البوابة أو } 20/1 \text{ عرض الهويس}$$

$$z = \text{من 10 إلى 15 سم}$$

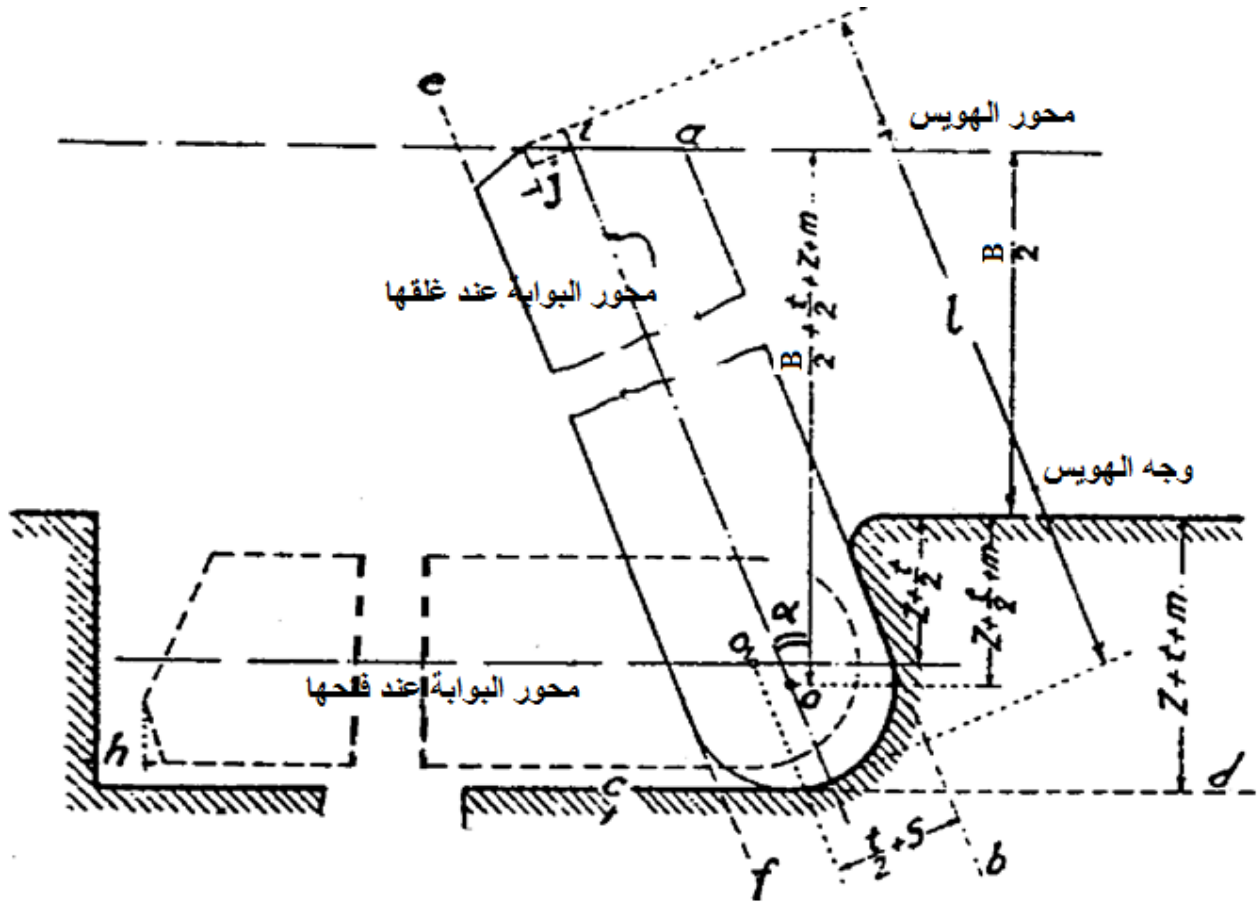
ويمكن حساب طول البوابة كما هو موضح بالشكل (5-20) وباستخدام المعادلة التالية :

$$L = \frac{\left(\frac{B}{2}\right) + z + m + \frac{t}{2}}{\cos \alpha} + \frac{t}{2} + S \tan \alpha \quad (5-6)$$

حيث

$$B = \text{عرض الهويس}$$

وباقى العوامل موضحة بالشكل (5-20).



شكل (5-20): حساب طول بوابة الهويس

ويبين الشكل 5- 21 العناصر الأساسية لمكونات البوابة الحديدية الشائع إستعمالها فى الأهوسة ذات المقاسات النمطية، وبيانها التالى :

1- صاج التجليد الحديدى P1 ويفضل تثبيته بالجهة الأمامية للبوابة. والسمك القياسى للصاج المستخدم فى البوابات النمطية حوالى 0.8 سم على أن يراعى ألا يقل هذا السمك عن 1.0 سم فى الجزء السفلى من البوابة التى يزيد إرتفاعها عن 5 متر.

2- الكمرات الرئيسية (Main Girders) A1, A2, A3, A4 & A5 لإرتكاز صاج التجليد الحديدي. ويلاحظ أن الكمرة السفلية A5 ترتكز على العتب عندما تكون البوابة مغلقة. وتزود هذه الكمرة بمخدة خشبية D1 لتقليل الجزء المائى بين العتب والبوابة وكذلك لإمتصاص تأثير الدفع على العتب أثناء الإرتكاز. وتحمل الكمرة العليا A1 الممشى C وأوناش فتح وقفل الفتحات التى قد توجد فى البوابة. ويتم تحديد أماكن الكمرات الأفقية بحيث تتساوى الضغوط على كل منها على ألا تزيد المسافة بين كل كمرة وأخرى عن 1.2 متر. وبعد تحديد أماكن الكمرات الأفقية يتم حساب الضغوط الواقع على كل كمرة من دياگرام الضغط الهيدروستاتيكي ومنه تحسب إجهادات الضغط القصوى على الوحدة الطولية ثم تصمم بالطرق المعروفة فى ميكانيكا

الإنشاءات، ويتراوح عمق الكمرات ما بين 12/1 إلى 14/1 من طولها. ويوصى عند التصميم بإهمال ضغط المياه على البوابة من الخلف مع الأخذ في الاعتبار أقصى ضغط للمياه بالأمام وذلك لمزيد من الأمان في التصميم.

3- عمود البوابة القريب من مركز الدوران (Heel Post) B1 ، وعمود البوابة عند إلتقائها بالأخرى B2 (Mitre Post) . ويحمل عمود الإلتقاء لكل بوابة مخدة خشبية رأسية D2 على أن تتلامس المخدتان الخشبيتان الرأسيتان تماماً عندما تغلق البوابتان وذلك لإمتصاص تأثير دفع الإلتقاء عند الإغلاق وتوزيع الضغوط من بوابة على الأخرى بالتساوى ولمنع تسرب المياه بين البوابتين عند سطح التلامس (شكل 5-22). ويجب أن تقوى البوابة بشدادات (Counterbraces) F1, F2 . ويوضح الشكل (A23-5) التفاصيل الإنشائية لعمود الدوران (Heel Post) وكل من المحورين العلوى والسفلى (Pins) والذى يصل قطر كل منهما إلى حوالى 10 سم بينما القطر نصف الكروى (Hemispherical) السفلى الذى يتحرك داخله المحور يصل إلى حوالى 13 سم.

4- محورا دوران البوابة العلوى والسفلى E1, E2 وأجزاء الدوران الدائرية والتى تكون مع بعضها إرتكازا لمحورى الدوران (الشكلين B23-5، C23-5).

وتبين الأشكال من 5-24 إلى 5-26 بعض الأمثلة الطبيعية للبوابات المتساندة.

2-2-8-5 البوابات المنزلقة Rolling Gates

الشكل 5-27 يبين الفكرة العامة للبوابة المنزلقة، ولعل من أمثلة البوابات المنزلقة التى يجدر ذكرها بوابات الهويس المصطبى لسد أسوان بمصر (شكل 5-28) حيث البوابات تتعلق – فى وضعها المغلق – بواسطة بكرات من كوبرى إلى أعلا حتى يمكن للسفن أن تمر (فى الشكل 5 – 29 نلاحظ أن الكوبرى فى وضعه المغلق). الشكل 5-30 يبين منظرًا للهويس من داخل حوض التعويم.

3-2-8-5 بوابات الرفع الرأسى Vertical Gates

انظر الأشكال 5 – 31 إلى 5 – 34.

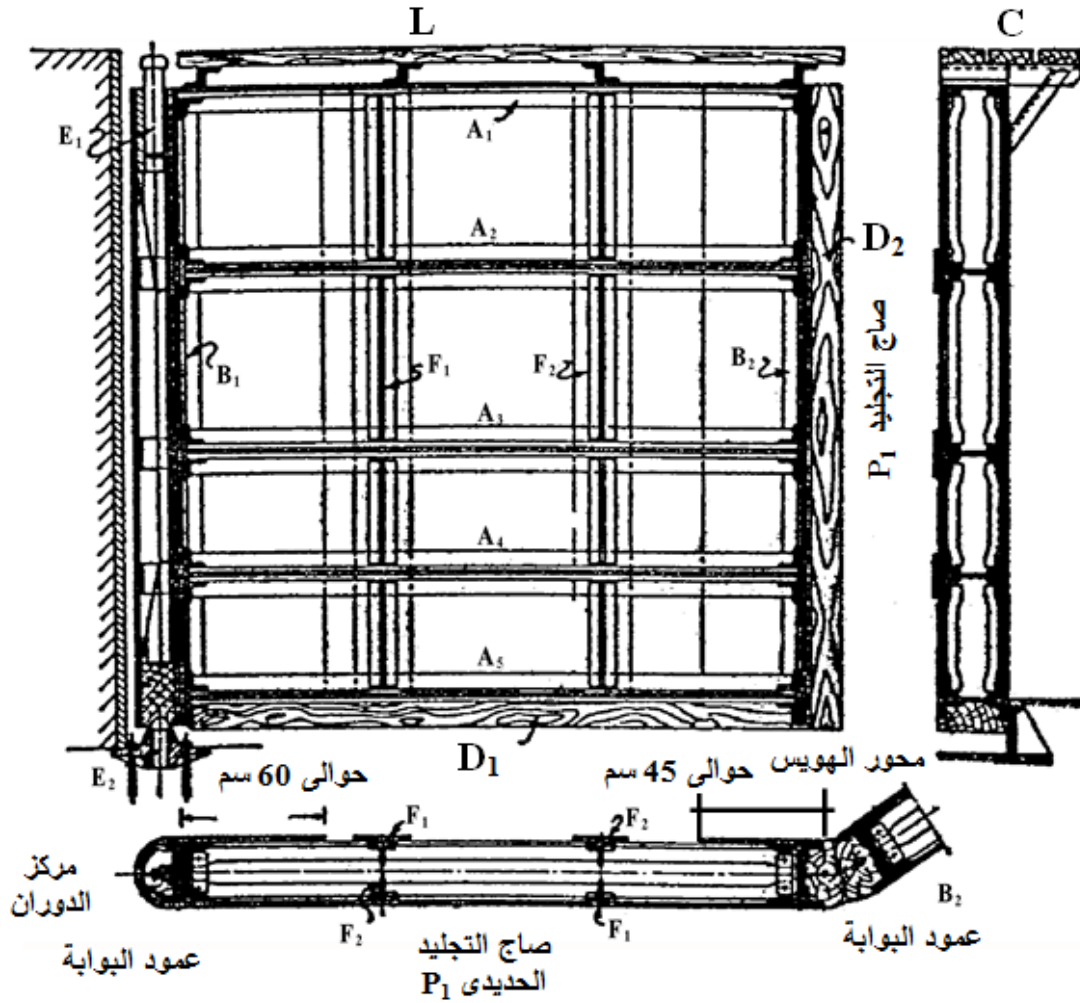
4-2-8-5 البوابات الهابطة Falling Gates

انظر شكل 5-35

5-2-8-5 البوابات القطرية Radial Gates

ويتميز هذا النمط بسهولة الحركة ضد ضغوط المياه، لذا يلجأ للبوابة القطرية حينما يكون حجم البوابة ضخماً لتلافى المقاومة الشديدة لحركة البوابة، (انظر الشكلين 5 – 36 و 5-37).

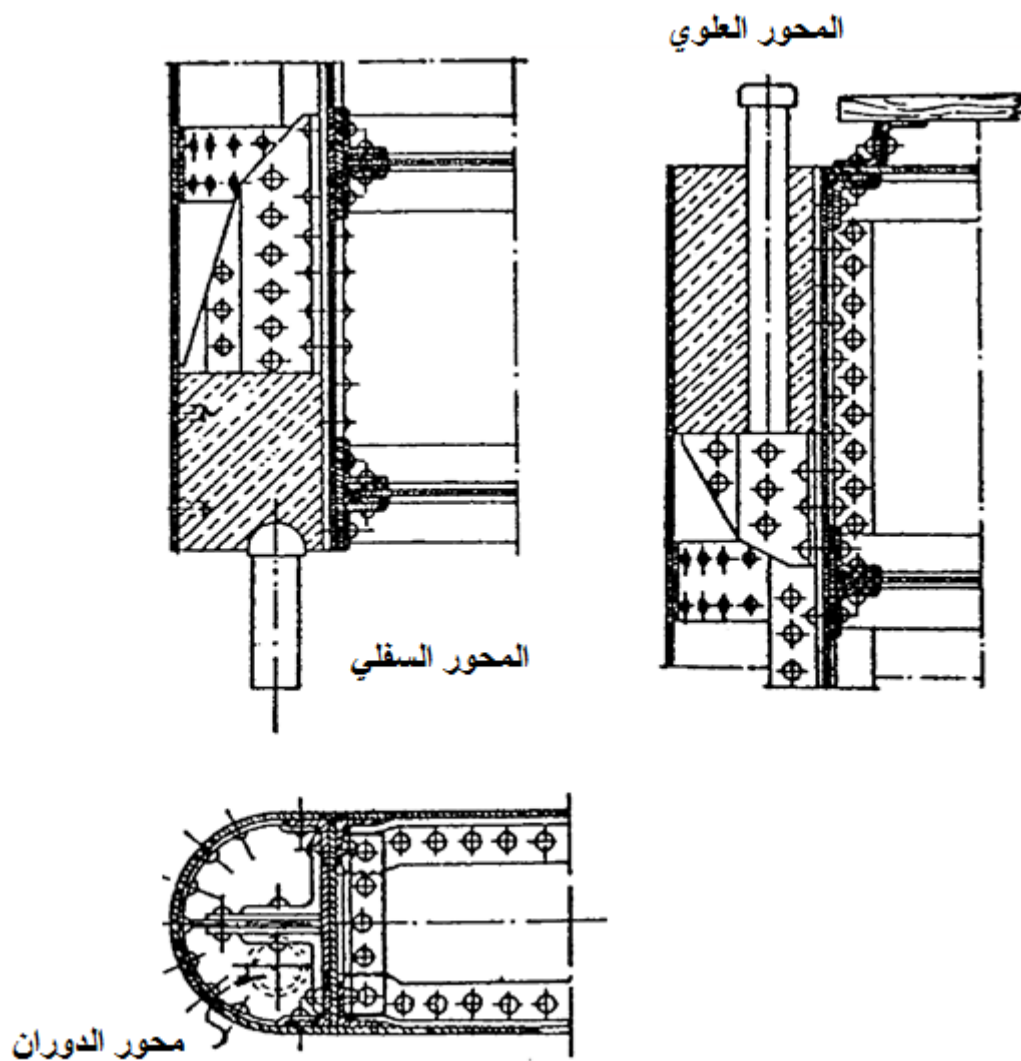
وجدير بالذكر أن المقصود بالبوابة القطرية هنا أن البوابة قطرية الحركة، حيث أن البوابة قد يكون مقطعها مثلثي على وجه التقريب، ولا يمنع ذلك من وجود تصميمات تكون فيها البوابة قطرية الحركة وأيضا سطحها إسطوانى.



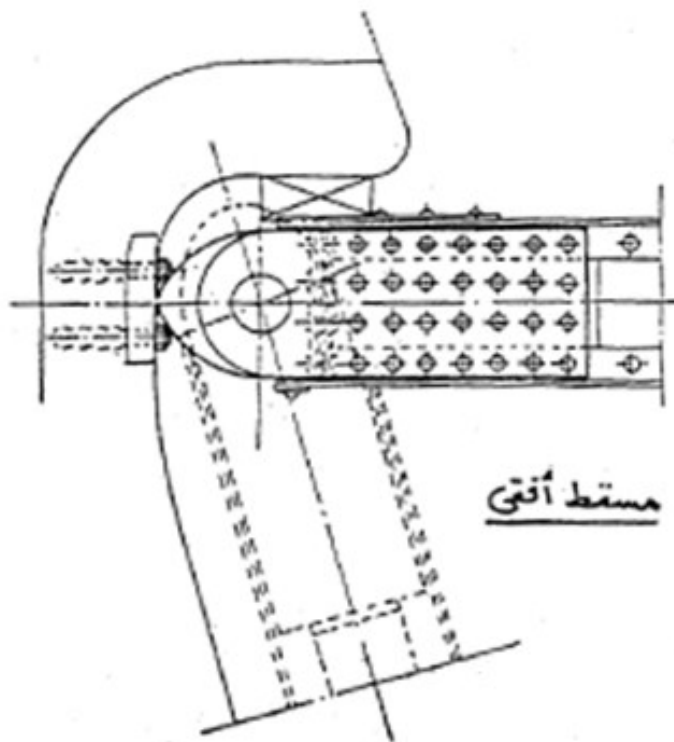
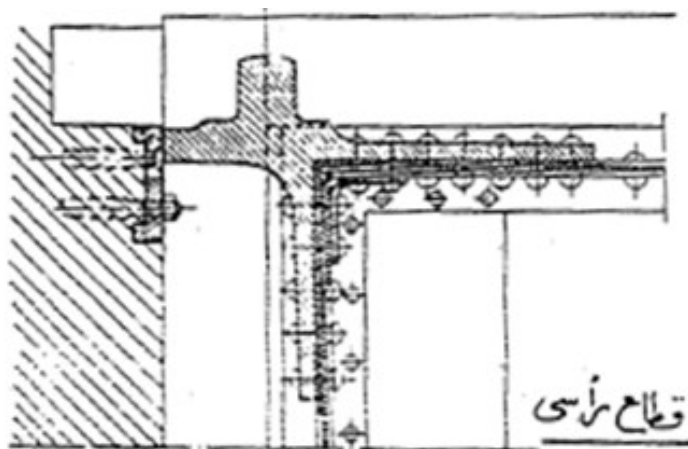
شكل (5-21): مكونات البوابات المتساندة



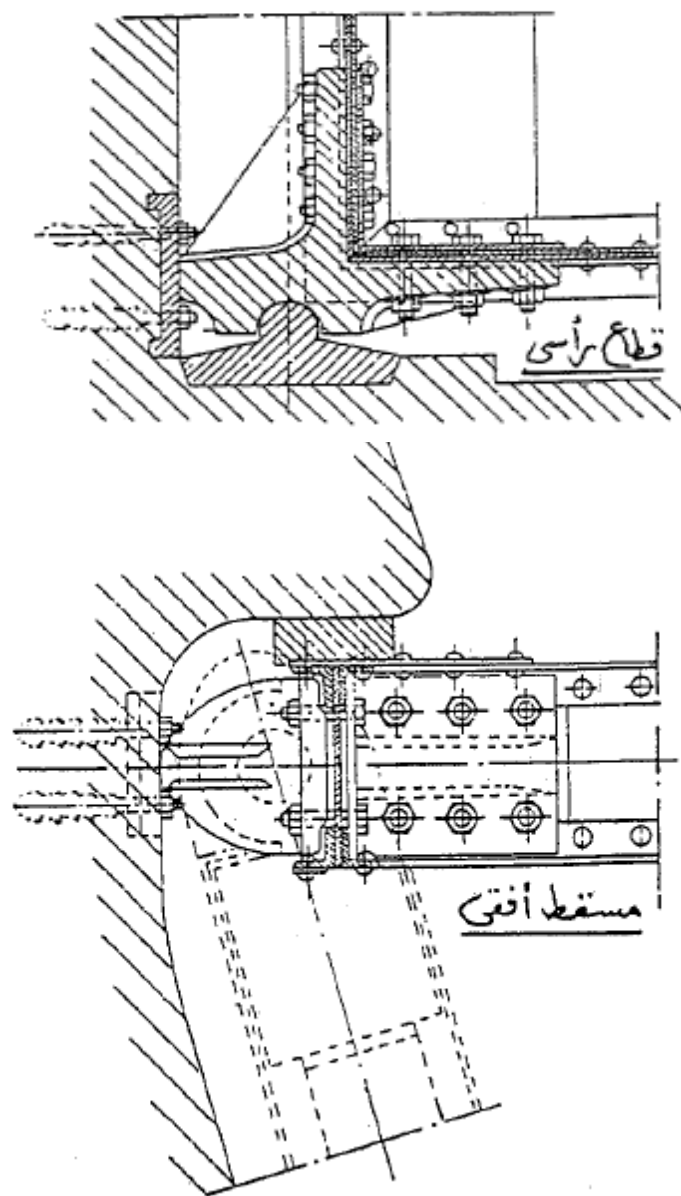
شكل (5-22): المخذتان الخشبيتان الرأسيتان عند نهاية كلا البوابتين



شكل (A23-5): تصميم المحورين العلوي والسفلي لعمودى الدوران والإلتقاء



شكل (B23-5): أحد تصميمات المفصل العلوى لمصراع البوابة المتساندة



شكل (C23-5): أحد التصميمات الشائعة للمركز السفلي للبوابة المتساندة



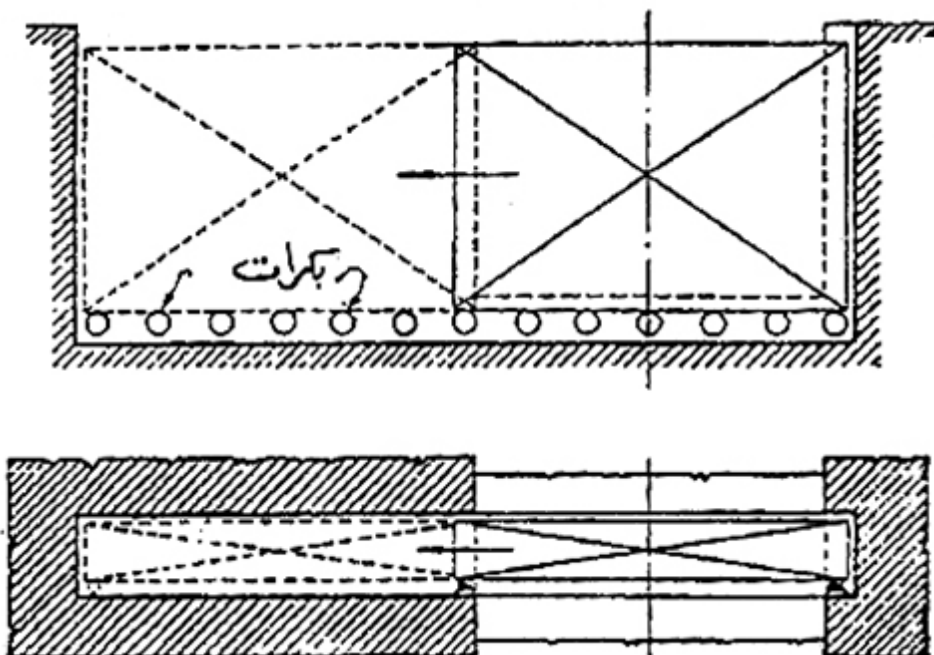
شكل (5-24): البوابات المتساندة على هويس قناة بنما



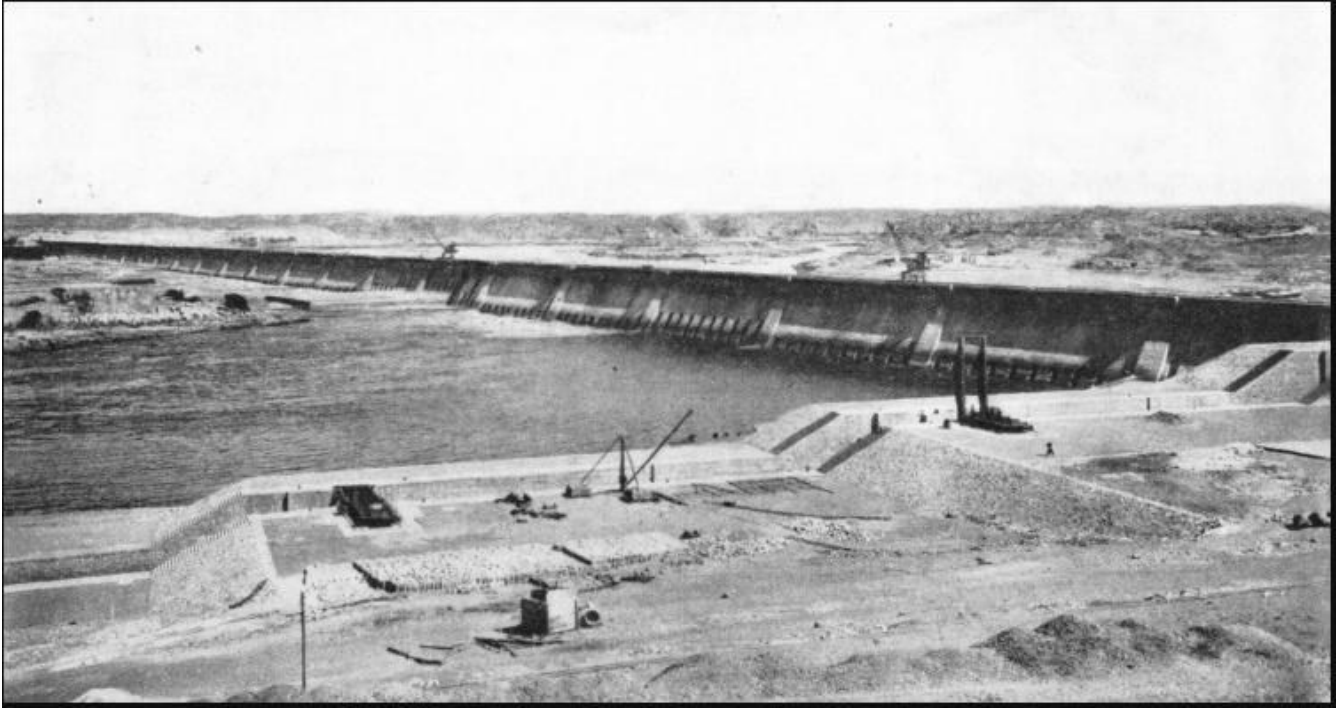
شكل (5-25): البوابات المتساندة بهويس لإسنا، مصر



شكل (5-26): صورة تبين مدى ارتفاع البوابات المتساندة



شكل (5-27): الفكرة العامة لبوابة المنزلقة



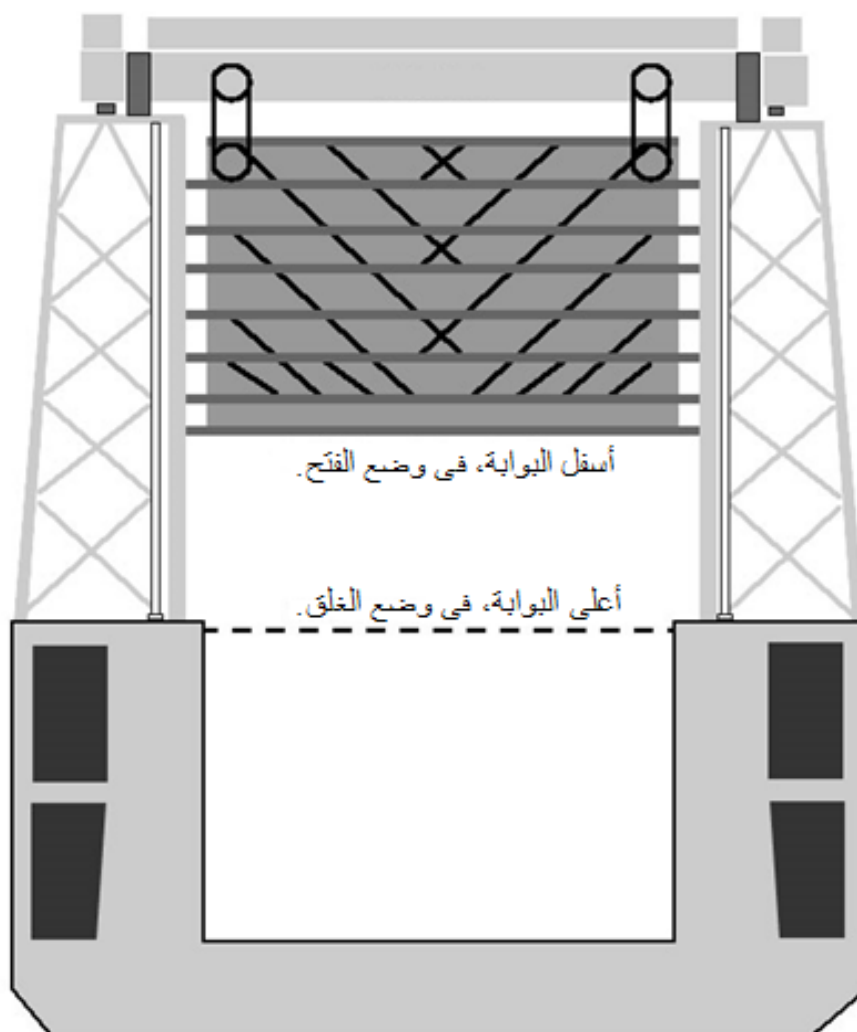
شكل (5-28): الهويس المصطبى لسد أسوان الذى يقع شمال السد العالى بمصر، الكوبرى المتحرك مرفوع حتى تمر السفن وذلك بعد انزلاق البوابة إلى تجويفها



شكل (5-29): هويس سد أسوان فى حالة إغلاق الكوبرى



شكل (5-30): صورة لهويس سد أسوان من داخل حوض التعويم



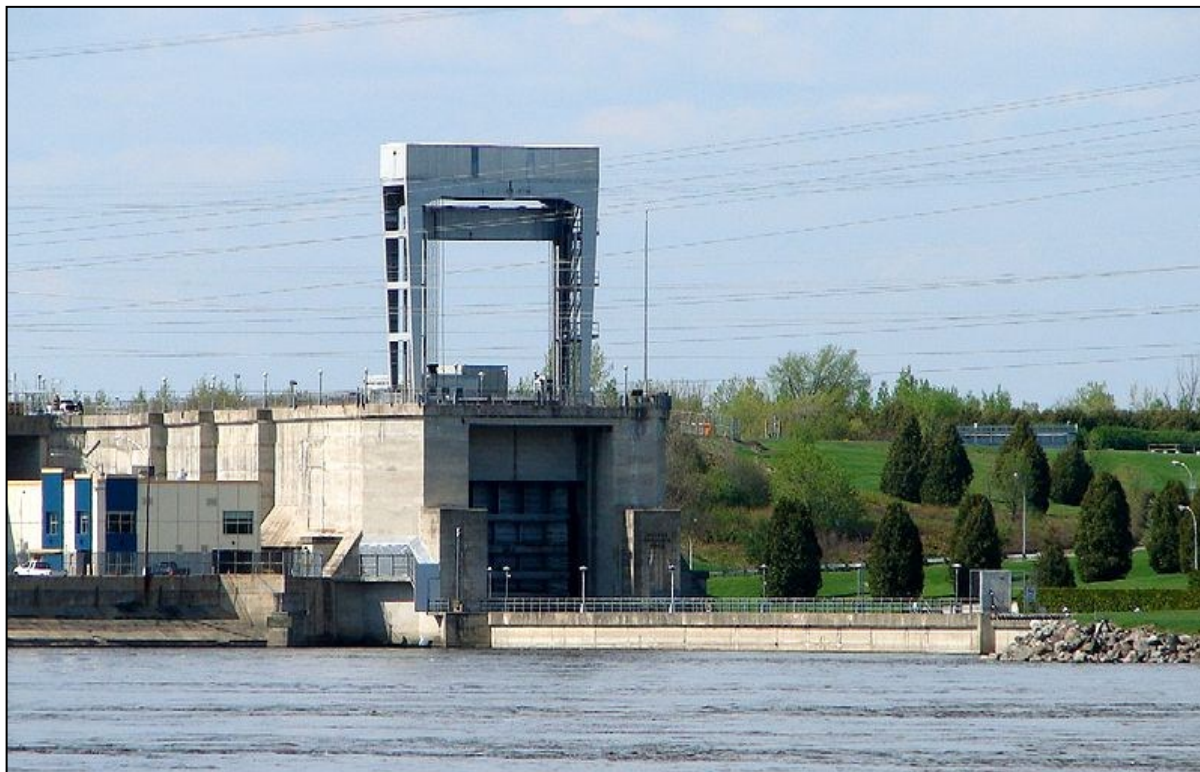
شكل (5-31): الفكرة العامة لبوابات الرفع الراسي



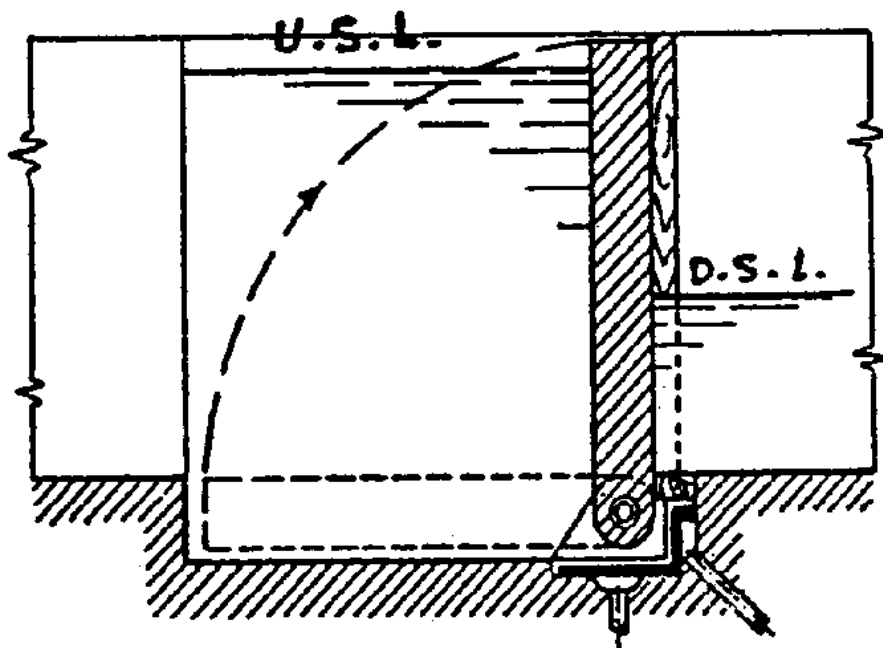
شكل (5-32): بوابة رفع رأسى بأحد الأهوسة المقامة على نهر كولومبيا بأمريكا الشمالية



شكل (5-33): صورة من داخل حوض التعويم للهويس المبين بشكل (5-32)



شكل (5-34): بوابة رفع رأسى بهويس مقام على قناة كاريلون بكندا (1964)



شكل (5-35): الفكرة العامة للبوابات الهابطة



شكل (5-36): البوابات القطرية بهويس براونزويك، بريطانيا



شكل (5-37): البوابات القطرية المقامة على قناة هارفى بأمريكا

3-8-5 حوائط الهويس The lock Walls

بالرجوع إلى الشكل 5-1 يتبين أن الأهوسة الملاحية تتضمن ثلاثة أنواع رئيسية من الحوائط وهى :

1 – حوائط المرفأ Landing Walls

وهى الحوائط الملاصقة للجسور الترابية (شكل 5-38).

2 – حوائط الضغط Thrust Walls

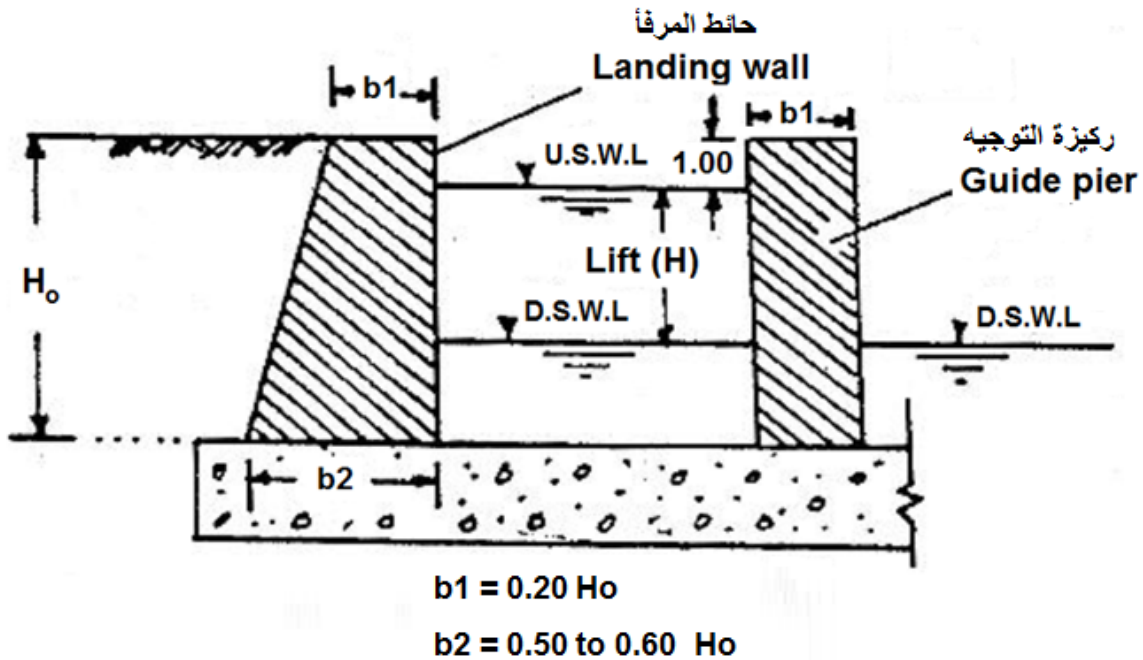
وهى الأجزاء من الحوائط المثبت بها البوابات (شكل 5-39)

3 – حوائط التوجيه Guide Walls

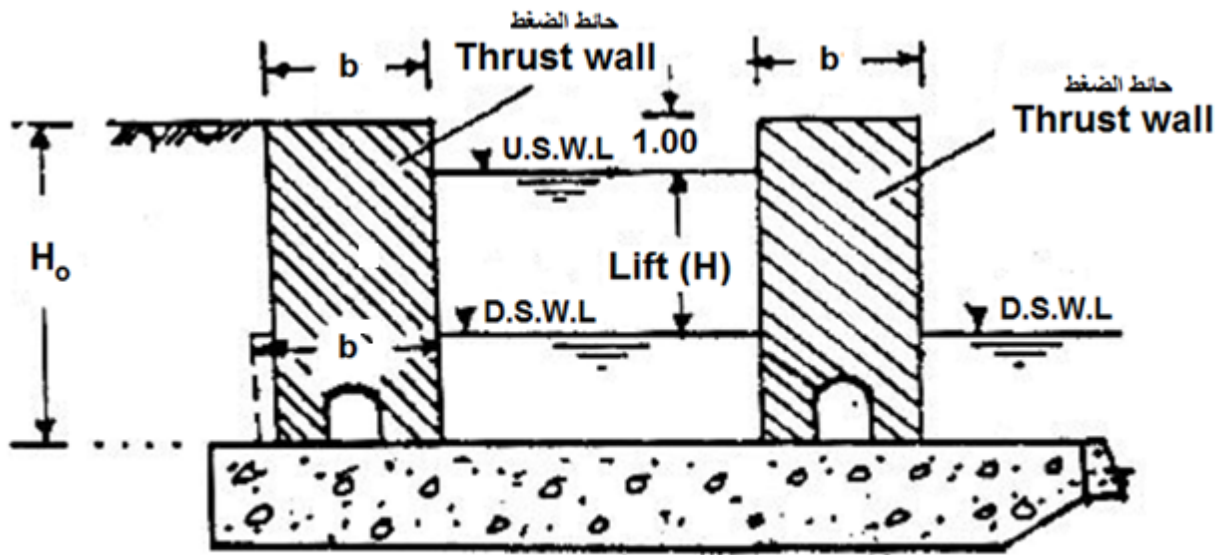
وتعرف أحيانا بركائز التوجيه Guide Pier، وهى الحوائط الملاصقة للمياه بالمجرى، (شكل 5-38)، ويرى القارئ ركيزة التوجيه بالجزء الخلفى من هويس "ديتشن" المقام على "نهر إلبه" بجمهورية التشيك (شكل 5-40).

1-3-8-5 ارتفاع حوائط الهويس Height of The lock Walls

يجب أن يكون منسوب أعلى حوائط الهويس أكبر من أقصى منسوب للمياه بالأمام بما لا يقل عن 1.0 متر (شكل 5-38) مع ملاحظة أنه يجب إحترام منسوب الطريق فوق القناطر عند تحديد إرتفاع حوائط الهويس لضمان المرور فوق كوبرى الهويس الذى غالبا ما يكون مرتكزا على الحوائط (شكلى 5-41، 5-42).



شكل (5-38): حائط المرفأ وحائط التوجيه



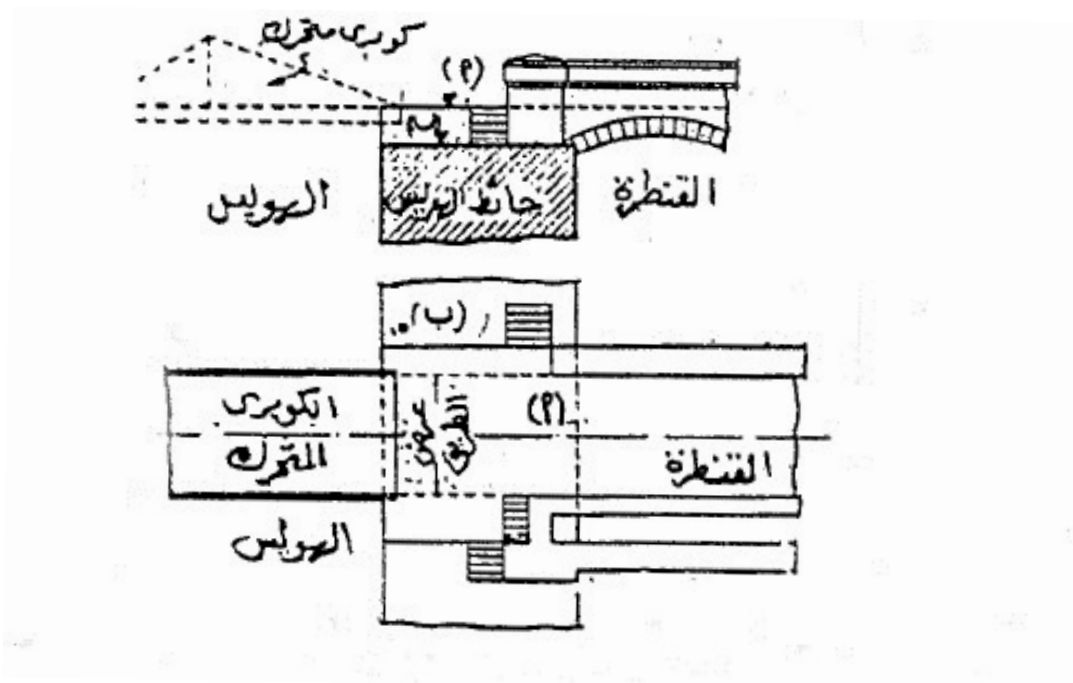
$$b = 0.50 \text{ to } 0.60 H_o$$

قد يتطلب الأمر زيادة عرض الحائط عند القاعدة كما هو مبين بالشكل

شكل (5-39): حوائط الضغط



شكل (5-40): صورة تظهر ركيزة التوجيه لهويس ديتشن على نهر إلبه، جمهورية التشيك



شكل (5-41): المواعمة بين منسوبي الطريق والكوبري المتحرك



شكل (5-42): رفع منسوب حوائط الهويس عند موقع الكوبري

4-8-5 دراسة استقرار حوائط الهويس Stability of The lock Walls**أولاً : حوائط المرفأ وركائز التوجيه****حالات التحميل Cases of Loading**

بالنسبة لحوائط المرفأ Landing walls توجد حالتان (الشكلان 5-43 ، 5-44).

وبالنسبة لركائز التوجيه Guide piers هناك حالتان أيضاً، (شكل 5-45).

التحقق من استقرار الحوائط عند مستويات منتخبة Check of Wall Stability at Selected Sections

فى نطاق أى من حالات التحميل الوارد بالاشكال 5 - 43 إلى 45 يمكن التحقق من استقرار الحائط عند مستويات أفقية منتخبة وذلك على النحو التالى :

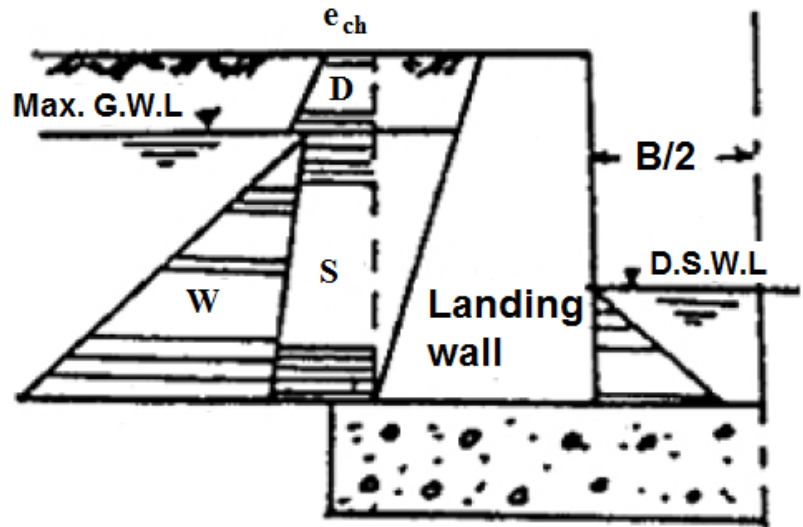
- يقسم قطاع الحائط بالمستويات 1-1 ، 2-2 ، 3-3..... الخ من القمة حتى القاعدة كما فى الشكل 5-46.
- محصلة القوى التى تؤثر عند أى من تلك المستويات يجب أن تقع فى نطاق الثلث الأوسط من المستوى، طالما أن الحائط من النوع الثقلى الذى لا يسمح فيها بإجهادات الشد، كما ينبغى التحقق من أن الإجهادات الحادثة على مساحة المستوى (أى العرض 1 - 1 × 1 متر إذا كان المستوى الجارى التحقق منه هو المستوى 1 - 1 مثلاً) لا تتجاوز الحدود المسموح بها .
- وتكون قيمة اللاتمرکز " e " عند أى من المستويات هى النسبة بين صافى عزوم القوى الرأسية والأفقية المؤثرة على المستوى ولنرمز له بالرمز " M " ، وبين مجموع القوى الرأسية ولنرمز له بالرمز " N " ، أى أن، : $e_2 = M_2/N_2$ ، $e_1 = M_1/N_1$ وهكذا للمستويات المتتالية.
- وبمقتضى الشكل 5-47 الذى يعبر تخطيطيا عن المستوى 1-1 بالشكل 5-46 نجد أن:

$$f_2^1 = -\frac{N_1}{d_1 * 1.00} \pm \frac{M_1 \cdot \left(\frac{d_1}{2}\right)}{1.00 * d_1^3 / 12}$$

حيث :

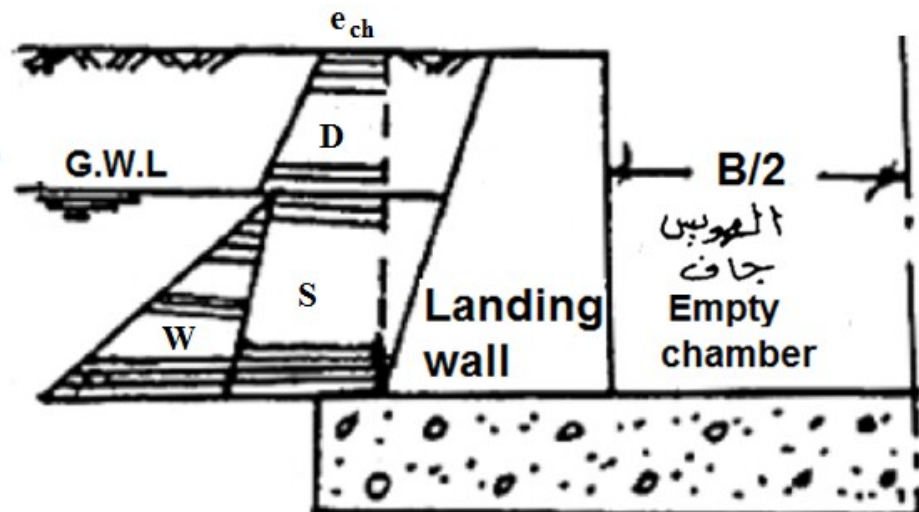
d_1 = عرض المستوى الجارى التحقق منه.

B : عرض حوض التعويم.
 e_{ch} : زيادة في قيمة ضغط التربة عند
 السطح تناظر حملا حيا اضافيا.
D : مؤشر ضغط التربة الجافة.
S : مؤشر ضغط التربة المغمورة.
W : مؤشر ضغط المياه
D.S.W.L : منسوب الخلف.
Max. G.W.L : أقصى منسوب للماء الأرضي.

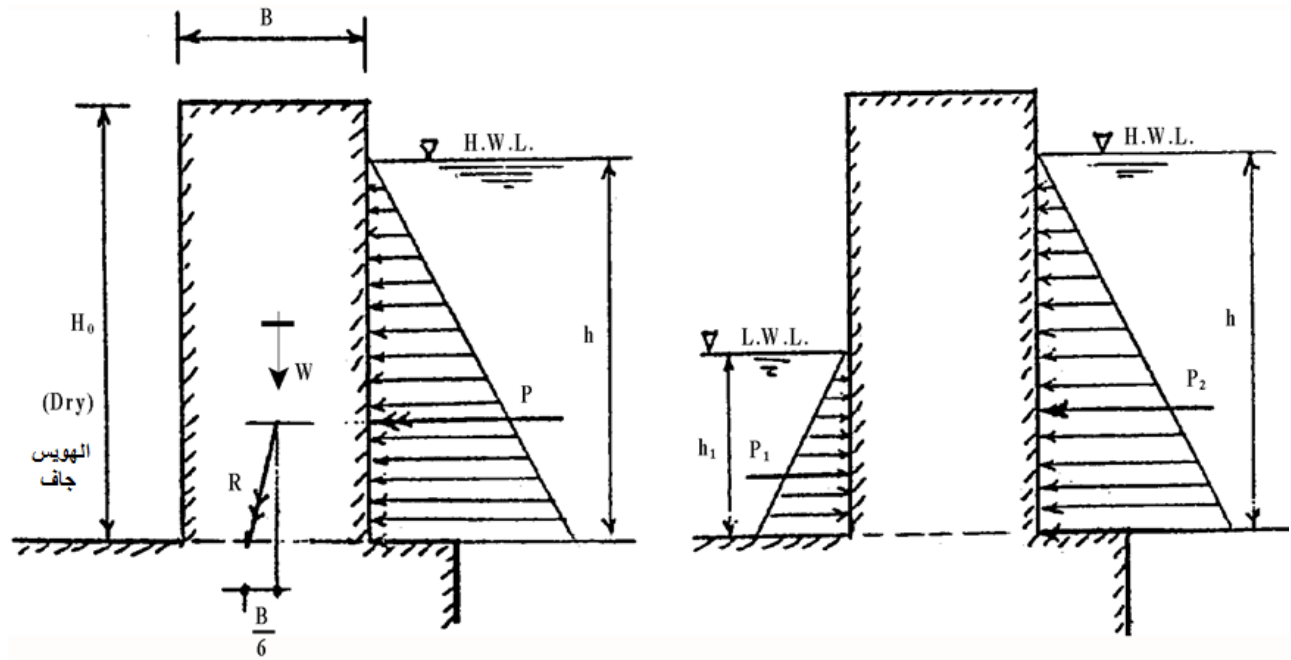


شكل (5-43): حائط المرفأ، حالة تشغيل الهويس

G.W.L : منسوب الماء الأرضي أثناء
 فترة الكشف أو الإصلاح.
 باقي الرموز كما بالشكل
 السابق.



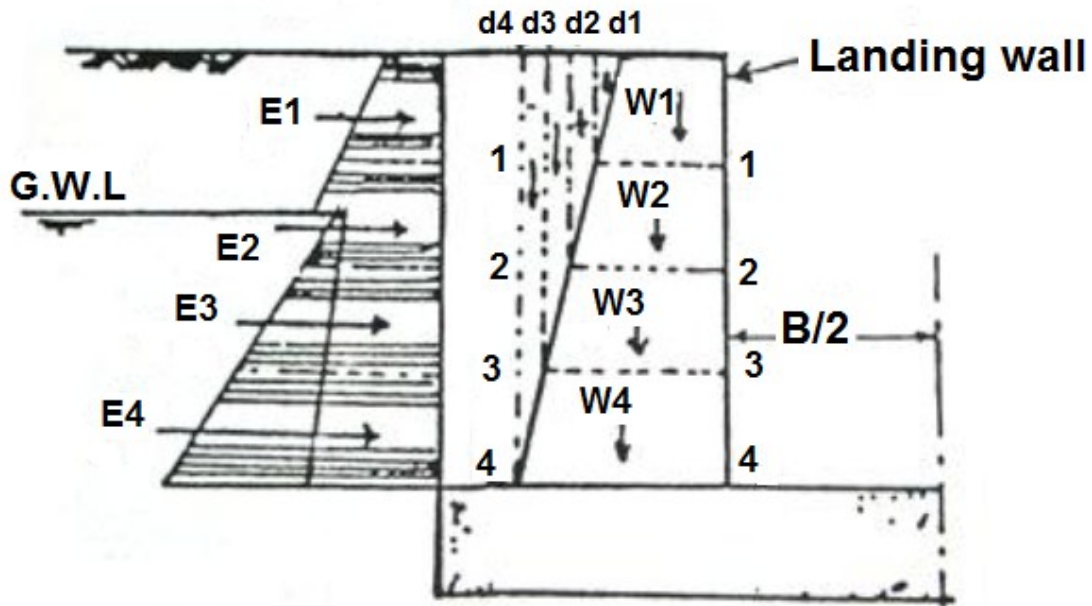
شكل (5-44): حائط المرفأ، حالة حوض التعويم الجاف



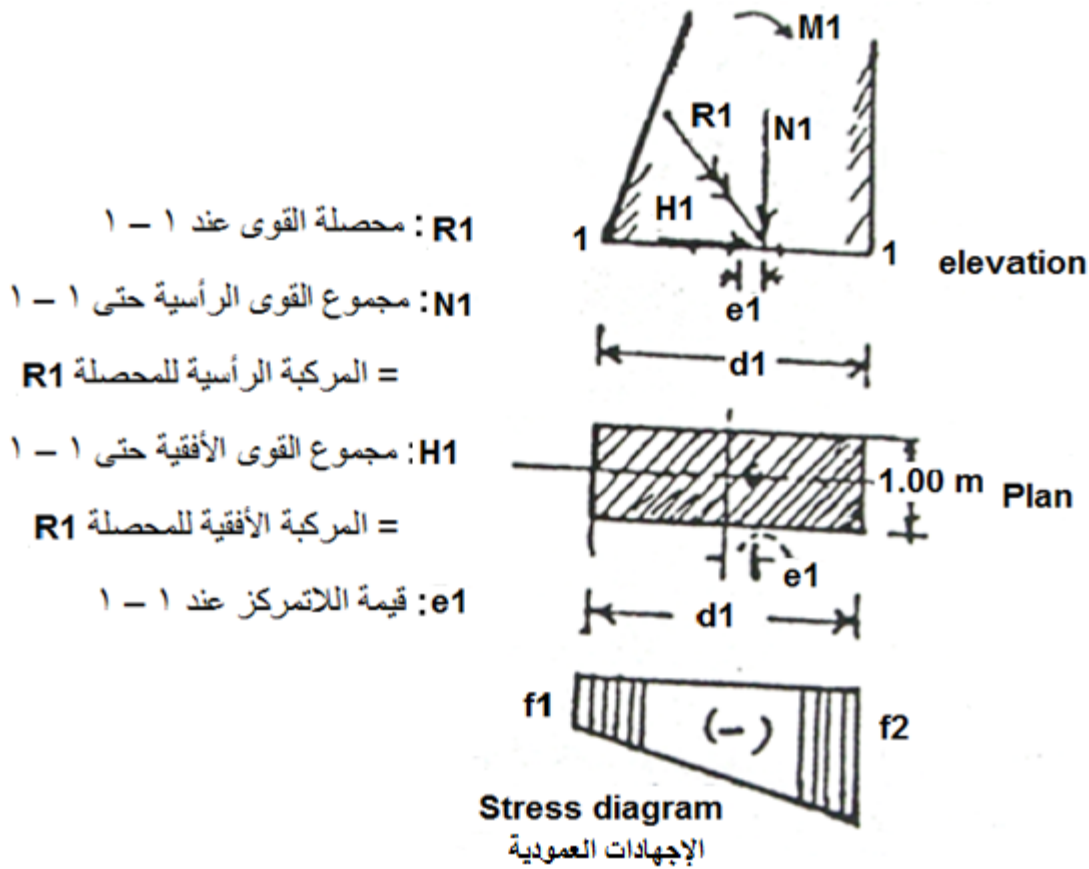
(ب) أثناء التشغيل

(أ) أثناء الإصلاح

شكل (5-45): حالات تحميل ركيزة التوجيه



شكل (5-46): التحقق من استقرار الحائط عند مستويات منتخبة



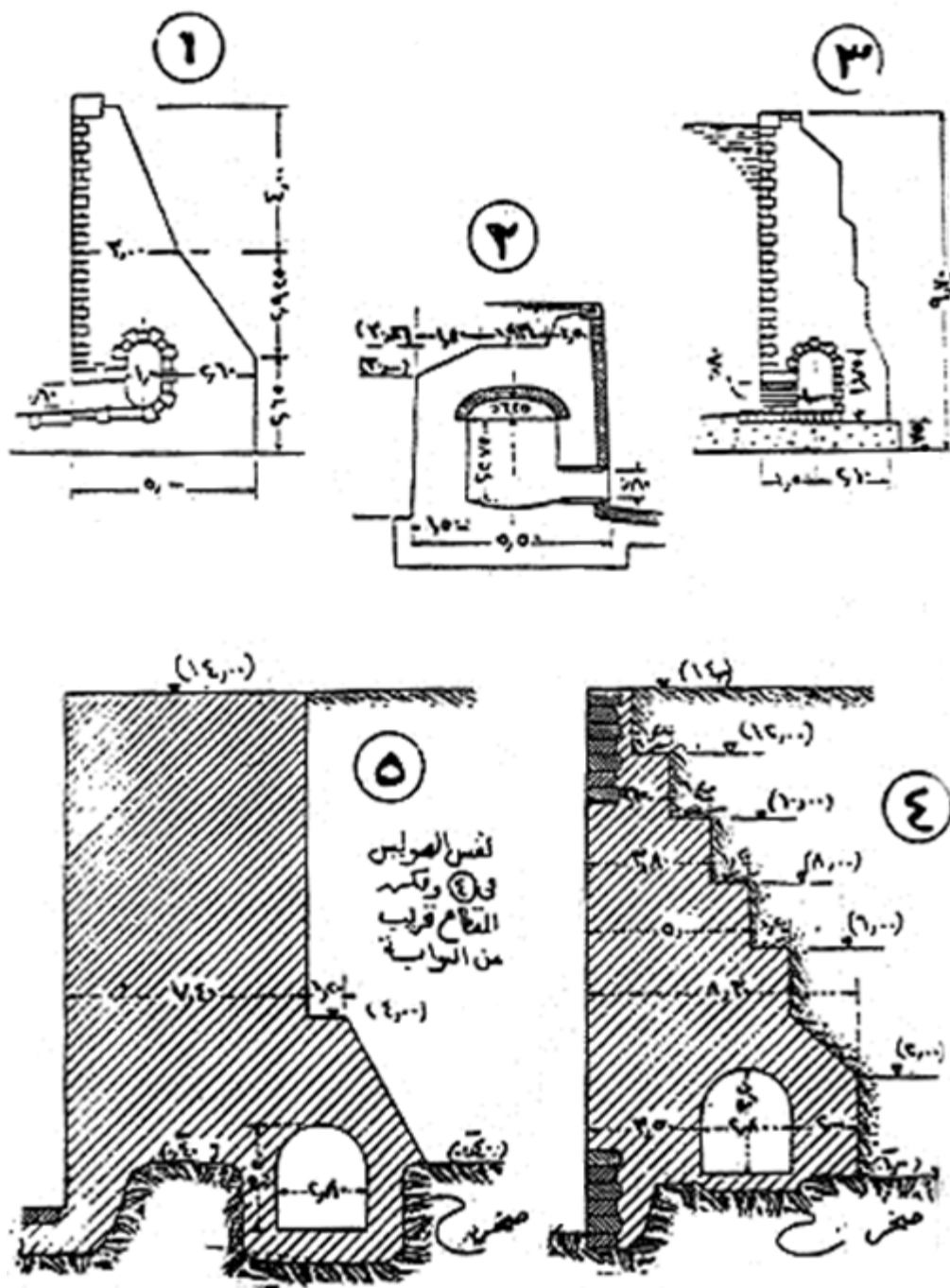
شكل (5-47): شكل تخطيطي للقوى والإجهادات العمودية عند 1 - 1 شكل 5-46

تأثير فتحة البربخ على توزيع الإجهادات بالحائط Distribution at The base of Wall

إذا كانت برابخ الملاء والتفريغ مستقلة عن حوائط المرفأ والتوجيه كما في الشكل 5-13، فإن توزيع الإجهادات يكون كما أسلفنا (شكل 5-47)، أما إذا كانت البرابخ من النمط الذي يمتد بطول الهويس (شكل 5-5) فإن توزيع الإجهادات على المستويات التي تمر بفتحة البربخ يكون حسابه بطبيعة الحال بطريقة تختلف عما سبق.

وليس هناك في الحقيقة طريقة محددة يمكن منها تصميم قطاعات الحوائط المارة بفتحة البربخ مباشرة، وذلك لتعقد التحليل الإنشائي المطلوب لعوامل منها على سبيل المثال تأثير الأركان على توزيع الإجهادات في مثل تلك القطاعات السميكة، هذا فضلاً عن تنوع أشكال قطاعات البرابخ (شكل 5-48) وكذلك مواقعها بالنسبة لقطاعات الحوائط من مشروع لآخر، وتبعاً للمواد المستخدمة في الإنشاء.

ومع ذلك فإن الطريقة التي نعرضها فيما يلي يمكن أن تستخدم في الحساب المبدئي لبعض الحالات المبسطة من قطاعات الحوائط.



شكل (5-48): قطاعات بوابخ بعض الأهوسة الموجودة بالطبيعة

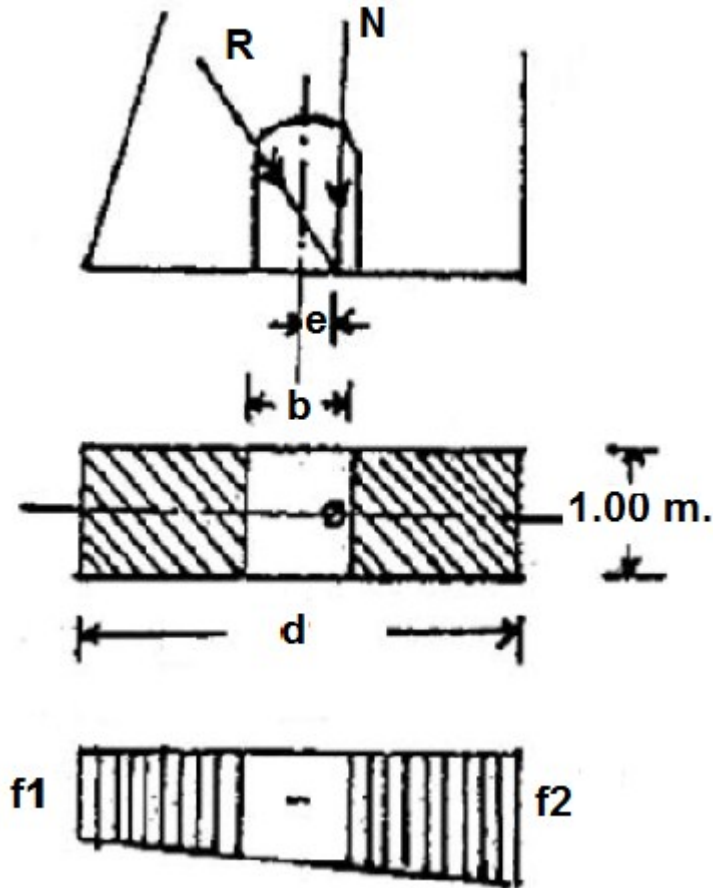
أ- البرايخ الضيقة نسبياً Breadth b of culvert is relatively Small

يمكن اعتبار البرايخ ضيقاً بالنسبة لقطاع الحائط إذا كانت ($b/d < 0.50$) (شكل 5-49)، وفي هذه الحالة تخفض المساحة بمقدار ($1.00 \times b$)، حيث b عرض البرايخ، ويمكن بالتالي تقريب الإجهادات العمودية عند قاعدة الحائط إلى:

$$f_2^1 = -\frac{N}{(d-b) * 1.00} \pm \frac{M \cdot \left(\frac{d}{2}\right)}{(d^3 - b^3/12) * 1.00}$$

حيث :

d = عرض المستوى الجارى التحقق منه.



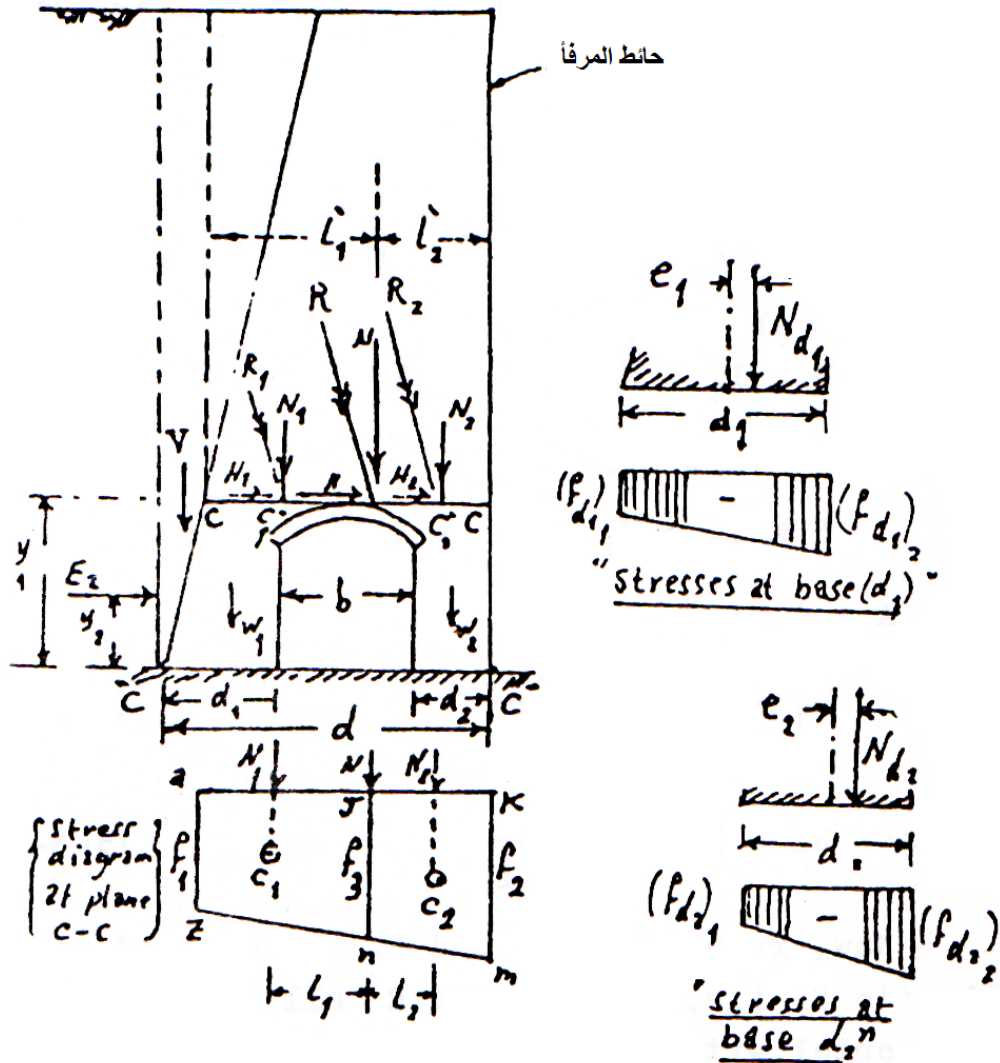
شكل (5-49): توزيع الإجهادات في حالة البرايخ الضيقة نسبياً

ب- البرايخ المتسعة نسبياً Breadth b of culvert is relatively Wide

يمكن اعتبار البرايخ متسعة بالنسبة لقطاع الحائط إذا كانت $(b/d \geq 0.50)$ (شكل 5-50)، وفي هذه الحالة نتبع ما يلي:

تستبدل المحصلة "R" بالقوتين "R₁" ، "R₂" المؤثرتين عند النقطتين C₁' ، C₂' اللتين تقعان كما في الشكل فوق C₁ ، C₂ على التوالي حيث C₁ ، C₂ هما مركز الثقل لكل من المساحتين J K m n ، a J n z اللتين يتكون منهما مؤشر الإجهادات العمودية عند المستوى C - C (شكل 5-50).

والآن إذا فرضنا أن H₁ ، N₁ هما المركبة الرأسية والأفقية على التوالي للقوة R₁ ، أن H₂ ، N₂ هما المركبة الرأسية والأفقية على التوالي للقوة R₂ كما هو مبين بالشكل 5-50، فإنه يمكن حساب القوتين الرأسيتين N₁ ، N₂ باتخاذ أحد طريقتين:



شكل (5-50): توزيع الإجهادات في حالة البرايخ المتسعة

الأول :

اعتبار أن كلا من القوتين N_1 ، N_2 مساوية لمساحة الجزء الذي يناظرها من مؤشر الإجهادات العمودية عند المستوى C-C ، على ذلك فإن :

$$N_1 = \frac{f_1 + f_3}{2} \times l'_1$$

$$N_2 = \frac{f_2 + f_3}{2} \times l'_2$$

الثاني :

حيث أن " N " هي محصلة كلا من " N_1 " ، " N_2 " ، فإنه يمكن إيجاد " N_1 " ، " N_2 " بأخذ عزوم القوى الثلاث مرة حول C'_1 ، ومرة حول C'_2 ، كما يلي :

العزوم حول C'_1 :

$$N \times l_1 = N_2 \times (l_1 + l_2) \quad (A)$$

العزوم حول C'_2 :

$$N \times l_2 = N_1 \times (l_1 + l_2) \quad (B)$$

من (A) ، (B) :

$$N_1 = N \times l_2 / (l_1 + l_2)$$

$$N_2 = N \times l_1 / (l_1 + l_2)$$

كما يمكن أيضا حساب المركبتين الأفقيتين H_1 ، H_2 كما يلي :

بفرض أن القوتين R_1 ، R_2 موازيتين لمحصلتها R ، فإن القوى الثلاث R ، R_1 ، R_2 تكون مائلة على الأفقى بنفس الزاوية، وذلك يعنى أن:

$$N/H = N_1/H_1 = N_2/H_2$$

ومنها :

$$H_1 = H \cdot N_1 / N$$

$$H_2 = H \cdot N_2 / N$$

والآن فإن كل القوى الواقعة على الكتف الأيسر للبربخ يمكن بيانها على النحو التالي:

أحمال رأسية Vertical Loads

$$N_1$$

W_1 : وزن الكتف Weight of abutment.

V_1 : وزن الأتربة الواقعة رأسياً فوق المستوى المائل Vertical weight of earth prism.

أحمال أفقية Horizontal Loads

$$H_1$$

E_2 ، حيث $E_2 = \text{ضغط الأتربة والماء الأرضي Side pressure}$ فيما بين المستويين C-C ،
C' - C' ، أى لمسافة ارتفاع قيمته y_1 (شكل 5-50). ولقد افترضنا هنا أن الكتف الأيسر يتحمل ثلثي قوة الأفقية E_2

بالمثل تكون القوى الواقعة على الكتف الأيمن بالبربخ هي :

أحمال رأسية :

$$N_2$$

W_2 : وزن الكتف.

أحمال أفقية :

$$H_2$$

$$1/3 E_2$$

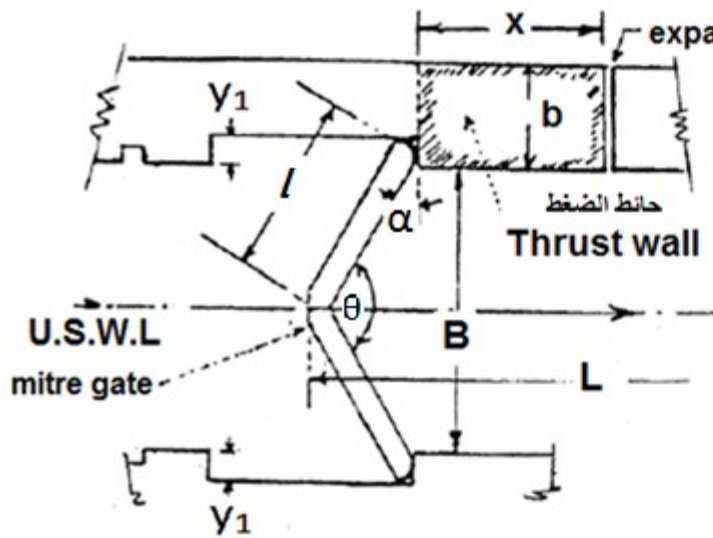
الإجهادات العمودية عند قاعدة كل من كتفى البربخ

من حسيطة القوى المستنتجة على كل من الكتفين كما سبق، يمكن التعامل مع كل كتف على حدة وحساب محصلة القوى على القاعدة وكذلك قيمة اللاتمرکز " e " ، وبالتالي يمكن حساب الإجهادات العمودية على كل من d_1 ، d_1 (شكل 5-50) بالطريقة المعتادة.

ثانيا : دراسة استقرار حوائط الضغط Stability of The thrust Walls

بالإشارة الى الشكل 5-17 وكذلك الى الشكل 5-51، فلنعلم أن الجزء من الحائط بطول " x " ، وهو ما بين البوابات ونهاية الحائط كما فى شكل 5-17، أو الجزء بطول " x " أيضا ما بين البوابات الأمامية وفاصل التمدد Expansion joint كما فى شكل 5-51 ، هذا الجزء يسمى عادة حائط الضغط Thrust wall ، ويتم التحقق من استقراره بالتعامل معه ككتلة واحدة مقطوعها (b . x) (شكل 5-51)

وعند الشروع فى حسابات استقرار حائط الضغط عادة ما تفترض قيمة مبدئية للبعد " x " تساوى من 100/1 الى 200/1 من حاصل الضرب (L × B) الذي يمثل مساحة سطح المياه داخل حوض التعويم.



l = width of one leaf of gates
 $\theta = 135^\circ \text{ to } 140^\circ$
 $\alpha = 20^\circ \text{ to } 22.5^\circ$
 $Y_1 = 0.50 \text{ to } 0.60 \text{ m.}$

$$x = \frac{A_{\text{chamber}}}{(100 \sim 200)}$$

شكل (5-51): حائط الضغط ما بين البوابات و فاصل التمدد

حالات التحميل Cases of Loading**1- البوابات مغلقة أمام أقصى رفع للهويس Closed Gates, with Max. Water Level within The chamber**

فى هذه الحالة سنهمل تأثير ضغط الأتربة والماء الأرضى خلف الحائط حتى يكون التحقق من استقراره فى أسوء الظروف Worst conditions.

من الشكل 5-52 نجد أن المحصلة النهائية لضغط المياه " P " على المصراع المغلق يمكن كتابتها كما يلى :

$$P = \left(\frac{1}{2} * \gamma_w * H^2 + \gamma_w * H * Z_2 \right) * l$$

وبالتبسيط نجد أن:

$$P = \left[\frac{H + 2 Z_2}{2} \right] * \gamma_w * H * l$$

حيث

γ_w = الوزن النوعي للمياه.

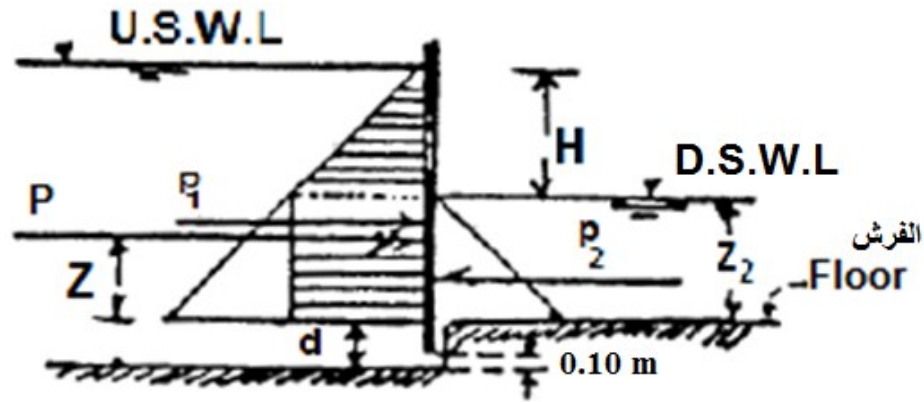
والأن من الشكل 5-53 نجد أن المصراع الواحد للبوابة متزن وهو فى وضع الإغلاق تحت تأثير ثلاث قوى هى :

P : محصلة ضغط المياه كما سبق.

T : الضغط من المصراع الآخر ويؤثر فى اتجاه عمودى على سطح التماس بين المصراعين.

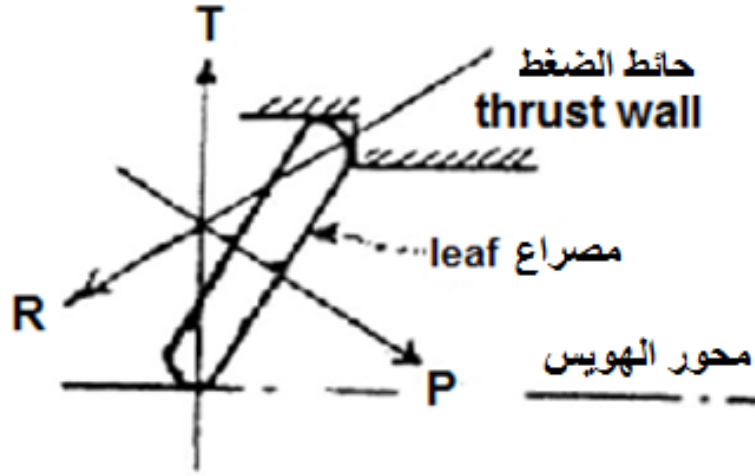
R : رد الفعل من حائط الضغط على مصراع البوابة.

وحيث ان القوى الثلاث متزنة فإنها تتلاقى فى نقطة .كما يمكن تحليل رد الفعل " R " إلى مركبتين R_x ، R_y ، الأولى موازية للمحور الطولى للهويس والأخرى متعامدة معه كما فى الشكل 5-54.



- P_1 : ضغط المياه على البوابة من الأمام.
- P_2 : ضغط المياه على البوابة من الخلف.
- P : محصلة ضغط المياه
- d : ٤٠ الى ٥٠ سم

شكل (5-52): محصلة ضغوط المياه على البوابة المغلقة



شكل (53-5): مصرع البوابة المغلقة متزنًا تحت تأثير ثلاث قوى

قوة ضغط المياه على شفه التجويف الرأسي للبوابة (p_3) (شكل 54-5) :

$$p_3 = \left(\frac{1}{2} * \gamma_w * H^2 + \gamma_w * H * Z_2 \right) y_1$$

وتؤثر على ارتفاع Z (شكل 52-5)

أى أن :

$$p_3 = \left[\frac{H + 2 Z_2}{2} \right] * \gamma_w * H * y_1$$

$$p_3 = P * y_1 / l$$

القوة (p_4) (شكل 54-5) :

القوة p_4 هي قوة ضغط المياه داخل حوض التعويم على الوجه الداخلى لحائط الضغط (شكل 54-5)

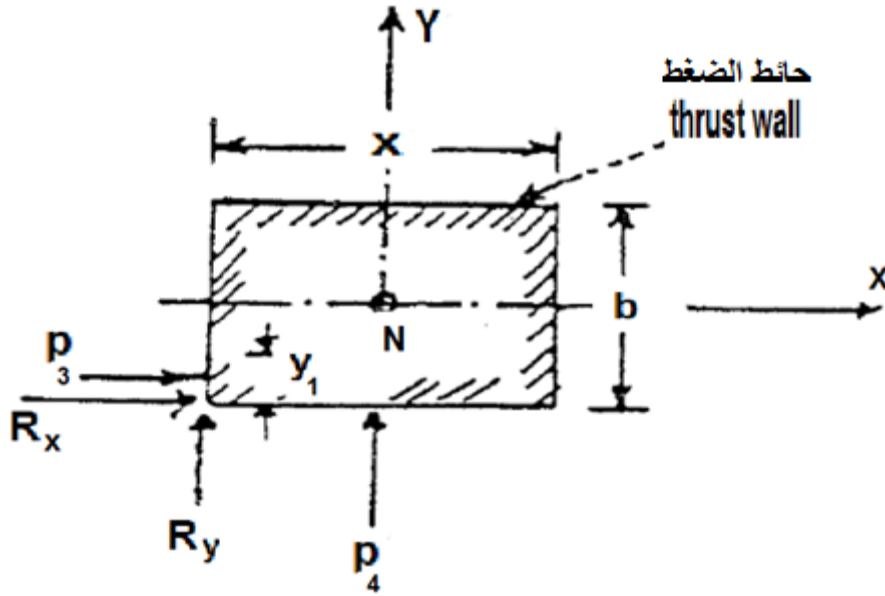
$$p_4 = \frac{1}{2} * \gamma_w * Z_2^2 * x$$

وتؤثر على ارتفاع $Z_2/3$ (شكل 52-5)

وزن حائط الضغط (N)

$$N = \gamma_c * H_0 * b * x$$

حيث : γ_c = الوزن النوعي لمباني الحائط ، H_0 = ارتفاع الحائط.



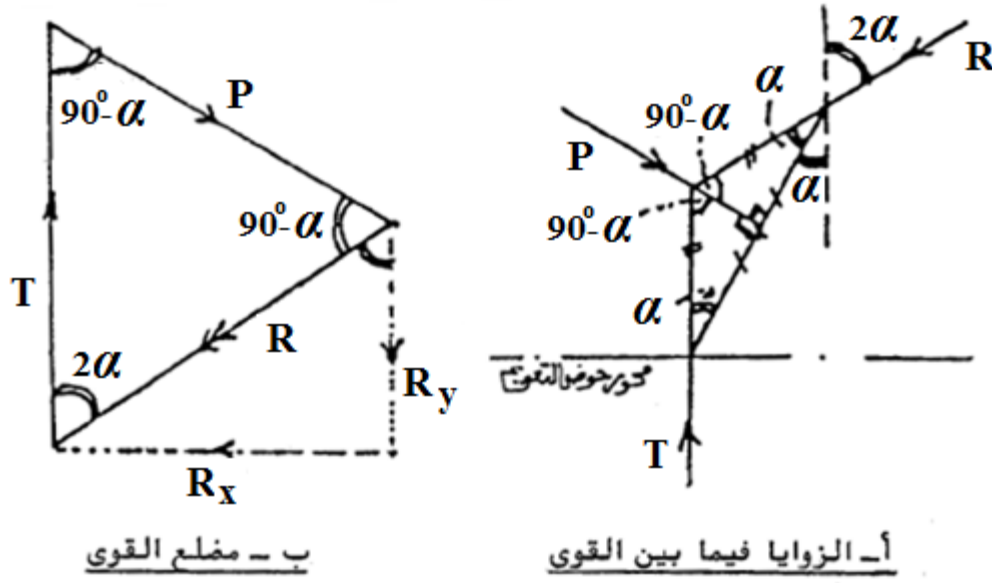
شكل (54-5): مجموعة القوى المؤثرة على حائط الضغط

حساب R_y ، R_x :

يلخص الشكل 55-5 العلاقة بين R ، P ، T ، R_x ، R_y حيث:

$$R_x = P * \sin(90^\circ - \alpha) = P \cos \alpha$$

$$R_y = R_x * \cot 2\alpha$$



شكل (5-55): العلاقة بين القوى الواقعة على البوابة المغلقة

الإجهادات العمودية عند قاعدة حائط الضغط :

بالإشارة للشكل 5-54 نجد أن العزوم حول المحورين السيني والصادي كما يلي

$$M_x = p_4 * \frac{Z_2}{3} + R_y * Z$$

$$M_y = (p_3 + R_x) * Z$$

وتكون الإجهادات العمودية على القاعدة على النحو التالي :

$$f_2^1 = -\frac{N}{b \cdot x} \pm \frac{M_x \cdot \left(\frac{b}{2}\right)}{x \cdot b^3/12} \pm \frac{M_y \cdot \left(\frac{x}{2}\right)}{b \cdot x^3/12}$$

2- البوابة مفتوحة أثناء فترة التفتيش والإصلاحات During Repair

في هذه الحالة البوابات مفتوحة وحوض التعويم مفرغ، ولكي يكون التحقق من استقرار الحائط في أسوأ الظروف ، نأخذ في الاعتبار ضغط الأتربة والماء الأرضي في أقصى منسوب له خلف الحائط (شكل 5-56).

ومن الشكل 5-56 نجد أن مصراع البوابة المفتوح يكون في حالة اتزان تحت تأثير ثلاث قوى :

" T_1 " : رد فعل حائط الضغط نحو المفصل العلوى وهو في اتجاه أفقى.

" G " : وزن المصراع ويمر رأسياً بمركز الثقل.

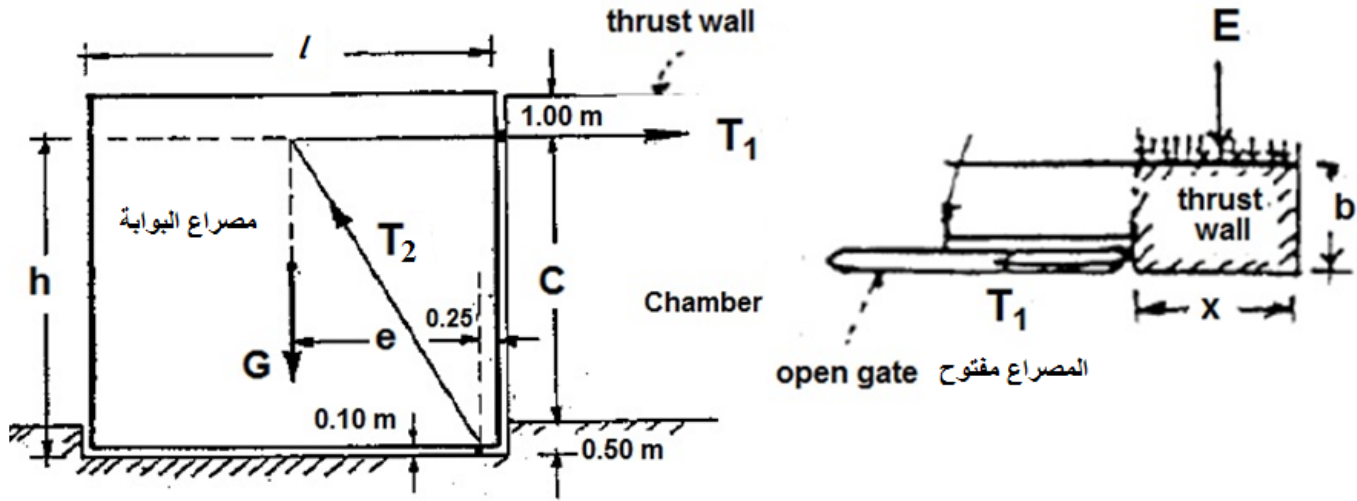
" T_2 " : رد الفعل من المرتكز السفلي .

وحتى تتزن القوى الثلاث لابد وان تمر القوة T_2 بنقطة تقاطع T_1 ، G كما في الشكل 5-56، ويكون المجموع الجبري للعزوم حول نقطة مساو للصفر ، وعلى ذلك فمن الشكل 5-56 وبأخذ العزوم حول المرتكز السفلي نجد أن:

$$T_1 * h = G * e$$

ومنها :

$$T_1 = G * \frac{e}{h}$$



القوى على المصراع:

T_1 : رد فعل أفقى من الحائط .

G : وزن المصراع .

القوى على الحائط:

E : ضغط الأتربة والماء الأرضي

T_1 : جذب أفقى من المصراع .

شكل (5-56): حائط الضغط في حالة حوض التعويم الجاف

(في فترات الصيانة) والبوابات المفتوحة

الإجهادات العمودية على قاعدة حائط الضغط

بالإشارة الى الشكل 5-57 وبافتراض أن محصلة ضغط الأتربة والماء الأرضي تؤثر في حائط الضغط على ارتفاع Z_3 فوق الفرش ، فإن العزوم حول المحور السيني والصادي على التوالي تكون :

$$M_x = E * Z_3$$

$$M_y = T_1 * C$$

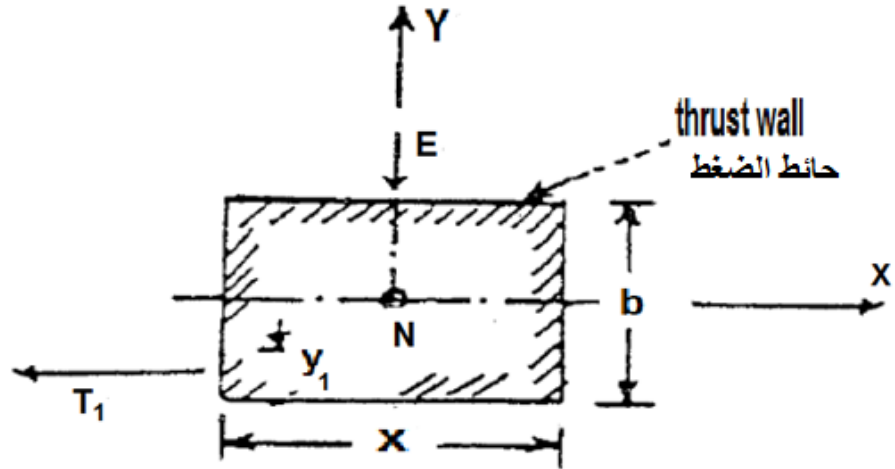
وتكون الإجهادات العمودية على النحو التالي:

$$f_2^1 = -\frac{N}{b \cdot x} \pm \frac{M_x \cdot \left(\frac{b}{2}\right)}{x \cdot b^3/12} \pm \frac{M_y \cdot \left(\frac{x}{2}\right)}{b \cdot x^3/12}$$

E : ضغط الأتربة والماء الأرضي.

T_1 : جذب من المصراع المفتوح .

N : وزن الحائط .



شكل (5-57): القوى على حائط الضغط في فترة الإصلاحات

5-8-5 فرش الهويس Design of The floor**1-5-8-5 التقدير المبدئي لسماك الفرش Preliminary Estimation of Floor Thickness Empirically**

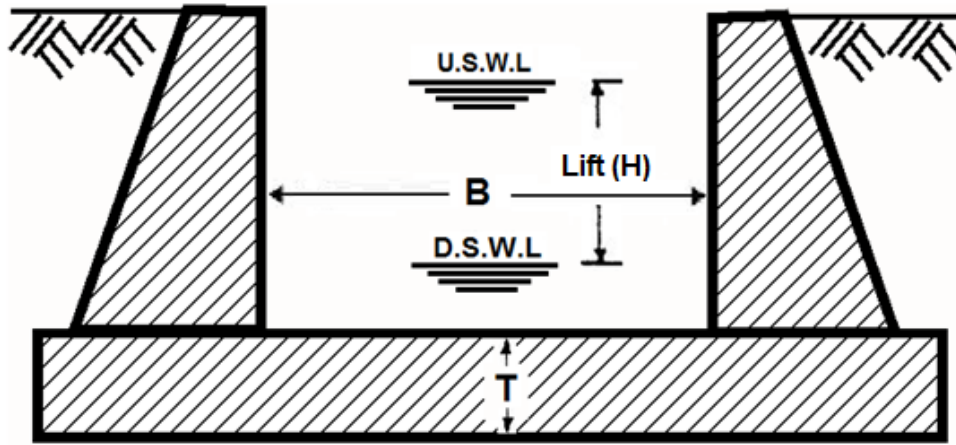
يمكن استخدام المعادلة العملية التالية لتقدير سمك فرش الهويس " T " بصفة مبدئية

$$T = 0.20 * B + 0.50 \sqrt{H} \quad (5-7)$$

حيث:

B = عرض حوض التعويم.

H = أقصى رفع للهويس Lift (شكل 58-5).



شكل (58-5): سمك فرش الهويس

إعتبارات أساسية بالنسبة لتصميم فرش الهويس Basic Criteria

- 1- يعتبر قطاع الهويس وحدة واحدة (قطاع المجرى على شكل U)، وذلك عند تصميم ودارسة استقرار الفرش.
- 2- بالنسبة للأهوسة المتسعة نسبياً، خاصة تلك المزمع إقامتها على تربة تأسيس يغلب عليها عدم التجانس، فيفضل التصميم على أساس فرض الأستاذ ترزاجي المعروف بمبدأ "رد فعل طبقة التأسيس" المستخدم في تصميم الحوائط الساندة العادية وينتج عن ذلك بالضرورة في حالة الهويس أن يكون مؤشر رد فعل تربة التأسيس مكوناً من خطين مستقيمين بدلاً من خط واحد (أنظر فيما بعد).
- 3- إذا كان قطاع الهويس غير متماثل بالنسبة للمحور، فيجب التحقق من توافر قوة الاحتكاك الكافية لمنع الانزلاق في اتجاه محصلة القوى الأفقية.

2-5-8-5 حالات التحميل Cases of Loading**الحالة الاولى : بعد الإنشاء مباشرة Just after Construction**

فى هذه الحالة يكون الهويس جاف ومنسوب الماء الأرضى تحت منسوب السطح السفلي للفرش، لذا لا توجد ضغوط رافعة Uplift أو ضغط مائى على الجانبين، ويوصى بالردم خلف الحوائط تدريجيا أثناء بنائها وذلك لضمان أنه بمجرد الإنتهاء من بناء الحوائط يكون تأثير الأتربة خلفها نشط وبذلك لا تتأثر أرضية الهويس بحدوث شروخ بالسطح العلوى نتيجة إجهادات الشد.

وإذا لم يتوافر فى القطاع المطلوب دراسته التماثل حول المحور كما فى الشكل 5-59 ، فيجب التحقق من أن محصلة القوى الأفقية " مج ف " أقل من قوة المقاومة بالاحتكاك لتوفير الأمان من الانزلاق، وبصفة عامة يمكن كتابة معامل الأمان من الانزلاق على النحو التالى :

$$S = \frac{(V-U)*\mu}{H} > 1.50 \quad (5-8)$$

حيث:

S = معامل الأمان من الانزلاق Sliding.

V = مجموع القوى الرأسية Vertical forces.

μ = معامل الاحتكاك الاستاتيكي Static friction coefficient = 0.50 فى الأحوال العادية.

U = ضغوط الرفع Uplift forces (وفى هذه الحالة تكون U يساوى صفر).

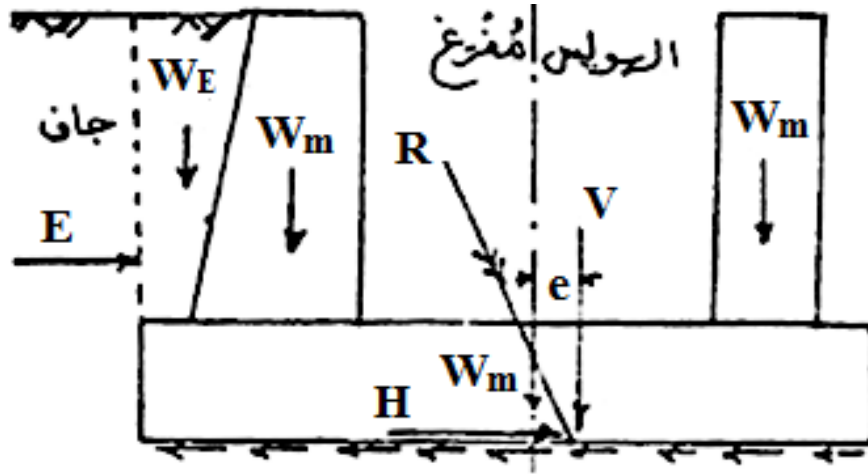
H = مجموع القوى الأفقية Horizontal forces.

الحالة الثانية: أثناء تشغيل الهويس During Operation

وفى هذه الحالة (شكل 5-60)، يجب أخذ الضغوط الرافعة فى الاعتبار ، وغالبا ما يتطلب الأمر أيضا أخذ مناسب المياه داخل حوض التعويم فى الاعتبار إذ أن عزم الانحناء بالفرش تتغير قيمته تبعاً لهذا المنسوب كما هو موضح بطريقة تخطيطية بالشكل 5-60.

الحالة الثالثة : أثناء فترة الإصلاحات During Repairs

يمكن استنتاج تلك الحالة على نفس النسق المتبع فى الحالتين السابقتين ولكن مع تفريغ حوض التعويم من المياه وافترض منسوب الماء الأرضى يتناسب مع الواقع.



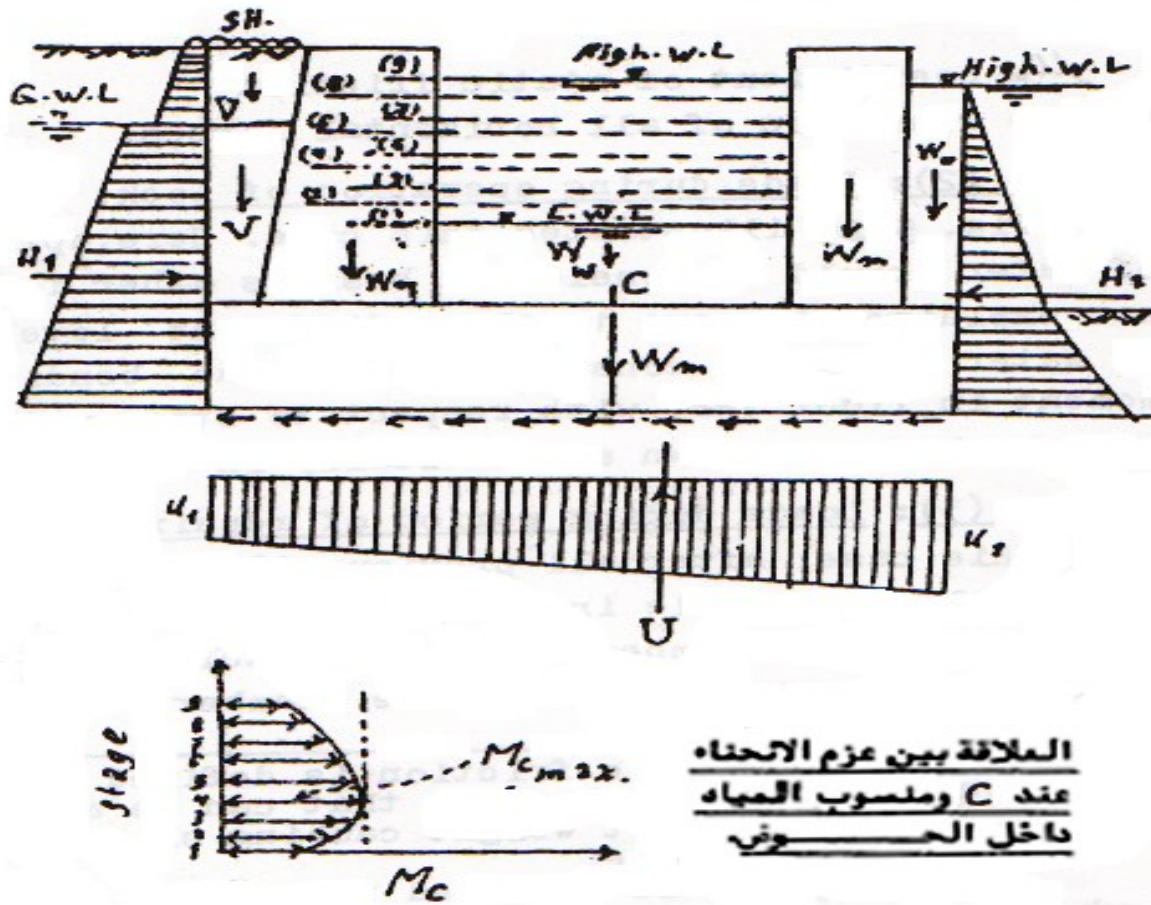
$W_E =$ وزن أتربة الردم.

$E =$ ضغط التربة الجافة.

$W_m =$ وزن المبانى.

← ← ← قوى الاحتكاك

شكل (5-59): فرش الهويس- التحميل بعد الإنشاء مباشرة



- SH : تحميل حي اضافي .
- أوزان المياه : W_w
 - أوزان المباني : W_m
 - أوزان أتربة : V
 - محملتا ضغوط الأتربة والمياه : H_1, H_2
 - منسوب الماء الأرضي : G.W.L
 - منسوب الأمام : High.W.L
 - منسوب الخلف : L.W.L
 - عزم الانحناء عند C : M_c
 - أقصى عزم الانحناء عند C : $M_{c,m 2x}$

شكل (5-60): التحميل أثناء تشغيل الهويس

طريقة تقريبية لاستنتاج رد فعل تربة التأسيس Soil Reaction on Floor

- 1- نرسم مؤشر ضغوط الرفع Uplift Diagram تحت فرش الهويس (المؤشر A ، شكل 5-61).
 2- نحصل على مؤشر الاجهادات العمودية Stress on soil على التربة (المؤشر B ، شكل 5-61) من :

$$f_2^1 = -\frac{N}{1.00.X} \pm \frac{M. \left(\frac{X}{2}\right)}{1.00.X^3/12}$$

حيث:

M = المجموع الجبرى للعزوم.

N = محصلة القوى الرأسية.

X = العرض الكلى للفرش (شكل 5-61)

- 3- للحصول على مؤشر الإجهادات العمودية المعدلة على التربة Modified stress on soil (المؤشر C ، شكل 5-61) نتبع ما يلي :

أ- على أساس مستوي توزيع مائلين 45° كما فى الشكل 5-61 يتم توزيع كل الأحمال الرأسية على يسار القطاع 1 - 1 وكذلك كل الأحمال الرأسية على يمين القطاع 2 - 2 يتم توزيعها على الطولين X1 ، X2 على التوالى كما هو مبين بالشكل، وعلى ذلك تكون قيم الإجهادات العمودية عند الحرفين الأيسر والايمن على التوالى بعد التعديل هى كما يلى :

$$f1^1 = \text{مجموع الاحمال الرأسية على يسار 1 - 1} / X1$$

$$f2^1 = \text{مجموع الاحمال الرأسية على يمين 2 - 2} / X2$$

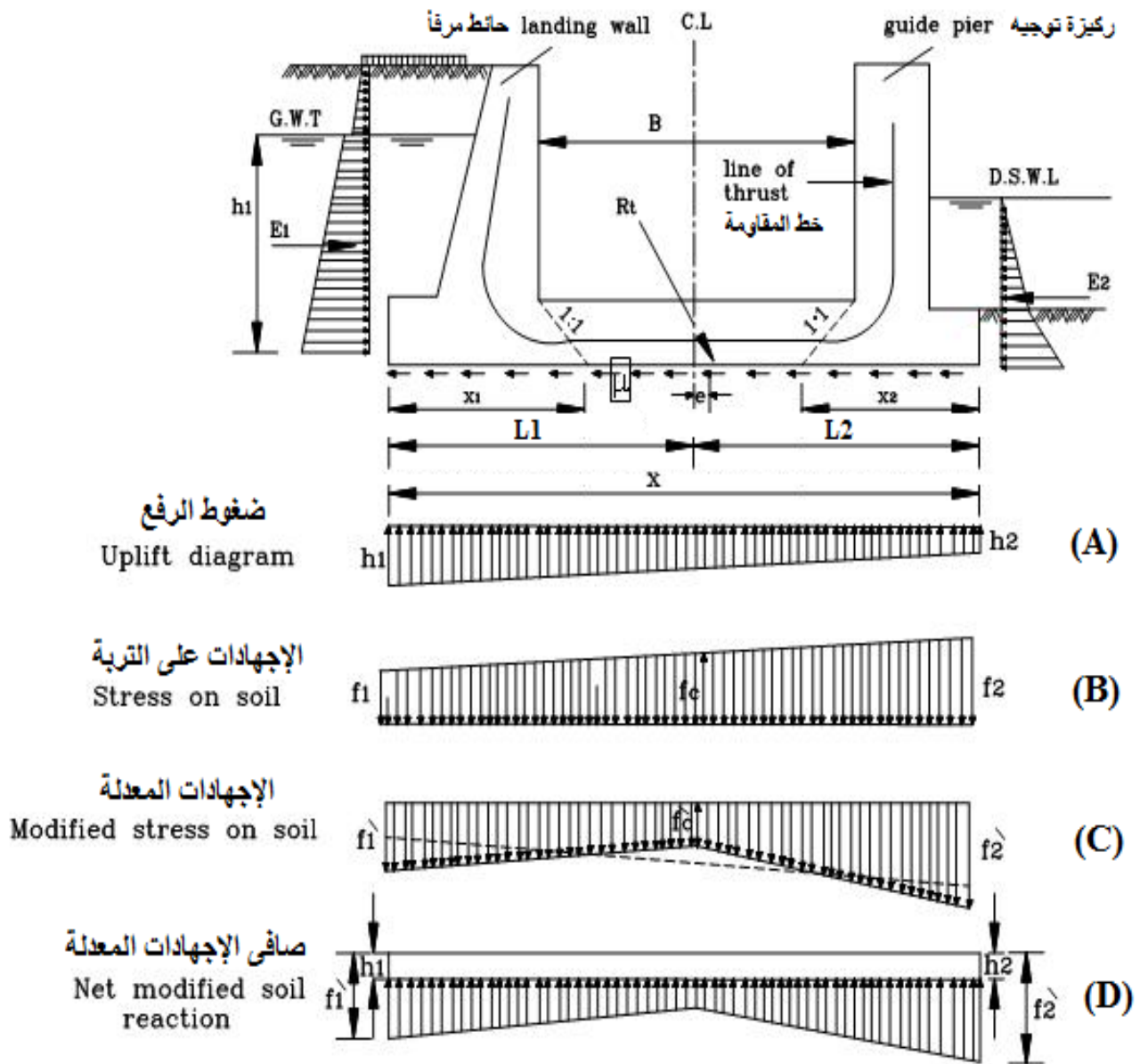
ب- إن قيمة الإجهاد العمودي fc^1 بالمؤشر " C " (شكل 5-61) والذي يكون متساوياً مع محور التعويم ، هذه القيمة يمكن استنتاجها من شرط تساوى مساحة كل من المؤشرين " B " ، " C " ، وذلك على النحو التالى:

$$\frac{1}{2} . (f1 + f2) . X = \frac{1}{2} . (f1^1 + fc^1) . L1 + \frac{1}{2} . (fc^1 + f2^1) . L2$$

وبالتبسيط نجد أن :

$$fc^1 = f1 + f2 - f1^1 (L1/X) - f2^1 (L2/X)$$

4- بتجميع المؤشرين " A " ، " C " جبرياً حيث " A " هو مؤشر الضغوط الرافعة Uplift Diagram (شكل 61-5) نحصل على مؤشر صافي الإجهادات على التربة والذي إذا عكست اتجاهات الأسهم به لتصبح إلى أعلا فإن الناتج يعبر عن "مؤشر صافي رد فعل التربة على فرش الهويس" Net modified soil reaction ، والمشار إليه بالرمز " D " بالشكل (61-5).



شكل (61-5): طريقة تقريبية لاستنتاج رد فعل التربة على فرش الهويس

إيجاد محصلة القوى وقيمة اللاتمرکز " لا " عند قطاعات منتخبة من الفرش:

يتم ذلك فى إطار المبدأ الذي سبق أن ذكرناه وهو اعتبار قطاع الحوض وحدة واحدة على شكل المجرى القائم الزاوية، وبالتالي يتم تقسيم القطاع كله إلى وحدات مناسبة (شكل 5-62) ويتحدد موقع محصلة القوى عند أى قطاع بأخذ العزوم لكل القوى الواقعة على ناحية واحدة من القطاع (أيمنه أو أيسره) بما فى ذلك القوى الناتجة عن رد فعل التربة (المؤشر " D " شكل 5-61) و نستنتج اللاتمرکز eccentricity " e " وذلك بالطريقة المعتادة حيث :

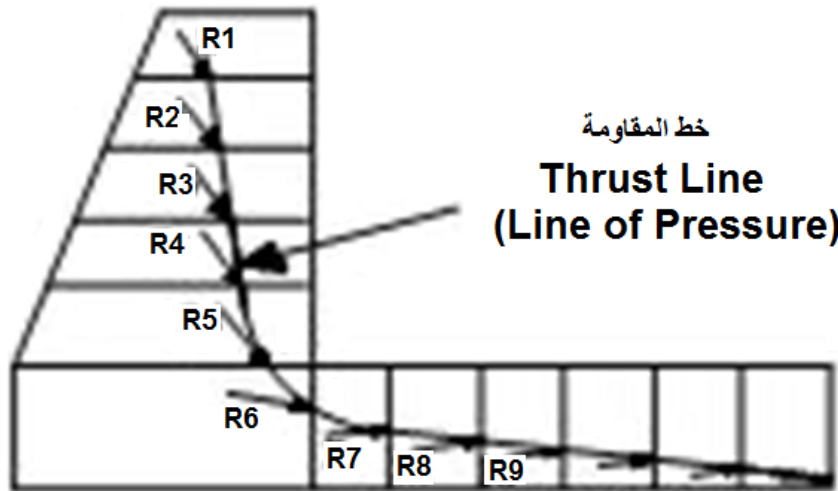
$$e = \frac{M}{N}$$

وفيها:

$M =$ المجموع الجبرى للعزوم.

$N =$ محصلة القوى الرأسية.

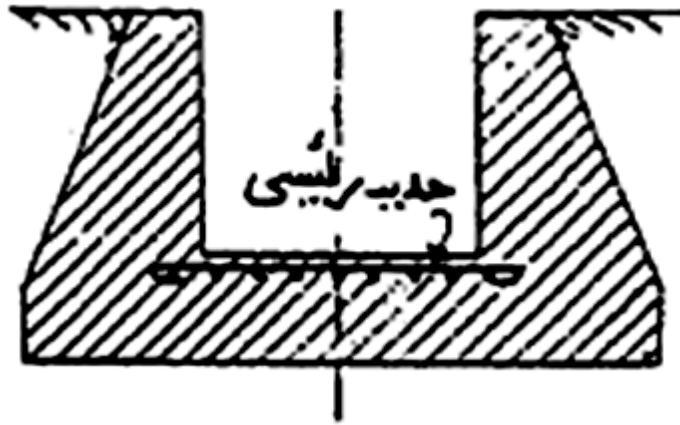
ويسمى الخط الواصل بين مواقع محصلات القوى عند المواقع المختلفة لكل القطاع العرضي ، يسمى خط الضغط Pressure line أو خط المقاومة Thrust line (شكل 5-62).



شكل (5-62): خط المقاومة لقطاع متماثل حول محور حوض التعويم

ملاحظات وإضافات ضرورية:

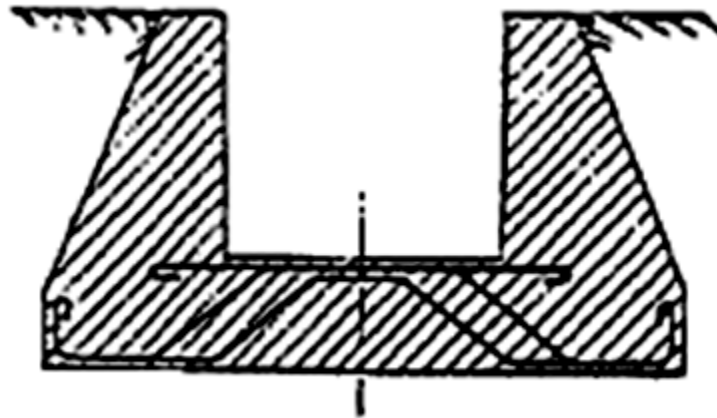
1- لوحظ أنه في الغالبية العظمى من تصميمات الأهوسة ذات القطاع التثاقلى أن المحصلة عند القطاع المحوري (شكل 5-62) تكون عادة خارج الثلث الأوسط بما يعنى حدوث إجهادات شد بالوجه العلوى للفرش (قاع حوض التعويم)، لذا فإنه من الأمور التى تكاد تكون لها صفة القاعدة بين مصممي الأهوسة أن يتم تسليح الجانب العلوى من فرش الهويس (شكل 5-63) مهما كانت جهود الشد المحسومة صغيرة القيمة.



شكل (5-63): تسليح السطح العلوى للفرش فى الحالات البسيطة

2- فى الحالات التى تكون فيها جهود الشد المتوقعة بالسطح العلوى للفرش كبيرة نسبياً، فإنه عادة ما يوصى بعمل الجزء العلوى من الفرش على هيئة بلاطة من الخرسانة المسلحة سمكها قد يتراوح ما بين 30 إلى 60 سم.

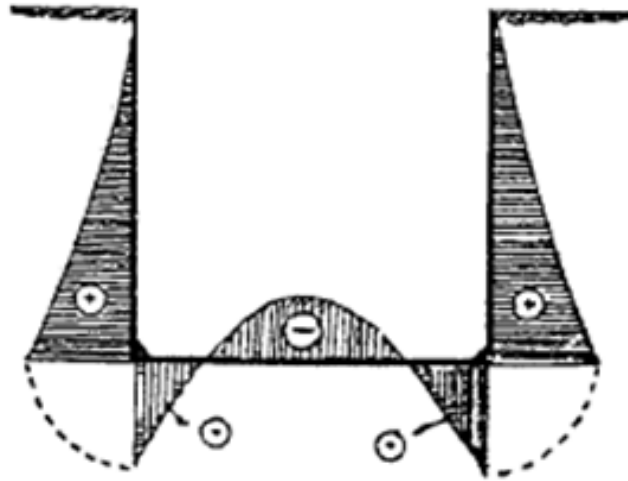
3- وأحياناً قد يتطلب الأمر تسليح الفرش بكامل السمك كما بالشكل 5-64 حسبما يقتضيه الحال كأن تكون تربة التأسيس متوسطة التحمل مثلاً.



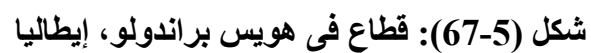
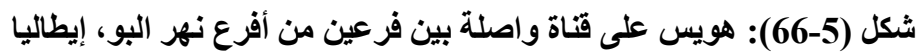
شكل (5-64): حالة تسليح فرش الهويس كله

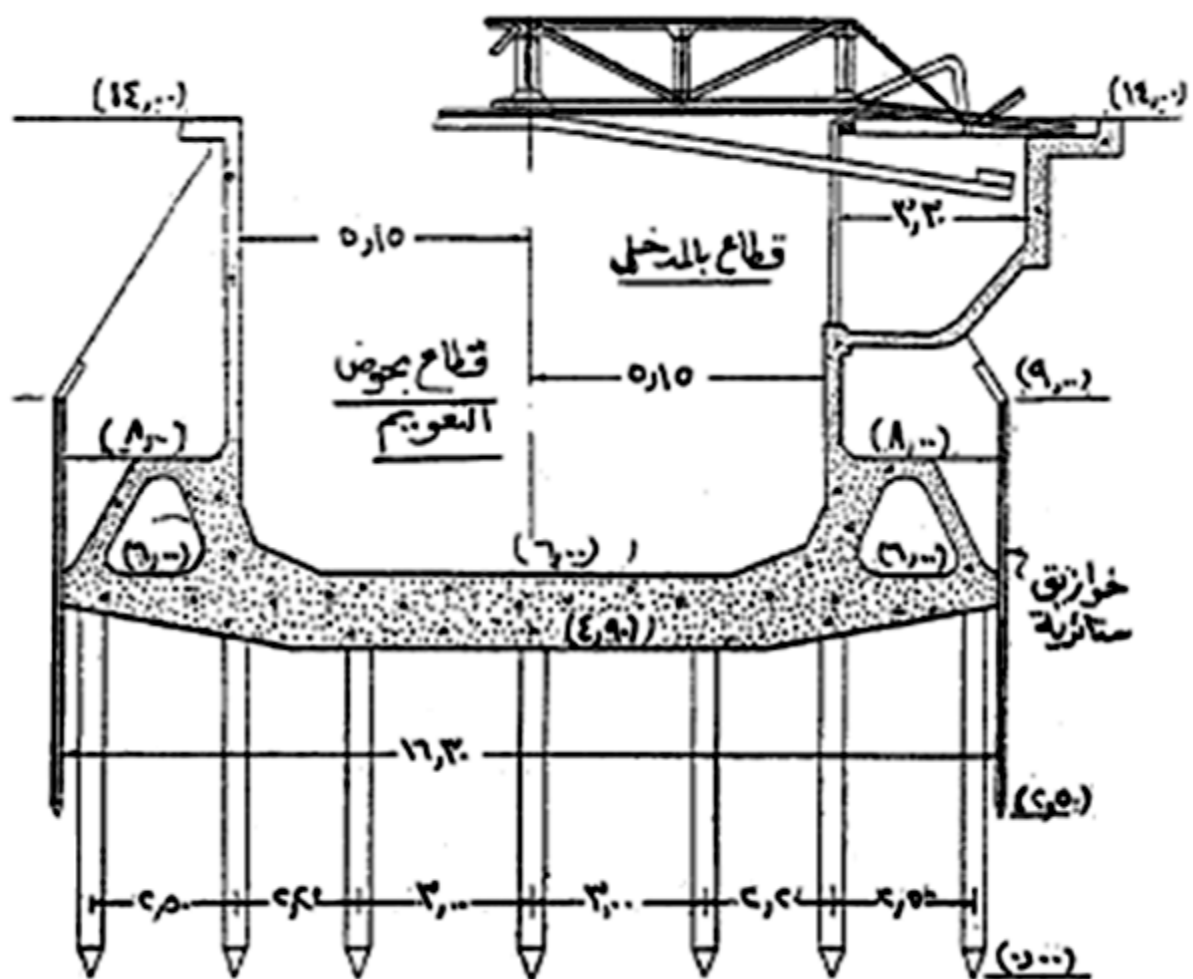
4- تتميز قطاعات الأهوسة المنفذة من الخرسانة المسلحة بخفة الوزن، وتلك في الحقيقة صفة ينشأ عنها ضرورة تأمين المنشأ من الطفو بفعل ضغوط الرفع خاصة عند تفريغ حوض التعويم، لذا فإنه غالباً ما يملأ القاع بالخرسانة العادية لإعطاء الثقل المطلوب بالإضافة إلى أن خوازيق الشدة قد تستعمل للمساهمة في التغلب على قوى الرفع، وقد يعمل الفرش كله من الخرسانة العادية بسمك كاف لنفس الغرض (أنظر الأشكال 5-66 إلى 5-71). ويبين الشكل 5-65 مؤشر عزوم الانحناء الذي يتخذ أساساً لتصميم أجزاء القطاع العرضي للهويس من الخرسانة المسلحة.

ويبين الشكلين 5-72، 5-73 بعض نماذج القطاعات المختلفة لحوائط وفروشات الأهوسة.

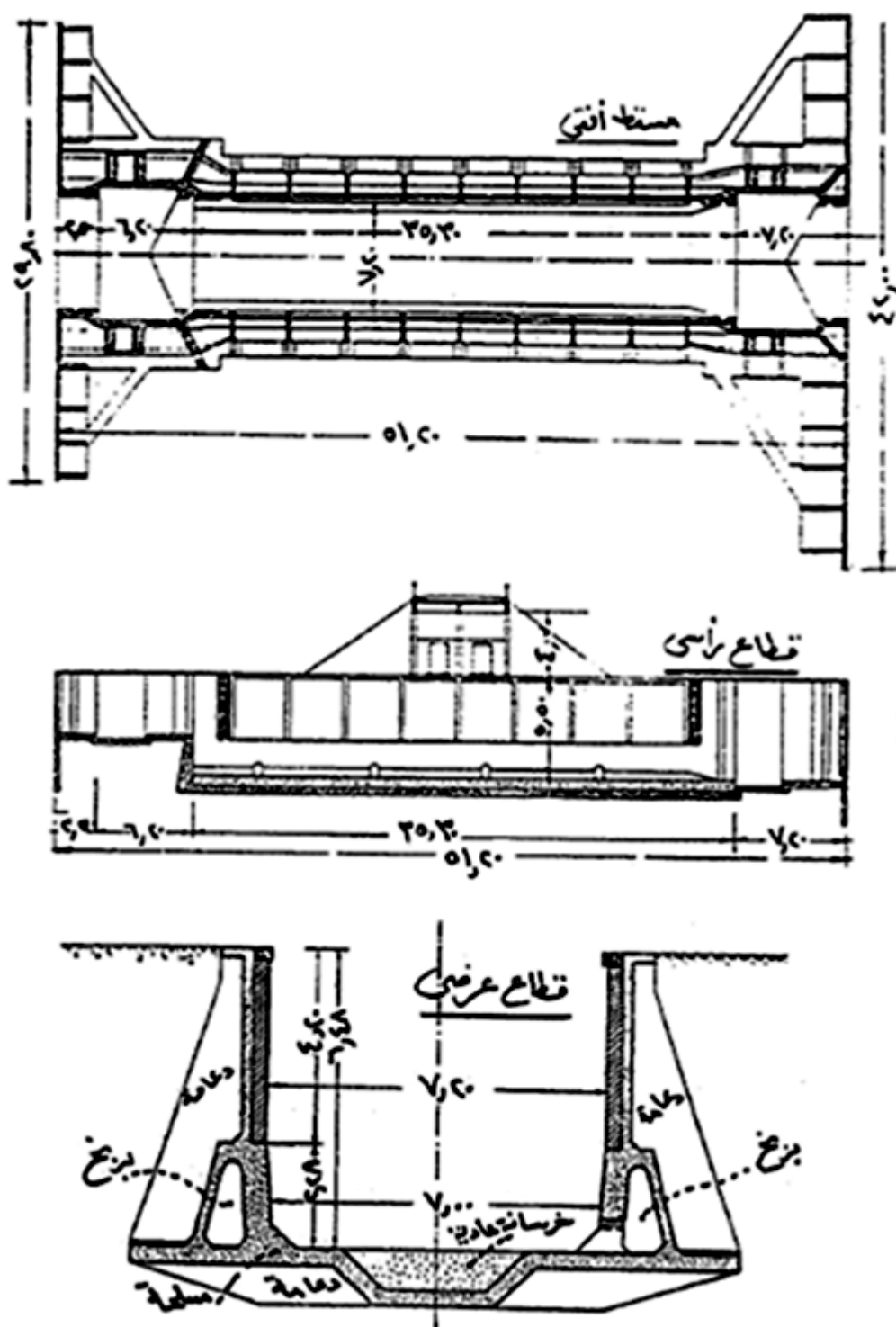


شكل (5-65): مؤشر عزوم الانحناء لقطاع هويس من الخرسانة المسلحة

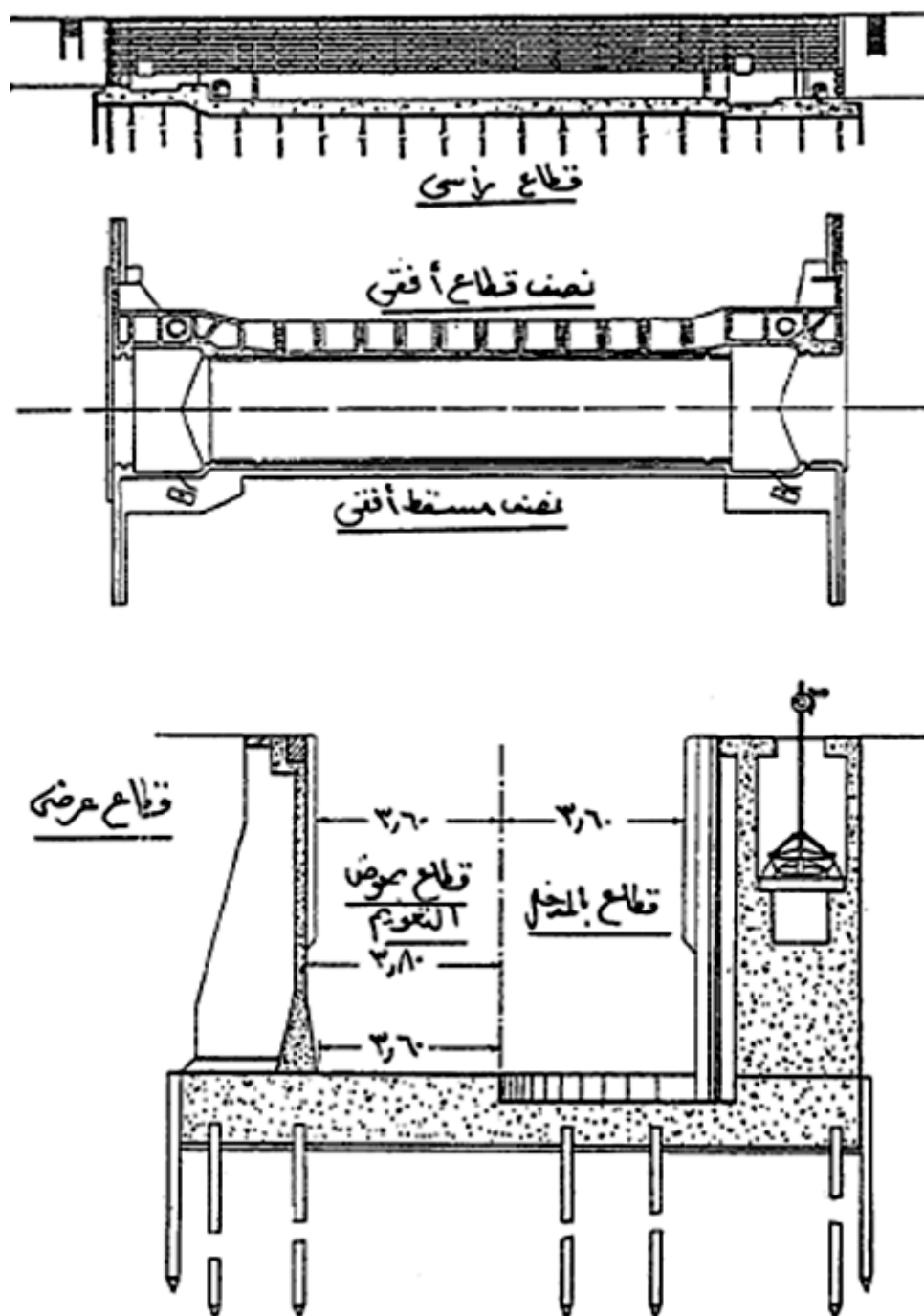




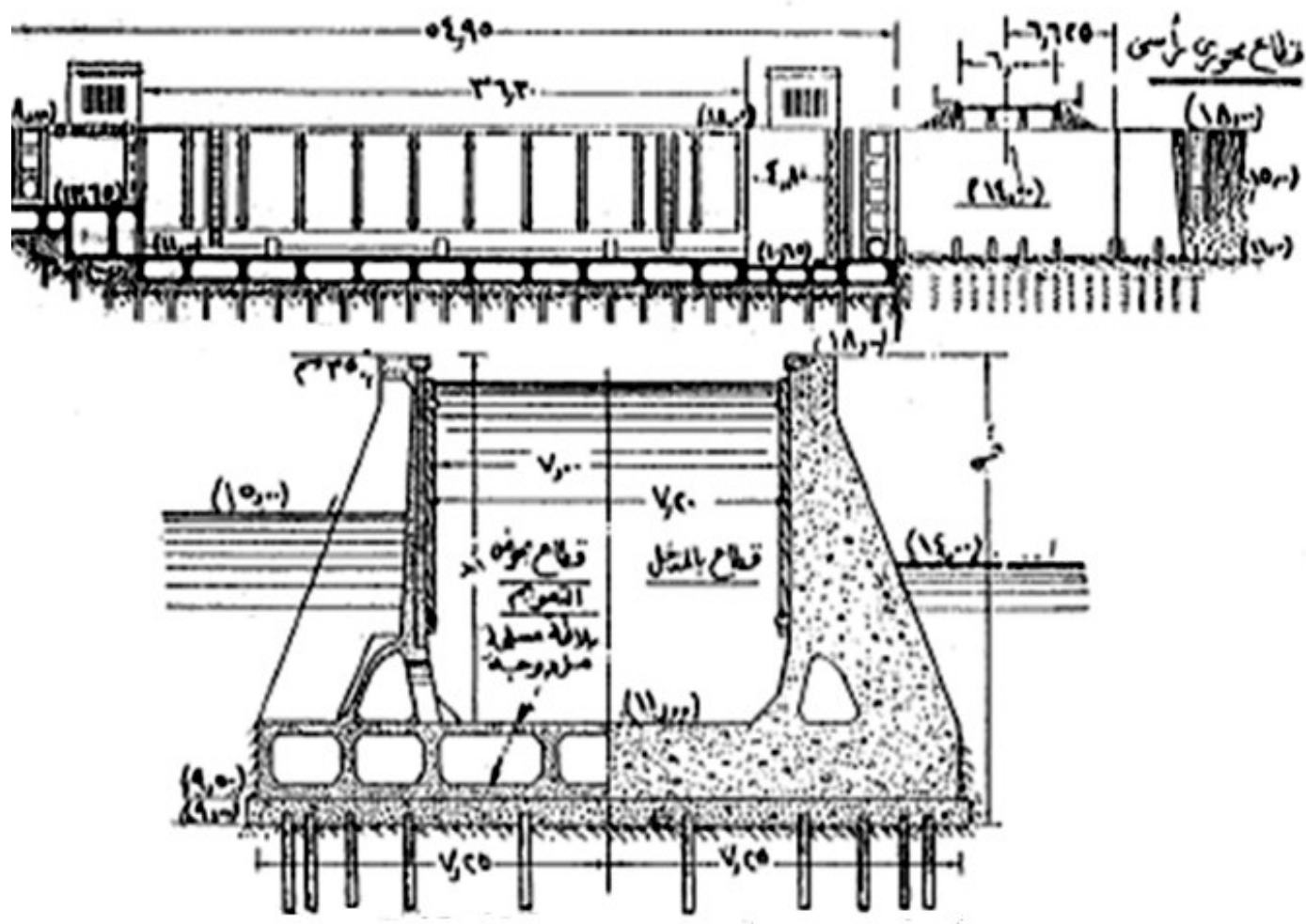
شكل (5-68): هويس كافانيو داديج، إيطاليا، الحوائط فقط خرسانة مسلحة



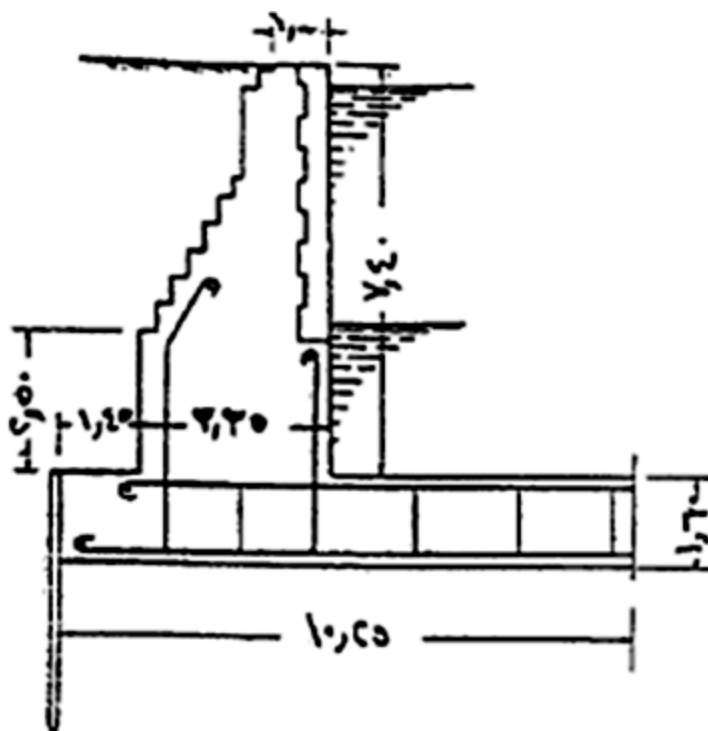
شكل (5-69): هويس لاراناء، إيطاليا



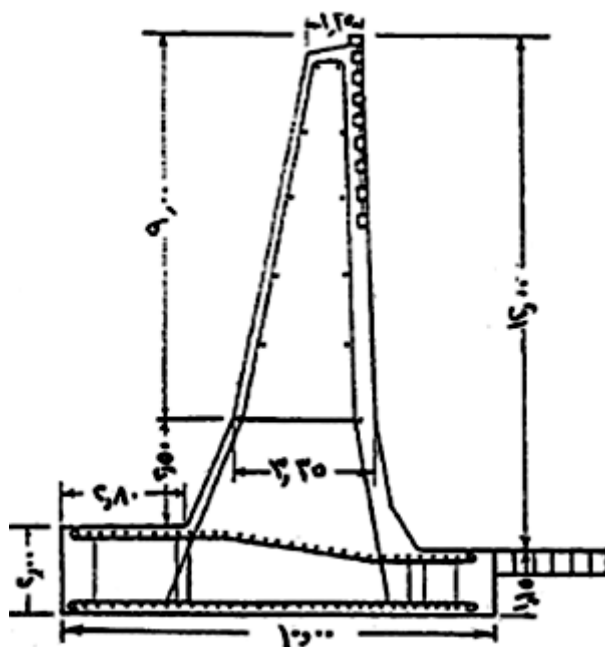
شكل (5-70): هويس بريجليو، إيطاليا، الحوائط فقط خرسانة مسلحة



شكل (5-71): هويس دولو، إيطاليا



شكل (5-72): مثال يبين فرش الهويس من الخرسانة المسلحة والحوائط ثقافية



شكل (5-73): طراز من الحوائط المسلحة، وفيه يستقل الحائط عن الفرش الذي يكون عادة قليل السمك

أمثلة محلولة

Solved Examples

أولاً: التصميم الهيدروليكي لفرش منشآت التحكم

Hydraulic Design for Apron of Control Structures

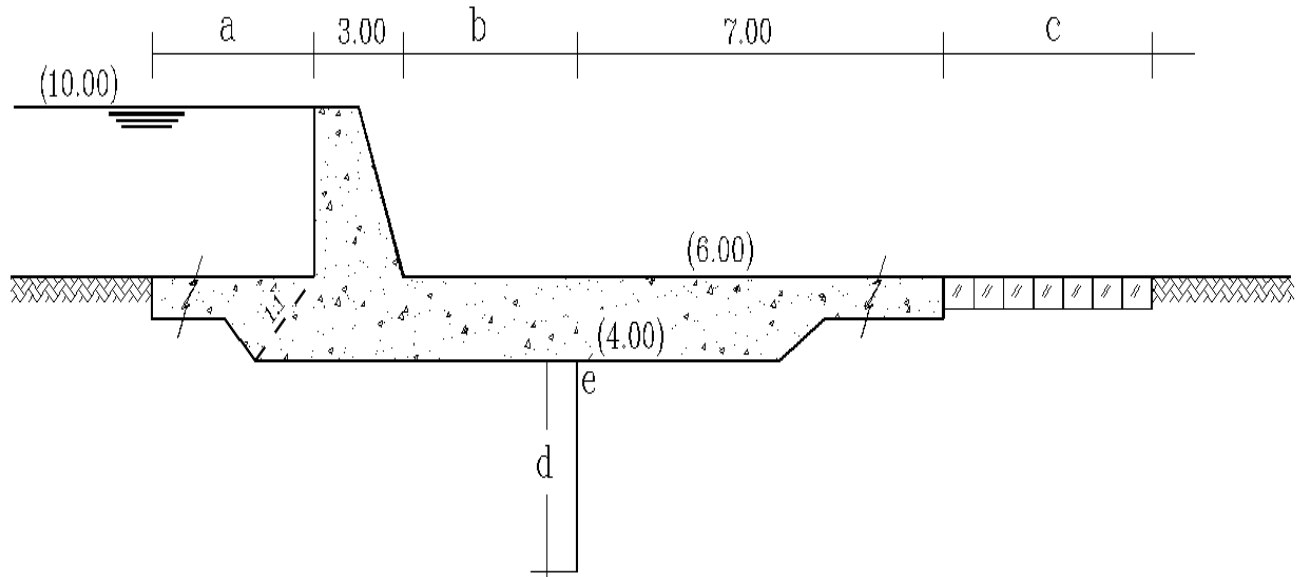
مثال 1

بالنسبة للهدار المبين بالشكل، إذا علمت أن:

- معامل الزحف المأمون (معامل بلاي) = 10
- مادة الفرش من الخرسانة العادية ووزنها النوعي = 2.20 طن/م³.
- معدل التدفق لوحدة الطول من الهدار = 2.50 م³/ث/م.

فالمطلوب:

- أ- إيجاد الأبعاد a, b, c وعمق القطاع d.
- ب- رسم القطاع الطولي للهدار بمقياس رسم مناسب.
- ج- حساب ورسم مؤشر الضواغط البيزومترية وضواغط الرفع " Piezometric and Pressure heads"، ومن ثم التحقق من سمك الفرش عند النقطة e.
- د- إحسب منسوب الماء الأرضي حول اكتاف الهدار وذلك بالقطاع العرضي الذي يحتوى النقطة "e".



الحل

$$a = (1-2) H = (1-2) * 4 = 4 - 8 \text{ m} \quad \text{taken 5 m}$$

$$L = 3 * 10 * (4/3)^{0.5} (2.50/7)^{0.5} = 20.70 \text{ m}$$

$$L_1 = 1.2 * 10 * (4/3.9)^{0.5} = 12.15 \text{ m}$$

$$b = 12.15 - 7 = 5.15 \quad \text{taken 6 m}$$

$$c = 20.70 - (7+6) = 7.70 \quad \text{taken 8 m}$$

$$L_{\text{creep}} = H * C_B = 4 * 10 = 40 \text{ m}$$

$$40 = 1 + 2 + (2)^{0.5} + 2 + 3 + 6 + 2d + 6 + (2)^{0.5} + 1$$

$$d = 8.08 \quad \text{taken 9 m}$$

Net piezometric heads

$$1/C = 4/41.828 = 1/10.457$$

$$h_1 = 4 + (0) = 4 \text{ m}$$

$$h_2 = 5 + (-1) - (1/10.457) = 3.90 \text{ m}$$

$$h_3 = 6 + (-2) - (15.414/10.457) = 2.53 \text{ m}$$

$$h_e = 6 + (-2) - (33.414/10.457) = 0.80 \text{ m}$$

$$h_4 = 5 + (-1) - (40.828/10.457) = 0.10 \text{ m}$$

$$h_5 = 4 + (0) - (41.828/10.457) = 0.00 \text{ m}$$

Uplift Pressures

$$U_2 = 5 - (1/10.457) = 4.90 \text{ m}$$

$$U_3 = 6 - (15.414/10.457) = 4.53 \text{ m}$$

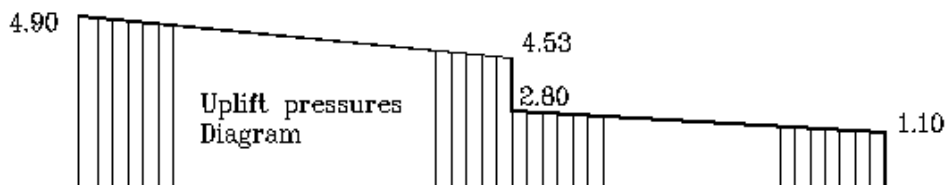
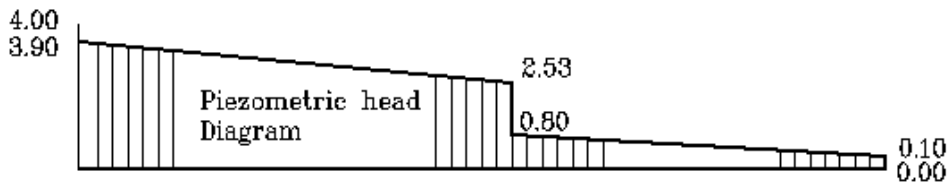
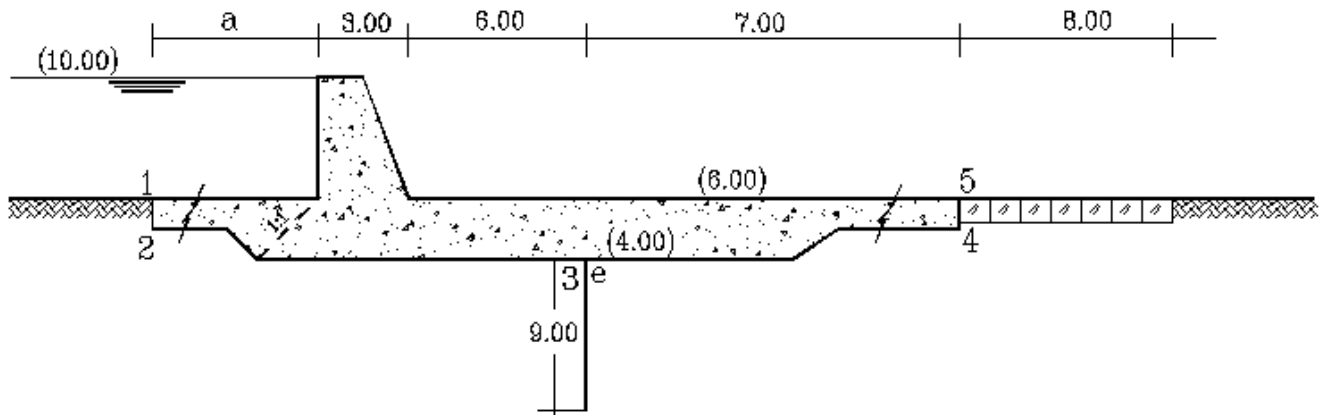
$$U_e = 6 - (33.414/10.457) = 2.80 \text{ m}$$

$$U_4 = 5 - (40.828/10.457) = 1.10 \text{ m}$$

Checking of thickness of apron at point e

$$T = \frac{h}{\gamma_f - 1} \times 1.3$$

$$T = \frac{0.80}{2.20 - 1} \times 1.3 = 0.86m < 2m. (safe)$$

**Estimation of G.W.L at point e حساب منسوب الماء الأرضي**

منسوب الماء الأرضي (G.W.L) = الضاغط البيزومتري (h) + منسوب مستوى المقارنة
 = ضاغط الرفع (U) + منسوب النقطة (A)

$$G.W.L = 0.80 + 6.00 = 6.80 \text{ m}$$

$$G.W.L = 2.80 + 4.00 = 6.80 \text{ m}$$

1- الشكل يبين هداراً يحجز المياه أمامه على منسوب القمة وهو (14.50) متر، بينما الخلف جاف. فإذا علمت أن:

- طول الفرش بالخلف (المسافة بين القطاع "1-1" والحرف الخلفي للفرش وهو 16.00 متر كافي للأمان من الجرف الخلفي Downstream scour.
- معامل الزحف المأمون (معامل بلاى) = 1.2.
- مادة الفرش من الخرسانة العادية ووزنها النوعى = 2.20 طن/م³.

أ- تصميم عمق القاطعين A ، B في الموقعين "1-1" و "2-2".
 ب- تصميم سمك الفرش في الموقعين "2-2" و "3-3".
 ج- رسم القطاع الطولي للفرش بمقياس رسم مناسب.
 ح- حساب ورسم مؤشري الضواغط البيزومترية وضواغط الرفع " Piezometric and Pressure heads"، ومن ثم إعادة التحقق من سمك الفرش عند القطاع خلف قطاع "1-1" بمقدار 3.00 أمتار، وكذلك عند القطاع خلف قطاع "2-2" بمقدار 3.00 أمتار..



الحل**Depth of cutoff (A)**

$$\text{Net piezometric head on the Apron} = H = 14.5 - 11 = 3.5 \text{ m}$$

$$\text{The length of creep until sec (1-1)} = L_{c1} = 3.25 + 3 + 2d_A = 6.25 + 2d_A$$

$$h_{(1-1)} = 5.75 + (-2.25) - ((6.25 + 2d_A)/12)$$

We can get the piezometric head at sec (1-1) from equation of the thickness:

$$T_{1-1} = \frac{h_{1-1}}{\gamma_f - 1} \times 1.3$$

$$2.25 = \frac{h_{1-1}}{2.20 - 1} \times 1.3$$

$$h_{(1-1)} = 2.077 \text{ m}$$

$$2.077 = 5.75 + (-2.25) - ((6.25 + 2d_A)/12)$$

$$d_A = 5.40 \text{ m}$$

Thickness of apron at sce. (2-2)

$$h_{(2-2)} = h_{(1-1)} - \text{losses}$$

$$= 2.077 - (6/12) = 1.577 \text{ m}$$

$$T_{2-2} = \frac{1.577}{2.20 - 1} \times 1.3 \approx 1.70 \text{ m}$$

Depth of cutoff (B) and thickness of apron at sce. (3-3)

$$L_{\text{creep}} = H * C_B = 3.50 * 12 = 42 \text{ m}$$

$$42 = 6.25 + 2 * 5.40 + 16 + 2.25 + 2d_B$$

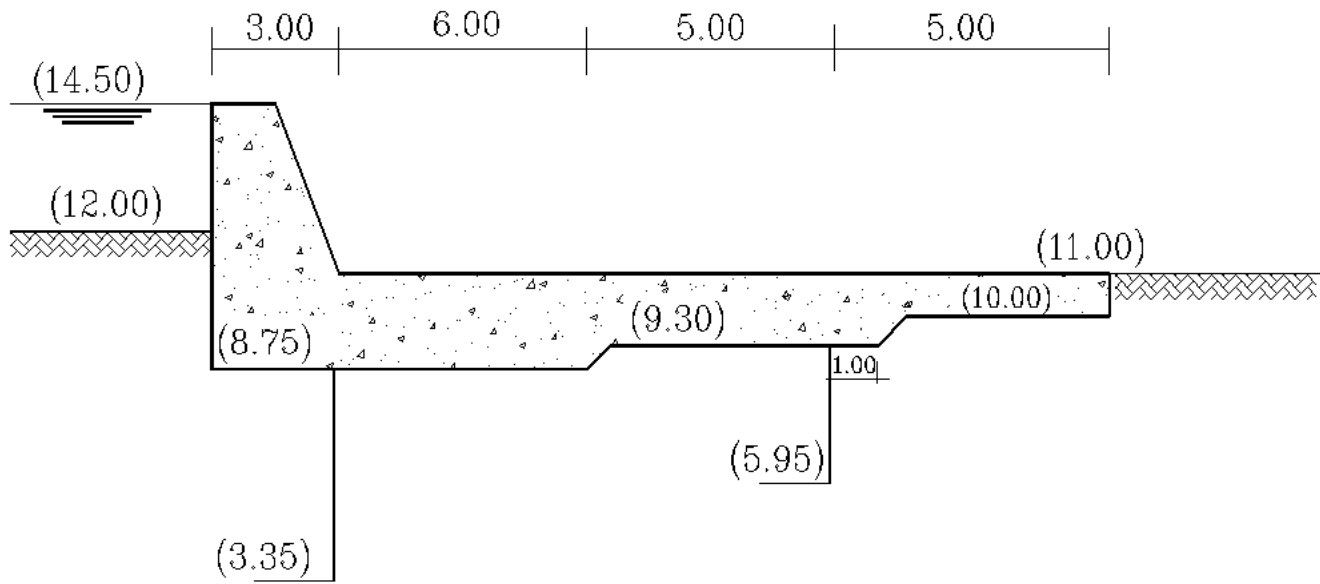
$$d_B = 3.35 \text{ m}$$

$$h_{(3-3)} = h_{(2-2)} - \text{losses}$$

$$= 1.577 - (5 + 2 * 3.35/12) = 0.602 \text{ m}$$

$$T_{3-3} = \frac{0.602}{2.20 - 1} \times 1.3 \approx 0.65 \text{ m}$$

$$\text{taken } 1 \text{ m}$$



The total creep length = $3.25 + 3 + (2 * 5.4) + 6 + (0.605)^{0.5} + 4.45 + (2 * 3.35) + 1 + (0.98)^{0.5} + 3.30 + 1 = 41.27 \text{ m} < 42 \text{ m}$ (unsafe)

Increase d_A from 5.40 m to 5.80 m

The total creep length = $41.27 + 2 * 0.40 = 42.07 \text{ m} > 42 \text{ m}$ (safe)

$1/C = 3.5/42.07 = 1/12.02$ Safe

Recheck for the thickness at the different sections

section (1)

$$h_{(1-1)} = 5.75 + (-2.25) - ((6.25 + 2 * 5.80)/12.02) = 2.01 \text{ m}$$

$$T_{1-1} = \frac{h_{1-1}}{\gamma_f - 1} \times 1.3$$

$$T_{1-1} = \frac{2.01}{2.20 - 1} \times 1.3 = 2.18 \text{ m} \quad (\text{Safe})$$

section (2)

$$h_{(2-2)} = 5.75 + (-2.25) - ((6.25+2 * 5.80 +6)/12.02) = 1.52 \text{ m}$$

$$T_{2-2} = \frac{1.52}{2.20-1} \times 1.3 = 1.64m \quad (\text{Safe})$$

section (3)

$$h_{(3-3)} = 5.75 + (-2.25) - ((6.25+2 * 5.80 +6+(0.605)^{0.5}+4.45+2 * 3.35) /12.02) = 0.52 \text{ m}$$

$$T_{3-3} = \frac{0.52}{2.20-1} \times 1.3 = 0.56m \quad (\text{Safe})$$

Net piezometric heads

$$h_a = 2.50 + (1) = 3.50 \text{ m}$$

$$h_b = 5.75 + (-2.25) - (3.25/12.02) = 3.23 \text{ m}$$

$$h_c = 5.75 + (-2.25) - (3.25+3/12.02) = 2.98 \text{ m}$$

$$h_d = 5.75 + (-2.25) - (6.25+2*5.80/12.02) = 2.01 \text{ m}$$

$$h_e = 5.20 + (-1.70) - (6.25+2*5.80+10.45+(0.605)^{0.5}/12.02) = 1.08 \text{ m}$$

$$h_f = 5.20 + (-1.70) - (6.25+2*5.80+10.45+(0.605)^{0.5}+2*3.35/12.02) = 0.52 \text{ m}$$

$$h_g = 4.50 + (-1.00) - (41.07/12.02) = 0.08 \text{ m}$$

$$h_k = 3.50 + (0) - (42.07/12.02) = 0.00 \text{ m}$$

Uplift Pressures

$$U_b = 5.75 - (3.25/12.02) = 5.48 \text{ m}$$

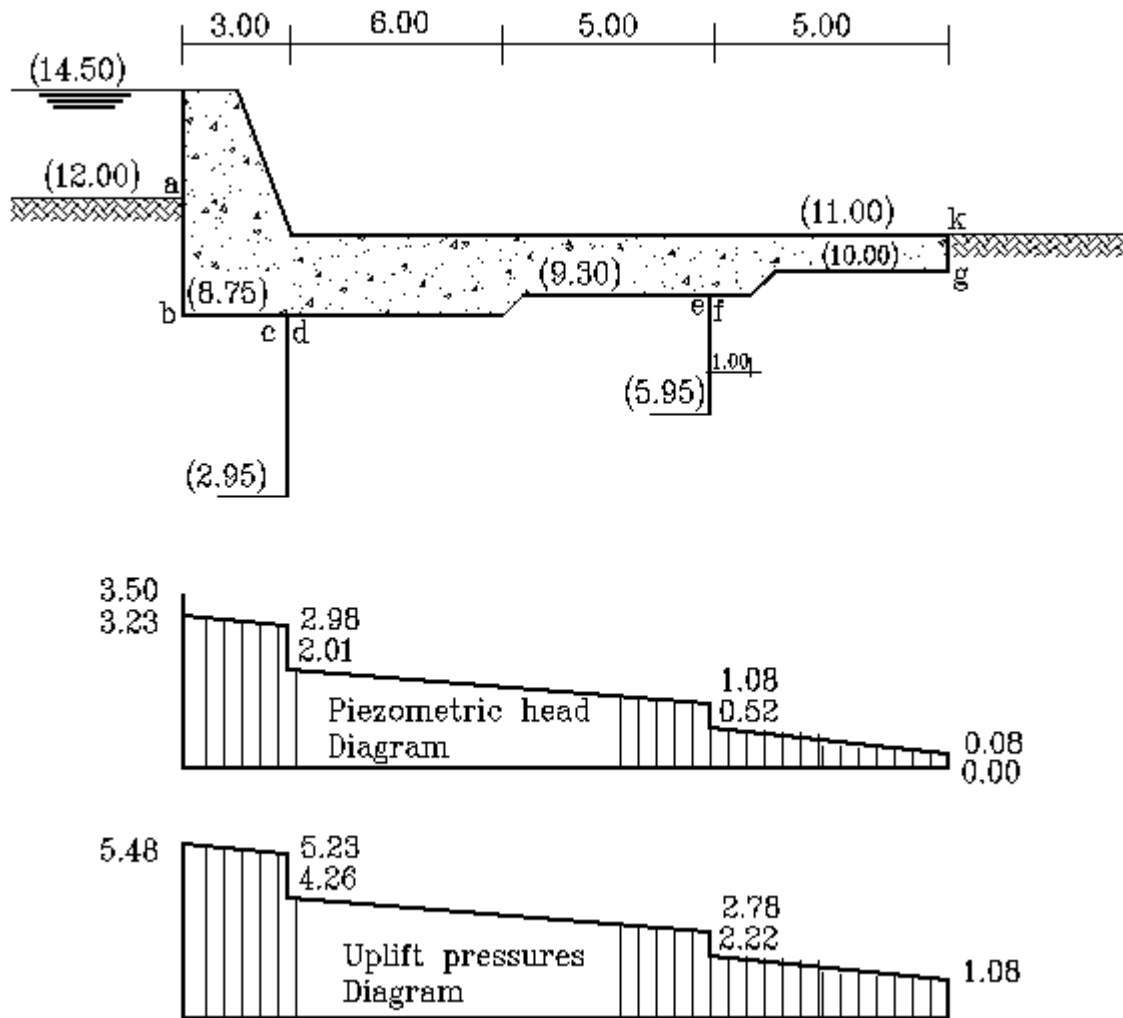
$$U_c = 5.75 - (3.25+3/12.02) = 5.23 \text{ m}$$

$$U_d = 5.75 - (6.25+2*5.80/12.02) = 4.26 \text{ m}$$

$$U_e = 5.20 - (6.25+2*5.80+10.45+(0.605)^{0.5}/12.02) = 2.78 \text{ m}$$

$$U_f = 5.20 - (6.25+2*5.80+10.45+(0.605)^{0.5}+2*3.35/12.02) = 2.22 \text{ m}$$

$$U_g = 4.50 - (41.07/12.02) = 1.08 \text{ m}$$



Thickness at distance 3.00 m downstream sections (1) & (2).

Distance 3.00 m downstream section (1)

$$h = 1.76 \text{ m}$$

$$T = \frac{1.76}{2.20 - 1} \times 1.3 = 1.91 \text{ m} < 2.25 \quad (\text{Safe})$$

Distance 3.00 m downstream section (2)

$$h = 1.24 \text{ m}$$

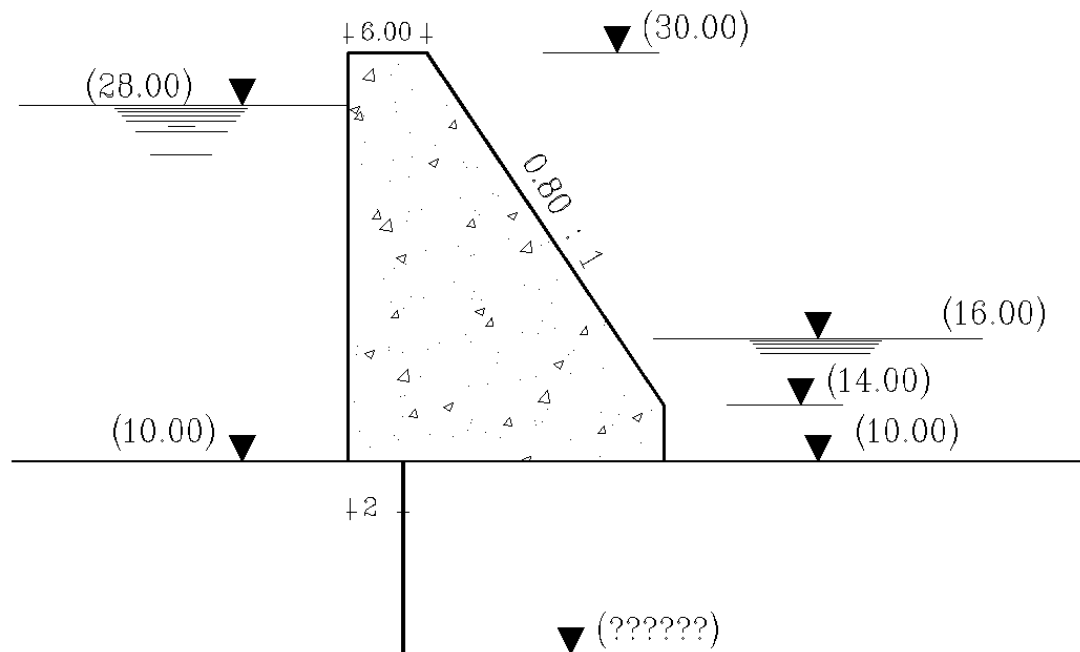
$$T = \frac{1.24}{2.20 - 1} \times 1.3 = 1.35 \text{ m} < 1.70 \quad (\text{Safe})$$

السدود الثقالية Gravity Dams

الرسم يبين مسقطاً رأسياً قطاعياً بالجزء المصمت لسد تتألف Gravity dam من الخرسانة العادية مزود بقطاع أمانى Cutoff . فإذا علمت أن الانحدار الهيدروليكي الآمن Safe hydraulic gradient تحت جسم السد هو 5/1 .

1- حساب منسوب كعب القاطع Level of cutoff's heel

- 2- حساب ورسم كلاً من مؤشري الضغوط البيزومترية وضغوط الرفع "Piezometric & Uplift pressures heads" المؤثرة على قاعدة السد ، متخذاً منسوب المياه بالخلف مستوى للمقارنة.
- 3- حساب معامل الأمان من الانزلاق Sliding والإنقلاب Overturning عند قاعدة السد.



الحل1- Level of cutoff's heel منسوب كعب القاطع

$$H/L < 1/C$$

$$L_{\text{creep}} = C * H = 5 * 12 = 60 = 18.8 + 2d \quad \gggg \quad d = 20.6 \text{ m}$$

$$\text{Level of cutoff's heel} = 10 - 20.60 = (-10.60)$$

2- piezometric head الضغوط البيزومترية

$$h_1 = 18 + (-6) = 12 \text{ m}$$

$$h_2 = 18 + (-6) - 2/5 = 11.6 \text{ m}$$

$$h_3 = 18 + (-6) - (2 + 20.6)/5 = 3.36 \text{ m}$$

$$h_4 = 18 + (-6) - (2 + 2 * 20.6 + 16.8)/5 = 0.00$$

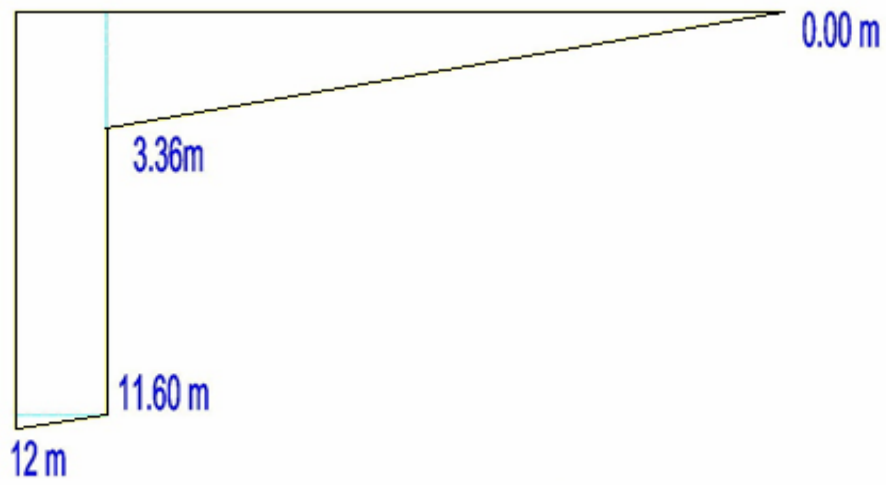
3- Uplift pressures heads ضغوط الرفع

$$P_1 = 12 - (-6) = 18 \text{ m}$$

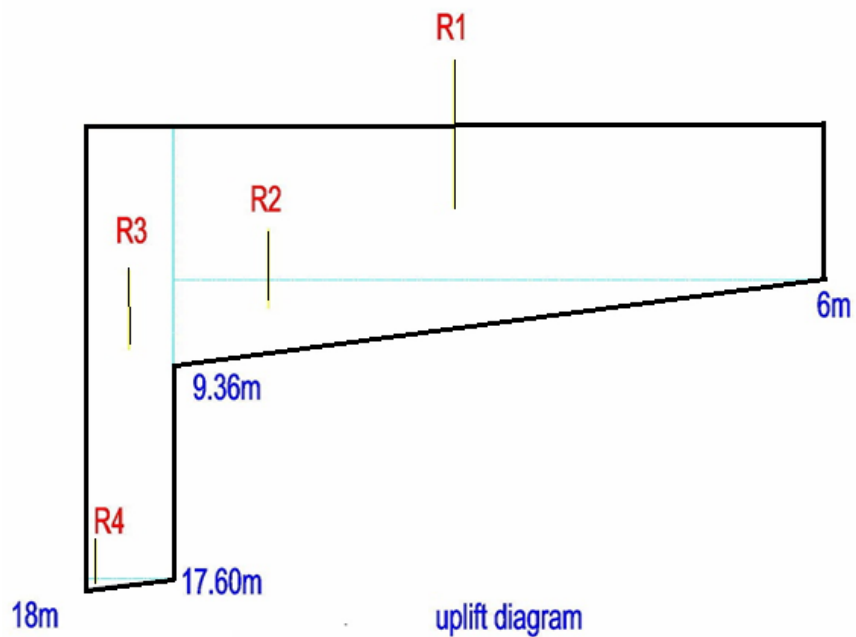
$$P_2 = 11.60 - (-6) = 17.60 \text{ m}$$

$$P_3 = 3.36 - (-6) = 9.36 \text{ m}$$

$$P_4 = 0.00 - (-6) = 6.00 \text{ m}$$

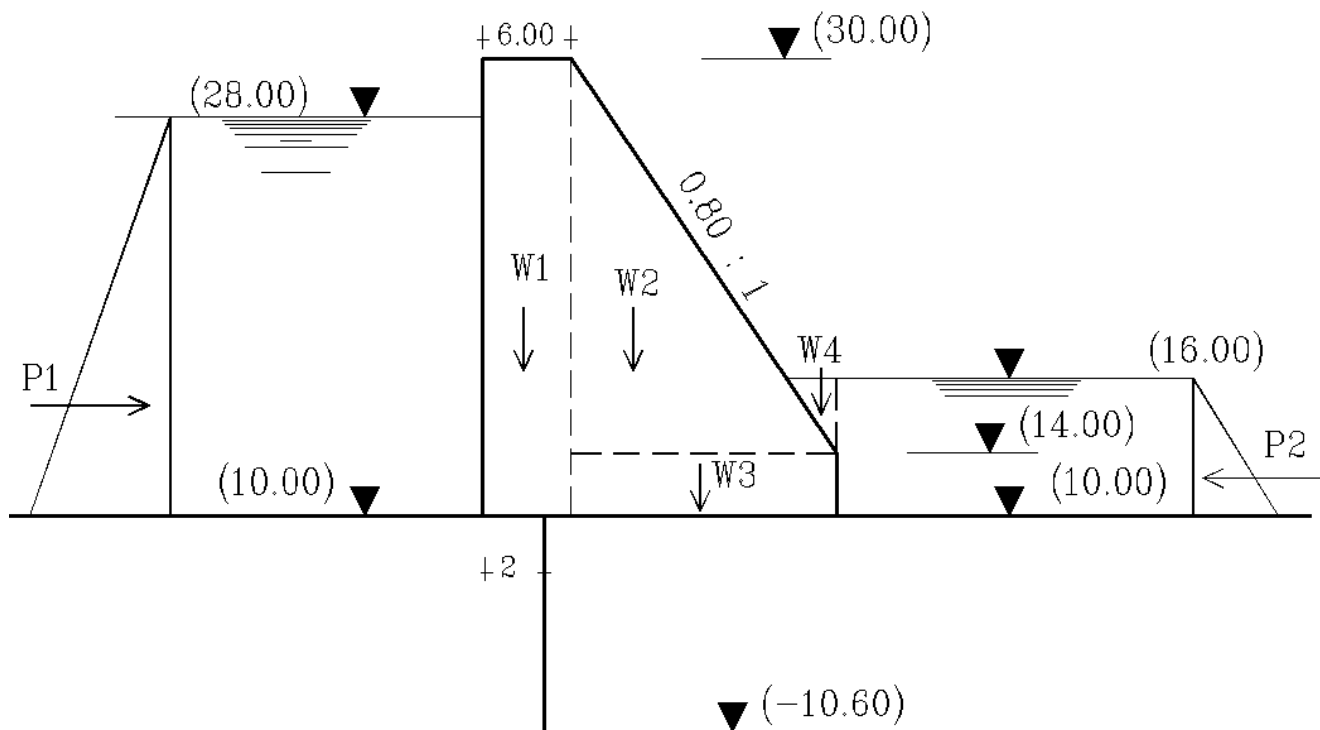


piezometric head diagram



uplift diagram

4- Calculation of the Factor of Safety against sliding and Overturning at base of the Dam



-Vertical Loads

$W1 = 6 \times 20 \times 2.20$	$= 264 \text{ ton}$	↓
$W2 = 0.5 \times 12.8 \times 16 \times 2.20$	$= 225.28 \text{ ton}$	↓
$W3 = 12.8 \times 4 \times 2.20$	$= 112.64 \text{ ton}$	↓
$W4 = 0.5 \times 2 \times 1.6 \times 1$	$= 1.60 \text{ ton}$	↓
$R1 = 6 \times 16.80$	$= 100.80 \text{ ton}$	↑
$R2 = 0.5 \times 16.80 \times 3.36$	$= 28.224 \text{ ton}$	↑
$R3 = 2 \times 17.60$	$= 35.20 \text{ ton}$	↑
$R4 = 0.5 \times 0.40 \times 2$	$= 0.40 \text{ ton}$	↑
ΣN	$= 438.89 \text{ ton}$	↓

-Horizontal Forces

$$\begin{aligned}
 P_1 &= 0.5 \times 18^2 &= 162 \text{ ton} &\rightarrow \\
 P_2 &= 0.5 \times 6^2 &= 18 \text{ ton} &\leftarrow \\
 \Sigma H & &= 144 \text{ ton} &\rightarrow
 \end{aligned}$$

Factor of safety against sliding الانزلاق

$$\text{factor of safety} = \frac{\mu \times \Sigma N}{\Sigma H} = \frac{0.5 \times 438.89}{144} = 1.52 > 1.5 \quad \gg \quad \text{safe}$$

Factor of safety against overturning

Resistance Moments "M _R "			overturning Moments "M _O "		
Force (ton)	Arm (m)	Moment (t.m)	Force (ton)	Arm (m)	Moment (t.m)
W1=264	15.80	4171.2	R1=100.80	8.40	846.72
W2=225.28	8.53	1922.38	R2=28.224	11.20	316.11
W3=112.64	6.40	720.90	R3=35.20	17.80	626.56
W4=1.60	0.53	0.85	R4=0.40	18.13	7.25
P2=18	2	36	P1=162	6	972
ΣM_R		6851.33	ΣM_O		2768.64

$$\text{Factor of safety} = \frac{M_R}{M_O} = \frac{6851.33}{2768.64} = 2.47 \gg (2 - 3) \quad \text{safe}$$

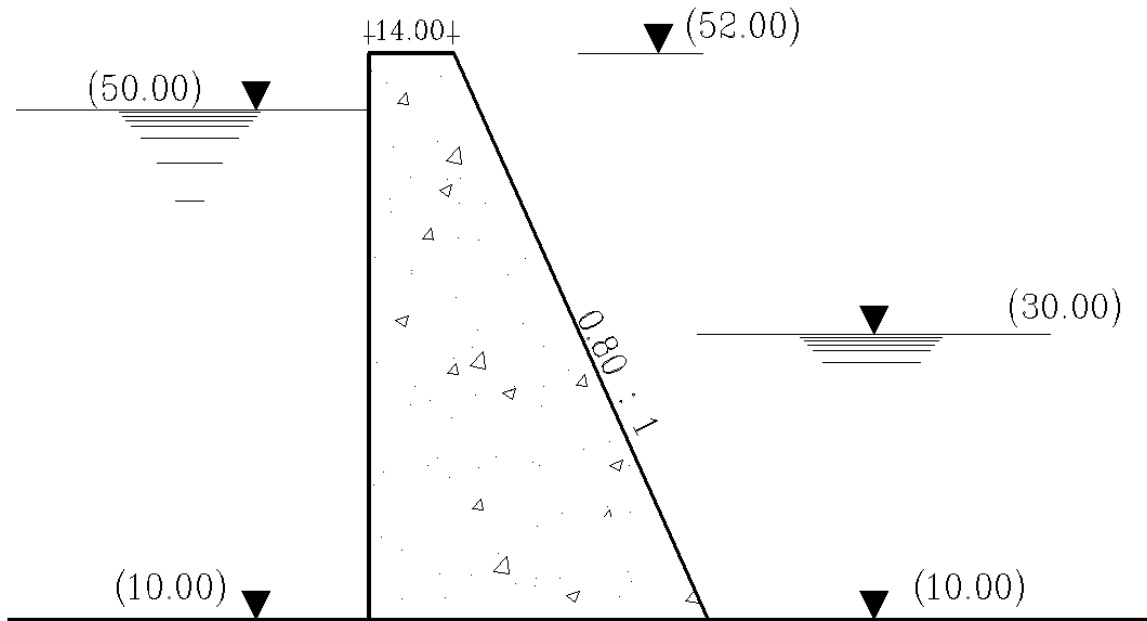
مثال 2

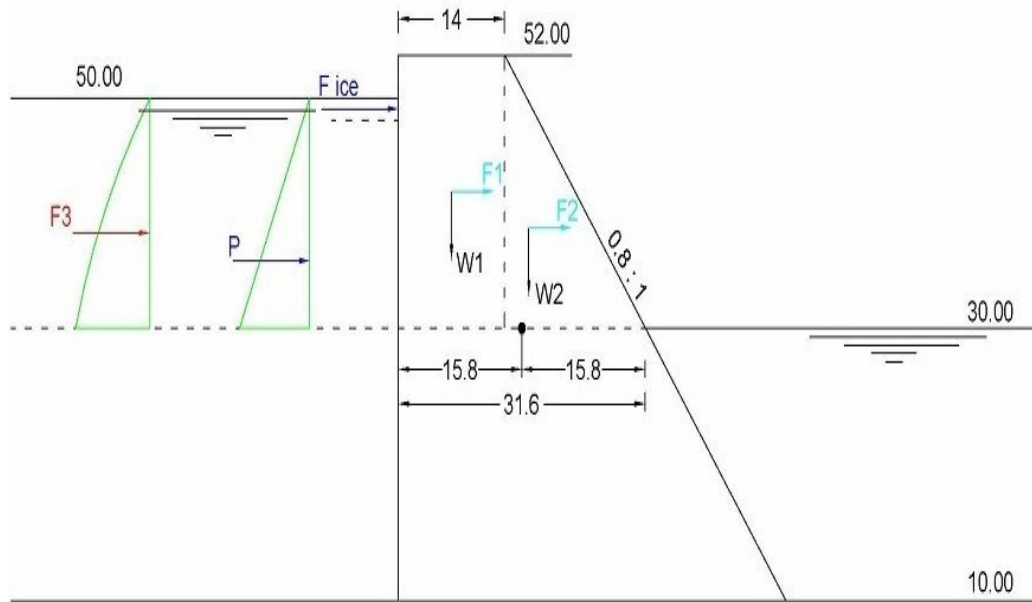
بالنسبة لسد تتاقل:

- منسوب القمة (52,00) متراً، وعرضها 14 متراً.
- أقصى منسوب تخزين (50,00) متراً ومنسوب المياه بالخلف (30,00) متراً.
- الوجه الأمامي رأسى والخلفي يميل بنسبة 0,80 أفقياً إلى 1,00 رأسياً.
- السد قد يتعرض لزلزال عجلته 2 م/ث² من الأمام إلى الخلف.
- توجد ضغوط على الوجه الأمامي شدتها 5 كجم/سم² ناتجة عن طبقة من الثلوج سمكها 1 متر تغطي سطح البحيرة الامامية.

والمطلوب:

- حساب ورسم مؤشر الإجهادات العمودية Normal stress diagram الموجودة عند منسوب (30,00) متر، ومن ثم حساب كل من الإجهادات الرئيسية Principle stresses وإجهادات القص Shear stresses على الوجه الخلفي للسد عند نفس المستوى .
- حساب معامل الأمان من الانقلاب overturning عند منسوب (30,00) متر.
- حساب معامل الأمان من الإنزلاق Sliding عند قاعدة السد.



الحل1-Calculations and Drawing the Stress Diagram at level 30.00 الإجهادات العمودية-properties of Section

$$A = 31.6 \times 1 = 31.6 \text{ m}^2$$

$$I_x = 1 \times (31.6)^3 / 12 = 2629.54 \text{ m}^4$$

$$Y = 31.6 / 2 = 15.8 \text{ m}$$

-Vertical Loads

$$W_1 = 14 \times 22 \times 2.2 = 677.6 \text{ ton} \downarrow$$

$$W_2 = 0.5 \times 17.6 \times 22 \times 2.2 = 425.92 \text{ ton} \downarrow$$

$$N = \sum W = 1103.52 \text{ ton} \downarrow$$

-Horizontal Forces

$$F_1 = 677.6 \times \frac{2}{9.8} = 138.29 \text{ ton} \rightarrow$$

$$F_2 = 425.92 \times \frac{2}{9.8} = 86.92 \text{ ton} \rightarrow$$

$$F_3 = (0.555 \times 20^2) \times \frac{2}{9.8} = 45.31 \text{ ton} \rightarrow$$

$$F_{ice} = 50 \times 1 \times 1 = 50 \text{ ton} \rightarrow$$

$$P = 0.5 \times 20 \times 20 = 200 \text{ ton} \rightarrow$$

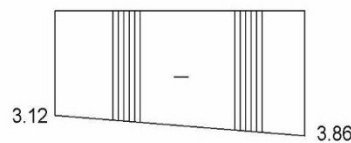
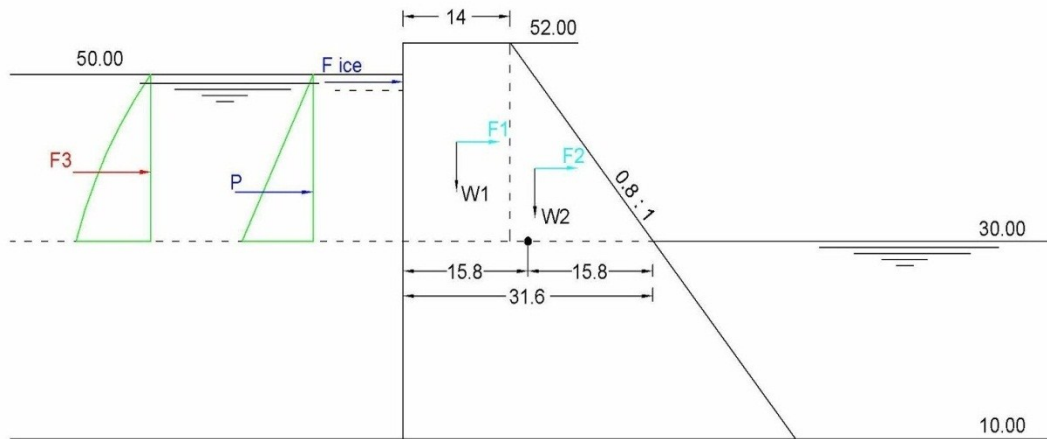
$$M_x = -677.6 \times 8.8 + 425.92 \times 4.06 + 138.29 \times 11 + 86.92 \times 7.33 + 45.31 \times 0.42 \times 20 + 200 \times 6.67 + 50 \times 19.5 = 614.2 \text{ t.m}$$

$$e = M_x / N = 614.2 / 1103.52 = 0.56 \text{ m}$$

$$f_{1,2} = \frac{-N}{B \times 1} \left(1 \pm \frac{6e}{B} \right)$$

$$f_1 = \frac{-1103.52}{31.6 \times 1.0} \left(1 + \frac{6 \times 0.56}{31.60} \right) = -38.6 \text{ t/m}^2 = -3.86 \text{ kg/cm}^2 \quad \text{o.k. Safe}$$

$$f_2 = \frac{-1103.52}{31.6 \times 1.0} \left(1 - \frac{6 \times 0.56}{31.60} \right) = -31.2 \text{ t/m}^2 = -3.12 \text{ kg/cm}^2 \quad \text{o.k. Safe}$$



Stress Distribution at level 30.00

حساب الإجهادات الرئيسية وإجهادات القص - Principle & Shear Stresses

$$\text{Principle stresses } \sigma = -3.86 / \cos^2 38.66 = -6.33 \text{ kg/cm}^2$$

$$\text{Shear stresses } \tau = -3.86 \tan 38.66 = -3.09 \text{ kg/cm}^2$$

2- Calculation of the Factor of Safety against overturning at the same level 30.00

Resistance Moments " M_R "			overturning Moments " M_o "		
Force (ton)	Arm (m)	Moment (t.m)	Force (ton)	Arm (m)	Moment (t.m)
W1=677.6	24.60	16668.96	P=200	6.67	1334
W2=425.92	11.73	4996.04	F1=138.29	11	1521.19
			F2=86.92	7.33	637.12
			F3=45.31	8.40	380.60
			F _{ice} =50	19.50	975
ΣM_R		21665	ΣM_o		4847.91

$$F.S = \frac{M_R}{M_o} = \frac{21665}{4847.91} = 4.47 \quad \text{safe but un-economic}$$

3- Calculation of the Factor of Safety against sliding at base of the Dam**-Vertical Loads**

$$W_1 = 14 \times 42 \times 2.2 = 1293.6 \text{ ton} \downarrow$$

$$W_2 = 0.5 \times 33.6 \times 42 \times 2.2 = 1552.32 \text{ ton} \downarrow$$

$$W_3 = 0.5 \times 16 \times 20 \times 1 = 160 \text{ ton} \downarrow$$

$$R_1 = (0.8 \times 42 + 14) \times 2 = 952 \text{ ton} \uparrow$$

$$R_2 = 0.5 \times 47.6 \times 20 = 476 \text{ ton} \uparrow$$

$$N = 1577.92 \text{ ton} \downarrow$$



$$P_2 = 0.5 \times 20 \times 20 = 200 \text{ ton} \leftarrow$$

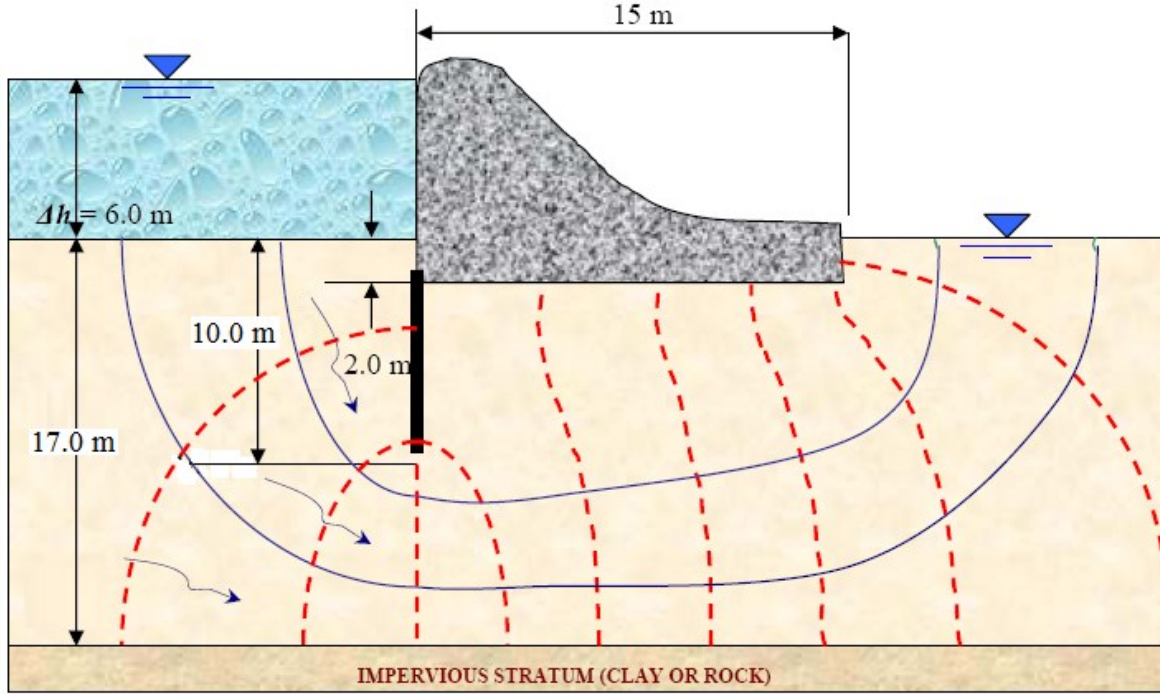
$$F.S = \frac{\mu \times \sum N}{\sum H} = \frac{0.5 \times 1577.92}{1411.4} = 0.55 < 1.5$$

240

مثال 3

الشكل يبين شبكة التدفق لسد تتألف من مزود بقاطع أمامي A steel sheet-Pile cutoff بهدف تقليل فواقد التسرب Seepage losses أسفل السد . فإذا علمت أن عرض السد 500 متر، ومعامل النفاذية $K = 3.50 \times 10^{-4} \text{ cm/s}$ ، فالمطلوب :

- أ- حساب معدل التسرب Seepage rate أسفل السد بوحدة (لتر/سنة).
 ب- هل السد يكون أكثر أماناً إذا استبدل القاطع الأمامي بقاطع خلفي عند مقدمة السد.

الحل

(a) Notice that $\Delta h = 6.0 \text{ m}$, the number of flow channels $N_f = 3$ and the equipotentials $N_{eq} = 10$.

$$q = k \Delta h \frac{N_f}{N_{eq}} = \left(3.5 \times 10^{-4} \frac{\text{cm}}{\text{sec}} \right) \left(\frac{\text{m}}{100 \text{ cm}} \right) (6.0 \text{ m}) \left(\frac{3}{10} \right) = 6.3 \times 10^{-6} \text{ m}^2 / \text{sec} / \text{per m of dam width}$$

Since the dam is 500 meters wide (shore-to-shore) the total flow Q under the dam is,

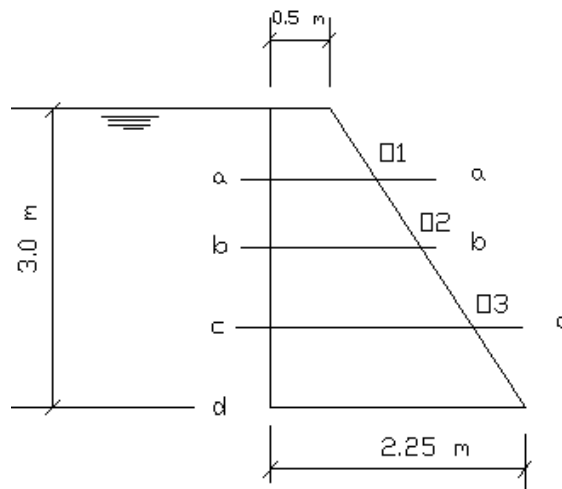
$$Q = Lq = 500 \text{ m} \left[6.3 \times 10^{-6} \text{ m}^3 / \text{sec} \right] \left(\frac{10^3 \text{ liters}}{1 \text{ m}^3} \right) \left(31.5 \times 10^6 \frac{\text{sec}}{\text{year}} \right) = 100 \frac{\text{million liters}}{\text{year}}$$

b) No. Placing the cutoff wall at the toe would allow higher uplift hydrostatic pressures to develop beneath the dam, thereby decreasing the dam's stability against sliding toward the right (down-stream).

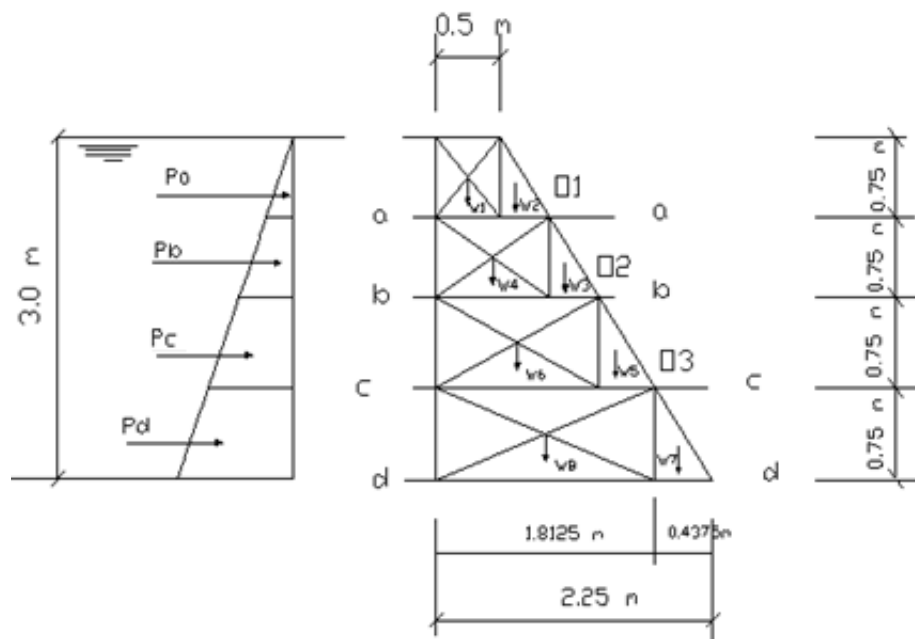
الشكل بين قطاعاً في أحد السدود التثاقيلية الصغيرة المستخدمة في الحماية من أخطار السيول، فإذا علمت أن ارتفاع السد 3 متر وعرض القمة 0.50 متر. **فالمطلوب :**

أ- التحقق من قيم الإجهادات عند القطاعات المختلفة المبينة بالشكل.

ب- رسم خط الضغط Thrust line خلال جسم السد.



The dam profile is divided into four sections a-a , b-b, c-c, and d-d as shown in the figure



Vertical forces:

Consider 1.0 m width

$$W1 = 0.5 * 0.75 * 2.2 = 0.825 \text{ t.}$$

$$W2 = 0.5 * 0.75 * 0.4375 * 2.2 = 0.361 \text{ t.}$$

$$W3 = W5 = W7 = W2 = 0.361 \text{ t.}$$

$$W4 = 0.9375 * 0.75 * 2.2 = 1.55 \text{ t.}$$

$$W6 = 1.375 * 0.75 * 2.2 = 2.269 \text{ t.}$$

$$W8 = 1.8125 * 0.75 * 2.2 = 2.991 \text{ t.}$$

At section a-a :

$$Pa = 0.5 * 0.75 * 0.75 = 0.281 \text{ t.}$$

$$N = W1 + W2$$

$$= 0.825 + 0.361 = 1.186 \text{ t.}$$

$$\sum_{01} = 0.361 * 0.292 + 0.825 * 0.688 - 0.281 * 0.25 = 0.602 \text{ t.m}$$

$$X = \frac{0.602}{1.186} = 0.508 \text{ m}$$

$$e = 0.508 - \frac{0.938}{2} = 0.039 \text{ m}$$

$$f_{1,2} = \frac{-N}{B * 1} \left(1 \pm \frac{6e}{B} \right)$$

$$f_{1,2} = \frac{-1.186}{0.938} \left(1 \pm \frac{6 * 0.039}{0.938} \right)$$

$$f_1 = -1.58 \text{ t/m}^2$$

$$f_2 = -0.95 \text{ t/m}^2$$

At section b-b :

$$Pb = 0.5 * 1.5 * 1.5 = 1.125 \text{ t.}$$

$$N = W1 + W2 + W3 + W4$$

$$= 0.825 + 0.361 + 0.361 + 1.55 = 3.097 \text{ t.}$$

$$\sum_{02} = 0.825 * 1.125 + 0.361 * 0.7292 + 0.361 * 0.292 + 1.55 * 0.906 - 1.125 \\ * .5 = 2.138 \text{ t.m}$$

$$X = \frac{2.138}{3.097} = 0.69 \text{ m}$$

$$e = 0.069 - \frac{1.375}{2} = 0.0025 \text{ m}$$

$$f_{1,2} = \frac{-N}{B * 1} \left(1 \pm \frac{6e}{B}\right)$$

$$f_{1,2} = \frac{-3.097}{1 * 1.375} \left[1 \pm \frac{6 * 0.0025}{1.375}\right]$$

$$f_1 = -2.277 \text{ t/m}^2$$

$$f_2 = -2.227 \text{ t/m}^2$$

At section c - c :

$$P_c = 0.5 * 2.25 * 2.25 = 2.531 \text{ t.}$$

$$N = W_1 + W_2 + W_3 + W_4 + W_5 + W_6$$

$$= 0.825 + 0.361 + 0.361 + 1.55 + 0.36 + 2.269 = 5.724 \text{ t.}$$

$$\sum_{03} = 0.825 * 1.5625 + 0.36 * 1.167 + 1.55 * 1.344 + 0.361 * 0.729 + 0.361 \\ * 0.292 + 2.269 * 1.125 - 2.531 * 0.75 = 4.812 \text{ t.m}$$

$$X = \frac{4.812}{5.724} = 0.841 \text{ m}$$

$$e = \frac{1.813}{2} - 0.841 = 0.066 \text{ m}$$

$$f_{1,2} = \frac{-N}{B * 1} \left(1 \pm \frac{6e}{B}\right)$$

$$f_{1,2} = \frac{-5.724}{1.813 * 1.0} \left(1 \pm \frac{6 * 0.066}{1.813}\right)$$

$$f_1 = -3.847 \text{ t/m}^2$$

$$f_2 = -2.468 \text{ t/m}^2$$

At section d-d :

$$P_d = 0.5 * 3 * 3 = 4.5 \text{ t.}$$

$$N = W_1 + W_2 + W_3 + W_4 + W_5 + W_6 + W_7 + W_8$$

$$= 0.825 + 0.361 + 0.361 + 1.55 + 0.36 + 2.269 + 0.361 + 2.991 = 9.076 \text{ t.}$$

$$\sum_{04} = 0.825 * 2.0 + 0.36 * 1.604 + 0.361 * 1.167 + 1.55 * 1.781 + 0.361 * 0.729 \\ + 2.269 * 1.547 + 0.361 * 0.292 + 2.991 * 1.334 - 4.5 * 1 = 8.84 \text{ t.m}$$

$$X = \frac{8.84}{9.076} = 0.974 \text{ m}$$

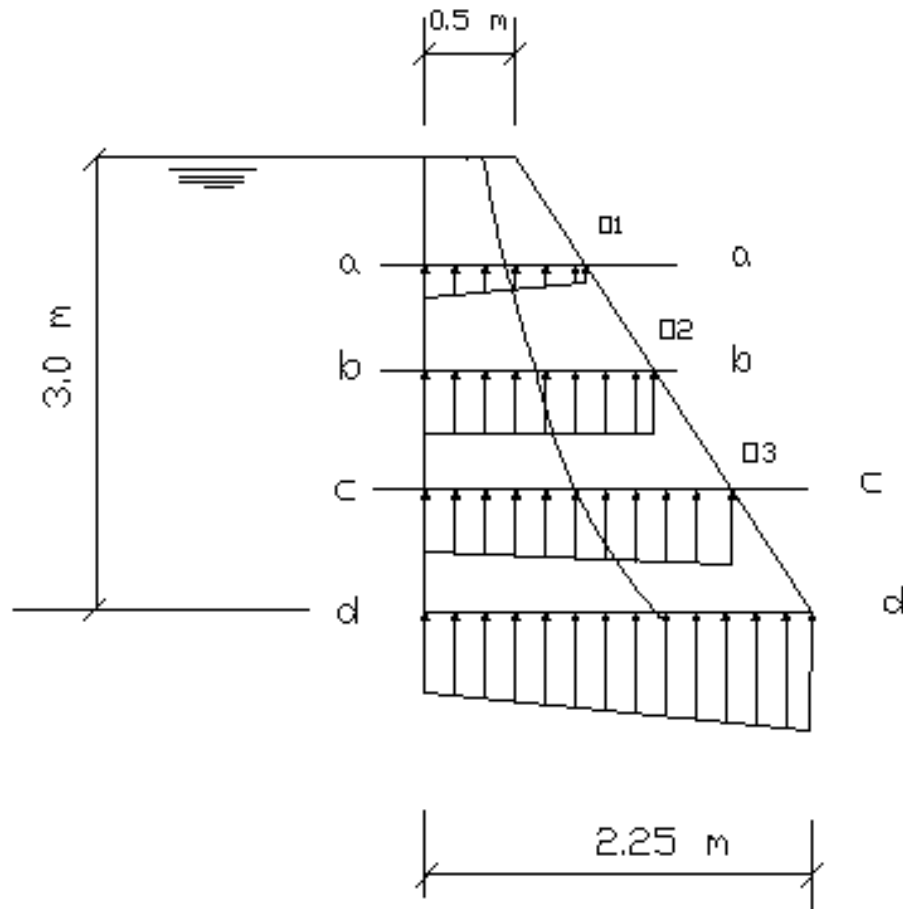
$$e = \frac{2.25}{2} - 0.974 = 0.151 \text{ m}$$

$$f_{1,2} = \frac{-N}{B * 1} \left(1 \pm \frac{6e}{B} \right)$$

$$f_{1,2} = \frac{-9.076}{2.25 * 1.0} \left(1 \pm \frac{6 * 0.151}{2.25} \right)$$

$$f_1 = -5.658 \text{ t/m}^2$$

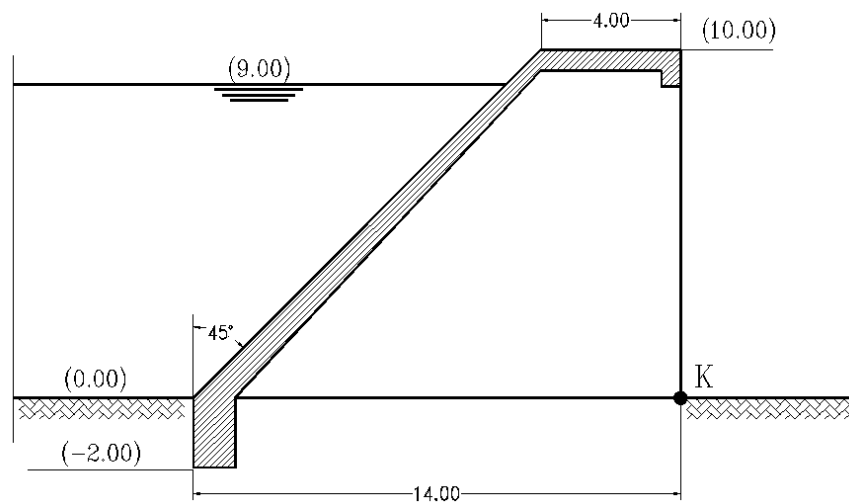
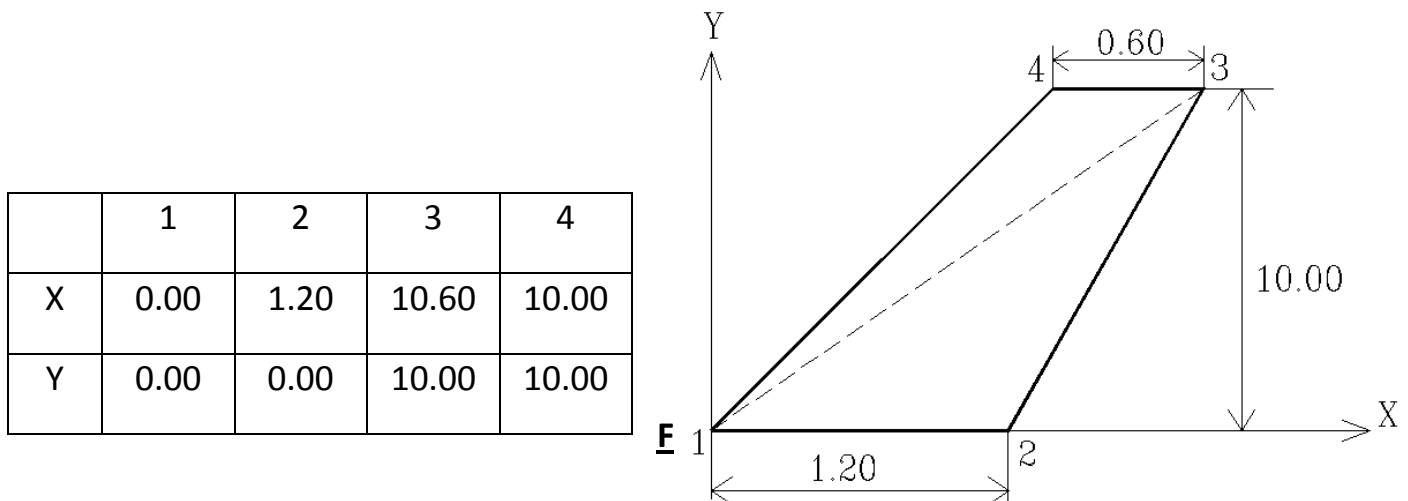
$$f_2 = -2.410 \text{ t/m}^2$$



السدود الدعامية Buttresses Dams**مثال 5**

الشكل بين سداً دعامياً Buttress dam من الخرسانة المسلحة، فإذا علمت أن الخلف جاف، وتبعد الدعائم 4 أمتار وسمك كل منها 1 متر، البلاطة الأمامية متصلة اتصالاً مرناً بالدعائم Flexible connection وسمكها يتغير من منسوب القاعدة حتى القمة من 1.2 إلى 0.60 متراً على التوالي، وسمك بلاطة الطريق 0.40 متر، والدعائم ترتكز على أساسات منفصلة كما هو موضح بالرسم، **فالمطلوب:**

ت- أرسم قطاعاً عرضياً للسد بمقياس رسم مناسب .
ث- حساب معامل الأمان من الانقلاب لقطاع السد.

**الحل****Determination of C.G of the slab:**

$$x_1 = \frac{x_1 + x_2 + x_3}{3} = \frac{0 + 1.20 + 10.60}{3} = 3.93 \text{ m}$$

$$Y_1 = \frac{y_1 + y_2 + y_3}{3} = \frac{0 + 0 + 10}{3} = 3.33 \text{ m}$$

For $\Delta (1,3,4)$

$$x_2 = \frac{x_1 + x_3 + x_4}{3} = \frac{0 + 10.60 + 10.00}{3} = 6.87 \text{ m}$$

$$Y_2 = \frac{y_1 + y_2 + y_3}{3} = \frac{0 + 10 + 10}{3} = 6.67 \text{ m}$$

$$\bar{x} = \frac{x_1 \cdot A_1 + x_2 \cdot A_2}{\Sigma A}$$

$$\bar{Y} = \frac{y_1 \cdot A_1 + y_2 \cdot A_2}{\Sigma A}$$

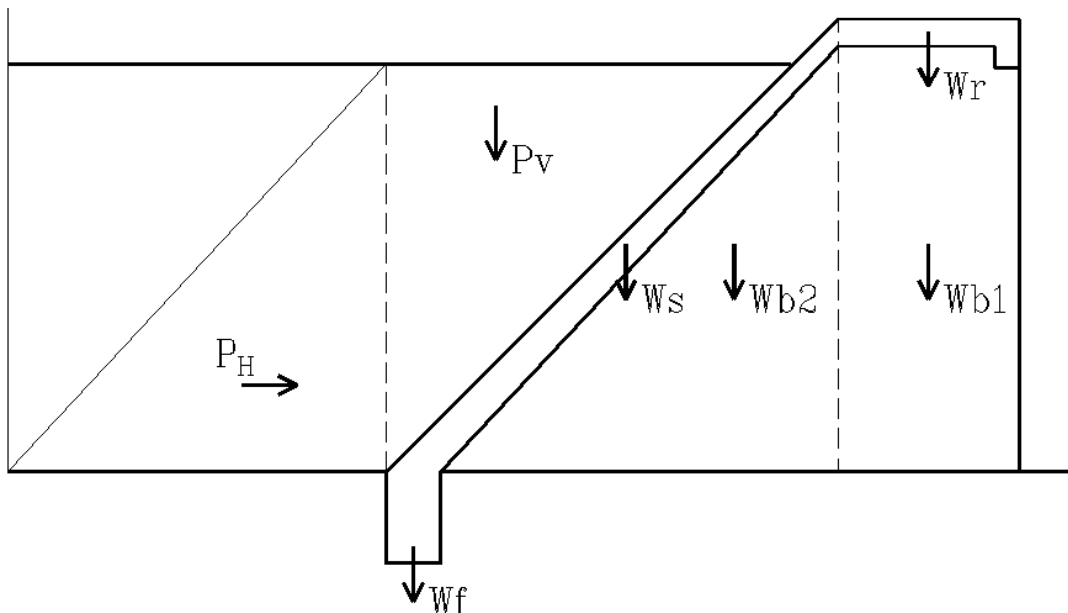
$$A_1 = 0.5 \cdot 1.20 \cdot 10 = 6.00 \text{ m}^2$$

$$A_2 = 0.5 \cdot 0.60 \cdot 10 = 3.00 \text{ m}^2$$

$$\bar{x} = \frac{3.93 \cdot 6.00 + 6.87 \cdot 3.00}{9.00} = 4.91 \text{ m}$$

$$\bar{Y} = \frac{3.33 \cdot 6.00 + 6.67 \cdot 3.00}{9.00} = 4.44 \text{ m}$$

Loads Calculations:



Vertical loads:

$$W_r = 4 \times 0.40 \times 4 \times 2.50 = 16 \text{ ton}$$

$$W_s = 9 \times 4 \times 2.50 = 90 \text{ ton}$$

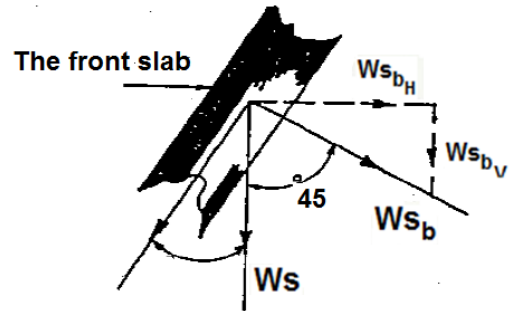
$$W_{sbv} = 90 \times \cos 45 \times \cos 45 = 45 \text{ ton}$$

$$W_{b1} = 4 \times 10 \times 1 \times 2.5 = 100 \text{ ton}$$

$$W_{b2} = 0.50 \times 10 \times 10 \times 1 \times 2.5 = 125 \text{ ton}$$

$$W_f = 2 \times 1.2 \times 4 \times 2.50 = 24 \text{ ton}$$

$$P_v = 0.5 \times 9 \times 9 \times 4 \times 1 = 162 \text{ ton}$$

**Horizontal Loads:**

$$P_H = 0.5 \times 9 \times 9 \times 4 \times 1 = 162 \text{ ton}$$

$$W_{sbH} = 90 \times \cos 45 \times \sin 45 = 45 \text{ ton}$$

Factor of Safety against Overturning

Resistance Moments " M_R "			overturning Moments " M_o "		
Force (ton)	Arm (m)	Moment (t.m)	Force (ton)	Arm (m)	Moment (t.m)
$W_r=16$	2	32	$P_H=162$	3	486
$W_{sbv}=45$	9.09	409.05	$W_{sbH}=45$	4.44	199.80
$W_{b1}=100$	2	200			
$W_{b2}=125$	7.33	916.25			
$W_f=24$	13.4	321.60			
$P_v=162$	11	1782			
ΣM_R		3660.9	ΣM_o		685.80

$$F.S \text{ (overturning)} = 3660.90 \div 685.80 = 5.34 > 2 \quad \text{Very safe}$$

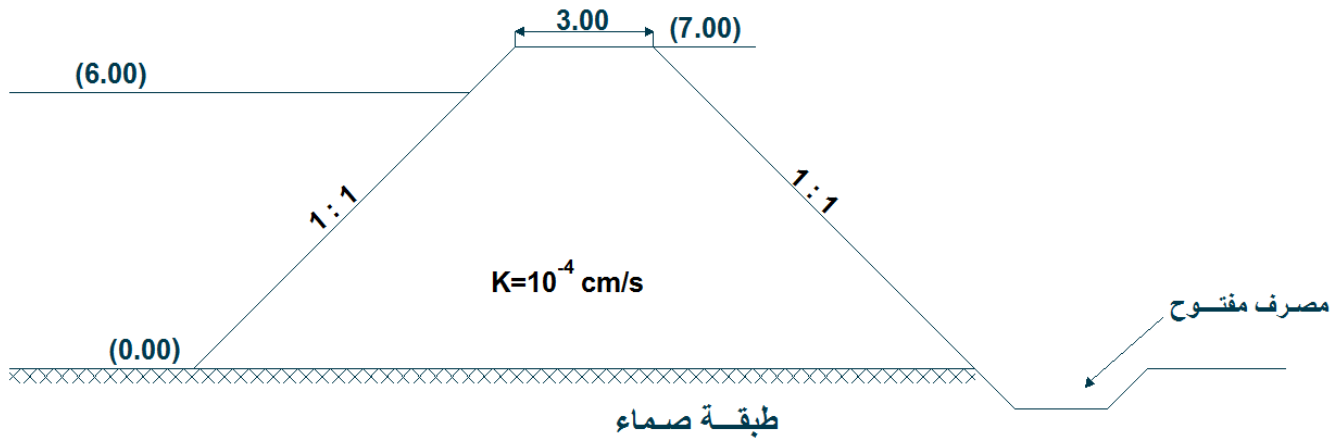
Earth Dams السدود الترابية**مثال 6**

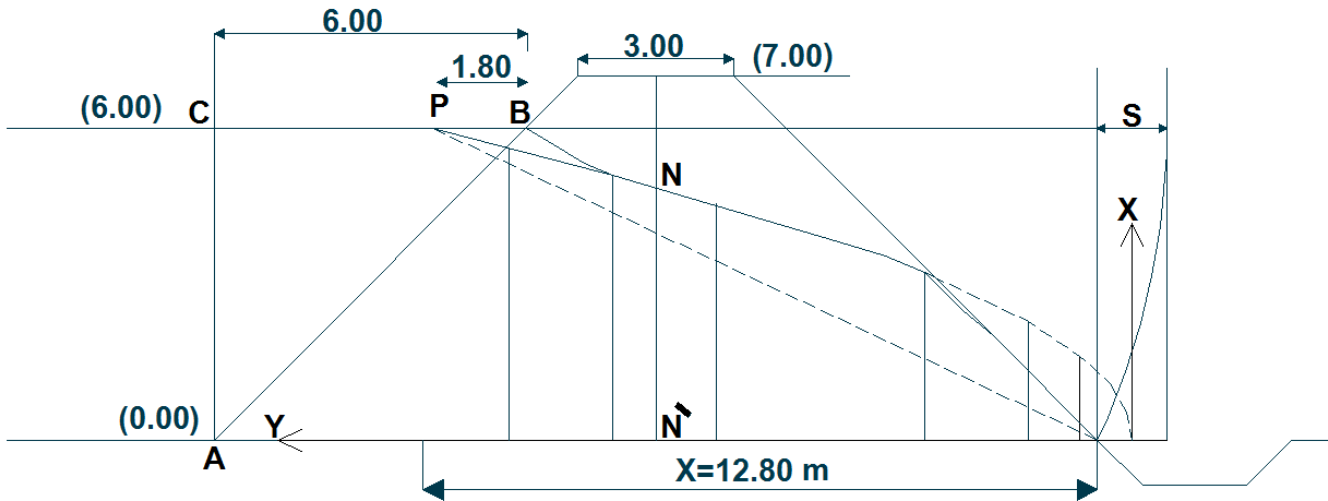
الشكل يبين مسقطاً رأسياً قطاعياً لسد ترابي Earth dam متجانس يرتكز على طبقة صماء والمطلوب:-

أ- حساب ورسم خط الرشح Seepage line ما بين نقطة المدخل الحقيقية وأعلى المصرف الخارجى.

ب- حساب معدل التدفق Flow rate بالمصرف المفتوح عند نهايته إذا علمت أن طول السد 2 كم.

ج - باتخاذ منسوب (0.00) مستوى المقارنة ، إحسب قيمة الضاغط البيزومتري وضاغط الرفع عند كل من النقطتين (N) التى تقع على خط الرشح متسامتة مع منتصف قمة السد و (N⁻) التى تقع فى منتصف القاعدة أى متسامتة مع النقطة (N).



الحل

$$X = 7 + 3 + 1 + 1.80 = 12.80 \text{ m}$$

$$BP = 0.3BC = 0.30 \times 6 = 1.80 \text{ m}$$

$$L = ((X)^2 + (H)^2)^{0.5} - ((X)^2 - (H^2 \coth \theta))^{0.5}$$

$$L = ((12.8)^2 + (6)^2)^{0.5} - ((12.8)^2 - (6^2 \times 1)^2)^{0.5} = 2.83 \text{ m} \quad (\text{طول المصرف الخارجى})$$

$$S = 1.30 \text{ m} \quad (\text{من الرسم})$$

$$Y^2 = 4(S/2) \cdot X$$

X	1	2	4	8	10	12
Y	1.61	2.28	3.22	4.56	5.10	5.59

$$q = K \cdot L \cdot \sin^2 \theta$$

$$K = 10^{-4}/100 = 10^{-6} \text{ m/s}$$

$$Y = 2.83 \text{ m}$$

$$\sin \theta = 1/1.414$$

$$q = 10^{-6} \times 2.83 \times (1/1.414)^2 = 1.415 \times 10^{-6} \text{ m}^3/\text{s/m}$$

$$Q = 1.415 \times 10^{-6} \times 2000 = 2.83 \times 10^{-3} \text{ m}^3/\text{s}$$

At point (N):-

$$P_N = P/\gamma + h = 0.0 + 5 = 5.0\text{m}$$

$$U_N = P/\gamma = 0.0$$

At point (N'):-

$$P_{N'} = P/\gamma + h = 5 + 0.0 = 5.0 \text{ m}$$

$$U_{N'} = P/\gamma = 5.0 \text{ m}$$

مثال 7

بالنسبة لسد ترابى يرتكز على طبقة صماء فإذا علمت أن:-

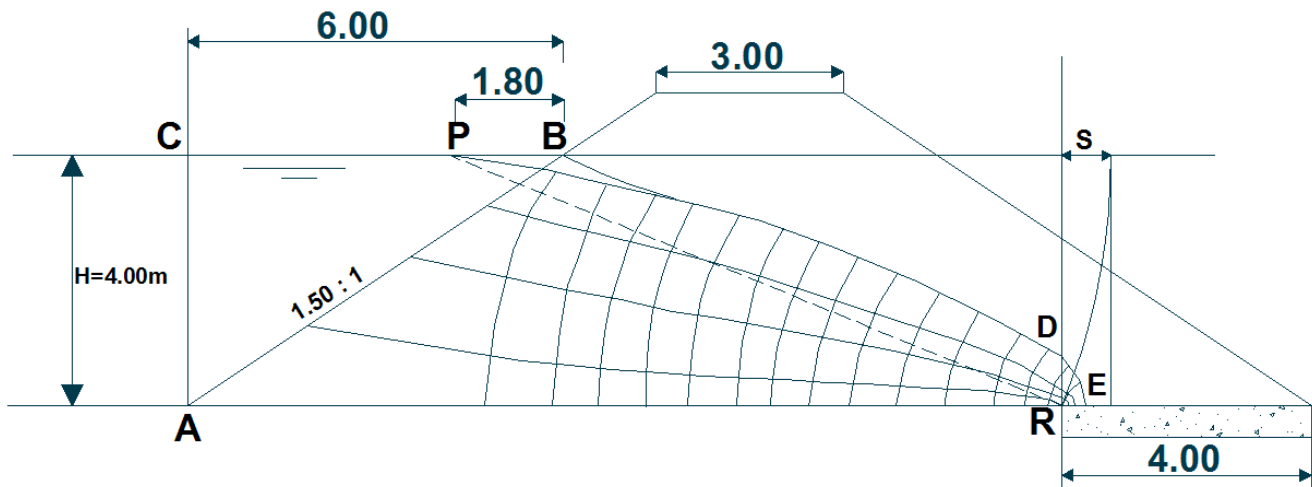
- عرض القمة = 3.00 m
- الميول الجانبية بالأمام والخلف 1.5:1
- الضاغط الذى يجابهه السد 4.00 m بمسافة حرة 1.00 m
- معامل النفاذية = 10^{-4} m/s^2

والمطلوب:-

رسم شبكة التدفق بمقياس 1:100 وحساب معدل التدفق بالمتري المكعب فى الثانية لوحدة من طول السد وذلك لكل من الحالتين:

أ- وجود صرف تحتى يمتد 4.00 m أمام القدمة.

ب- خط الرشح ينتهى عند الميل الخلفى مباشرة.

الحلالحالة الأولى:-From drawing:-

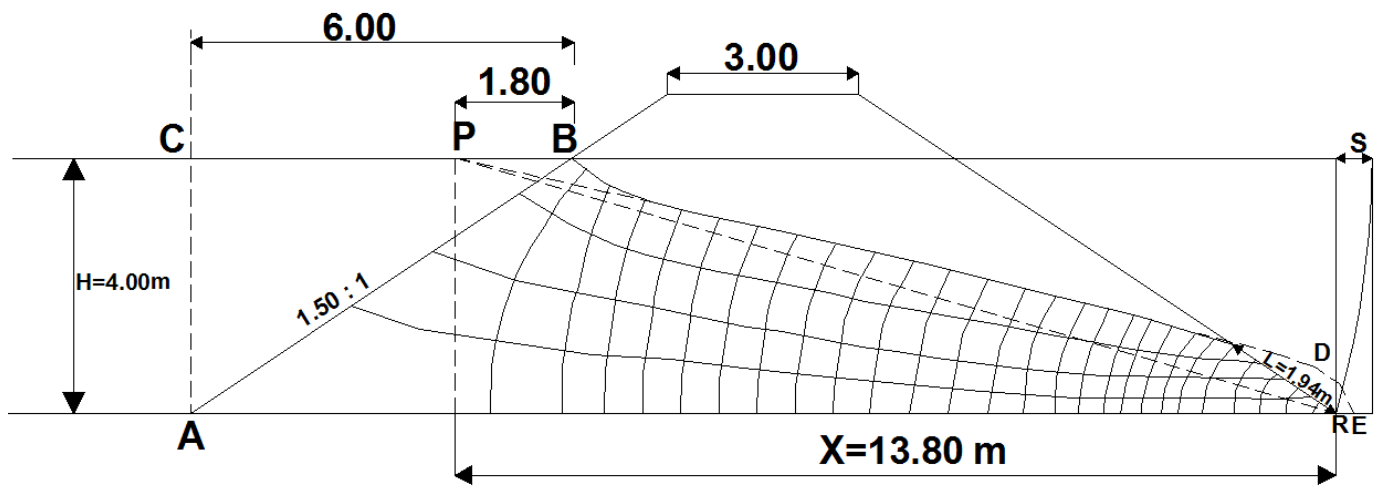
$$S = 0.80 \text{ m}$$

$$q = K \cdot S = 10^{-4} \times 0.8 = 8 \times 10^{-5} \text{ m}^3/\text{s}/\text{m}$$

From flow net:-

$$H = 4.00 \text{ m} \quad N_f = 4.00 \quad N_d = 16.00$$

$$q = K \cdot H \cdot N_f / N_d = 10^{-4} \times 4 \times 4 / 16 = 10^{-4} \text{ m}^3/\text{s}/\text{m}$$

الحالة الثانية:-

From drawing:-

$$L = ((X)^2 + (H)^2)^{0.5} - ((X)^2 - (H^2 \coth \theta))^{0.5}$$

$$X = 13.80 \text{ m} \quad H = 4.0 \text{ m} \quad \theta = \tan^{-1} (1/1.50) = 33.69^\circ = 34.0^\circ$$

$$L = ((13.8)^2 + (4)^2)^{0.5} - ((13.8)^2 - (4^2 \times 1.50^2))^{0.5} = 1.94 \text{ m}$$

$$q = K \cdot L \cdot \sin^2 \theta$$

$$K = 10^{-4} \text{ m/s}^2 \quad Y = 1.94 \text{ m}$$

$$q = 10^{-4} \times 1.94 \times (\sin 34)^\circ = 6.06 \times 10^{-5} \text{ m}^3/\text{s}/\text{m}$$

From flow net:-

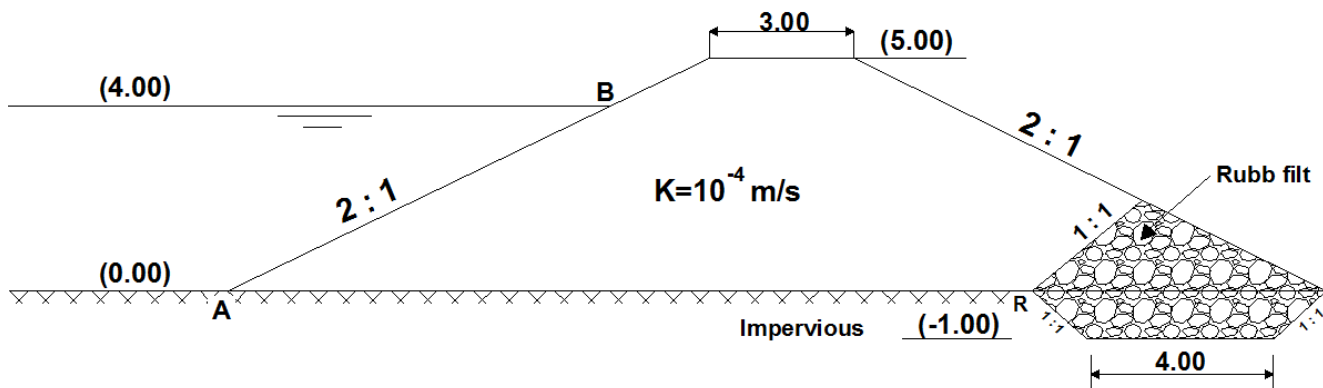
$$H = 4.00 \text{ m} \quad N_f = 4.00 \quad N_d = 27.00$$

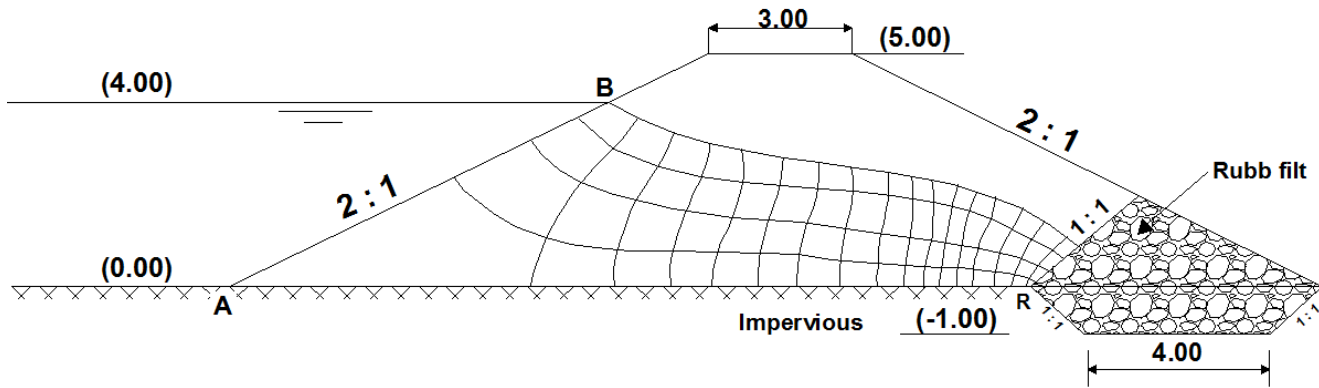
$$q = K \cdot H \cdot N_f / N_d = 10^{-4} \times 4 \times 4 / 27 = 5.93 \times 10^{-5} \text{ m}^3/\text{s}/\text{m}$$

مثال 8

بالنسبة للسد الترابي Earth dam المبين بالشكل ، مطلوب رسم شبكة التدفق Flow net خلال جسم السد ومن ثم حساب معدل التدفق Flow rate خلال جسم السد إذا علمت أن طول المصرف 100 m ، وذلك في الحالتين:

- أ- ارتكاز السد على طبقة صماء عند منسوب (0.00) متر
 ب- ارتكاز السد على طبقة منفذة بعمق 7.00 متر تليها طبقة صماء .



الحلالحالة الأولى:-

$$H = 4.00$$

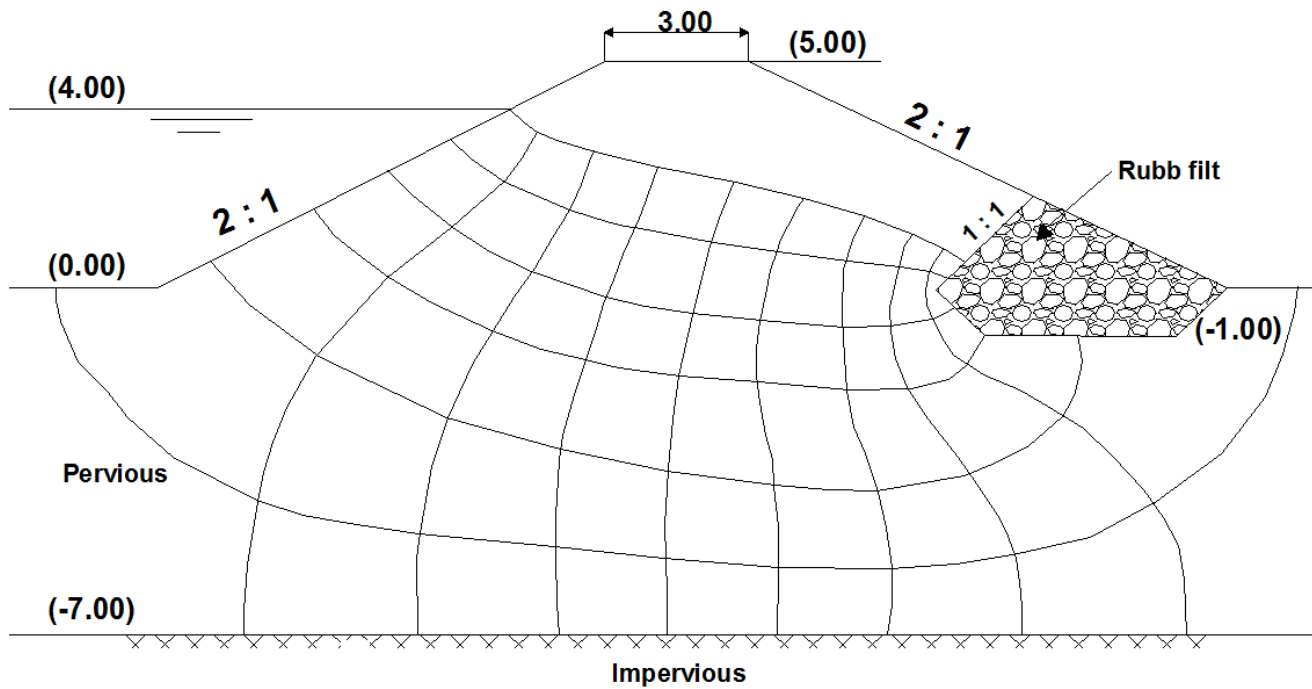
$$N_f = 4$$

$$N_d = 17$$

$$K = 10^{-4} \text{ m/s}$$

$$q = K \cdot H \cdot N_f / N_d = 10^{-4} \times 4 \times 4 / 17 = 9.41 \times 10^{-5} \text{ m}^3/\text{s}/\text{m}$$

$$Q = 9.41 \times 10^{-5} \times 100 = 0.00941 \text{ m}^3/\text{s} = 9.41 \text{ Lit/s}$$

الحالة الثانية:-

$$H = 4.00$$

$$N_f = 6$$

$$N_d = 9$$

$$K = 10^{-4} \text{ m/s}$$

$$q = K \cdot H \cdot N_f / N_d = 10^{-4} \times 4 \times 6 / 9 = 2.67 \times 10^{-4} \text{ m}^3/\text{s}/\text{m}$$

$$Q = 2.67 \times 10^{-4} \times 100 = 0.0267 \text{ m}^3/\text{s} = 26.70 \text{ Lit/s}$$

ثالثاً: القناطر Regulators**مثال 1**

مطلوب إجراء الحسابات الهيدروليكية الكاملة A complete hydraulic design لقنطرة تحكم Control regulator على إحدى القنوات الرئيسية ، إذا علم أن:

- أقصى قيمة مسموح بها للارتداد Heading up هي 10 سم.
- عرض الفتحة الواحدة من القنطرة = 6 م.
- أقصى وأدنى تصرف هو 70 ، 55 م³/ث، على الترتيب.
- بيانات القناة معطاه في الجدول التالي:

Bed		Water		Berm		Bank		Side slope
Level	Width (m)	H.W.L	L.W.L	Level	Width (m)	Level	Width (m)	
16.00	21.00	19.70	19.40	20.20	4.00	21.20	10.00	2 : 1

الحل

$$Q_{\max} = 70 \text{ m}^3/\text{sec}, \quad Q_{\min} = 55 \text{ m}^3/\text{sec}$$

For maximum discharge of the down stream canal of regulator

$$A_c = (21 + 2 \times 3.7) \times 3.70 = 105.08 \text{ m}^2$$

$$V_c = 70 / 105.08 = 0.67 \text{ m/sec}$$

$$\text{Assume } V_v = 1.20 \text{ m/sec}$$

$$A_v = 70 / 1.20 = 58.33 \text{ m}^2$$

$$= n \times s \times d$$

$$S = 6.0 \text{ m} \quad \text{given}$$

$$n = \frac{58.33}{6 \times 3.7} = 2.62$$

$$\text{Take } n = 3$$

Then, actual area of vents

$$a_v = 3 \times 6 \times 3.70 = 66.6 \text{ m}^2$$

$$V_v = 70 / 66.60 = 1.05 \text{ m/sec} < 1.50 \text{ m/sec}$$

i- check of Geometry

$$(3*6 + 2*1.5) = 21.0\text{m} = 21\text{m} \quad (\text{width of canal})$$

ii- check of contraction

$$\alpha = \frac{105.08 - 66.6}{105.08} = 36.6\% < 45\%$$

iii- Check of heading -up

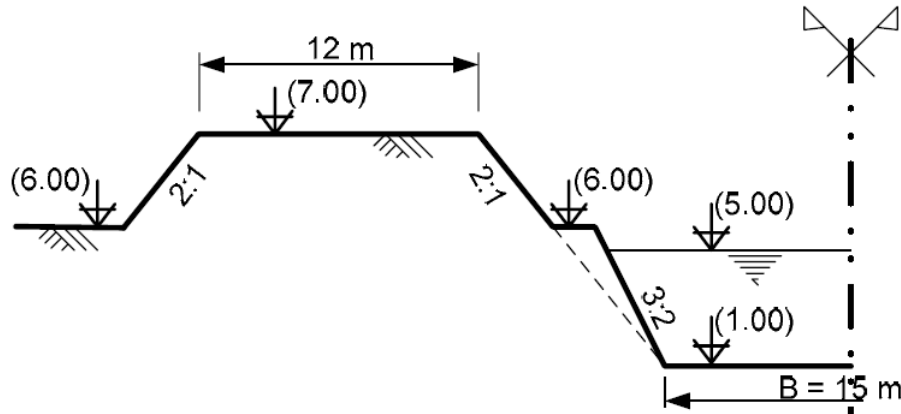
$$h_u = \frac{V_c^2}{2gc^2} \left[\left(\frac{A_c}{a_v} \right)^2 - 1 \right]$$

$$= \frac{0.67^2}{2g(0.92)^2} \left[\left(\frac{105.08}{66.60} \right)^2 - 1 \right]$$

$$= 4.0\text{cm} < 10\text{cm}$$

مثال 2

يُراد عمل قنطرة على إحدى القنوات الرئيسية Main regulator المبين قطاعها في الشكل ، فإذا علمت أن أقصى تصرف يمر بالقناة هو 45 م³/ث. فالمطلوب إجراء الحسابات الهيدروليكية الكاملة للقنطرة، مع رسم قطاع عرضي للقنطرة.



الحل

Hydraulic design:

$$A_c = 4 * (15 + (1.5 * 4)) = 84 \text{ m}^2$$

$$v_c = \frac{45}{84} = 0.536 \text{ m/sec}$$

$$v_v = (2 - 3)v_c = 1.07 - 1.50 = 1.2 \text{ m/sec}$$

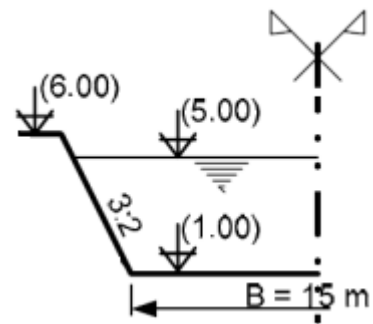
$$A_v = \frac{Q}{v_v} = \frac{45}{1.2} = 37.50 \text{ m}^2$$

$$37.50 = n * s * H = 1 * s * 4$$

$$s = 9.375 \text{ m. take } n = 2 \quad n * s = 2 * 4.50$$

1- Check of velocity

$$v = \frac{37.50}{2 * 4.50 * 4} = 1.04 \text{ m/sec} < 1.5 \quad (o.k)$$



2- Heading up

$$H_{up} = \frac{v_c^2}{2gc} * \left\{ \left(\frac{A}{a} \right)^2 - 1 \right\}$$

$$= \frac{0.536^2}{2 * 9.8 * 0.92^2} * \left\{ \left(\frac{84}{2 * 4.5 * 4} \right)^2 - 1 \right\} = 0.07 \text{ m.} \quad \text{ok.}$$

3- Check of geometry

$$L_t = 2 * 4.50 + 1 * 1.25 = 10.25 \text{ m.} < 15 \text{ m.} \quad (\text{ok.})$$

4- Check of contraction

$$\frac{84 - 2 * 4.5 * 4}{84} = 0.57 > 0.45$$

Empirical Dimensions الأبعاد الافتراضية

$$b_1 = 0.18 * 4.50 + 0.50 = 1.31 \text{ m}$$

$$\text{take } b_1 = 1.35 \text{ m.}$$

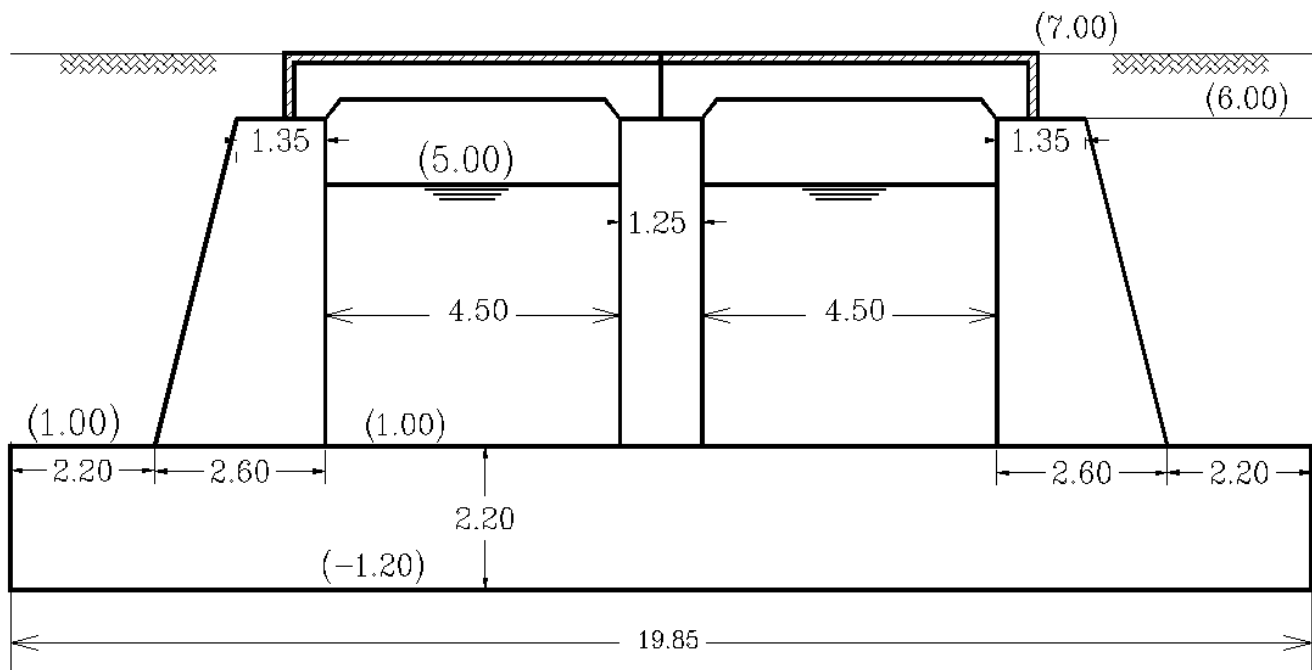
$$b_2 = 1.31 + 0.25 * 5 = 2.56 \text{ m}$$

$$\text{take } b_2 = 2.60 \text{ m.}$$

$$t = \frac{S}{4} + 0.5\sqrt{h} = \frac{4.5}{4} + 0.5\sqrt{4} = 2.13 \text{ m.}$$

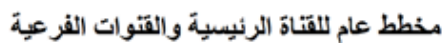
$$t = \sqrt{h} = \sqrt{4} = 2.00 \text{ m.}$$

$$\text{take } t = 2.20 \text{ m.}$$

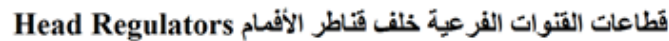


قناة رئيسية A-B تحمل تصرفاً مقداره 64 م³/ث، ويُراد توزيع هذا التصرف على ثلاث قنوات فرعية B-C، B-D و B-E بمعدل 16، 26 و 22 م³/ث على الترتيب لكل منها وذلك عن طريق عمل قناة فم Head regulator على رأس كل قناة فرعية (قطاعات هذه القنوات موضحة بالأشكال التالية).

- إجراء الحسابات الهيدروليكية لهذه القناطر A complete hydraulic design، بحيث لا تزيد قيمة الارتداد heading up عن 10 سم.



قطاع القناة الرئيسية A-B أمام قناطر الأقمم Head Regulators



الحل**Hydraulic design for canal (B-C):**

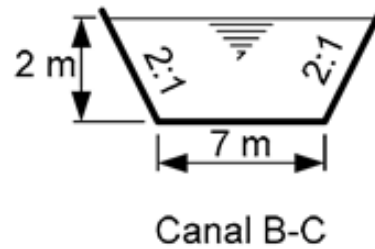
$$A_c = 2 * (7 + (2 * 2)) = 22 \text{ m}^2$$

$$v_c = \frac{16}{22} = 0.727 \text{ m/sec}$$

$$v_v = (2 - 3)v_c = 1.45 - 1.50 = 1.45 \text{ m/sec}$$

$$A_v = \frac{Q}{v_v} = \frac{16}{1.45} = 11.03 \text{ m}^2$$

$$11.03 = n * S * H = 1 * S * 2 \quad S = 5.50 \text{ m}$$

**1- Check of velocity**

$$v = \frac{16}{1 * 5.50 * 2} = 1.45 \text{ m/sec} < 1.5 \quad (o.k.)$$

2- Heading up

$$\eta = \frac{Q_i}{Q_T} = \frac{16}{64} = 0.25$$

$$H_{up_i} = \frac{V_c^2}{2gC^2} \left[\left(\frac{\eta_i \cdot A_c}{A v_i} \right)^2 - \cos^2 \theta_i \right]$$

$$H_{up} = \frac{0.727^2}{2 \times 9.81 \times 0.92^2} \left[\left(\frac{0.25 \times 22}{11} \right)^2 - \cos^2 65 \right] = 0.002 \text{ m} = 0.20 \text{ cm} < 10 \text{ cm}$$

3- Check of geometry

$$L_t = 1 \times 5.50 = 5.50 \text{ m.} < 7 \text{ m.} \quad (ok.)$$

4- Check of contraction

$$\frac{22 - 1 \times 5.50 \times 2}{22} = 0.50 > 0.45$$

Hydraulic design for canal (B-D):

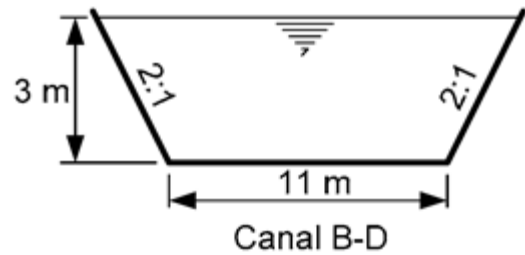
$$A_c = 3 * (11 + (2 * 3)) = 51 \text{ m}^2$$

$$v_c = \frac{26}{51} = 0.51 \text{ m/sec}$$

$$v_v = (2 - 3)v_c = 1.02 - 1.50 = 1.25 \text{ m/sec}$$

$$A_v = \frac{Q}{v_v} = \frac{26}{1.25} = 20.80 \text{ m}^2$$

$$20.80 = n * S * H = 1 * S * 3 \quad S = 6.00 \text{ m}$$

**1- Check of velocity**

$$v = \frac{26}{1 * 6.00 * 3} = 1.44 \text{ m/sec} < 1.5 \quad (o.k)$$

2- Heading up

$$\eta = \frac{Q_i}{Q_T} = \frac{26}{64} = 0.41$$

$$H_{up_i} = \frac{V_c^2}{2gC^2} \left[\left(\frac{\eta_i \cdot A_c}{A v_i} \right)^2 - \cos^2 \theta_i \right]$$

$$H_{up} = \frac{0.51^2}{2 \times 9.81 \times 0.92^2} \left[\left(\frac{0.41 \times 51}{18} \right)^2 - \cos^2 0 \right] = 0.005 \text{ m} = 0.5 \text{ cm} < 10 \text{ cm}$$

3- Check of geometry

$$L_t = 1 \times 6.00 = 6.00 \text{ m.} < 11 \text{ m.} \quad (\text{ok.})$$

4- Check of contraction

$$\frac{51 - 1 \times 6.00 \times 3}{51} = 0.65 > 0.45$$

Hydraulic design for canal (B-E):

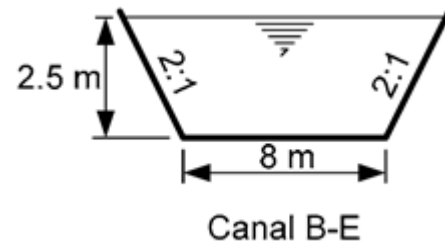
$$A_c = 2.50 * (8 + (2 * 2.50)) = 32.50 \text{ m}^2$$

$$v_c = \frac{22}{32.5} = 0.677 \text{ m/sec}$$

$$v_v = (2 - 3)v_c = 1.35 - 1.50 = 1.40 \text{ m/sec}$$

$$A_v = \frac{Q}{v_v} = \frac{22}{1.40} = 15.71 \text{ m}^2$$

$$15.71 = n * S * H = 1 * S * 2.50 \quad S = 6.00 \text{ m}$$

**1- Check of velocity**

$$v = \frac{22}{1 * 6.00 * 2.5} = 1.47 \text{ m/sec} < 1.5 \quad (o.k)$$

2- Heading up

$$\eta = \frac{Q_i}{Q_T} = \frac{22}{64} = 0.34$$

$$H_{up_i} = \frac{V_c^2}{2gC^2} \left[\left(\frac{\eta_i \cdot A_c}{A_{v_i}} \right)^2 - \cos^2 \theta_i \right]$$

$$H_{up} = \frac{0.677^2}{2 \times 9.81 \times 0.92^2} \left[\left(\frac{0.34 \times 32.5}{15} \right)^2 - \cos^2 75 \right] = 0.013 \text{ m} = 1.30 \text{ cm} < 10 \text{ cm}$$

3- Check of geometry

$$L_t = 1 \times 6.00 = 6.00 \text{ m.} < 8 \text{ m.} \quad (ok.)$$

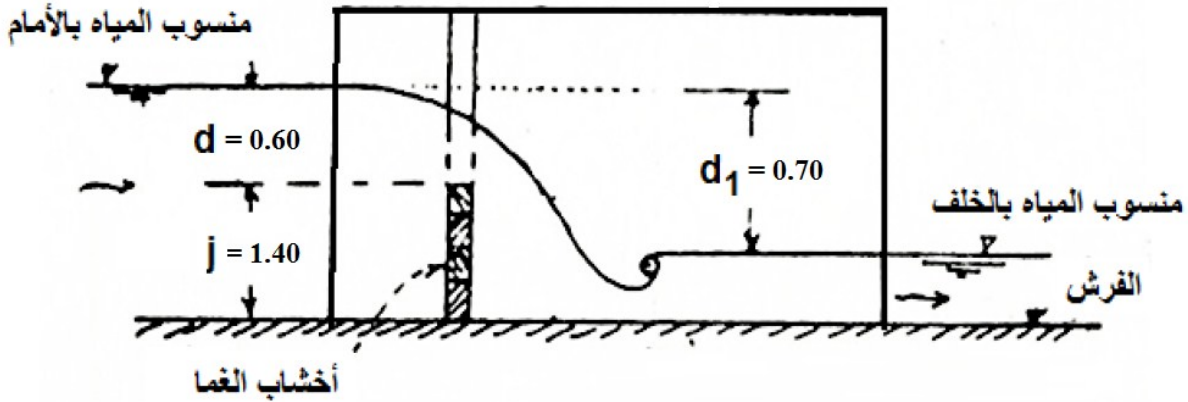
4- Check of contraction

$$\frac{32.5 - 1 \times 6.00 \times 2.5}{32.5} = 0.54 > 0.45$$

مثال 4

قنطرة رى ذات فتحة واحدة A single-vent regulator عرضها 2.50 متر، وارتفاع أخشاب الغما Flush boards المستخدمة فى عملية الموازنة هو 1.40 متر ، والفرق بين منسوب المياه بالأمام والخلف 0.70 متر.

والمطلوب: حساب معدل التدفق الكلى إذا كان منسوب المياه بالأمام = 2 متر.

الحل

$$d_1 = 2.00 \text{ m.}$$

$$j = 1.40 \text{ m}$$

$$d = 2 - 1.40 = 0.60 \text{ m}$$

$$d/j = 0.60 / 1.40 = 0.429$$

$$d_1/j = 0.70 / 1.40 = 0.50$$

ومن الشكل 4-24 (صفحة 95) يتم إيجاد $C_d = 0.465$

$$Q = L.q = L.C_d.\sqrt{2g}.d^{3/2}$$

$$Q = 2.50 \times 0.465 \times \sqrt{2 \times 9.81} \times 0.60^{3/2} = 2.392 \text{ m}^3 / \text{sec.}$$

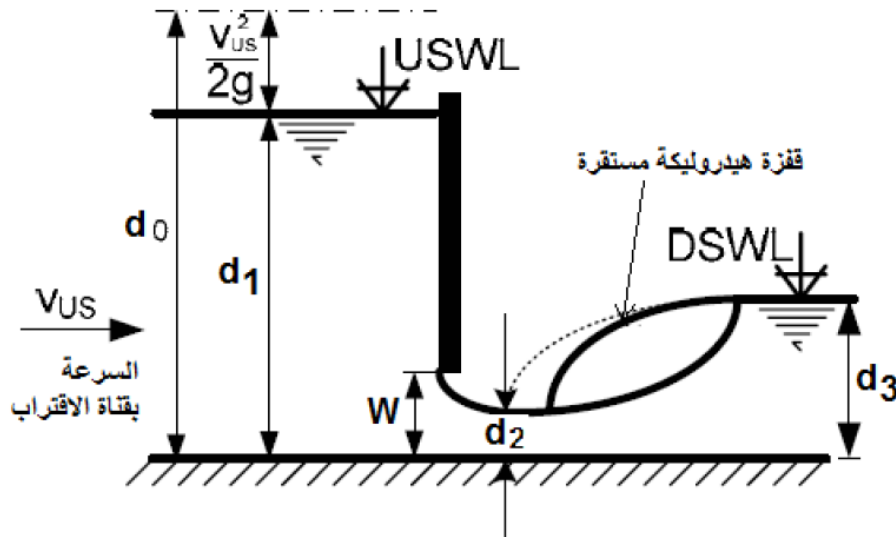
مثال 5

قنطرة رى ذات فتحتين A double-vent regulator عرض كل منها ثلاثة أمتار، ومركب عليها بوابة رأسية Vertical sluice gate، والبوابات مرفوعة لتعطى فتحة مقدارها 0.75 متراً لكل منها، وعمق التدفق بقناة الاقتراب 3 متر.

والمطلوب: حساب معدل التدفق الكلى خلال القنطرة لكل من الحالتين التاليتين:

أ- عمق التدفق بالقناة الخلفية = 2.50 متر.

ب- عمق التدفق بالقناة الخلفية مساوياً للعمق الملازم Conjugate depth لعمق القفزة الهيدروليكية الأمامى d_2 .

الحل

فى البداية يتم حساب العمق الملازم Conjugate depth " d_4 " لتكوين قفزة هيدروليكية مستقرة خلف البوابة Perfect hydraulic jump كالتالى:

أولاً: يتم حساب معدل التدفق فى حالة التدفق الحر:

$$d_2 = 0.61 \times 0.75 = 0.46 \text{ m}$$

$$d_1/W = 3/0.75 = 4$$

ثم ندخل بهذه القيمة ($d_1/W = 4$) إلى الشكل 4-27 (صفحة 98) ومن منحنيات التدفق الحر Free flow نجد أن $C_d = 0.53$

$$Q = L.q = L.C_d.W.\sqrt{2gd_1}$$

$$q = 0.53 \times 0.75 \times \sqrt{2 \times 9.81 \times 3} = 3.048 \text{ m}^3 / \text{sec} / \text{m}.$$

ثانياً: يتم حساب العمق الملازم "d4" من المعادلة التالية:

$$d_4 = \sqrt{\frac{2q^2}{g.d_2} + \frac{d_2^2}{4}} - \frac{d_2}{2}$$

$$d_4 = \sqrt{\frac{2 \times 3.048^2}{9.81 \times 0.46} + \frac{0.46^2}{4}} - \frac{0.46}{2} = 1.84 \text{ m}$$

أ- عمق التدفق بالقناة الخلفية = 2.50 متر.

عمق التدفق بالقناة الخلفية أكبر من العملاق الملازم ($d_3 > d_4$) وبالتالي يكون التدفق مغمور Submerged flow

$$d_3/W = 2.50/0.75 = 3.33, \quad d_1/W = 4$$

ومن الشكل 27-4 (صفحة 98) ومن منحنيات التدفق المغمور Submerged flow نجد أن $C_d = 0.30$

$$q = 0.30 \times 0.75 \times \sqrt{2 \times 9.81 \times 3} = 1.725 \text{ m}^3 / \text{sec} / \text{m}.$$

$$Q = 1.725 \times 6 = 10.35 \text{ m}^3 / \text{sec}.$$

ب- عمق التدفق بالقناة الخلفية مساوياً للعمق الملازم Conjugate depth لعمق القفزة الهيدروليكية الأمامي d2.

عمق التدفق بالقناة الخلفية مساوياً للعملاق الملازم ($d_4 = d_3$) وبالتالي يكون التدفق حر Free flow حيث أنه عندما يكون ($d_4 \geq d_3$) فإن التدفق يعتمد في هذه الحالة فقط على منسوب المياه بالأمام

$$d_1/W = 4$$

$$C_d = 0.53$$

$$Q = L.q = L.C_d.W.\sqrt{2gd_1}$$

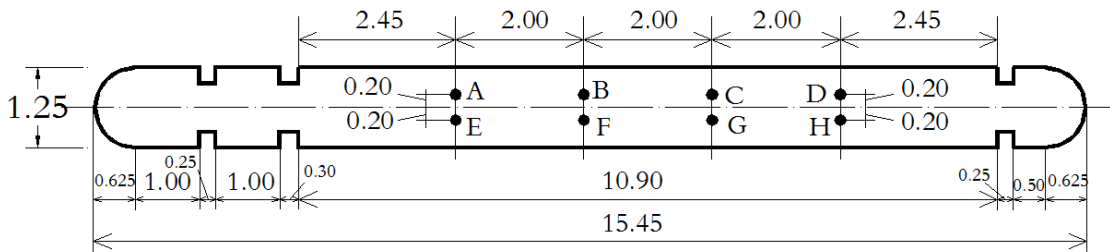
$$q = 0.53 \times 0.75 \times \sqrt{2 \times 9.81 \times 3} = 3.048 \text{ m}^3 / \text{sec} / m.$$

$$Q = 3.048 \times 6 = 18.288 \text{ m}^3 / \text{sec}.$$

مثال 6

الشكل يبين مسقطاً أفقياً لركيزة من الخرسانة العادية بإحدى قناطر الحجز الكلى، منسوب قمة الركيزة (8.00) متر وعرض الركيزة 1.25 متر، أقصى منسوب للمياه أمامها (7.49) متر، والفرش أفقى بكامل طوله بمنسوب (3.80) متر، كل فتحات القنطرة ذات عرض 3.00 أمتار. فإذا علمت أن القوى التى تؤثر بها كمرات الكوبرى عند أى من نقاط الارتكاز (A, B, C, D, E, F, G, H) تكون 6 طن من الأحمال الثابتة Dead load تصل إلى 11 طن عند إضافة تأثير الأحمال المتحركة Live load **فالمطلوب:**

- التحقق من ملائمة الإجهادات العمودية عند قاعدة الركيزة والنتيجة من مختلف حالات التحميل الممكنة.

الحل

- **التحقق من استقرار الركيزة Check stability of pier**

$$A = 1.25 \times 10.90 = 13.625 \text{ m}^2$$

$$I_{xx} = (10.90 \times 1.25^3)/12 = 1.77 \text{ m}^4$$

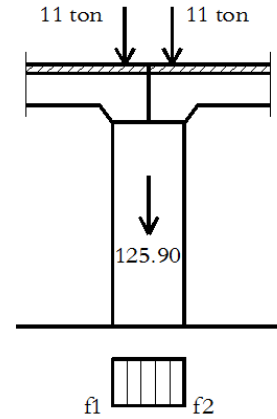
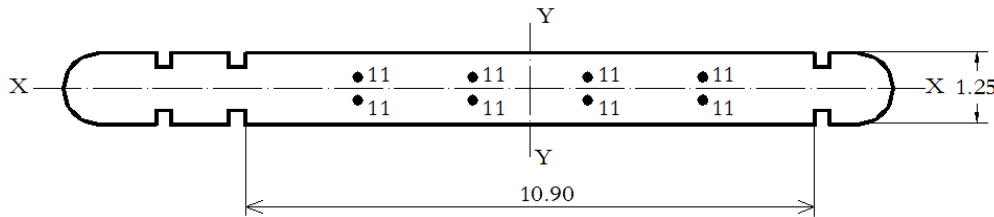
$$I_{yy} = (1.25 \times 10.90^3)/12 = 134.90 \text{ m}^4$$

$$Y = 1.25/2 = 0.625 \text{ m}$$

$$X = 10.90/2 = 5.45 \text{ m}$$

Case 1 : Max. Normal Stresses حالة أقصى إجهادات عمودية

في هذه الحالة يتم تحميل كل من فتحتي الكوبرى بالأحمال الحية Live load والميتة Dead load

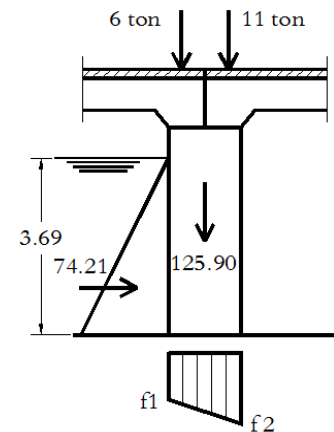
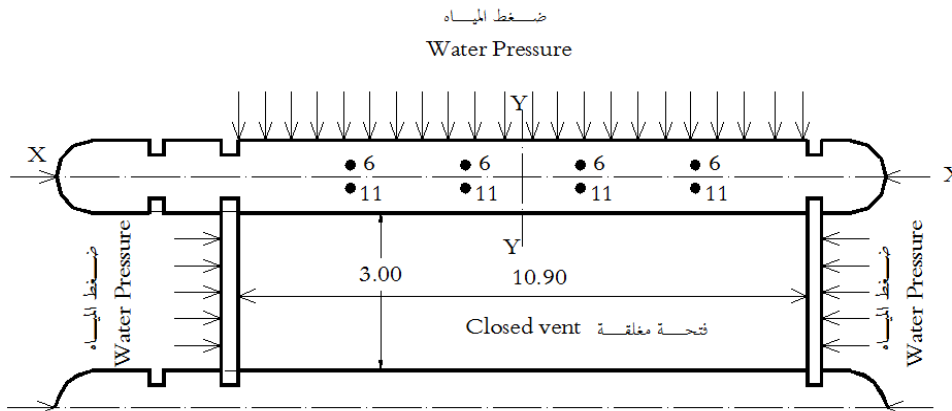


$$N = 8 \times 11 + 125.90 = 213.90 \text{ t}$$

$$f1 = f2 = - 213.90 / 13.625 = - 15.70 < 500 \text{ t/m}^2$$

Case 2 : Max. Moment about X axis

في هذه الحالة تكون إحدى الفتحات مفرغة من المياه وبلاطة الكوبرى فوقها محملة بالأحمال الحية، بينما الفتحة المجاورة تملؤها المياه بالمنسوب الأقصى، وبلاطة الكوبرى فوقها لا تتعرض للأحمال الحية



$$N = 4 (6+11) + 125.90 = 193.90 \text{ t}$$

$$\text{Water presser force "P"} = 0.5 \times 3.69 \times 3.69 \times 10.90 = 74.21 \text{ t}$$

$$M_x = (11 \times 0.2 \times 4) - (6 \times 0.2 \times 4) + 74.21 \times (3.69/3) = 95.28 \text{ t.m}$$

$$M_y = \text{zero}$$

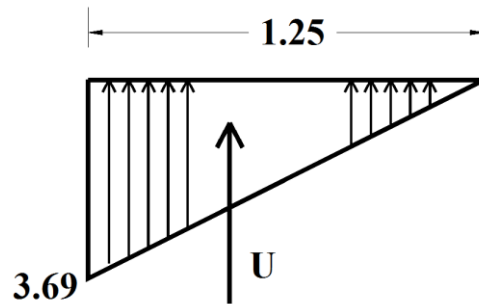
$$f_1 = -\frac{193.90}{13.625} + \frac{95.28 \times 0.625}{1.77} = +19.41 \text{ t / m}^2 (\text{tension}) - \text{unsafe}$$

$$f_2 = -\frac{193.90}{13.625} - \frac{95.28 \times 0.625}{1.77} = -47.88 \text{ t / m}^2 < 500 \text{ t / m}^2 \text{ safe}$$

في هذه الحالة يتم زيادة عرض الركيزة أو استخدام ركائز من الخرسانة المسلحة

ملحوظة هامة :

في حالة ما إذا ذكر في المثال أنه يوجد شرخ شعري hair crack أسفل الركيزة ، ففي هذه الحالة يتم إضافة مثلث ضغوط رفع أسفل الركيزة ويكون حساب الإجهادات كالتالي:



$$U = 0.50 \times 3.69 \times 1.25 \times 10.90 = 25.14 \text{ t}$$

$$N = 4 (6+11) + 125.90 - 25.14 = 168.76 \text{ t}$$

$$\text{Water presser force "P"} = 0.5 \times 3.69 \times 3.69 \times 10.90 = 74.21 \text{ t}$$

$$M_x = (11 \times 0.2 \times 4) - (6 \times 0.2 \times 4) + 74.21 \times (3.69/3) + 25.14 \times 0.21 = 100.52 \text{ t.m}$$

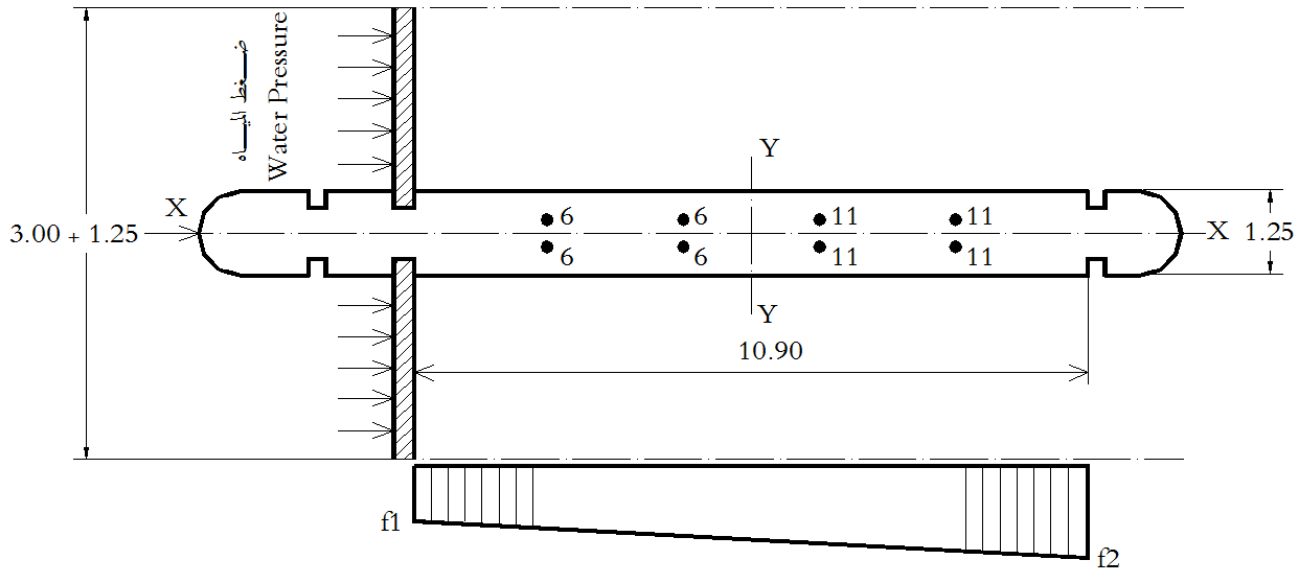
$$M_y = \text{zero}$$

$$f_1 = -\frac{168.76}{13.625} + \frac{100.52 \times 0.625}{1.77} = +23.11 \text{ t / m}^2 (\text{tension}) - \text{unsafe}$$

$$f_2 = -\frac{168.76}{13.625} - \frac{100.52 \times 0.625}{1.77} = -47.88 \text{ t / m}^2 < 500 \text{ t / m}^2 \text{ safe}$$

Case 3 : Max. Moment about Y axis

في هذه الحالة تكون فتحات القنطرة مغلقة والخلف جاف، وترتيب الأحمال من كميرات الكوبرى كما هو موضح بالشكل



$$N = 4(6+11) + 125.90 = 193.90 \text{ t}$$

$$\text{Water presser force "P"} = 0.5 \times 3.69 \times 3.69 \times (3 + 1.25) = 28.93 \text{ t}$$

$$M_y = (2 \times 11 \times 3 + 2 \times 11 \times 1 - 2 \times 6 \times 3 - 2 \times 6 \times 1) + 28.93 \times (3.69/3) = 75.58 \text{ t.m}$$

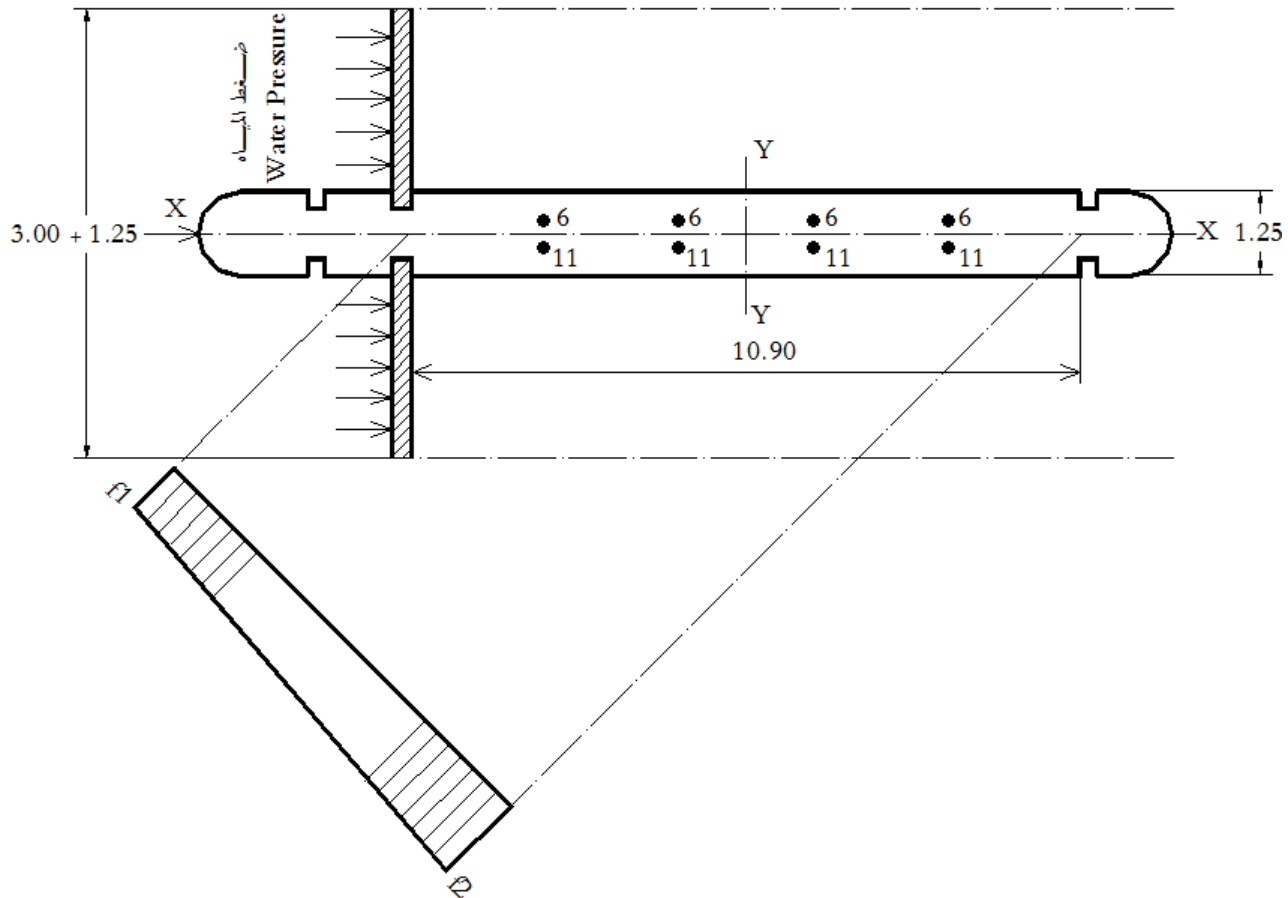
$$M_x = \text{zero}$$

$$f_1 = -\frac{193.90}{13.625} + \frac{75.58 \times 5.45}{134.90} = -11.18 \text{ t/m}^2 < 500 \text{ t/m}^2 \text{ safe}$$

$$f_2 = -\frac{193.90}{13.625} - \frac{75.58 \times 5.45}{134.90} = -17.28 \text{ t/m}^2 < 500 \text{ t/m}^2 \text{ safe}$$

Case 4: Compound moments حالة العزوم المركبة

في هذه الحالة تكون الفتحات مغلقة والخلف جاف، بينما تتوزع الأحمال من الكوبرى من بلاطة عليها أحمال حية من ناحية والأخرى تتلقى أحمالها الثابتة فقط



$$N = 4 (6+11) + 125.90 = 193.90 \text{ t}$$

$$\text{Water presser force "P"} = 0.5 \times 3.69 \times 3.69 \times (3 + 1.25) = 28.93 \text{ t}$$

$$M_y = 28.93 \times (3.69/3) = 35.58 \text{ t.m}$$

$$M_x = 4 \times 11 \times 0.20 - 4 \times 6 \times 0.20 = 4.00 \text{ t.m}$$

$$f_1 = -\frac{193.90}{13.625} + \frac{4 \times 0.625}{1.77} + \frac{35.58 \times 5.45}{134.90} = -11.38 \text{ t/m}^2 < 500 \text{ t/m}^2 \text{ safe}$$

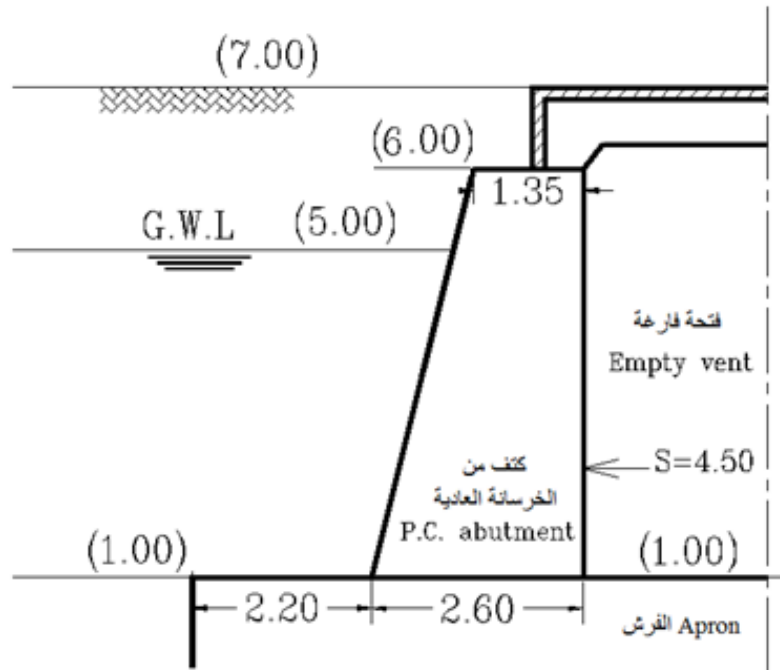
$$f_2 = -\frac{193.90}{13.625} - \frac{4 \times 0.625}{1.77} - \frac{35.58 \times 5.45}{134.90} = -17.08 \text{ t/m}^2 < 500 \text{ t/m}^2 \text{ safe}$$

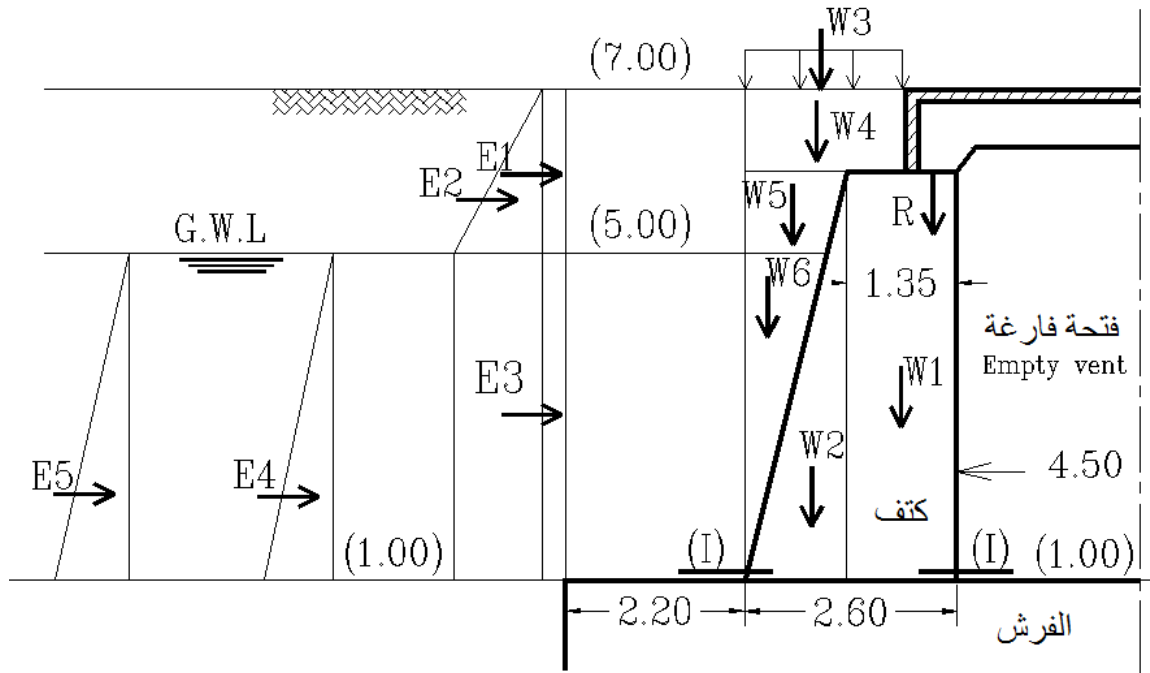
مثال 7

- الشكل يبين قطاعاً عرضياً بكتف P.C. abutment إحدى القناطر ، فإذا علمت أن:
- القنطرة مكونة من ثلاث فتحات عرض كل منها 4.50 متر. وعرض الركائز بها 1.25 متر.
 - عرض الكوبرى 10 متر مزود بممرين للمشاة Two side walks عرض كل منها 1.00 متر.
 - الحمل الحى والميت المكافئين هما ($D.L. = 1.00 \text{ t/m}^2$, $L.L. = 2.50 \text{ t/m}^2$).
 - خصائص التربة: ($\Phi = 30^\circ$, $\gamma_{\text{bulk}} = 1.80 \text{ t/m}^3$, void ratio 40 %).

والمطلوب:

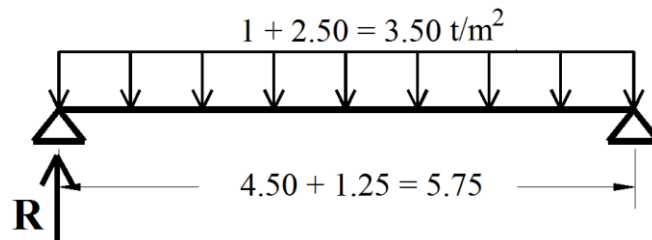
- التحقق من قيم الإجهادات عند قاعدة الكتف لتحديد ما إذا كانت الأبعاد المعطاة للأكتاف P.C. Abutments توفر الأمان اللازم أم لا.



الحلالتحقق من استقرار الأكتاف Check stability of abutmentsa) Vertical loads الأحمال الرأسية

- Reaction force from the bridge رد فعل الكوبري

$$R = (3.50 \times 5.75) / 2 = 10.06 \text{ t}$$



$$W1 = 5.00 \times 1.35 \times 2.20 = 14.85 \text{ ton} \quad \downarrow$$

$$W2 = 0.50 \times 1.25 \times 5 \times 2.20 = 6.88 \text{ ton} \quad \downarrow$$

$$W3 = (2.60 - 0.625) \times 2.50 = 4.94 \text{ ton} \quad \downarrow$$

$$W4 = 1 \times (2.60 - 0.625) \times 1.80 = 3.55 \text{ ton} \quad \downarrow$$

$$W5 = 1 \times (2.60 - 1.35) \times 1.80 = 2.25 \text{ ton} \quad \downarrow$$

$$W6 = 0.50 \times 4 \times 1 \times 2.20 = 4.40 \text{ ton} \quad \downarrow \quad (\gamma_{\text{sub}} = 1.80 - 0.60 \times 1 = 1.20 \text{ t/m}^3)$$

$$(\gamma_{\text{sat}} = 1.20 + 1 = 2.20 \text{ t/m}^3)$$

$$\Sigma W = 46.93 \text{ ton} \quad \downarrow$$

b) Lateral pressure الضغوط الجانبية

$$e_1 = 2.50 \times 0.333 = 0.83 \text{ ton/m}^2$$

$$e_2 = 1.80 \times 2 \times 0.333 = 1.20 \text{ ton/m}^2$$

$$e_3 = 1.20 + 0.83 = 2.03 \text{ ton/m}^2$$

$$e_4 = 1.20 \times 4 \times 0.333 = 1.60 \text{ ton/m}^2$$

$$e_5 = 1.00 \times 4 = 4.00 \text{ ton/m}^2$$

c) Horizontal loads القوى الأفقية

$$E1 = 0.83 \times 2 = 1.66 \text{ ton} \quad \rightarrow$$

$$E2 = 0.50 \times 1.20 \times 2 = 1.20 \text{ ton} \quad \rightarrow$$

$$E3 = 2.03 \times 4 = 8.12 \text{ ton} \quad \rightarrow$$

$$E4 = 0.50 \times 1.60 \times 4 = 3.20 \text{ ton} \quad \rightarrow$$

$$E5 = 0.50 \times 4 \times 4 = 8.00 \text{ ton} \quad \rightarrow$$

d) Stresses Calculations حساب الإجهادات

$$M = E1 \times 5 + E2 \times 4.67 + E3 \times 2 + E4 \times 1.33 + E5 \times 1.33 + R \times 0.99 + W1 \times 0.625 - W2 \times 0.467 - W3 \times 0.31 - W4 \times 0.31 - W5 \times 0.675 - W6 \times 0.97$$

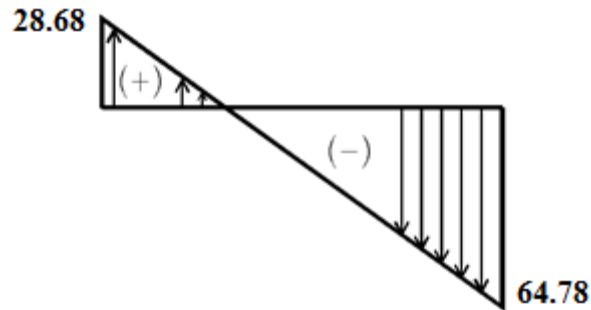
$$M = 1.66 \times 5 + 1.20 \times 4.67 + 8.12 \times 2 + 3.20 \times 1.33 + 8 \times 1.33 + 10.06 \times 0.99 + 14.85 \times 0.625 - 6.88 \times 0.467 - 4.94 \times 0.31 - 3.55 \times 0.31 - 2.25 \times 0.675 - 4.40 \times 0.97 = 52.65 \text{ t.m}$$

$$e = M/N = 52.65/46.93 = 1.12 > 2.60/6 \quad (\text{unsafe})$$

$$f_2^1 = -\frac{46.93}{2.60 * 1.00} \pm \frac{52.65 \left(\frac{2.60}{2}\right)}{1.00 * 2.60^3/12}$$

$$f_1 = + 28.68 \text{ t/m}^2 \quad (\text{unsafe})$$

$$f_2 = -64.78 \text{ t/m}^2 < 50 \text{ kg/cm}^2$$



unsafe قطاع الأكتاف عند القاعدة غير آمن

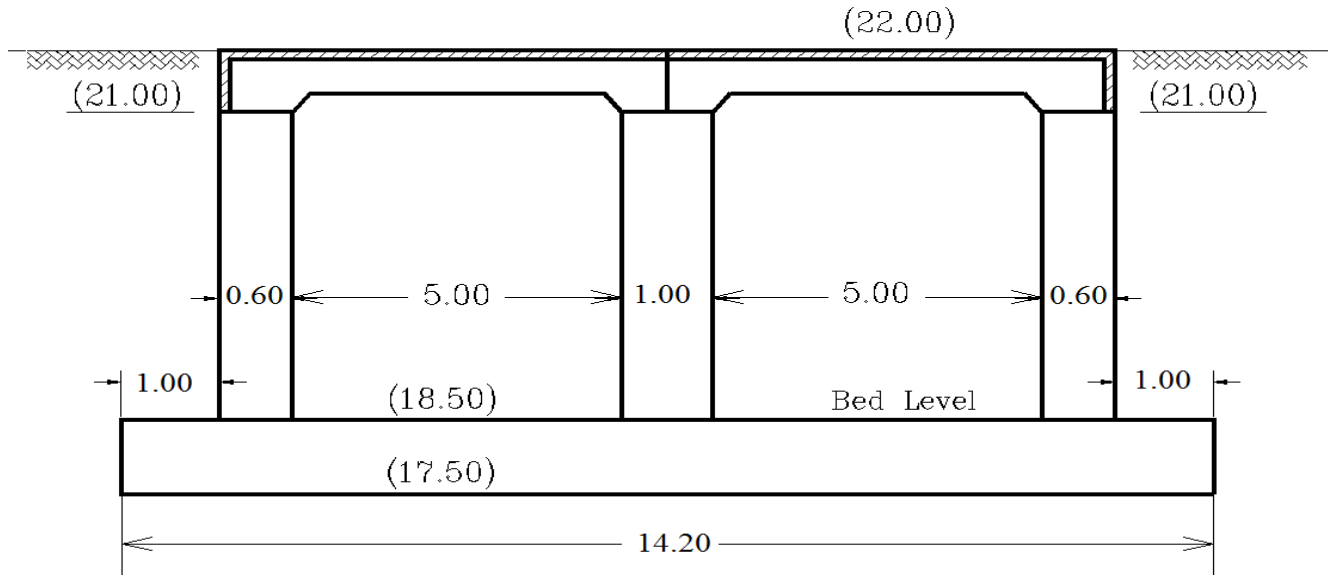
مثال 8

الشكل يبين إحدى قناطر الأفمام Head regulator والمنشأة بغرض تغذية قناة رئيسية Main canal من إحدى قنوات التحويل Diversion canal، فإذا توفرت لديك البيانات التالية:

- القنطرة مكونة من فتحتين عرض كل منها 5.00 متر.
- عرض الركائز والأكتاف 1.00 متر ، 0.60 متر على الترتيب.
- عرض الكوبرى 10 متر مزود بممرين للمشاة Two side walks عرض كل منها 1.25 متر.
- الحمل الحى والميت المكافئين هما ($D.L. = 1.20 \text{ t/m}^2$, $L.L. = 1.50 \text{ t/m}^2$).
- خصائص التربة: ($\Phi = 30^\circ$, $\gamma_{\text{bulk}} = 1.80 \text{ t/m}^3$, The soil bearing capacity = 1.11 kg/cm^2).
- خصائص الخرسانة المسلحة المستخدمة ($K_1 = 0.31$, $K_2 = 1218$).

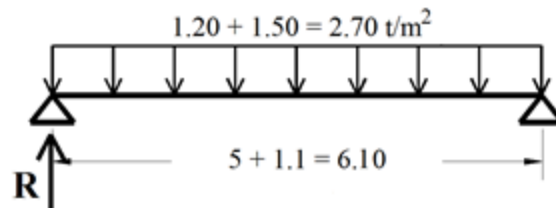
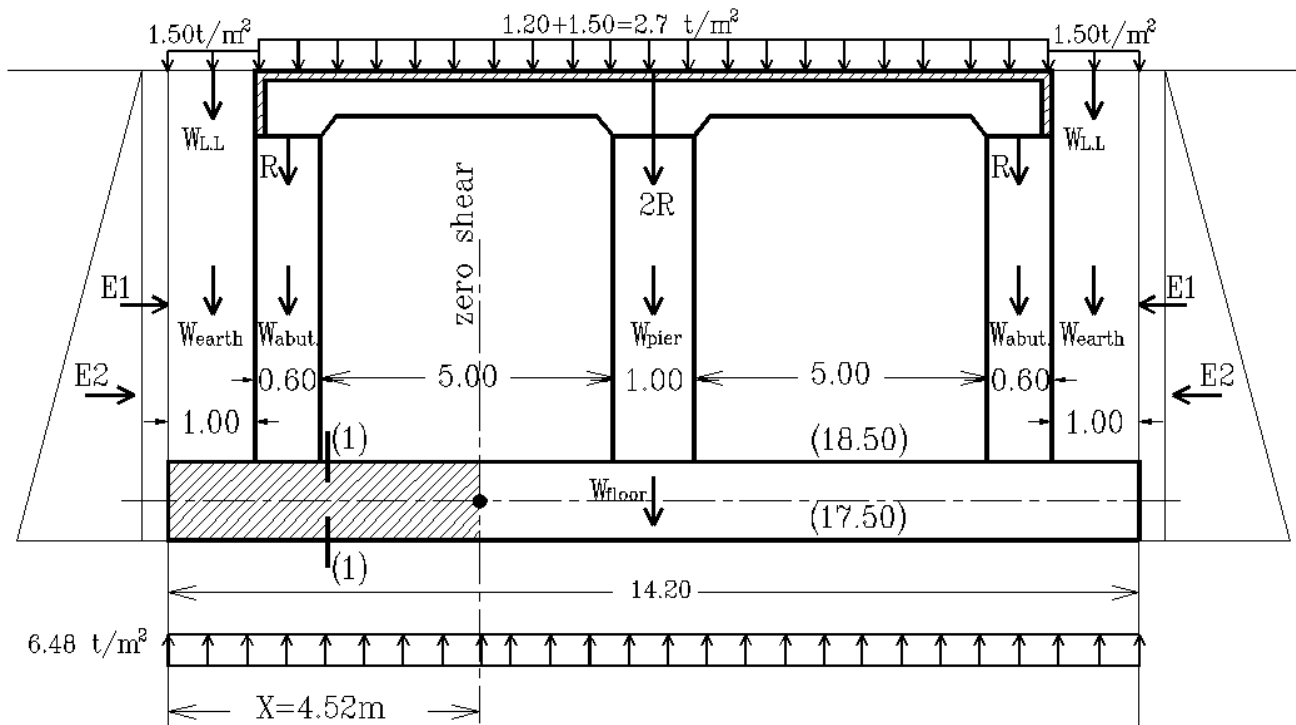
والمطلوب:

- التحقق من قيم إجهادات التربة أسفل الفرش The soil stresses under floor.
 - التحقق من سمك الفرش المعطى Floor thickness.
- وذلك فى حالة ما إذا كانت القنطرة من الخرسانة العادية أو الخرسانة المسلحة



الحلأولاً : فرش القنطرة من الخرسانة العادية Plain Concrete Apron- Reaction force from the bridge رد فعل الكوبري

$$R = (2.70 \times 6.10) / 2 = 8.24 \text{ t}$$

- Check of the soil stresses التحقق من إجهادات التربة

$$W_{LL} = 1.50 \times 1 = 1.50 \text{ t}$$

$$W_{earth} = 1 \times 3.50 \times 1.80 = 6.30 \text{ t}$$

$$W_{abut.} = 0.60 \times 2.50 \times 2.20 = 3.30 \text{ t}$$

$$W_{\text{Pier}} = 1 \times 2.50 \times 2.20 = 5.50 \text{ t}$$

$$W_{\text{floor}} = 1 \times 14.20 \times 2.20 = 31.24 \text{ t}$$

$$\sigma = \frac{6.30 \times 2 + 3.30 \times 2 + 5.50 + 1.5 \times 2 + 8.24 \times 4 + 31.24}{14.20} = 6.48 \text{ t/m}^2$$

$$6.48 \text{ t/m}^2 < 11.10 \text{ t/m}^2 \quad (\text{safe})$$

- التحقق من سمك الفرش Check the floor thickness

- التحقق من إجهادات القص Check of shear stresses

تكون أكبر قيمة لإجهادات القص على الفرش عند القطاع (1-1)

$$Q_{\text{max.}} = 1.50 + 6.30 + 3.30 + 8.24 + 1.60 \times 2.20 - 6.48 \times 1.60 = 12.50 \text{ t}$$

$$q_{\text{max}} = \frac{3}{2} \times \frac{12500}{100 \times 100} = 1.87 < 5.0 \text{ Kg/cm}^2 \quad (\text{safe})$$

- التحقق من الإجهادات الناتجة من عزوم الانحناء Check of max. stresses

تكون أقصى إجهادات ناتجة عن عزوم الانحناء عند القطاع المار بنقطة الـ zero shear ووالتي يمكن تحديدها كما يلي:

$$1.50 + 6.30 + 3.30 + 8.24 + 2.20 (X) = 6.48 (X)$$

$$\underline{\mathbf{X = 4.52 \text{ m}}}$$

$$\mathbf{E1} = 1.50 \times 0.333 \times 4.50 = \mathbf{2.25 \text{ t}}$$

$$\mathbf{E2} = 0.50 \times 1.80 \times 0.333 \times 4.50 \times 4.50 = \mathbf{6.07 \text{ t}}$$

$$\mathbf{M_{\text{max.}}} = (1.50 + 6.30) \times (4.52 - 0.50) + (8.24 + 3.30) \times (4.52 - 1 - 0.30) + (4.52 \times 1 \times 2.20) \times (4.52/2) - 6.48 \times 4.52^2/2 - 6.075 \times 1 - 2.25 \times 1.75 = \mathbf{14.78 \text{ t.m}}$$

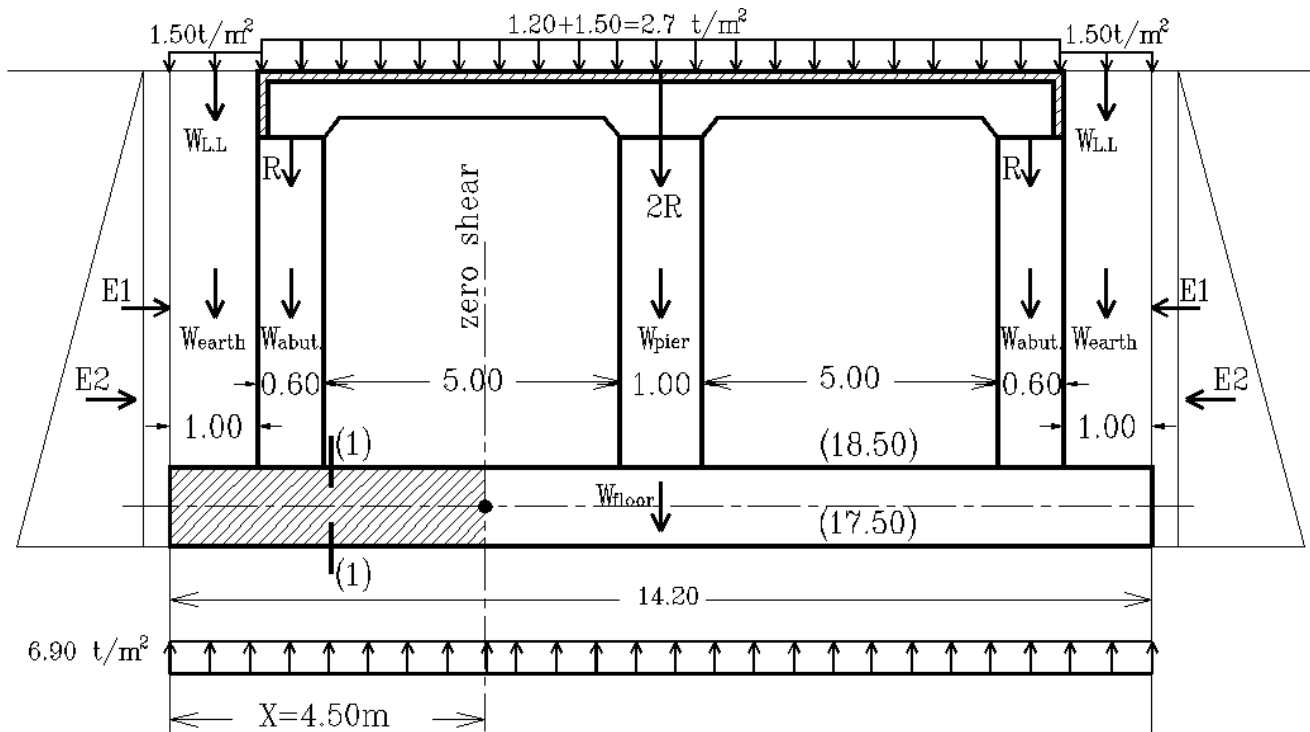
$$\mathbf{N} = 2.25 + 6.07 = \mathbf{8.32 \text{ t}}$$

$$f_1 = \frac{-8320}{100 \times 100} + \frac{6 \times 14.78 \times 10^5}{100 \times 100^2} = +8.78 \text{ kg/cm}^2 \text{ (tension)} \quad \textbf{(Unsafe)}$$

$$f_2 = \frac{-8320}{100 \times 100} - \frac{6 \times 14.78 \times 10^5}{100 \times 100^2} = -8.95 \text{ kg/cm}^2 \text{ (comp.)}$$

ثانياً: فرش القنطرة من الخرسانة المسلحة Reinforced Concrete Apron

- التحقق من إجهادات التربة Check of the soil stresses



$$R = (2.70 \times 6.10) / 2 = 8.24 \text{ t}$$

$$W_{LL} = 1.50 \times 1 = 1.50 \text{ t}$$

$$W_{earth} = 1 \times 3.50 \times 1.80 = 6.30 \text{ t}$$

$$W_{abut.} = 0.60 \times 2.50 \times 2.50 = 3.75 \text{ t}$$

$$W_{Pier} = 1 \times 2.50 \times 2.50 = 6.25 \text{ t}$$

$$W_{floor} = 1 \times 14.20 \times 2.50 = 35.50 \text{ t}$$

$$\sigma = \frac{6.30 \times 2 + 3.75 \times 2 + 6.25 + 1.5 \times 2 + 8.24 \times 4 + 35.50}{14.20} = 6.90 \text{ t/m}^2$$

$$6.90 \text{ t/m}^2 < 11.10 \text{ t/m}^2 \quad (\text{safe})$$

- التحقق من سمك الفرش Check the floor thickness

تحديد نقطة الـ zero shear والتي يكون عندها أقصى عزم

$$1.50 + 6.30 + 3.75 + 8.24 + 2.50 (X) = 6.90 (X)$$

$$\underline{X = 4.50 \text{ m}}$$

$$E1 = 1.50 \times 0.333 \times 4.50 = 2.25 \text{ t}$$

$$E2 = 0.50 \times 1.80 \times 0.333 \times 4.50 \times 4.50 = 6.07 \text{ t}$$

$$M_{\max.} = (1.50 + 6.30) \times (4.50 - 0.50) + (8.24 + 3.75) \times (4.50 - 1 - 0.30) + (4.50 \times 1 \times 2.50) \times (4.50/2) - 6.90 \times 4.50^2/2 - 6.075 \times 1 - 2.25 \times 1.75 = 15.00 \text{ t.m}$$

$$N = 2.25 + 6.07 = 8.32 \text{ t}$$

$$d = 0.31 \sqrt{\frac{15.00 \times 10^5}{100}} = 37.97 \text{ cm} < 95 \text{ cm}$$

$$\text{Take } d_{\text{act}} = 95 \text{ cm}, \quad t = 100 \text{ cm}$$

$$A_s = \frac{15.00 \times 10^5}{1218 \times 95} = 12.96 \text{ cm}^2$$

$$A_{s_{\min}} = (0.25/100) \times A_c = (0.25/100) \times (100 \times 100) = 25 \text{ cm}^2$$

$$\text{Take } A_s = 25 \text{ cm}^2 \quad 8 \Phi 20 / \text{m}^2$$

$$\text{Take } A_s = 8 \Phi 12 / \text{m}^2$$

- التحقق من إجهادات القص Check shear stresses

تكون أكبر قيمة لإجهادات القص على الفرش عند القطاع (1-1)

$$Q_{\max.} = 1.50 + 6.30 + 3.75 + 8.24 + 1.60 \times 2.50 - 6.90 \times 1.60 = 12.75 \text{ t}$$

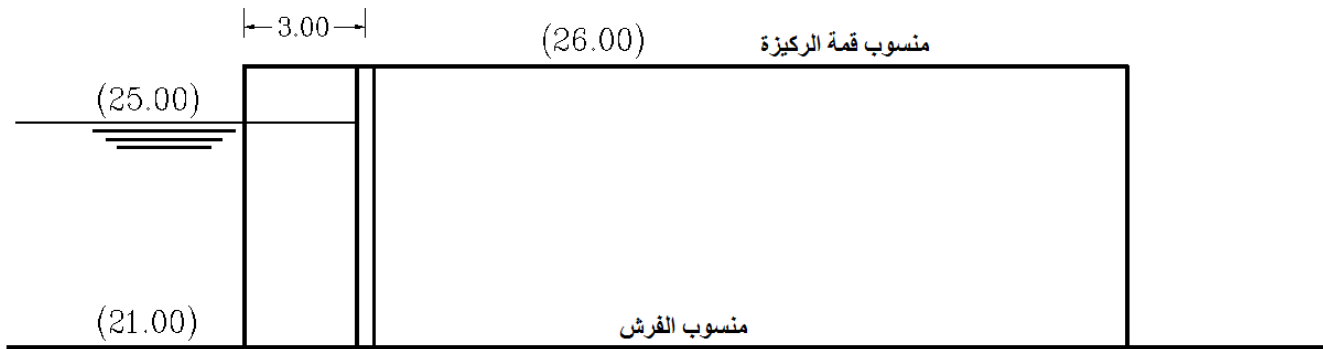
$$q_{\max.} = Q_{\max} / 100 d = 12.75 \times 1000 / (100 \times 95) = 1.34 < 5 \text{ kg/cm}^2 \quad (\text{safe})$$

مثال 9

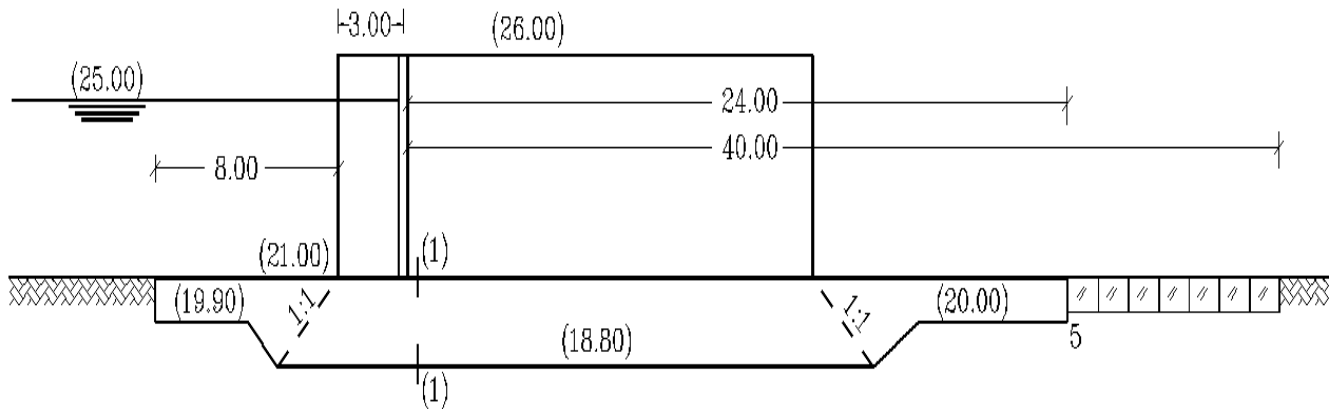
الشكل يبين قطاعاً طولياً في إحدى ركائز قنطرة حجز كلى Head regulator، فإذا علمت أن:

- منسوب المياه بالأمام (25.00) ، والفرش أفقى بكامل طوله عند منسوب (21.00).
- منسوب قمة الركيزة (26.00) ، ومجرى البوابات الرئيسى Main groove يبعد عن مقدمة الركيزة ثلاثة أمتار.
- التصريف لوحدة العرض من القنطرة = $5 \text{ م}^3/\text{ث} / \text{م}$
- سمك الفرش لا يسمح بزيادة عن 2.20 متر.

والمطلوب: تصميم فرش القنطرة فى الاتجاه الطولى تصميماً هيدروليكياً كاملاً.

الحل

- **Design Of Apron In Longitudinal direction** تصميم الفرش فى الاتجاه الطولى



1- Check the safety against downstream scour الجرف الخلفي

$$L_1 = 2.1 \times C_B \times (H_1/3.9)^{0.5}$$

$$L_1 = 2.1 \times 10 \times (5/3.9)^{0.5} = 23.7 \text{ m} \sim 24 \text{ m}$$

$$L = 4.5 \times C_B \times (H/4.5)^{0.5} \times (q/7.0)^{0.5}$$

$$= 4.5 \times 10.0 \times (5.0/4.5)^{0.5} \times (5.0/7.0)^{0.5} = \sim 40.0 \text{ m}$$

$$L_{\text{protection}} = L - L_1 = 40.0 - 24.0 = 16 \text{ m}$$

2- Check the safety against undermining الاستنزاف التحتي

$$(H/L) = (1/C) \quad L = H \times C = 4.0 \times 10.0 = 40.0 \text{ m}$$

$$L_{\text{act.}} = 1.1 + 8.0 - 1.1 + 1.55 + 3.0 + 24.0 - 1.1 + 1.55 + 1.1 = 38.1 \text{ m}$$

$$(H/L) = (1/C) \quad (4.0/38.1) = (1/9.525) > 1/10 \quad \text{"Unsafe"}$$

- Assume Cutoff (1.0 m) at critical section (1-1)

$$L = 38.1 + (2.0 \times 1.0) = 40.1 \text{ m}$$

$$(H/L) = (1/C) \quad (4.0/40.1) = (1/10.02) < 1/10 \quad \text{"Safe"}$$

3- Check of apron thickness at critical section التحقق من سمك الفرش

$$h_1 = 6.20 + (-2.2) - (1.1 + 4.7 + 1.55 + 2.2 + 3.0 + 2.0 \times 1.0) / (10.02) = 2.54 \text{ m}$$

$$t_f = (h_1 / \sqrt{f-1}) \times 1.30 = ((2.54) / (2.2-1)) \times 1.3 = 2.75 \text{ m} > 2.2 \quad \text{"Unsafe"}$$

Increase cutoff length to 4.0 m

$$L_{\text{creep}} = (2.0/0.1) + (2.0 \times 3.0) = 46.1 \text{ m}$$

$$(H/L) = (1/C) \quad (4.0/46.1) = (1.0/11.53) < 1/10 \quad \text{"Safe"}$$

$$h_1 = 6.20 + (-2.2) - (1.1 + 4.7 + 1.55 + 2.2 + 3.0 + 2.0 \times 4.0) / (11.53) = 2.27 \text{ m}$$

$$t_f = ((2.27) / (2.2-1)) \times 1.3 = 2.41 \text{ m} > 2.2 \quad \text{"Unsafe"}$$

Increase cutoff length to 7.0 m

$$L_{\text{creep}} = 46.1 + 2 \times 3 = 52.1 \text{ m}$$

$$(H/L) = (1/C) \quad (4.0/52.1) = (1.0/13.025)$$

$$h_1 = 6.20 + (-2.2) - (1.1 + 4.7 + 1.55 + 2.2 + 3.0 + 2.0 \times 7.0) / (13.025) = 1.46 \text{ m}$$

$$t_f = ((1.46)/(2.2-1)) \times 1.3 = 2.12 \text{ m} \quad < \quad 2.2 \quad \text{"Safe"}$$

4- Check the safety against Piping الفوارات

Pizometric head At Point (5):

$$h_5 = 1.1 / 13.025 = 0.08$$

$$P = t/h_5 = 1.1/0.08 = 13.7 \quad > \quad 4.0 \quad \text{"Safe"}$$

- Calculation of pizometric heads الضغوط البيزومترية

$$h_1 = 4 \text{ m}$$

$$h_2 = 5.1 + (-1.1) - 1.1/13.025 = 3.91 \text{ m}$$

$$h_3 = h_2 - \text{losses} = 3.91 - (4.7 + 1.55 + 2.2 + 3)/13.025 = 3.03 \text{ m}$$

$$h_4 = h_3 - \text{losses} = 3.03 - 2 \times 7/13.025 = 1.95 \text{ m}$$

$$h_5 = 1.1 / 13.025 = 0.08 \text{ m}$$

$$h_6 = 0.0$$

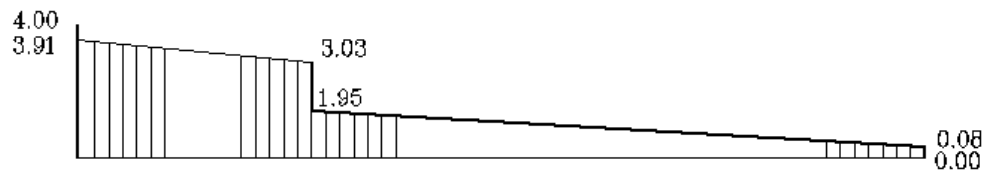
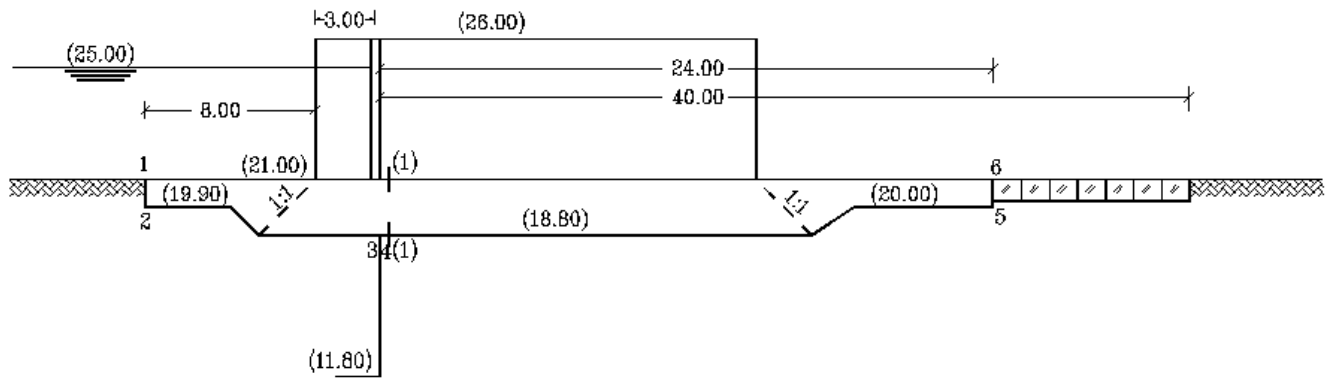
- Calculation of uplift pressures ضغوط الرفع

$$U_2 = h_2 - Z = 3.91 - (-1.1) = 5.01 \text{ m}$$

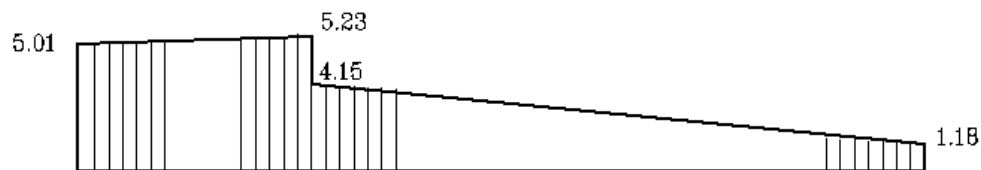
$$U_3 = h_3 - Z = 3.03 - (-2.2) = 5.23 \text{ m}$$

$$U_4 = h_4 - Z = 1.95 - (-2.2) = 4.15 \text{ m}$$

$$U_5 = h_5 - Z = 0.08 - (-1.1) = 1.18 \text{ m}$$



مؤشر الضغوط البيزومترية Piezometric Head Diagram

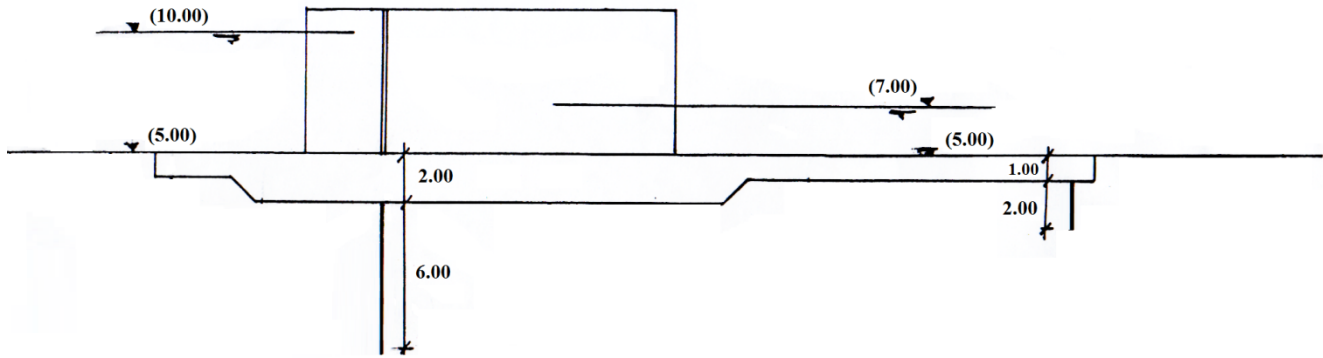


مؤشر ضغوط الرفع Uplift Pressures Diagram

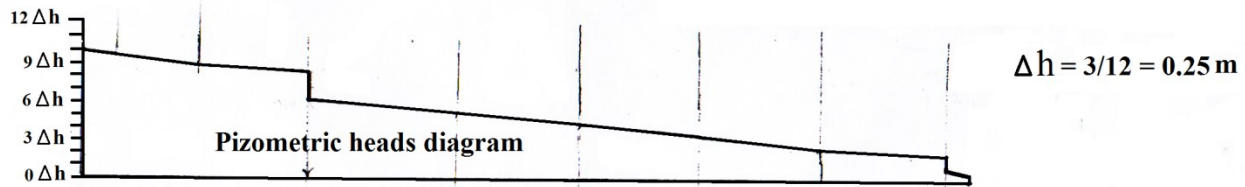
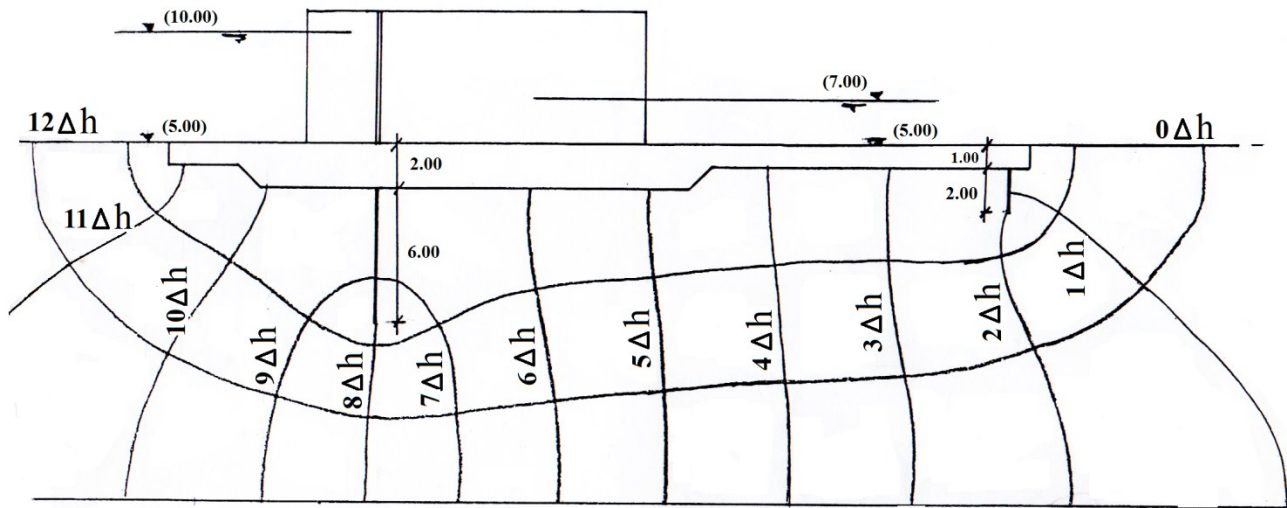
مثال 10

الشكل يبين قطاعاً طولياً في إحدى قناطر الحجز الجزئي، فإذا علمت أن منسوب المياه بالأمام (10.00) ومنسوب المياه بالخلف (7.00) والفرش أفقى بكامل طوله عند منسوب (5.00)، والمطلوب:

- رسم شبكة التدفق أسفل فرش القنطرة.
- رسم مؤشر الضغوط البيزومترية Piezometric heads diagram ومن ثم تحقق من كل من سمك الفرش عند القطاع الحرج Critical section وكذا الأمان من ظاهرة الفوارات Piping phenomena
- حساب معدل التسرب Seepage rate لوحدة العرض أسفل فرش القنطرة.



طبقة صماء Imervious layer

الحل

$$T = \frac{6.50 \Delta h}{1.20} \times 1.30 = 1.76 \text{ m} < 2.00 \text{ m} \quad (\text{Safe})$$

التحقق من سمك الفرش عند القطاع الحرج:

$$d/h = 1/0.50 \Delta h = 8 > 4 \quad (\text{Safe})$$

التحقق من الأمان من ظاهرة الفوارات:

$$q = 10^{-4} \times 3 (3/12) = 7.50 \times 10^{-5} \text{ m}^3/\text{s/m}$$

حساب معدل التسرب لوحدة العرض أسفل فرش القنطرة:

مثال 11

قنطرة عدد فتحاتها أربعة وعرض فتحاتها أربعة أمتار ويتم الحجز الكلى عليها بأقصى منسوب للأمام (4.75) متر، والفرش أفقى بمنسوب (0.00) متر ومركب على فتحاتها بوابات رفع رأسى Lift steel gates، وهذه البوابات مدعمة أفقياً بأربع كمرات أفقية بكل من البوابة العليا والسفلى، والمطلوب:

- تحديد أماكن وقطاعات الكمرات الأفقية Horizontal Main Girders، وكذا حساب سمك اللوح الخارجى Thickness of skin plate بالسنتيمتر، وقدرة الونش اللازمة لرفع البوابة فى دقيقتين.

الحل

ارتفاع البوابة (H_G) = العمق المائى الأقصى بالأمام + 0.25

عرض البوابة (B_G) = عرض الفتحة + 0.40

المساحة السطحية للبوابة (A_G) = $H_G \times B_G$

$$H_G = 4.75 + 0.25 = 5.00 \text{ m}$$

$$B_G = 4 + 0.40 = 4.40 \text{ m}$$

$$\text{Area of the gate "A}_G\text{"} = 5 \times 4.40 = 22 \text{ m}^2 > 15 \text{ m}^2$$

وبما أن مساحة البوابة أكبر من 15 م² فإنه يتم استخدام بوابات مزدوجة Double gates ، ويمكن حساب ارتفاع كل منها كما يلى :

ارتفاع البوابة (H_G) = (العمق المائى الأقصى بالأمام + 0.25 + 0.20) / 2

$$H_G = (4.75 + 0.25 + 0.20) / 2 = 2.60 \text{ m}$$

1- Design of main horizontal girders الرئيسية**- Determination of positions of main girders تحديد أماكن الكمرات**

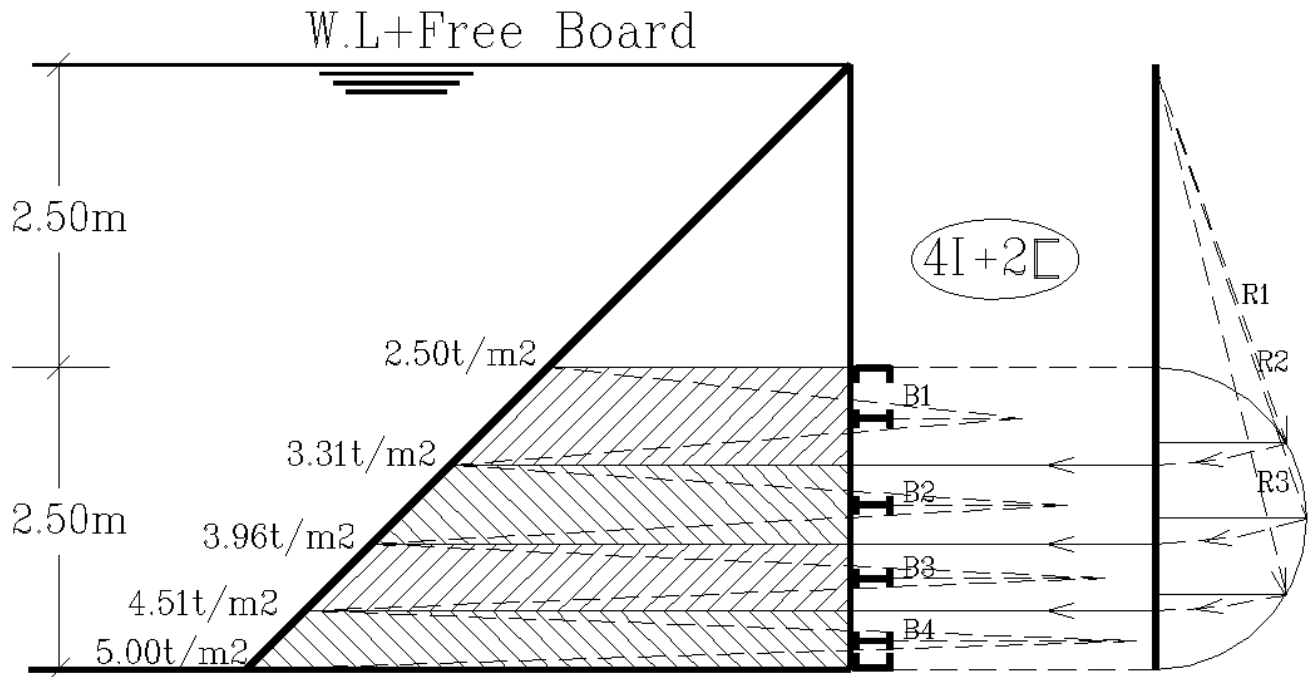
من الرسم المبين يتضح أن :

كمرة "B1" عند منسوب (2.08)

كمرة "B2" عند منسوب (1.36)

كمرة "B3" عند منسوب (0.76)

كمرة "B4" عند منسوب (0.24)



- **القوة المؤثرة على كل كمره** Force on each beam

$$\text{Force on B1} = ((2.50+3.31)/2) \times 0.812 \times 4.40 = 10.38 \text{ t.}$$

$$\text{Force on B2} = ((3.31+3.96)/2) \times 0.65 \times 4.40 = 10.39 \text{ t.}$$

$$\text{Force on B3} = ((3.96+4.51)/2) \times 0.552 \times 4.40 = 10.28 \text{ t.}$$

$$\text{Force on B4} = ((4.51+5.00)/2) \times 0.486 \times 4.40 = 10.17 \text{ t.}$$

Force on each beam = the biggest = 10.39 t

ويمكن حساب القوة المؤثرة على كل كمره بطريقة أخرى كما يلي:

$$\text{Force on each beam} = \{((5.00+2.50)/2) \times 2.50 \times 4.40\}/4 = 10.31 \text{ t.}$$

- Design of main girders تصميم الكمرات

$$M_{\max} = (10.39/4.40) 4.40^2/8 = 5.71 \text{ t.m}$$

$$\text{Shear force "Q"} = 10.39 / 2 = 5.20 \text{ t}$$

$$Z = M/f = 5.71 \times 100 / 1.40 = 408 \text{ cm}^3 \quad (f = 1.4 \text{ t/cm}^2)$$

وبعد اختيار القطاع من جداول الحديد يتم التحقق من اجهادات القص q_{\max} من العلاقة التالية:

$$q_{\max} = \frac{Q}{A_{\text{web}}} < 0.70 f$$

2- Design of skin plate thickness تصميم سمك اللوح الخارجى

$$t = \sqrt{\frac{P \cdot a \cdot b}{2f}}$$

- For span (1) = 0.42 m

$$P = (2.5 + 2.92)/2 = 2.71 \text{ t/m}^2 \quad (f = 14000 \text{ t/m}^2)$$

$$t = \sqrt{\frac{2.71 \times 0.42 \times 4.4}{2 \times 14000}} = 0.013 \text{ m}$$

- For span (2) = 0.72 m

$$P = (2.92 + 3.64)/2 = 3.28 \text{ t/m}^2$$

$$t = \sqrt{\frac{3.28 \times 0.72 \times 4.4}{2 \times 14000}} = 0.019 \text{ m}$$

- **For span (3) = 0.60 m**

$$P = (3.64 + 4.24)/2 = 3.94 \text{ t/m}^2$$

$$t = \sqrt{\frac{3.94 \times 0.60 \times 4.4}{2 \times 10000}} = 0.019 \text{ m}$$

- **For span (4) = 0.52 m**

$$P = (4.24 + 4.76)/2 = 4.50 \text{ t/m}^2$$

$$t = \sqrt{\frac{4.50 \times 0.52 \times 4.4}{2 \times 14000}} = 0.019 \text{ m}$$

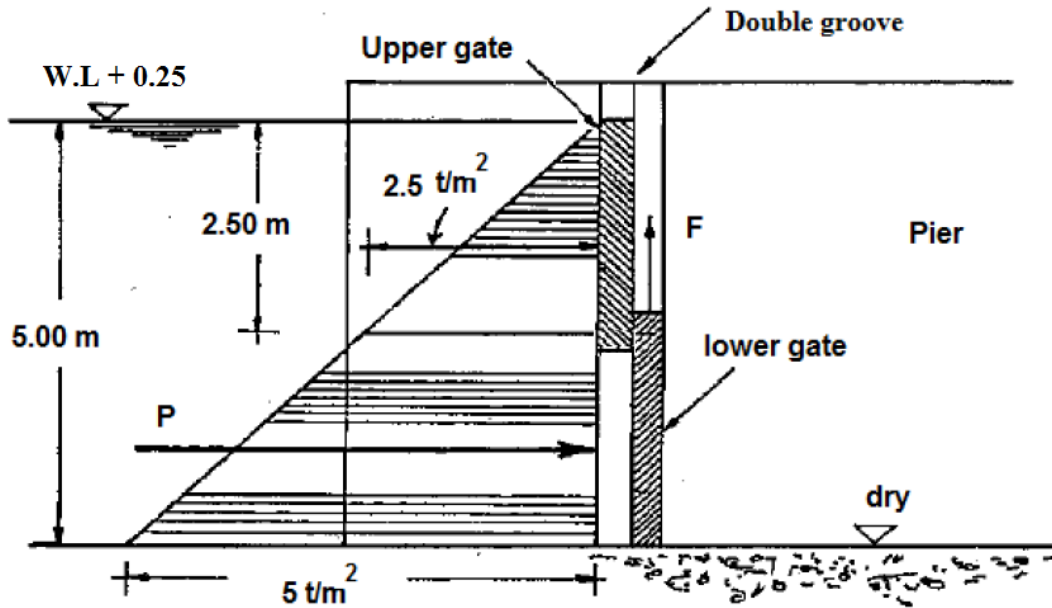
- **For span (5) = 0.24 m**

$$P = (4.76 + 5.00)/2 = 4.88 \text{ t/m}^2$$

$$t = \sqrt{\frac{4.88 \times 0.24 \times 4.4}{2 \times 14000}} = 0.014 \text{ m}$$

$$t = 0.019 \text{ m} = 1.90 \text{ cm}$$

3- Force required to lift the gate القوة اللازمة لرفع البوابة



$$F = (P \cdot \mu + W) \cdot C$$

$$P = (2.50 + 5.00)/2 \times 2.50 \times 4.40 = 41.25 \text{ t}$$

$$\mu = 0.10$$

$$W = (0.06 \times 4) \times (2.50 \times 4.40) = 2.64 \text{ t}$$

$$F = (41.25 \times 0.10 + 2.64) \times 1.25 = 8.46 \text{ t}$$

ولحساب قدرة المونش (بفرض أن الزمن اللازم لرفع البوابة دقيقتين):

$$\text{Power} = \text{Force} \times \text{Velocity}$$

$$\text{Velocity} = 2.5/2 \times 60 = 0.021 \text{ m/s}$$

$$\text{Power} = (8460 \times 0.021)/75 = 2.35 \text{ HP}$$

رابعاً: الأهوسة الملاحية Navigation Locksمثال 1

مطلوب تحديد أبعاد البرابخ الجانبية Side culverts الملحقة بأحد الأهوسة والتي تستخدم لتخفيض المنسوب من 5.00 متر إلى 3.00 متر، وذلك إذا علمت أن أبعاد حوض التعويم Chamber هي 16 x 116 متر ومعامل التصريف = 0.90

الحل

Assume $a = 2 \times 2 \text{ m}^2$

$$T = \frac{T_1}{2} + \frac{2A\sqrt{H}}{C_d \cdot a \cdot \sqrt{2g}} = \frac{60}{2} + \frac{2 \times 116 \times 16 \times \sqrt{2}}{0.90 \times (2 \times 2 \times 2) \sqrt{2 \times 9.81}} = 194.60 \text{ sec}$$

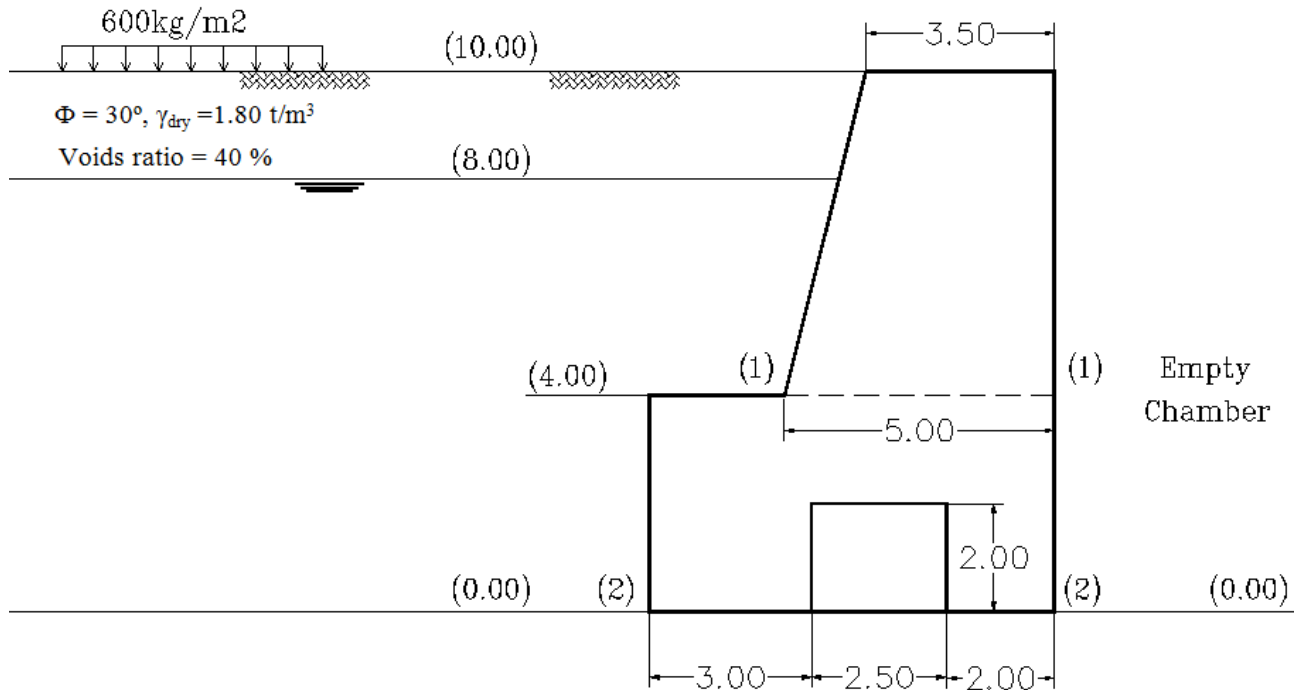
$$Q = \frac{2 \times 116 \times 16}{194.60} = 19.08 \text{ m}^3/\text{sec}$$

$$Q_{\text{Cul.}} = \frac{19.08}{2} = 9.54 \text{ m}^3/\text{sec}$$

$$v_{\text{Cul.}} = \frac{9.54}{2 \times 2} = 2.38 \text{ m/sec} < 2.50 \text{ m/sec (Safe)}$$

مثال 2

الشكل يبين حائط مرفأ Landing wall بأحد الأهوسة الملاحية، والمطلوب التحقق من استقرار هذه الحائط وذلك عند القطاعات (1-1)، (2-2).

**الحل****a)Vertical loads:**

$$W1 = 3.50 * 6 * 2.20 = 46.20 \text{ ton}$$

$$W2 = 0.50 * 1.50 * 6 * 2.20 = 9.90 \text{ ton}$$

$$W3 = 7.50 * 2 * 2.20 = 33.00 \text{ ton}$$

$$W4 = 2 * 2 * 2.20 = 8.80 \text{ ton}$$

$$W5 = 3 * 2 * 2.20 = 13.20 \text{ ton}$$

$$W6 = 0.50 * 0.50 * 2 * 1.80 = 0.90 \text{ ton}$$

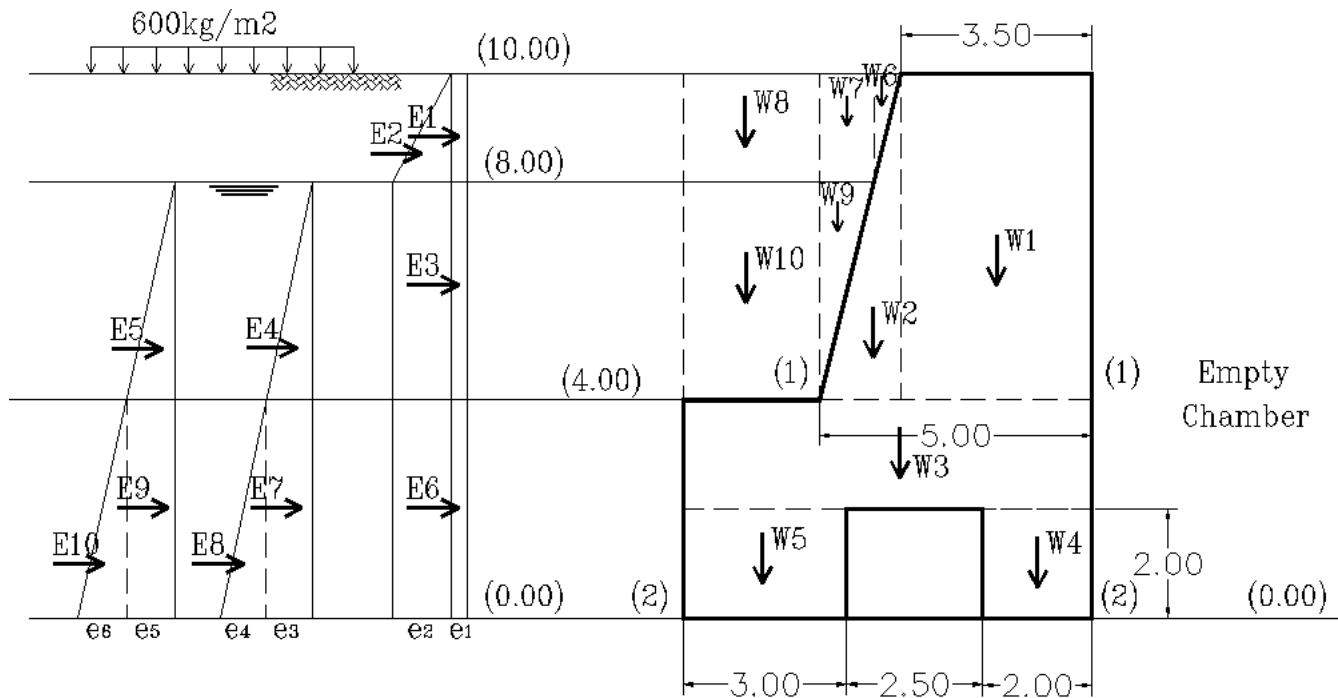
$$W7 = 1 * 2 * 1.80 = 3.60 \text{ ton}$$

$$W8 = 2.50 * 2 * 1.80 = 9.00 \text{ ton}$$

$$W9 = 0.50 * 4 * 1 * 2.20 = 4.40 \text{ ton} \quad (\text{Note: } 2.20 = \gamma_{\text{sub}} + \gamma_w = 1.20 + 1 = 2.20)$$

$$W10 = 2.50 * 4 * 2.20 = 22.00 \text{ ton}$$

$$\Sigma W = 151 \text{ ton}$$



b) Lateral pressure:

$$e_1 = 0.60 * 0.333 = 0.20 \text{ ton/m}^2$$

$$e_2 = 1.80 * 2 * 0.333 = 1.20 \text{ ton/m}^2$$

$$e_3 = 1.20 * 4 * 0.333 = 1.60 \text{ ton/m}^2$$

$$e_4 = 1.20 * 4 * 0.333 = 1.60 \text{ ton/m}^2$$

$$e_5 = 1.00 * 4 = 4.00 \text{ ton/m}^2$$

$$e_6 = 1.00 * 4 = 4.00 \text{ ton/m}^2$$

c)Horizontal loads:

$$E1 = 0.20 * 2 = 0.40 \text{ ton}$$

$$E2 = 0.50 * 1.20 * 2 = 1.20 \text{ ton}$$

$$E3 = 1.40 * 4 = 5.60 \text{ ton}$$

$$E4 = 0.50 * 1.60 * 4 = 3.20 \text{ ton}$$

$$E5 = 0.50 * 4 * 4 = 8.00 \text{ ton}$$

$$E6 = 1.40 * 4 = 5.60 \text{ ton}$$

$$E7 = 1.60 * 4 = 6.40 \text{ ton}$$

$$E8 = 0.50 * 1.60 * 4 = 3.20 \text{ ton}$$

$$E9 = 4 * 4 = 16.0 \text{ ton}$$

$$E10 = 0.50 * 4 * 4 = 8.00 \text{ ton}$$

Sec. (1-1):

$$N = W1 + W2 + W6 + W7 + W9 = 65 \text{ ton}$$

$$N = W1 + W2 + W6 + W7 + W9 = 65 \text{ ton}$$

$$M = W1*0.75 + E1*5 + E2*4.67 + E3*2 + E4*1.33 + E5*1.33 - W2*1.50 - W6*1.33 - W7*2 - W9*2.17 = 35.55 \text{ t.m}$$

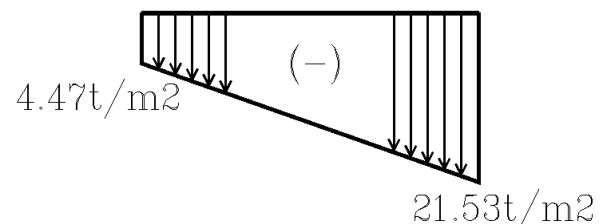
$$e = M/N = 35.55/65 = 0.55 < 5/6 \quad (\text{ok.})$$

$$f_2^1 = -\frac{65}{5 * 1.00} \pm \frac{35.55 * \left(\frac{5}{2}\right)}{1.00 * 5^3/12}$$

$$f_1 = -21.53 \text{ t/m}^2 = -2.153 \text{ kg/cm}^2 < 50 \text{ kg/cm}^2$$

(ok.)

$$f_2 = -4.47 \text{ t/m}^2 = -0.447 \text{ kg/cm}^2 < 50 \text{ kg/cm}^2 \quad (\text{ok.})$$



Sec. (2-2):

$$N = \sum W = 151 \text{ ton}$$

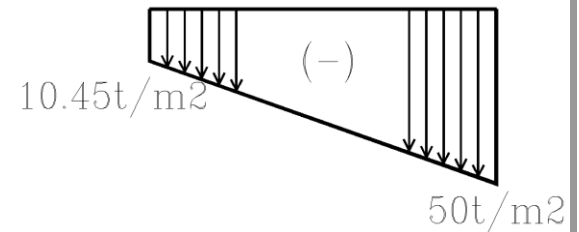
$$M = E1*9 + E2*8.67 + E3*6 + E4*5.33 + E5*5.33 + E6*2 + E7*2 + E8*1.33 + E9*2 + \\ E10*1.33 + W1*2 + W4*2.75 - W2*0.25 - W5*2.25 - W6*0.08 - W7*0.75 - \\ W8*2.50 - W9*0.92 - W10*2.50 = 178.30 \text{ t.m}$$

$$e = M/N = 178.30/151 = 1.18 < 7.5/6 \quad (\text{ok.})$$

$$f_2^1 = -\frac{151}{(7.50 - 2.50) * 1.00} \pm \frac{178.30 * \left(\frac{7.50}{2}\right)}{(7.50^3 - 2.50^3/12) * 1.00}$$

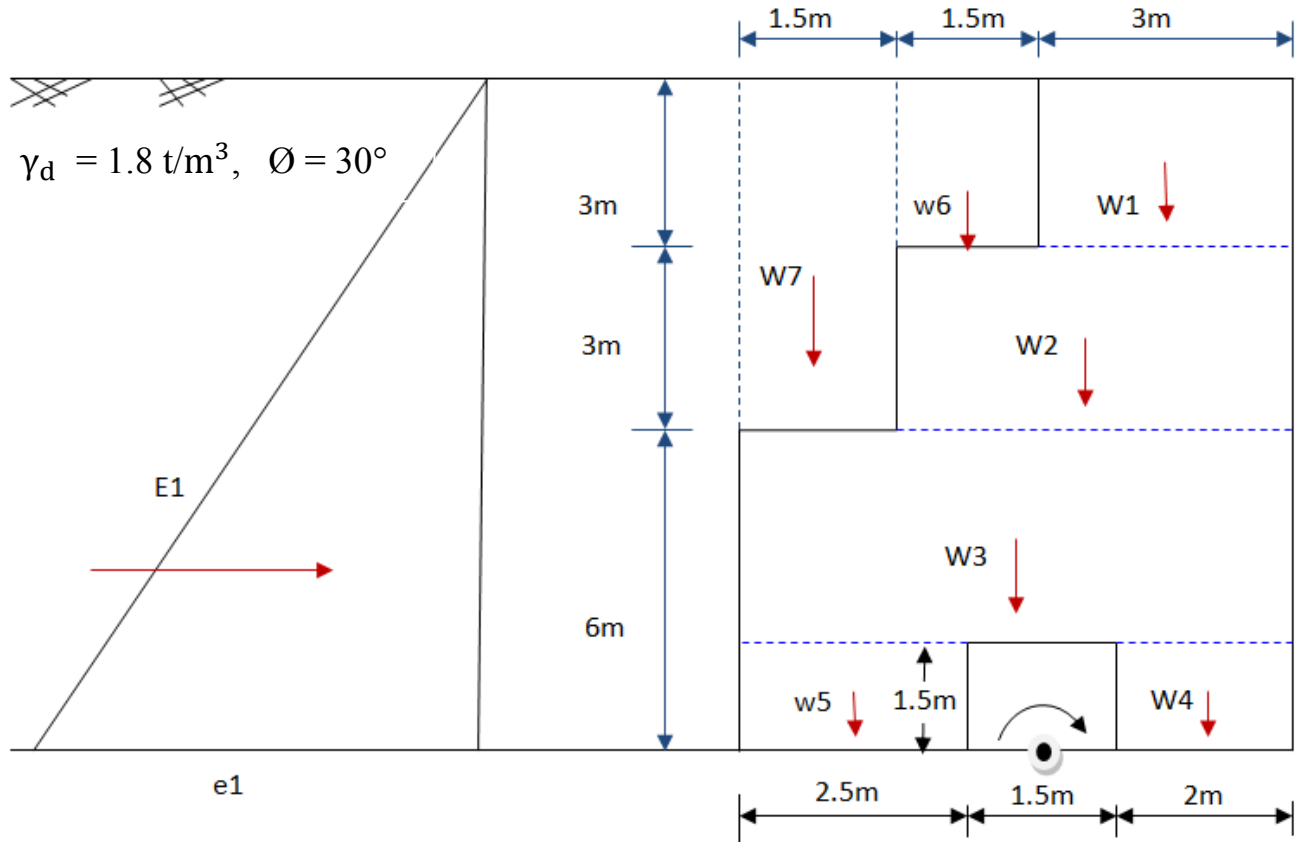
$$f_1 = -50 \text{ t/m}^2 = -5.00 \text{ kg/cm}^2 < 50 \text{ kg/cm}^2 \quad (\text{ok.})$$

$$f_2 = -10.45 \text{ t/m}^2 = -1.045 \text{ kg/cm}^2 < 50 \text{ kg/cm}^2 \quad (\text{ok.})$$



مثال 3

مطلوب رسم موشر الإجهادات عند قاعد حائط المرفأ Landing wall المبين بالشكل.



الحل**a) Vertical loads:**

$$w_1 = 3 * 3 * 1 * 2.2 = 19.8 \text{ ton}$$

$$w_2 = 4.5 * 3 * 1 * 2.2 = 29.7 \text{ ton}$$

$$w_3 = 6 * 4.5 * 1 * 2.2 = 59.4 \text{ ton}$$

$$w_4 = 2 * 1.5 * 1 * 2.2 = 6.6 \text{ ton}$$

$$w_5 = 2.5 * 1.5 * 1 * 2.2 = 8.25 \text{ ton}$$

$$w_6 = 1.5 * 3 * 1 * 1.8 = 8.1 \text{ ton}$$

$$w_7 = 1.5 * 6 * 1 * 1.8 = 16.2 \text{ ton}$$

$$N = \Sigma W = 19.8 + 29.7 + 59.4 + 6.6 + 8.25 + 8.1 + 16.2$$

$$N = 148.05 \text{ ton}$$

b) Horizontal loads:

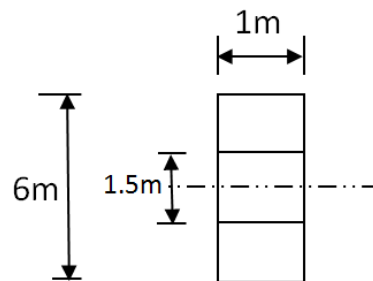
$$K = \frac{1 - \sin \theta}{1 + \sin \theta} = \frac{1 - \sin(30)}{1 + \sin(30)} = \frac{1}{3}$$

$$e_1 = 1.8 * 12 * \frac{1}{3} = 7.2 \text{ t/m}^2$$

$$E_1 = 0.5 * 7.2 * 12 * 1 = 43.2 \text{ ton}$$

$$\begin{aligned} \Sigma M &= 43.2 * \frac{12}{3} + 19.8 * 1.5 + 29.7 * 0.75 + 6.6 * 2 - 8.25 * 1.75 - 8.1 * 0.75 - 16.2 * 2.25 = \\ &= 181.013 \text{ t.m} \end{aligned}$$

$$\text{Area} = (6 - 1.5) * 1.00 = 4.5 \text{ m}^2$$



$$I_{x-x} = \frac{(6^3 - 1.5^3) * 1}{12} = 17.719 \text{ m}^4$$

$$f_1 = \frac{-N}{A} - \frac{M_x * y}{I_{x-x}}$$

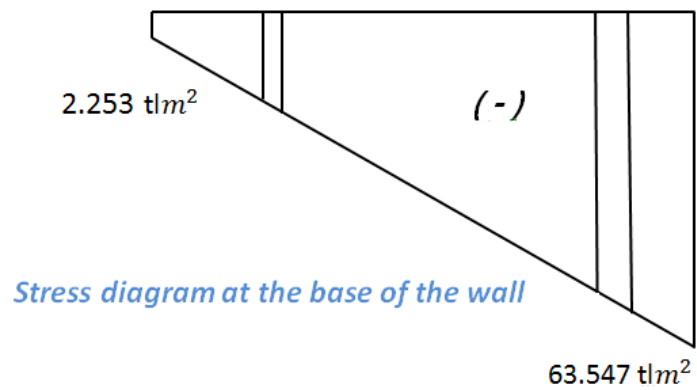
$$f_1 = \frac{-148.05}{4.5} - \frac{181.013 * 3}{17.719} = -63.547 \text{ t/m}^2$$

⇒ Safe

$$f_2 = \frac{-N}{A} + \frac{M_x * y}{I_{x-x}}$$

$$f_2 = \frac{-148.05}{4.5} + \frac{181.013 * 3}{17.719} = -2.253 \text{ t/m}^2$$

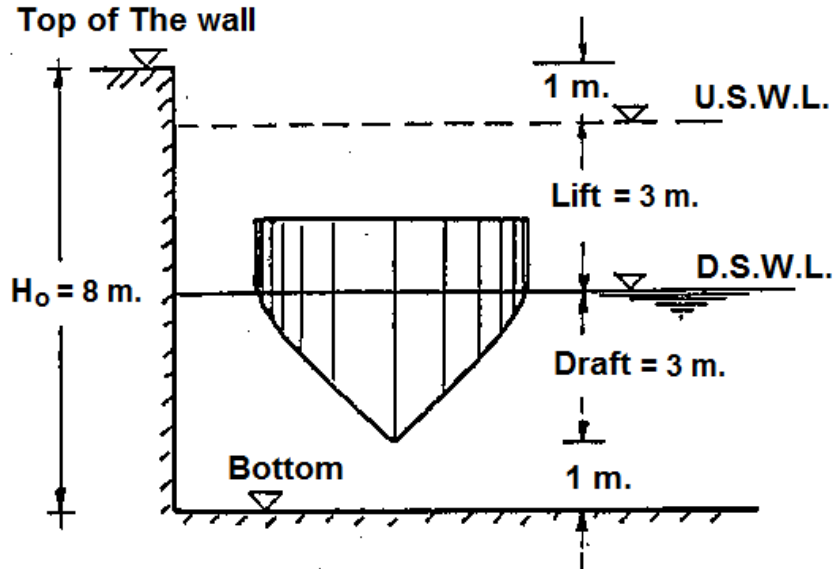
⇒ Safe



مثال 4

هويس ملاحى 16 x 125 متراً، تمر من خلاله وحدات غاطسها الأقصى 3 متر. فإذا كان رفع الهويس 3 أمتار، ومصراعا البوابة المتساندة Mitre gates ينغلقان على زاوية 136° ، ووزن المصراع الواحد one leaf 22 طن، وإذا أعطيت لك البيانات التالية:

- الماء الأرضى على عمق 2 متر أسفل منسوب أعلا الحوائط.
 - وزن التربة الجافة 1.80 طن/م³، ونسبة الفراغات بها 40 %، وزاوية الاحتكاك الداخلى $= 30^\circ$
 - حوائط الضغط بكل منها تفرعية بربخية 1.50 x 1.50 متراً، بحيث يكون المحور الرأسى للمقطع العرضى للبربخ على بعد 2.50 متر من الوجه الداخلى للحائط.
- فالمطلوب:** تصميم قطاع حائط الضغط Thrust wall

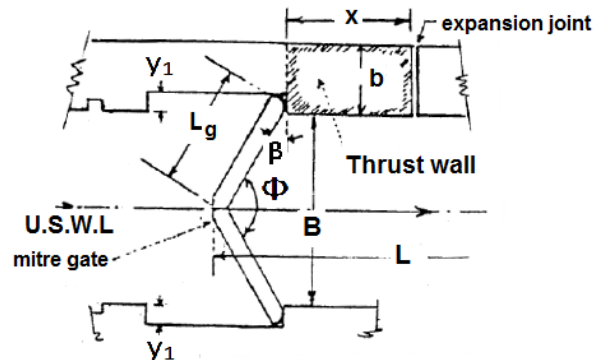
الحل

$$H_o = 3 + 3 + 1 + 1 = 8$$

$$b = 0.60 H_o$$

$$b = 0.60 * 8 = 4.8 \approx 5m$$

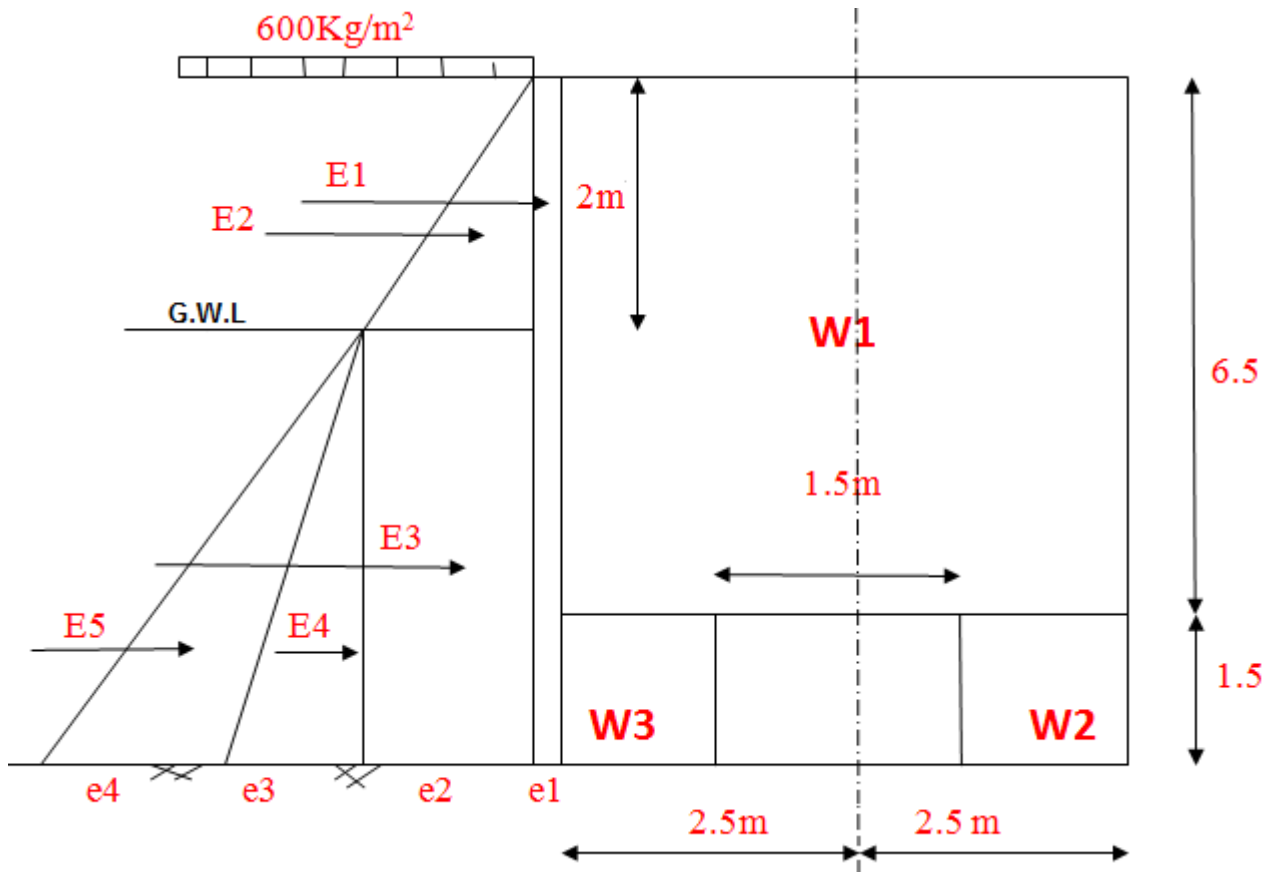
$$x = \frac{16 * 125}{100 - 200} = 10 \approx 20m \text{ is } = 12m$$



$$\gamma_{\text{dry}} = 1.80 \text{ t/m}^3$$

$$\gamma_{\text{sub.}} = 1.80 - (1 - 0.4) = 1.20 \text{ t/m}^3$$

$$k = \frac{1 - \sin 30}{1 + \sin 30} = \frac{1}{3}$$



Vertical loads:

- $W1 = 5 \times 6.50 \times 12 \times 2.20 = 858 \text{ ton}$
- $W2 = W3 = 1.75 \times 1.50 \times 12 \times 2.20 = 69.30 \text{ ton}$
- $\sum W = 858 + 2 \times 69.30 = 996.60 \text{ ton}$

Lateral pressure:

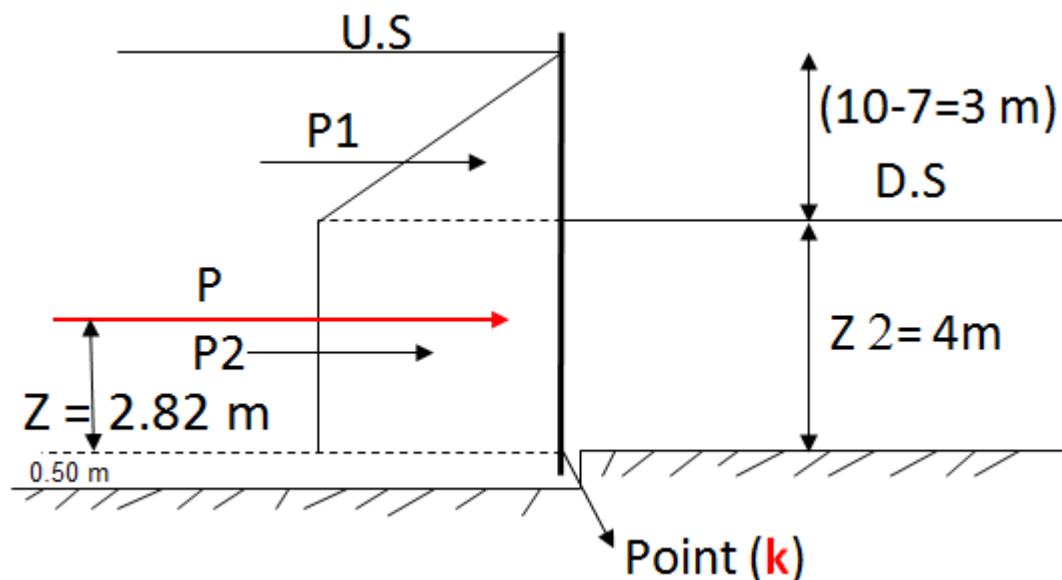
$$e = \gamma * h * k$$

- $e_1 = 0.60 * \frac{1}{3} = 0.20 \frac{t}{m^2}$
- $e_2 = 1.80 * 2 * \frac{1}{3} = 1.20 \frac{t}{m^2}$
- $e_3 = 1.20 * 6 * \frac{1}{3} = 2.40 \frac{t}{m^2}$
- $e_4 = 1 * 6 = 6 \frac{t}{m^2} \Rightarrow \text{water pressure}$

Horizontal loads:

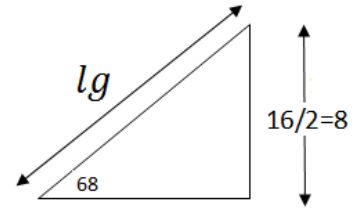
$$E = \text{area} * x$$

- $E_1 = 0.20 * 2 * 12 = 4.80 \text{ ton}$
- $E_2 = \frac{1.20*2}{2} * 12 = 14.40 \text{ ton}$
- $E_3 = (0.20 + 1.20) * 6 * 12 = 100.80 \text{ ton}$
- $E_4 = \frac{(2.40*6*12)}{2} = 86.40 \text{ ton}$
- $E_5 = \frac{1}{2} * 6 * 6 * 12 = 216 \text{ ton}$

a) Case 1: During operation (Closed gates, with max. water level within the chamber)أثناء التشغيل

$$\therefore lg = \frac{8}{\sin 68} = 8.628m$$

$$\beta = 90 - \frac{\varphi}{2} = 22^\circ$$



- $P1 = \frac{1}{2} * 3 * 3 * 8.628 = 38.826 \text{ ton.}$
- $P2 = 1 * 3 * 4 * 8.628 = 103.536 \text{ ton.}$
- $P = P1 + P2 = 38.826 + 103.536 = 142.362 \text{ ton.}$
- moment about k = $(P1 * 5 + P2 * 2) = P * Z$

$$\therefore Z = 2.82 \text{ m.}$$

- $Rx = P \cos \beta = 142.362 * \cos 22 = 132 \text{ ton.}$
- $Ry = Rx \cot 2\beta = 132 * \cot(2 * 22) = 136.69 \text{ ton.}$
- $P3 = P * \frac{y1}{lg} = 142.362 * \frac{0.50}{8.628} = 8.25 \text{ ton.}$
- $P4 = \frac{1}{2} * \gamma_w * x * z^2 = \frac{1}{2} * 1 * 12 * 4^2 = 96 \text{ ton.}$

Stresses Calculations:

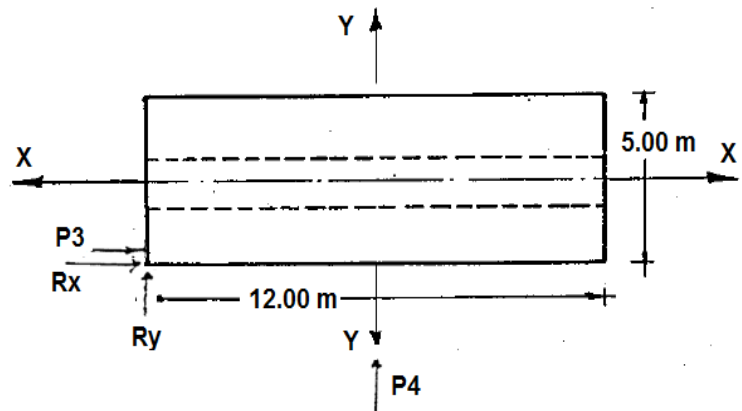
$$\checkmark M_x = P_4 * \frac{z_2}{3} + R_y * z = 96 * \frac{4}{3} + (136.69 * 2.82) = 513.47 \text{ t.m}$$

$$\checkmark M_y = (P3 + Rx) * z = (8.25 + 132) * 2.82 = 395.51 \text{ t.m}$$

$$\checkmark \text{Area} = (12 * 5) - (1.50 * 12) = 42 \text{ m}^2$$

$$\checkmark I_x = \frac{12 * 5^3}{12} - \frac{12 * 1.5^3}{12} = 121.625 \text{ m}^4$$

$$\checkmark I_y = \frac{5 * 12^3}{12} - \frac{1.5 * 12^3}{12} = 504 \text{ m}^4$$

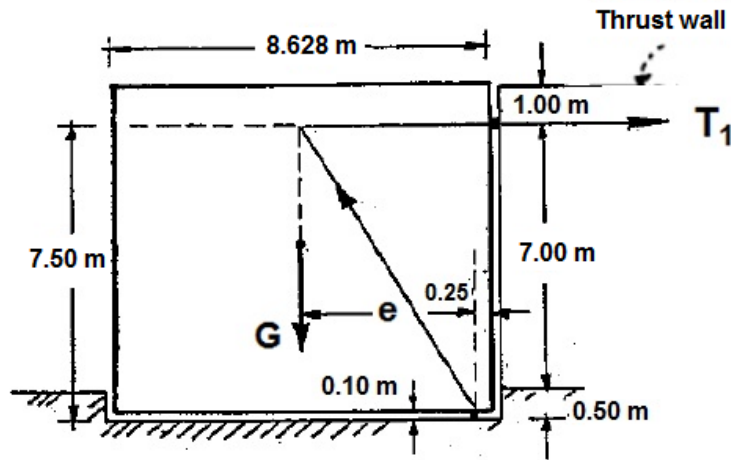


$$f_2^1 = -\frac{N}{b \cdot x} \pm \frac{M_x \left(\frac{b}{2}\right)}{\frac{x \cdot b^3}{12}} \pm \frac{M_y \left(\frac{x}{2}\right)}{\frac{b \cdot x^3}{12}}$$

$$f_1 = -\frac{996.60}{42} + \frac{513.47 \cdot 2.5}{121.625} + \frac{395.51 \cdot 6}{504} = -8.465 \frac{t}{m^2} \quad \text{Safe}$$

$$f_2 = -\frac{996.60}{42} - \frac{513.47 \cdot 2.5}{121.625} - \frac{395.51 \cdot 6}{504} = -38.99 \frac{t}{m^2} \quad \text{Safe}$$

b) Case 2: During repair (Opened gates, with empty chamber) أثناء الصيانة



$$lg = \frac{8}{\sin 68} = 8.628m$$

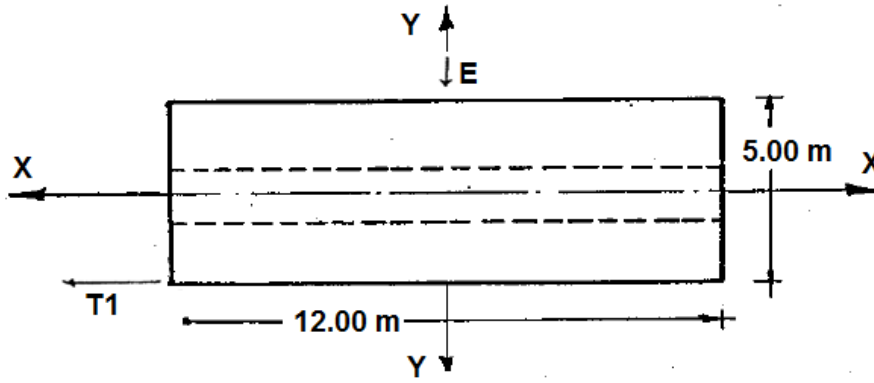
$$e = \frac{lg}{2} - 0.25 = \frac{8.628}{2} - 0.25 = 4.064m$$

$$T1 = G * \frac{e}{h} = 22 * \frac{4.064}{7.5} = 11.92 \text{ ton}$$

Stresses Calculations:

$$\checkmark M_x = E * Z_3 = (E1 * 7) + \left(E2 * \left(\frac{2}{3} + 6\right)\right) + (E3 * 3) + (E4 * 2) + (E5 * 2) = 1036.8 \text{ t.m}$$

$$\checkmark M_y = T_1 * C = 11.92 * 7 = 83.44 \text{ t.m}$$



$$f_2^1 = -\frac{N}{b \cdot x} \pm \frac{M_x \left(\frac{b}{2}\right)}{\frac{x \cdot b^3}{12}} \pm \frac{M_y \left(\frac{x}{2}\right)}{\frac{b \cdot x^3}{12}}$$

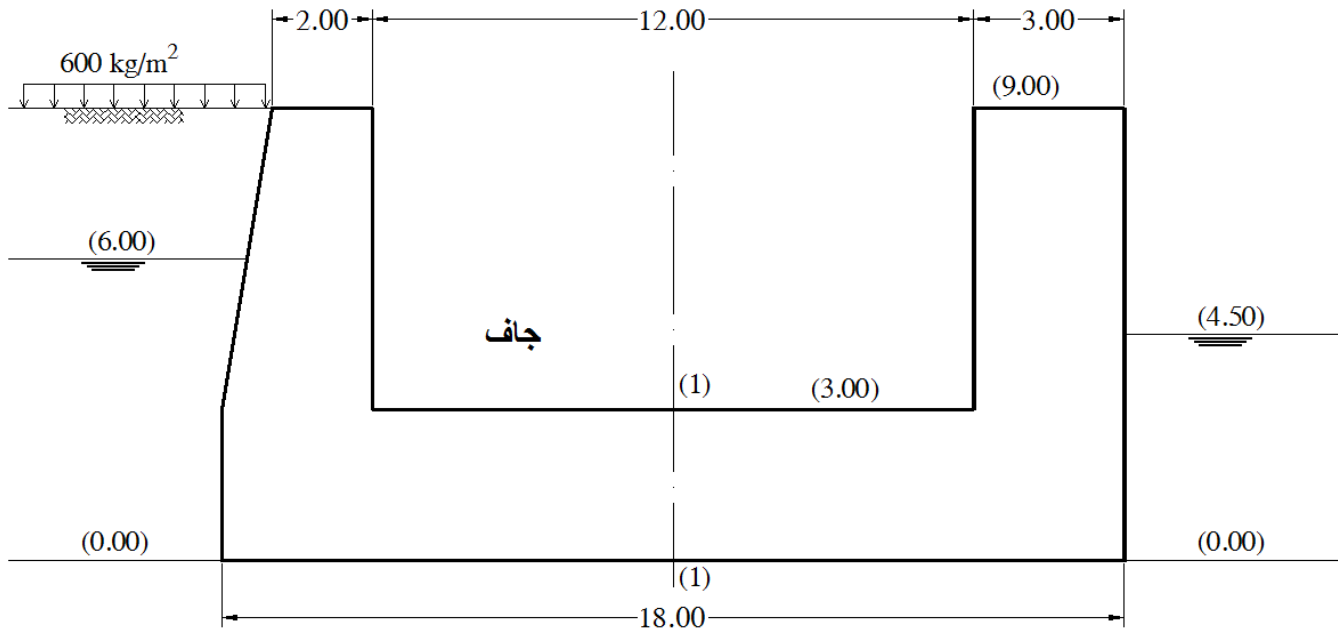
$$f_1 = -\frac{996.60}{42} + \frac{1036.8 * 2.5}{121.625} + \frac{83.44 * 6}{504} = -1.43 \frac{t}{m^2} \quad \text{Safe}$$

$$f_2 = -\frac{996.60}{42} - \frac{1036.8 * 2.5}{121.625} - \frac{83.44 * 6}{504} = -46.03 \frac{t}{m^2} \quad \text{Safe}$$

مثال 5

الشكل يبين قطاعاً عرضياً يمر بحوض التعويم لأحد الأهوسة، فإذا علمت أن:

- الماء الأرضى على عمق 3 متر أسفل منسوب أعلا الحوائط.
 - وزن التربة الجافة 1.80 طن/م³، ونسبة الفراغات بها 40 %، وزاوية الاحتكاك الداخلى = 30°
 - التربة غير متجانسة وقوة تحملها دون المتوسط.
- فالمطلوب:** حساب الإجهادات العمودية بمنتصف فرش حوض التعويم ، قطاع (1-1).

الحلa) Vertical loads الرأسية

$W1 = 2 \times 6 \times 2.20$	$= 26.40 \text{ ton}$	↓
$W2 = 0.50 \times 1 \times 6 \times 2.20$	$= 6.60 \text{ ton}$	↓
$W3 = 9 \times 3 \times 2.20$	$= 59.40 \text{ ton}$	↓
$W4 = 0.50 \times 1 \times 6 \times 1.80$	$= 5.40 \text{ ton}$	↓
$W5 = 3 \times 6 \times 2.20$	$= 39.60 \text{ ton}$	↓
$W6 = 3 \times 9 \times 2.20$	$= 59.40 \text{ ton}$	↓

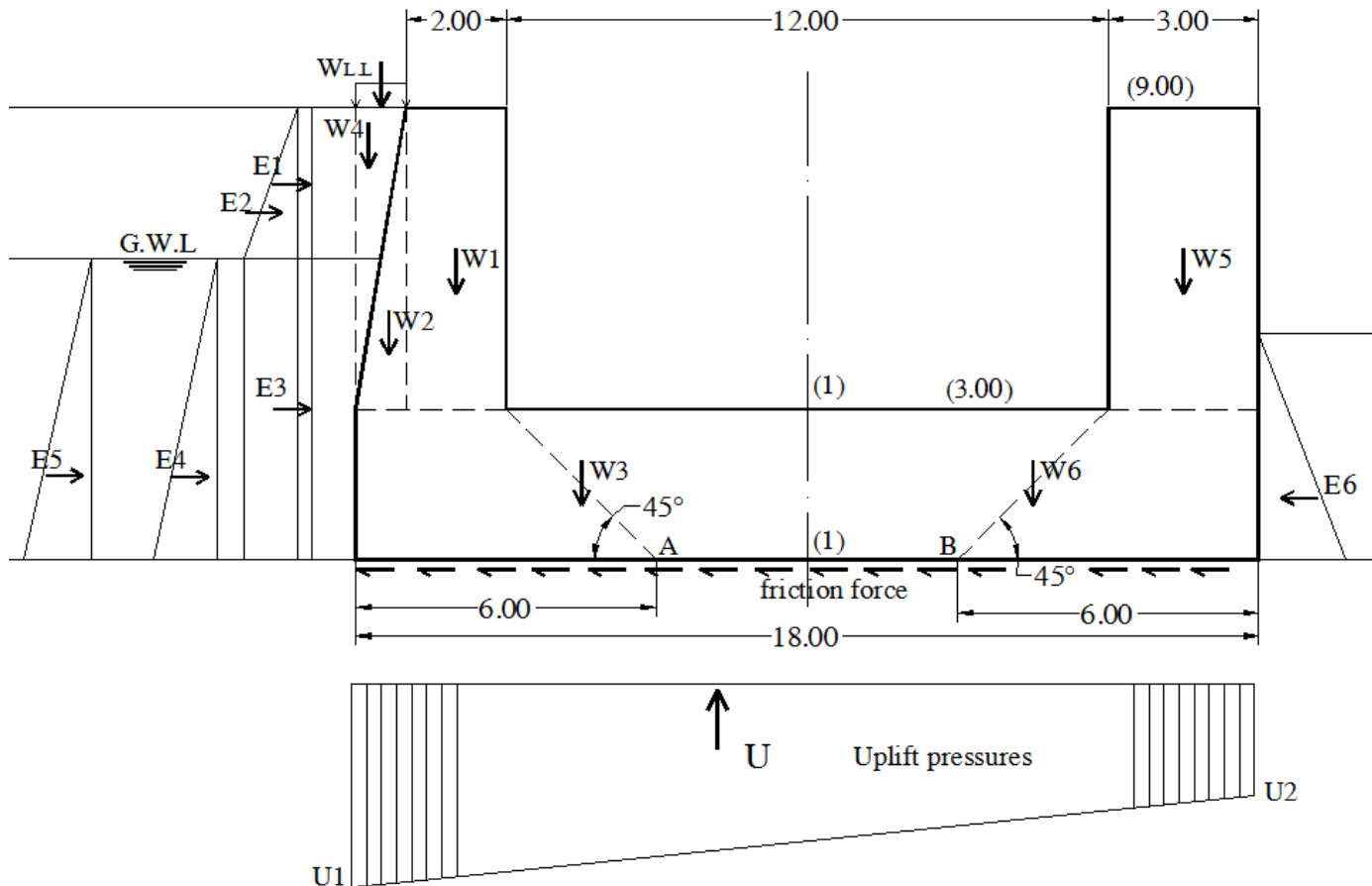
$$W_{L.L} = 0.60 \times 1 = 0.60 \text{ ton} \quad \downarrow$$

يمكن إهمالها لصغر قيمتها

$$\Sigma W = 196.80 \text{ ton} \quad \downarrow$$

$$\text{Uplift force} = [(6+4.5)/2] \times 18 = 94.5 \text{ ton} \quad \uparrow$$

$$N = 196.80 - 94.5 = 102.3 \text{ ton} \quad \downarrow$$



b) Lateral pressure الضغوط الجانبية

$$K_a = (1 - \sin 30) / (1 + \sin 30) = 0.333$$

$$e_1 = 0.60 \times 0.333 = 0.20 \text{ ton/m}^2$$

$$e_2 = 1.80 \times 3 \times 0.333 = 1.80 \text{ ton/m}^2$$

$$e_3 = 1.80 + 0.20 = 2.00 \text{ ton/m}^2$$

$$e_4 = 1.20 \times 6 \times 0.333 = 2.40 \text{ ton/m}^2$$

$$e_5 = 1.00 \times 6 = 6.00 \text{ ton/m}^2$$

$$e_6 = 1.00 \times 4.50 = 4.50 \text{ ton/m}^2$$

c) Horizontal loads القوى الأفقية

$$E1 = 0.20 \times 3 = 0.60 \text{ ton} \rightarrow$$

$$E2 = 0.50 \times 1.80 \times 3 = 2.70 \text{ ton} \rightarrow$$

$$E3 = 2.00 \times 6 = 12 \text{ ton} \rightarrow$$

$$E4 = 0.50 \times 2.40 \times 6 = 7.20 \text{ ton} \rightarrow$$

$$E5 = 0.50 \times 6 \times 6 = 18 \text{ ton} \rightarrow$$

$$E6 = 0.50 \times 4.50 \times 4.50 = 10.13 \text{ ton} \leftarrow$$

$$\Sigma H = 30.37 \text{ ton} \rightarrow$$

ويكون معامل الأمان من الإنزلاق (بفرض معامل احتكاك = 0.50) هو:

$$F.S.S = (102.3 \times 0.5) / 30.37 = 1.68 > 1.5 \text{ OK}$$

وحيث أن مجموع قوى الاحتكاك الفعلية friction forces = 30.37 طن. وبالتالي فإن معدل قوى الاحتكاك للمتر الطولي من عرض القاعدة = $18 / 30.37 = 1.69$ طن/م

حساب الإجهادات عند مستوى القاعدة:

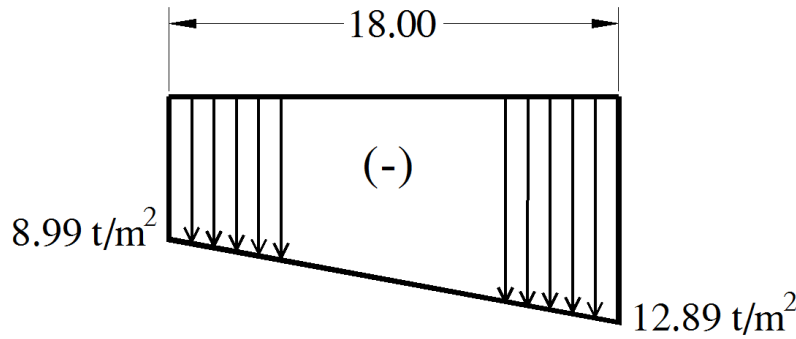
$$\Sigma M = W1 \times 7 + W2 \times 8.33 + W3 \times 4.5 + W4 \times 8.67 + E6 \times 1.5 - W6 \times 4.50 - W5 \times 7.5 - E1 \times 7.5 - E2 \times 7 - E3 \times 3 - E4 \times 2 - E5 \times 2$$

$$\Sigma M = 26.40 \times 7 + 6.6 \times 8.33 + 59.40 \times 4.5 + 5.40 \times 8.67 + 10.13 \times 1.5 - 59.40 \times 4.50 - 39.60 \times 7.5 - 0.60 \times 7.5 - 2.70 \times 7 - 12 \times 3 - 7.20 \times 2 - 18 \times 2 = 105.01 \text{ t.m}$$

$$e = 105.01 / 196.80 = 0.534 \text{ m}$$

$$f_1 = -\frac{196.80}{18} + \frac{105.01 \times 9}{18^3 / 12} = -8.99 \frac{\text{t}}{\text{m}^2} \quad \text{Safe}$$

$$f_1 = -\frac{196.80}{18} - \frac{105.01 \times 9}{18^3 / 12} = -12.89 \frac{\text{t}}{\text{m}^2} \quad \text{Safe}$$



وحيث أن التربة غير متجانسة وقوة تحملها دون المتوسط، فضلاً عن اتساع عرض الحوض نسبياً، فإننا نقوم بتعديل مؤشر الإجهادات طبقاً لمبدأ رد فعل تربة التأسيس Soil reaction كما يلي:

مجموع الأحمال الرأسية أيسر النقطة A :

$$= W1 + W2 + W4 + (3 \times 3 + 0.50 \times 3 \times 3) \times 2.20 = 68.10 \text{ ton}$$

$$f_1' = 68.10/6 = 11.35 \text{ t/m}^2$$

ومجموع الأحمال الرأسية أيمن النقطة B :

$$= W5 + (3 \times 3 + 0.50 \times 3 \times 3) \times 2.20 = 69.30 \text{ ton}$$

$$f_2' = 69.30/6 = 11.55 \text{ t/m}^2$$

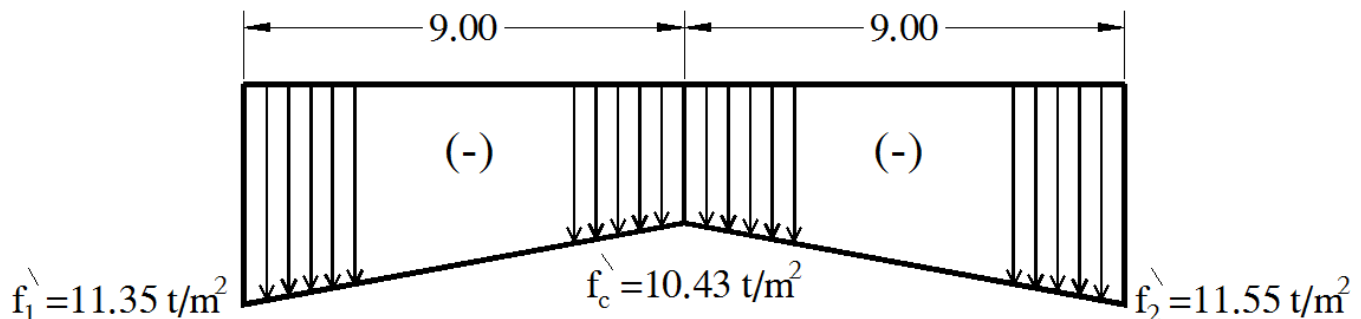
أيضاً:

مساحة مؤشر الإجهادات التقليدي = مساحة مؤشر الإجهادات المعدل

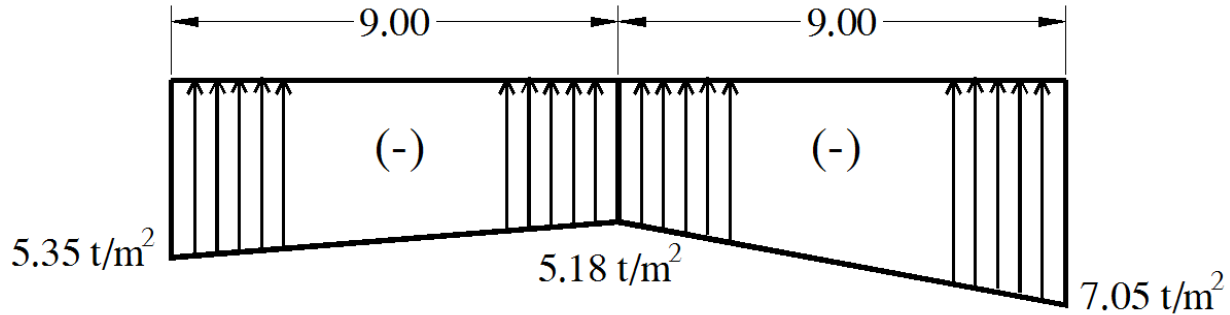
وعلى ذلك:

$$18 \times (8.99 + 12.89)/2 = 9 \times (f_c' + 11.35)/2 + 9 \times (f_c' + 11.55)/2$$

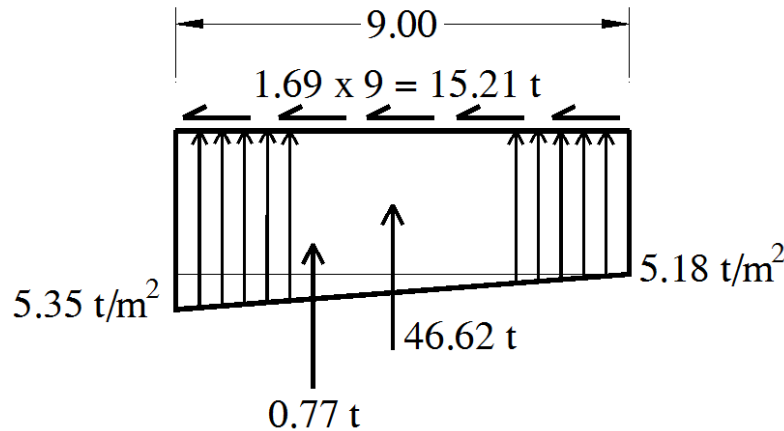
$$f_c' = 10.43 \text{ t/m}^2$$



وبطرح ضغوط الرفع وعكس اتجاه الأسهم نحصل على مؤشر صافى رد الفعل على الفرش Net modified soil reaction diagram كما يلي:



وبذلك تصبح القوى أسفل الفرش والمؤثرة على يسار القطاع 1-1 هي كما يلي:



الإجهادات العمودية على القطاع (1-1):

لتحليل الإجهادات عند ذلك القطاع، سنختار حساب العزوم لكل القوى على يسار القطاع كما يلي:

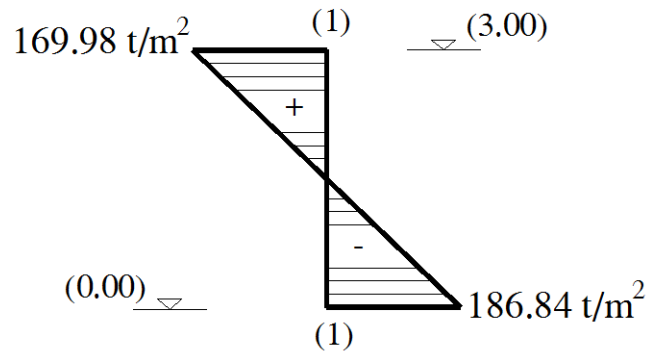
$$\Sigma M = W_1 \times 7 + W_2 \times 8.33 + W_3 \times 4.5 + W_4 \times 8.67 - E_1 \times 6 - E_2 \times 5.50 - E_3 \times 1.50 - E_4 \times 0.50 - E_5 \times 0.50 - 46.62 \times 4.50 - 0.77 \times 6 - 15.21 \times 1.50 = 267.62 \text{ t.m}$$

$$N = 40.5 - 15.21 = 25.29 \text{ ton} \rightarrow$$

$$e = 267.62/25.29 = 10.58 \text{ m}$$

$$f_1 = -\frac{25.29}{3} + \frac{267.62 \times 1.5}{\frac{3^3}{12}} = +169.98 \frac{t}{m^2} \quad \text{Safe}$$

$$f_1 = -\frac{25.29}{3} - \frac{267.62 \times 1.5}{\frac{3^3}{12}} = -186.84 \frac{t}{m^2} \quad \text{Safe}$$



ويتضح من تلك النتيجة ضرورة تسليح الجانب العلوى من فرش حوض التعويم.

المراجع

- محمد أحمد سليمان، ومحمد الغريب حامد، "منشآت الري"، الجزء الأول، القاهرة، 1985.
- محمد أحمد سليمان، ومحمد الغريب حامد، "مشروعات الري الكبرى واقتصاديات المشروعات"، الجزء الثاني، القاهرة، 1995.
- محمد أحمد سليمان، ومحمد الغريب حامد، "هندسة الري وأساليب ري المزارع"، الجزء الأول، القاهرة، 1990.
- شارل سكلا، "هندسة الري والصرف"، القاهرة، 1991.
- وزارة الموارد المائية والري، "الكود المصري للموارد المائية وأعمال الري"، القاهرة، 2003.
- Aswa G.L., "Irrigation and Water Resources Engineering", Newageinternational(P) Limited, Publishers, Ansari Road, Daryaganj, New Delhi, 2005.
- EL-Molla, A. M., Akram K. S., Mohamed Abdellatif M., "The Optimum Depth of Toe Cutoff for Hydraulic Structures," Civil Engineering Research Magazine (CERM), Civil Eng. Dept., Faculty of Eng., Al-Azhar Univ., Cairo, Egypt, pp. (1082-1090), Volume(16)- No.(11), November 1994.
- EL-Niazy, Hammad, EL-Molla, A. M., Mohamed Abdellatif M., Akram Karam, "Conformal Mapping and Safety Against Piping" Military Technical College, 2nd conf. On Civil Eng., Nov. 1994.
- El-Salawy, M. A., EL-Molla, A. M., & Bakry, M. F. " Interaction between Cutoffs and Creepline Under Apron of Hydraulic Structures," Civil Engineering Research Magazine (CERM), Civil Eng. Dept., Faculty of Eng., Al-Azhar Univ., Cairo, Egypt, p. p. (839-847), Volume (19)- No.(7), 1997.
- El-Salawy, M. A., "Reduce of Piping Liabilities by Use of End Cutoffs for Aprons of Control Structures," Doctor of Philosophy Thesis, Al-Azhar University, Cairo, 1988.
- El-Salawy, M. A., EL-Molla, A. M., " Efficiency of Cutoffs Under Apron of Hydraulic Structures," Civil Engineering Research Magazine (CERM),

Civil Eng. Dept., Faculty of Eng., Al-Azhar Univ., Cairo, Egypt, pp. (1790-1808), Volume(22)- No.(4), October 2000.

- Ghada Ezeizah., “Seepage under Hydraulic Structures Founded on Complex Formations,” Doctor of Philosophy Thesis, Ain Shams University, Cairo, 2000.
- Mobasher, A., M., “Efficiency of Cutoffs under Aprons of Irrigation Structures”, M.Sc thesis, Al-Azhar Univ., Cairo, 2005.
- Mobasher, A., M., “Adaptive Reservoir Operation Strategies Under Changing Boundary Conditions – The Case Of Aswan High Dam Reservoir”, Ph.D thesis, Darmstadt University of Technology, Germany, 2010.
- Novak P., Moffat A.I.B., and Nalluri C., “Hydraulic Structures”, Third Edition, Taylor & Francis e-Library, New York, 2004.
- Serge Leliavsky, “ Irrigation and Hydraulic Design,” volume I, Chapman & Hall, 1955.
- Serge Leliavsky, “ Design of Dams for Percolation and Erosion,” volume III, Chapman & Hall, 1965.
- Soliman, M. A., “Design of Irrigation Structures and Works” Part 2, Cairo, 1989.
- Soliman, M. A., “Theory of Irrigation structures,” Hydro-series{4}, Cairo, 1979.
- Soliman, M. A., “Lecture notes in hydrodynamics,” for the students of postgraduate higher studies, Civil Eng. Dpt., Al-Azhar Univ., Cairo 1987/1988.
- Soliman, M. A., El-Salawy, M. A., “Development of Streamlined Surfaces by Hydrodynamical Analysis,” Al-Azhar Eng. 2nd int. conf., Dec. 1991.
- Terzaghi, K., “ From Theory to Practice in Soil Mechanics,” John Wiley & Sons, Inc., New York, London, 1960.
- Vallentine, H. R., “Applied hydrodynamics,” Butterworth & Co. Ltd., London, 1969.